

# Campagna di monitoraggio della qualità dell'aria

## *Comuni di Angolo Terme e Borno*

06 maggio – 24 giugno 2022

25 novembre 2022 – 16 gennaio 2023

**ARPA Lombardia**

Dicembre 2023



---

*Gestione e manutenzione tecnica della strumentazione:*

**Lorenzo Mari, Enrico Bicelli, Francesco Bonisoli**

*Testo ed elaborazione dei dati:*

**Giorgio Siliprandi**

*Hanno inoltre collaborato:*

**Paola Carli, Eleonora Cuccia**

ARPA Lombardia | Settore Monitoraggi Ambientali | U.O. Qualità dell'Aria – Area Est

Via I. Rosellini, 17

20124 – Milano

Tel. 02.69666.1

PEC: [arpa@pec.regione.lombardia.it](mailto:arpa@pec.regione.lombardia.it)

WEB: [www.arpalombardia.it](http://www.arpalombardia.it)

**Dicembre 2022**

---

## Sommario

<b>Introduzione .....</b>	<b>4</b>
<b>Misure e strumentazione .....</b>	<b>4</b>
<b>Inquinanti atmosferici monitorati .....</b>	<b>5</b>
<b>Normativa .....</b>	<b>8</b>
<b>Campagna di misura .....</b>	<b>10</b>
<b>Emissioni sul territorio .....</b>	<b>12</b>
<b>Andamento inquinanti nel periodo di misura .....</b>	<b>21</b>
<b>Monossido di carbonio (CO) .....</b>	<b>22</b>
<b>Ossidi di azoto (NO e NO<sub>2</sub>) .....</b>	<b>26</b>
<b>Ozono (O<sub>3</sub>) .....</b>	<b>32</b>
<b>Benzene .....</b>	<b>37</b>
<b>Il particolato atmosferico aerodisperso .....</b>	<b>38</b>
<b>Stima dei parametri annuali .....</b>	<b>44</b>
<b>Analisi sul particolato .....</b>	<b>54</b>
<b>Conclusioni .....</b>	<b>66</b>
<b>Allegati .....</b>	<b>67</b>

## Introduzione

Nei Comuni di Angolo Terme e Borno (BS) si è svolta una campagna di misura relativa alla qualità dell'aria, mediante l'utilizzo di laboratori mobili, condotta dall'Unità Organizzativa Qualità dell'Aria di ARPA Lombardia. La campagna fa seguito alla specifica richiesta della comunità Montana della Valle Camonica di una valutazione della qualità dell'aria per indagare eventuali contributi dal fondovalle sulle località poste a quota superiore con particolare attenzione a contributi della combustione di biomassa. I siti (Figura 1 e Figura 2) per il monitoraggio della qualità dell'aria sono stati individuati presso il parcheggio in fregio a via San Silvestro ad Angolo Terme, alt. 436 m.slm. e presso il parcheggio in fregio a via Raseghe a Borno, alt. 890 m.slm., siti che rispetta i criteri richiesti dal D.Lgs.155/2010 per campagne indicative.

La campagna è stata suddivisa in due periodi, estivo ed invernale, per avere un quadro completo della qualità dell'aria al variare delle condizioni meteorologiche e delle attività emissive. Il periodo estivo della campagna si è svolto dal 6 maggio al 24 giugno 2022 mentre il periodo invernale si è svolto dal 25 novembre 2022 al 16 gennaio 2023.

Il presente documento costituisce il report finale che fa seguito allo svolgimento delle due fasi della campagna.

## Misure e strumentazione

Le misure sono state effettuate mediante un Laboratorio Mobile, provvisto di vari analizzatori e sistemi di campionamento manuale. La strumentazione utilizzata è del tutto simile a quella presente nelle stazioni fisse della Rete di Rilevamento della Qualità dell'Aria (RRQA) e risponde alle caratteristiche previste dalla legislazione vigente (D. Lgs. 155/2010). In particolare, si sono utilizzati strumenti di misura per il rilevamento dei seguenti inquinanti:

- monossido di carbonio (CO)
- ossidi di azoto (NOX)
- ozono (O3)
- benzene, toluene (BTX)
- PM10

Per la misura degli inquinanti gassosi sono stati utilizzati analizzatori per il monitoraggio in continuo con le caratteristiche previste dalla normativa. Le misure della concentrazione di massa del particolato atmosferico sono state realizzate mediante campionatore gravimetrico sequenziale dotato di apposita testa di prelievo per la frazione PM10. La frazione di PM10, raccolta su opportuni filtri, è stata determinata per ogni giorno mediante metodo gravimetrico, descritto nella norma UNI EN 12341:2014 e indicato come riferimento dalla legislazione vigente (D. Lgs. 155/2010). In seguito, sui campioni di particolato raccolto sono state svolte analisi di laboratorio per le valutazioni del caso.

Inoltre, sul Laboratorio Mobile sono presenti sensori meteorologici per la misura di:

- precipitazione (mm);
- pressione atmosferica (hPa)
- intensità della radiazione solare globale (W/m<sup>2</sup>);

- temperatura dell'aria (°C);
- velocità (m/s) e direzione (settore) del vento;
- umidità relativa (%).

## Inquinanti atmosferici monitorati

Gli inquinanti dispersi in atmosfera possono essere divisi schematicamente in due gruppi: primari e secondari. I primi sono emessi direttamente in atmosfera da sorgenti antropogeniche o naturali; i secondi si formano in atmosfera in seguito a reazioni chimiche che coinvolgono altre specie, primarie o secondarie (Tabella 1).

Le concentrazioni di un inquinante primario dipendono significativamente dalla distanza tra il punto di misura e le sorgenti mentre le concentrazioni di un inquinante secondario, essendo prodotto dai suoi precursori già dispersi nell'aria ambiente, risultano in genere diffuse in modo più omogeneo sul territorio. Si descrivono di seguito le caratteristiche principali degli inquinanti monitorati.

### Il monossido di carbonio (CO)

Il monossido di carbonio ha origine da processi di combustione incompleta di composti contenenti carbonio. È un gas la cui origine, soprattutto nelle aree urbane, è da ricondursi prevalentemente al traffico autoveicolare, soprattutto ai veicoli a benzina. Le emissioni di CO dai veicoli sono maggiori in fase di accelerazione e di traffico congestionato. Si tratta quindi di un inquinante primario le cui concentrazioni sono strettamente legate ai flussi di traffico locali; gli andamenti giornalieri rispecchiano tipicamente quelli del traffico, raggiungendo i massimi valori in concomitanza delle ore di punta a inizio e fine giornata, soprattutto nei giorni feriali. Durante le ore centrali della giornata i valori tendono a calare, grazie anche a una migliore capacità dispersiva dell'atmosfera. È da sottolineare che le concentrazioni di CO sono ormai prossime al limite di rilevabilità degli analizzatori con le caratteristiche indicate dalla normativa, soprattutto grazie al progressivo miglioramento della tecnologia dei motori a combustione.

### Gli ossidi di azoto (NO e NO<sub>2</sub>)

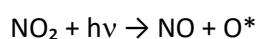
Gli ossidi di azoto (nel complesso indicati anche come NO<sub>x</sub>) sono emessi direttamente in atmosfera dai processi di combustione ad alta temperatura (impianti di riscaldamento, motori dei veicoli, combustioni industriali, centrali di potenza, ecc.), per ossidazione dell'azoto atmosferico e, solo in piccola parte, per l'ossidazione dei composti dell'azoto contenuti nei combustibili utilizzati.

All'emissione, gran parte degli NO<sub>x</sub> è in forma di monossido di azoto (NO), con un rapporto NO/NO<sub>2</sub> notevolmente a favore del primo. Si stima che il contenuto di biossido di azoto (NO<sub>2</sub>) nelle emissioni sia tra il 5 e il 10 del totale degli ossidi di azoto. L'NO, una volta diffusosi in atmosfera può ossidarsi e portare alla formazione di NO<sub>2</sub>. L'NO è quindi un inquinante primario mentre l'NO<sub>2</sub> ha caratteristiche prevalentemente di inquinante secondario.

Il monossido di azoto (NO) non è soggetto a limiti alle immissioni in quanto, alle concentrazioni tipiche misurate in aria ambiente, non provoca effetti dannosi sulla salute e sull'ambiente. Se ne misurano comunque i livelli poiché esso, attraverso la sua ossidazione in NO<sub>2</sub> e la sua partecipazione ad altri processi fotochimici, contribuisce, tra altro, alla produzione di ozono troposferico. Per il biossido di azoto sono invece previsti valori limite illustrati nel capitolo successivo.

## L'ozono (O<sub>3</sub>)

L'ozono è un inquinante secondario, che non ha sorgenti emissive dirette di rilievo. La sua formazione avviene in seguito a reazioni chimiche in atmosfera tra i suoi precursori (soprattutto ossidi di azoto e composti organici volatili), reazioni che avvengono in presenza forte irraggiamento solare. Queste reazioni portano alla formazione di un insieme di diversi composti, tra i quali, oltre all'ozono, nitrati e solfati (costituenti del particolato fine), perossiacetilnitrito (PAN), acido nitrico e altro ancora, che nell'insieme costituiscono il tipico inquinamento estivo detto smog fotochimico. A differenza degli inquinanti primari, le cui concentrazioni dipendono direttamente dalle quantità dello stesso inquinante emesse dalle sorgenti presenti nell'area, la formazione di ozono è quindi più complessa. La chimica dell'ozono ha come punto di partenza la presenza di ossidi di azoto, che vengono emessi in grandi quantità nelle aree urbane. Sotto l'effetto della radiazione solare la formazione di ozono avviene in conseguenza della fotolisi del biossido di azoto:

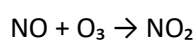


dove  $h\nu$  rappresenta la radiazione solare e  $\text{O}^*$  l'ossigeno monoatomico nello stato eccitato.

L'ossigeno atomico  $\text{O}^*$ , reagisce rapidamente con l'ossigeno molecolare dell'aria, in presenza di una terza molecola che non entra nella reazione vera e propria, ma assorbe l'eccesso di energia vibrazionale stabilizzando la molecola di ozono che si è formata:



Una volta generato, l'ozono reagisce con l'NO, e rigenera  $\text{NO}_2$ :



Le tre reazioni descritte formano un ciclo chiuso che, da solo, non sarebbe sufficiente a causare gli alti livelli di ozono che possono essere misurati in condizioni favorevoli alla formazione di smog fotochimico. La presenza di altri inquinanti, quali ad esempio gli idrocarburi, fornisce una diversa via di ossidazione del monossido di azoto, che provoca una produzione di  $\text{NO}_2$  senza consumare ozono, di fatto spostando l'equilibrio del ciclo visto sopra e consentendo l'accumulo dell' $\text{O}_3$ .

Le concentrazioni di ozono raggiungono i valori più elevati nelle ore pomeridiane delle giornate estive soleggiate. Inoltre, dato che l'ozono si forma durante il trasporto delle masse d'aria contenenti i suoi precursori, emessi soprattutto nelle aree urbane, le concentrazioni più alte si osservano soprattutto nelle zone extraurbane sottovento rispetto ai centri urbani principali. Nelle città la presenza di NO tende a far calare le concentrazioni di ozono, soprattutto in vicinanza di strade molto trafficate.

## Gli idrocarburi non metanici

Si tratta di una classe di composti organici, ovvero costituiti da carbonio tetraivalente e idrogeno, molto ampia, infatti, gli atomi di carbonio possono legarsi tra loro formando lunghe catene dette alcani se il legame tra gli atomi di carbonio è singolo (C-C), alcheni se il legame è doppio (C=C), alchini se il legame è triplo (C≡C). Le catene di carbonio e idrogeno possono anche chiudersi dando origine all'insieme degli idrocarburi ciclici. Ai fini della qualità dell'aria, sono da evidenziarsi per il loro impatto sanitario l'insieme degli idrocarburi ciclici e policiclici aromatici (IPA), ovvero idrocarburi aventi la struttura molecolare planare costituita da uno o più anelli di sei atomi di carbonio e con atomi di idrogeno che saturano i legami rimasti disponibili. I principali idrocarburi considerati nel campo dell'inquinamento atmosferico sono il benzene, il toluene, gli xileni (orto-, para- e meta-xilene) presenti in atmosfera in fase gassosa e i 7 IPA (Idrocarburi Policiclici Aromatici) citati dalla normativa (D.L. 155/10):

benzo(a)pirene, benzo(a)antracene, benzo(b)fluorantene, benzo(j)fluorantene, benzo(k)fluorantene, indeno(1,2,3-cd)pirene, dibenzo(a,h)antracene. Questi IPA sono presenti in atmosfera per lo più in fase particolato alle basse temperature invernali, mentre nei periodi più caldi dell'anno può diventare prevalente la fase gassosa.

Gli idrocarburi, insieme agli ossidi di azoto costituiscono i "precursori" dell'ozono troposferico.

La loro origine è associata alla diffusione dei veicoli a combustione interna. Derivano sia da fenomeni di evaporazione del combustibile (vani motore e serbatoi, stoccaggio e movimentazione di prodotti petroliferi) che dai processi incompleti di combustione. Una parte di idrocarburi sono associabili a diverse attività industriali (produzione ed utilizzo di vernici e solventi, lavorazione materie plastiche, fonderie, acciaierie, ...). Per le emissioni di IPA non sono da trascurare le combustioni di biomasse.

Il benzene è un idrocarburo aromatico che si presenta come un liquido incolore, volatile, infiammabile, ha un caratteristico odore dolciastro, un sapore bruciante ed è insolubile in acqua. È largamente usato come solvente di molte sostanze organiche, come materia prima per la produzione di alcuni importanti composti usati nella preparazione di materie plastiche, detergenti, fibre tessili, coloranti ecc. Il contenuto di Benzene nelle benzine è inferiore all'1%.

Il Toluene è un idrocarburo aromatico, a temperatura ambiente è un liquido infiammabile, incolore, di odore simile a quello del Benzene; presente nei petroli, nei catrami di carbone fossile, nei prodotti di distillazione di varie resine. Il toluene si addiziona alle benzine per le sue qualità antidetonanti; si usa inoltre come solvente di lacche, di resine, come materia prima per diversi prodotti.

## Il particolato atmosferico aerodisperso

Il particolato atmosferico è costituito da una miscela di particelle allo stato solido o liquido, esclusa l'acqua, presenti in sospensione nell'aria per tempi sufficientemente lunghi da subire fenomeni di diffusione e trasporto. Tali particelle possono avere diverse caratteristiche chimico-fisiche e diverse dimensioni. Esse possono essere di origine primaria, cioè emesse direttamente in atmosfera da processi naturali o antropici, o secondaria, cioè formate in atmosfera a seguito di reazioni chimiche e fisiche. Le principali sorgenti naturali sono l'erosione e il successivo risollevarsi di polvere del suolo, incendi, pollini, spray marino, eruzioni vulcaniche; le sorgenti antropiche si possono ricondurre principalmente a processi di combustione (traffico autoveicolare, uso di combustibili, emissioni industriali); non vanno tuttavia trascurati i fenomeni di risospensione causati dalla circolazione dei veicoli, le attività di cantiere e alcune attività agricole.

La composizione delle particelle aerodisperse può essere molto varia, infatti si ha la presenza di particelle organiche primarie di vario tipo, particelle minerali cristalline, particelle metalliche, particelle biologiche; in atmosfera, a partire da precursori e inquinanti gassosi si ha la formazione di particelle secondarie, sia organiche che inorganiche. Anche il destino delle particelle in atmosfera è molto vario, in relazione alla loro dimensione e composizione, tuttavia il fenomeno di deposizione secca e umida è quello principale per la rimozione delle polveri aerodisperse.

Partendo dalla definizione di particella, ovvero un aggregato di molecole, anche eterogenee, in grado di mantenere le proprie caratteristiche fisiche e chimiche per un tempo sufficientemente lungo da poterle osservare e tale da consentire alle stesse di partecipare a processi fisici e/o chimici come entità a sé stanti, va sottolineato che esse possono avere dimensioni che variano anche di 5 ordini di grandezza (da 10 nm a 100 µm), così come forme diverse e per lo più irregolari. Al fine di valutare l'impatto del particolato sulla salute umana, è quindi necessario individuare uno o più sottoinsiemi di particelle che, in base alla loro dimensione, abbiano maggiore capacità di penetrazione nelle prime vie respiratorie (naso, faringe, laringe) piuttosto che nelle parti più profonde dell'apparato respiratorio (trachea, bronchi, alveoli polmonari). Per poter procedere alla classificazione in relazione alla dimensione è stato quindi necessario definire un diametro aerodinamico equivalente, ovvero il

diametro di una particella sferica di densità unitaria che ha le stesse caratteristiche aerodinamiche (velocità di sedimentazione) della particella in esame.

Fatte le dovute premesse, considerata la normativa tecnica europea (UNI EN12341/2014), si definisce PM10 la frazione di particelle raccolte con strumentazione avente efficienza di selezione e raccolta stabilita dalla norma e pari al 50% a 10 µm (diametro aerodinamico). In modo del tutto analogo viene definito il PM2.5 (UNI EN12341/2014).

In Tabella 1 sono riassunte, per i principali inquinanti atmosferici misurati, le principali sorgenti di emissione.

Sorgenti emissive dei principali inquinanti misurati con il Laboratorio Mobile	
Inquinanti	Principali sorgenti di emissione
Monossido di carbonio* CO	Traffico autoveicolare (processi di combustione incompleta dei combustibili fossili)
Biossido di Azoto*/** NO <sub>2</sub>	Impianti di riscaldamento, traffico autoveicolare (in particolare quello pesante), centrali di potenza, attività industriali (processi di combustione per la sintesi dell'ossigeno e dell'azoto atmosferici)
Ozono** O <sub>3</sub>	Non ci sono significative sorgenti di emissione antropiche in atmosfera
Particolato Fine*/** PM10 – PM2.5	È prodotto principalmente da combustioni e per azioni meccaniche (erosione, attrito, ecc.) ma anche per processi chimico-fisici che avvengono in atmosfera a partire da precursori anche in fase gassosa.
Idrocarburi non metanici*/** IPA*, Benzene*	Traffico autoveicolare (processi di combustione incompleta, in particolare di combustibili derivati dal petrolio), evaporazione dei carburanti, processi industriali, combustioni di biomasse.

\* = Inquinante Primario (generato da emissioni dirette in atmosfera dovute a fonti naturali e/o antropogeniche)

\*\* = Inquinante Secondario (prodotto in atmosfera attraverso reazioni chimiche)

Tabella 1 - Sorgenti emissive dei principali inquinanti misurati con il Laboratorio Mobile

## Normativa

Il Decreto Legislativo n. 155 del 13/08/2010 recepisce la Direttiva Europea 2008/50/CE e abroga la normativa precedente riguardo i principali inquinanti atmosferici (D.P.C.M. 28/03/83, D.P.R. 203/88, D.M. 25/11/94, D.M. 60/02, D.lgs. 183/04) istituendo un quadro normativo unitario in materia di valutazione e gestione della qualità dell'aria. Al fine di salvaguardare la salute umana e l'ambiente, stabilisce limiti di concentrazione, a lungo e a breve termine, a cui attenersi.

Per valore limite si intende il livello di un inquinante, ovvero la concentrazione, fissato in base alle conoscenze scientifiche al fine di evitare, prevenire o ridurre gli effetti nocivi per la salute umana o per l'ambiente nel suo complesso e che non deve essere superato.

Il valore obiettivo è il livello fissato per evitare, prevenire o ridurre gli effetti nocivi per la salute umana o per l'ambiente nel suo complesso da conseguire, ove possibile, entro una data prestabilita.

Per livello critico si intende il livello ovvero la concentrazione di un inquinante oltre il quale possono sussistere effetti negativi diretti sui recettori quali gli alberi, le altre piante o gli ecosistemi ambientali esclusi gli esseri umani.

La soglia di allarme e la soglia di informazione sono le concentrazioni dell'inquinante oltre le quali sussiste un rischio per la salute umana in caso di esposizione di breve durata rispettivamente per la popolazione nel suo complesso e per alcuni gruppi particolarmente sensibili della popolazione.



La Tabella 2 riassume i limiti previsti dalla normativa per i diversi inquinanti considerati. Dalla tabella risulta che, per alcuni inquinanti, con campagne di breve durata non è possibile esprimersi formalmente sul superamento di valori limite. Tuttavia, il confronto tra quanto rilevato nella campagna e quanto misurato con continuità da anni nelle diverse stazioni fisse della RRQA consente di valutare le differenze tra i siti e quindi la probabilità di superamento anche dei valori limiti annuali.

Monossido di Carbonio	Valore Limite (mg/m <sup>3</sup> )	Periodo di media
	<i>Valore limite protezione salute mana</i>	<b>10</b> 8 ore
Biossido di Azoto	Valore Limite (µg/m <sup>3</sup> )	Periodo di media
	<i>Valore limite protezione salute umana (da non superare più di 18 volte per anno civile)</i>	<b>200</b> 1 ora
	<i>Valore limite protezione salute umana</i>	<b>40</b> Anno civile
	<i>Soglia di allarme</i>	<b>400</b> 1 ora (rilevati su 3 ore consecutive)
Ossidi di Azoto	Valore Limite (µg/m <sup>3</sup> )	Periodo di media
	<i>Livello critico protezione vegetazione</i>	<b>30</b> Anno civile
Ozono	Valore Limite (µg/m <sup>3</sup> )	Periodo di media
	<i>Valore obiettivo protezione salute umana (per massima media mobile giornaliera da non superare più di 25 volte per anno civile come media su tre anni)</i>	<b>120</b> 8 ore
	<i>Valore obiettivo protezione della vegetazione</i>	<b>18000</b> AOT40* (mag-lug) su 5 anni
	<i>Soglia di informazione</i>	<b>180</b> 1 ora
	<i>Soglia di allarme</i>	<b>240</b> 1 ora
Particolato Fine PM <sub>10</sub>	Valore Limite (µg/m <sup>3</sup> )	Periodo di media
	<i>Valore limite protezione salute umana (da non superare più di 35 volte per anno civile)</i>	<b>50</b> 24 ore
	<i>Valore limite protezione salute umana</i>	<b>40</b> Anno civile
Idrocarburi non Metanici	Valore Limite (µg/m <sup>3</sup> )	Periodo di media
<b>Benzene</b>	<i>Valore limite</i>	<b>5</b> Anno civile

\* per AOT40 (1) si intende la somma della differenza tra le concentrazioni orarie superiori a 80 µg/m<sup>3</sup> e 80 µg/m<sup>3</sup> in un dato periodo di tempo, utilizzando solo i valori orari rilevati ogni giorno tra le 8:00 e le 20:00. Il dato presentato è stimato sulla base di un rendimento teorico del 100 a partire dall'AOT40 misurato, rinormalizzato al periodo di effettivo funzionamento secondo quanto previsto dall'Allegato VII punto 1 del D.Lgs. 155/2010. Si considerano solo le stazioni sub-urbane (fondo)/rurali/rurali di fondo

Tabella 2 – Valori limite, soglia di allarme e livello critico degli inquinanti esaminati secondo il D.Lgs. 155/10

## Campagna di misura

La scelta del sito di misura all'interno del territorio comunale viene fatta cercando di rispettare determinati criteri. Prima di tutto bisogna considerare lo scopo della campagna che si deve effettuare, cioè quali inquinanti e sorgenti si intendono monitorare e quali sono i recettori da considerare. Individuata la zona, si deve verificare quali posizioni rispondono alle necessità dettate dalla normativa (Allegato III del D. Lgs. 155/10 riguardo all'ubicazione delle stazioni di misura) e dalla logistica (spazi e alimentazione per gli strumenti, accessibilità, etc.).

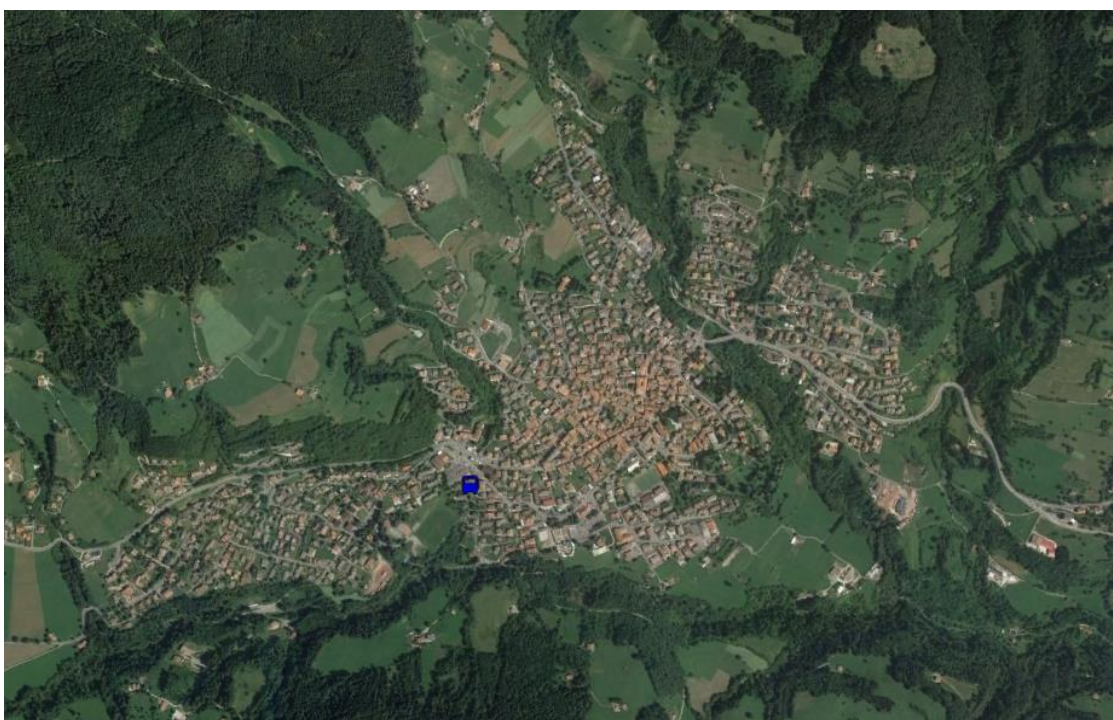
In particolare, per quanto riguarda l'ubicazione del punto di monitoraggio su microscala, la normativa stabilisce che:

- l'ingresso della sonda di prelievo deve essere libero da qualsiasi ostruzione per un angolo di almeno 270° e il campionatore deve essere posto a una distanza di alcuni metri rispetto edifici, balconi, alberi e altri ostacoli;
- il punto di ingresso della sonda di prelievo deve essere collocato ad un'altezza compresa tra 1.5 e 4 m sopra il livello del suolo;
- il punto di ingresso della sonda non deve essere posizionato nelle immediate vicinanze di fonti di emissione al fine di evitare l'aspirazione diretta di emissioni non disperse nell'aria ambiente;
- nelle stazioni di misurazione da traffico la localizzazione del punto prelievo deve avvenire ad almeno 4 m di distanza dal centro della corsia di traffico più vicina, a non oltre 10 m dal bordo stradale e ad almeno 25 m di distanza dal limite dei grandi incroci.

Infine, è importante che il luogo individuato rispetti tutte le norme di sicurezza, sia per le persone che per gli strumenti. Tenuto conto di quanto detto, in accordo con i Comuni di Borno ed Angolo Terme, e con la collaborazione della Comunità Montana, i laboratori mobili sono stati posizionati presso il parcheggio in fregio a via San Silvestro ad Angolo Terme, alt. 436 m.slm. e presso il parcheggio in fregio a via Raseghe a Borno, alt. 890 m.slm..



*Figura 1 - Sito individuato per il posizionamento del laboratorio mobile nel comune di Angolo Terme.*



*Figura 2 – Sito individuato per il posizionamento del laboratorio mobile nel comune di Borno.*

## Emissioni sul territorio

Per la stima delle principali sorgenti emissive è stato utilizzato l'inventario regionale delle emissioni INEMAR (INventario EMissioni ARia), nella sua versione più recente "Emissioni in Lombardia nel 2019". L'inventario INEMAR, seguendo le impostazioni derivanti dalle esperienze nazionali e internazionali, è realizzato in base alle informazioni bibliografiche e tramite la partecipazione ai gruppi di coordinamento nazionali e internazionali. Le stime delle emissioni in atmosfera sono tipicamente soggette a grandi incertezze, dovute a numerose cause distribuite lungo tutta la procedura di stima. In particolare, un inventario regionale, per sua natura, non può considerare tutte le specificità locali e può soffrire di una incompleta qualità delle informazioni statistiche disponibili, inoltre, il soggetto delle emissioni è in continuo "movimento", cioè in trasformazione.

L'inventario INEMAR fornisce dunque una "fotografia" delle emissioni e va considerato come un "database anagrafico" delle sorgenti presenti sul territorio con relativa stima delle quantità emesse. Tuttavia, non può essere utilizzato come un puro e unico indicatore della qualità dell'aria di una specifica zona, in quanto non può tenere conto dell'interazione che le sostanze emesse possono avere con l'atmosfera, la meteorologia o l'orografia del territorio. In particolare, il vento, la pioggia, etc. trasportano, disperdono o depositano gli inquinanti emessi alla fonte in tutto il territorio circostante, così che la qualità dell'aria dipende non solo dalle sorgenti locali ma dall'insieme degli inquinanti emessi in tutto il bacino territoriale e dalle loro interazioni.

Nell'ambito di tale inventario la suddivisione delle sorgenti avviene per attività emissive. La classificazione utilizzata fa riferimento ai macrosettori definiti secondo la metodologia CORINAIR (CORe INventory of AIR emissions) dell'Agenzia Europea per l'Ambiente:

- Produzione energia e trasformazione combustibili
- Combustione non industriale
- Combustione nell'industria
- Processi produttivi
- Estrazione e distribuzione combustibili
- Uso di solventi
- Trasporto su strada
- Altre sorgenti mobili e macchinari
- Trattamento e smaltimento rifiuti
- Agricoltura
- Altre sorgenti e assorbimenti

Maggiori informazioni e una descrizione più dettagliata in merito all'inventario regionale sono disponibili sul sito web <http://www.inemar.eu/xwiki/bin/view/Inemar/WebHome>.

Nel presente testo, con i dati di INEMAR è stato possibile definire per i comuni di Angolo Terme e Borno i contributi dei singoli macrosettori alle emissioni in atmosfera degli inquinanti di interesse per questa campagna di monitoraggio:

- Ossidi di azoto (NOx)
- Composti organici volatili (COV)
- Monossido di carbonio (CO)
- Precursori Ozono
- Particolato atmosferico (PM10)

Per contestualizzare le emissioni nel comune, in Tabella 3 Tabella 3e Tabella 4 e sono riportate per ciascun inquinante, in termini percentuali, le stime delle principali sorgenti emissive nei comuni di Angolo Terme e Borno, in provincia di Brescia ed in Regione Lombardia. Le quantità assolute delle emissioni sui medesimi territori sono riportate per completezza in Allegato 1.

Comune di Angolo Terme	NOx	COV	CO	PM10	Precurs. O <sub>3</sub>
	%	%	%	%	%
<b>Prod. energia e trasformaz. combustibili</b>	0	0	0	0	0
<b>Combustione non industriale</b>	29	2	83	88	5
<b>Combustione nell'industria</b>	2	< 0.1	0.1	0.1	0.1
<b>Processi produttivi</b>	0	0.2	0	< 0.1	0.2
<b>Estrazione e distribuzione combustibili</b>	0	0.4	0	0	0.4
<b>Uso di solventi</b>	0	4	0	1	4
<b>Trasporto su strada</b>	21	1	13	4	2
<b>Altre sorgenti mobili e macchinari</b>	48	0.2	4	5	3
<b>Trattamento e smaltimento rifiuti</b>	< 0.1	< 0.1	< 0.1	< 0.1	< 0.1
<b>Agricoltura</b>	< 0.1	2	0	0.2	2
<b>Altre sorgenti e assorbimenti</b>	< 0.1	91	0.3	2	85
<b>Carico emissivo totale (t/anno)</b>	<b>13</b>	<b>289</b>	<b>53</b>	<b>6</b>	<b>311</b>

Tabella 3 - Stima delle emissioni percentuali annue per ciascun inquinante nel comune di Angolo Terme.

Comune di Borno	NOx	COV	CO	PM10	Precurs. O <sub>3</sub>
	%	%	%	%	%
<b>Prod. energia e trasformaz. combustibili</b>	0	0	0	0	0
<b>Combustione non industriale</b>	12	3	79	77	8
<b>Combustione nell'industria</b>	1	0.3	0.3	2	0.4
<b>Processi produttivi</b>	0	0.3	0	< 0.1	0.2
<b>Estrazione e distribuzione combustibili</b>	0	1	0	0	1
<b>Uso di solventi</b>	0	8	0	1	6
<b>Trasporto su strada</b>	6	1	8	2	2
<b>Altre sorgenti mobili e macchinari</b>	82	2	13	17	18
<b>Trattamento e smaltimento rifiuti</b>	< 0.1	< 0.1	< 0.1	< 0.1	< 0.1
<b>Agricoltura</b>	< 0.1	4	0	0.4	4
<b>Altre sorgenti e assorbimenti</b>	< 0.1	81	0.2	1	62
<b>Carico emissivo totale (t/anno)</b>	<b>50</b>	<b>243</b>	<b>105</b>	<b>13</b>	<b>316</b>

Tabella 4 - Stima delle emissioni percentuali annue per ciascun inquinante nel comune di Borno.

Provincia di Brescia	NOx	COV	CO	PM10	Precurs. O <sub>3</sub>
	%	%	%	%	%
Produtz. energia e trasformaz. combustibili	2	< 0.1	0.5	1	1
Combustione non industriale	10	3	33	48	6
Combustione nell'industria	19	1	9	7	6
Processi produttivi	6	4	31	5	6
Estrazione e distribuzione combustibili	0	2	0	0	2
Uso di solventi	< 0.1	24	< 0.1	4	16
Trasporto su strada	45	3	22	17	15
Altre sorgenti mobili e macchinari	16	1	2	5	5
Trattamento e smaltimento rifiuti	2	< 0.1	0.2	0.1	1
Agricoltura	0.3	25	0	9	18
Altre sorgenti e assorbimenti	0.2	38	2	4	26
<b>Carico emissivo totale (t/anno)</b>	<b>14789</b>	<b>44777</b>	<b>31912</b>	<b>2646</b>	<b>67628</b>

Regione Lombardia	NOx	COV	CO	PM10	Precurs. O <sub>3</sub>
	%	%	%	%	%
Produtz. energia e trasformaz. combustibili	8	0.3	3	1	3
Combustione non industriale	10	3	31	42	6
Combustione nell'industria	17	1	7	8	6
Processi produttivi	2	4	19	4	4
Estrazione e distribuzione combustibili	0	3	0	0	2
Uso di solventi	< 0.1	33	< 0.1	5	21
Trasporto su strada	47	4	31	22	18
Altre sorgenti mobili e macchinari	13	1	3	4	4
Trattamento e smaltimento rifiuti	3	0.3	1	0.3	1
Agricoltura	1	25	1	7	17
Altre sorgenti e assorbimenti	0.2	26	3	6	17
<b>Carico emissivo totale (t/anno)</b>	<b>99234</b>	<b>247628</b>	<b>162022</b>	<b>14496</b>	<b>391310</b>

Tabella 5 - Stima delle emissioni percentuali annue per ciascun inquinante in Provincia di Brescia e in Regione Lombardia.

Gli stessi dati sono rappresentati graficamente in Figura 3 e Figura 4 mostrando un confronto più chiaro tra le componenti emissive nei comuni di Angolo Terme e Borno, nella provincia di Brescia e in Regione Lombardia.

Dai grafici emerge come, a livello comunale, la ripartizione dei contributi dai differenti macrosettori differisca da quelle di Provincia di Brescia e Regione Lombardia.

In particolare, assume rilevanza a livello comunale l'utilizzo di legna per riscaldamento, per gli inquinanti tipici da combustione. In particolare, per il PM10, l'inventario stima un contributo superiore al 75% dal macrosettore della combustione domestica.

Relativamente alle emissioni di NOx assumono rilevanza le emissioni dovute all'utilizzo di sorgenti mobili non stradali, in particolare nel Comune di Borno.

La mancanza di sorgenti specifiche determina, a livello comunale, la rilevanza delle sorgenti naturali per COV e precursori dell'ozono, questo in particolare nel Comune di Angolo Terme.

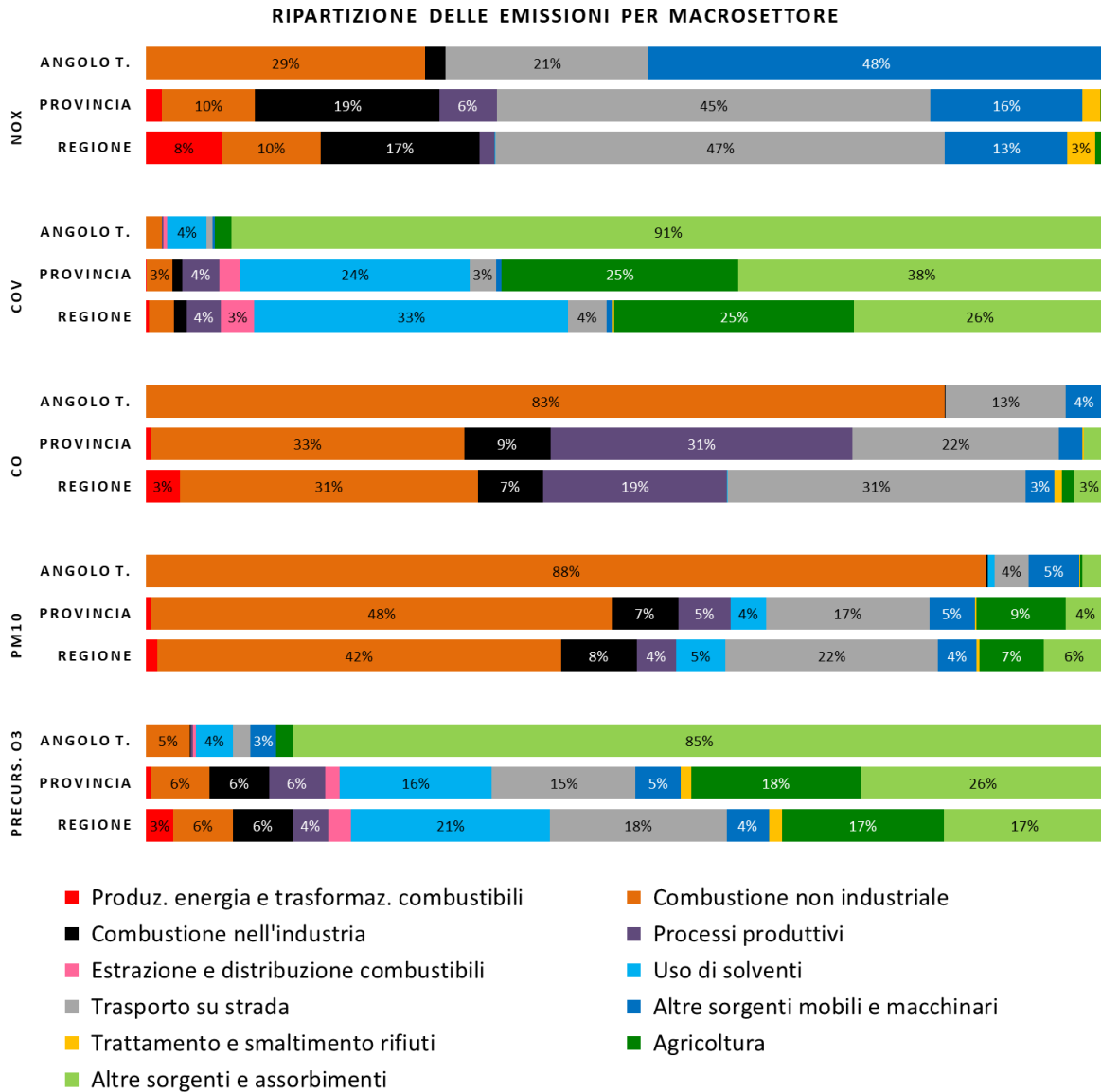


Figura 3 - Distribuzione percentuale delle emissioni nel comune di Angolo Terme confrontate con Provincia di Brescia e Regione.

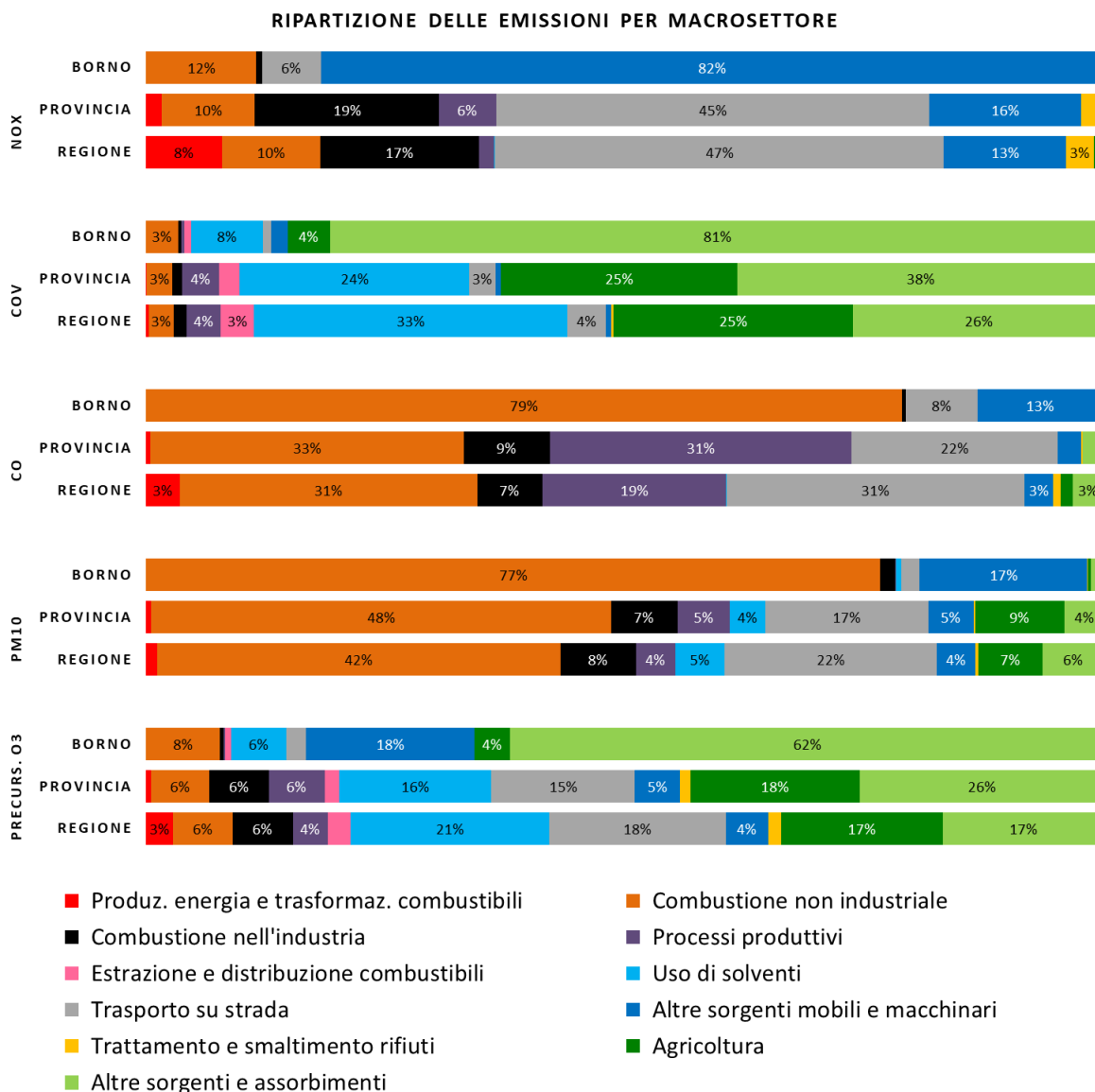


Figura 4 - Distribuzione percentuale delle emissioni nel comune di Borno confrontate con Provincia di Brescia e Regione.

Dall’Inventario è possibile anche calcolare la ripartizione del carico emissivo per ogni inquinante in relazione al tipo di combustibile (Tabella 6 e Tabella 7). Gli stessi dati sono riportati in forma grafica in Figura 5 e Figura 6.

La ripartizione delle emissioni per combustibile conferma la rilevanza a livello comunale della combustione di legna, in particolare per le emissioni di particolato primario e di monossido di carbonio.



Comune di Angolo Terme	NOx	COV	CO	PM10	Precurs. O <sub>3</sub>
	%	%	%	%	%
Altro combustibile	< 0.1	< 0.1	< 0.1	< 0.1	< 0.1
Benzina	2	1	11	0.2	1
Carbone	0	0	0	0	0
Diesel	66	0.2	5	6	4
GPL	2	< 0.1	1	< 0.1	0.1
Gas di raffineria	0	0	0	0	0
Gasolio	1	< 0.1	< 0.1	0.2	< 0.1
Kerosene	0	0	0	0	0
Legna e similari	12	2	81	87	4
Metano	17	< 0.1	3	0.2	1
Olio combustibile	< 0.1	< 0.1	< 0.1	< 0.1	< 0.1
Senza combustibile	< 0.1	98	0.3	6	91
<b>Carico emissivo totale (t/anno)</b>	<b>13</b>	<b>289</b>	<b>53</b>	<b>6</b>	<b>311</b>

Comune di Borno	NOx	COV	CO	PM10	Precurs. O <sub>3</sub>
	%	%	%	%	%
Altro combustibile	< 0.1	< 0.1	< 0.1	< 0.1	< 0.1
Benzina	1	1	6	0.1	1
Carbone	0	0	0	0	0
Diesel	87	2	13	18	19
GPL	0.3	< 0.1	1	< 0.1	< 0.1
Gas di raffineria	0	0	0	0	0
Gasolio	1	< 0.1	< 0.1	0.2	0.1
Kerosene	0	0	0	0	0
Legna e similari	6	4	77	78	7
Metano	6	0.2	2	0.1	1
Olio combustibile	< 0.1	< 0.1	< 0.1	< 0.1	< 0.1
Senza combustibile	< 0.1	94	0.2	4	72
<b>Carico emissivo totale (t/anno)</b>	<b>50</b>	<b>243</b>	<b>105</b>	<b>13</b>	<b>316</b>

Provincia di Brescia	NOx	COV	CO	PM10	Precurs. O <sub>3</sub>
	%	%	%	%	%
Altro combustibile	2	< 0.1	0.5	< 0.1	1
Benzina	3	2	16	0.5	3
Carbone	0.4	0.1	1	< 0.1	0.3
Diesel	58	1	6	10	16
GPL	1	< 0.1	2	< 0.1	0.3
Gas di raffineria	0	0	0	0	0
Gasolio	0.3	< 0.1	< 0.1	0.2	< 0.1
Kerosene	< 0.1	< 0.1	< 0.1	< 0.1	< 0.1
Legna e similari	4	3	31	50	5
Metano	18	1	4	1	5
Olio combustibile	< 0.1	< 0.1	< 0.1	< 0.1	< 0.1
Senza combustibile	13	93	40	38	69

<b>Carico emissivo totale (t/anno)</b>	<b>14789</b>	<b>44777</b>	<b>31912</b>	<b>2646</b>	<b>67628</b>
----------------------------------------	--------------	--------------	--------------	-------------	--------------

Tabella 6 - Stima delle emissioni percentuali annue per ciascun inquinante a Borno, Angolo Terme e in Provincia di Brescia.

Regione Lombardia	NOx	COV	CO	PM10	Precurs. O <sub>3</sub>
	%	%	%	%	%
Altro combustibile	5	0.3	2	0.3	2
Benzina	3	3	24	1	4
Carbone	3	< 0.1	1	< 0.1	1
Diesel	54	1	7	10	18
GPL	1	0.1	2	< 0.1	0.3
Gas di raffineria	2	< 0.1	0.2	0.3	1
Gasolio	0.4	< 0.1	< 0.1	0.3	0.1
Kerosene	2	< 0.1	1	0.1	1
Legna e similari	4	3	28	46	4
Metano	22	1	8	2	8
Olio combustibile	0.2	< 0.1	< 0.1	0.1	< 0.1
Senza combustibile	5	91	27	40	62
<b>Carico emissivo totale (t/anno)</b>	<b>99234</b>	<b>247628</b>	<b>162022</b>	<b>14496</b>	<b>391310</b>

Tabella 7 – Stima delle emissioni percentuali annue per ciascun inquinante in Regione Lombardia.

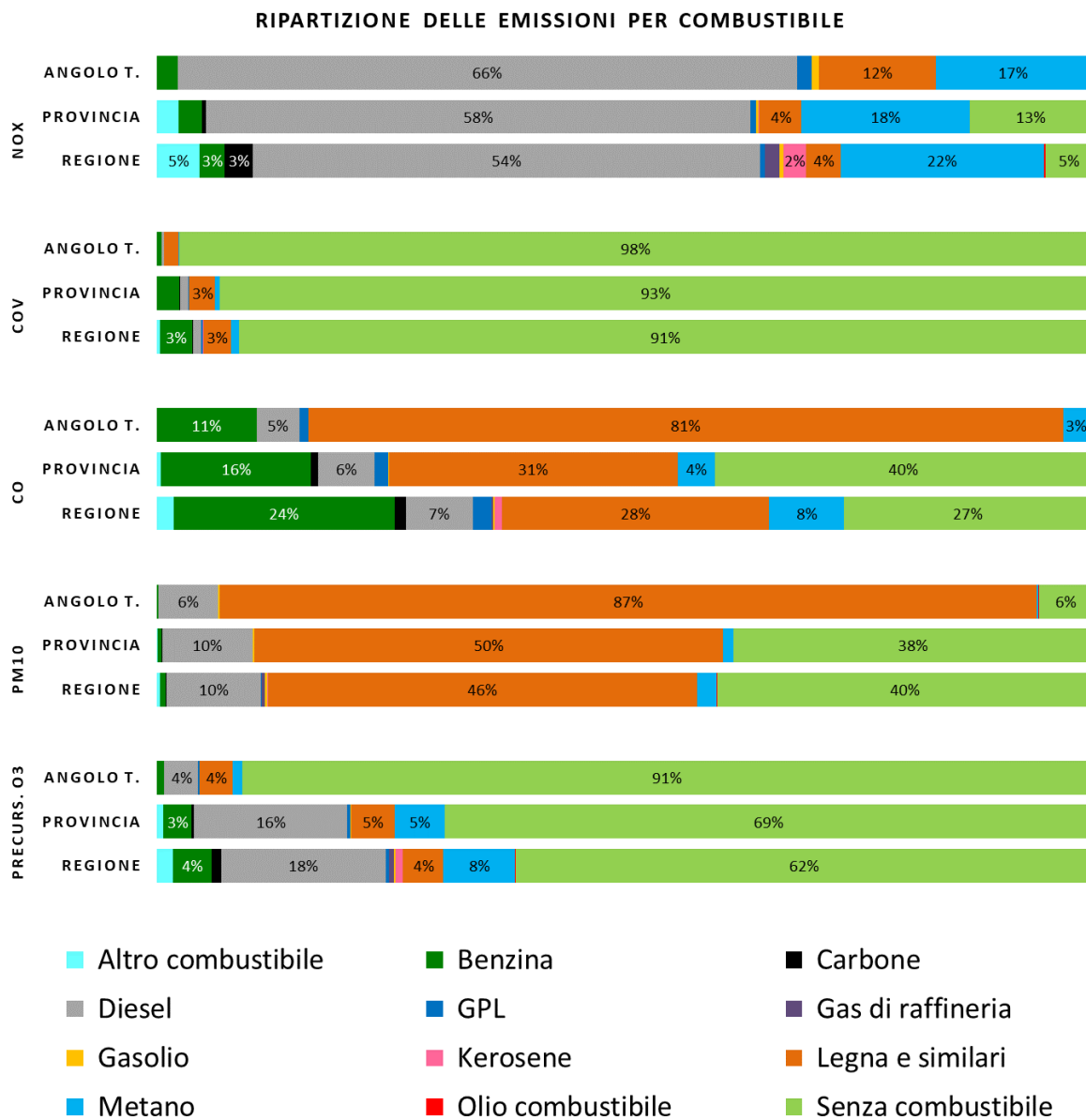


Figura 5 - Distribuzione percentuale delle emissioni, per combustibile, nel comune di Angolo Terme confrontate con Provincia di Brescia e Regione Lombardia.

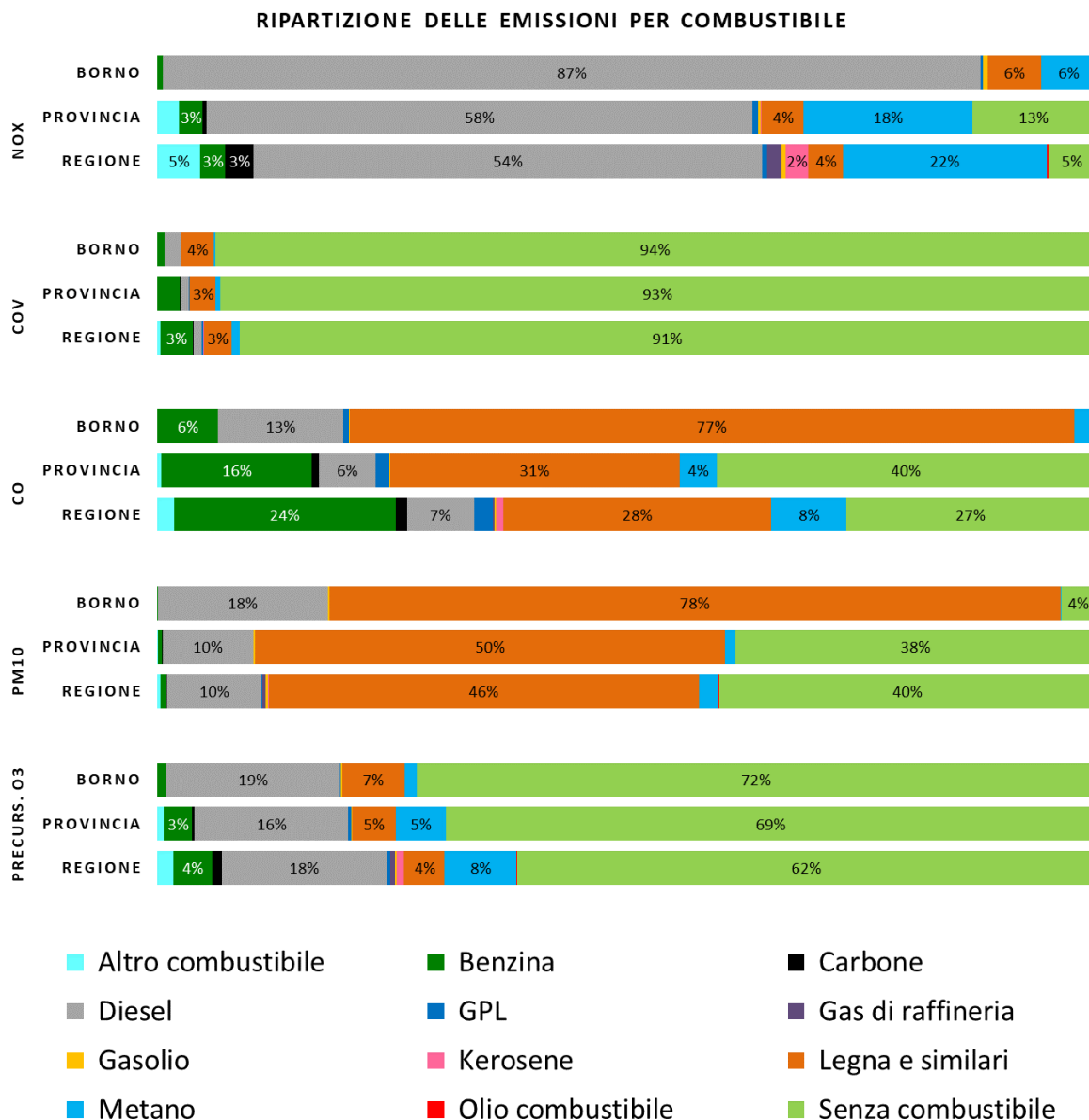


Figura 6 - Distribuzione percentuale delle emissioni, per combustibile, nel comune di Borno confrontate con Provincia di Brescia e Regione Lombardia.

È fondamentale sottolineare che le stime attribuite dall'inventario INEMAR non sono sufficienti per fornire indicazioni complete sulla qualità dell'aria: le sostanze prodotte dalle varie sorgenti non rimangono trattenute all'interno dei confini comunali ma subiscono fenomeni di trasporto e dispersione a opera dei vari agenti atmosferici; inoltre, i contributi sin qui descritti sono relativi alle sole componenti primarie, ovvero immesse direttamente in atmosfera, mentre non è quantificato il contributo delle componenti secondarie che traggono origine da reazioni chimiche in atmosfera.

## Andamento inquinanti nel periodo di misura

Come descritto nel capitolo Normativa (vedi Tabella 2) il D. Lgs. 155 del 13 agosto 2010 stabilisce per NO<sub>2</sub>, CO, O<sub>3</sub>, Benzene e PM10 i valori limite per la protezione della salute umana e, allo stesso tempo, fissa soglie di informazione e di allarme, nonché valori obiettivo. I livelli di concentrazione degli inquinanti elencati sono qui confrontati con i rispettivi limiti. La strumentazione presente sul Laboratorio Mobile ha permesso il monitoraggio a cadenza oraria degli inquinanti gassosi, quali monossido di carbonio (CO), ossidi di azoto (NO e NO<sub>2</sub>), ozono (O<sub>3</sub>), Benzene (C<sub>6</sub>H<sub>6</sub>) e Toluene (C<sub>7</sub>H<sub>8</sub>), oltre alla misura giornaliera del particolato (PM10).

Poiché, come già evidenziato, i livelli di concentrazione degli inquinanti in atmosfera dipendono fortemente dalle condizioni meteorologiche verificatesi e dalle differenti sorgenti emissive durante il periodo di misura, è importante confrontare i dati misurati con quelli rilevati nello stesso periodo dalle stazioni fisse della RRQA afferenti al Piano di Valutazione (PdV), cioè quel programma previsto dal D.Lgs. 155/2010 (art.5), per la misura della qualità dell'aria con stazioni fisse, individuate nel rispetto dei canoni di rappresentatività ed efficienza.

Alcuni fenomeni chimico-fisici che avvengono in atmosfera influenzano i livelli di concentrazioni degli inquinanti nella stessa. Generalmente, un maggior irraggiamento solare, tipico dei periodi estivi, produce un maggior riscaldamento della superficie terrestre e il successivo rilascio di energia alla massa d'aria a diretto contatto con il suolo; conseguentemente l'aumento della temperatura dell'aria innesca moti convettivi che innalzano lo strato rimescolato e quindi il volume a disposizione per la diffusione delle sostanze immesse in atmosfera. Viceversa, condizioni di minor irraggiamento portano a una forte stabilità dell'aria e allo schiacciamento verso il suolo dello strato rimescolato, il quale funge da trappola per le sostanze in esso presenti, favorendo così l'accumulo degli inquinanti e l'aumento delle loro concentrazioni.

Il fenomeno appena illustrato è una delle cause per cui le concentrazioni degli inquinanti misurate nel periodo invernale sono mediamente maggiori rispetto a quelle del periodo estivo. L'unica eccezione è rappresentata dall'ozono che, avendo origine da reazioni chimiche favorite dalle alte temperature e dalla radiazione solare, presenta valori estivi maggiori di quelli invernali.

L'evoluzione temporale dei diversi inquinanti monitorati è rappresentata con l'utilizzo di grafici relativi a:

- concentrazioni medie orarie: evoluzione oraria dell'inquinante nel periodo di misura;
- concentrazioni medie su otto ore: ogni valore è ottenuto come media tra l'ora "x" e le 7 ore precedenti l'ora "x";
- concentrazioni medie giornaliere: evoluzione giornaliera dell'inquinante ottenuta mediando i valori delle concentrazioni dalle ore 00.00 alle ore 24.00;
- giorno tipo: evoluzione media delle concentrazioni medie orarie nell'arco delle 24 ore.

Per "giorno tipo" si intende l'andamento delle concentrazioni medie orarie mediato su tutti i giorni feriali (o su tutti i giorni festivi) del periodo in questione. I giorni feriali e festivi sono stati considerati separatamente nel calcolo del giorno tipo per mettere in evidenza le eventuali diverse caratteristiche emissive, legate al traffico o alle attività produttive. In generale, va sottolineato che la maggiore

irregolarità presentata dalle curve relative ai giorni festivi, rispetto a quella dei feriali, è dovuta al più esiguo numero di ore di misura corrispondenti a questa tipologia di giornate, rendendo di fatto la loro statistica meno rappresentativa.

Si fa inoltre presente che l'ora a cui sono associati i dati si riferisce sempre all'ora solare.

Nei grafici seguenti è indicata con "25°-75° percentile RRQA" l'area del grafico compresa tra il 25° percentile e il 75° percentile delle concentrazioni degli inquinanti registrate ogni giorno dalle centraline fisse di rilevamento della qualità dell'aria lombarde. In altre parole, in quest'area ricade la porzione centrale dei valori rilevati (50%) nelle stazioni presenti in Lombardia. La linea tratteggiata "Mediana RRQA", invece, è la mediana delle concentrazioni giornaliere di inquinante misurate su tutte le postazioni fisse della rete di monitoraggio regionale (ovvero il valore al di sotto del quale si trova la metà dell'insieme di tutti i valori misurati).

Per gli inquinanti, quali NO<sub>2</sub> e PM<sub>10</sub>, per i quali il D.Lgs. 155/2010 fissa un valore limite sulla media annuale o sul numero di superamenti possibili, avendo a disposizione dati solo per un periodo limitato di tempo, si è proceduto comunque a stimare il rispetto dei limiti annuali.

I dati rilevati nei periodi della campagna possono essere messi in relazione con quelli raccolti presso i siti della RRQA della regione Lombardia afferenti al PdV durante un anno completo, o comunque un periodo di 365 giorni consecutivi, e ne viene costruita la retta di interpolazione. Il coefficiente di determinazione R<sup>2</sup> dà indicazione se la correlazione trovata possa ritenersi casuale o effettiva; nel caso di correlazione lineare significativa è possibile stimare la concentrazione media annua e/o il numero di superamenti nel sito in esame durante il periodo preso a riferimento. Di tutte le stazioni, sono considerate nei calcoli, come previsto dal D.Lgs. 155/2010, quelle con un numero di dati validi pari al 90% sia durante l'anno che nei due periodi in esame.

In Allegato 4 sono riportati i valori di concentrazione degli inquinanti gassosi rilevati su base oraria, mentre in Allegato 5 sono riportati i valori di concentrazione media giornaliera di PM<sub>10</sub> monitorati nel corso della campagna.

## Monossido di carbonio (CO)

La concentrazione media del CO misurata ad Angolo Terme e a Borno, in periodo estivo, è stata di 0.2 mg/m<sup>3</sup> ad Angolo Terme e 0.3 mg/m<sup>3</sup> a Borno mentre in periodo invernale, è risultata pari a 0.5 mg/m<sup>3</sup>, con un massimo valore giornaliero di 1.2 mg/m<sup>3</sup> ad Angolo Terme e di 0.7 mg/m<sup>3</sup> a Borno e con un massimo orario di 1.8 mg/m<sup>3</sup> ad Angolo Terme e 1.2 mg/m<sup>3</sup> a Borno;.

In Figura 7 i valori medi giornalieri misurati ad Angolo Terme e a Borno sono confrontati con quelli della RRQA della Lombardia: emerge che tanto in periodo estivo quanto in periodo invernale, le concentrazioni di questo inquinante misurate presso i siti indagati si pongono attorno al 25° percentile dei valori misurati dalla RRQA lombarda.

La normativa prevede per il monossido di carbonio un valore limite, per la protezione della salute umana, di 10 mg/m<sup>3</sup> sulla concentrazione media di 8 ore. In Figura 8 sono riportate le concentrazioni

calcolate come media mobile sulle 8 ore<sup>1</sup> per i siti di Angolo Terme e Borno confrontate con quelle misurate nella RRQA della regione Lombardia. Il confronto col valore limite ne evidenzia il largo rispetto in entrambi i periodi di misura.

Occorre sottolineare che i valori ambientali di CO, anche in prossimità delle sorgenti di emissione, sono ormai ovunque ben al di sotto dei limiti di legge, soprattutto grazie al progressivo miglioramento della tecnologia dei motori a combustione. Le concentrazioni di monossido di carbonio, di fatto, non costituiscono più un rilevante problema di inquinamento atmosferico.

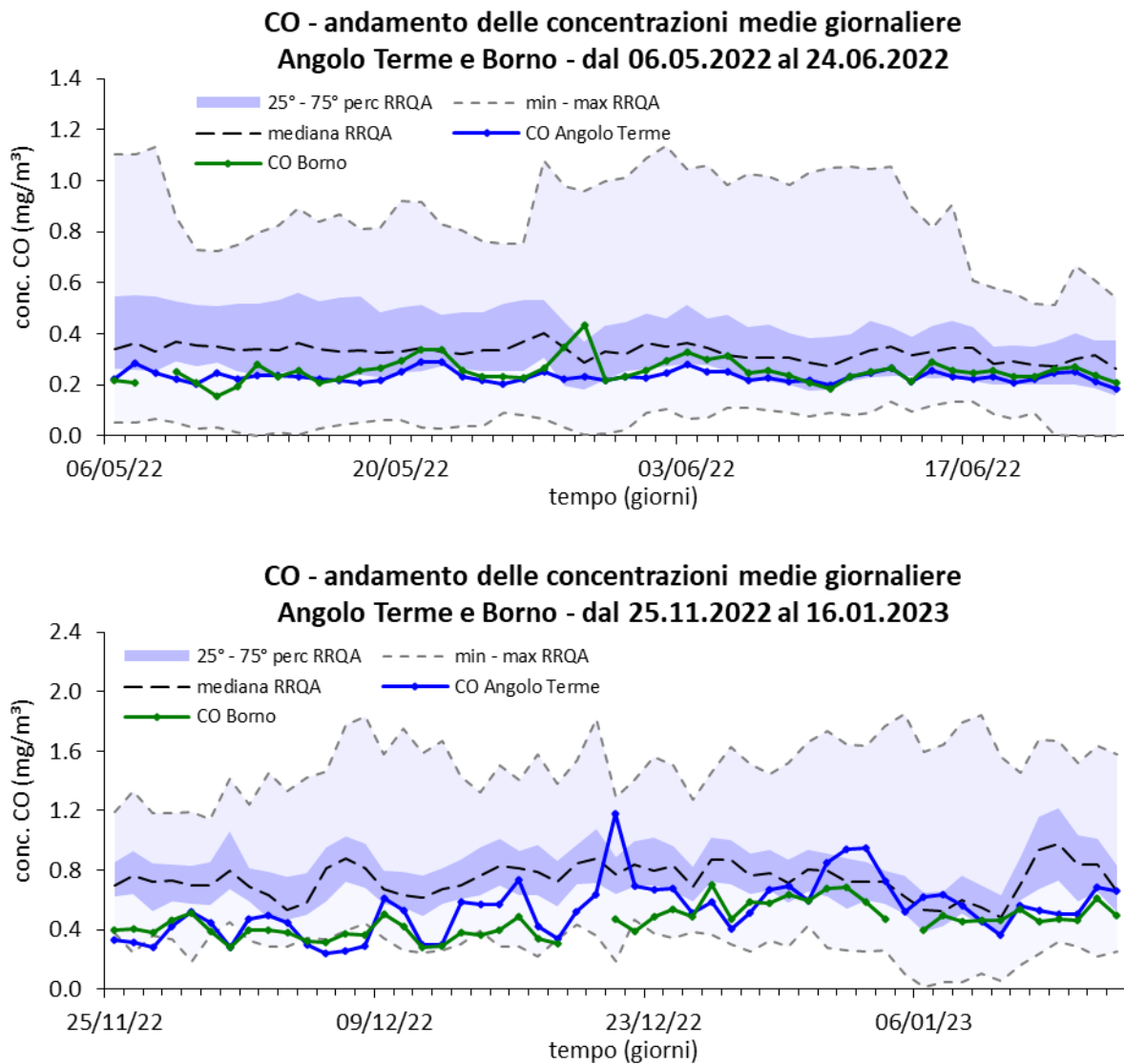


Figura 7 – Andamento delle concentrazioni medie giornaliere di CO misurate dal laboratorio mobile a Borno e Angolo Terme a confronto con la RRQA della Lombardia.

<sup>1</sup> Come indicato da normativa, ad ogni ora del giorno è associato un valore di CO calcolato mediando le concentrazioni misurate nelle 8 ore precedenti. Quindi, per ogni giorno si confronta il massimo valore con il limite di 10 mg/m<sup>3</sup>.

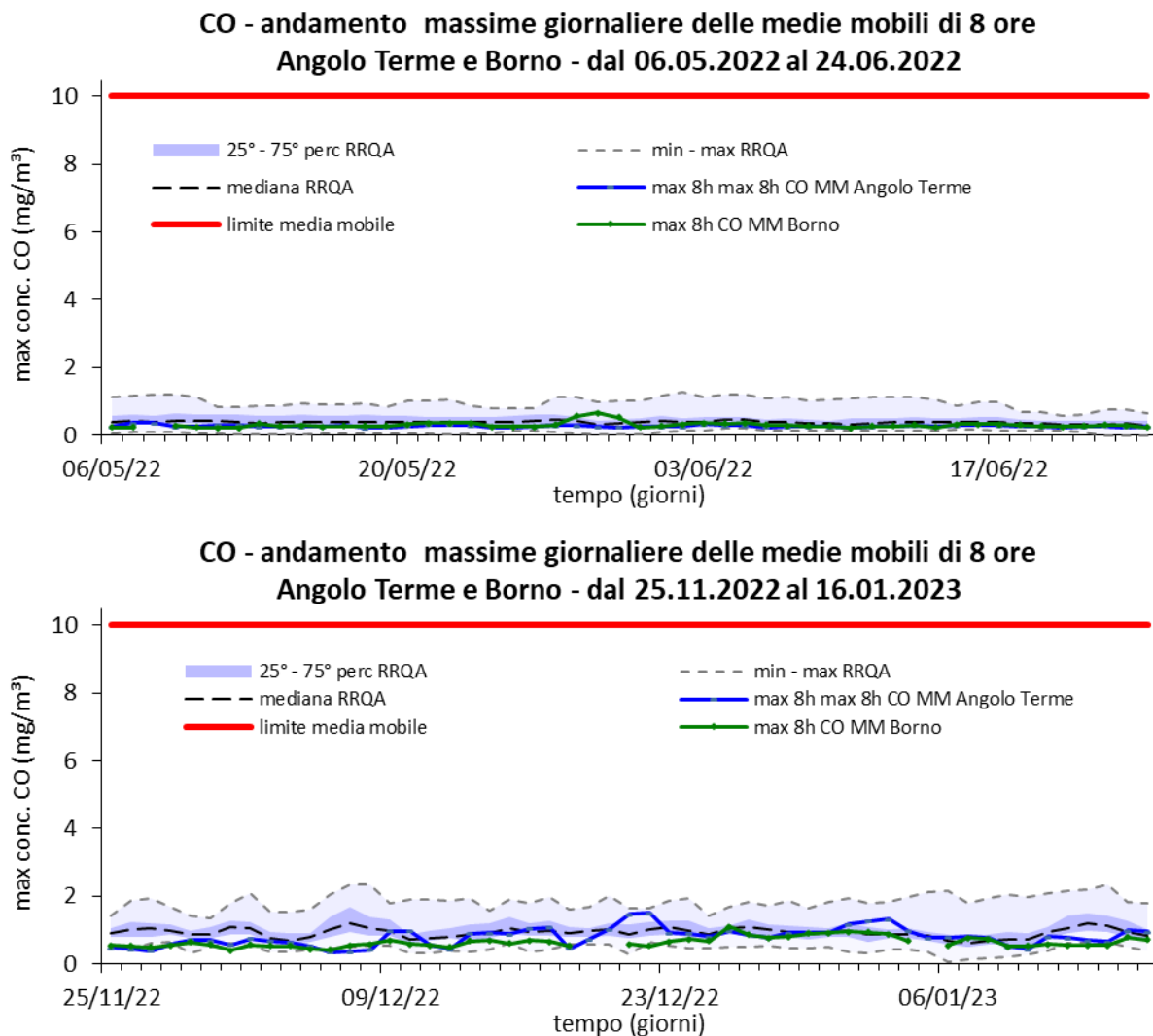


Figura 8 - Andamento delle massime medie mobili su 8 ore delle concentrazioni di CO misurate ogni giorno dal laboratorio mobile a Borno e Angolo Terme a confronto con la RRQA della Lombardia

Le concentrazioni del CO sono strettamente legate ai flussi di traffico locali; gli andamenti giornalieri rispecchiano, in genere, quelli del traffico, raggiungendo i massimi valori in concomitanza delle ore di punta a inizio e fine giornata, soprattutto nei giorni feriali. Durante le ore centrali della giornata i valori tendono a calare, grazie anche a una migliore capacità dispersiva dell'atmosfera.

In Figura 9 sono rappresentati gli andamenti del giorno tipo del CO misurato ad Angolo Terme e a Borno. Dal confronto tra i due grafici emerge la moderata stagionalità dell'inquinante, le cui concentrazioni presentano valori più elevati nella stagione invernale rispetto a quella estiva. In entrambi i periodi di misura, tuttavia, l'andamento risulta poco modulato, soprattutto nel periodo estivo, indice di una scarsa incidenza, in particolare, del traffico veicolare. La maggiore variabilità delle giornate prefestive e festive è giustificata dalla ridotta base statistica.



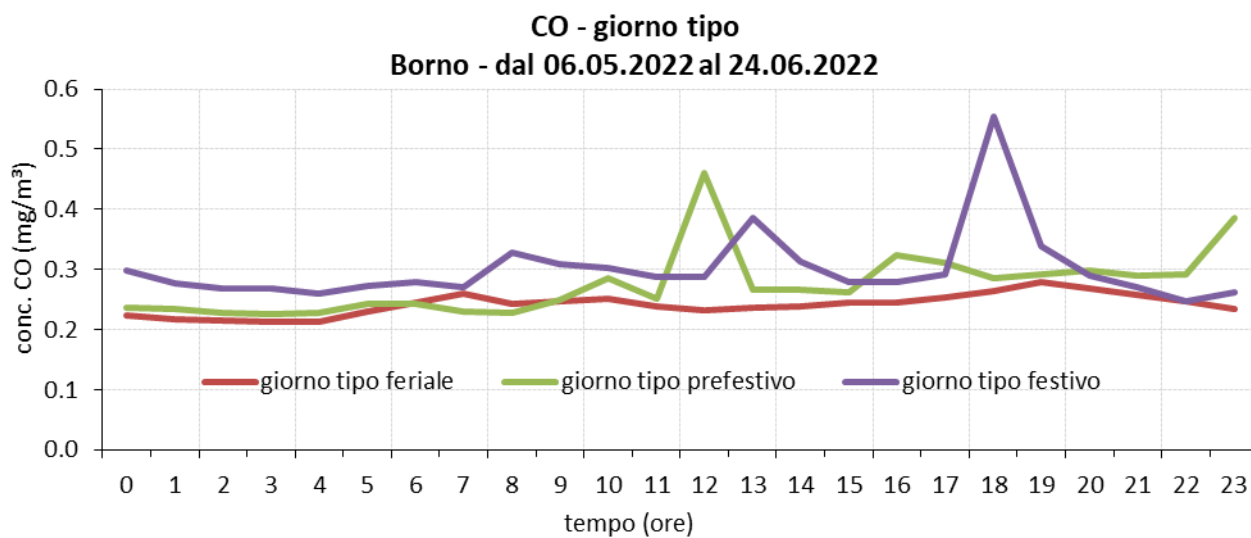
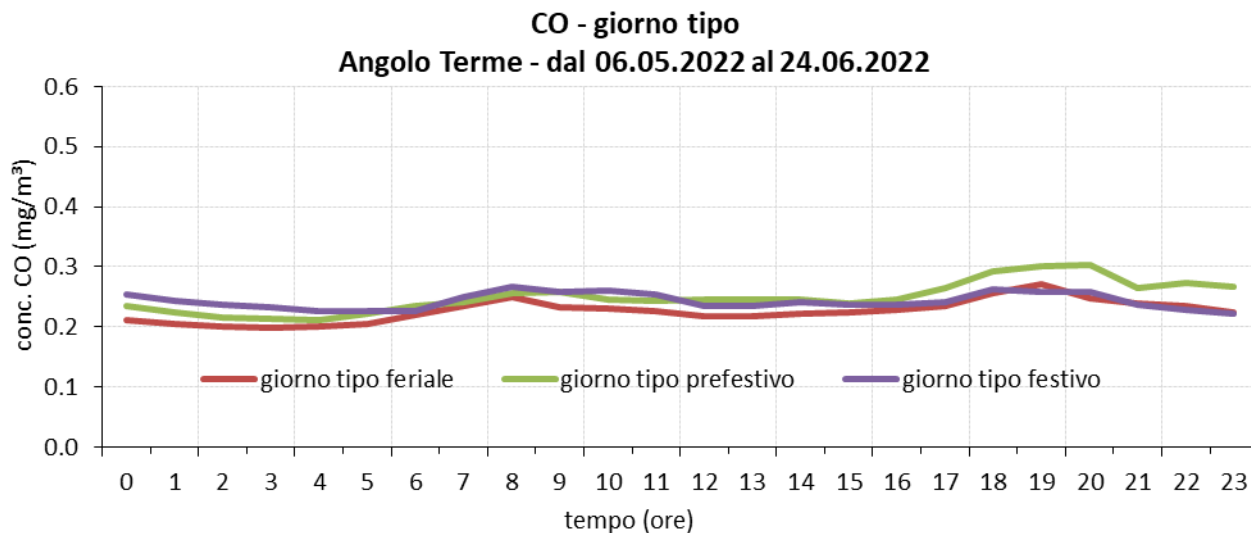


Figura 9 – Giorno tipo del CO ad Angolo Terme e Borno in periodo estivo.

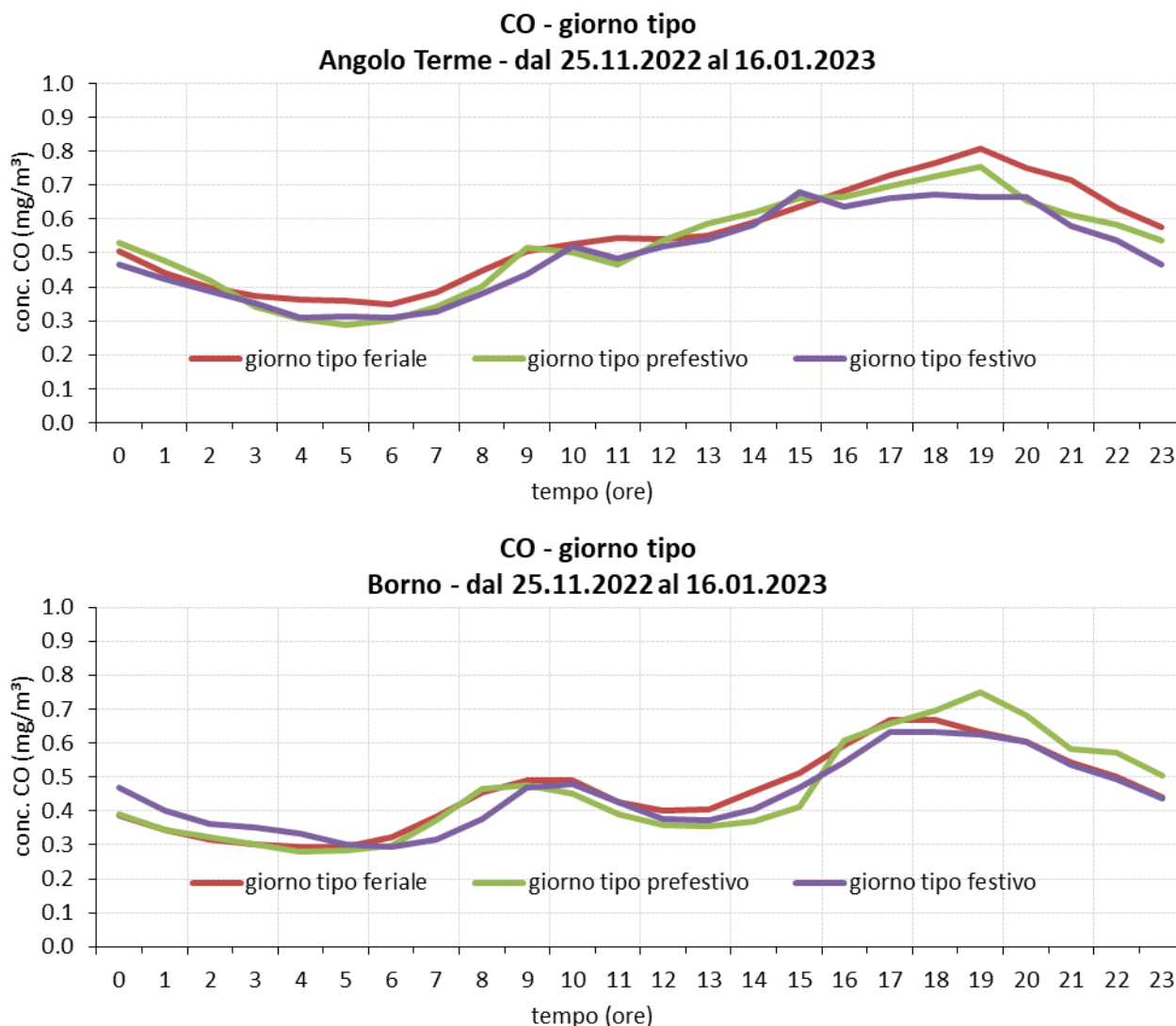


Figura 10 – Giorno tipo del CO ad Angolo Terme e Borno in periodo invernale.

## Ossidi di azoto (NO e NO<sub>2</sub>)

La concentrazione media di NO<sub>2</sub> in periodo estivo è stata di circa 5 µg/m<sup>3</sup> presso Angolo Terme e di circa 7 µg/m<sup>3</sup> presso Borno, con un massimo valore orario rispettivamente di 29 µg/m<sup>3</sup> e 25 µg/m<sup>3</sup>, mentre in periodo invernale la concentrazione media è stata di circa 19 µg/m<sup>3</sup> ad Angolo Terme e di 20 µg/m<sup>3</sup> a Borno, con valori massimi orari rispettivamente di 51 µg/m<sup>3</sup> e 49 µg/m<sup>3</sup>.

Le concentrazioni medie giornaliere di biossido d'azoto misurate ad Angolo Terme e a Borno si sono mantenute, durante il periodo estivo, attorno, ai minimi rilevati presso le postazioni fisse della rete regionale. In periodo invernale, le concentrazioni dei siti in indagine rimangono comunque nella fascia definita dai minimi e dal 25° percentile dei valori della RRQA lombarda (Figura 11).

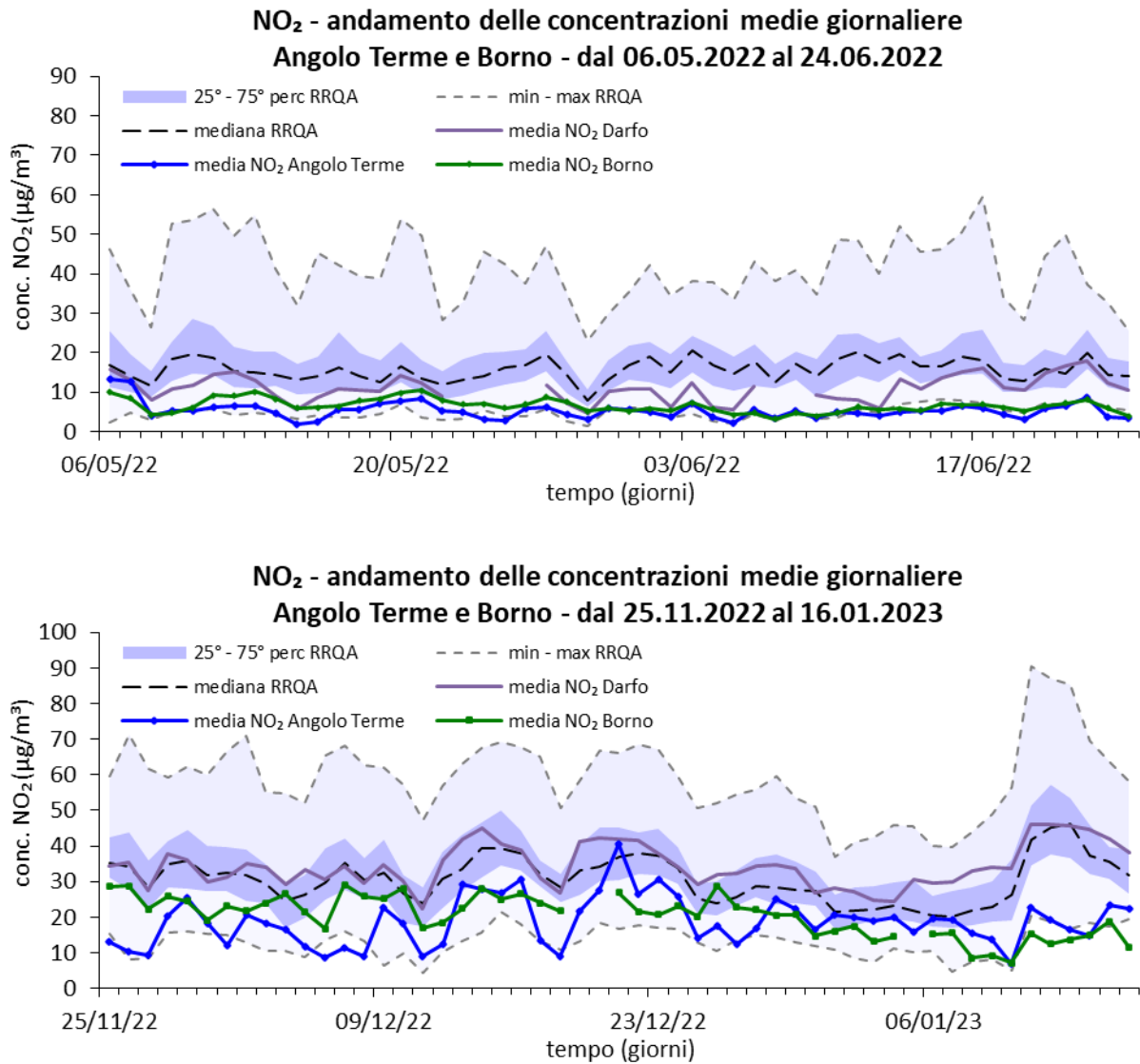


Figura 11 - Andamento delle concentrazioni medie giornaliere di NO<sub>2</sub> misurate dal laboratorio mobile ad Angolo Terme e Borno a confronto con la postazione di Darfo ed il resto della RRQA della Lombardia

I grafici mostrano anche l'andamento delle analoghe concentrazioni di NO<sub>2</sub> presso la vicina postazione di Darfo Boario Terme, posta nel fondovalle di Valle Camonica. I grafici di Figura 11 evidenziano la differenza nelle concentrazioni misurate contemporaneamente a Darfo BT rispetto a quanto misurato nelle valli laterali. Si osserva come un moderato accordo negli andamenti temporali sia osservabile tra le concentrazioni a Darfo BT e ad Angolo Terme mentre questo risulta meno evidente passando a confrontare le concentrazioni misurate a Borno.

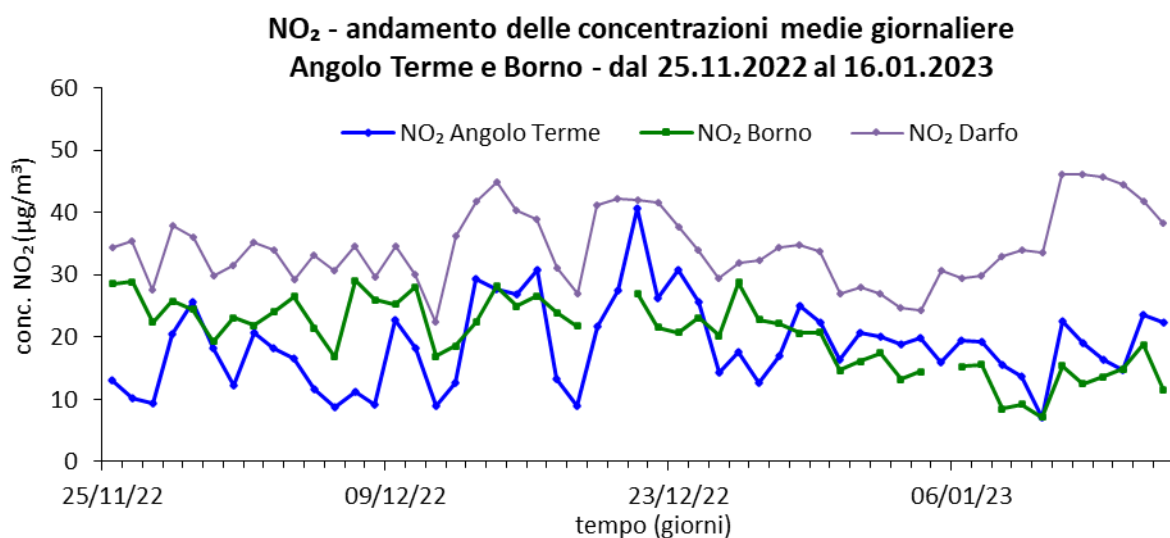
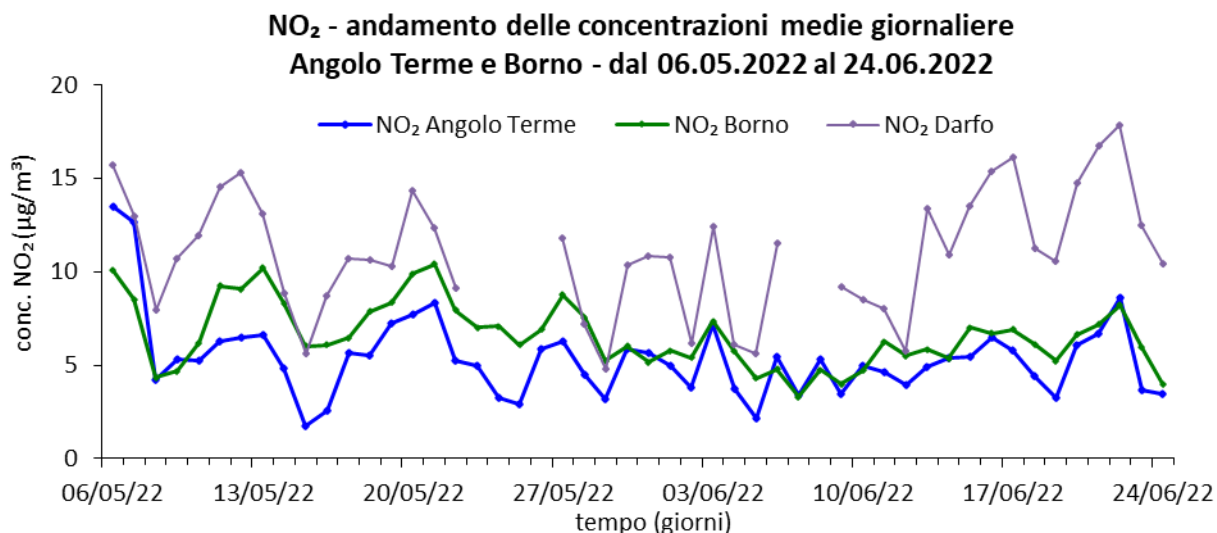


Figura 12 - Concentrazioni medie giornaliere di NO<sub>2</sub> misurate ad Angolo Terme e Borno nei due periodi di misura, confrontate con le contemporanee concentrazioni medie rilevate a Darfo BT.

Anche le massime concentrazioni giornaliere, in periodo estivo, si sono mantenute vicine ai minimi delle analoghe misurate presso i siti della rete lombarda. In periodo invernale i massimi giornalieri hanno avvicinato la media degli analoghi valori lombardi (Figura 13), rimanendo comunque largamente inferiori ad un quarto del limite di legge.

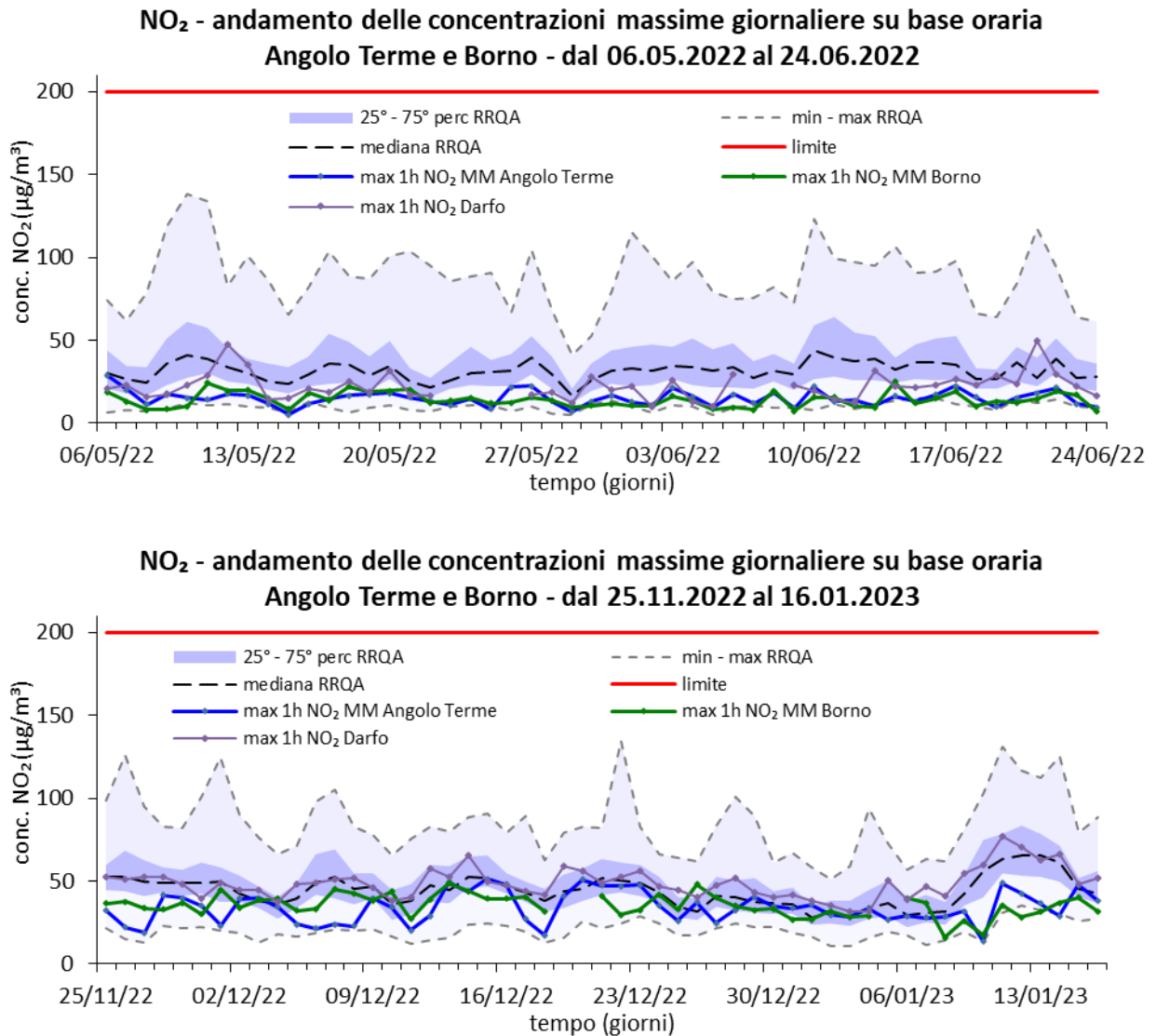


Figura 13 - Andamento delle massime medie orarie delle concentrazioni di NO<sub>2</sub> misurate ogni giorno dal laboratorio mobile ad Angolo Terme e a Borno a confronto con la RRQA della Lombardia

L'analisi del giorno tipo in Figura 14 e Figura 15 mostra una moderata modulazione delle concentrazioni sia in periodo estivo, quando la ridotta scala del grafico tende ad esaltarla, che in periodo invernale. In periodo invernale si nota l'aumento delle concentrazioni rilevate in concomitanza all'accensione serale dei sistemi di riscaldamento e, a Borno, un modesto picco mattutino attribuibile al traffico. In generale, inoltre, si notano le minori concentrazioni relative alle giornate festive.

L'ulteriore grafico di Figura 16 che confronta le medie orarie mostra la maggiore modulazione osservabile presso il sito di Darfo BT.

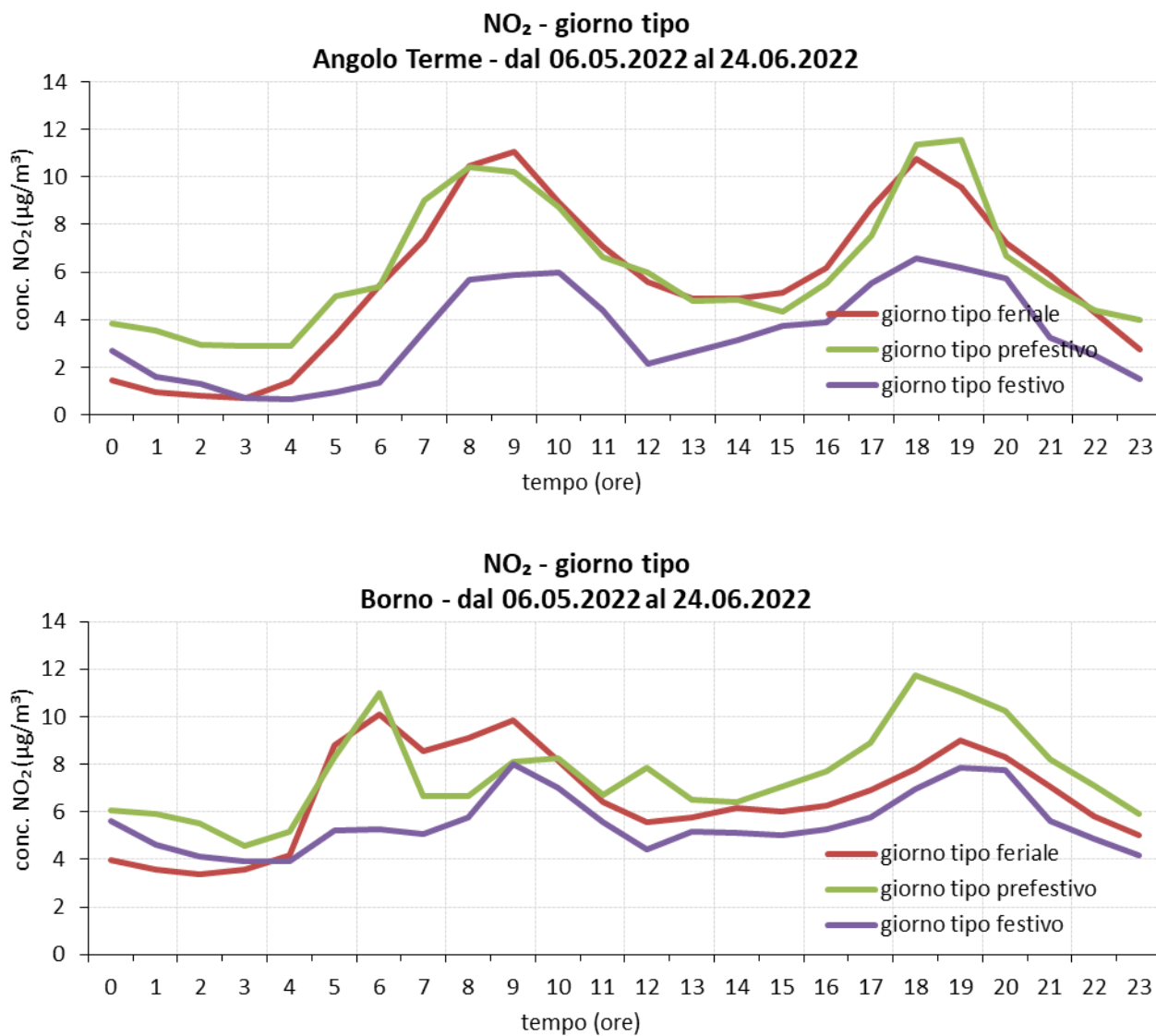


Figura 14 – Giorno tipo di NO<sub>2</sub> ad Angolo Terme e Borno in periodo estivo.

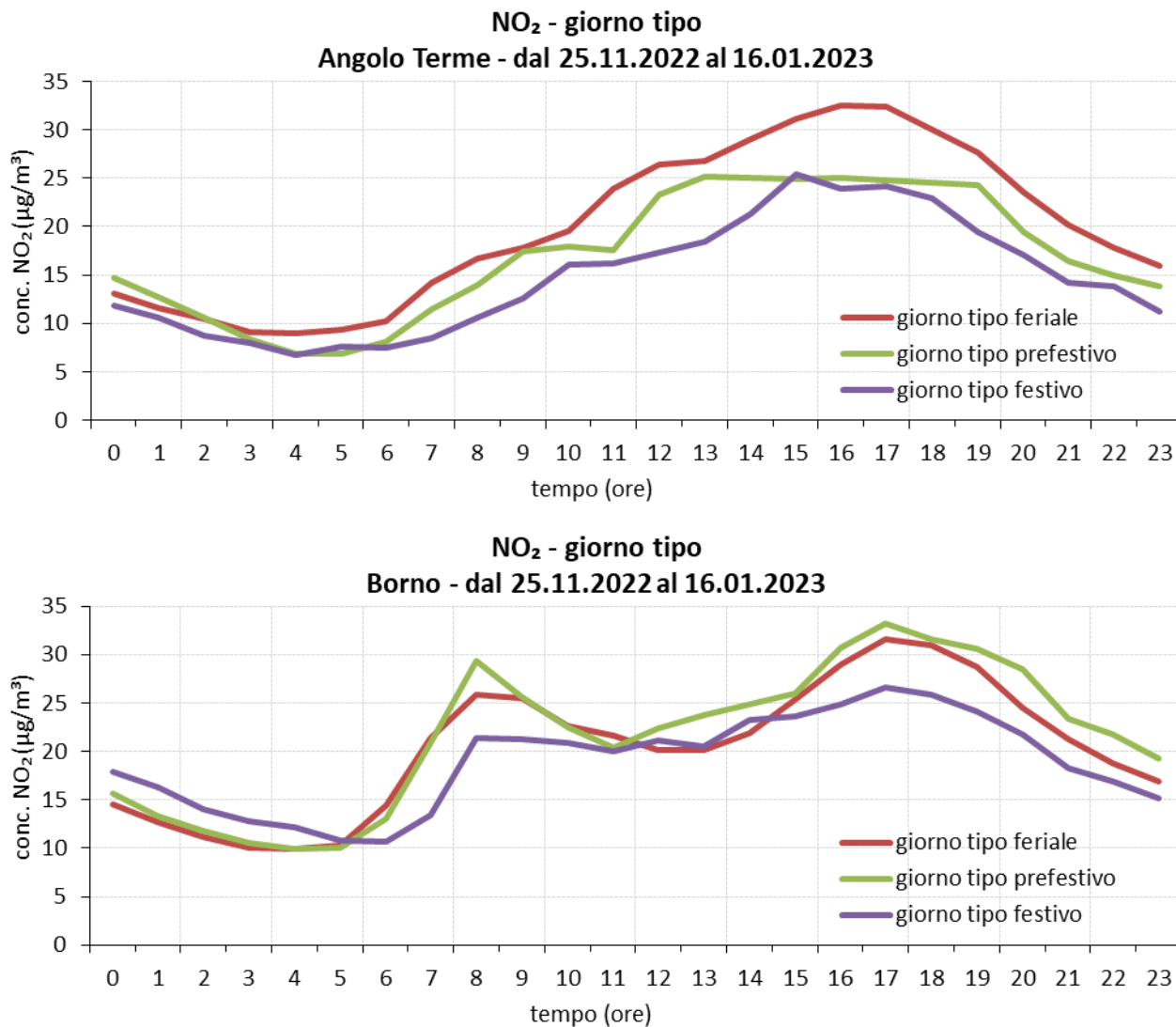


Figura 15 – Giorno tipo di NO<sub>2</sub> ad Angolo Terme e Borno in periodo invernale.

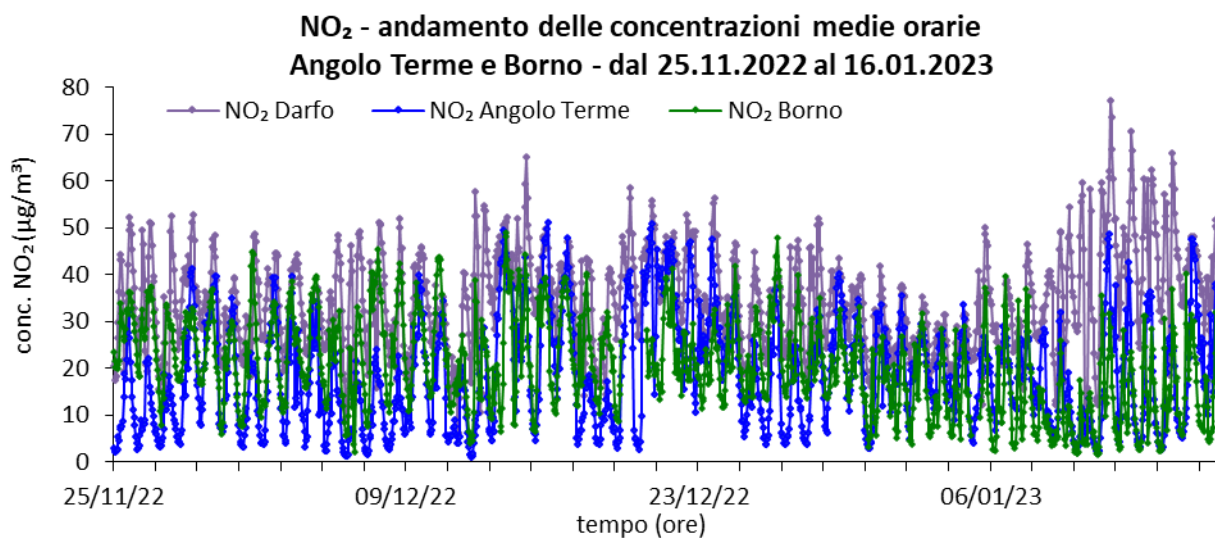
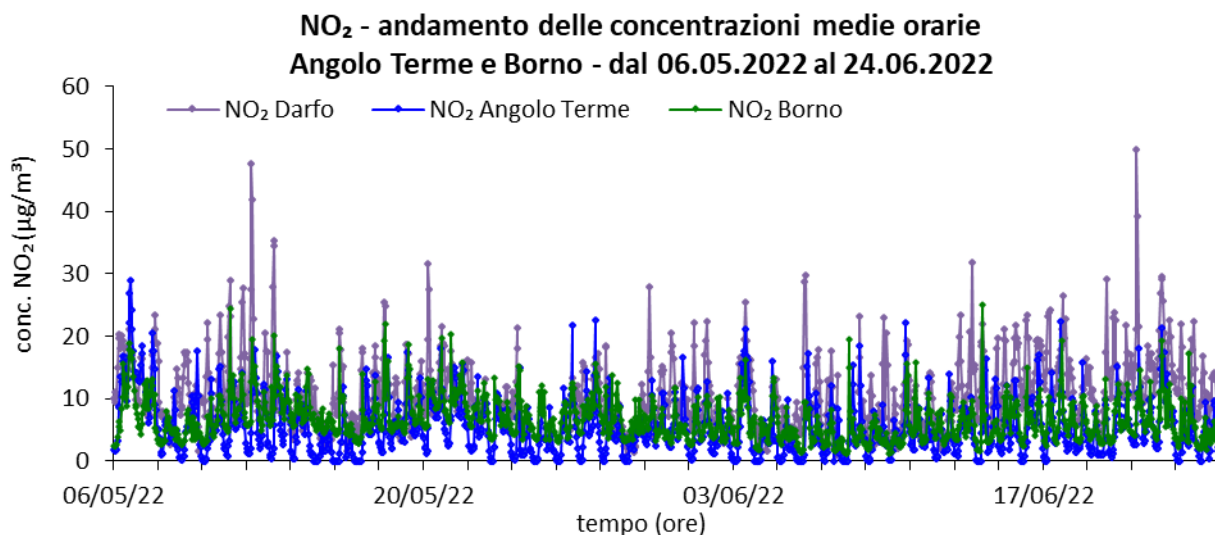


Figura 16 - Concentrazioni medie orarie di NO<sub>2</sub> misurate ad Angolo Terme e a Borno nei due periodi di misura, confrontate con le contemporanee concentrazioni medie rilevate a Darfo Boario Terme..

## Ozono (O<sub>3</sub>)

La stagione critica per l'ozono è quella estiva, in quanto la radiazione solare ne favorisce la formazione attraverso reazioni fotochimiche che coinvolgono gli ossidi di azoto (NO<sub>x</sub>) e i composti organici volatili (COV). I valori più elevati delle concentrazioni medie orarie si hanno nei giorni con intensa insolazione e in assenza di copertura nuvolosa.

La normativa individua una soglia di informazione alla popolazione per la media oraria di 180 µg/m<sup>3</sup> e un più restrittivo valore obiettivo per la protezione della salute umana, pari a 120 µg/m<sup>3</sup>, sul massimo valore giornaliero della concentrazione, calcolata come media mobile sulle 8 ore<sup>2</sup>, da non superare più di 25 volte all'anno.

<sup>2</sup> Come indicato da normativa, a ogni ora del giorno è associato un valore di O<sub>3</sub> calcolato mediando le concentrazioni misurate nelle 8 ore precedenti. Quindi, per ogni giorno si confronta il massimo valore con il limite di 120 µg/m<sup>3</sup>.



In periodo estivo, come detto, più critico, le concentrazioni di ozono rilevate presso i siti di Angolo Terme e Borno, ma anche presso Darfo BT, sia espresse come massime giornaliere su base oraria che come massime giornaliere delle medie mobili, sono sostanzialmente sovrapponibili e si attestano tra il 75° percentile ed il massimo degli analoghi valori registrati presso le altre postazioni della RRQA lombarda. Superamenti della soglia di informazione si registrano contemporaneamente presso i siti di Valle Camonica. Analogamente, anche i più numerosi superamenti del valore obiettivo per la media mobile sono registrati contemporaneamente.

In periodo invernale, i valori rilevati presso i siti in indagine si pongono tra il 75° percentile e i massimi rilevati dalla RRQA, con valori leggermente più elevati a Borno, comunque inferiori a limiti di legge. Al contrario, le concentrazioni rilevate a Darfo BT rimangono all'interno della ristretta fascia interquartile dei valori lombardi.

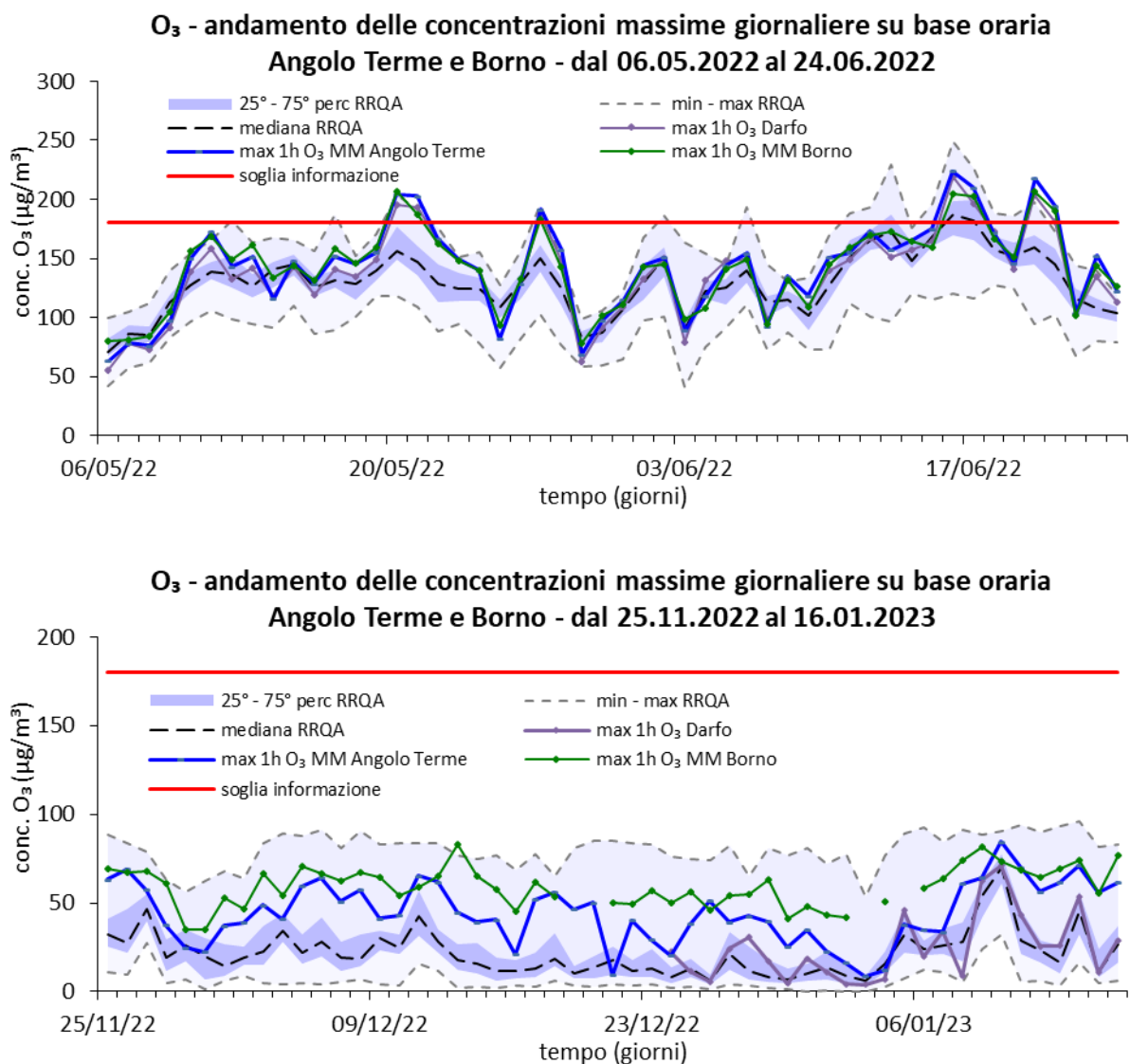


Figura 17 - Andamento delle massime medie orarie delle concentrazioni di O<sub>3</sub> misurate ogni giorno dai laboratori mobili ad Angolo Terme e Borno a confronto con la postazione di Darfo BT ed il resto della RRQA della Lombardia nei due periodi di misura.

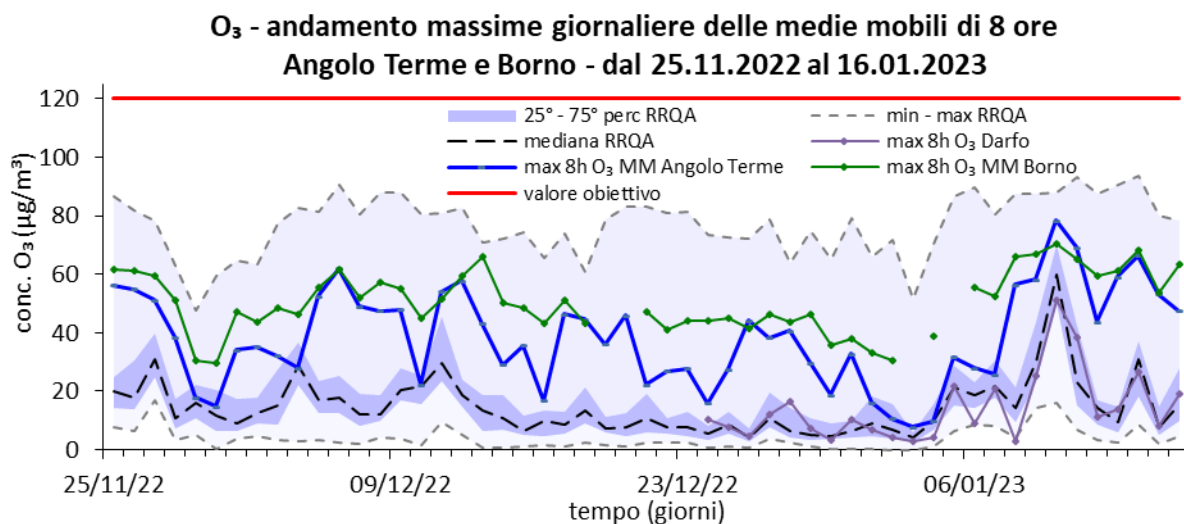
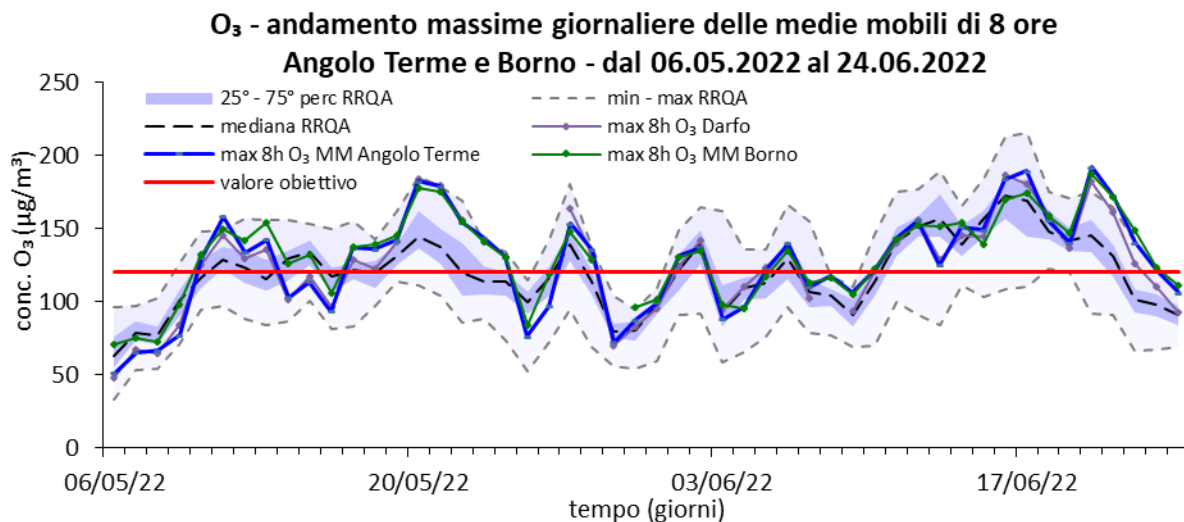


Figura 18 - Andamento delle massime medie mobili su 8 ore delle concentrazioni di O<sub>3</sub> misurate ogni giorno dai laboratori mobili ad Angolo Terme e Borno a confronto con la postazione di Darfo BT e il resto della RRQA della Lombardia nei due periodi di misura.

In Figura 19 sono mostrati gli andamenti orari delle concentrazioni misurate ad Angolo Terme, Borno e Darfo BT. Si nota come a sostanziale sovrapposibilità dei valori massimi, già evidenziata, non corrisponda analogo comportamento nei valori minimi di questo inquinante. Questo diventa particolarmente evidente in periodo invernale. L'ozono che si produce durante il giorno non viene consumato completamente durante le ore notturne. Questo si riflette, ovviamente, nell'andamento del giorno tipo che presenta, rispetto al giorno tipo delle stazioni di pianura, una inferiore modulazione.

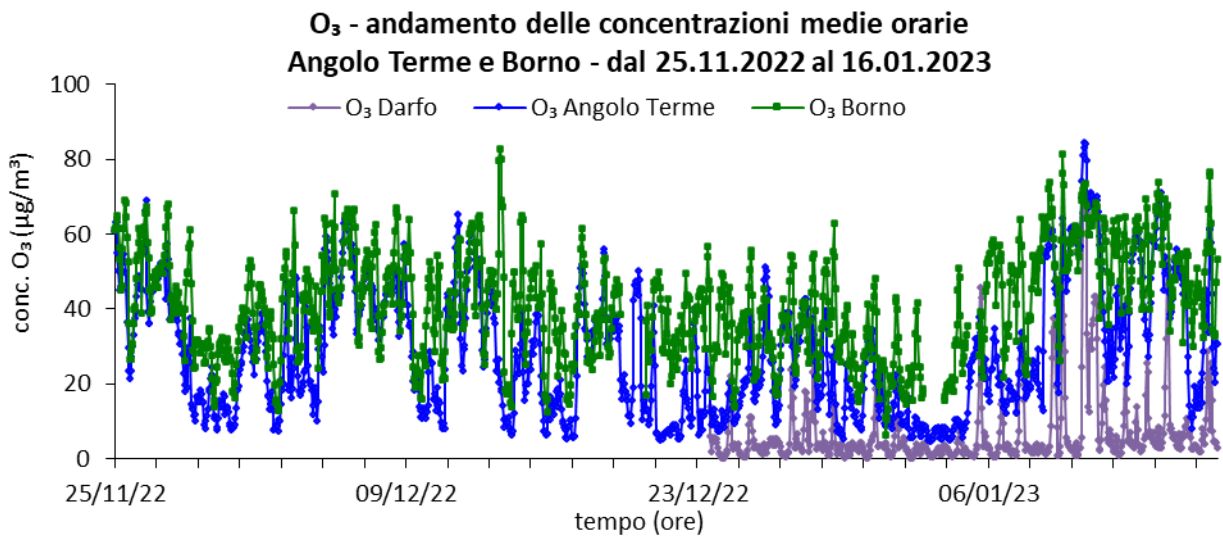
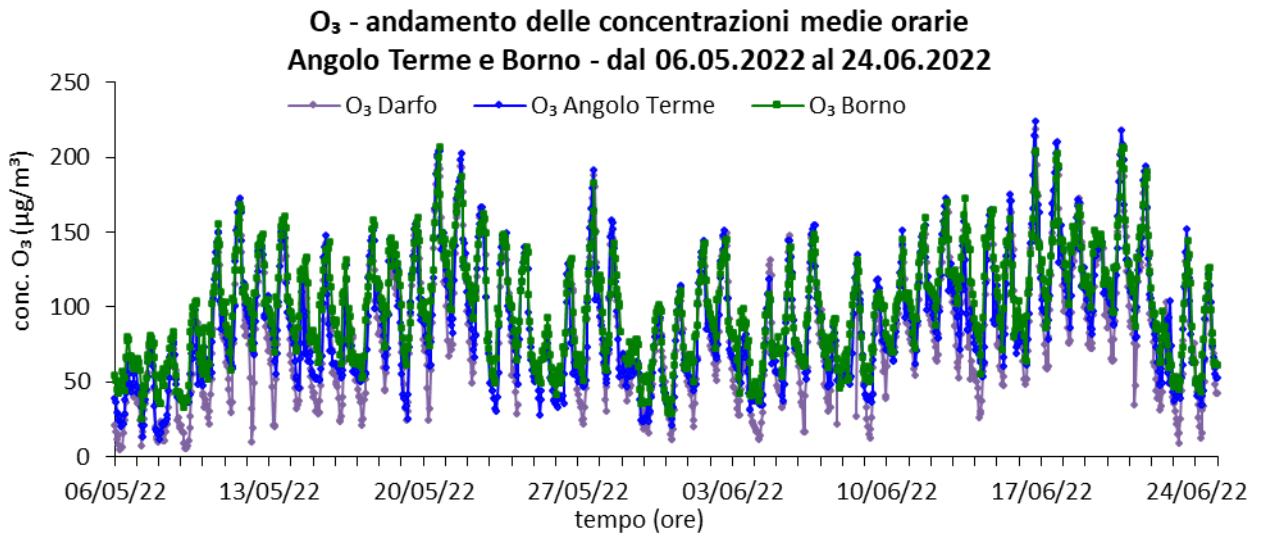
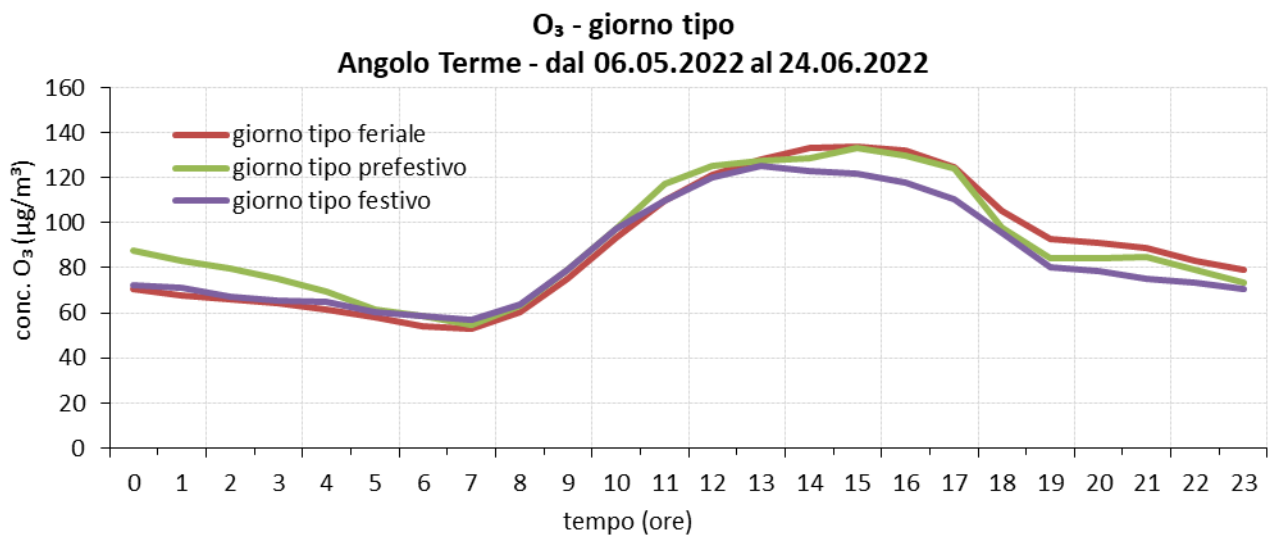


Figura 19 - Andamento delle concentrazioni di O<sub>3</sub> misurate ogni ora dai laboratori mobili ad Angolo Terme e Borno a confronto con le concentrazioni rilevate a Darfo BT nei due periodi di misura.



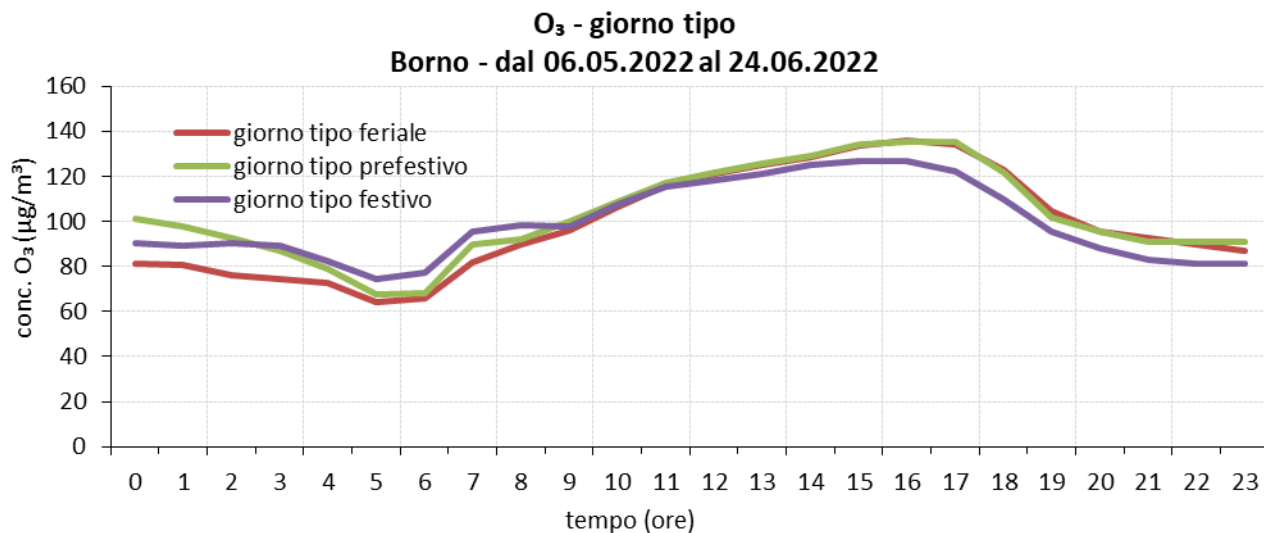


Figura 20 – Giorno tipo dell’ozono ad Angolo Terme e Borno, in periodo estivo.

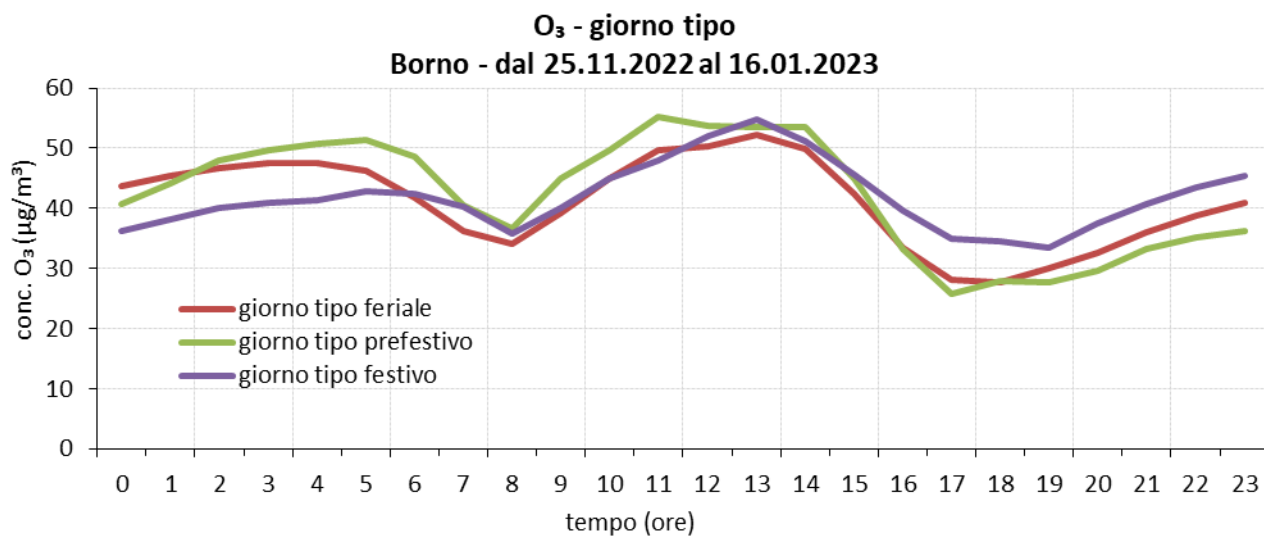
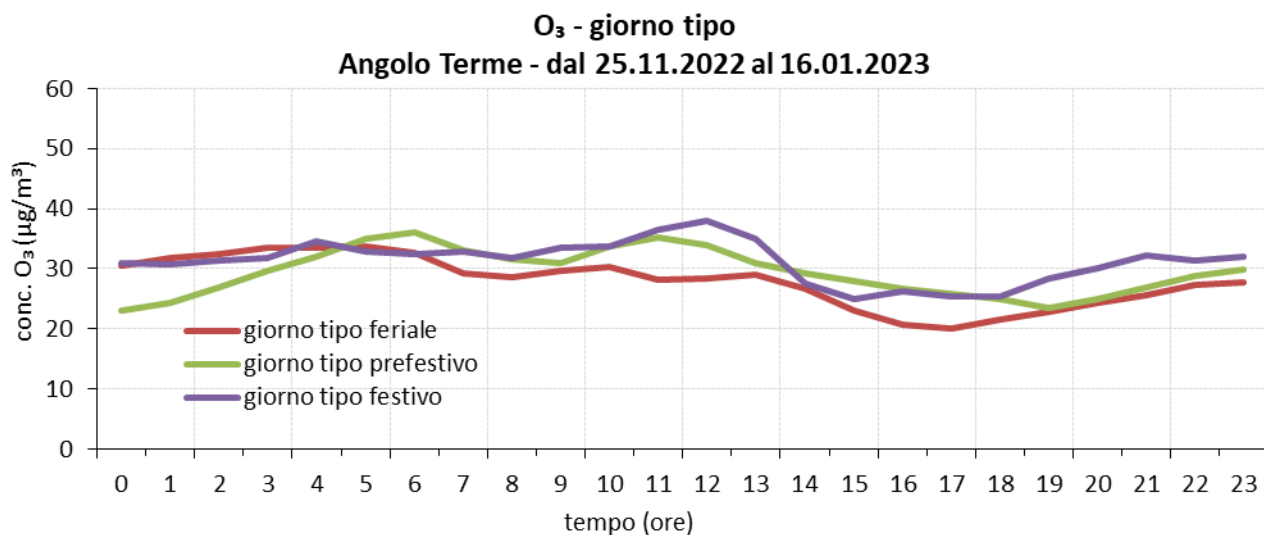


Figura 21 – Giorno tipo dell’ozono ad Angolo Terme e Borno, in periodo invernale.

## Benzene

La norma stabilisce, per il benzene, un limite pari a  $5 \mu\text{g}/\text{m}^3$  basato sulla media annuale. Nonostante non sia possibile, quindi, un confronto diretto con il limite annuale previsto per il benzene, si osserva che i valori misurati sono sempre rimasti ben al di sotto di tale valore fissato dalla norma.

Rispetto alle concentrazioni di benzene rilevate presso i siti fissi della rete regionale, i valori registrati ad Angolo Terme e a Borno, durante il periodo estivo, si mantengono nella fascia compresa tra la mediana ed il 75° percentile dei valori lombardi. Si evidenziano le giornate del 28 e 29 maggio a Borno quando si sono registrati brevi episodi a concentrazioni elevate.

In periodo invernale, le concentrazioni rilevate mostrano un andamento sostanzialmente concorde tra i siti di Valle Camonica, differente dal resto della Lombardia, con valori superiori presso il sito di Darfo e inferiori a Borno.

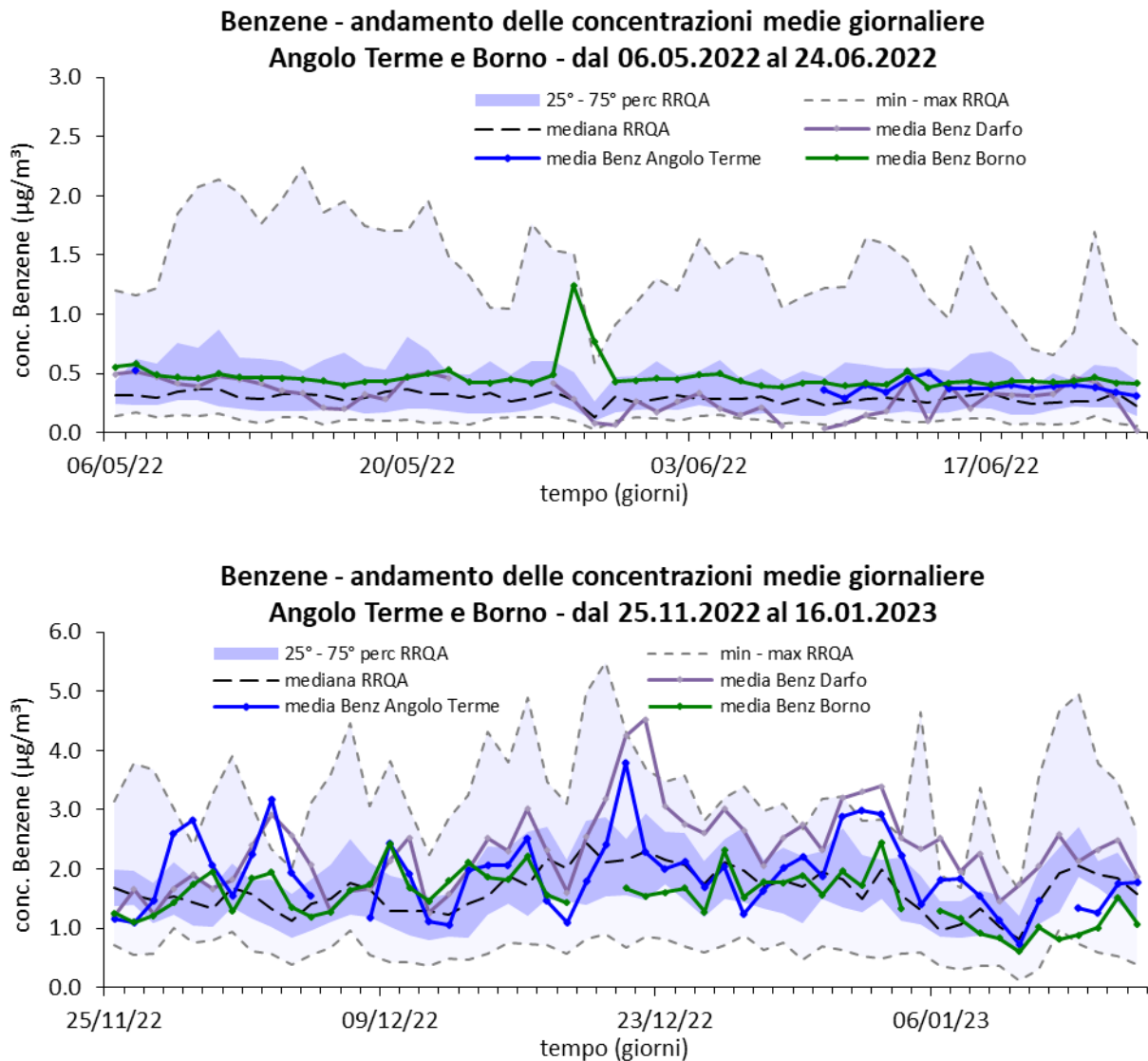


Figura 22 - Andamento delle concentrazioni medie giornaliere di Benzene misurate dai laboratori mobili ad Angolo Terme e Borno a confronto con la postazione di Darfo BT e il resto della RRQA della Lombardia.

In Figura 23 sono rappresentati gli andamenti del rapporto tra le concentrazioni di Toluene e Benzene calcolati giornalmente ad Angolo Terme, Borno e Darfo BT presso la postazione di Brescia Tartaglia, sito interessato da intenso traffico veicolare. Si nota come, in particolare in periodo invernale, tale rapporto si mantenga decisamente inferiore rispetto al valore ritenuto generalmente indicativo della provenienza da traffico.

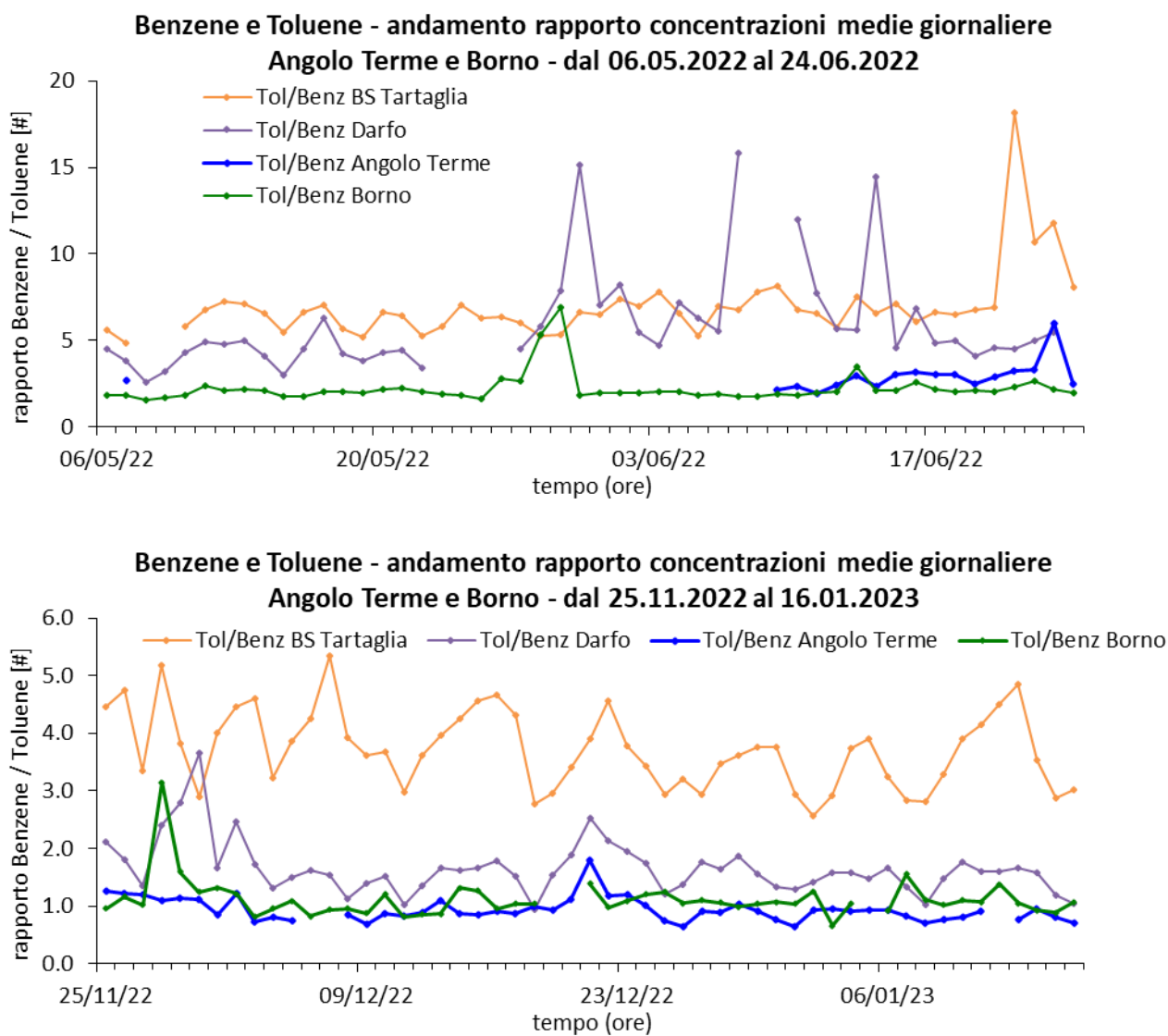


Figura 23 – Andamento orario del rapporto tra le concentrazioni di Toluene e Benzene rilevate ad Angolo Terme, Borno, Darfo BT e a Brescia nei due periodi di misura.

## Il particolato atmosferico aerodisperso

In termini assoluti, le concentrazioni di PM10 misurate ad Angolo Terme e a Borno risultano tra le più basse misurate, durante lo svolgimento della campagna di misura, presso i siti della Regione. In particolare, le concentrazioni invernali a Borno risultano superiori solo al sito di alta montagna di Moggio, ma inferiori anche a quanto misurato in periodo estivo. Questo comportamento si registra, appunto, solo a Borno e a Moggio. L'incremento delle concentrazioni invernali risulta comunque

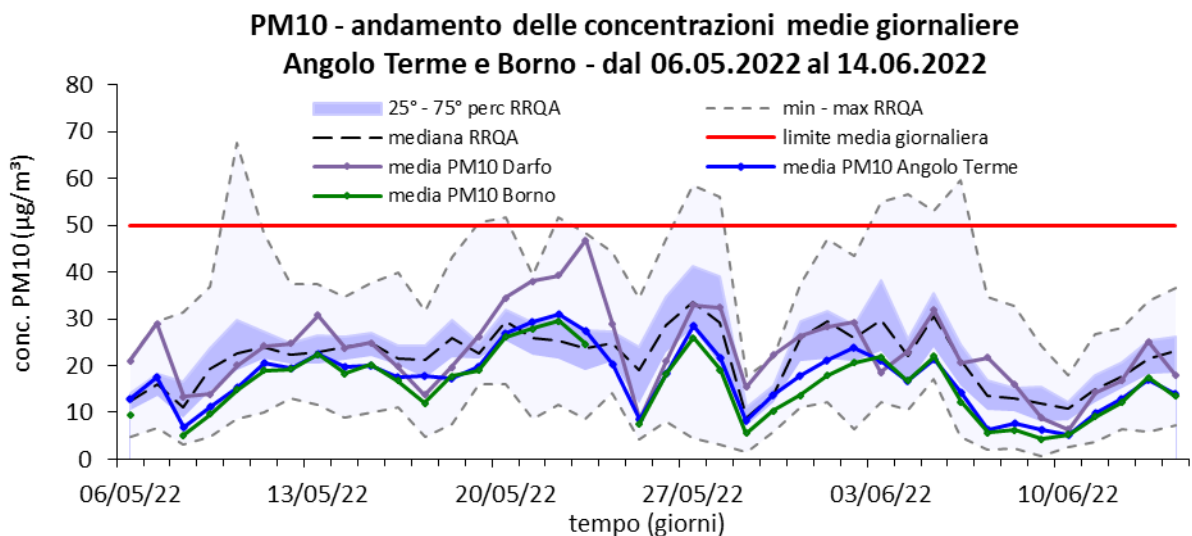
piuttosto contenuto anche ad Angolo Terme mentre decisamente maggiore risulta l'incremento presso le altre postazioni di pianura e, in particolare, di fondovalle come a Darfo e a Sondrio.

In Figura 24 sono mostrate le concentrazioni medie giornaliere di PM10 misurate ad Angolo Terme e a Borno sono confrontate con le concentrazioni di tutte le centraline fisse della RRQA lombarda afferenti al Programma di Valutazione (PdV).

Si osserva che le concentrazioni giornaliere di PM10 in periodo estivo presentano un buon accordo negli andamenti e si pongono attorno al 25° percentile dei valori lombardi largamente inferiori al limite di legge per la media giornaliera e inferiori rispetto alle contemporanee concentrazioni rilevate a Darfo BT. In particolare, si osserva la sostanziale sovrapposizione delle concentrazioni osservate ad Angolo Terme e a Borno.

In periodo invernale l'accordo tra le concentrazioni rilevate viene meno e anche la magnitudine delle concentrazioni differisce tra i siti in indagine per quanto entrambi attestantisi, generalmente, all'interno della fascia tra i minimi ed il 25° percentile dei valori giornalieri lombardi. I valori rilevati presso Angolo Terme mostrano un andamento talvolta in accordo con l'andamento osservabile a Darfo BT pur presentando valori, in assoluto, inferiori. L'andamento osservabile presso Borno mostra un andamento ancor meno in accordo e valori ancora inferiori.

Durante il periodo di misura invernale si sono osservati 13 superamenti del valore limite presso Darfo BT, 2 presso il sito di Angolo Terme e nessuno presso il sito di Borno (Figura 24).



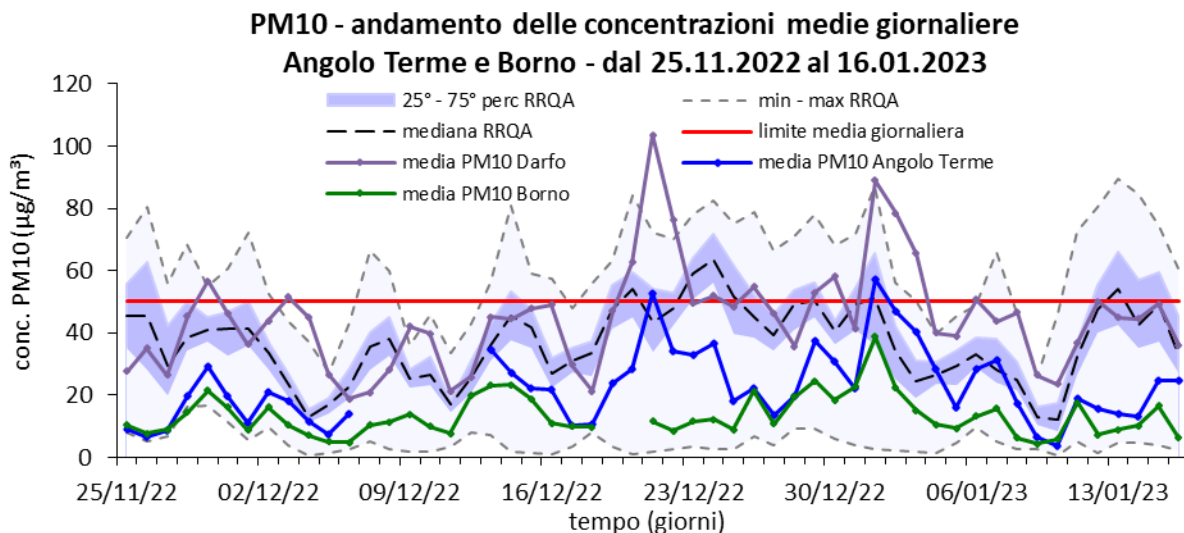


Figura 24 - Andamento delle concentrazioni medie giornaliere di PM10 misurate dai laboratori mobili ad Angolo Terme e Borno a confronto con la postazione di Darfo BT e il resto della RRQA della Lombardia.

Le concentrazioni di polveri in atmosfera dipendono non solo dalla quantità e dalle modalità di emissione nell'area ma anche dalle condizioni meteorologiche che influiscono sia sulle condizioni di dispersione e di accumulo sia sulla formazione di sostanze secondarie nell'atmosfera stessa. Pertanto, è importante che i livelli di concentrazione osservati siano valutati alla luce delle condizioni meteorologiche verificatesi nel periodo di monitoraggio. Presso i siti a quota superiore, in ragione delle concentrazioni non elevate anche in periodo invernale, tali effetti della meteorologia risultano meno evidenti. Nondimeno, in Figura 25 è mostrata l'influenza delle precipitazioni all'abbassamento delle concentrazioni in periodo estivo mentre. Analogamente, in Figura 26, è mostrato, stavolta in periodo invernale, medesima influenza delle precipitazioni quali elemento mitigante del particolato. Al contrario, in Figura 27 è mostrato come a condizioni di stabilità in periodo invernale, testimoniate dall'instaurarsi di periodi ad elevata pressione atmosferica dalla seconda metà del mese di dicembre, corrispondano condizioni di accumulo del particolato atmosferico.

In generale, in periodo invernale è il rimescolamento atmosferico o, al contrario, la sua assenza, a determinare condizioni favorevoli alla dispersione o all'accumulo di inquinanti, in particolare di particolato. In Figura 28 è mostrato l'andamento contrapposto di PM10 e Ozono presso il sito di Angolo Terme in periodo invernale. Per quanto maggiormente evidente presso i siti di pianura, anche in questo contesto è osservabile come in corrispondenza allo scambio con gli strati più alti dell'atmosfera di masse d'aria da alte quote, pulite e più ricche d'ozono, corrispondano diminuzioni delle concentrazioni di PM10 e, al contrario, quando minori sono gli scambi verso l'atmosfera libera, corrispondano aumenti delle concentrazioni di PM10.

Analogo comportamento è più difficilmente osservabile presso il sito di Borno che, in ragione della superiore quota risulta essere più prossimo all'atmosfera libera per tali scambi di masse d'aria assumono un carattere quasi continuo.



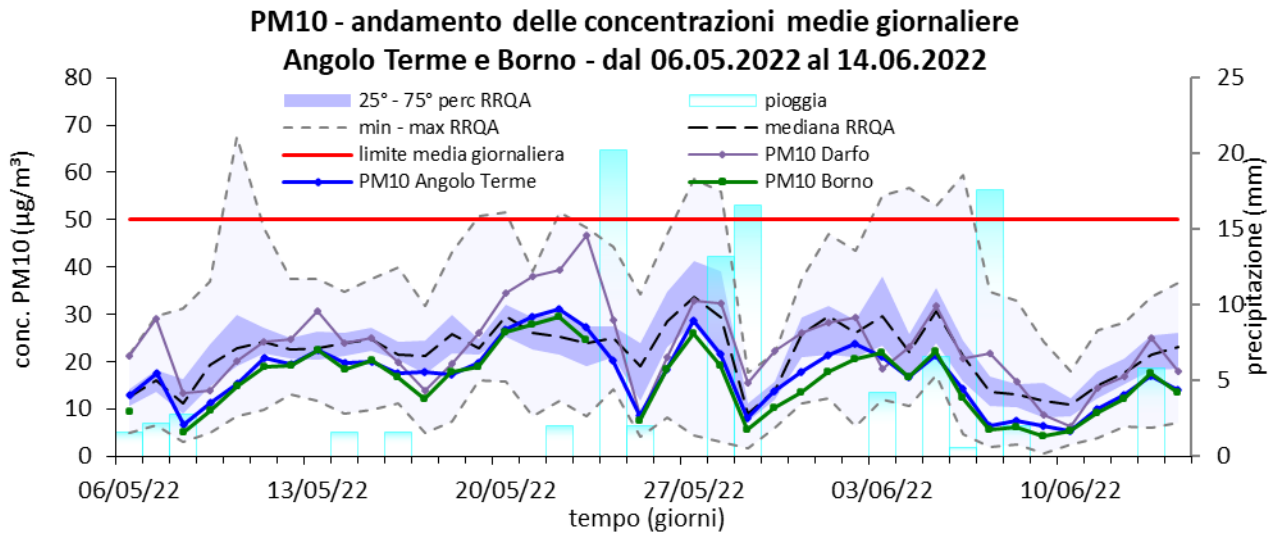


Figura 25 - Andamento delle concentrazioni di PM10 e delle precipitazioni misurate aa Angolo Terme e Borno in periodo estivo.

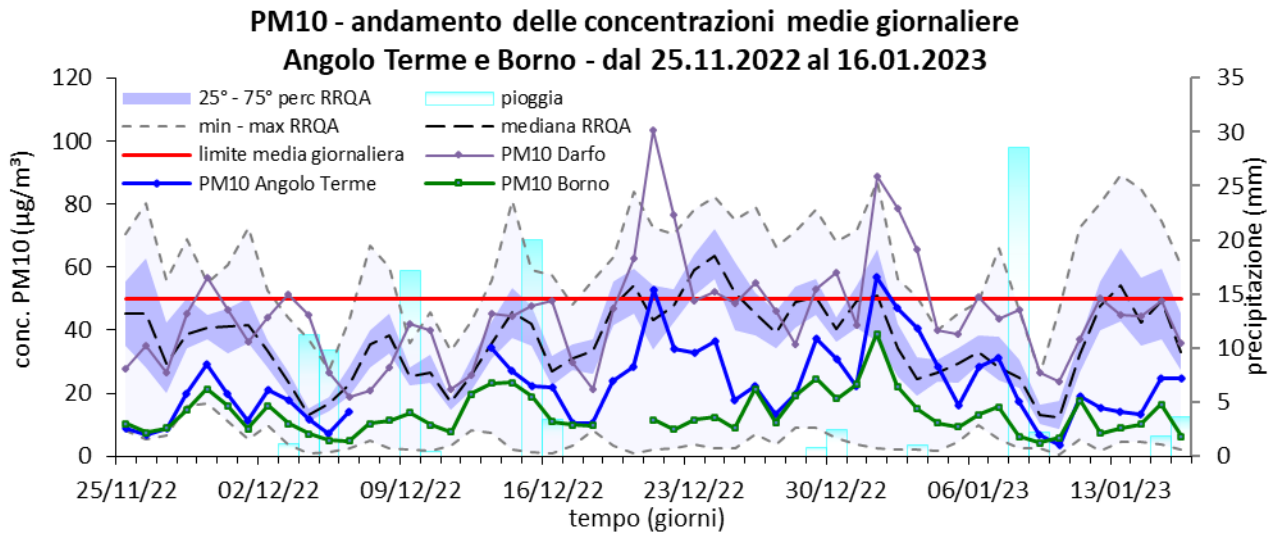


Figura 26 - Andamento delle concentrazioni di PM10 e delle precipitazioni misurate aa Angolo Terme e Borno in periodo invernale.

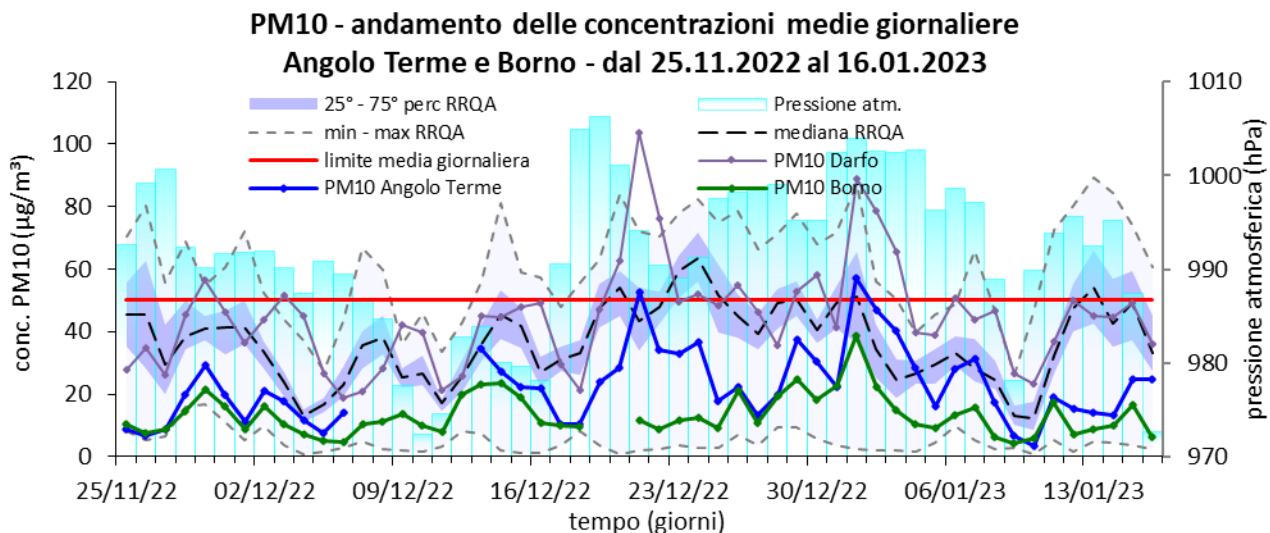


Figura 27 - Andamento delle concentrazioni di PM10 e della pressione atmosferica misurate ad Angolo Terme e Borno in periodo invernale.

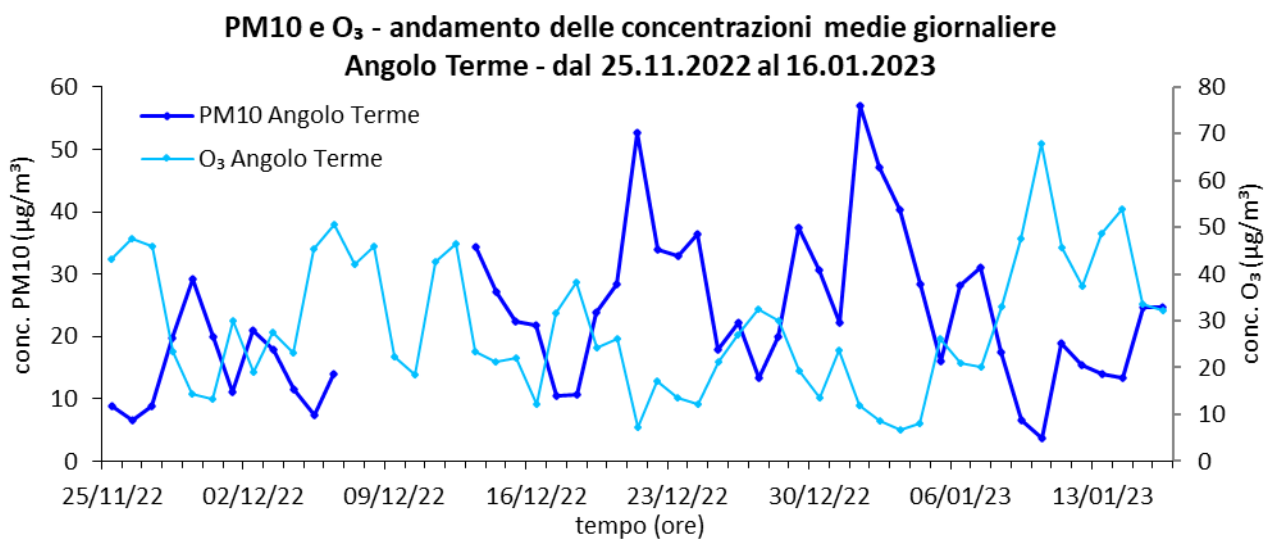


Figura 28 - Andamento delle concentrazioni giornaliere di PM10 e ozono, misurate ad Angolo Terme in periodo invernale.

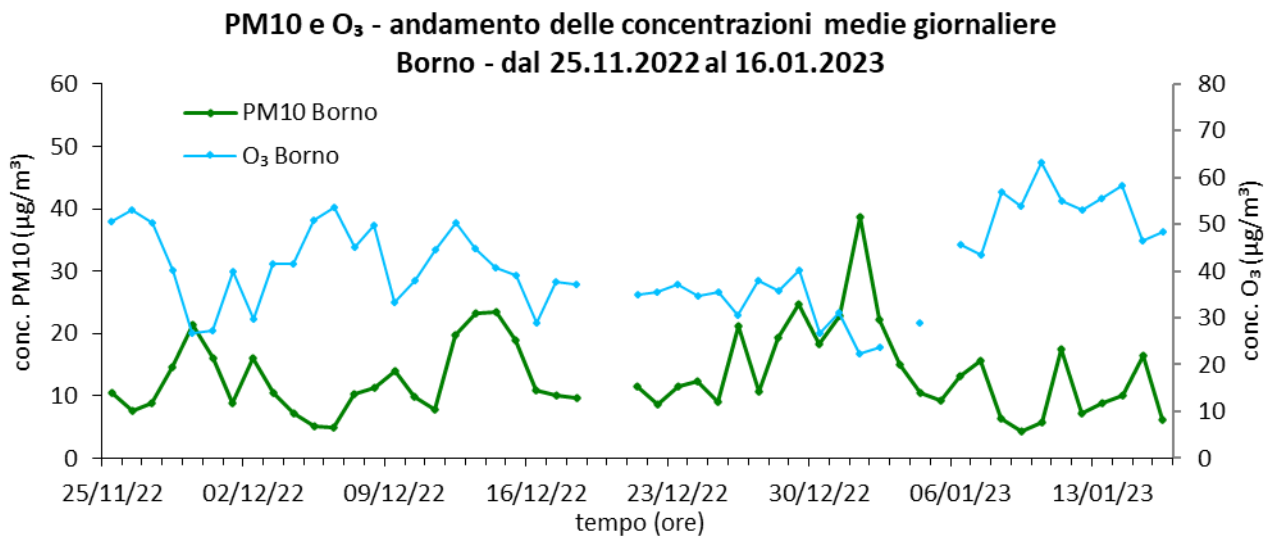


Figura 29 – Andamento delle concentrazioni giornaliere di PM10 e ozono, misurate a Borno in periodo invernale.

Sui campioni di particolato raccolti è stata eseguita l'analisi volta alla determinazione degli IPA. Relativamente al Benzo(a)Pirene, che è IPA normato per cui è definito un valore limite per la sua media annua, in Tabella 8 vengono riportate le medie delle concentrazioni di questo inquinante presso Angolo Terme e Borno, nel periodo invernale per cui sono disponibili le analisi, confrontate con le analoghe rilevate presso i siti della RRQA dove questo viene misurato in continuo.

Regione Lombardia	B(a)P [ng/m <sup>3</sup> ]
Angolo Terme	2.2
Borno	1.5
Darfo	2.8
BS VillSereno	0.9
MN SAgnese	0.7
Schivenoglia	0.4
Soresina	0.6
BG Meucci	0.9
Casirate	0.7
Moggio	0.1
Meda	3.1
MI Pascal	1.0
MI Senato	1.1
Magenta	1.4
SO Paribelli	6.7
VA Copelli	0.8
BS VillSereno	0.9

Tabella 8 – concentrazioni di Benzo(a)Pirene durante il periodo dal 13 dicembre 2022 al 16 gennaio.2023

Nel seguito, queste concentrazioni verranno proiettate per ottenere indicazioni circa il rispetto del limite presso i siti in indagine.

## Stima dei parametri annuali

Il D.Lgs. 155/2010 individua dei valori di concentrazione che, ai fini della tutela della salute umana, non devono essere superati nel lungo periodo, tipicamente nell'arco dell'anno solare. Per alcuni parametri il limite annuale è espresso come concentrazione media calcolata sulle rilevazioni dell'intero anno (es. benzene e PM10), per altri il limite è espresso come numero di giorni di superamento di un limite giornaliero (es. PM10 e NO2).

Lo stesso decreto fissa anche i criteri per la scelta dei punti della rete di misura della QA, che ha lo scopo di valutare l'esposizione della popolazione e dell'ambiente nel suo complesso e l'esposizione degli ecosistemi e della vegetazione in specifiche zone. I criteri di scelta delle postazioni si basano su criteri di significatività e sull'ottimizzazione delle risorse disponibili nel rispetto dei canoni di efficienza, efficacia ed economicità, ad esempio evitando stazioni di misura che non siano conformi a criteri di localizzazione così come l'eccesso di punti di misura. Per questo motivo non è possibile l'installazione di cabine fisse presso tutti i comuni regionali ma per poter approfondire le situazioni ed eventuali specificità locali, anche in seguito alla segnalazione da parte delle Amministrazioni comunali, ci si avvale dell'utilizzo di laboratori mobili, che sono attrezzati allo stesso modo, quando non in misura maggiore, delle postazioni fisse. Le campagne effettuate con laboratori mobili, secondo le indicazioni del decreto, hanno una durata di circa otto settimane generalmente suddivise nei due periodi climatici estremi e pertanto il numero di giorni di misura non consente di valutare direttamente il rispetto dei limiti annuali.

Per i motivi sopra esposti, in questo capitolo sono proposti i risultati dell'applicazione del metodo statistico utilizzato per proiettare il comportamento dei parametri considerati nelle precedenti sezioni e misurati nei due periodi di monitoraggio ad Angolo Termo e Borno su un periodo che permetta il confronto con i parametri di legge, tipicamente di un anno, al fine di stimare la probabilità che la qualità dell'aria possa risultare conforme alla normativa Nazionale per quanto riguarda i parametri annuali.

### Principio del metodo applicato

Il metodo per la stima di parametri calcolati su lungo periodo si basa sulla osservazione della correlazione che emerge mettendo in relazione taluni parametri calcolati in un breve lasso di tempo (durata del monitoraggio) presso le postazioni fisse della RRQA e il corrispondente valore dello stesso, o di un altro parametro di interesse, calcolato però su un periodo più lungo (in genere un anno). In pratica, ponendo ad esempio in un grafico, in ascissa le concentrazioni medie misurate presso le postazioni fisse della RRQA in concomitanza ai periodi di misura della campagna svolta e in ordinata la media calcolata durante il periodo di un anno presso le medesime postazioni, è possibile calcolare una retta di correlazione che espliciti la relazione. Per massimizzare l'efficacia del calcolo si fissa comunque un limite inferiore al rendimento delle postazioni utilizzate nel calcolo. Il coefficiente di determinazione  $R^2$  fornisce un'indicazione della bontà della regressione lineare calcolata. Assumendo che la relazione individuata per le postazioni fisse possa sussistere anche presso il sito di indagine, proiettando la media di breve periodo misurata presso il laboratorio mobile utilizzando la regressione calcolata, si ottiene una stima per la concentrazione media di lungo periodo presso il medesimo sito

in assenza di misure. Nello specifico, i calcoli seguenti sono stati eseguiti prendendo a riferimento 365 giorni di dati, dal 16 marzo 2022 al 15 marzo 2023.

## PM10

Come riportato in precedenza, la normativa prevede per il PM10 dei valori limite valutati su base annua, ovvero  $40 \mu\text{g}/\text{m}^3$  sulla media annuale e  $50 \mu\text{g}/\text{m}^3$  sulla media giornaliera da non superare più di 35 volte all'anno. Per questo motivo assume rilevanza la stima della concentrazione media annua ma anche la valutazione della probabilità che il valore giornaliero possa essere superato in un numero di giorni compatibile con la norma.

In Figura 30 e in Figura 31 è mostrata la stima della concentrazione media annua di PM10 ad Angolo Terme e a Borno. Per determinare l'equazione della retta di correlazione sopra descritta, sono state utilizzate 65 coppie di dati relativi a stazioni della RRQA lombarda che hanno rispettato i criteri di rendimento stabiliti sia durante entrambi i periodi in cui si è articolata la campagna di misura sia durante l'anno preso a riferimento. Il coefficiente di correlazione  $R^2$  tra le 65 coppie di dati è risultato pari a 0.91, per cui la correlazione lineare trovata è ritenuta altamente significativa. Ciò permette di stimare una concentrazione media annuale di PM10 ad Angolo Terme di  $19 \mu\text{g}/\text{m}^3$ , con associata un'incertezza di circa  $1.5 \mu\text{g}/\text{m}^3$ , che indica una probabilità superiore al 99% che il limite annuale possa essere stato rispettato durante l'anno preso a riferimento. Analogo procedimento consente di stimare una concentrazione media annua di PM10 a Borno di  $13 \mu\text{g}/\text{m}^3$ , con associata la medesima incertezza, che anche qui suggerisce il rispetto del limite per la media annuale di PM10.

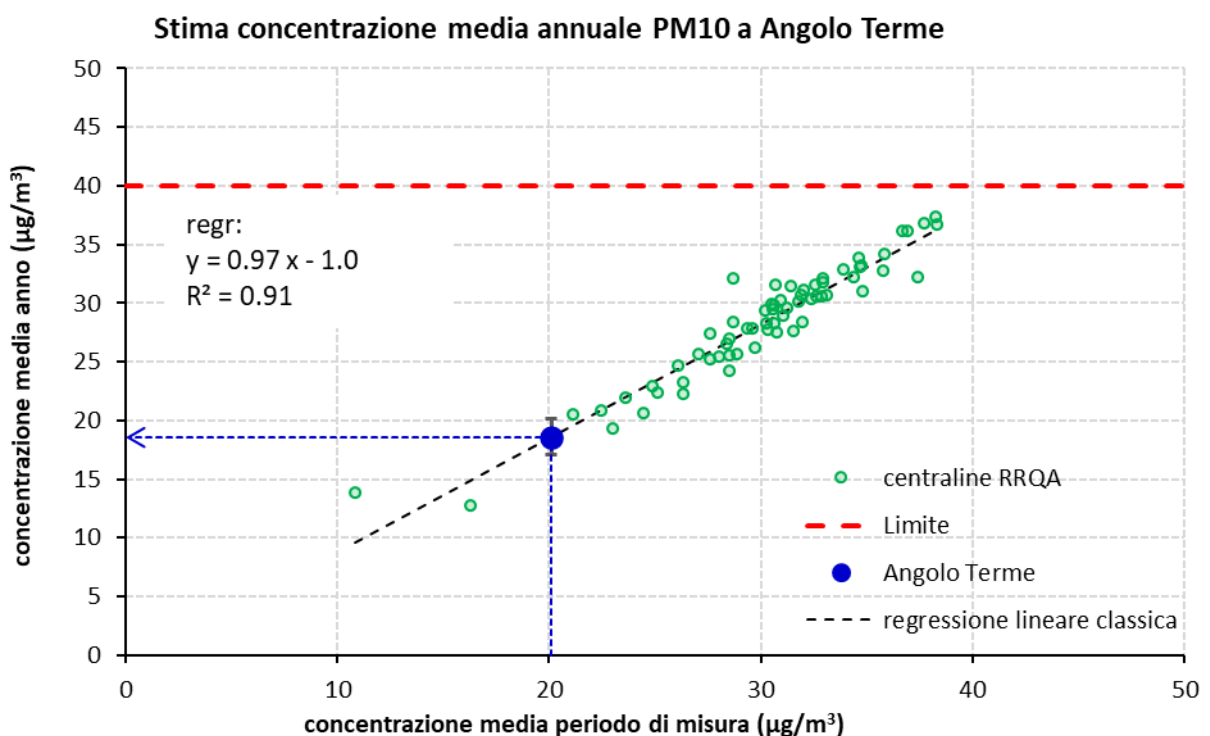


Figura 30 – Stima della concentrazione media annuale di PM10 per il sito temporaneo di Angolo Terme.

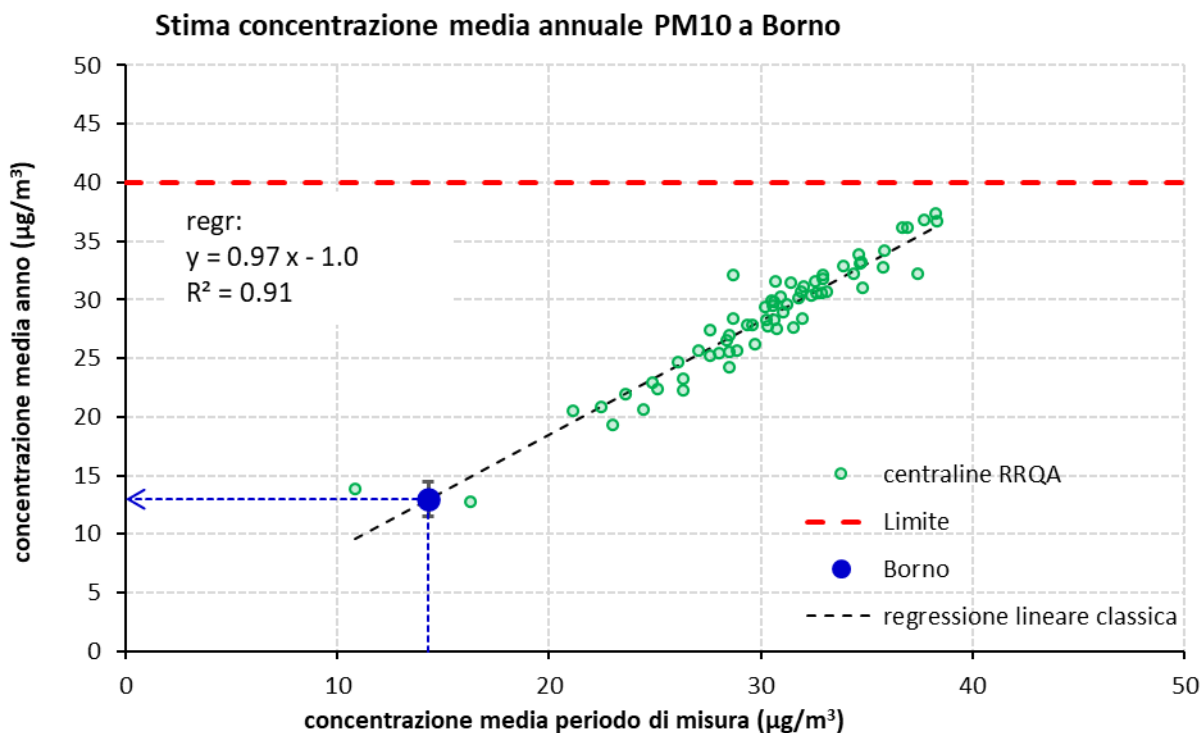


Figura 31 – Stima della concentrazione media annuale di PM10 per il sito temporaneo di Borno.

Da segnalare che, nell'applicazione del procedimento, tra le postazioni prese a riferimento a non sono stati considerati i dati relativi alla postazione di Darfo Boario Terme per la quale sono invece stati stimati i medesimi parametri. L'elaborazione restituisce una stima, per il sito di Darfo BT, per la media annuale di PM10 pari a 33  $\mu\text{g}/\text{m}^3$  a fronte dei 31  $\mu\text{g}/\text{m}^3$  effettivamente misurati a conferma della bontà del metodo di stima (Figura 32).

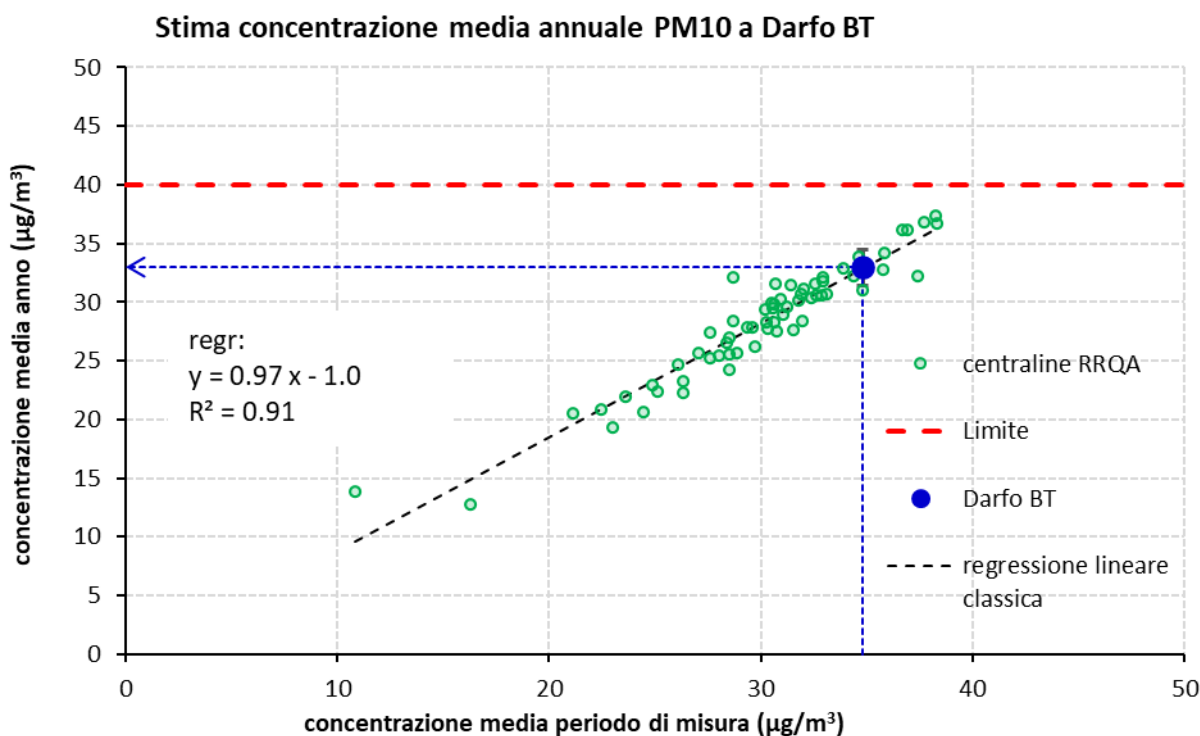


Figura 32 – Stima della concentrazione media annuale di PM10 per il sito di Darfo BT.

Un procedimento analogo è stato seguito per fornire una previsione sul rispetto del numero di superamenti del valore medio giornaliero ammessi da normativa. Per fare ciò è stato proiettato non il numero di superamenti su base annuale bensì l'indicatore statistico costituito dal 90.4° percentile delle medie giornaliere calcolate durante un anno, indicatore comunque strettamente correlato al numero di superamenti, così come per altro indicato dalla normativa.

Ciò significa che, prendendo 365 dati misurati durante un anno e ordinandoli in ordine decrescente, il 36° dato misurato è rappresentato dal 90.4° percentile delle concentrazioni, essendo tale dato giornaliero quello che deve risultare inferiore al valore limite per garantirne il rispetto. Tale livello percentile, quindi, è fissato dal numero di giorni di superamento ammessi su base annuale e risulta robusto rispetto ad eventuali mancanze di dati. Un valore dell'indicatore superiore al valore limite di  $50 \mu\text{g}/\text{m}^3$  implica evidentemente il mancato rispetto del numero di superamenti ammessi, viceversa un valore dell'indicatore inferiore al valore limite implica che il numero di superamenti risulterebbe inferiore al numero ammesso.

Il risultato dell'elaborazione per il sito di Angolo Terme è illustrato dalla retta di regressione di Figura 33 mentre in Figura 34 è mostrato il risultato per il sito di Borno. Il valore di  $R^2$ , pari a 0.87, permette di considerare affidabile la regressione che fornisce una stima dell'indicatore di  $34 \mu\text{g}/\text{m}^3$ , con un'incertezza associata di circa  $3 \mu\text{g}/\text{m}^3$ ; tali valori suggeriscono con elevata probabilità che il numero di giorni di superamento ammessi possa essere rispettato. Analogamente, presso il sito di Borno l'elaborazione restituisce una stima dell'indicatore paria a  $24 \mu\text{g}/\text{m}^3$  che a maggior ragione suggerisce il probabile rispetto del più restrittivo limite di legge previsto per il numero di superamenti della media giornaliera.

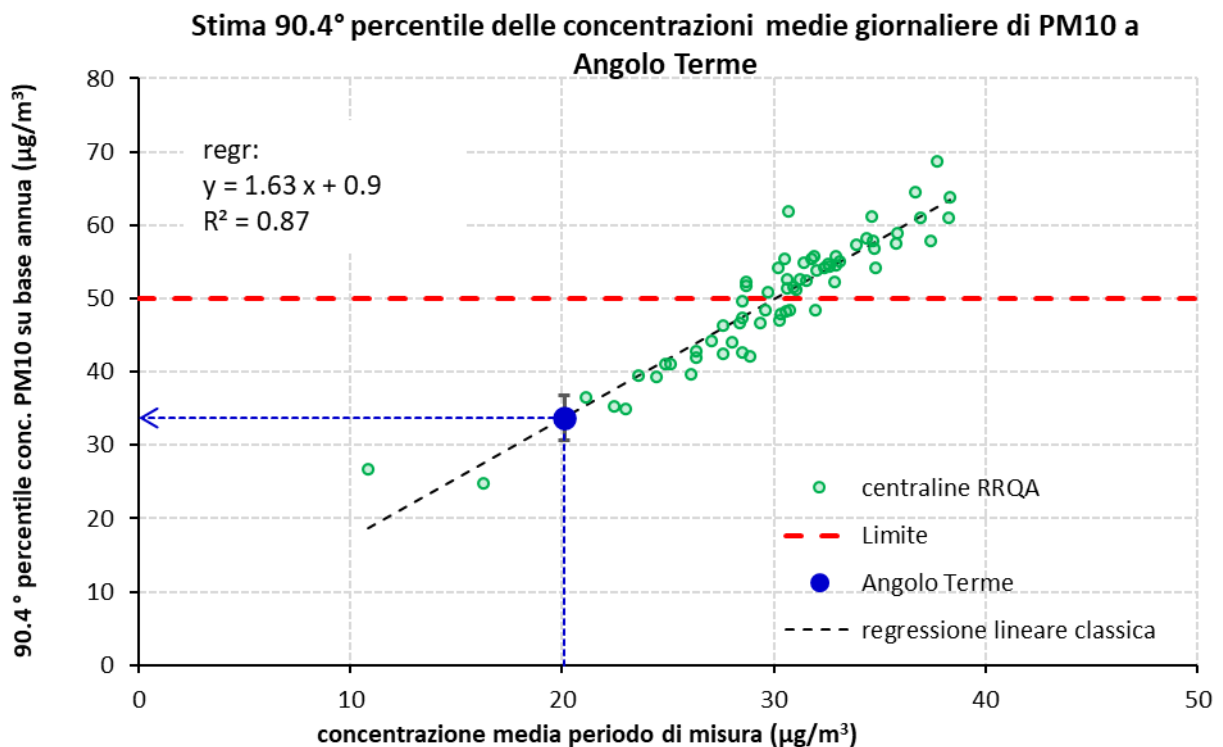


Figura 33 – Stima del 90.4° percentile delle medie giornaliere di PM10 per il sito temporaneo di Angolo Terme.

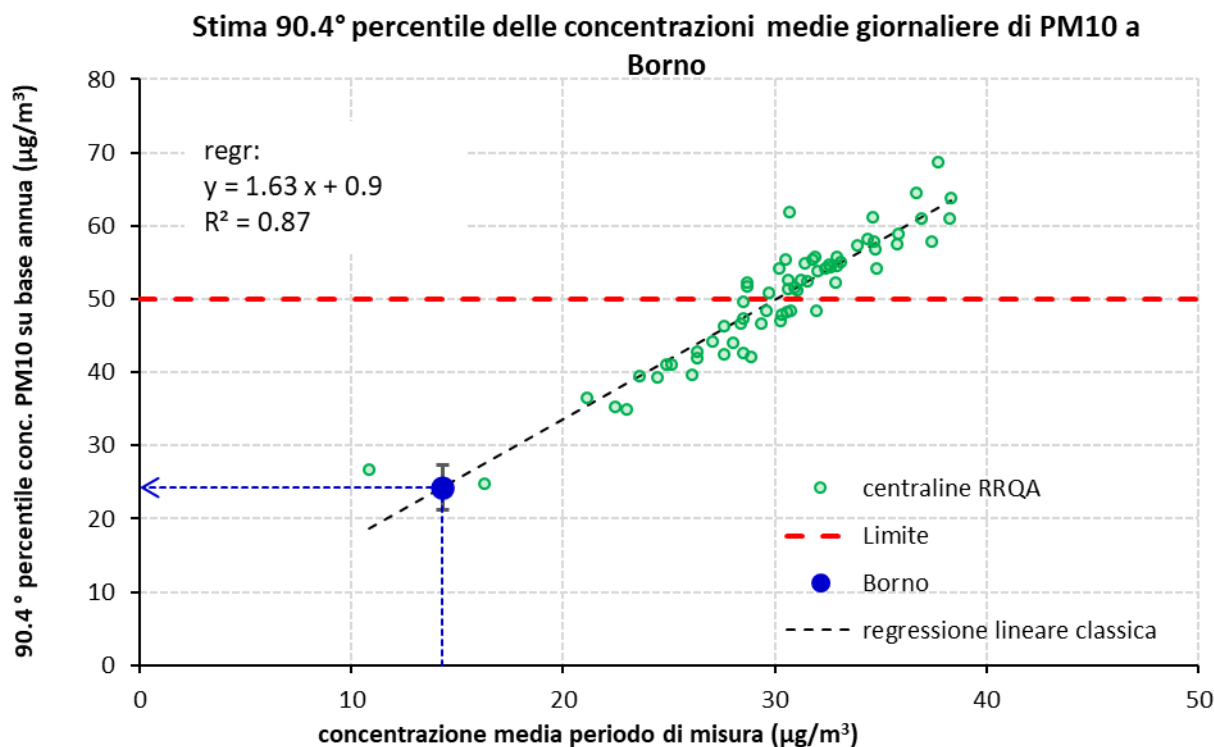


Figura 34 – Stima del 90.4° percentile delle medie giornaliere di PM10 per il sito temporaneo di Borno.

Anche per questo indicatore si è provveduto ad applicare il medesimo procedimento per il sito di Darfo BT ottenendo una stima per il 90.4° percentile delle medie giornaliere pari a 58  $\mu\text{g}/\text{m}^3$  a fronte dei 54  $\mu\text{g}/\text{m}^3$  calcolabili dai dati effettivamente misurati. Tale valore suggerisce, al contrario dei siti oggetto della campagna di misura, il mancato rispetto del limite più restrittivo per il sito di fondovalle.

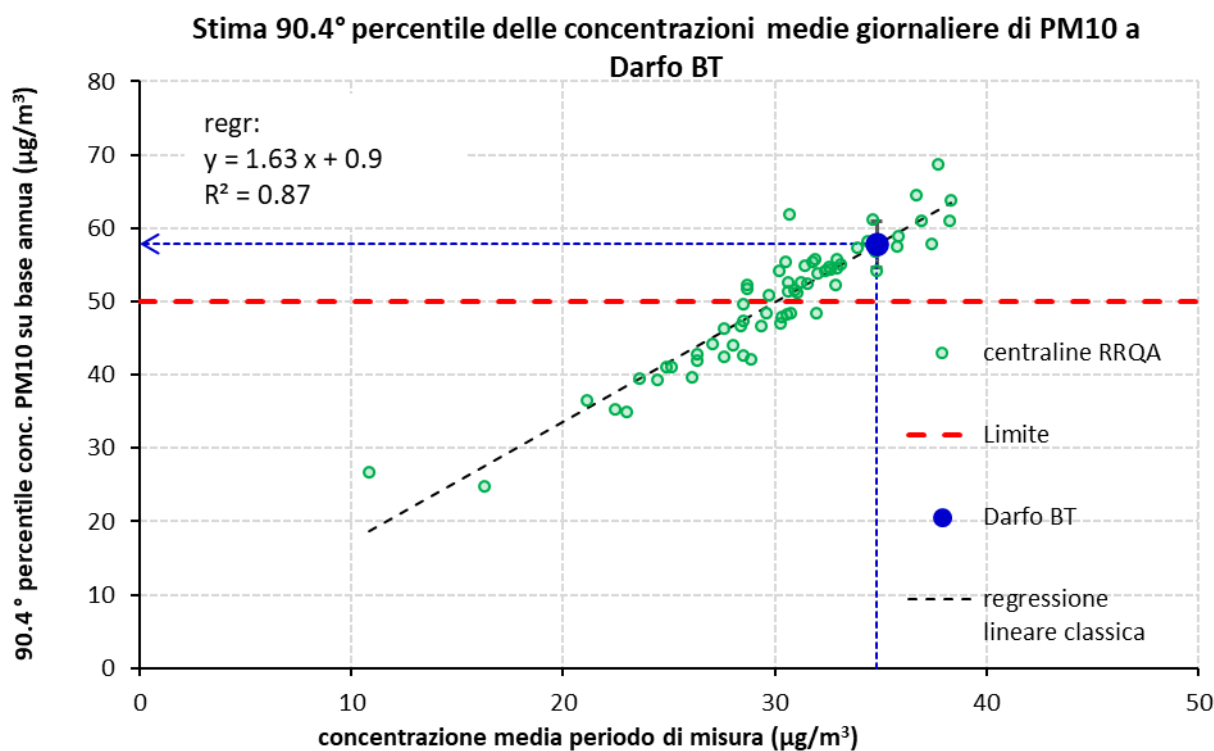


Figura 35 – Stima del 90.4° percentile delle medie giornaliere di PM10 per il sito di Darfo Boario Terme.



## Biossido di Azoto

Il D. Lgs. 155/10 prevede per il biossido di azoto, oltre al limite di  $200 \mu\text{g}/\text{m}^3$  sulla media oraria, un valore limite di  $40 \mu\text{g}/\text{m}^3$  sulla media annuale.

È possibile stimare la media annua della concentrazione di  $\text{NO}_2$  a presso i siti in indagine: la regressione lineare classica calcolata considerando le 84 stazioni della RRQA, che rispondono ai requisiti di qualità dei dati richiesti dalla normativa, restituisce un'ottima correlazione come si deduce dal valore di  $R^2$  pari a 0.93 (Figura 36 e Figura 37). Poiché le concentrazioni medie di questo inquinante rilevate complessivamente durante le due fasi della campagna di misura risultano inferiori a quelle delle postazioni prese a riferimento, la stima richiede un'estrapolazione che suggerisce concentrazioni media annue pari a  $12 \mu\text{g}/\text{m}^3$  ad Angolo Terme e pari a  $13 \mu\text{g}/\text{m}^3$  a Borno, ovviamente con ampia confidenza di rispetto del limite di legge. Analoga stima effettuata per il sito di Darfo BT restituisce un valore pari a  $23 \mu\text{g}/\text{m}^3$ , valore coincidente con la media annuale effettivamente misurata (Figura 38).

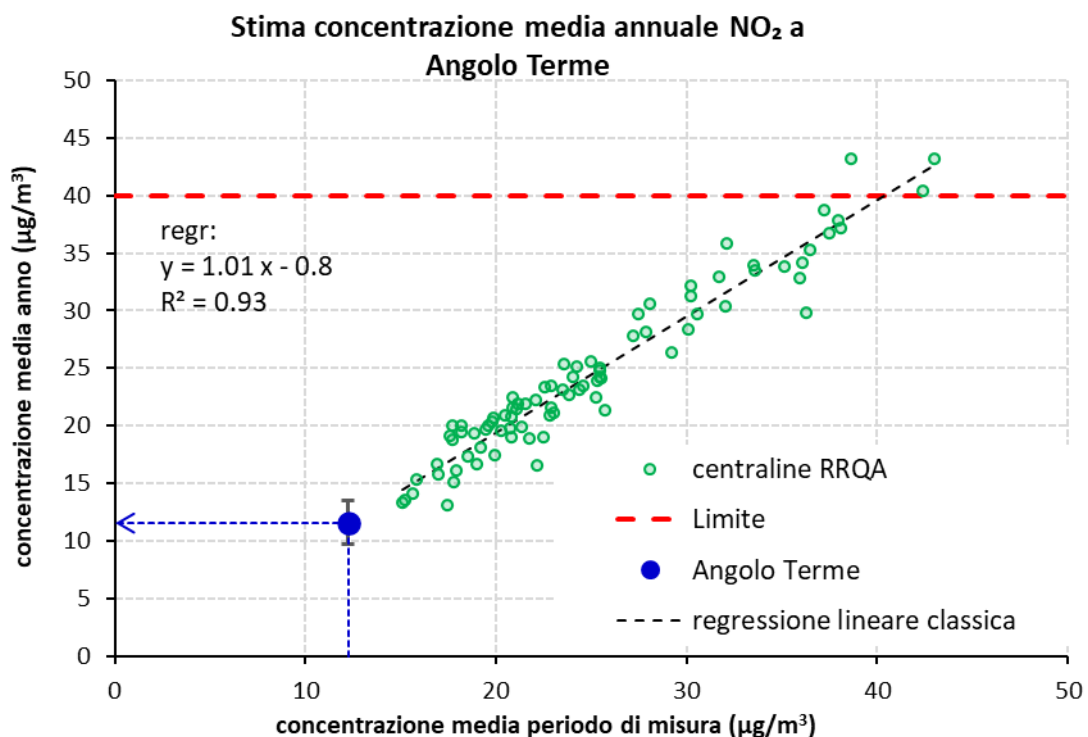


Figura 36 – Stima della concentrazione media annuale di  $\text{NO}_2$  per il sito temporaneo di Angolo Terme.

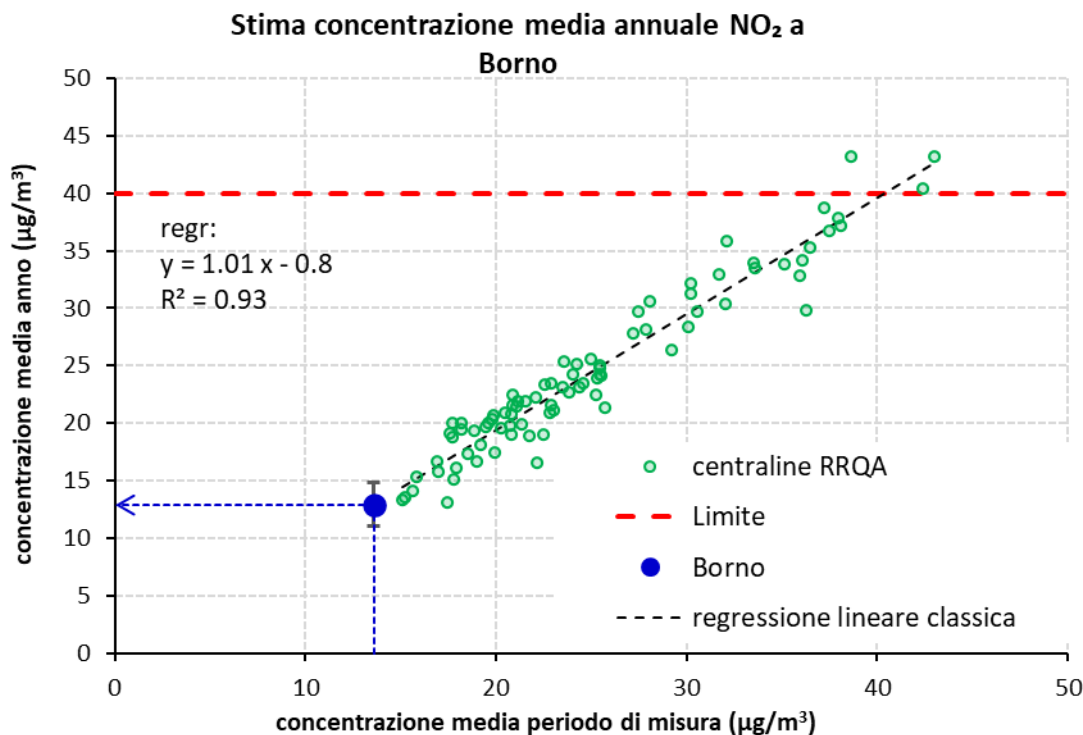


Figura 37 – Stima della concentrazione media annuale di NO<sub>2</sub> per il sito temporaneo di Borno..

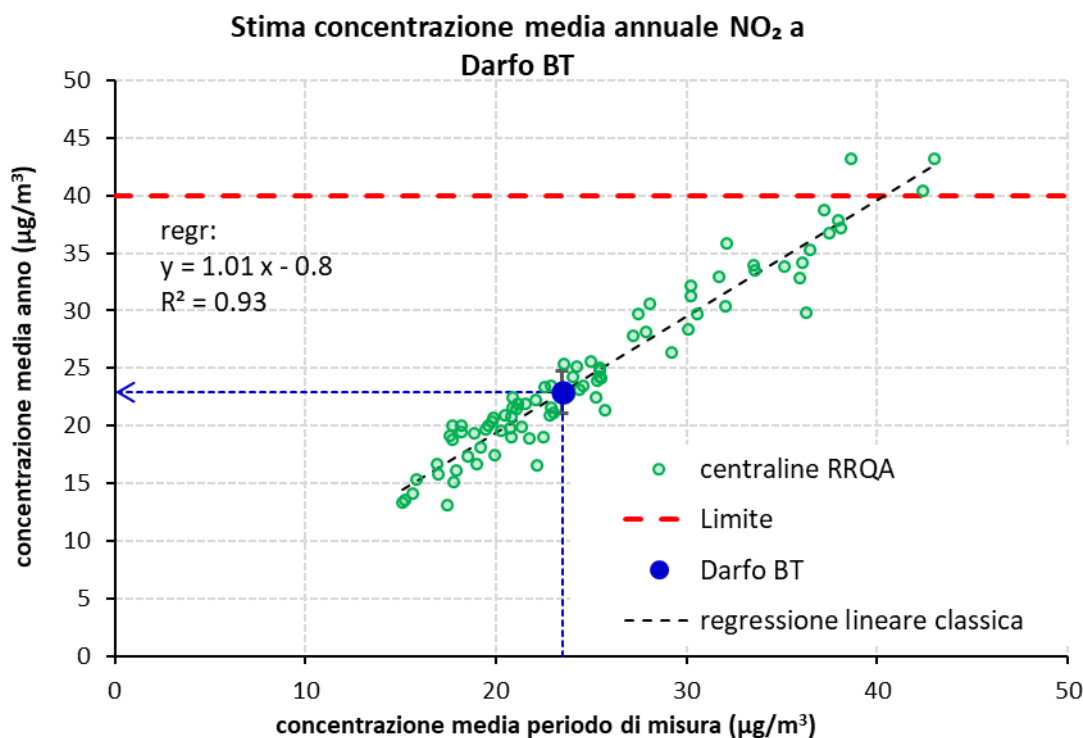


Figura 38 – Stima della concentrazione media annuale di NO<sub>2</sub> per il sito di Darfo Boario Terme.

Non si riporta la stima effettuata per la verifica del limite per le medie orarie di NO<sub>2</sub>, l'indicatore calcolato mediante estrapolazione risulta infatti estremamente basso, essendo, peraltro, tale limite rispettato presso tutte le postazioni lombarde durante il periodo preso a riferimento,

## Ozono

La normativa prevede per l'ozono un valore obiettivo per la protezione della salute umana, pari a  $120 \mu\text{g}/\text{m}^3$ , sul massimo valore giornaliero della concentrazione calcolata come media mobile sulle 8 ore<sup>3</sup>, da non superare più di 25 volte all'anno. Per valutare se presso i siti di interesse tale valore obiettivo possa essere rispettato è possibile mettere in relazione l'indicatore statistico che rappresenta il rispetto del limite con la concentrazione media di ozono rilevata durante la sola fase estiva della campagna svolta. Durante il periodo invernale, infatti, come visto nel relativo paragrafo, le concentrazioni misurate non hanno mai raggiunto neppure puntualmente valori vicini al livello del valore obiettivo. Essendo tuttavia il valore obiettivo in larga parte superato a scala sinottica, la sola informazione relativa al superamento risulta poco significativa. Per quanto meno precisa, dal punto di vista statistico dato il minore coefficiente di correlazione di 0.5, è interessante, per un confronto tra siti, ricavare una stima del numero di giorni di superamento del valore obiettivo.

I grafici di Figura 39 e Figura 40 mostrano il risultato dell'elaborazione per i siti in indagine. Il calcolo, effettuato utilizzando i dati di 48 postazioni fisse della RRQA, escludendo dal calcolo, oltre a come in precedenza il sito di Darfo BT, il sito di alta montagna di Moggio che, discostandosi dal baricentro della regressione, ne governerebbe i risultati, stima un numero di giornate di superamento ad Angolo Terme pari a 87 e un numero di giornate di superamento pari a 112 a Borno, a fronte delle 25 ammesse dalla norma. Tale comportamento si osserva diffusamente anche presso le stazioni della RRQA; su 48 siti presi in considerazione solo 2 avrebbero rispettato il valore obiettivo previsto dalla norma.

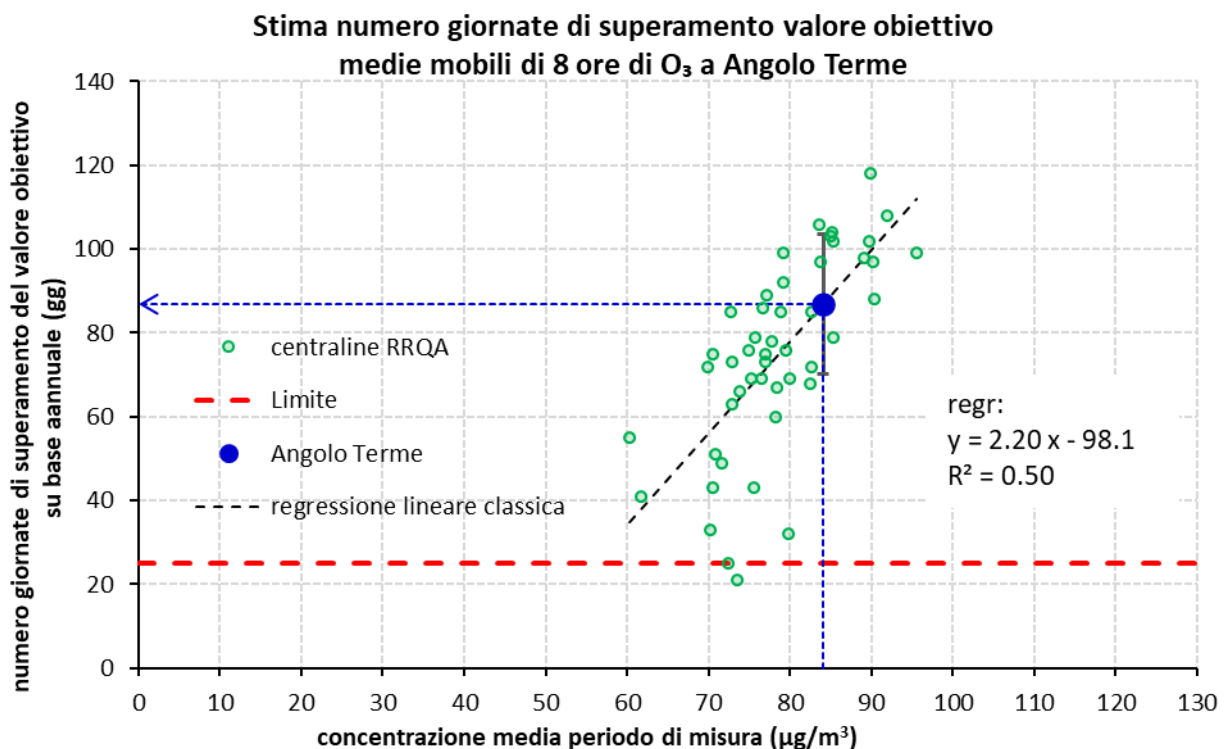


Figura 39 – Stima del numero di giornate di superamento del valore obiettivo di O<sub>3</sub> per il sito temporaneo di Angolo Terme

<sup>3</sup> Come indicato da normativa, a ogni ora del giorno è associato un valore di O<sub>3</sub> calcolato mediando le concentrazioni misurate nelle 8 ore precedenti. Quindi, per ogni giorno si confronta il massimo valore con il limite di  $120 \mu\text{g}/\text{m}^3$ .

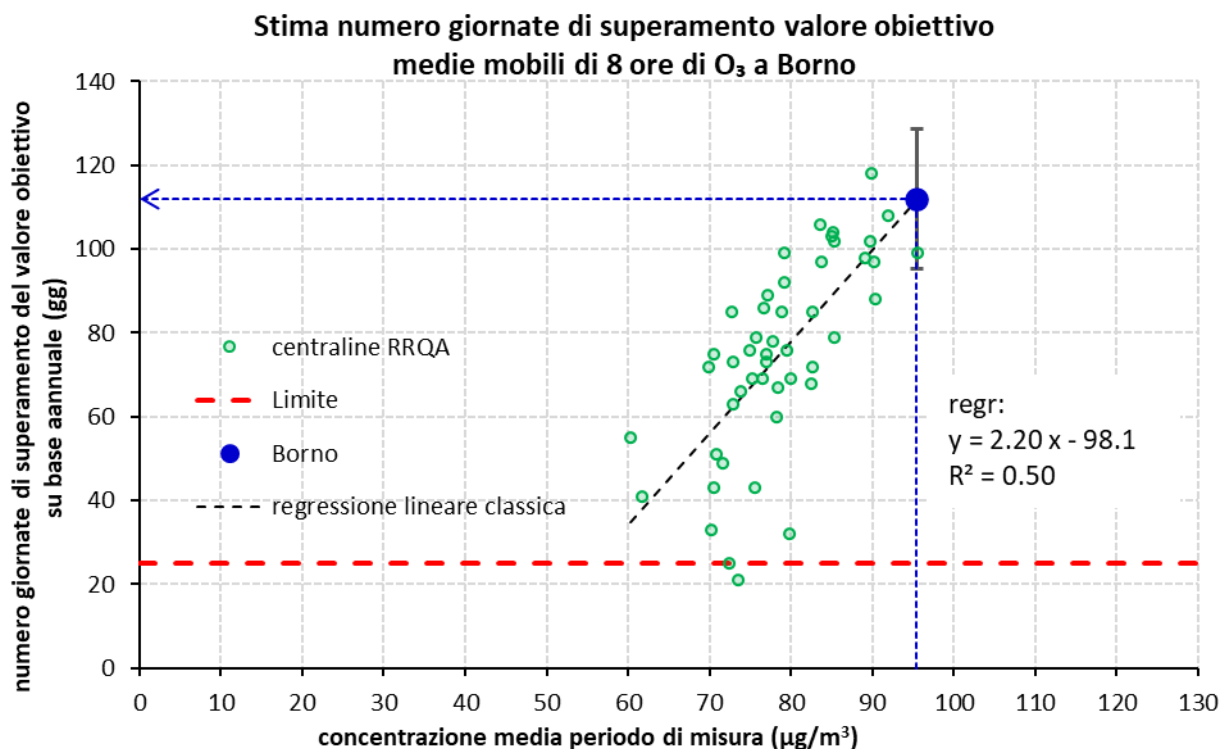


Figura 40 – Stima del numero di giornate di superamento del valore obiettivo di O<sub>3</sub> per il sito temporaneo di Borno.

Si osserva che la stima del numero di giornate di supero del valore obiettivo presso Darfo BT restituisce superamenti per 75 giorni durante l'annualità di riferimento a fronte dei 91 effettivamente misurati.

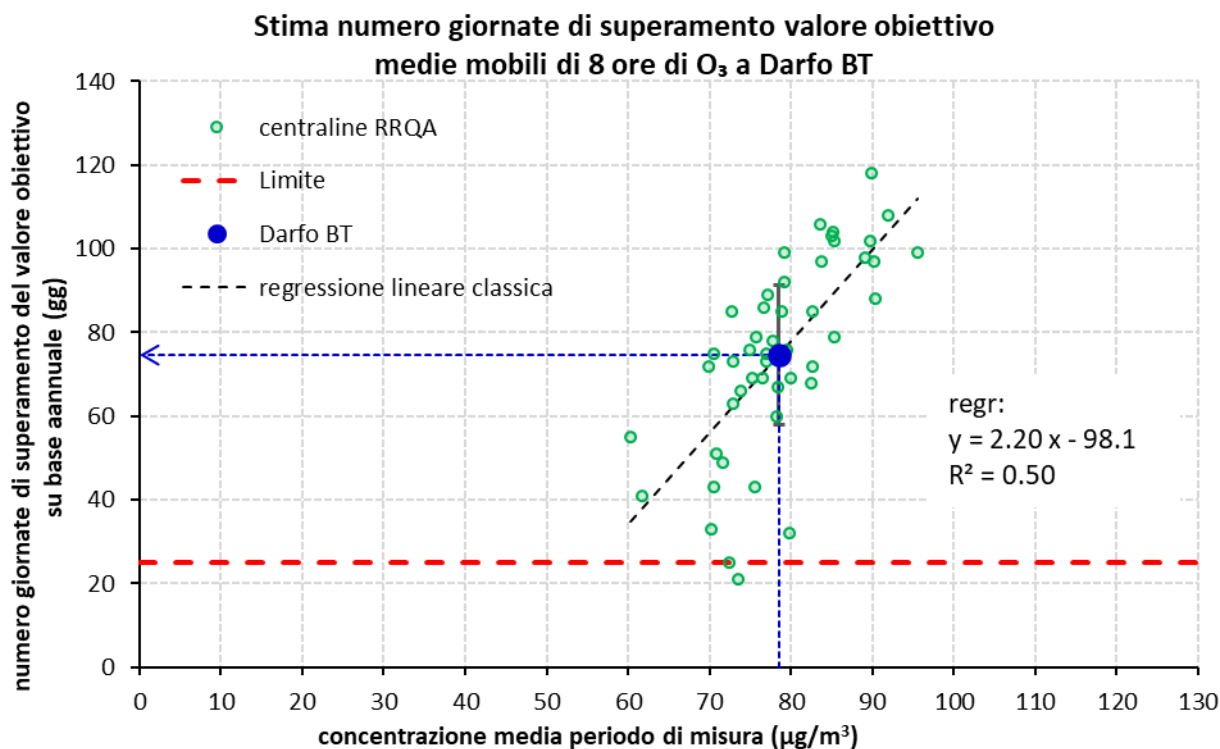


Figura 41 – Stima del numero di giornate di superamento del valore obiettivo di O<sub>3</sub> per il sito di Darfo Boario Terme.

## Benzo(a)Pirene

Il D. Lgs. 155/10 individua il Benzo(a)Pirene come IPA per il quale è fissato un limite sulla media annuale di 1.0 ng/m<sup>3</sup>.

Per stimare il rispetto di tale limite presso i due siti oggetto di indagine è possibile mettere in relazione le concentrazioni medie di B(a)P rilevate in periodo invernale, in concomitanza con le analisi effettuate, con le corrispondenti calcolate presso i siti della RRQA dove è attiva, in continuo, la misura del B(a)P prendendo ancora una volta a riferimento un periodo di 365 giorni centrato sulla campagna di misura.

La regressione restituisce valori di correlazione decisamente buoni con conseguente limitata incertezza associata. La proiezione restituisce una stima per la concentrazione media annua di B(a)P ad Angolo Terme di 0.7 ng/m<sup>3</sup> con una probabilità del 99% di rispetto del limite mentre a Borno la proiezione restituisce una stima della concentrazione media annua di B(a)P pari a 0.5 ng/m<sup>3</sup>, cui discende una probabilità superiore al 99% di rispetto del limite.

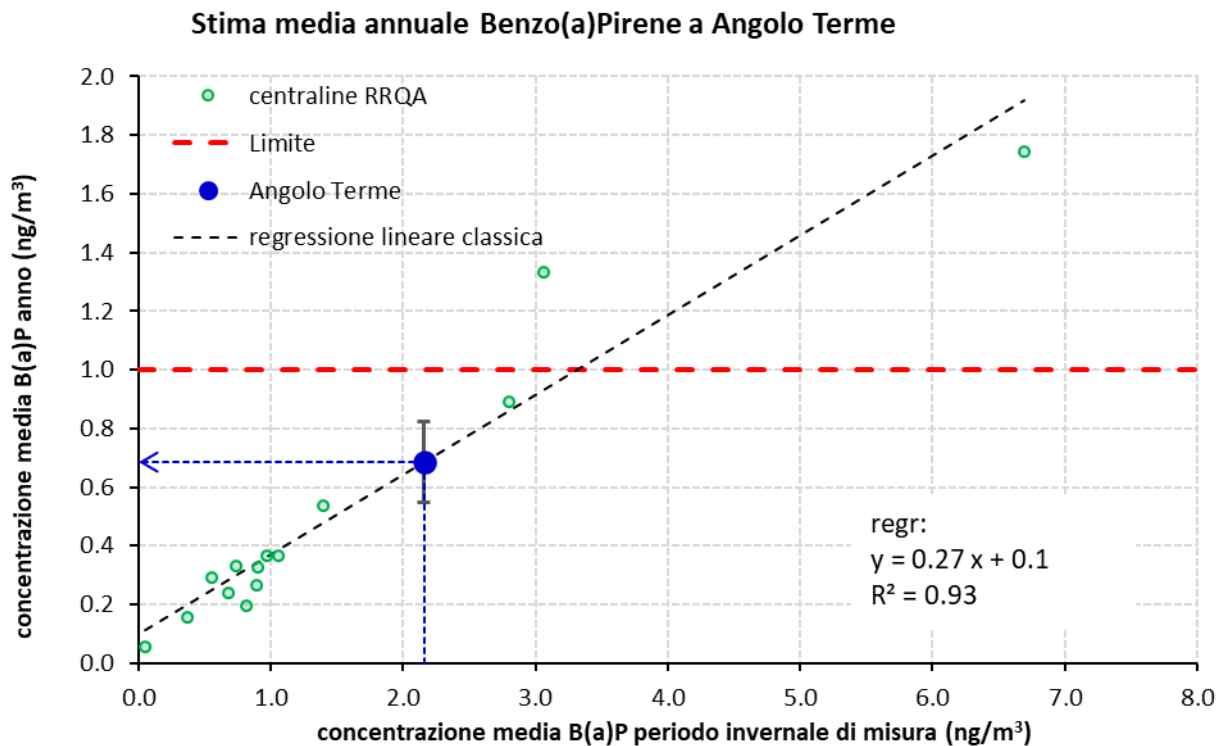


Figura 42 – Stima della concentrazione media annuale di Benzo(a)Pirene per il sito temporaneo di Angolo Terme.

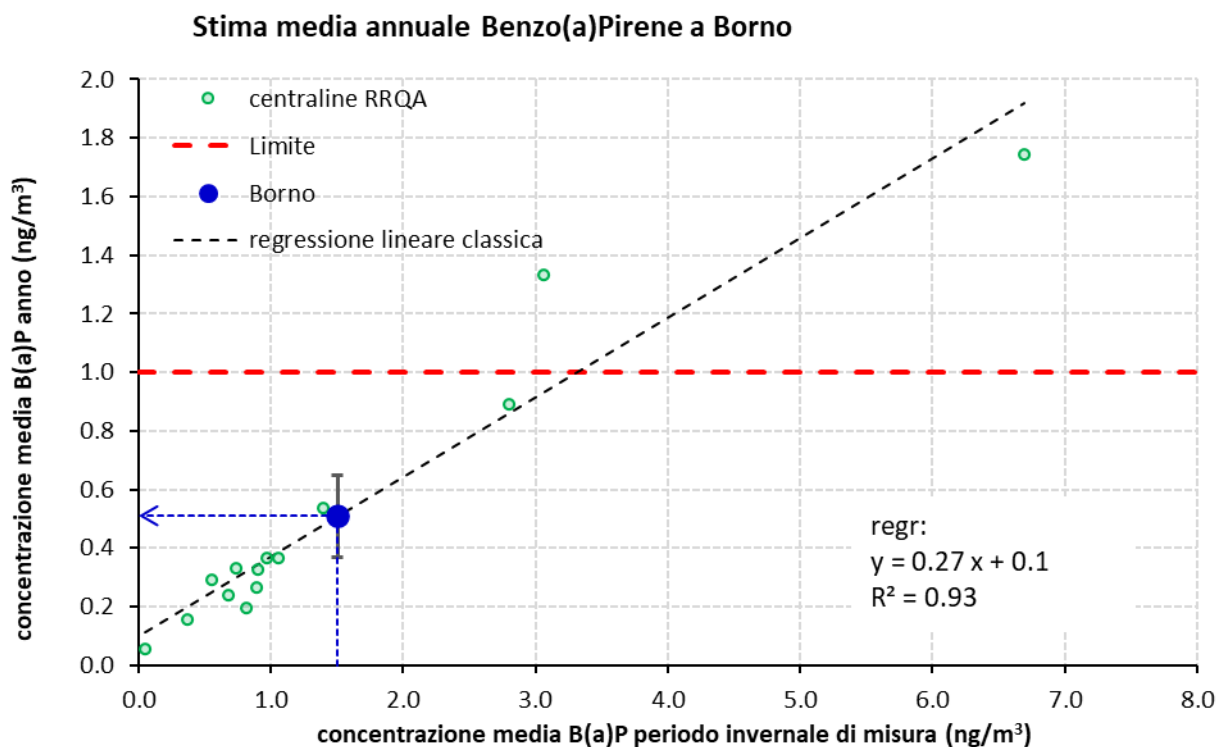


Figura 43 – Stima della concentrazione media annuale di Benzo(a)Pirene per il sito temporaneo di Borno.

## Analisi sul particolato

Al fine di determinare i contributi relativi tra le sorgenti sono state effettuate le analisi elencate in precedenza sui filtri di PM10 campionati. Nel dettaglio:

- Mediante un analizzatore a raggi X di fluorescenza (XRF) sono state determinate le concentrazioni dei seguenti elementi: alluminio (Al), silicio (Si), zolfo (S), cloro (Cl), potassio (K), calcio (Ca), titanio (Ti), vanadio (V), cromo (Cr), manganese (Mn), ferro (Fe), nichel (Ni), rame (Cu), zinco (Zn), bromo (Br), rubidio (Rb), e piombo (Pb);
- In Cromatografia Ionica (IC) sono stati determinati i principali ioni (nitrato, solfato, ammonio, calcio, magnesio, potassio, sodio e cloruri). Utilizzando lo stesso IC ma con detector amperometrico è stato determinato il levoglucosano, marker specifico delle combustioni di biomassa;
- La componente carboniosa, distinta in carbonio organico (OC) e carbonio elementare (EC), è stata determinata con metodo termo-ottico, ovvero TOT/TOR Thermal-Optical Transmittance/Reflectance, secondo i criteri definiti dalla norma CEN/TR 16243:2011, con l'applicazione del protocollo NIOSH-Like.
- In cromatografia liquida ad alta prestazione (HPLC-UV-VIS) sono stati determinati i più importanti Idrocarburi Policiclici Aromatici (IPA): B(a)P, B(a)A, B(b)F, B(j)F+B(k)F, I(1,2,3,c,d)P e dB(a,h)A;

Le metodiche scelte sono quelle ufficiali, ove previste dalla legislazione, sia per la fase di campionamento che per quella di analisi. Ove la legislazione non prevede/indica esplicitamente un metodo ufficiale, si è fatto riferimento alle norme tecniche di settore.

Con l'insieme di queste specie determinate analiticamente è stato possibile ricostruire la composizione chimica del particolato atmosferico.

La determinazione degli elementi ed in particolare la distinzione tra quelli di origine terrigena dagli altri, risulta fondamentale per valutare il contributo della risospensione di polvere dal suolo. Elementi come alluminio, calcio, silicio, ferro e titanio, con i loro principali ossidi, si trovano prevalentemente in particelle di grandi dimensioni e forme irregolari, provenienti dall'erosione della crosta terrestre. Il ferro può avere origine, insieme al rame, allo zinco e ad altri metalli, anche dall'usura delle parti meccaniche dei mezzi di trasporto (ad esempio i freni) e pertanto può essere associato alla sorgente traffico. Altri come potassio e rubidio sono traccianti delle combustioni da biomassa sebbene non univoci, in quanto rappresentativi anche della risospensione dal suolo (possono avere origine sia minerale sia da combustione di biomassa); nichel, cromo, zinco, piombo e vanadio possono indicare la presenza di sorgenti industriali.

Solfati, nitrati e ammonio sono presenti principalmente come solfato d'ammonio e nitrato d'ammonio. Sono composti di origine secondaria, cioè si formano in atmosfera a partire dai precursori gassosi quali ammoniaca (agricoltura e allevamento), ossidi di azoto e di zolfo.

La frazione carboniosa è distinta in carbonio elementare (EC) e carbonio organico (OC). L'EC è un inquinante primario emesso durante la combustione incompleta di combustibili fossili e di biomasse e può essere emesso da sorgenti naturali e antropiche sotto forma di fuliggine. In ambito urbano e in particolare nel periodo estivo può essere assunto quale tracciante delle emissioni dei motori a combustione interna.

L'OC comprende molti composti con grandi differenze di volatilità; alcuni di questi si possono trovare sia in fase vapore che in quella di particella. È un inquinante in parte primario e in parte secondario. Le principali sorgenti di OC primario sono le combustioni naturali o antropogeniche di biomassa, le combustioni di combustibili fossili (industria, trasporti, etc.) e il materiale biologico. L'OC secondario si può formare in seguito a ossidazione fotochimica di precursori volatili (VOC).

Il levoglucosano è un composto organico appartenente alla famiglia degli zuccheri e tracciante (marker) univoco delle combustioni da biomassa poiché prodotto in particolare nella combustione della lignina.

Analogamente la determinazione degli IPA ed in particolare del benzo(a)pirene (B(a)P), è fondamentale nella valutazione delle combustioni quali, ad esempio, l'emissione degli autoveicoli pesanti o la combustione di biomassa.

## Fattori di arricchimento

A partire dalle concentrazioni elementali analizzate è quindi possibile calcolare un fattore di arricchimento del particolato come rapporto tra la concentrazione di un dato elemento ed un elemento di riferimento, considerato di origine strettamente terrigena, corretto per il rapporto delle concentrazioni dei medesimi elementi nel terreno; quale terreno di riferimento si è utilizzato un

terreno proveniente dalla pianura analizzato con la medesima metodica. Convenzionalmente il silicio è considerato di origine terrigena non essendo diffuse altre sorgenti specifiche. Il fattore di arricchimento, quindi, fornisce un'indicazione circa un'origine differente dal risollevarlo per quegli elementi che presentano FA significativamente superiori a 1; convenzionalmente viene considerato significativo un fattore di arricchimento superiore a 4.

Differenze nei fattori di arricchimento calcolati in periodo invernale ed estivo evidenziano l'impatto di sorgenti abbondanti in una stagione rispetto all'altra. Ad esempio, il maggiore FA invernale per l'elemento cloro è generalmente riferibile alla salatura delle strade. Per quanto non sia un marker specifico della combustione della legna, il differente fattore di arricchimento del potassio in inverno testimonia della presenza di tale sorgente.

Ad Angolo Terme i rapporti tra i fattori di arricchimento calcolati nei due periodi mostrano l'influenza di queste due sorgenti.

	Al	Si	S	Cl	K	Ca	Ti	Cr	Mn	Fe	Cu	Zn	Br	Rb	Pb
FA <sub>est</sub>	1.3	1.0	63	2.9	2.7	1.5	1.6	8.3	2.7	2.5	5.4	17	438	0.94	3.0
FA <sub>inv</sub>	1.4	1.0	131	636	47	3.4	4.8	20	11	8.5	47	93	1764	18	17
FA <sub>inv</sub> /FA <sub>est</sub>	1.1	1.0	2.1	218	18	2.3	2.9	2.4	3.9	3.5	8.6	5.5	4.0	19	5.8

Tabella 9 – fattori di arricchimento elementi rilevati ad Angolo Terme nei due periodi di misura

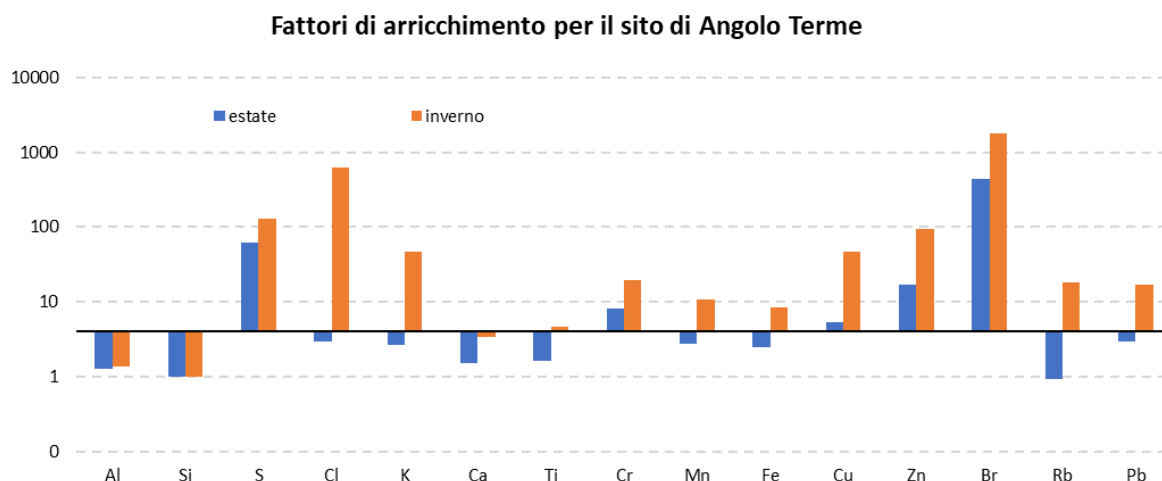


Figura 44 – fattori di arricchimento elementi rilevati ad Angolo Terme nei due periodi di misura

Anche a Borno i rapporti tra i fattori di arricchimento calcolati nei due periodi mostrano l'influenza di queste due sorgenti.

	Al	Si	S	Cl	K	Ca	Ti	Cr	Mn	Fe	Cu	Zn	Br	Rb	Pb
FA <sub>est</sub>	1.3	1.0	55	1.5	2.4	1.5	1.6	5.1	2.2	2.1	3.9	12	391	0.98	2.3
FA <sub>inv</sub>	1.2	1.0	55	592	19	4.1	2.6	7.8	4.6	3.5	14	36	794	6.7	5.8
FA <sub>inv</sub> /FA <sub>est</sub>	0.91	1.0	1.0	384	7.9	2.7	1.7	1.5	2.1	1.7	3.6	3.1	2.0	6.9	2.5

Tabella 10 – fattori di arricchimento elementi rilevati a Borno nei due periodi di misura



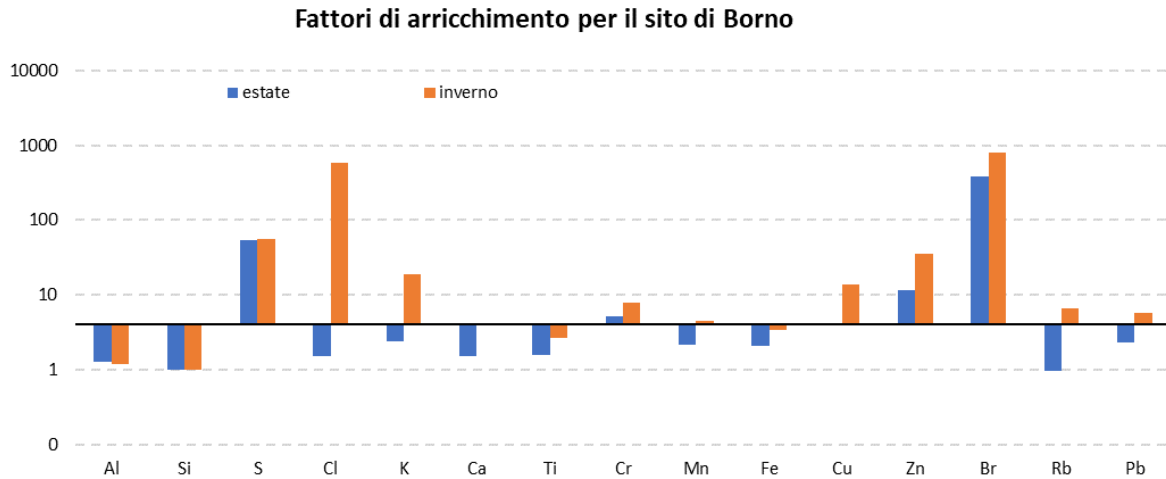


Figura 45 – fattori di arricchimento elementi rilevati a Borno nei due periodi di misura

## Chiusura di massa

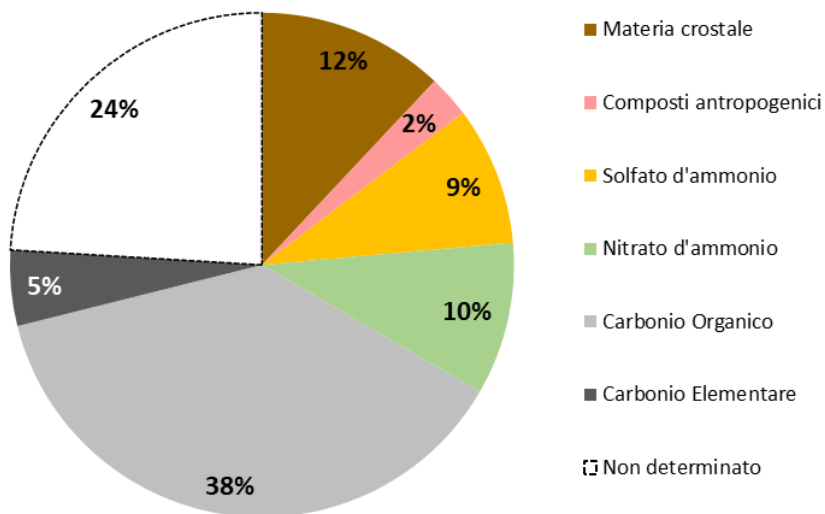
Con l'insieme delle specie determinate analiticamente è stato possibile effettuare la chiusura di massa del PM<sub>10</sub>, cioè la ricostruzione della composizione chimica del particolato atmosferico.

Si riporta di seguito la torta di chiusura di massa sia per l'intero periodo di indagine sia separatamente per i periodi estivo ed invernale (Figura 46 e Figura 47), con i contributi percentuali di ciascuna specie. In Tabella 11 e Tabella 12, invece, sono mostrati i contributi in termini di concentrazione assoluta.

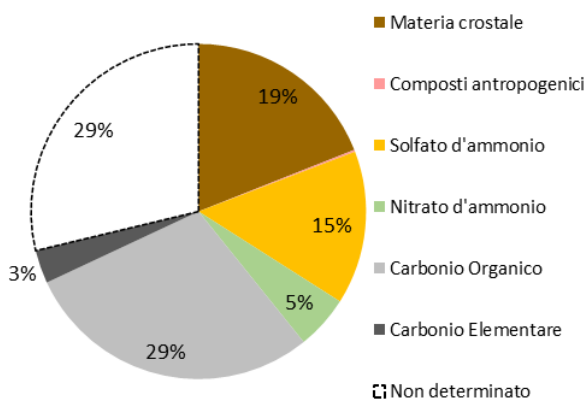
Le frazioni di idrogeno e ossigeno non misurate possono essere stimate; in letteratura il coefficiente di conversione da Carbonio Organico (OC) a Materia Organica (OM) per le emissioni da traffico primarie è pari a circa 1.2. L'analogo coefficiente per le emissioni da combustione di biomasse è pari a circa 2. In estate è possibile considerare il traffico quale principale sorgente di OC, quindi, la materia organica primaria può venire stimata, a partire dalla percentuale di OC, con conseguente diminuzione della frazione non determinata. In periodo invernale, i contributi per le due sorgenti traffico e combustione di biomasse possono essere stimati attraverso l'analisi PMF che verrà descritta nel paragrafo successivo, determinando il coefficiente di conversione come media pesata dei coefficienti relativi alle due sorgenti pesata sui rispettivi contributi.

Nel periodo estivo la massa mancante trova spiegazione nella produzione di materia organica secondaria. Le reazioni chimiche e fotochimiche tra composti organici portano ad una loro ossidazione, ovvero a una maggior presenza di atomi di ossigeno non determinabile; il coefficiente di conversione primario utilizzato nella stima dell'OM non tiene conto della formazione di carbonio organico secondario

**Composizione chimica del PM10 - Angolo T.  
dal 06.05/2022 al 14.06.2022  
dal 25.11.2022 al 16.01.2023**



**Composizione chimica del PM10 - Angolo T.  
dal 06.05.2022 al 14.06.2022**



**Composizione chimica del PM10 - Angolo T.  
dal 25.11.2022 al 16.01.2023**

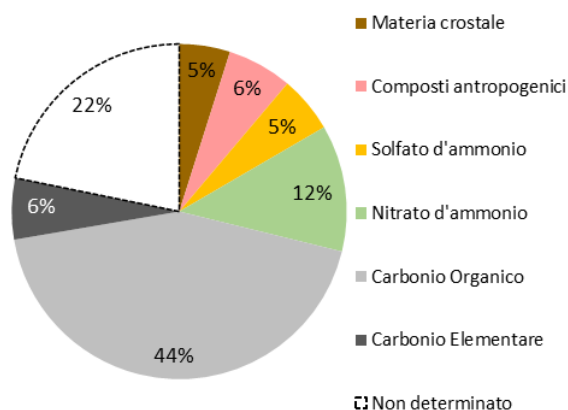
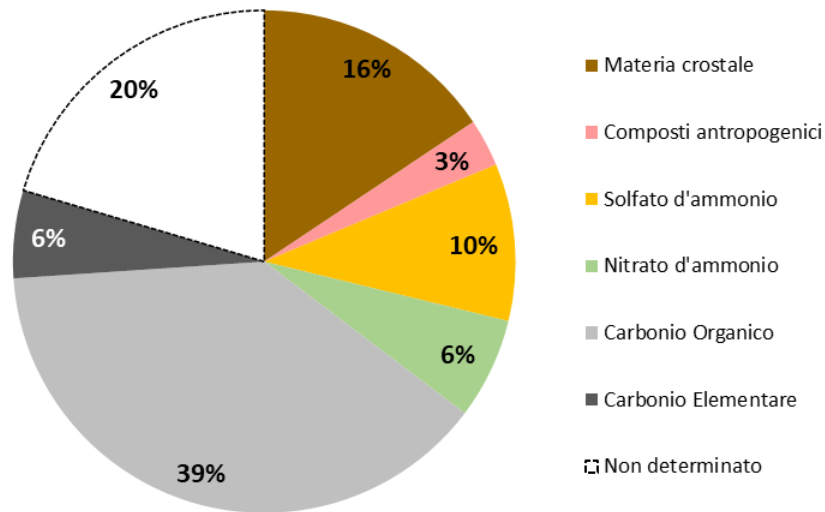


Figura 46 – Torta di chiusura di massa del PM10 ad Angolo Terme

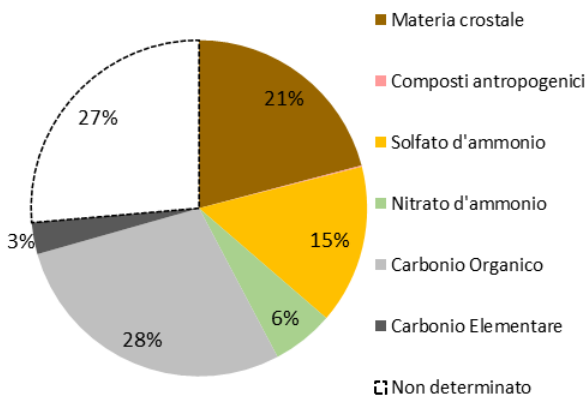
Concentrazioni delle principali componenti del PM10 ad Angolo Terme			
	Totale ( $\mu\text{g}/\text{m}^3$ )	Estate ( $\mu\text{g}/\text{m}^3$ )	Inverno ( $\mu\text{g}/\text{m}^3$ )
PM10	20	17	23
Materia crostale	2.4	3.3	1.1
Composti antropogenici	0.5	0.0	1.4
Solfato d'ammonio	1.8	2.5	1.2
Nitrato d'ammonio	2.0	0.9	2.8
Carbonio organico	7.6	5.0	9.8
Carbonio elementare	1.0	0.6	1.3
Non determinato	4.8	4.9	4.9

Tabella 11 – Concentrazioni, in valore assoluto, delle principali componenti del PM10 ad Angolo Terme

**Composizione chimica del PM10 - Borno**  
 dal 06.05/2022 al 14.06.2022  
 dal 25.11.2022 al 16.01.2023



**Composizione chimica del PM10 - Borno**  
 dal 06.05.2022 al 14.06.2022



**Composizione chimica del PM10 - Borno**  
 dal 25.11.2022 al 16.01.2023

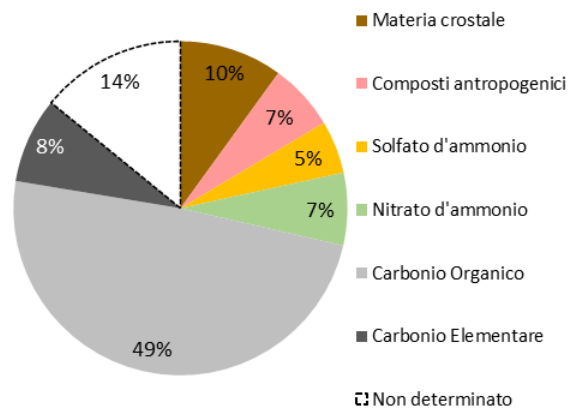


Figura 47 – Torta di chiusura di massa del PM10 a Borno

Concentrazioni delle principali componenti del PM10 a Borno			
	Totale ( $\mu\text{g}/\text{m}^3$ )	Estate ( $\mu\text{g}/\text{m}^3$ )	Inverno ( $\mu\text{g}/\text{m}^3$ )
<b>PM10</b>	<b>14</b>	<b>16</b>	<b>13</b>
Materia cristale	2.2	3.3	1.3
Composti antropogenici	0.4	0.0	0.8
Solfato d'ammonio	1.4	2.4	0.7
Nitrato d'ammonio	0.9	0.9	0.9
Carbonio organico	5.5	4.5	6.4
Carbonio elementare	0.8	0.5	1.1
Non determinato	2.9	4.1	1.8

Tabella 12 – Concentrazioni, in valore assoluto, delle principali componenti del PM10 a Borno

Si notano differenze tra il periodo estivo e quello invernale presso entrambi i siti in indagine. La materia cristallina, componente significativa in periodo estivo, diminuisce sensibilmente in periodo invernale. In inverno è quindi possibile separare una componente antropogenica calcolata come il complesso degli ossidi misurati sottratti della componente dovuta a risollevarimento. Evidente è la diminuzione percentuale del solfato d'ammonio. Contrariamente a quanto generalmente osservabile presso siti di pianura, in periodo invernale non esplose il contributo del nitrato d'ammonio, altra componente del particolato secondario. Importante è l'aumento della componente carboniosa, in larga parte imputabile alla combustione di biomassa legnosa. La parte di massa non determinata, significativamente meno rilevante in periodo invernale, è da attribuirsi essenzialmente ad altri atomi quali, ad esempio, idrogeno e ossigeno, legati al carbonio a formare la Materia Organica (OM) e in parte alla presenza di composti inorganici minoritari.

In Figura 48 e Figura 49 è indicato l'andamento della composizione chimica presso i due siti in indagine durante i due periodi di misura. In particolare, si nota, passando dal periodo estivo al periodo invernale, la diminuzione del contributo del risollevarimento e del secondario inorganico, in particolare del solfato, e, viceversa, il maggiore contributo della componente carboniosa.

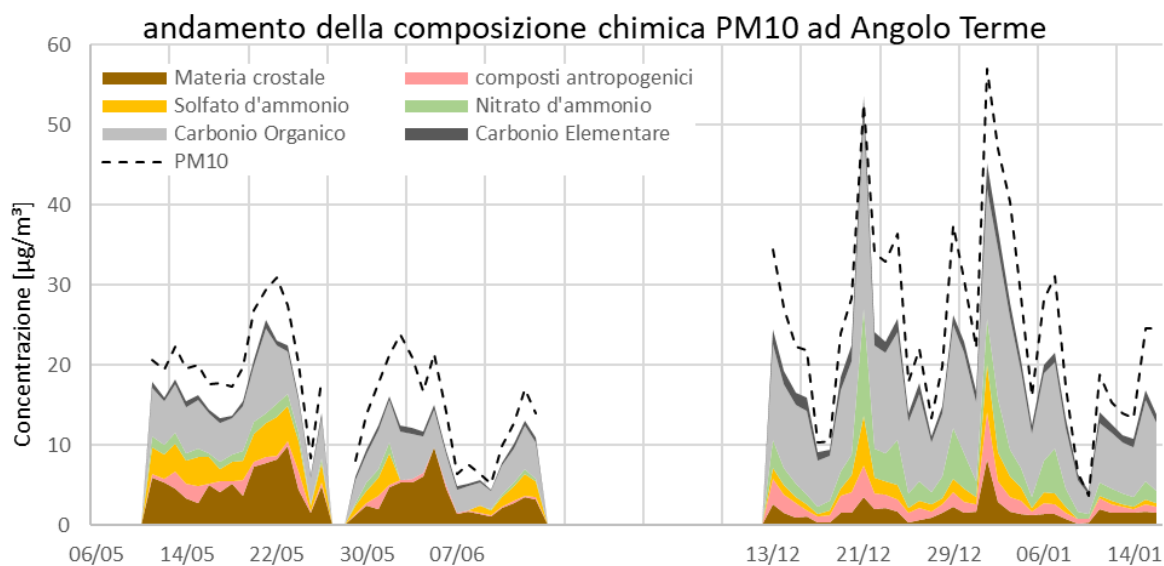


Figura 48 – andamento della composizione chimica del PM10 ad Angolo Terme

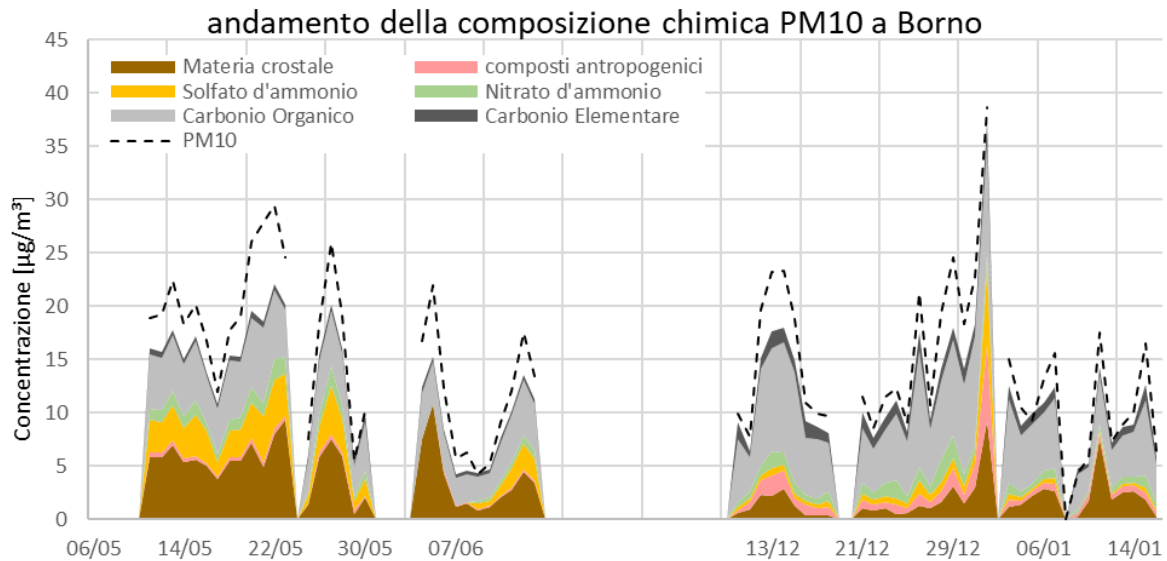


Figura 49 – andamento della composizione chimica del PM10 a Borno

## Apporzionamento mediante analisi multivariata

Il dataset di speciazione chimica è stato ulteriormente elaborato attraverso l'applicazione di algoritmi di source apportionment che permettono la valutazione quantitativa del contributo delle sorgenti, primarie e secondarie, alle concentrazioni di PM rilevate. L'analisi si basa su dati ambientali (concentrazione e composizione chimica del PM) misurati nel punto recettore per risalire, sotto la basilare ipotesi di conservazione della massa, al numero, alla tipologia ed al contributo delle diverse sorgenti di emissione che determinano la situazione ambientale osservata. I modelli al recettore sono di tipo diagnostico, cioè stimano l'impatto delle varie sorgenti emissive in un sito, sulla base di un'analisi multivariata delle misure raccolte.

Può essere infatti applicata l'equazione di bilancio di massa, considerando tutte le  $m$  specie chimiche negli  $n$  campioni ambientali di PM come contributo di  $N$  sorgenti indipendenti (Hopke, 2003):

$$C_{ij} = \sum_{k=1}^N a_{ik} S_{kj}$$

dove  $C_{ij}$  è la concentrazione della  $i$ -esima specie nel  $j$ -esimo campione,  $a_{ik}$  è la frazione di massa della specie  $i$ -esima emessa dalla  $k$ -esima sorgente e  $S_{kj}$  è il contributo della  $k$ -esima sorgente al  $j$ -esimo campione.

Sul dataset a disposizione si è applicato il modello a recettore multivariato PMF (Positive Matrix Factorization), nella sua ultima versione (PMF5), sviluppato dall'agenzia ambientale americana<sup>4</sup>. Il modello è accessibile liberamente dal sito internet dell'EPA, <http://www.epa.gov/ttn/scram/receptorindex.htm>.

<sup>4</sup> U.S. Environmental Protection Agency

L'applicazione della PMF al database analitico per i siti di Angolo Terme e Borno mostra sostanzialmente l'identificazione di sette fattori, cui sono stati assegnate le seguenti categorie di sorgenti: **polvere minerale** (ovvero la componente della risospensione di polvere dal suolo), **traffico** (sia per la sua componente "exhaust" ovvero per le emissioni allo scarico, sia per la componente "non exhaust", ovvero la componente legata all'usura dei freni, delle parti meccaniche dei veicoli sia per la risospensione di polvere dal suolo dovuta al passaggio dei veicoli), **mix antropogenico** (sorgente di metalli non direttamente dovuti al traffico "non exhaust"), **particolato secondario**, costituito, in particolare da solfato d'ammonio secondario e da una componente organica, **combustione di biomassa**, **sale, utilizzato in funzione antighiaccio**, e **fireworks**, fattore questo presente solo in occasione del primo giorno dell'anno. L'analisi PMF è stata effettuata includendo le giornate per cui era disponibile il set completo di analisi provenienti dai diversi campioni e linee analitiche.

Il riconoscimento e la conseguente attribuzione alle categorie di sorgenti dei fattori individuati dalla PMF sono stati fatti considerando le principali specie chimiche presenti in ogni fattore e i relativi rapporti; in particolare il fattore associato al traffico stradale è identificato essenzialmente dai traccianti caratteristici di tale sorgente, ovvero la componente carboniosa, in particolare il carbonio elementare, gli elementi legati all'usura dei freni, degli pneumatici e delle parti meccaniche dei mezzi stradali, in particolare Fe, Sr, Cr, Mn e Cu e dagli elementi terrigeni legati al risollevarsi di polvere dal suolo al passaggio dei veicoli (Fe, Ca, Al, Si).

Il fattore mix antropogenico è identificato da alcuni metalli in particolare Cr, Mn, e Ni; tali metalli non sono emessi solo dall'usura delle parti meccaniche degli autoveicoli ma anche da ulteriori sorgenti. Questa doppia origine per gli stessi elementi rende in realtà difficile la separazione della sorgente mix antropogenico dalla sorgente denominata traffico.

Il fattore denominato polvere minerale è rappresentato sostanzialmente dagli elementi terrigeni ed in particolare Al, Si e Ti. Il fattore denominato particolato secondario è individuato essenzialmente dallo ione solfato, nitrato, ammonio e da altri ioni oltre alla componente organica del carbonio. Rispetto infatti ad analoghe analisi effettuate presso siti di pianura, la PMF non riesce a risolvere separatamente due fattori riferiti rispettivamente a solfato e nitrato d'ammonio. In particolare, difficile risulta l'apportamento dello ione nitrato, il che determina una probabile sottostima della componente secondaria in periodo invernale a vantaggio del fattore indicato come combustione di biomassa. La combustione di biomassa è identificata dai suoi traccianti principali, ovvero levoglucosano e B(a)P, ma anche dal potassio elementare. Il fattore denominato sale, composto essenzialmente da cloro e sodio che identifica generalmente la componente del contributo naturale dell'aerosol marino, presso i siti in indagine identifica piuttosto gli occasionali spargimenti di sale per evitare la formazione di ghiaccio sulle strade. Il fattore identificato come dovuto all'uso di fuochi pirotecnici è identificabile dalla presenza, in particolare di Vanadio e Stronzio insieme al Potassio in forma ionica; tale fattore mostra tuttavia un contributo visibile solo in occasione del primo giorno dell'anno e il suo contributo complessivo tende ad essere enfatizzato in ragione della breve durata della campagna di misura.

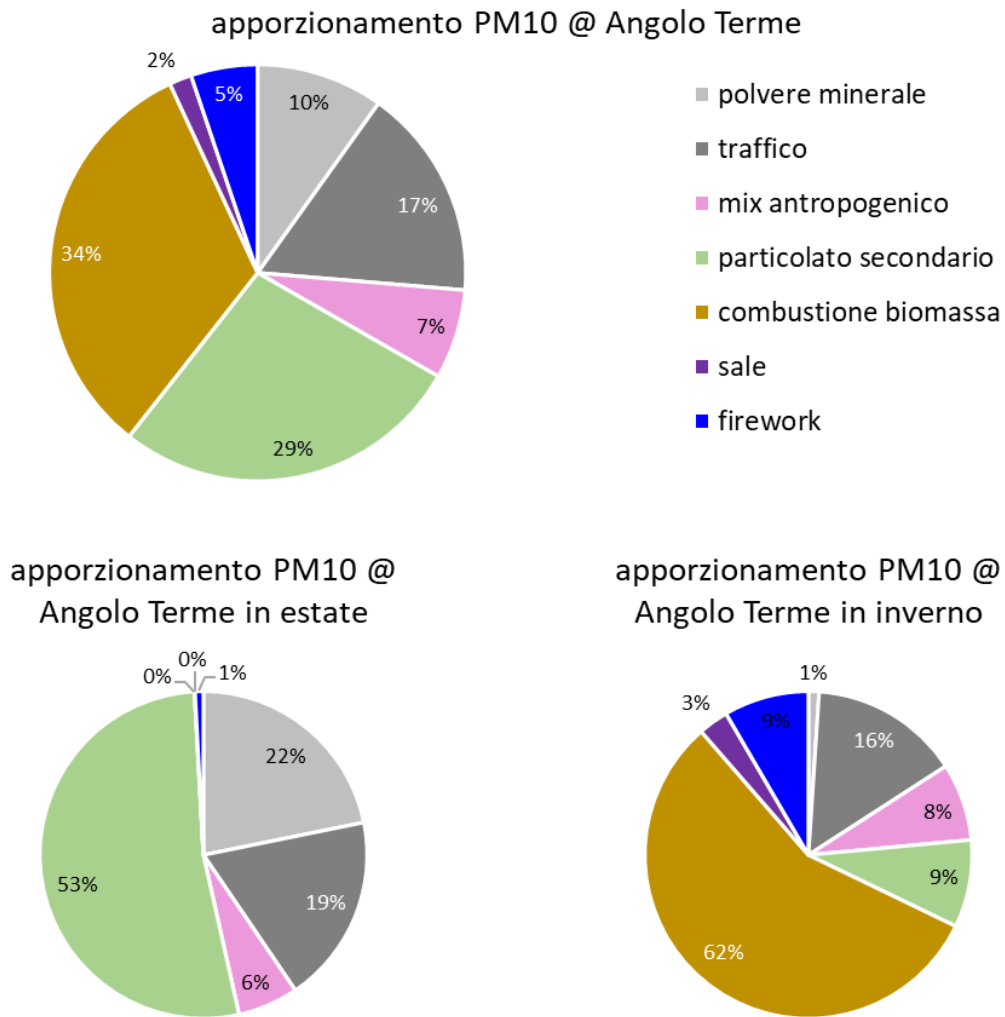
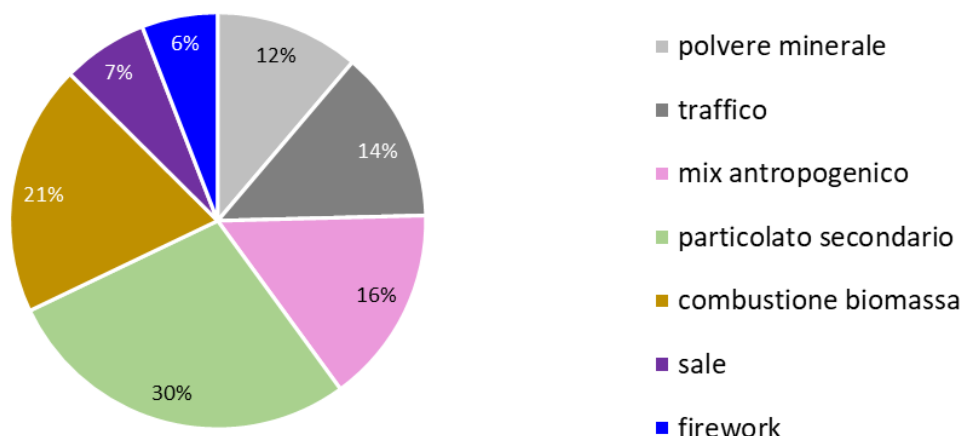
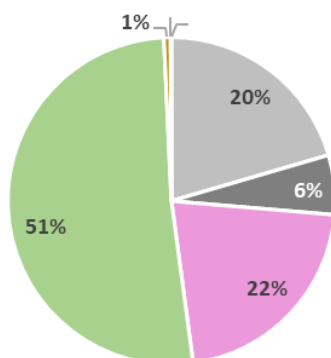


Figura 50 – Contributo delle diverse sorgenti al PM10 ad Angolo Terme su tutto il periodo della campagna e suddivisa tra periodo caldo e periodo freddo. Il PM10 misurato è pari a 21  $\mu\text{g}/\text{m}^3$  come media sull'intero periodo e rispettivamente 17  $\mu\text{g}/\text{m}^3$  e 25  $\mu\text{g}/\text{m}^3$  nei periodi caldo e freddo

apporzionamento PM10 @ Borno



apporzionamento PM10 @  
 Borno in estate



apporzionamento PM10 @  
 Borno in inverno

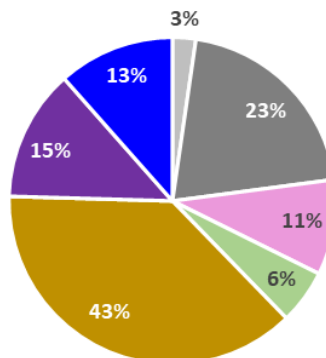


Figura 51 – Contributo delle diverse sorgenti al PM10 a Borno Terme su tutto il periodo della campagna e suddivisa tra periodo caldo e periodo freddo. Il PM10 misurato è pari a 15 µg/m<sup>3</sup> come media sull'intero periodo e rispettivamente 16 µg/m<sup>3</sup> e 14 µg/m<sup>3</sup> nei periodi caldo e freddo

Il confronto tra gli apporzionamenti relativi al periodo estivo ed invernale evidenzia l'impatto della sorgente identificata come combustione di biomassa in periodo invernale. Come anticipato più sopra nella descrizione del metodo, la difficoltà di apporzionamento dello ione nitrato potrebbe determinare una maggiore riduzione, comunque presente, della componente secondaria in periodo invernale. D'altra parte, la comparsa di sorgenti non presenti in periodo invernale è confermata dall'analisi mentre parimenti è confermata la notevole riduzione del fattore individuato dallo ione solfato, già evidenziata nel paragrafo relativo alla chiusura di massa.

Si sottolinea comunque come la distanza dalla pianura e, soprattutto, la differente quota che pone, talvolta, in periodo invernale, i siti di misura al di sopra dello strato di rimescolamento, costituisce ostacolo al trasporto del secondario dalla pianura e dal fondovalle.



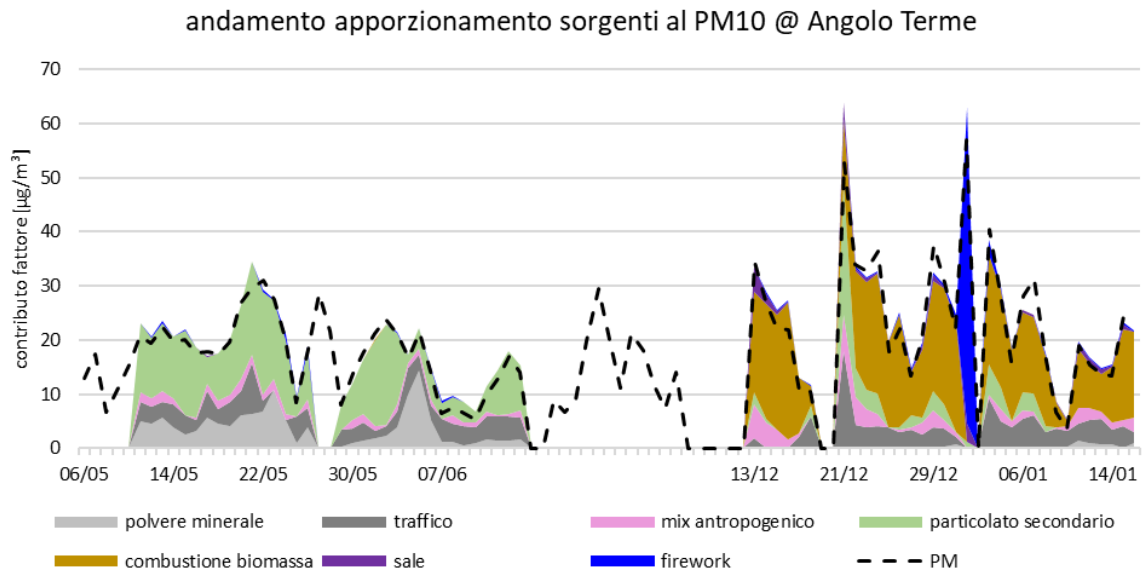


Figura 52 – Andamento giornaliero del contributo delle diverse sorgenti al PM10 ad Angolo Terme

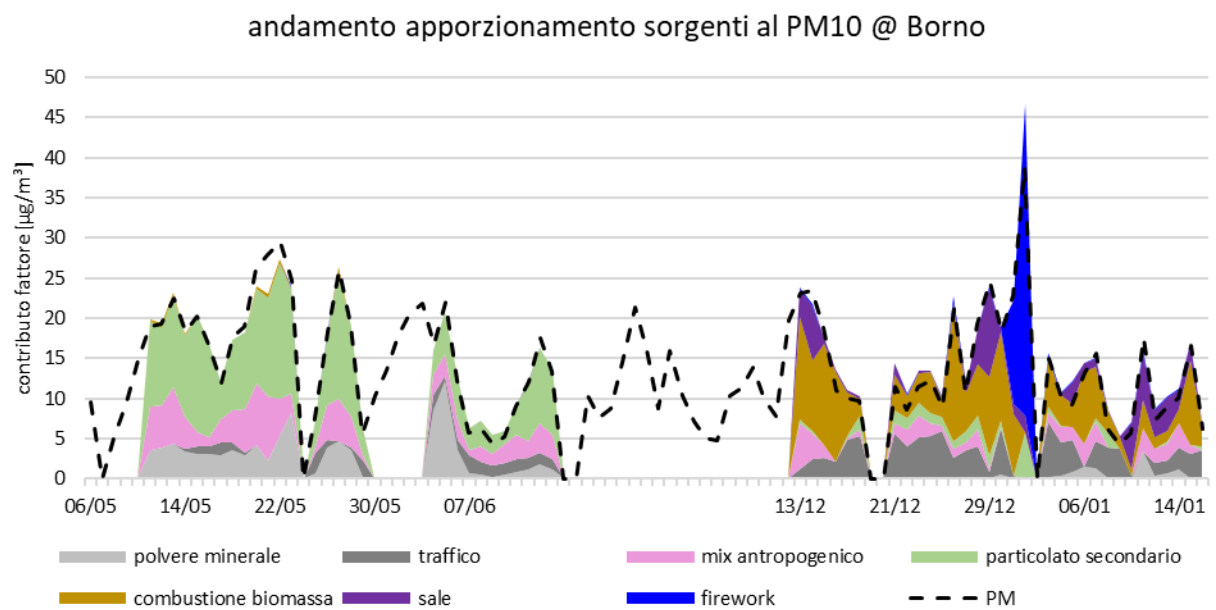


Figura 53 – Andamento giornaliero del contributo delle diverse sorgenti al PM10 a Borno

## Conclusioni

Il presente documento fornisce un'analisi delle misure di qualità dell'aria effettuate ad Angolo Terme e a Borno dal 6 maggio al 24 giugno 2022 e dal 25 novembre 2022 al 16 gennaio 2023.

In generale, i dati raccolti hanno mostrato una stagionalità moderata per gli inquinanti monitorati, caratterizzati in genere da concentrazioni più elevate nel periodo freddo della campagna. Questo è dovuto alle sorgenti aggiuntive presenti durante l'inverno (su tutte il riscaldamento, in particolare a legna) mentre particolari condizioni meteorologiche più favorevoli all'accumulo degli inquinanti negli strati più bassi dell'atmosfera si ritiene influiscano meno all'accumulo degli inquinanti emessi presso i siti indagati. Eccezione particolare è l'ozono, tipico inquinante secondario la cui formazione è favorita da forte radiazione solare.

Le concentrazioni di monossido di carbonio sono risultate sempre di gran lunga inferiori ai limiti di legge, e di fatto, non costituiscono più un rilevante problema di inquinamento atmosferico.

Anche le concentrazioni di biossido di azoto rilevate ad Angolo Terme e a Borno risultano tra le più basse tra quelle misurate contemporaneamente in Lombardia. In particolare, risultano inferiori rispetto al sito di Darfo.

In ragione della quota dei punti di misura, le concentrazioni di ozono misurate risultano generalmente superiori a quelle misurate in siti a quote inferiori, sia in periodo estivo che in periodo invernale.

In termini assoluti, le concentrazioni di benzene rilevate presso i due siti in indagine non si discostano dalla media lombarda. È significativo l'andamento concorde dei siti di Valle Camonica che, tuttavia, si discosta dall'andamento osservabile a livello sinottico.

Relativamente al parametro PM<sub>10</sub> si segnala che durante la campagna in solo due occasioni è stato superato il valore limite per la media giornaliera presso il sito di Angolo Terme mentre il limite non è mai stato superato presso Borno, nonostante i diffusi superamenti registrati presso le altre postazioni della RRQA, compresa la postazione di Darfo BT. Anche le concentrazioni medie dei due periodi di misura appaiono contenute. Inoltre, contrariamente a quanto generalmente osservabile presso i siti di pianura e di fondovalle, dove le concentrazioni invernali risultano significativamente superiori a quelle stive, presso il sito di Angolo Terme tale aumento risulta contenuto mentre a Borno è possibile osservare una diminuzione delle concentrazioni rilevate in periodo invernale rispetto all'estate.

L'analisi della composizione del particolato rende conto di questo comportamento evidenziando il mancato apporto di particolato secondario in periodo invernale presente invece nei siti di pianura. Questo anche evidenziando il significativo contributo invernale dovuto alla combustione di biomassa non presente in estate. La proiezione alla media annua delle concentrazioni di B(a)P suggeriscono comunque il rispetto del valore limite per questo inquinante, fortemente legato a tale sorgente.

L'ipotesi, quindi, è che in ragione della quota dei siti di misura, mentre in periodo estivo una parte dell'inquinamento prodotto in pianura e in fondovalle possa, almeno in parte, determinarne la qualità

dell'aria, in periodo invernale le medesime condizioni che determinano l'accumulo degli inquinanti al suolo alle quote inferiori possano costituire un ostacolo alla diffusione di questi alle quote superiori.

Significativa in tal senso è l'assenza di un comportamento duale osservabile, in particolare a Borno, tra le concentrazioni di particolato e ozono.

Per questi motivi, in assenza o in presenza di un limitato apporto dalla pianura, presso i siti in indagine sono osservabili i contributi dovuti alle sorgenti locali, quali il riscaldamento domestico e il modesto traffico locale.

In conclusione, la campagna di misura e le analisi effettuate, testimoniano di una sostanzialmente buona qualità dell'aria presso i due siti di Angolo Terme e Borno, fermo restando il contributo della combustione della biomassa, importante anche rispetto ai diversi componenti del particolato. Presso entrambi i siti, ma principalmente a Borno, soprattutto in inverno, si evidenzia il ridotto impatto dalla pianura e dal fondovalle.

## Allegati

### Allegato 1 – Emissioni assolute

Emissioni assolute ripartite per macrosettore

Comune di Angolo Terme	NOx	COV	CO	PM10	Precurs. O3
	t/anno	t/anno	t/anno	t/anno	t/anno
Prod. energia e trasformaz. combustibili	0	0	0	0	0
Combustione non industriale	4	5	44	6	14
Combustione nell'industria	0.3	< 0.1	< 0.1	< 0.1	0.4
Processi produttivi	0	1	0	< 0.1	1
Estrazione e distribuzione combustibili	0	1	0	0	1
Uso di solventi	0	12	0	< 0.1	12
Trasporto su strada	3	2	7	0.2	6
Altre sorgenti mobili e macchinari	6	1	2	0.3	8
Trattamento e smaltimento rifiuti	< 0.1	< 0.1	< 0.1	< 0.1	< 0.1
Agricoltura	< 0.1	5	0	< 0.1	5
Altre sorgenti e assorbimenti	< 0.1	263	0.2	0.2	263
<b>Totale</b>	<b>13</b>	<b>289</b>	<b>53</b>	<b>6</b>	<b>311</b>

Comune di Borno	NOx	COV	CO	PM10	Precurs. O3
	t/anno	t/anno	t/anno	t/anno	t/anno
Prod. energia e trasformaz. combustibili	0	0	0	0	0
Combustione non industriale	6	8	83	10	24
Combustione nell'industria	0.3	1	0.3	0.2	1
Processi produttivi	0	1	0	< 0.1	1
Estrazione e distribuzione combustibili	0	2	0	0	2
Uso di solventi	0	18	0	< 0.1	18
Trasporto su strada	3	2	8	0.2	7
Altre sorgenti mobili e macchinari	41	4	14	2	55
Trattamento e smaltimento rifiuti	< 0.1	< 0.1	< 0.1	< 0.1	< 0.1
Agricoltura	< 0.1	11	0	< 0.1	12
Altre sorgenti e assorbimenti	< 0.1	196	0.2	0.2	196
<b>Totale</b>	<b>50</b>	<b>243</b>	<b>105</b>	<b>13</b>	<b>316</b>

Provincia di Brescia	NOx	COV	CO	PM10	Precurs. O3
	t/anno	t/anno	t/anno	t/anno	t/anno
Prod. energia e trasformaz. combustibili	243	29	148	13	344
Combustione non industriale	1438	1192	10434	1271	4104
Combustione nell'industria	2838	449	2877	183	4228
Processi produttivi	889	1737	10036	144	3927
Estrazione e distribuzione combustibili	0	978	0	0	1034
Uso di solventi	4	10712	6	99	10718
Trasporto su strada	6679	1248	6876	450	10153
Altre sorgenti mobili e macchinari	2347	234	769	126	3182
Trattamento e smaltimento rifiuti	283	6	67	3	759
Agricoltura	44	11063	0	247	11916
Altre sorgenti e assorbimenti	24	17130	699	109	17264
<b>Totale</b>	<b>14789</b>	<b>44777</b>	<b>31912</b>	<b>2646</b>	<b>67628</b>

Regione Lombardia	NOx	COV	CO	PM10	Precurs. O3
	t/anno	t/anno	t/anno	t/anno	t/anno
Prod. energia e trasformaz. combustibili	7852	758	5667	162	10981
Combustione non industriale	10172	6390	50402	6108	24394
Combustione nell'industria	16471	3299	10934	1144	24607
Processi produttivi	1582	8825	31153	597	14184

Estrazione e distribuzione combustibili	0	8649	0	0	9266
Uso di solventi	80	81015	33	747	81116
Trasporto su strada	46467	10010	50414	3208	72257
Altre sorgenti mobili e macchinari	12707	1242	4837	580	17276
Trattamento e smaltimento rifiuti	2904	721	1219	44	5279
Agricoltura	817	61836	2114	979	66196
Altre sorgenti e assorbimenti	183	64883	5250	926	65754
<b>Totale</b>	<b>99234</b>	<b>247628</b>	<b>162022</b>	<b>14496</b>	<b>391310</b>

## Emissioni assolute per combustibile

Comune di Angolo Terme	NOx	COV	CO	PM10	Precurs. O3
	t/anno	t/anno	t/anno	t/anno	t/anno
Altro combustibile	< 0.1	< 0.1	< 0.1	< 0.1	< 0.1
Benzina	0.3	2	6	< 0.1	3
Carbone	0	0	0	0	0
Diesel	8	1	2	0.4	11
GPL	0.2	< 0.1	1	< 0.1	0.4
Gas di raffineria	0	0	0	0	0
Gasolio	0.1	< 0.1	< 0.1	< 0.1	0.1
Kerosene	0	0	0	0	0
Legna e similari	2	4	43	6	11
Metano	2	0.3	2	< 0.1	3
Olio combustibile	< 0.1	< 0.1	< 0.1	< 0.1	< 0.1
Senza combustibile	< 0.1	282	0.2	0.4	282
<b>Totale</b>	<b>13</b>	<b>289</b>	<b>53</b>	<b>6</b>	<b>311</b>

Comune di Borno	NOx	COV	CO	PM10	Precurs. O3
	t/anno	t/anno	t/anno	t/anno	t/anno
Altro combustibile	< 0.1	< 0.1	< 0.1	< 0.1	< 0.1
Benzina	0.3	2	7	< 0.1	3
Carbone	0	0	0	0	0
Diesel	43	4	14	2	59
GPL	0.1	< 0.1	1	< 0.1	0.3
Gas di raffineria	0	0	0	0	0
Gasolio	0.3	< 0.1	< 0.1	< 0.1	0.3
Kerosene	0	0	0	0	0
Legna e similari	3	9	81	10	21
Metano	3	0.4	2	< 0.1	4
Olio combustibile	< 0.1	< 0.1	< 0.1	< 0.1	< 0.1
Senza combustibile	< 0.1	227	0.2	0.5	228
<b>Totale</b>	<b>50</b>	<b>243</b>	<b>105</b>	<b>13</b>	<b>316</b>

Provincia di Brescia	NOx	COV	CO	PM10	Precurs. O3
	t/anno	t/anno	t/anno	t/anno	t/anno
Altro combustibile	346	19	145	3	459
Benzina	370	1058	5125	12	2074
Carbone	66	64	234	1	170

Diesel	8598	379	1918	256	11080
GPL	88	36	480	1	196
Gas di raffineria	0	0	0	0	0
Gasolio	48	3	15	5	63
Kerosene	14	2	19	0.3	20
Legna e similari	662	1234	9838	1325	3132
Metano	2658	230	1262	28	3614
Olio combustibile	6	0.2	1	2	8
Senza combustibile	1933	41752	12875	1014	46811
<b>Totale</b>	<b>14789</b>	<b>44777</b>	<b>31912</b>	<b>2646</b>	<b>67628</b>

Regione Lombardia	NOx	COV	CO	PM10	Precurs. O3
	t/anno	t/anno	t/anno	t/anno	t/anno
Altro combustibile	4543	864	2946	46	6754
Benzina	2692	8589	38324	93	16098
Carbone	2972	229	1879	11	4063
Diesel	53767	2122	11569	1467	68993
GPL	531	294	3288	5	1304
Gas di raffineria	1542	108	309	50	2024
Gasolio	424	22	160	41	557
Kerosene	2403	191	1361	15	3273
Legna e similari	3645	7264	46126	6643	16830
Metano	21547	2117	13073	299	29863
Olio combustibile	196	10	31	21	253
Senza combustibile	4971	225816	42956	5804	241298
<b>Totale</b>	<b>99234</b>	<b>247628</b>	<b>162022</b>	<b>14496</b>	<b>391310</b>

## Allegato 2 – Situazione meteorologica nel periodo di misura

I livelli di concentrazione degli inquinanti atmosferici in un sito dipendono non solo dalla quantità e dalle modalità di emissione degli inquinanti stessi nell'area ma anche dalle condizioni meteorologiche che influiscono sia sulle condizioni di dispersione e di accumulo sia sulla formazione di sostanze secondarie nell'atmosfera stessa. Pertanto, è importante che i livelli di concentrazione osservati, soprattutto durante una campagna di breve durata, siano valutati alla luce delle condizioni meteorologiche verificatesi nel periodo di monitoraggio.

Per la campagna in esame le condizioni meteorologiche sono state valutate mediante i parametri rilevati dalla strumentazione presente sul laboratorio mobile, nello specifico:

- Temperatura (°C);
- Intensità della radiazione solare globale (W/m<sup>2</sup>);
- Precipitazione (mm), Pressione Atmosferica (hPa) e Umidità relativa (%);
- Velocità (m/s) e direzione del vento;

### Periodo estivo

Il periodo di misura è stato interessato da frequenti precipitazioni. Gli episodi più consistenti sono stati preceduti dalla diminuzione del campo barico.

Presso entrambi i siti, il regime anemologico mostra prevalenza di venti lungo l'asse NO-SE in regime di brezza. A Borno si sono occasionalmente registrati venti dal quadrante Sud-Occidentale senza particolari variazioni della velocità del vento, variazioni che si sono invece registrate ad Angolo Terme.

Al netto degli episodi di precipitazione intensa, l'umidità relativa si è mantenuta, mediamente, tra il 60 e il 70%.

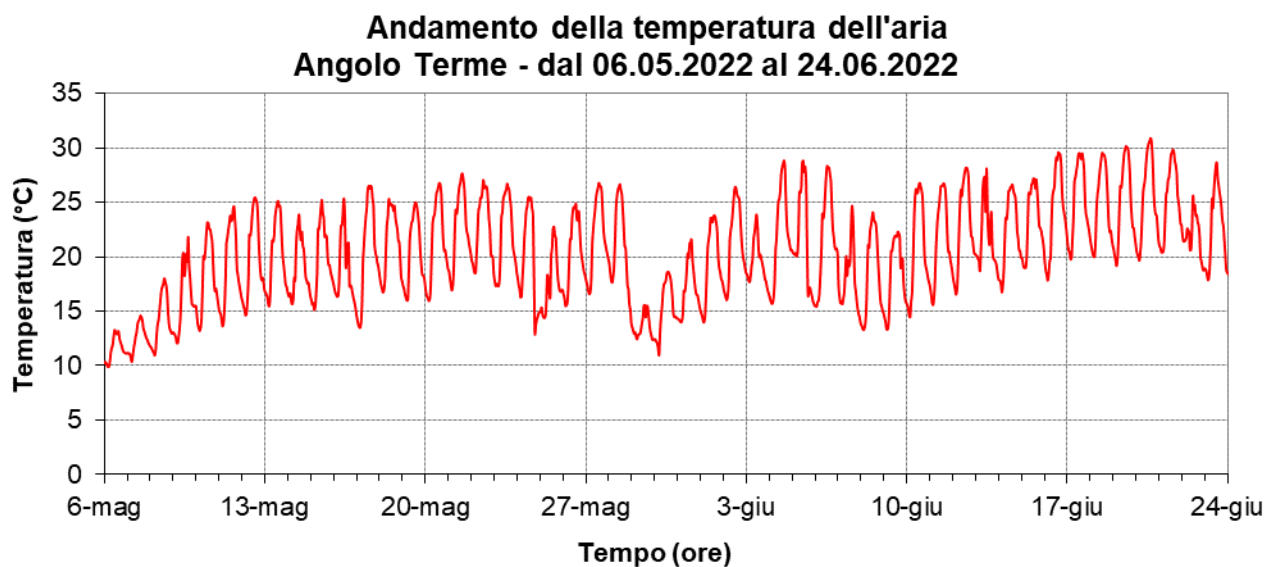


Figura 54 – Andamento dei valori orari di temperatura dell'aria registrati ad Angolo Terme nel periodo estivo.

### Andamento della Radiazione Solare Globale Angolo Terme - dal 06.05.2022 al 24.06.2022

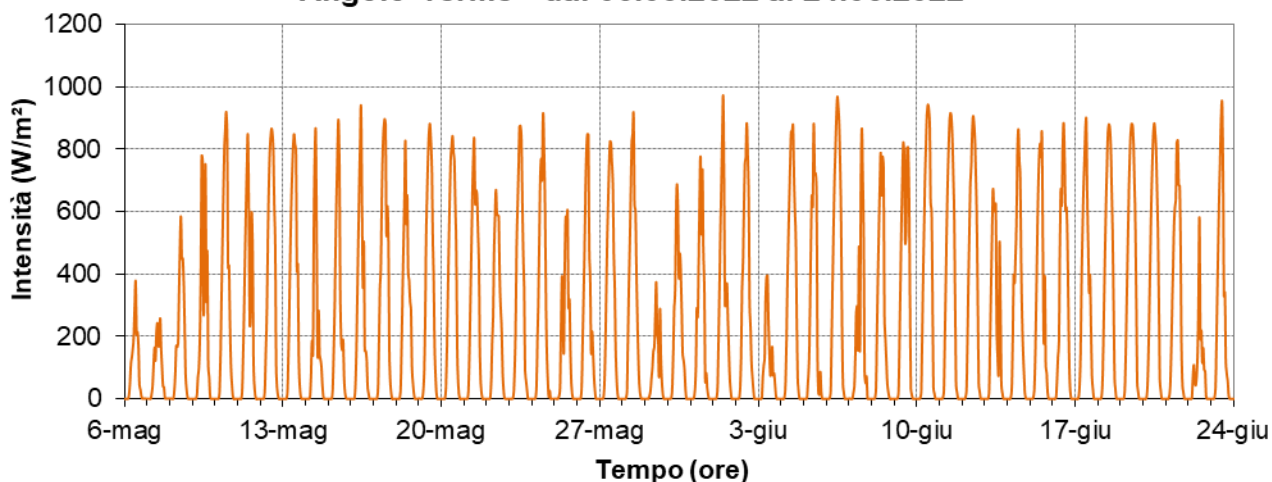


Figura 55 - Andamento dei valori orari di radiazione solare registrati ad Angolo Terme nel periodo estivo.

### Andamento della pressione atmosferica e delle precipitazioni Angolo Terme - dal 06.05.2022 al 24.06.2022

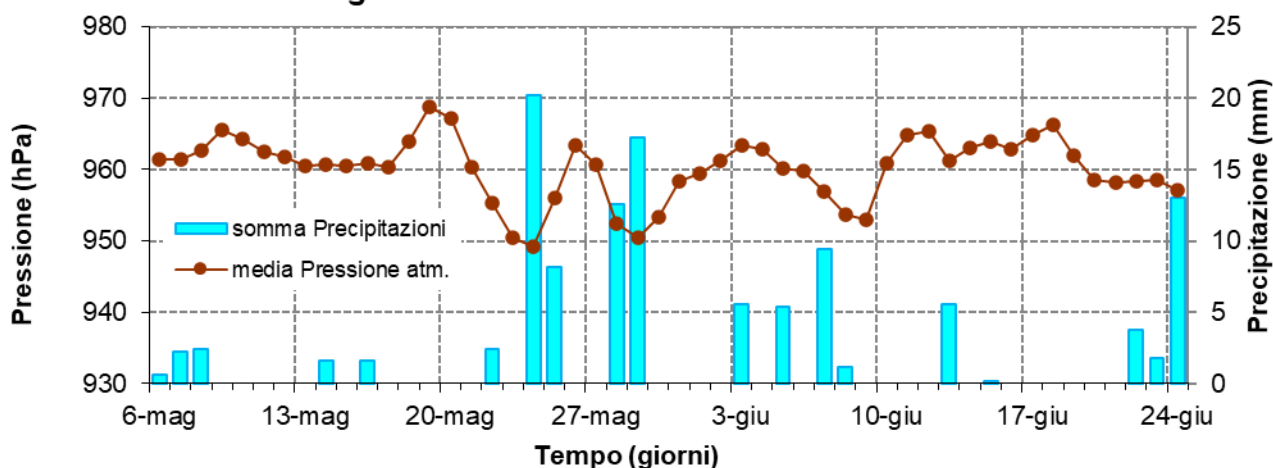


Figura 56 - Andamento delle medie giornaliere di pressione atmosferica e precipitazioni registrate ad Angolo Terme nel periodo di misura estivo.



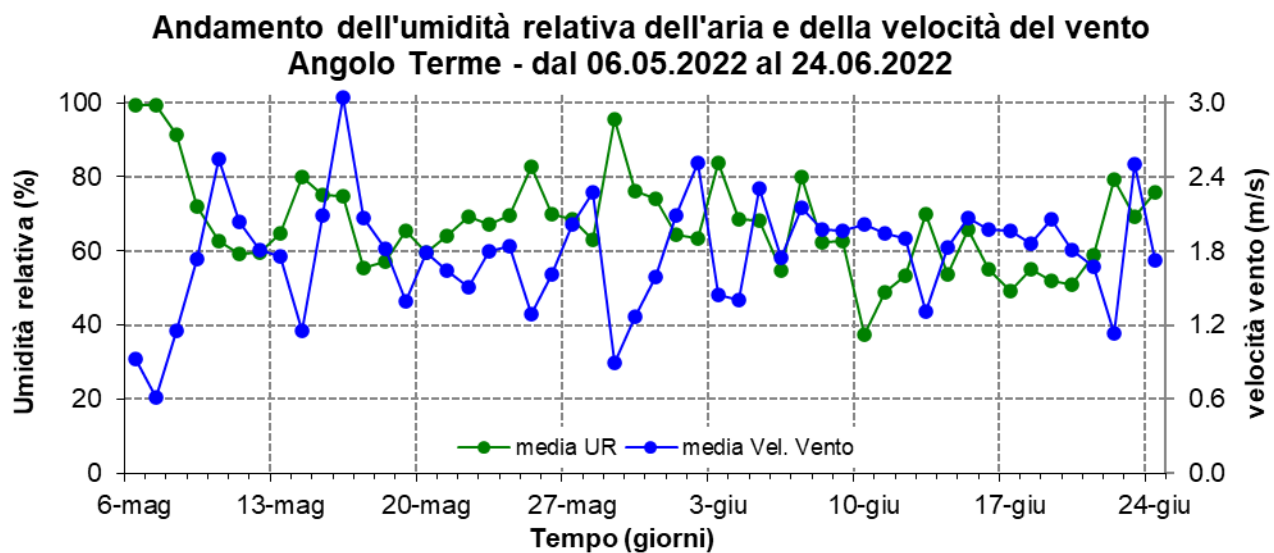
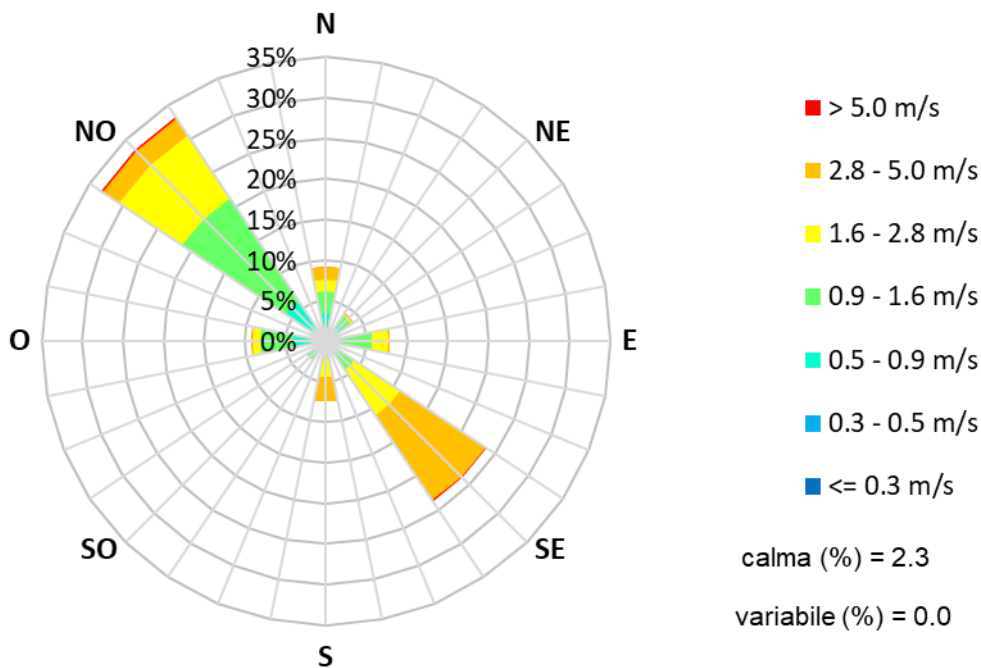


Figura 57 - Andamento delle medie giornaliere di umidità relativa e velocità del vento registrate ad Angolo Terme nel periodo di misura estivo.

### Rosa del vento Angolo Terme - dal 06.05.2022 al 24.06.2022



### Rose orarie del vento Angolo Terme - dal 06.05.2022 al 24.06.2022

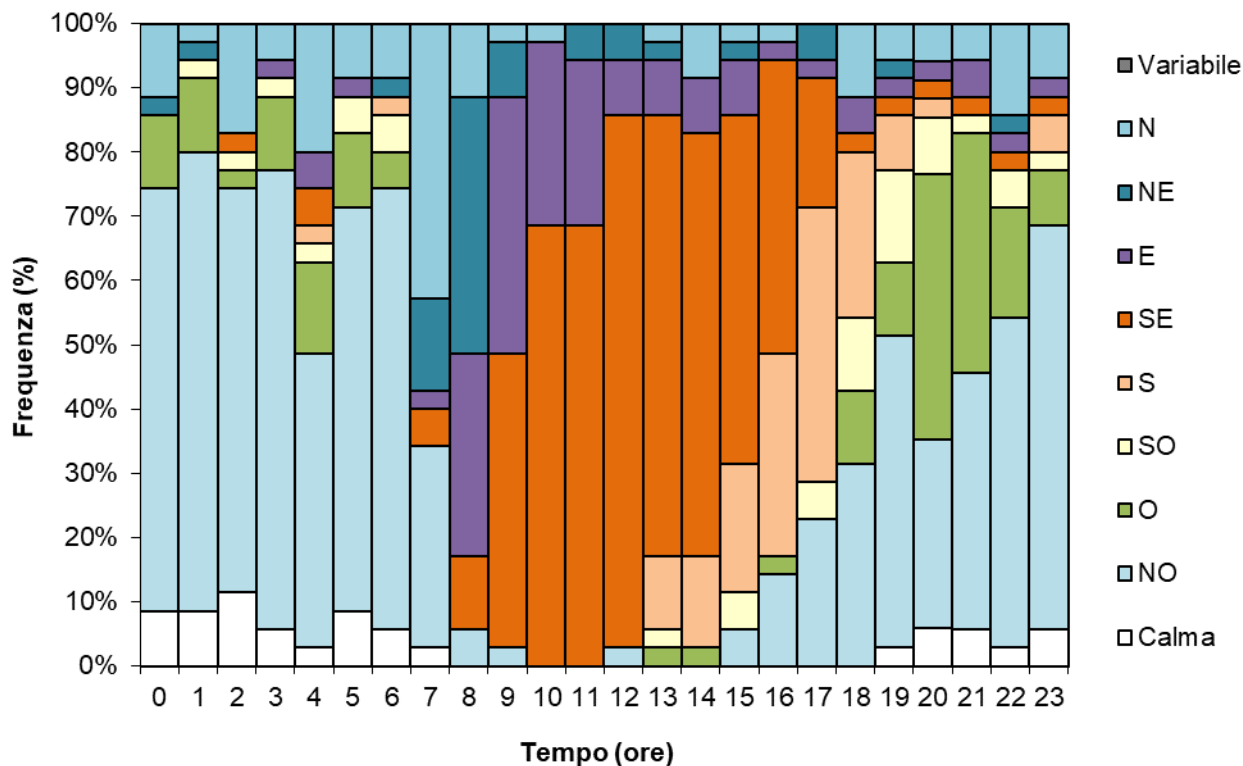


Figura 58 – Rose del vento ad Angolo Terme nel periodo estivo.

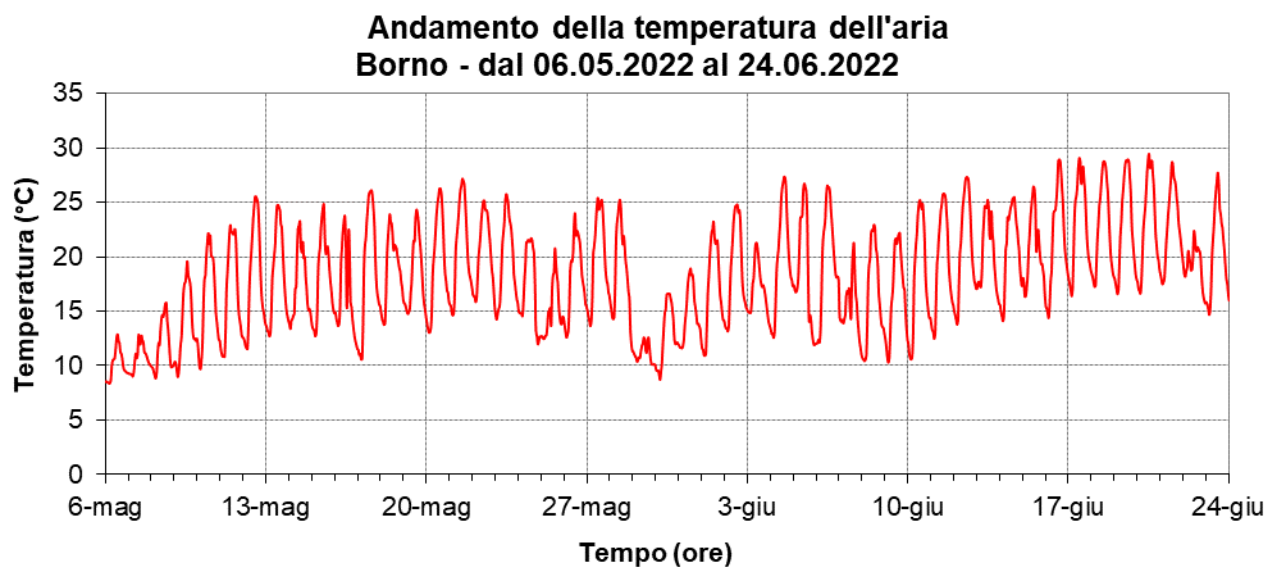


Figura 59 – Andamento dei valori orari di temperatura dell'aria registrati a Borno nel periodo estivo.

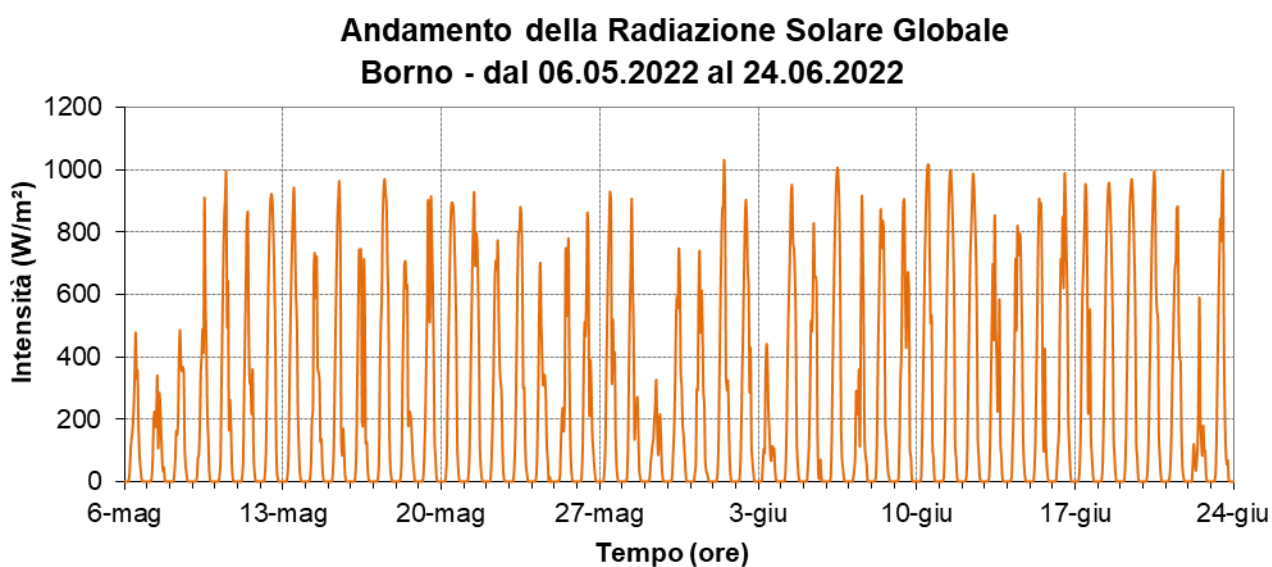


Figura 60 - Andamento dei valori orari di radiazione solare registrati a Borno nel periodo estivo.

### Andamento della pressione atmosferica e delle precipitazioni Borno - dal 06.05.2022 al 24.06.2022

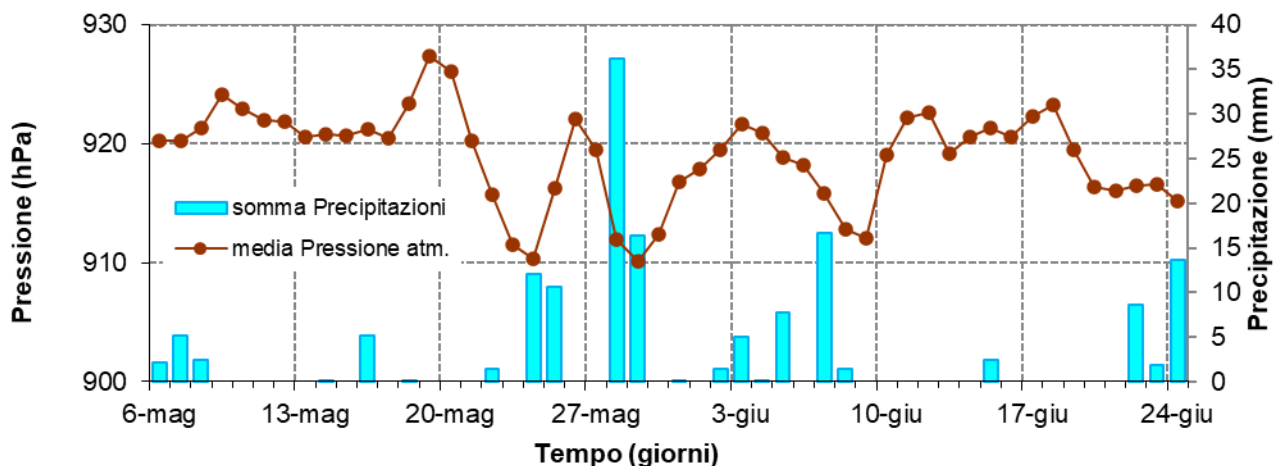


Figura 61 - Andamento delle medie giornaliere di pressione atmosferica e precipitazioni registrate a Borno nel periodo di misura estivo.

### Andamento dell'umidità relativa dell'aria e della velocità del vento Borno - dal 06.05.2022 al 24.06.2022

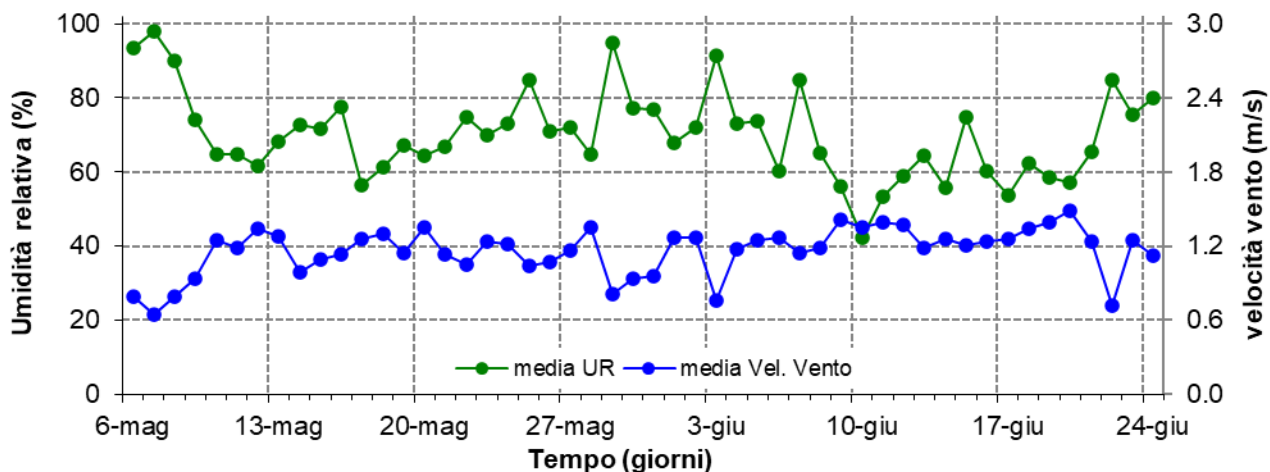
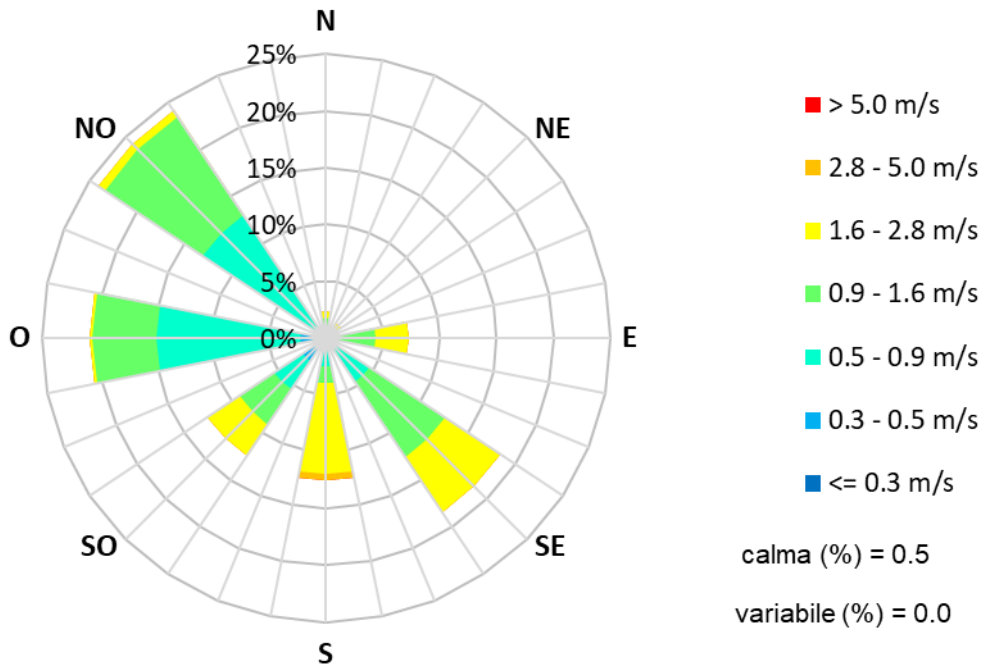


Figura 62 - Andamento delle medie giornaliere di umidità relativa e velocità del vento registrate a Borno nel periodo di misura estivo.

### Rosa del vento Borno - dal 06.05.2022 al 24.06.2022



### Rose orarie del vento Borno - dal 06.05.2022 al 24.06.2022

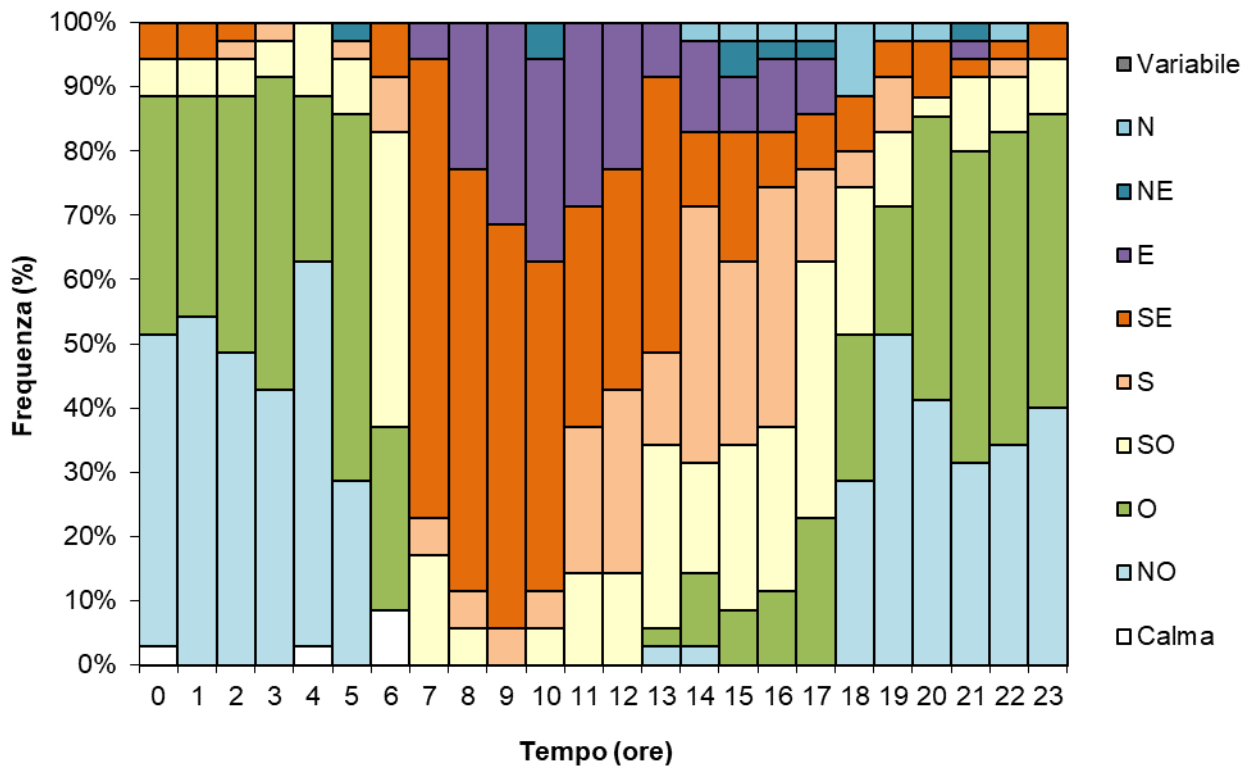


Figura 63 – Rose del vento a Borno nel periodo estivo.

### Periodo invernale

Le temperature mostrano limitate variazioni durante il passaggio dalle ore diurne alle ore notturne scendendo solo durante la seconda settimana di dicembre al di sotto dello zero.

Anche in periodo invernale si sono verificati episodi di precipitazione accompagnati dall'indebolimento del campo barico. Come conseguenza, si nota la variazione dell'umidità relativa che raggiunge sporadicamente la saturazione.

Le velocità del vento medie si sono mantenute sostanzialmente costanti attorno agli 0.6 m/s. rinforzi si notano, in particolare ad Angolo Terme, all'inizio della seconda settimana di gennaio.

Presso il sito di Angolo Terme i venti si sono disposti dal quadrante Sud-Occidentale senza tuttavia una specifica direzione prevalente. Mentre a Borno i venti sono arrivati prevalentemente da Nord-Ovest.

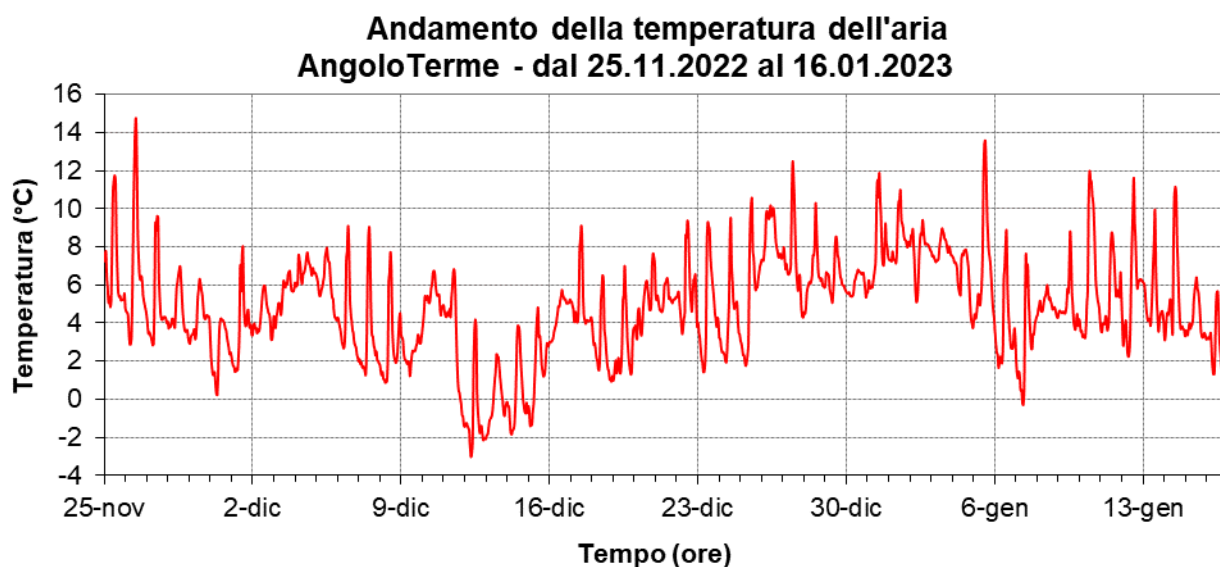


Figura 64 – Andamento dei valori orari di temperatura dell'aria registrati ad Angolo Terme nel periodo invernale.

### Andamento della Radiazione Solare Globale AngoloTerme - dal 25.11.2022 al 16.01.2023

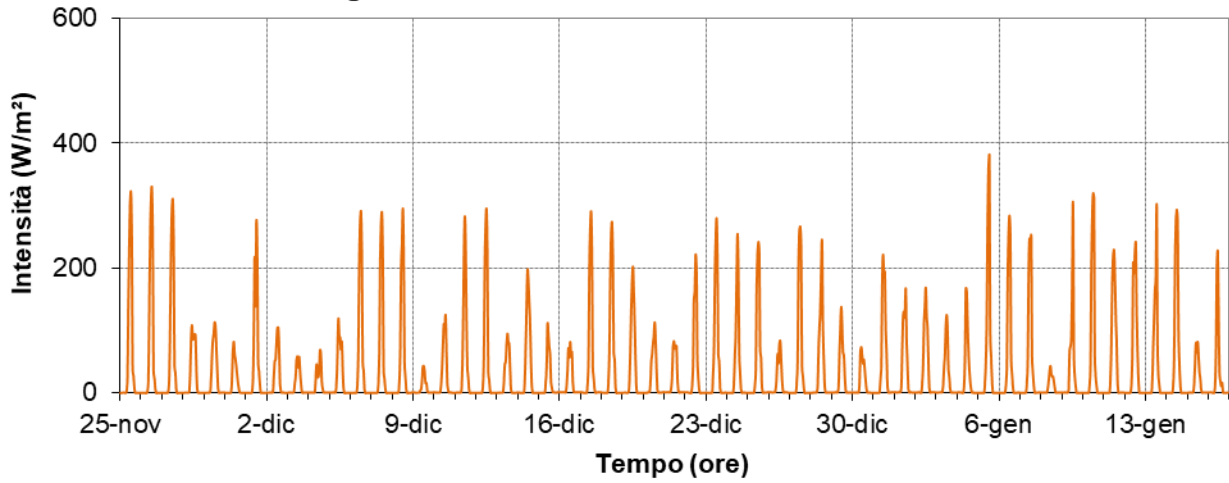


Figura 65 - Andamento dei valori orari di radiazione solare registrati ad Angolo Terme nel periodo invernale.

### Andamento della pressione atmosferica e delle precipitazioni AngoloTerme - dal 25.11.2022 al 16.01.2023

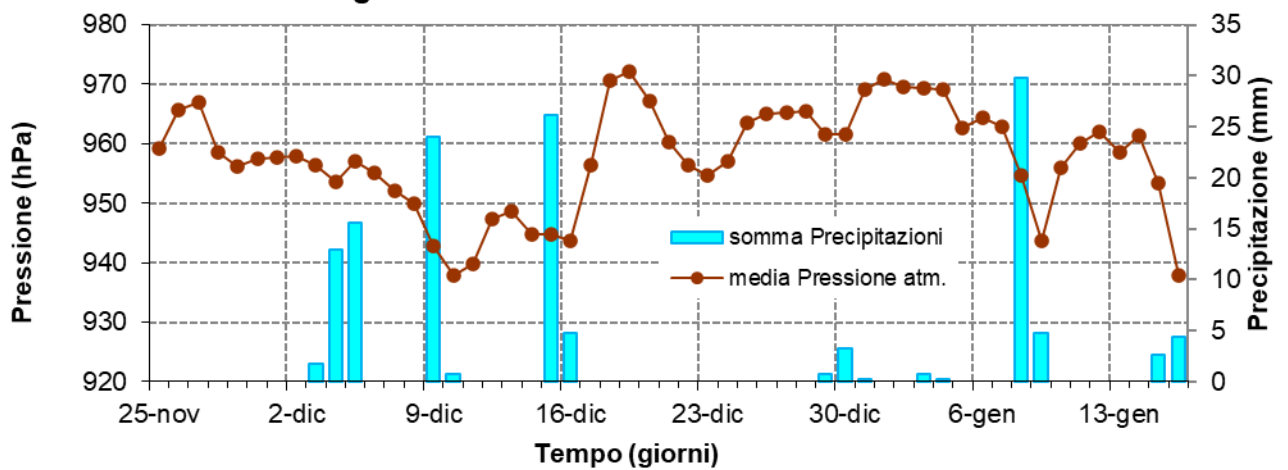


Figura 66 - Andamento delle medie giornaliere di pressione atmosferica e precipitazioni registrate ad Angolo Terme nel periodo di misura invernale.

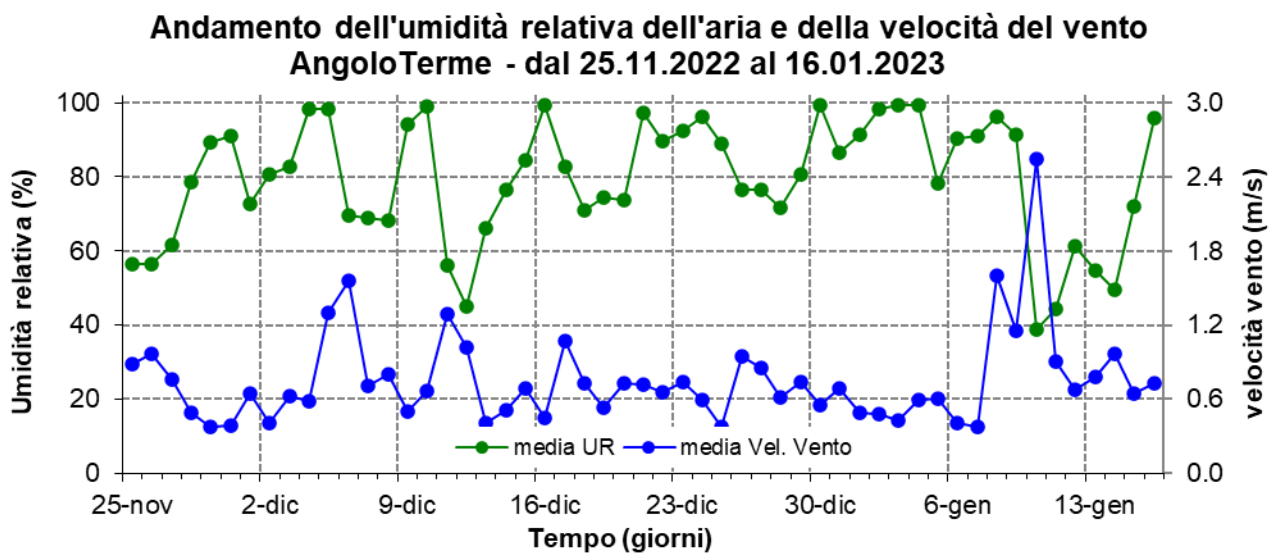
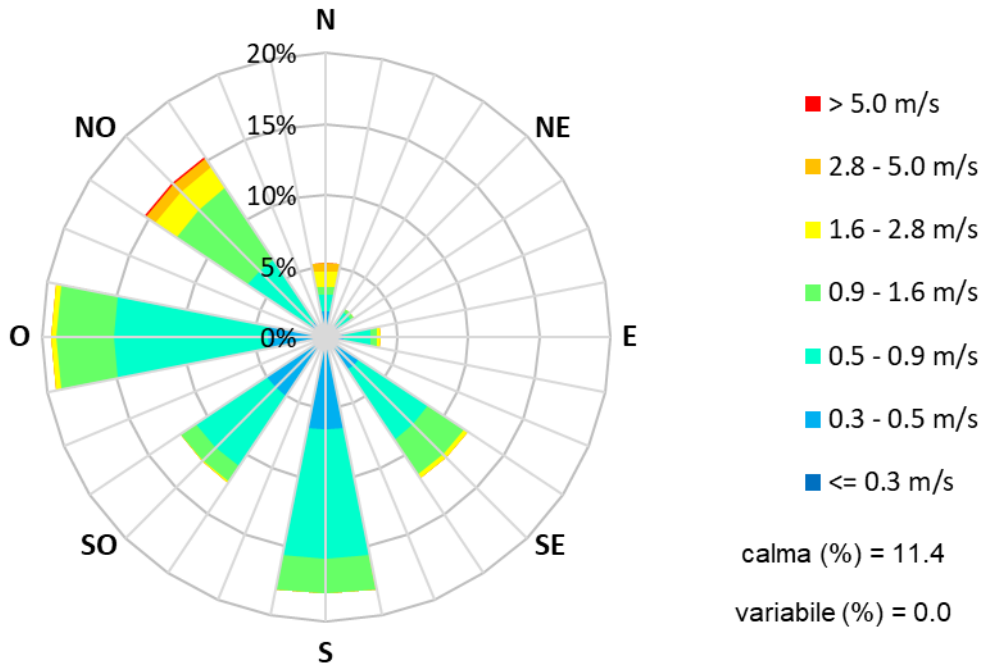


Figura 67 - Andamento delle medie giornaliere di umidità relativa e velocità del vento registrate ad Angolo Terme nel periodo di misura invernale.



### Rosa del vento AngoloTerme - dal 25.11.2022 al 16.01.2023



### Rose orarie del vento AngoloTerme - dal 25.11.2022 al 16.01.2023

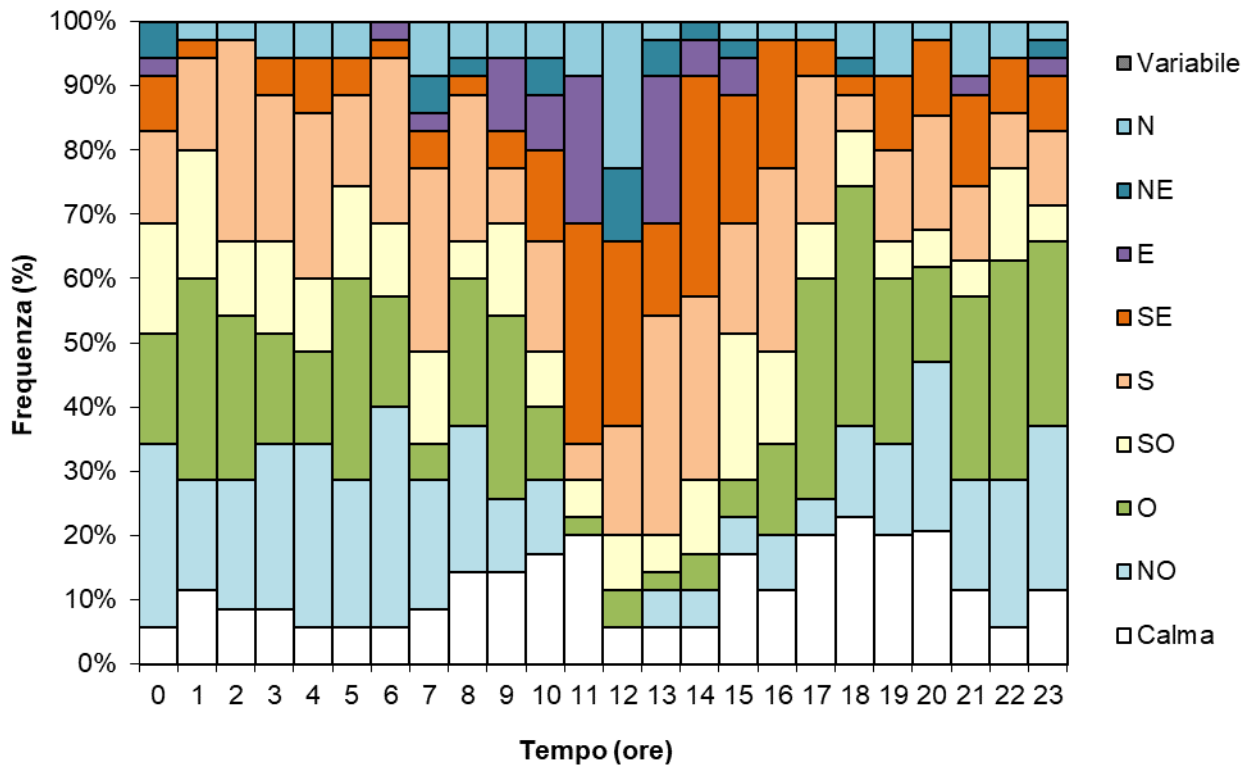


Figura 68 – Rose del vento ad Angolo Terme nel periodo invernale.

**Andamento della temperatura dell'aria  
 Borno - dal 25.11.2022 al 16.01.2023**

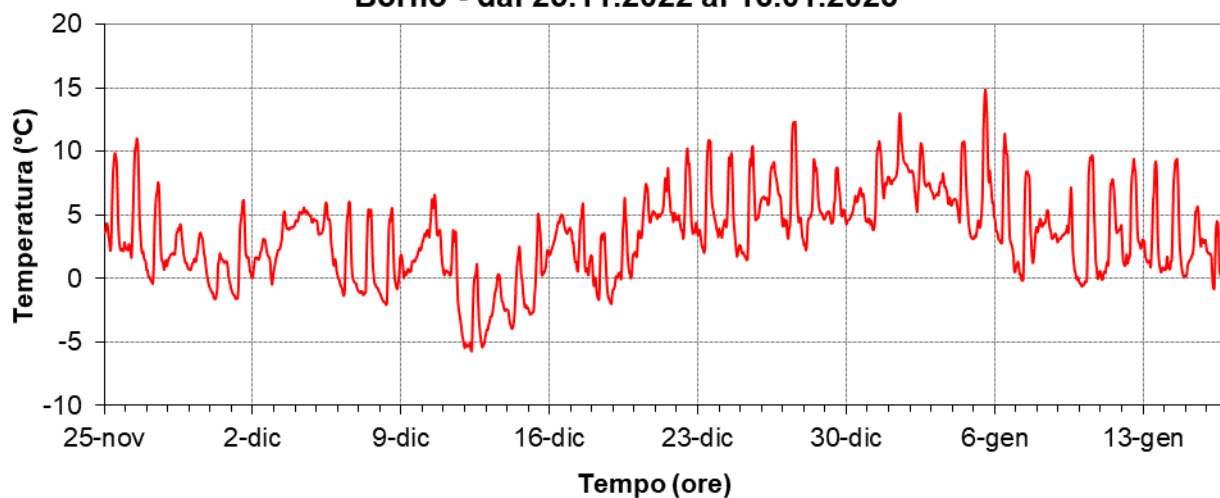


Figura 69 – Andamento dei valori orari di temperatura dell'aria registrati a Borno nel periodo invernale.

**Andamento della Radiazione Solare Globale  
 Borno - dal 25.11.2022 al 16.01.2023**

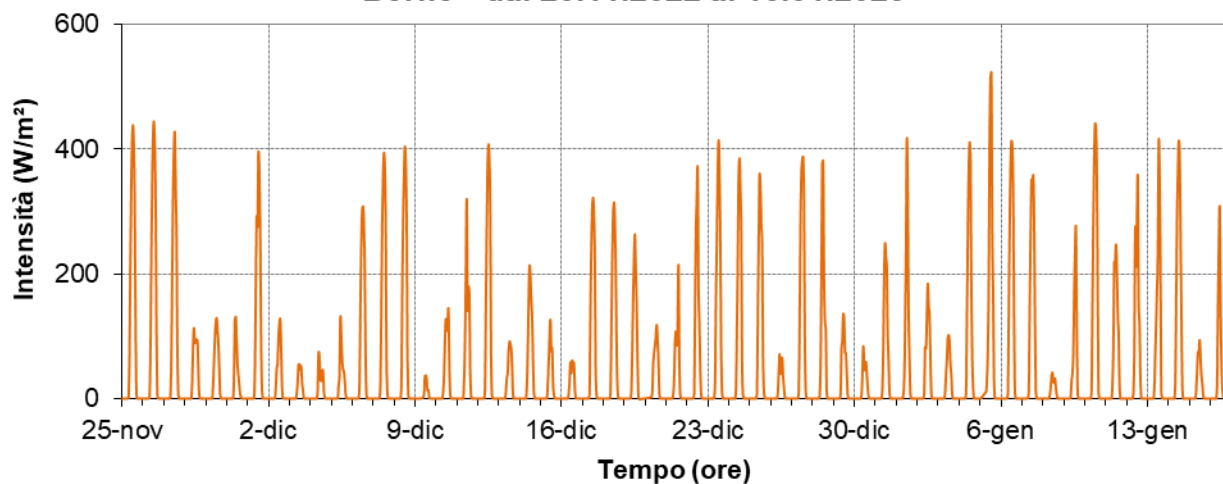


Figura 70 - Andamento dei valori orari di radiazione solare registrati a Borno nel periodo invernale.

### Andamento della pressione atmosferica e delle precipitazioni Borno - dal 25.11.2022 al 16.01.2023

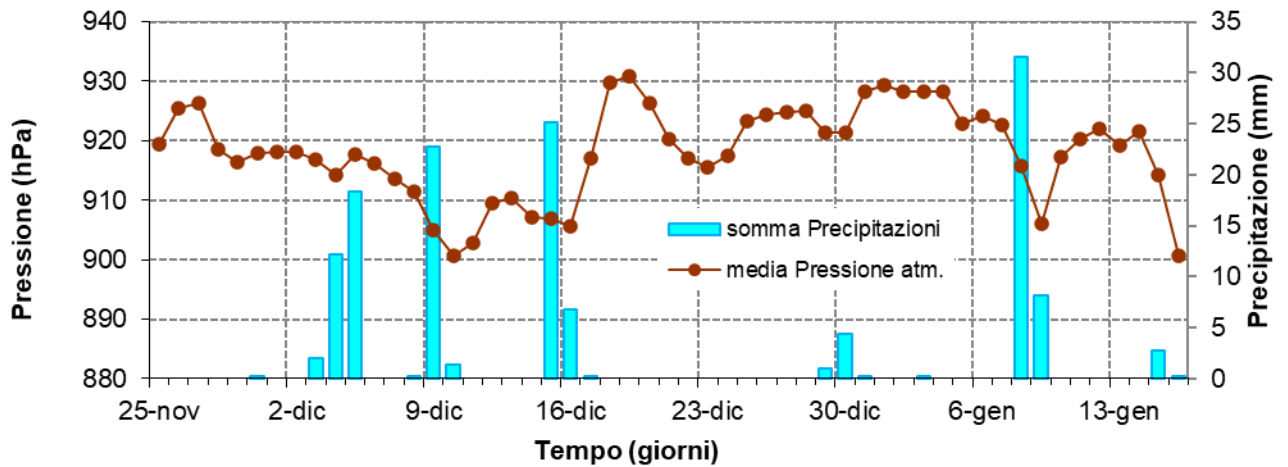


Figura 71 - Andamento delle medie giornaliere di pressione atmosferica e precipitazioni registrate a Borno nel periodo di misura invernale.

### Andamento dell'umidità relativa dell'aria e della velocità del vento Borno - dal 25.11.2022 al 16.01.2023

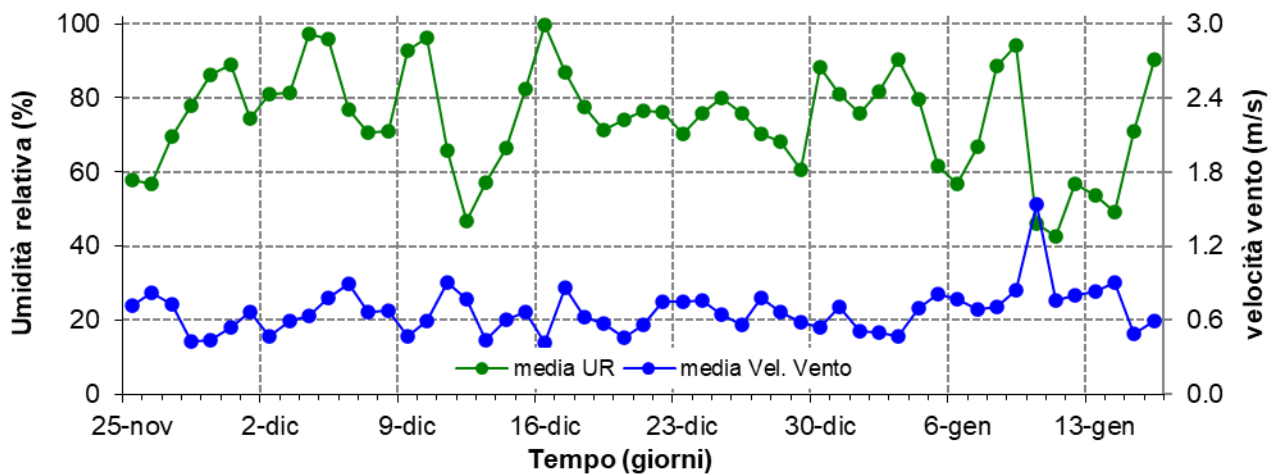
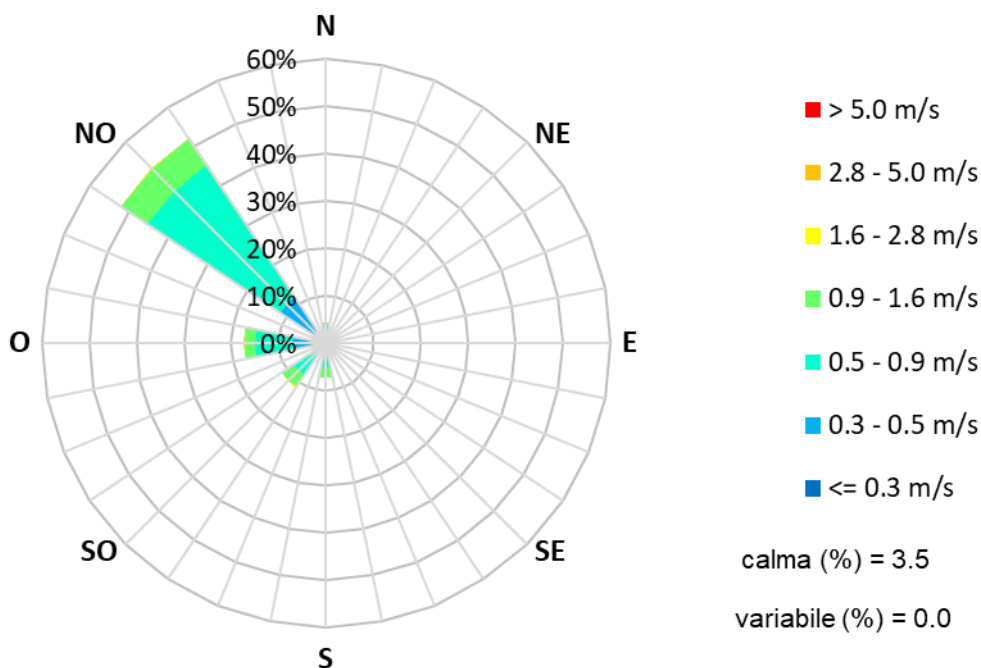


Figura 72 - Andamento delle medie giornaliere di umidità relativa e velocità del vento registrate a Borno nel periodo di misura invernale.

### Rosa del vento Borno - dal 25.11.2022 al 16.01.2023



### Rose orarie del vento Borno - dal 25.11.2022 al 16.01.2023

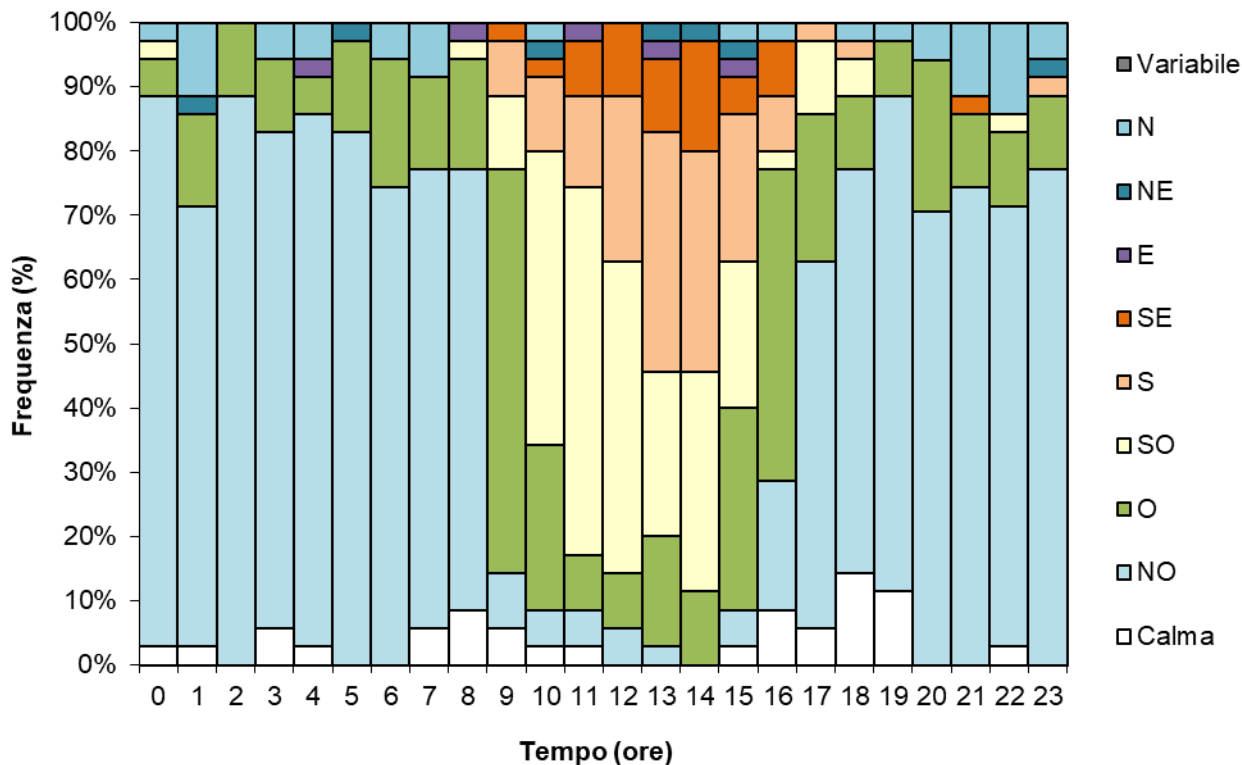


Figura 73 – Rose del vento a Borno nel periodo invernale.

## Allegato 3 – Indicatori statistici

periodo estivo

Monossido di carbonio	rendimento	media	dev.st.	max media 1h	max media 8h	giorni di supero valore limite
	(%)	( $\mu\text{g}/\text{m}^3$ )	( $\mu\text{g}/\text{m}^3$ )	( $\mu\text{g}/\text{m}^3$ )	( $\mu\text{g}/\text{m}^3$ )	
Angolo Terme	100	0.2	0.0	0.8	0.4	0
Borno	98	0.3	0.1	2.0	0.7	0
BS Broletto	97	0.8	0.3	2.0	1.2	0
BS Turati	98	0.5	0.2	1.2	0.9	0
Rezzato	100	0.5	0.2	0.9	0.9	0
Sarezzo	100	0.3	0.0	0.8	0.4	0
MN Gramsci	94	0.2	0.1	0.6	0.4	0
MN SAgnese	100	0.3	0.1	0.6	0.4	0
Ponti sM	99	0.2	0.1	1.1	0.4	0
Schivenoglia	97	0.2	0.1	0.6	0.5	0
CR Cadorna	95	0.2	0.1	0.9	0.4	0
CR Fatebenef.lli	88	0.5	0.2	1.2	0.9	0
Crema	100	0.5	0.3	1.2	1.2	0
BG Garibaldi	99	0.4	0.1	0.9	0.7	0
BG Meucci	95	0.2	0.1	1.0	0.6	0
Dalmine	87	0.4	0.2	0.8	0.7	0
Treviglio	95	0.2	0.1	0.7	0.4	0
CO Cattaneo	98	0.3	0.1	0.7	0.6	0
Cantu	94	0.2	0.1	0.5	0.4	0
LC Amendola	100	0.3	0.1	0.8	0.6	0
Merate	86	0.4	0.1	0.7	0.6	0
Valmadrera	100	0.2	0.1	0.6	0.4	0
LO Vignati	100	0.5	0.1	0.8	0.7	0
MZ Machiavelli	94	0.2	0.1	0.7	0.5	0
Meda	93	0.4	0.1	0.8	0.6	0
MI Senato	99	0.7	0.1	1.2	1.0	0
MI Liguria	81	0.4	0.2	2.6	2.1	0
MI Marche	98	0.5	0.2	1.7	1.1	0
Arconate	100	0.4	0.1	1.0	0.7	0
Cassano	58	0.4	0.3	1.5	1.3	0
Limite	74	0.2	0.1	0.9	0.7	0
Magenta	96	0.4	0.2	1.4	1.0	0
Rho	100	0.3	0.2	0.9	0.7	0
SGiuliano MI.se	100	0.5	0.1	0.8	0.7	0
Sesto SGiovanni	94	0.33	0.1	0.9	0.6	0
PV Minerva	99	0.6	0.1	1.1	0.9	0
Voghera	99	0.4	0.2	0.9	0.7	0
Cornale	88	0.1	0.1	0.4	0.4	0
Ferrera Erb	100	0.4	0.1	0.5	0.5	0
SO Mazzini	87	0.4	0.1	0.9	0.5	0
Bormio	100	0.3	0.1	0.8	0.5	0
Morbegno	100	0.2	0.0	0.4	0.4	0
VA Copelli	98	0.3	0.1	0.8	0.7	0
Busto	100	0.3	0.1	1.2	0.5	0
Ferno	53	0.1	0.1	0.4	0.3	0

Biossido di azoto	rendimento	media	dev.st.	max media 1h	max media 24h	n° superi limite orario
	(%)	( $\mu\text{g}/\text{m}^3$ )	( $\mu\text{g}/\text{m}^3$ )	( $\mu\text{g}/\text{m}^3$ )	( $\mu\text{g}/\text{m}^3$ )	
Angolo Terme	100	5	5	29	13	0
Borno	100	7	3	25	10	0
Darfo	92	11	6	50	18	0
BS Broletto	87	24	18	138	54	0
BS Tartaglia	97	31	15	78	40	0
BS Turati	98	36	21	117	56	0
BS VillSerenò	95	19	8	60	27	0
BS SPolo	100	16	10	81	27	0
Rezzato	97	17	8	55	26	0
Sarezzo	100	10	6	37	20	0
Lonato	94	16	6	48	26	0
Gambara	96	16	10	63	30	0
Odolo	99	11	6	39	18	0
MN Gramsci	99	13	6	53	19	0
MN SAgnese	100	12	7	60	22	0
Ponti sM	100	14	9	59	24	0
Viadana	100	11	7	48	20	0
Schivenoglia	100	9	6	44	19	0
Borgofranco	98	9	5	27	14	0
Tavernola BG	99	20	19	104	43	0
Soresina	100	16	10	67	24	0
Corte Cortesi	100	15	11	67	29	0
CR Cadorna	97	16	7	48	23	0
CR Fatebenef.lli	97	19	9	63	26	0
Spinadesco	99	17	9	60	24	0
Crema	75	16	10	63	23	0
BG Garibaldi	99	28	11	68	40	0
BG Meucci	90	19	7	47	27	0
Casirate	100	16	8	46	24	0
Dalmine	93	18	8	48	29	0
Treviglio	97	19	9	68	32	0
Filago	98	13	7	50	27	0
Osio Sotto	100	15	9	55	22	0
Calusco	93	13	5	36	18	0
CO Cattaneo	98	25	13	74	39	0
Cantu	99	15	6	53	21	0
Erba	98	8	4	38	14	0
LC Amendola	99	26	18	81	42	0
LC Sora	98	10	7	52	19	0
Merate	100	23	12	76	34	0
Colico	63	11	6	47	17	0
Perledo	92	8	7	44	17	0
Valmadrera	100	7	4	35	11	0
LO SAlberto	100	16	10	73	24	0
LO Vignati	100	18	11	85	30	0
Codogno	93	23	12	88	34	0
Tavazzano	100	15	11	64	24	0
SRocco	100	15	11	62	29	0

Biossido di azoto	rendimento (%)	media ( $\mu\text{g}/\text{m}^3$ )	dev.st. ( $\mu\text{g}/\text{m}^3$ )	max media 1h ( $\mu\text{g}/\text{m}^3$ )	max media 24h ( $\mu\text{g}/\text{m}^3$ )	n° superi limite orario
Abbadia	98	17	12	101	28	0
Bertonico	99	16	10	67	25	0
MZ Machiavelli	100	23	14	85	44	0
MZ Parco	100	15	6	45	25	0
Meda	95	18	8	57	27	0
MI Pascal	62	22	12	91	34	0
MI Verziere	94	28	13	118	51	0
MI Senato	99	27	11	84	41	0
MI Liguria	81	29	17	108	42	0
MI Marche	100	25	15	105	42	0
Arconate	100	12	7	62	19	0
Cassano	28	25	8	47	30	0
Cinisello	87	37	19	120	60	0
Cormano	96	25	12	95	36	0
Limito	91	19	11	65	31	0
Magenta	97	20	12	85	34	0
Motta Visconti	92	14	6	44	22	0
Rho	100	20	13	90	36	0
SGiuliano MI.se	100	27	14	91	41	0
Sesto SGiovanni	93	26	12	95	43	0
Turbigo	92	11	6	44	17	0
PV Minerva	99	22	11	123	35	0
PV Folperti	94	15	6	47	22	0
Voghera	99	12	8	46	24	0
Cornale	82	16	11	61	32	0
Sannazzaro	85	14	7	44	21	0
Vigevano	97	11	8	49	20	0
Parona	90	11	9	66	26	0
Ferrera Erb	95	12	6	44	19	0
SO Mazzini	100	9	5	36	15	0
SO Paribelli	97	8	4	30	12	0
Bormio	94	7	3	28	12	0
Morbegno	94	7	5	25	12	0
VA Copelli	100	19	10	56	26	0
VA Vidoletti	100	11	6	48	20	0
Busto	100	17	10	69	31	0
Saronno	100	15	9	79	28	0
Ferno	100	10	7	42	18	0

Ozono	rendimento (%)	media ( $\mu\text{g}/\text{m}^3$ )	dev.st. ( $\mu\text{g}/\text{m}^3$ )	max media 1h ( $\mu\text{g}/\text{m}^3$ )	max media 8h ( $\mu\text{g}/\text{m}^3$ )	n° giorni supero soglia informazione	n° giorni supero soglia allarme	n° giorni supero valore obiettivo
Angolo Terme	100	89	41	224	192	7	0	32
Borno	100	100	36	207	187	7	0	33
Darfo	93	83	44	219	186	7	0	29
BS VillSereno	95	87	38	195	181	2	0	27
Sarezzo	100	83	35	187	168	2	0	20

Ozono	rendimento (%)	media ( $\mu\text{g}/\text{m}^3$ )	dev.st. ( $\mu\text{g}/\text{m}^3$ )	max media 1h ( $\mu\text{g}/\text{m}^3$ )	max media 8h ( $\mu\text{g}/\text{m}^3$ )	n° giorni supero soglia informazione	n° giorni supero soglia allarme	n° giorni supero valore obiettivo
Lonato	93	94	31	195	173	2	0	24
Gambara	99	73	40	176	160	0	0	21
MN SAgnese	91	82	31	181	171	1	0	13
Ponti sM	100	88	40	200	183	2	0	32
Viadana	100	80	35	190	174	1	0	20
Schivenoglia	96	82	38	189	176	1	0	25
Corte Cortesi	100	80	43	200	187	3	0	27
CR Fatebenef.lli	97	79	40	209	192	3	0	24
Spinadesco	99	76	41	198	185	2	0	21
Crema	96	80	41	198	177	2	0	24
BG Meucci	100	91	43	233	202	7	0	34
Casirate	100	81	43	218	191	4	0	28
Osio Sotto	100	94	45	249	212	9	0	37
Calusco	95	94	38	229	194	5	0	29
CO Cattaneo	96	77	32	171	148	0	0	17
Cantu	99	89	40	192	178	6	0	28
Erba	96	85	39	187	167	3	0	22
LC Sora	98	93	38	198	176	5	0	32
Moggio	99	114	30	191	181	4	0	36
Colico	100	65	35	177	160	0	0	11
Perledo	88	97	36	203	185	2	0	26
Valmadrera	100	95	36	195	177	2	0	34
LO SAlberto	83	72	34	161	151	0	0	10
Abbadia	94	76	46	193	178	3	0	27
Bertonico	89	81	41	189	169	2	0	22
MZ Machiavelli	100	81	39	215	191	3	0	22
MZ Parco	93	88	44	235	215	4	0	29
Meda	94	92	39	214	198	5	0	29
MI Pascal	100	80	33	179	169	0	0	13
MI Verziere	94	89	38	216	200	4	0	22
Arconate	100	83	42	222	203	7	0	26
Cormano	95	87	40	208	197	3	0	23
Limite	87	74	34	174	162	0	0	13
Magenta	99	85	35	199	181	1	0	24
Motta Visconti	100	83	36	176	169	0	0	19
PV Folperti	96	75	34	183	165	1	0	12
Voghera	99	70	32	163	143	0	0	8
Cornale	83	79	41	208	183	3	0	15
CasoniBorroni	100	74	33	171	148	0	0	11
Ferrera Erb	95	81	33	175	148	0	0	18
SO Paribelli	94	64	36	160	144	0	0	11
Bormio	100	75	27	143	131	0	0	5
Morbegno	96	74	33	168	150	0	0	14
VA Vidoletti	100	83	34	183	164	1	0	23
Busto	100	73	42	201	184	1	0	20
Saronno	100	89	43	217	200	6	0	32
Ferno	100	79	43	214	186	6	0	19



Benzene	rendimento	media	dev.st.	max media 1h	max media 24h
	(%)	( $\mu\text{g}/\text{m}^3$ )	( $\mu\text{g}/\text{m}^3$ )	( $\mu\text{g}/\text{m}^3$ )	( $\mu\text{g}/\text{m}^3$ )
Angolo Terme	35	0.4	0.2	2.3	0.5
Borno	100	0.5	0.4	11.5	1.2
Darfo	93	0.3	0.2	1.4	0.5
BS Tartaglia	99	0.2	0.1	0.8	0.3
BS Turati	98	0.7	0.5	3.7	1.2
MN Gramsci	99	0.2	0.3	4.4	0.5
MN SAgnese	97	0.4	0.2	1.7	0.6
Schivenoglia	99	0.2	0.1	1.6	0.3
CR Cadorna	97	0.5	0.2	3.0	0.8
BG Garibaldi	98	0.6	0.4	4.5	0.9
Dalmine	91	0.3	0.2	2.1	0.6
Calusco	100	0.3	0.3	10.1	0.8
CO Cattaneo	95	0.6	0.3	2.2	0.8
LC Amendola	100	0.5	0.4	3.5	1.0
LO Vignati	79	0.1	0.1	1.8	0.2
MI Pascal	79	1.4	1.4	5.6	2.2
MI Senato	88	0.9	0.6	7.1	1.7
MI Marche	100	0.9	0.5	5.0	1.8
Cassano	92	0.2	0.1	1.5	0.3
PV Folperti	89	0.3	0.1	0.8	0.4
Voghera	98	0.2	0.2	4.0	0.4
Cornale	85	0.3	0.4	4.2	0.8
Sannazzaro	95	0.5	0.9	10.9	1.7
SO Mazzini	100	0.2	0.1	1.0	0.3
Bormio	100	0.2	0.1	1.9	0.3

PM10	Rendimento	Media	dev.st.	max media 24h	n° giorni supero valore limite
	(%)	( $\mu\text{g}/\text{m}^3$ )	( $\mu\text{g}/\text{m}^3$ )	( $\mu\text{g}/\text{m}^3$ )	
Angolo Terme	100	17	7	31	0
Borno	95	16	7	29	0
Darfo	100	23	9	47	0
BS Broletto	98	26	9	41	0
BS Tartaglia	85	22	8	40	0
BS VillSereno	100	27	10	52	1
Rezzato	100	28	12	57	2
Sarezzo	100	20	7	33	0
Odolo	93	24	10	40	0
MN Gramsci	100	22	7	35	0
MN SAgnese	100	27	13	60	2
Ponti sM	95	23	10	46	0
Schivenoglia	100	22	8	52	1
Borgofranco	90	29	10	57	1
Soresina	95	28	10	50	0
CR Cadorna	95	25	9	46	0
CR Fatebenef.lli	93	26	10	49	0
Spinadesco	95	32	13	68	4

PM10	Rendimento	Media	dev.st.	max media 24h	n° giorni supero valore limite
	(%)	( $\mu\text{g}/\text{m}^3$ )	( $\mu\text{g}/\text{m}^3$ )	( $\mu\text{g}/\text{m}^3$ )	
Crema	100	26	9	49	0
BG Garibaldi	98	22	8	39	0
BG Meucci	100	20	8	36	0
Casirate	100	22	7	37	0
Dalmine	95	22	7	34	0
Treviglio	98	24	8	42	0
Filago	100	21	7	32	0
Osio Sotto	100	22	7	33	0
Calusco	100	20	7	31	0
CO Cattaneo	70	22	7	42	0
Cantu	98	17	6	32	0
Erba	95	16	7	27	0
LC Amendola	100	18	7	32	0
LC Sora	93	17	6	30	0
Merate	100	22	6	33	0
Moggio	93	17	9	33	0
Valmadrera	100	17	7	29	0
LO SAlberto	98	24	7	41	0
LO Vignati	100	27	9	50	0
Codogno	100	31	11	59	3
Tavazzano	100	25	8	42	0
SRocco	100	22	8	40	0
Bertonico	93	24	9	50	0
MZ Machiavelli	98	22	7	35	0
MZ Parco	98	18	7	30	0
Meda	90	25	8	51	1
MI Pascal	98	22	6	34	0
MI Verziere	80	26	7	36	0
MI Senato	95	27	8	43	0
MI Marche	100	27	8	47	0
Cassano	100	20	8	44	0
Limito	93	24	7	40	0
Magenta	98	20	5	32	0
Turbigo	88	16	6	27	0
PV Minerva	100	25	8	46	0
PV Folperti	93	21	6	32	0
Voghera	100	20	6	34	0
Sannazzaro	80	24	7	41	0
Vigevano	100	23	8	43	0
Parona	100	22	8	43	0
CasoniBorroni	98	20	8	44	0
SO Mazzini	100	13	6	22	0
SO Paribelli	100	16	5	27	0
Bormio	100	9	4	19	0
Morbegno	100	14	5	24	0
VA Copelli	100	17	6	27	0
Busto	100	17	5	27	0
Saronno	98	23	8	43	0
Ferno	100	19	6	28	0

periodo invernale

Monossido di carbonio	rendimento (%)	media ( $\mu\text{g}/\text{m}^3$ )	dev.st. ( $\mu\text{g}/\text{m}^3$ )	max media 1h ( $\mu\text{g}/\text{m}^3$ )	max media 8h ( $\mu\text{g}/\text{m}^3$ )	giorni di supero valore limite
Angolo Terme	100	0.5	0.3	1.8	1.5	0
Borno	97	0.5	0.2	1.2	1.1	0
BS Broletto	100	0.9	0.3	3.2	2.1	0
BS Turati	100	1.4	0.4	2.5	2.2	0
Rezzato	99	0.4	0.3	1.4	0.7	0
Sarezzo	74	0.6	0.2	1.6	0.0	0
MN Gramsci	99	0.7	0.2	1.7	1.0	0
MN SAgnese	100	0.8	0.2	1.8	1.2	0
Ponti sM	100	0.7	0.2	1.4	1.1	0
Schivenoglia	94	0.7	0.1	1.2	1.2	0
CR Cadorna	100	0.5	0.2	1.6	1.0	0
CR Fatebenef.lli	70	0.8	0.2	1.5	0.0	0
Crema	67	0.5	0.2	1.3	0.0	0
BG Garibaldi	96	0.9	0.3	2.3	1.2	0
BG Meucci	70	0.6	0.2	1.8	0.0	0
Dalmine	100	0.9	0.3	2.2	1.8	0
Treviglio	94	0.9	0.3	2.4	1.5	0
CO Cattaneo	100	0.8	0.3	2.1	1.5	0
Cantu	73	1.0	0.3	2.1	0.0	0
LC Amendola	100	0.7	0.3	1.7	1.1	0
Merate	78	0.8	0.3	1.9	1.0	0
Valmadrera	96	0.7	0.2	1.4	1.0	0
LO Vignati	100	0.7	0.2	1.5	1.2	0
MZ Machiavelli	99	0.8	0.4	2.4	2.1	0
Meda	76	1.1	0.5	2.7	2.3	0
MI Senato	100	0.9	0.3	2.6	1.5	0
MI Liguria	100	1.0	0.3	3.2	1.7	0
MI Marche	100	0.9	0.4	2.5	1.6	0
Arconate	94	0.8	0.3	2.0	1.4	0
Cassano	100	0.7	0.3	1.9	1.0	0
Limite	100	0.7	0.2	1.8	1.3	0
Magenta	62	0.7	0.4	2.1	1.9	0
Rho	100	1.2	0.3	2.4	1.9	0
SGiuliano MI.se	100	0.7	0.2	1.7	1.4	0
Sesto SGiovanni	100	0.8	0.3	2.0	1.5	0
PV Minerva	86	0.9	0.3	1.7	1.6	0
Voghera	100	0.8	0.2	1.7	1.2	0
Cornale	100	0.5	0.2	1.2	0.7	0
Ferrera Erb	99	0.5	0.2	1.3	0.8	0
SO Mazzini	100	0.9	0.3	1.9	1.3	0
Bormio	100	0.5	0.4	2.8	1.4	0
Morbegno	100	0.6	0.3	2.0	1.0	0
VA Copelli	86	0.5	0.3	1.6	1.0	0
Busto	100	0.8	0.4	2.4	1.8	0

Biossido di azoto	rendimento	media	dev.st.	max media 1h	max media 24h	n° superi limite orario
	(%)	( $\mu\text{g}/\text{m}^3$ )	( $\mu\text{g}/\text{m}^3$ )	( $\mu\text{g}/\text{m}^3$ )	( $\mu\text{g}/\text{m}^3$ )	
Angolo Terme	100	19	12	51	53	0
Borno	97	20	10	49	50	0
Darfo	100	34	11	77	53	0
BS Broletto	100	27	13	65	42	0
BS Tartaglia	100	42	15	97	55	0
BS Turati	86	28	13	69	42	0
BS VillSereno	88	32	11	67	44	0
BS SPolo	100	31	12	102	46	0
Rezzato	100	32	10	66	45	0
Sarezzo	100	22	9	56	37	0
Lonato	95	31	17	90	71	0
Gambara	100	23	13	75	57	0
Odolo	100	30	8	57	41	0
MN Gramsci	99	23	9	58	39	0
MN SAgnese	91	27	10	68	49	0
Ponti sM	100	26	10	71	55	0
Viadana	100	25	8	63	39	0
Schivenoglia	94	21	9	55	34	0
Borgofranco	97	22	10	89	43	0
Tavernola BG	97	21	9	52	36	0
Soresina	100	34	9	68	51	0
Corte Cortesi	100	20	7	51	33	0
CR Cadorna	100	29	10	88	46	0
CR Fatebenef.lli	100	29	10	73	46	0
Spinadesco	100	24	8	62	38	0
Crema	100	32	10	73	51	0
BG Garibaldi	96	57	13	105	69	0
BG Meucci	100	43	14	91	60	0
Casirate	100	23	10	71	46	0
Dalmine	100	32	11	81	47	0
Treviglio	94	50	17	126	85	0
Filago	91	33	12	85	49	0
Osio Sotto	99	27	14	81	49	0
Calusco	100	30	12	85	47	0
CO Cattaneo	100	42	15	98	60	0
Cantu	100	31	11	64	48	0
Erba	100	31	14	70	49	0
LC Amendola	100	41	16	84	58	0
LC Sora	100	34	12	65	49	0
Merate	95	38	15	101	59	0
Colico	100	34	12	68	50	0
Perledo	96	22	11	72	40	0
Valmadrera	100	28	11	65	45	0
LO SAlberto	100	28	11	70	49	0
LO Vignati	98	29	11	69	51	0
Codogno	94	31	10	101	52	0
Tavazzano	96	27	9	57	43	0
SRocco	100	27	10	67	41	0

Biossido di azoto	rendimento	media	dev.st.	max media 1h	max media 24h	n° superi limite orario
	(%)	( $\mu\text{g}/\text{m}^3$ )	( $\mu\text{g}/\text{m}^3$ )	( $\mu\text{g}/\text{m}^3$ )	( $\mu\text{g}/\text{m}^3$ )	
Abbadia	100	25	9	71	39	0
Bertonico	100	25	8	59	38	0
MZ Machiavelli	99	37	10	83	65	0
MZ Parco	100	33	13	82	53	0
Meda	100	39	14	101	64	0
MI Pascal	100	44	15	95	73	0
MI Verziere	100	43	14	117	82	0
MI Senato	99	48	14	125	82	0
MI Liguria	98	43	15	105	76	0
MI Marche	100	51	16	118	90	0
Arconate	77	25	10	66	35	0
Cassano	98	39	15	135	65	0
Cinisello	94	48	18	131	86	0
Cormano	100	50	16	111	83	0
Limito	100	35	13	102	67	0
Magenta	100	35	15	90	66	0
Motta Visconti	100	26	9	61	42	0
Rho	100	40	13	95	67	0
SGiuliano MI.se	100	36	12	103	62	0
Sesto SGiovanni	100	48	14	99	83	0
Turbigo	100	25	10	60	43	0
PV Minerva	93	38	12	82	52	0
PV Folperti	99	29	9	64	42	0
Voghera	86	31	10	69	45	0
Cornale	100	28	8	57	38	0
Sannazzaro	100	23	7	47	33	0
Vigevano	100	23	10	65	36	0
Parona	100	22	10	57	37	0
Ferrera Erb	99	23	8	53	36	0
SO Mazzini	94	41	12	83	56	0
SO Paribelli	94	30	10	69	46	0
Bormio	100	27	16	82	45	0
Morbegno	100	35	12	72	53	0
VA Copelli	86	38	14	172	56	0
VA Vidoletti	100	27	12	65	40	0
Busto	100	18	8	43	28	0
Saronno	100	34	12	71	53	0
Ferno	89	33	13	86	57	0

Ozono	rendimento	media	dev.st.	max media 1h	max media 8h	n° giorni supero soglia informazione	n° giorni supero soglia allarme	n° giorni supero valore obiettivo
	(%)	( $\mu\text{g}/\text{m}^3$ )	( $\mu\text{g}/\text{m}^3$ )	( $\mu\text{g}/\text{m}^3$ )	( $\mu\text{g}/\text{m}^3$ )			
Angolo Terme	100	29	17	84	78	0	0	0
Borno	95	41	14	83	70	0	0	0
Darfo	46	7	11	71	51	0	0	0
BS VillSereno	82	6	8	62	43	0	0	0
Sarezzo	92	12	9	65	49	0	0	0
Lonato	100	12	14	65	53	0	0	0

Ozono	rendimento (%)	media ( $\mu\text{g}/\text{m}^3$ )	dev.st. ( $\mu\text{g}/\text{m}^3$ )	max media 1h ( $\mu\text{g}/\text{m}^3$ )	max media 8h ( $\mu\text{g}/\text{m}^3$ )	n° giorni supero soglia informazione	n° giorni supero soglia allarme	n° giorni supero valore obiettivo
Gambara	100	9	7	48	35	0	0	0
MN SAgnese	100	12	10	52	45	0	0	0
Ponti sM	100	8	12	67	49	0	0	0
Viadana	100	9	8	53	47	0	0	0
Schivenoglia	94	17	12	58	51	0	0	0
Corte Cortesi	100	8	9	64	50	0	0	0
CR Fatebenef.lli	100	6	8	54	42	0	0	0
Spinadesco	100	7	8	63	52	0	0	0
Crema	100	7	9	66	57	0	0	0
BG Meucci	100	9	10	72	66	0	0	0
Casirate	98	8	11	83	71	0	0	0
Osio Sotto	100	9	12	78	69	0	0	0
Calusco	100	14	15	79	75	0	0	0
CO Cattaneo	100	14	12	72	67	0	0	0
Cantu	100	11	12	85	77	0	0	0
Erba	100	14	15	76	72	0	0	0
LC Sora	100	14	13	78	73	0	0	0
Moggio	100	70	13	96	94	0	0	0
Colico	100	11	14	77	75	0	0	0
Perledo	96	31	19	83	81	0	0	0
Valmadrera	100	16	15	80	79	0	0	0
LO SAlberto	100	8	8	72	59	0	0	0
Abbadia	96	7	10	69	61	0	0	0
Bertonico	99	9	10	73	60	0	0	0
MZ Machiavelli	99	5	9	71	62	0	0	0
MZ Parco	100	9	11	80	74	0	0	0
Meda	100	8	9	68	64	0	0	0
MI Pascal	100	5	8	69	58	0	0	0
MI Verziere	100	6	7	57	46	0	0	0
Arconate	81	8	12	80	76	0	0	0
Cormano	100	9	11	83	77	0	0	0
Limite	94	5	7	53	48	0	0	0
Magenta	100	8	9	64	54	0	0	0
Motta Visconti	100	8	10	75	69	0	0	0
PV Folperti	95	7	9	62	51	0	0	0
Voghera	41	12	9	45	38	0	0	0
Cornale	99	9	10	74	56	0	0	0
CasoniBorroni	100	9	8	59	53	0	0	0
Ferrera Erb	99	8	9	62	51	0	0	0
SO Paribelli	100	6	7	56	31	0	0	0
Bormio	100	33	20	80	74	0	0	0
Morbegno	100	15	11	66	56	0	0	0
VA Vidoletti	100	11	15	69	66	0	0	0
Busto	99	6	10	70	66	0	0	0
Saronno	100	5	11	72	66	0	0	0
Ferno	100	6	11	73	65	0	0	0

Benzene	rendimento	media	dev.st.	max media 1h	max media 24h
	(%)	( $\mu\text{g}/\text{m}^3$ )	( $\mu\text{g}/\text{m}^3$ )	( $\mu\text{g}/\text{m}^3$ )	( $\mu\text{g}/\text{m}^3$ )
Angolo Terme	97	1.9	1.1	10.5	3.8
Borno	97	1.5	0.9	5.6	2.5
Darfo	100	2.3	1.2	6.0	4.5
BS Tartaglia	100	1.2	0.5	3.1	2.1
BS Turati	100	2.2	0.9	9.3	3.2
MN Gramsci	99	1.0	0.4	3.7	1.7
MN SAgnese	98	1.2	0.4	3.8	1.9
Schivenoglia	70	1.1	0.3	2.2	1.5
CR Cadorna	100	2.5	0.8	6.7	3.8
BG Garibaldi	97	1.5	0.9	13.9	3.5
Dalmine	97	1.8	0.9	6.8	3.2
Calusco	100	1.9	1.0	6.0	3.5
CO Cattaneo	87	2.7	1.4	11.1	5.5
LC Amendola	96	0.9	0.6	4.7	2.7
LO Vignati	90	1.2	0.6	8.5	2.5
MI Pascal	100	2.7	1.1	8.1	5.0
MI Senato	99	1.7	0.7	5.6	3.0
MI Marche	99	2.7	0.9	6.1	4.1
Cassano	92	0.7	0.4	4.7	1.4
PV Folperti	99	1.7	0.5	3.5	2.6
Voghera	98	1.6	0.6	4.6	2.4
Cornale	99	1.7	0.6	3.6	2.8
Sannazzaro	100	1.8	1.2	24.3	4.6
SO Mazzini	100	2.0	0.8	5.2	3.6
Bormio	100	2.2	1.9	11.1	4.9

PM10	Rendimento	Media	dev.st.	max media 24h	n° giorni supero valore limite
	(%)	( $\mu\text{g}/\text{m}^3$ )	( $\mu\text{g}/\text{m}^3$ )	( $\mu\text{g}/\text{m}^3$ )	
Angolo Terme	89	23	12	57	2
Borno	96	13	7	39	0
Darfo	100	45	17	104	13
BS Broletto	100	38	16	87	11
BS Tartaglia	91	42	15	86	10
BS VillSereno	100	44	14	75	16
Rezzato	98	47	19	89	19
Sarezzo	100	31	13	82	3
Odolo	100	35	11	72	4
MN Gramsci	100	38	14	72	11
MN SAgnese	100	37	16	77	11
Ponti sM	100	37	15	74	10
Schivenoglia	81	34	12	57	5
Borgofranco	100	35	15	72	8
Soresina	83	46	16	79	17
CR Cadorna	94	43	16	77	16
CR Fatebenef.lli	96	42	15	73	17
Spinadesco	100	43	15	71	18

<b>PM10</b>	<b>Rendimento</b>	<b>Media</b>	<b>dev.st.</b>	<b>max media 24h</b>	<b>n° giorni supero valore limite</b>
	<b>(%)</b>	<b>(µg/m³)</b>	<b>(µg/m³)</b>	<b>(µg/m³)</b>	
Crema	94	42	17	82	14
BG Garibaldi	91	32	14	69	6
BG Meucci	100	35	15	79	8
Casirate	100	39	14	68	9
Dalmine	100	37	15	75	10
Treviglio	91	39	16	72	14
Filago	83	35	13	61	6
Osio Sotto	100	35	14	69	8
Calusco	100	36	14	72	8
CO Cattaneo	92	32	12	60	4
Cantu	100	36	14	68	9
Erba	100	34	16	74	10
LC Amendola	100	23	13	60	3
LC Sora	100	26	13	66	2
Merate	94	43	15	74	14
Moggio	100	5	4	17	0
Valmadrera	100	32	15	66	5
LO SAlberto	100	37	14	63	9
LO Vignati	100	41	17	78	18
Codogno	92	45	17	85	19
Tavazzano	96	39	15	71	15
SRocco	98	39	16	72	12
Bertonico	98	37	15	67	11
MZ Machiavelli	94	41	18	80	19
MZ Parco	68	42	18	78	12
Meda	98	48	18	81	27
MI Pascal	89	40	15	69	13
MI Verziere	100	34	13	63	5
MI Senato	100	45	16	78	25
MI Marche	100	43	16	82	17
Cassano	100	37	14	69	8
Limite	100	42	17	77	18
Magenta	100	40	15	69	15
Turbigo	94	34	14	72	5
PV Minerva	94	37	16	64	13
PV Folperti	92	36	15	62	10
Voghera	94	38	16	74	13
Sannazzaro	92	36	14	60	7
Vigevano	81	38	15	71	8
Parona	100	42	16	75	19
CasoniBorroni	91	33	14	59	8
SO Mazzini	100	34	8	48	0
SO Paribelli	100	38	8	57	4
Bormio	100	22	9	44	0
Morbegno	100	30	10	52	1
VA Copelli	79	30	12	61	2
Busto	100	31	13	57	4
Saronno	92	39	16	69	11
Ferno	96	42	17	74	20



## Allegato 4 – Dati orari rilevati dai Laboratori Mobili

Angolo Terme - periodo estivo

giorno	hh	NO ( $\mu\text{g}/\text{m}^3$ )	NO2 ( $\mu\text{g}/\text{m}^3$ )	CO ( $\text{mg}/\text{m}^3$ )	O3 ( $\mu\text{g}/\text{m}^3$ )	Benz ( $\mu\text{g}/\text{m}^3$ )	Tol ( $\mu\text{g}/\text{m}^3$ )
06-mag-22	00	0	2	0.2	39		
06-mag-22	01	0	2	0.2	37		
06-mag-22	02	0	2	0.2	30		
06-mag-22	03	0	2	0.2	28		
06-mag-22	04	0	3	0.2	24		
06-mag-22	05	7	9	0.2	27		
06-mag-22	06	4	9	0.2	23		
06-mag-22	07	8	14	0.2	20		
06-mag-22	08	5	13	0.2	22		
06-mag-22	09	8	17	0.3	22		
06-mag-22	10	6	16	0.3	29		
06-mag-22	11	7	17	0.3	39		
06-mag-22	12	7	17	0.2	42		
06-mag-22	13	3	11	0.2	56		
06-mag-22	14	2	10	0.2	64		
06-mag-22	15	3	13	0.2	55	0.3	1.1
06-mag-22	16	3	22	0.2	49	0.6	2.0
06-mag-22	17	3	27	0.2	46	0.6	2.5
06-mag-22	18	3	29	0.3	44	0.9	2.7
06-mag-22	19	2	24	0.3	49	0.9	2.4
06-mag-22	20	1	21	0.3	49	0.6	1.9
06-mag-22	21	2	18	0.3	56	0.5	1.5
06-mag-22	22	1	14	0.2	59	0.3	1.3
06-mag-22	23	1	14	0.2	57	0.4	1.3
06-mag-22	00	2	14	0.2	47	0.3	1.3
07-mag-22	01	2	14	0.2	43	0.3	1.9
07-mag-22	02	1	13	0.2	44	0.1	1.1
07-mag-22	03	1	13	0.2	43	0.1	1.1
07-mag-22	04	1	13	0.2	33	0.2	1.4
07-mag-22	05	7	15	0.2	21	0.4	1.0
07-mag-22	06	10	17	0.3	14	0.9	1.5
07-mag-22	07	9	19	0.3	21	0.6	1.1
07-mag-22	08	3	13	0.3	36	0.5	1.5
07-mag-22	09	4	12	0.3	38	0.6	1.8
07-mag-22	10	4	11	0.3	45	0.4	1.8
07-mag-22	11	4	13	0.3	54	0.5	1.6
07-mag-22	12	4	12	0.3	63	0.4	0.8
07-mag-22	13	4	9	0.3	68	0.5	1.6
07-mag-22	14	2	6	0.2	78	0.5	2.7
07-mag-22	15	2	7	0.2	78	0.1	1.0
07-mag-22	16	3	12	0.3	75	0.0	0.9
07-mag-22	17	7	18	0.3	61	0.9	1.2
07-mag-22	18	6	20	0.4	46	0.8	1.3

giorno	hh	NO ( $\mu\text{g}/\text{m}^3$ )	NO2 ( $\mu\text{g}/\text{m}^3$ )	CO ( $\text{mg}/\text{m}^3$ )	O3 ( $\mu\text{g}/\text{m}^3$ )	Benz ( $\mu\text{g}/\text{m}^3$ )	Tol ( $\mu\text{g}/\text{m}^3$ )
07-mag-22	19	3	18	0.4	34	1.1	1.8
07-mag-22	20	4	15	0.4	19	1.2	2.1
07-mag-22	21	3	9	0.4	16	1.2	1.9
07-mag-22	22	5	8	0.4	17	0.6	1.0
07-mag-22	23	3	5	0.3	15	0.5	1.0
07-mag-22	00	4	5	0.3	12	0.4	0.9
08-mag-22	01	2	4	0.3	17	0.2	1.0
08-mag-22	02	2	4	0.2	16	0.1	1.0
08-mag-22	03	1	1	0.2	22	0.0	0.8
08-mag-22	04	1	1	0.2	23	0.0	0.9
08-mag-22	05	1	1	0.2	21	0.0	0.5
08-mag-22	06	3	3	0.2	22	0.0	0.7
08-mag-22	07	5	6	0.2	23	0.1	0.7
08-mag-22	08	6	6	0.3	26	0.2	1.0
08-mag-22	09	5	7	0.3	28	0.4	1.0
08-mag-22	10	3	5	0.3	44	0.5	1.1
08-mag-22	11	3	5	0.3	53	0.4	0.9
08-mag-22	12	2	3	0.3	66	0.0	0.7
08-mag-22	13	2	4	0.3	68	0.0	0.6
08-mag-22	14	2	4	0.2	74	0.0	0.5
08-mag-22	15	2	5	0.2	75	0.0	0.3
08-mag-22	16	2	6	0.2	77	0.0	0.5
08-mag-22	17	3	11	0.3	68	0.6	0.8
08-mag-22	18	4	8	0.3	52	0.5	1.3
08-mag-22	19	2	3	0.2	49	0.1	0.2
08-mag-22	20	3	5	0.3	40	0.2	0.3
08-mag-22	21	2	2	0.2	41	0.3	0.8
08-mag-22	22	2	2	0.2	39	0.0	0.1
08-mag-22	23	1	1	0.2	38	0.0	0.0
08-mag-22	00	1	0	0.2	38	0.0	0.0
09-mag-22	01	1	0	0.2	37	0.0	0.0
09-mag-22	02	1	0	0.2	36	0.0	0.0
09-mag-22	03	2	1	0.2	36	0.0	0.0
09-mag-22	04	1	1	0.2	37	0.0	0.0
09-mag-22	05	2	2	0.2	37	0.0	0.1
09-mag-22	06	4	5	0.2	38	0.0	0.0
09-mag-22	07	4	5	0.2	37	0.0	0.4
09-mag-22	08	4	5	0.2	36	0.0	0.5
09-mag-22	09	4	5	0.2	42	0.0	0.4
09-mag-22	10	4	7	0.2	55	0.1	0.6
09-mag-22	11	3	8	0.2	69	0.3	1.4
09-mag-22	12	2	9	0.2	66	0.1	1.2
09-mag-22	13	3	10	0.2	75	0.1	1.2
09-mag-22	14	2	5	0.2	96	0.1	0.9
09-mag-22	15	2	7	0.2	98	0.0	0.6
09-mag-22	16	4	10	0.2	86	0.0	1.1
09-mag-22	17	3	9	0.2	70	0.0	0.5
09-mag-22	18	6	18	0.3	48	0.4	1.2

giorno	hh	NO ( $\mu\text{g}/\text{m}^3$ )	NO2 ( $\mu\text{g}/\text{m}^3$ )	CO ( $\text{mg}/\text{m}^3$ )	O3 ( $\mu\text{g}/\text{m}^3$ )	Benz ( $\mu\text{g}/\text{m}^3$ )	Tol ( $\mu\text{g}/\text{m}^3$ )
09-mag-22	19	3	11	0.3	62	0.6	1.1
09-mag-22	20	2	4	0.3	67	0.1	0.5
09-mag-22	21	2	3	0.2	59	0.0	0.3
09-mag-22	22	2	2	0.2	50	0.0	0.1
09-mag-22	23	1	1	0.2	48	0.0	0.2
09-mag-22	00	1	0	0.2	67	0.0	0.1
10-mag-22	01	1	0	0.2	73	0.0	0.0
10-mag-22	02	1	0	0.2	66	0.0	0.0
10-mag-22	03	1	0	0.2	62	0.0	0.0
10-mag-22	04	1	0	0.2	56	0.0	0.0
10-mag-22	05	3	2	0.2	54	0.0	0.1
10-mag-22	06	3	3	0.2	53	0.0	0.1
10-mag-22	07	4	4	0.2	54	0.1	0.5
10-mag-22	08	2	3	0.2	62	0.0	0.3
10-mag-22	09	5	13	0.2	56	0.3	0.8
10-mag-22	10	4	11	0.2	77	0.7	2.2
10-mag-22	11	2	6	0.2	106	0.1	1.0
10-mag-22	12	2	5	0.2	119	0.0	0.5
10-mag-22	13	1	4	0.2	131	0.0	0.7
10-mag-22	14	1	5	0.2	137	0.0	0.5
10-mag-22	15	1	5	0.2	143	0.0	0.3
10-mag-22	16	1	6	0.2	150	0.0	0.5
10-mag-22	17	1	7	0.2	151	0.0	0.6
10-mag-22	18	2	15	0.3	104	0.0	1.1
10-mag-22	19	2	15	0.3	86	0.3	1.6
10-mag-22	20	1	10	0.3	102	0.3	2.3
10-mag-22	21	1	6	0.2	103	0.1	1.0
10-mag-22	22	1	4	0.2	92	0.0	1.0
10-mag-22	23	1	3	0.2	86	0.0	1.0
10-mag-22	00	1	2	0.2	83	0.0	0.9
11-mag-22	01	1	2	0.2	79	0.1	0.9
11-mag-22	02	1	1	0.2	75	0.0	0.8
11-mag-22	03	1	1	0.2	71	0.0	0.7
11-mag-22	04	1	2	0.2	67	0.0	0.7
11-mag-22	05	2	3	0.2	65	0.0	0.6
11-mag-22	06	3	6	0.2	63	0.0	0.8
11-mag-22	07	3	6	0.2	59	0.0	0.8
11-mag-22	08	6	12	0.2	60	0.2	1.0
11-mag-22	09	4	12	0.2	79	0.1	1.5
11-mag-22	10	3	13	0.3	101	0.4	1.9
11-mag-22	11	2	10	0.2	130	0.3	2.3
11-mag-22	12	1	5	0.2	151	0.0	0.8
11-mag-22	13	1	5	0.2	163	0.1	1.0
11-mag-22	14	1	6	0.2	168	0.0	0.8
11-mag-22	15	1	7	0.2	170	0.0	1.0
11-mag-22	16	1	7	0.2	173	0.0	1.1
11-mag-22	17	1	7	0.2	163	0.0	0.8
11-mag-22	18	1	9	0.4	144	0.6	3.3

giorno	hh	NO ( $\mu\text{g}/\text{m}^3$ )	NO2 ( $\mu\text{g}/\text{m}^3$ )	CO ( $\text{mg}/\text{m}^3$ )	O3 ( $\mu\text{g}/\text{m}^3$ )	Benz ( $\mu\text{g}/\text{m}^3$ )	Tol ( $\mu\text{g}/\text{m}^3$ )
11-mag-22	19	2	14	0.8	113	5.0	28.2
11-mag-22	20	1	7	0.2	116	0.4	2.5
11-mag-22	21	2	6	0.2	108	0.0	0.9
11-mag-22	22	2	5	0.2	101	0.0	0.8
11-mag-22	23	1	3	0.2	98	0.0	0.9
11-mag-22	00	1	2	0.2	96	0.0	0.7
12-mag-22	01	1	1	0.2	94	0.0	0.4
12-mag-22	02	1	1	0.2	92	0.0	0.7
12-mag-22	03	1	1	0.2	90	0.0	0.5
12-mag-22	04	1	2	0.2	86	0.0	0.7
12-mag-22	05	2	4	0.2	81	0.0	0.7
12-mag-22	06	5	11	0.2	71	0.0	0.7
12-mag-22	07	6	11	0.2	68	0.0	0.9
12-mag-22	08	4	11	0.2	76	0.1	0.9
12-mag-22	09	4	18	0.3	91	0.2	1.6
12-mag-22	10	3	13	0.3	108	1.1	2.2
12-mag-22	11	2	11	0.2	124	0.2	1.5
12-mag-22	12	1	4	0.2	137	0.1	1.0
12-mag-22	13	1	3	0.2	143	0.0	0.7
12-mag-22	14	1	3	0.2	142	0.0	0.5
12-mag-22	15	1	2	0.2	141	0.0	0.5
12-mag-22	16	1	3	0.2	140	0.0	0.4
12-mag-22	17	1	4	0.2	135	0.0	0.4
12-mag-22	18	2	12	0.2	95	0.1	0.9
12-mag-22	19	2	12	0.3	93	0.0	1.1
12-mag-22	20	1	11	0.3	94	0.0	1.3
12-mag-22	21	1	8	0.2	106	0.0	1.3
12-mag-22	22	1	3	0.2	107	0.0	0.9
12-mag-22	23	1	2	0.2	100	0.0	0.8
12-mag-22	00	1	2	0.2	93	0.0	0.9
13-mag-22	01	1	1	0.2	89	0.0	0.8
13-mag-22	02	1	1	0.2	87	0.0	0.7
13-mag-22	03	1	0	0.2	85	0.0	0.8
13-mag-22	04	1	1	0.2	79	0.0	0.7
13-mag-22	05	2	2	0.2	74	0.0	0.9
13-mag-22	06	2	6	0.2	64	0.0	1.2
13-mag-22	07	5	11	0.3	56	0.1	3.7
13-mag-22	08	5	13	0.3	69	0.0	2.0
13-mag-22	09	5	17	0.3	85	0.4	2.2
13-mag-22	10	3	14	0.3	103	0.2	1.8
13-mag-22	11	3	12	0.3	127	0.3	1.6
13-mag-22	12	2	6	0.2	145	0.0	1.2
13-mag-22	13	1	5	0.2	151	0.0	1.0
13-mag-22	14	1	4	0.2	150	0.0	1.1
13-mag-22	15	1	3	0.2	151	0.0	0.7
13-mag-22	16	1	3	0.2	151	0.0	0.5
13-mag-22	17	1	4	0.2	147	0.0	0.7
13-mag-22	18	2	12	0.2	116	0.2	1.3

giorno	hh	NO ( $\mu\text{g}/\text{m}^3$ )	NO2 ( $\mu\text{g}/\text{m}^3$ )	CO ( $\text{mg}/\text{m}^3$ )	O3 ( $\mu\text{g}/\text{m}^3$ )	Benz ( $\mu\text{g}/\text{m}^3$ )	Tol ( $\mu\text{g}/\text{m}^3$ )
13-mag-22	19	2	13	0.2	104	0.1	1.6
13-mag-22	20	1	9	0.2	96	0.0	1.5
13-mag-22	21	1	8	0.2	96	0.0	1.4
13-mag-22	22	2	7	0.2	92	0.0	1.4
13-mag-22	23	2	6	0.2	87	0.0	1.2
13-mag-22	00	1	2	0.2	86	0.0	1.0
14-mag-22	01	1	1	0.2	79	0.0	0.9
14-mag-22	02	1	1	0.2	78	0.0	0.8
14-mag-22	03	1	0	0.2	75	0.0	0.7
14-mag-22	04	1	0	0.2	64	0.0	0.8
14-mag-22	05	2	4	0.2	52	0.0	1.1
14-mag-22	06	2	3	0.2	53	0.0	1.0
14-mag-22	07	5	7	0.3	47	0.0	1.0
14-mag-22	08	6	11	0.3	46	0.3	2.6
14-mag-22	09	4	7	0.2	66	0.0	1.7
14-mag-22	10	4	9	0.2	76	0.2	1.9
14-mag-22	11	3	7	0.2	110	0.0	1.0
14-mag-22	12	2	6	0.2	116	0.0	0.8
14-mag-22	13	3	7	0.2	97	0.0	1.0
14-mag-22	14	5	9	0.3	69	0.0	1.0
14-mag-22	15	3	4	0.2	94	0.1	1.3
14-mag-22	16	5	9	0.3	75	0.0	1.1
14-mag-22	17	6	11	0.3	68	0.1	0.8
14-mag-22	18	3	7	0.3	64	0.0	1.0
14-mag-22	19	3	4	0.2	68	0.0	1.3
14-mag-22	20	2	2	0.2	70	0.0	0.4
14-mag-22	21	2	2	0.2	63	0.0	0.2
14-mag-22	22	2	1	0.2	57	0.0	0.5
14-mag-22	23	2	1	0.2	54	0.0	0.4
14-mag-22	00	2	1	0.2	54	0.0	0.2
15-mag-22	01	1	0	0.2	54	0.0	0.4
15-mag-22	02	2	0	0.2	52	0.0	0.5
15-mag-22	03	1	0	0.2	53	0.0	0.3
15-mag-22	04	2	0	0.2	52	0.0	0.3
15-mag-22	05	1	0	0.2	52	0.0	0.1
15-mag-22	06	3	1	0.2	51	0.0	0.1
15-mag-22	07	2	1	0.2	52	0.0	0.3
15-mag-22	08	3	3	0.2	59	0.0	0.4
15-mag-22	09	3	4	0.2	67	0.0	0.9
15-mag-22	10	2	5	0.2	102	0.0	0.6
15-mag-22	11	1	2	0.2	133	0.0	0.6
15-mag-22	12	1	2	0.2	140	0.0	0.1
15-mag-22	13	1	2	0.2	148	0.0	0.2
15-mag-22	14	2	4	0.3	116	0.0	0.2
15-mag-22	15	2	3	0.2	109	0.0	0.5
15-mag-22	16	2	2	0.2	89	0.0	0.5
15-mag-22	17	3	5	0.3	71	0.0	0.3
15-mag-22	18	2	3	0.3	81	0.0	0.3

giorno	hh	NO ( $\mu\text{g}/\text{m}^3$ )	NO2 ( $\mu\text{g}/\text{m}^3$ )	CO ( $\text{mg}/\text{m}^3$ )	O3 ( $\mu\text{g}/\text{m}^3$ )	Benz ( $\mu\text{g}/\text{m}^3$ )	Tol ( $\mu\text{g}/\text{m}^3$ )
15-mag-22	19	3	5	0.3	72	0.0	0.6
15-mag-22	20	2	1	0.3	70	0.0	0.1
15-mag-22	21	2	0	0.2	62	0.0	0.3
15-mag-22	22	1	0	0.2	62	0.0	0.1
15-mag-22	23	1	0	0.2	62	0.0	0.0
15-mag-22	00	1	0	0.2	63	0.0	0.0
16-mag-22	01	2	0	0.2	62	0.0	0.0
16-mag-22	02	1	0	0.2	60	0.0	0.0
16-mag-22	03	1	0	0.2	58	0.0	0.1
16-mag-22	04	2	0	0.2	58	0.0	0.1
16-mag-22	05	3	1	0.2	56	0.0	0.1
16-mag-22	06	3	3	0.2	53	0.0	0.6
16-mag-22	07	3	3	0.3	58	0.1	1.2
16-mag-22	08	6	12	0.3	54	0.0	1.1
16-mag-22	09	4	10	0.3	76	0.1	1.3
16-mag-22	10	3	7	0.3	101	0.0	0.8
16-mag-22	11	2	4	0.2	129	0.0	0.6
16-mag-22	12	2	1	0.2	118	0.0	0.3
16-mag-22	13	2	1	0.2	90	0.0	0.0
16-mag-22	14	3	2	0.2	76	0.0	0.0
16-mag-22	15	4	5	0.2	74	0.0	0.2
16-mag-22	16	4	3	0.2	83	0.0	0.9
16-mag-22	17	4	5	0.2	74	0.0	0.3
16-mag-22	18	4	3	0.2	62	0.0	0.4
16-mag-22	19	2	1	0.2	57	0.0	0.4
16-mag-22	20	2	1	0.2	57	0.0	0.0
16-mag-22	21	2	0	0.2	59	0.0	0.0
16-mag-22	22	1	0	0.2	58	0.0	0.0
16-mag-22	23	1	0	0.2	57	0.0	0.0
16-mag-22	00	1	0	0.2	54	0.0	0.0
17-mag-22	01	1	0	0.2	53	0.0	0.0
17-mag-22	02	1	0	0.1	51	0.0	0.0
17-mag-22	03	1	0	0.1	51	0.0	0.0
17-mag-22	04	1	0	0.1	51	0.0	0.0
17-mag-22	05	2	1	0.2	52	0.0	0.0
17-mag-22	06	3	3	0.3	54	0.4	1.6
17-mag-22	07	6	8	0.4	54	2.1	14.4
17-mag-22	08	4	8	0.6	56	1.1	6.0
17-mag-22	09	6	15	0.2	57	0.0	1.1
17-mag-22	10	5	13	0.2	72	0.0	1.1
17-mag-22	11	4	12	0.2	94	0.0	0.5
17-mag-22	12	2	8	0.2	119	0.0	0.7
17-mag-22	13	1	4	0.2	134	0.0	0.5
17-mag-22	14	1	4	0.2	145	0.0	0.4
17-mag-22	15	1	4	0.2	147	0.0	0.4
17-mag-22	16	1	5	0.2	152	0.0	0.4
17-mag-22	17	1	6	0.2	152	0.0	0.4
17-mag-22	18	1	7	0.2	144	0.0	0.5

giorno	hh	NO ( $\mu\text{g}/\text{m}^3$ )	NO2 ( $\mu\text{g}/\text{m}^3$ )	CO ( $\text{mg}/\text{m}^3$ )	O3 ( $\mu\text{g}/\text{m}^3$ )	Benz ( $\mu\text{g}/\text{m}^3$ )	Tol ( $\mu\text{g}/\text{m}^3$ )
17-mag-22	19	2	14	0.2	99	0.0	0.9
17-mag-22	20	2	10	0.2	119	0.0	1.2
17-mag-22	21	2	6	0.2	117	0.0	0.9
17-mag-22	22	2	5	0.2	107	0.0	0.8
17-mag-22	23	1	3	0.2	106	0.0	0.6
17-mag-22	00	1	3	0.2	104	0.0	0.6
18-mag-22	01	1	2	0.2	98	0.0	0.7
18-mag-22	02	1	2	0.2	93	0.0	0.5
18-mag-22	03	1	1	0.2	88	0.0	0.5
18-mag-22	04	1	1	0.2	81	0.0	0.4
18-mag-22	05	3	5	0.2	74	0.0	0.3
18-mag-22	06	3	5	0.2	67	0.0	0.2
18-mag-22	07	4	8	0.2	59	0.0	1.1
18-mag-22	08	4	12	0.2	72	0.2	2.3
18-mag-22	09	4	17	0.3	95	0.1	1.5
18-mag-22	10	2	10	0.2	131	0.0	1.2
18-mag-22	11	1	4	0.2	146	0.0	0.5
18-mag-22	12	1	3	0.2	140	0.0	0.3
18-mag-22	13	1	2	0.2	135	0.0	0.2
18-mag-22	14	1	2	0.2	132	0.0	0.0
18-mag-22	15	2	4	0.2	136	0.0	0.2
18-mag-22	16	2	6	0.2	136	0.0	0.3
18-mag-22	17	1	6	0.2	130	0.0	0.3
18-mag-22	18	2	6	0.2	124	0.0	0.3
18-mag-22	19	1	5	0.2	126	0.0	0.5
18-mag-22	20	2	9	0.2	101	0.1	1.2
18-mag-22	21	2	8	0.2	105	0.0	0.6
18-mag-22	22	1	6	0.2	90	0.0	0.5
18-mag-22	23	1	5	0.2	61	0.0	0.7
18-mag-22	00	1	4	0.2	55	0.0	0.5
19-mag-22	01	1	3	0.2	42	0.0	0.7
19-mag-22	02	2	5	0.2	40	0.0	0.8
19-mag-22	03	1	3	0.2	39	0.0	0.8
19-mag-22	04	3	7	0.2	33	0.1	1.0
19-mag-22	05	2	9	0.2	34	0.0	1.1
19-mag-22	06	7	17	0.3	25	0.0	1.2
19-mag-22	07	8	15	0.3	42	0.0	1.3
19-mag-22	08	6	13	0.2	74	0.0	0.9
19-mag-22	09	3	7	0.2	96	0.0	0.7
19-mag-22	10	2	7	0.2	103	0.0	0.9
19-mag-22	11	2	6	0.2	122	0.0	0.4
19-mag-22	12	2	5	0.2	134	0.0	0.1
19-mag-22	13	2	5	0.2	144	0.0	0.4
19-mag-22	14	1	5	0.2	152	0.0	0.3
19-mag-22	15	1	4	0.2	155	0.0	0.1
19-mag-22	16	1	5	0.2	154	0.0	0.1
19-mag-22	17	1	5	0.2	150	0.0	0.3
19-mag-22	18	1	6	0.2	124	0.0	0.4

giorno	hh	NO ( $\mu\text{g}/\text{m}^3$ )	NO2 ( $\mu\text{g}/\text{m}^3$ )	CO ( $\text{mg}/\text{m}^3$ )	O3 ( $\mu\text{g}/\text{m}^3$ )	Benz ( $\mu\text{g}/\text{m}^3$ )	Tol ( $\mu\text{g}/\text{m}^3$ )
19-mag-22	19	2	9	0.2	106	0.0	0.6
19-mag-22	20	2	13	0.3	92	0.0	1.2
19-mag-22	21	2	10	0.2	95	0.0	1.4
19-mag-22	22	2	6	0.2	105	0.0	0.6
19-mag-22	23	2	4	0.2	102	0.0	0.2
19-mag-22	00	2	4	0.2	96	0.0	0.4
20-mag-22	01	1	2	0.2	89	0.0	0.4
20-mag-22	02	1	2	0.2	81	0.0	0.6
20-mag-22	03	1	1	0.2	79	0.0	0.3
20-mag-22	04	2	2	0.2	76	0.0	0.6
20-mag-22	05	3	5	0.2	70	0.0	0.6
20-mag-22	06	7	12	0.2	60	0.0	1.0
20-mag-22	07	5	9	0.2	62	0.0	1.2
20-mag-22	08	4	10	0.3	77	0.0	0.8
20-mag-22	09	3	12	0.3	95	0.0	1.3
20-mag-22	10	3	11	0.2	120	0.0	1.0
20-mag-22	11	2	8	0.2	146	0.0	0.4
20-mag-22	12	2	7	0.2	166	0.0	0.7
20-mag-22	13	2	9	0.3	189	0.0	1.0
20-mag-22	14	1	9	0.3	200	0.0	1.0
20-mag-22	15	1	8	0.2	202	0.0	0.9
20-mag-22	16	1	7	0.2	204	0.0	0.8
20-mag-22	17	1	8	0.3	205	0.0	0.8
20-mag-22	18	2	18	0.3	147	0.0	1.0
20-mag-22	19	1	12	0.3	138	0.2	1.9
20-mag-22	20	1	9	0.3	144	0.0	1.4
20-mag-22	21	2	8	0.3	149	0.0	1.4
20-mag-22	22	2	6	0.3	141	0.0	0.9
20-mag-22	23	1	5	0.3	132	0.0	0.7
20-mag-22	00	1	5	0.3	125	0.0	0.8
21-mag-22	01	1	3	0.3	118	0.0	0.8
21-mag-22	02	1	3	0.3	113	0.0	0.9
21-mag-22	03	1	2	0.3	106	0.0	0.9
21-mag-22	04	2	3	0.3	100	0.0	0.6
21-mag-22	05	3	6	0.3	92	0.0	0.6
21-mag-22	06	3	7	0.3	88	0.0	0.9
21-mag-22	07	4	10	0.3	83	0.0	1.4
21-mag-22	08	4	15	0.3	92	0.3	3.1
21-mag-22	09	3	15	0.3	118	0.2	2.3
21-mag-22	10	2	14	0.3	141	0.1	1.4
21-mag-22	11	3	13	0.3	164	0.0	1.1
21-mag-22	12	2	10	0.3	173	0.0	1.3
21-mag-22	13	1	7	0.3	179	0.0	1.3
21-mag-22	14	1	7	0.3	184	0.0	0.9
21-mag-22	15	2	8	0.3	186	0.0	0.6
21-mag-22	16	2	7	0.3	198	0.0	1.0
21-mag-22	17	2	8	0.3	203	0.0	0.8
21-mag-22	18	2	16	0.3	145	0.1	1.3



giorno	hh	NO ( $\mu\text{g}/\text{m}^3$ )	NO2 ( $\mu\text{g}/\text{m}^3$ )	CO ( $\text{mg}/\text{m}^3$ )	O3 ( $\mu\text{g}/\text{m}^3$ )	Benz ( $\mu\text{g}/\text{m}^3$ )	Tol ( $\mu\text{g}/\text{m}^3$ )
21-mag-22	19	2	14	0.3	128	0.2	1.6
21-mag-22	20	2	8	0.3	143	0.0	1.3
21-mag-22	21	1	6	0.3	136	0.0	0.7
21-mag-22	22	2	6	0.3	118	0.0	0.9
21-mag-22	23	1	5	0.3	110	0.0	1.1
21-mag-22	00	2	5	0.3	101	0.0	1.1
22-mag-22	01	1	3	0.3	98	0.0	0.9
22-mag-22	02	1	2	0.3	95	0.0	0.4
22-mag-22	03	1	1	0.3	90	0.0	1.0
22-mag-22	04	1	2	0.3	86	0.0	0.6
22-mag-22	05	1	2	0.3	80	0.0	0.7
22-mag-22	06	2	2	0.3	72	0.0	0.8
22-mag-22	07	2	2	0.3	67	0.0	1.7
22-mag-22	08	4	9	0.3	81	0.1	1.2
22-mag-22	09	2	7	0.3	111	0.1	1.3
22-mag-22	10	5	14	0.3	125	0.2	1.3
22-mag-22	11	2	5	0.3	147	0.0	0.5
22-mag-22	12	1	4	0.3	156	0.0	0.3
22-mag-22	13	1	5	0.3	162	0.0	0.4
22-mag-22	14	1	4	0.3	167	0.0	0.4
22-mag-22	15	1	5	0.3	167	0.0	0.4
22-mag-22	16	2	8	0.3	158	0.0	0.1
22-mag-22	17	2	7	0.3	150	0.0	0.6
22-mag-22	18	2	10	0.3	125	0.0	0.7
22-mag-22	19	1	8	0.3	107	0.0	1.0
22-mag-22	20	2	9	0.3	107	0.0	1.1
22-mag-22	21	2	5	0.3	79	0.0	0.7
22-mag-22	22	2	4	0.3	77	0.0	0.4
22-mag-22	23	1	2	0.3	69	0.0	0.5
22-mag-22	00	1	1	0.2	49	0.0	0.2
23-mag-22	01	1	0	0.2	49	0.0	0.2
23-mag-22	02	1	0	0.2	44	0.0	0.0
23-mag-22	03	1	0	0.2	45	0.3	0.0
23-mag-22	04	2	2	0.2	39	0.0	0.1
23-mag-22	05	3	2	0.2	39	0.0	0.2
23-mag-22	06	4	7	0.2	33	0.0	0.5
23-mag-22	07	8	8	0.2	30	0.0	0.5
23-mag-22	08	7	11	0.2	40	0.0	1.0
23-mag-22	09	5	11	0.2	56	0.0	0.9
23-mag-22	10	3	7	0.2	87	0.0	0.6
23-mag-22	11	2	8	0.3	129	0.0	0.8
23-mag-22	12	2	6	0.3	140	0.0	0.5
23-mag-22	13	2	6	0.3	145	0.0	0.3
23-mag-22	14	2	5	0.2	148	0.0	0.1
23-mag-22	15	2	5	0.2	147	0.0	0.1
23-mag-22	16	2	5	0.2	147	0.0	0.1
23-mag-22	17	2	6	0.2	144	0.0	0.1
23-mag-22	18	2	6	0.3	149	0.0	0.5

giorno	hh	NO ( $\mu\text{g}/\text{m}^3$ )	NO2 ( $\mu\text{g}/\text{m}^3$ )	CO ( $\text{mg}/\text{m}^3$ )	O3 ( $\mu\text{g}/\text{m}^3$ )	Benz ( $\mu\text{g}/\text{m}^3$ )	Tol ( $\mu\text{g}/\text{m}^3$ )
23-mag-22	19	2	8	0.3	101	0.0	0.8
23-mag-22	20	2	6	0.2	105	0.0	0.4
23-mag-22	21	2	5	0.2	98	0.0	0.2
23-mag-22	22	1	3	0.2	92	0.0	0.2
23-mag-22	23	1	1	0.2	87	0.0	0.2
23-mag-22	00	1	1	0.2	85	0.0	0.2
24-mag-22	01	1	1	0.2	80	0.0	0.1
24-mag-22	02	1	0	0.2	76	0.0	0.0
24-mag-22	03	1	0	0.2	71	0.0	0.1
24-mag-22	04	1	1	0.2	64	0.0	0.0
24-mag-22	05	6	7	0.2	54	0.0	0.3
24-mag-22	06	4	7	0.2	48	0.0	0.6
24-mag-22	07	4	9	0.2	66	0.0	0.7
24-mag-22	08	4	15	0.3	79	0.0	1.3
24-mag-22	09	2	2	0.2	112	0.0	0.7
24-mag-22	10	1	1	0.2	117	0.0	0.3
24-mag-22	11	2	2	0.2	124	0.0	0.3
24-mag-22	12	1	1	0.2	130	0.0	0.0
24-mag-22	13	1	1	0.2	136	0.0	0.1
24-mag-22	14	1	2	0.2	140	0.0	0.0
24-mag-22	15	2	4	0.2	135	0.0	0.0
24-mag-22	16	2	4	0.2	135	0.0	0.1
24-mag-22	17	3	9	0.2	126	0.0	0.3
24-mag-22	18	2	7	0.3	96	0.1	0.5
24-mag-22	19	2	2	0.3	85	0.0	0.1
24-mag-22	20	2	2	0.3	73	0.0	0.0
24-mag-22	21	2	1	0.2	65	0.0	0.0
24-mag-22	22	2	1	0.2	58	0.0	0.0
24-mag-22	23	1	0	0.2	54	0.0	0.0
24-mag-22	00	1	0	0.2	50	0.0	0.0
25-mag-22	01	2	0	0.2	51	0.0	0.0
25-mag-22	02	1	0	0.2	60	0.0	0.0
25-mag-22	03	1	0	0.2	57	0.0	0.0
25-mag-22	04	2	0	0.2	44	0.0	0.0
25-mag-22	05	4	3	0.2	40	0.0	0.2
25-mag-22	06	4	6	0.2	28	0.0	0.3
25-mag-22	07	4	3	0.2	38	0.0	0.4
25-mag-22	08	6	8	0.2	45	0.0	0.2
25-mag-22	09			0.2			
25-mag-22	10	3	4	0.2	72	0.0	0.4
25-mag-22	11	3	3	0.2	69	0.0	0.0
25-mag-22	12	4	5	0.2	72	0.0	0.4
25-mag-22	13	3	4	0.2	82	0.0	0.0
25-mag-22	14	3	2	0.2	80	0.0	0.0
25-mag-22	15	2	3	0.2	76	0.0	0.4
25-mag-22	16	2	2	0.2	66	0.0	0.2
25-mag-22	17	4	9	0.2	53	0.0	0.4
25-mag-22	18	5	6	0.2	51	0.0	0.3

giorno	hh	NO ( $\mu\text{g}/\text{m}^3$ )	NO2 ( $\mu\text{g}/\text{m}^3$ )	CO ( $\text{mg}/\text{m}^3$ )	O3 ( $\mu\text{g}/\text{m}^3$ )	Benz ( $\mu\text{g}/\text{m}^3$ )	Tol ( $\mu\text{g}/\text{m}^3$ )
25-mag-22	19	3	4	0.2	51	0.0	0.3
25-mag-22	20	2	2	0.2	45	0.0	0.3
25-mag-22	21	3	2	0.2	38	0.0	0.4
25-mag-22	22	2	1	0.2	37	0.0	0.3
25-mag-22	23	2	0	0.2	36	0.0	0.2
25-mag-22	00	2	1	0.2	34	0.0	0.1
26-mag-22	01	1	0	0.2	34	0.0	0.0
26-mag-22	02	1	0	0.2	38	0.0	0.1
26-mag-22	03	1	0	0.2	39	0.0	0.0
26-mag-22	04	2	0	0.2	41	0.0	0.1
26-mag-22	05	3	1	0.2	40	0.0	0.0
26-mag-22	06	6	6	0.2	39	0.0	0.3
26-mag-22	07	5	5	0.2	41	0.0	0.1
26-mag-22	08	8	12	0.2	36	0.1	1.5
26-mag-22	09	5	9	0.2	55	0.0	1.2
26-mag-22	10	4	10	0.2	72	0.0	1.1
26-mag-22	11	3	7	0.2	104	0.0	1.0
26-mag-22	12	2	3	0.2	122	0.0	0.6
26-mag-22	13	2	4	0.2	129		
26-mag-22	14	2	3	0.2	112		
26-mag-22	15	6	9	0.2	84	0.3	2.1
26-mag-22	16	6	11	0.3	76	0.0	1.0
26-mag-22	17	8	22	0.3	76	0.0	1.6
26-mag-22	18	5	11	0.3	55	0.0	0.8
26-mag-22	19	4	9	0.3	57	0.0	1.2
26-mag-22	20	2	5	0.2	64	0.0	1.2
26-mag-22	21	3	7	0.2	60	0.0	0.7
26-mag-22	22	2	4	0.2	57	0.0	0.5
26-mag-22	23	2	2	0.2	54	0.0	0.7
26-mag-22	00	1	1	0.2	51	0.0	0.6
27-mag-22	01	1	0	0.2	52	0.0	0.3
27-mag-22	02	1	0	0.2	51	0.0	0.4
27-mag-22	03	1	0	0.2	51	0.0	0.3
27-mag-22	04	1	0	0.2	49	0.0	0.3
27-mag-22	05	2	2	0.2	47	0.0	0.5
27-mag-22	06	4	5	0.2	47	0.0	0.6
27-mag-22	07	6	6	0.2	48	0.0	1.1
27-mag-22	08	6	14	0.3	51	0.0	2.5
27-mag-22	09	5	11	0.2	74	0.0	2.9
27-mag-22	10	3	9	0.3	103	0.0	2.6
27-mag-22	11	2	4	0.2	125	0.0	0.9
27-mag-22	12	2	4	0.2	141	0.0	0.6
27-mag-22	13	1	5	0.3	153	0.0	0.7
27-mag-22	14	1	5	0.3	166	0.0	0.8
27-mag-22	15	1	6	0.3	180	0.0	0.6
27-mag-22	16	1	7	0.3	192	0.0	0.5
27-mag-22	17	2	14	0.3	165	0.0	0.8
27-mag-22	18	4	22	0.3	105	0.0	1.6

giorno	hh	NO ( $\mu\text{g}/\text{m}^3$ )	NO2 ( $\mu\text{g}/\text{m}^3$ )	CO ( $\text{mg}/\text{m}^3$ )	O3 ( $\mu\text{g}/\text{m}^3$ )	Benz ( $\mu\text{g}/\text{m}^3$ )	Tol ( $\mu\text{g}/\text{m}^3$ )
27-mag-22	19	2	14	0.3	116	0.1	2.0
27-mag-22	20	2	8	0.3	126	0.0	1.2
27-mag-22	21	2	6	0.3	115	0.0	1.0
27-mag-22	22	2	4	0.3	104	0.0	1.1
27-mag-22	23	2	3	0.3	100	0.0	1.0
27-mag-22	00	1	2	0.2	94	0.0	0.8
28-mag-22	01	1	1	0.2	88	0.0	0.7
28-mag-22	02	1	0	0.2	79	0.0	0.7
28-mag-22	03	1	0	0.2	69	0.0	0.0
28-mag-22	04	1	0	0.2	64	0.0	0.0
28-mag-22	05	3	1	0.2	56	0.0	0.2
28-mag-22	06	3	2	0.2	52	0.0	0.0
28-mag-22	07	5	5	0.2	49	0.0	0.3
28-mag-22	08	7	11	0.2	56	0.0	0.9
28-mag-22	09	9	13	0.2	71	0.0	1.8
28-mag-22	10	3	12	0.2	107	0.0	1.6
28-mag-22	11	2	5	0.2	147	0.0	1.2
28-mag-22	12	2	4	0.2	158	0.0	0.2
28-mag-22	13	2	4	0.2	157	0.0	0.3
28-mag-22	14	2	4	0.2	152	0.0	0.2
28-mag-22	15	2	4	0.2	139	0.0	0.1
28-mag-22	16	1	3	0.2	117	0.0	0.2
28-mag-22	17	2	3	0.2	107	0.0	0.0
28-mag-22	18	2	6	0.2	98	0.0	1.1
28-mag-22	19	3	7	0.2	78	0.0	0.6
28-mag-22	20	2	4	0.2	54	0.0	1.5
28-mag-22	21	4	9	0.2	59	0.0	0.2
28-mag-22	22	1	4	0.3	59	0.0	0.2
28-mag-22	23	2	4	0.3	55	0.0	0.2
28-mag-22	00	2	1	0.3	69	0.0	0.1
29-mag-22	01	2	0	0.3	68	0.0	0.0
29-mag-22	02	1	0	0.2	57	0.0	0.0
29-mag-22	03	2	0	0.2	47	0.0	0.0
29-mag-22	04	2	0	0.2	55	0.0	0.0
29-mag-22	05	2	1	0.2	47	0.0	0.0
29-mag-22	06	1	0	0.2	58	0.0	0.2
29-mag-22	07	3	3	0.2	53	0.0	0.0
29-mag-22	08	2	2	0.2	55	0.0	0.4
29-mag-22	09	2	4	0.3	55	0.0	0.5
29-mag-22	10	2	3	0.2	57	0.0	0.1
29-mag-22	11	4	5	0.2	55	0.0	0.3
29-mag-22	12	2	2	0.2	60	0.0	0.2
29-mag-22	13	2	3	0.2	59	0.0	0.2
29-mag-22	14	2	5	0.2	58	0.0	0.1
29-mag-22	15	2	4	0.2	62	0.0	0.2
29-mag-22	16	4	4	0.2	64	0.0	0.2
29-mag-22	17	4	7	0.2	60	0.0	0.7
29-mag-22	18	3	6	0.2	57	0.0	0.5

giorno	hh	NO ( $\mu\text{g}/\text{m}^3$ )	NO2 ( $\mu\text{g}/\text{m}^3$ )	CO ( $\text{mg}/\text{m}^3$ )	O3 ( $\mu\text{g}/\text{m}^3$ )	Benz ( $\mu\text{g}/\text{m}^3$ )	Tol ( $\mu\text{g}/\text{m}^3$ )
29-mag-22	19	3	6	0.2	38	0.0	0.4
29-mag-22	20	5	7	0.2	24	0.0	1.2
29-mag-22	21	3	5	0.2	24	0.0	0.3
29-mag-22	22	2	4	0.2	24	0.0	0.3
29-mag-22	23	3	4	0.2	24	0.0	0.0
29-mag-22	00	2	3	0.2	26	0.0	0.1
30-mag-22	01	1	3	0.2	25	0.0	0.5
30-mag-22	02	1	3	0.2	24	0.0	0.2
30-mag-22	03	1	4	0.2	37	0.0	0.6
30-mag-22	04	2	4	0.2	30	0.0	0.5
30-mag-22	05	4	4	0.2	24	0.0	0.7
30-mag-22	06	4	5	0.2	30	0.0	0.8
30-mag-22	07	7	13	0.3	40	0.2	1.8
30-mag-22	08	5	11	0.2	47	0.0	0.8
30-mag-22	09	5	8	0.2	56	0.0	0.9
30-mag-22	10	3	3	0.2	74	0.0	1.0
30-mag-22	11	2	2	0.2	80	0.0	0.0
30-mag-22	12	2	6	0.2	80	0.0	0.5
30-mag-22	13	2	6	0.2	85	0.0	0.2
30-mag-22	14	2	5	0.2	90	0.0	0.5
30-mag-22	15	2	4	0.2	95	0.0	0.3
30-mag-22	16	2	5	0.2	98	0.0	0.4
30-mag-22	17	2	6	0.2	93	0.0	0.3
30-mag-22	18	2	7	0.2	80	0.0	0.4
30-mag-22	19	6	11	0.2	58	0.0	0.3
30-mag-22	20	3	11	0.2	48	0.0	0.6
30-mag-22	21	2	9	0.3	44	0.2	1.9
30-mag-22	22	2	5	0.2	43	0.0	0.8
30-mag-22	23	1	4	0.2	38	0.0	0.3
30-mag-22	00	1	3	0.2	35	0.0	0.7
31-mag-22	01	1	3	0.2	35	0.0	0.8
31-mag-22	02	1	3	0.2	34	0.0	0.5
31-mag-22	03	1	2	0.2	33	0.0	0.4
31-mag-22	04	2	2	0.2	30	0.0	0.8
31-mag-22	05	5	5	0.3	25	0.0	1.0
31-mag-22	06	3	4	0.3	21	0.1	1.5
31-mag-22	07	4	6	0.2	33	0.0	1.0
31-mag-22	08	4	11	0.3	40	0.0	1.0
31-mag-22	09	4	10	0.3	54	0.0	1.9
31-mag-22	10	3	7	0.2	78	0.0	2.0
31-mag-22	11	2	3	0.2	98	0.0	0.2
31-mag-22	12	2	5	0.2	96	0.0	0.0
31-mag-22	13	2	5	0.2	103	0.0	0.4
31-mag-22	14	2	5	0.2	110	0.0	0.5
31-mag-22	15	2	5	0.3	113	0.0	0.8
31-mag-22	16	1	5	0.2	115	0.0	0.2
31-mag-22	17	6	17	0.3	83	0.0	0.3
31-mag-22	18	5	12	0.3	61	0.0	0.4

giorno	hh	NO ( $\mu\text{g}/\text{m}^3$ )	NO2 ( $\mu\text{g}/\text{m}^3$ )	CO ( $\text{mg}/\text{m}^3$ )	O3 ( $\mu\text{g}/\text{m}^3$ )	Benz ( $\mu\text{g}/\text{m}^3$ )	Tol ( $\mu\text{g}/\text{m}^3$ )
31-mag-22	19	3	7	0.2	58	0.0	0.5
31-mag-22	20	2	6	0.2	65	0.0	0.0
31-mag-22	21	2	5	0.2	62	0.0	0.0
31-mag-22	22	1	2	0.2	57	0.0	0.0
31-mag-22	23	2	2	0.2	59	0.0	0.0
31-mag-22	00	1	1	0.2	55	0.0	0.0
01-giu-22	01	1	1	0.2	53	0.0	0.0
01-giu-22	02	1	0	0.2	49	0.0	0.0
01-giu-22	03	1	0	0.2	49	0.0	0.0
01-giu-22	04	2	0	0.2	49	0.0	0.0
01-giu-22	05	3	2	0.2	47	0.0	0.0
01-giu-22	06	5	3	0.2	44	0.0	0.0
01-giu-22	07	6	6	0.2	48	0.0	0.0
01-giu-22	08	7	11	0.2	49	0.0	0.0
01-giu-22	09	5	12	0.2	65	0.0	0.0
01-giu-22	10	3	8	0.2	101	0.0	0.0
01-giu-22	11	2	3	0.2	116	0.0	0.0
01-giu-22	12	2	3	0.2	124	0.0	0.0
01-giu-22	13	2	3	0.2	133	0.0	0.0
01-giu-22	14	2	4	0.2	137	0.0	0.0
01-giu-22	15	2	4	0.2	137	0.0	0.0
01-giu-22	16	2	6	0.2	140	0.0	0.0
01-giu-22	17	2	6	0.2	144	0.0	0.0
01-giu-22	18	2	9	0.2	120	0.0	0.0
01-giu-22	19	2	13	0.3	85	0.0	0.0
01-giu-22	20	2	9	0.3	101	0.0	0.0
01-giu-22	21	2	7	0.3	102	0.0	0.0
01-giu-22	22	2	4	0.3	92	0.0	0.0
01-giu-22	23	2	3	0.2	88	0.0	0.0
01-giu-22	00	1	2	0.2	84	0.0	0.0
02-giu-22	01	1	1	0.2	81	0.0	0.0
02-giu-22	02	1	1	0.2	78	0.0	0.0
02-giu-22	03	1	1	0.2	75	0.0	0.0
02-giu-22	04	4	4	0.2	71	0.0	0.0
02-giu-22	05	2	3	0.2	69	0.0	0.0
02-giu-22	06	2	2	0.2	67	0.0	0.0
02-giu-22	07	4	6	0.3	65	0.0	0.0
02-giu-22	08	3	8	0.3	75	0.0	0.0
02-giu-22	09	3	7	0.2	95	0.0	0.0
02-giu-22	10	2	6	0.3	120	0.0	0.0
02-giu-22	11	2	4	0.2	130	0.0	0.0
02-giu-22	12	4	8	0.2	130	0.0	0.0
02-giu-22	13	2	3	0.2	138	0.0	0.0
02-giu-22	14	2	3	0.2	148	0.0	0.0
02-giu-22	15	1	3	0.2	151	0.0	0.0
02-giu-22	16	2	3	0.2	144	0.0	0.0
02-giu-22	17	2	6	0.3	134	0.0	0.0
02-giu-22	18	3	11	0.3	106	0.0	0.0

giorno	hh	NO ( $\mu\text{g}/\text{m}^3$ )	NO2 ( $\mu\text{g}/\text{m}^3$ )	CO ( $\text{mg}/\text{m}^3$ )	O3 ( $\mu\text{g}/\text{m}^3$ )	Benz ( $\mu\text{g}/\text{m}^3$ )	Tol ( $\mu\text{g}/\text{m}^3$ )
02-giu-22	19	2	5	0.3	106	0.0	0.0
02-giu-22	20	2	2	0.3	83	0.0	0.0
02-giu-22	21	2	1	0.3	72	0.0	0.0
02-giu-22	22	2	1	0.3	69	0.0	0.0
02-giu-22	23	1	0	0.3	68	0.0	0.0
02-giu-22	00	2	0	0.2	66	0.0	0.0
03-giu-22	01	1	0	0.2	66	0.0	0.0
03-giu-22	02	1	0	0.2	63	0.0	0.0
03-giu-22	03	1	0	0.2	61	0.0	0.0
03-giu-22	04	2	0	0.2	60	0.0	0.0
03-giu-22	05	2	2	0.3	59	0.0	0.0
03-giu-22	06	3	3	0.3	58	0.0	0.0
03-giu-22	07	4	8	0.3	50	0.0	0.0
03-giu-22	08	4	5	0.3	55	0.0	0.0
03-giu-22	09	7	15	0.3	49	0.0	0.0
03-giu-22	10	4	12	0.3	69	0.0	0.0
03-giu-22	11	5	18	0.3	73	0.0	0.0
03-giu-22	12	3	17	0.3	79	0.0	0.0
03-giu-22	13	4	21	0.3	67	0.0	0.0
03-giu-22	14	3	17	0.3	82	0.0	0.0
03-giu-22	15	5	9	0.3	89	0.0	0.0
03-giu-22	16	9	16	0.3	57	0.0	0.0
03-giu-22	17	8	13	0.3	42	0.0	0.0
03-giu-22	18	3	4	0.3	45	0.0	0.0
03-giu-22	19	4	5	0.3	32	0.0	0.0
03-giu-22	20	2	2	0.3	38	0.0	0.0
03-giu-22	21	2	2	0.2	40	0.0	0.0
03-giu-22	22	3	1	0.2	39	0.0	0.0
03-giu-22	23	1	0	0.2	38	0.0	0.0
03-giu-22	00	2	0	0.2	38	0.0	0.0
04-giu-22	01	1	0	0.2	38	0.0	0.0
04-giu-22	02	1	0	0.2	37	0.0	0.0
04-giu-22	03	1	0	0.2	38	0.0	0.0
04-giu-22	04	1	0	0.2	38	0.0	0.0
04-giu-22	05	3	1	0.2	35	0.0	0.0
04-giu-22	06	2	0	0.2	35	0.0	0.0
04-giu-22	07	5	4	0.2	35	0.0	0.0
04-giu-22	08	6	6	0.2	35	0.0	0.0
04-giu-22	09	6	6	0.3	42	0.0	0.0
04-giu-22	10	5	6	0.2	58	0.0	0.0
04-giu-22	11	3	5	0.2	76	0.0	0.0
04-giu-22	12	3	4	0.3	86	0.0	0.0
04-giu-22	13	2	3	0.3	99	0.0	0.0
04-giu-22	14	2	3	0.2	108	0.0	0.0
04-giu-22	15	2	3	0.2	119	0.0	0.0
04-giu-22	16	2	4	0.3	119	0.0	0.0
04-giu-22	17	3	7	0.3	104	0.0	0.0
04-giu-22	18	6	16	0.4	62	0.0	0.0

giorno	hh	NO ( $\mu\text{g}/\text{m}^3$ )	NO2 ( $\mu\text{g}/\text{m}^3$ )	CO ( $\text{mg}/\text{m}^3$ )	O3 ( $\mu\text{g}/\text{m}^3$ )	Benz ( $\mu\text{g}/\text{m}^3$ )	Tol ( $\mu\text{g}/\text{m}^3$ )
04-giu-22	19	3	9	0.3	68	0.0	0.0
04-giu-22	20	2	4	0.3	75	0.0	0.0
04-giu-22	21	2	3	0.3	72	0.0	0.0
04-giu-22	22	2	3	0.3	64	0.0	0.0
04-giu-22	23	3	3	0.3	57	0.0	0.0
04-giu-22	00	2	1	0.3	56	0.0	0.0
05-giu-22	01	2	1	0.2	56	0.0	0.0
05-giu-22	02	1	0	0.2	55	0.0	0.0
05-giu-22	03	1	0	0.2	56	0.0	0.0
05-giu-22	04	1	0	0.2	57	0.0	0.0
05-giu-22	05	1	0	0.2	51	0.0	0.0
05-giu-22	06	2	1	0.2	41	0.0	0.0
05-giu-22	07	3	2	0.3	37	0.0	0.0
05-giu-22	08	4	4	0.3	49	0.0	0.0
05-giu-22	09	3	6	0.3	73	0.0	0.0
05-giu-22	10	3	6	0.3	89	0.0	0.0
05-giu-22	11	3	10	0.3	106	0.0	0.0
05-giu-22	12	2	2	0.3	132	0.0	0.0
05-giu-22	13	2	2	0.3	144	0.0	0.0
05-giu-22	14	2	3	0.3	144	0.0	0.0
05-giu-22	15	2	5	0.3	133	0.0	0.0
05-giu-22	16	2	4	0.3	123	0.0	0.0
05-giu-22	17	2	3	0.2	105	0.0	0.0
05-giu-22	18	3	1	0.2	91	0.0	0.0
05-giu-22	19	2	2	0.2	79	0.0	0.0
05-giu-22	20	2	1	0.2	73	0.0	0.0
05-giu-22	21	2	0	0.2	74	0.0	0.0
05-giu-22	22	2	0	0.2	76	0.0	0.0
05-giu-22	23	1	0	0.2	74	0.0	0.0
05-giu-22	00	1	0	0.2	71	0.0	0.0
06-giu-22	01	1	0	0.2	69	0.0	0.0
06-giu-22	02	1	0	0.2	65	0.0	0.0
06-giu-22	03	1	0	0.2	66	0.0	0.0
06-giu-22	04	2	1	0.2	66	0.0	0.0
06-giu-22	05	2	1	0.2	66	0.0	0.0
06-giu-22	06	9	7	0.2	60	0.0	0.0
06-giu-22	07	6	8	0.2	56	0.0	0.0
06-giu-22	08	10	15	0.2	52	0.0	0.0
06-giu-22	09	7	17	0.2	57	0.0	0.0
06-giu-22	10	3	9	0.2	86	0.0	0.0
06-giu-22	11	3	11	0.2	106	0.0	0.0
06-giu-22	12	2	8	0.2	130	0.0	0.0
06-giu-22	13	2	4	0.2	142	0.0	0.0
06-giu-22	14	2	4	0.2	149	0.0	0.0
06-giu-22	15	1	3	0.2	152	0.0	0.0
06-giu-22	16	2	3	0.2	155	0.0	0.0
06-giu-22	17	2	4	0.2	155		
06-giu-22	18	2	11	0.3	127		



giorno	hh	NO ( $\mu\text{g}/\text{m}^3$ )	NO2 ( $\mu\text{g}/\text{m}^3$ )	CO ( $\text{mg}/\text{m}^3$ )	O3 ( $\mu\text{g}/\text{m}^3$ )	Benz ( $\mu\text{g}/\text{m}^3$ )	Tol ( $\mu\text{g}/\text{m}^3$ )
06-giu-22	19	2	9	0.3	106		
06-giu-22	20	2	6	0.3	109		
06-giu-22	21	1	6	0.3	101		
06-giu-22	22	2	3	0.2	96		
06-giu-22	23	1	2	0.2	92		
06-giu-22	00	1	1	0.2	93		
07-giu-22	01	1	0	0.2	92		
07-giu-22	02	1	1	0.2	79		
07-giu-22	03	1	0	0.2	73		
07-giu-22	04	2	1	0.2	68		
07-giu-22	05	3	2	0.2	60		
07-giu-22	06	2	1	0.2	62		
07-giu-22	07	5	7	0.2	47		
07-giu-22	08	3	5	0.3	47		
07-giu-22	09	4	6	0.3	57		
07-giu-22	10	4	12	0.3	49		
07-giu-22	11	4	8	0.3	58		
07-giu-22	12	4	9	0.2	65		
07-giu-22	13	2	0	0.2	87		
07-giu-22	14	3	2	0.2	82		
07-giu-22	15	3	2	0.2	83		
07-giu-22	16	2	3	0.2	78		
07-giu-22	17	4	8	0.2	51		
07-giu-22	18	4	6	0.2	61		
07-giu-22	19	2	1	0.2	58		
07-giu-22	20	3	3	0.2	46		
07-giu-22	21	2	0	0.2	49		
07-giu-22	22	2	1	0.2	52		
07-giu-22	23	1	0	0.2	53		
07-giu-22	00	1	0	0.2	54		
08-giu-22	01	1	0	0.2	57		
08-giu-22	02	1	0	0.2	58		
08-giu-22	03	1	0	0.2	59		
08-giu-22	04	1	0	0.2	60		
08-giu-22	05	3	3	0.2	56		
08-giu-22	06	3	3	0.2	55		
08-giu-22	07	6	7	0.2	49		
08-giu-22	08	5	9	0.2	52		
08-giu-22	09	7	15	0.2	53		
08-giu-22	10	5	12	0.3	69		
08-giu-22	11	3	8	0.2	95		
08-giu-22	12	2	4	0.2	109		
08-giu-22	13	2	2	0.2	119		
08-giu-22	14	2	3	0.2	129		
08-giu-22	15	2	3	0.2	130		
08-giu-22	16	2	6	0.2	135		
08-giu-22	17	5	18	0.2	110	0.2	1.0
08-giu-22	18	4	12	0.2	102	0.4	1.3

giorno	hh	NO ( $\mu\text{g}/\text{m}^3$ )	NO2 ( $\mu\text{g}/\text{m}^3$ )	CO ( $\text{mg}/\text{m}^3$ )	O3 ( $\mu\text{g}/\text{m}^3$ )	Benz ( $\mu\text{g}/\text{m}^3$ )	Tol ( $\mu\text{g}/\text{m}^3$ )
08-giu-22	19	2	6	0.2	105	0.3	0.9
08-giu-22	20	2	5	0.2	83	0.2	0.7
08-giu-22	21	2	5	0.3	68	0.3	0.6
08-giu-22	22	2	4	0.3	58	0.3	0.8
08-giu-22	23	2	3	0.2	48	0.3	0.6
08-giu-22	00	1	1	0.2	42	0.2	0.6
09-giu-22	01	1	0	0.2	39	0.3	1.0
09-giu-22	02	1	0	0.2	41	0.4	0.8
09-giu-22	03	1	0	0.2	38	0.4	0.5
09-giu-22	04	2	0	0.2	40	0.2	0.4
09-giu-22	05	3	2	0.2	39	0.3	0.4
09-giu-22	06	3	2	0.2	38	0.4	0.5
09-giu-22	07	5	3	0.2	37	0.5	0.6
09-giu-22	08	6	8	0.3	42	0.6	1.2
09-giu-22	09	3	5	0.2	65	1.0	1.7
09-giu-22	10	3	6	0.2	82	0.6	1.4
09-giu-22	11	2	5	0.2	103	0.6	1.1
09-giu-22	12	2	4	0.2	111	0.3	0.8
09-giu-22	13	2	4	0.2	118	0.4	0.6
09-giu-22	14	2	4	0.2	118	0.4	0.4
09-giu-22	15	2	3	0.2	113	0.3	0.9
09-giu-22	16	2	4	0.2	104	0.3	0.8
09-giu-22	17	2	6	0.2	99	0.2	1.0
09-giu-22	18	2	9	0.2	78	0.3	1.3
09-giu-22	19	2	5	0.2	81	0.2	0.7
09-giu-22	20	2	3	0.2	83	0.3	0.5
09-giu-22	21	2	4	0.2	78	0.1	0.4
09-giu-22	22	2	2	0.2	75	0.2	0.5
09-giu-22	23	1	2	0.2	72	0.2	0.3
09-giu-22	00	2	3	0.2	73	0.7	0.9
10-giu-22	01	1	0	0.2	75	0.1	0.3
10-giu-22	02	1	0	0.2	74	0.1	0.3
10-giu-22	03	1	0	0.2	73	0.1	0.3
10-giu-22	04	2	3	0.2	70	0.1	0.4
10-giu-22	05	2	2	0.2	72	0.3	0.4
10-giu-22	06	3	6	0.2	65	0.3	0.5
10-giu-22	07	4	5	0.2	64	0.3	0.9
10-giu-22	08	3	3	0.2	70	0.2	0.5
10-giu-22	09	3	5	0.2	83	0.2	0.4
10-giu-22	10	2	3	0.2	91	0.1	0.4
10-giu-22	11	2	3	0.2	99	0.1	0.3
10-giu-22	12	2	2	0.2	105	0.3	0.6
10-giu-22	13	2	3	0.2	114	0.3	1.4
10-giu-22	14	2	4	0.2	123	0.3	0.6
10-giu-22	15	2	4	0.2	130	0.2	0.8
10-giu-22	16	2	4	0.2	142	0.7	1.3
10-giu-22	17	2	6	0.2	151	0.3	0.7
10-giu-22	18	5	22	0.3	108	0.4	0.8

giorno	hh	NO ( $\mu\text{g}/\text{m}^3$ )	NO2 ( $\mu\text{g}/\text{m}^3$ )	CO ( $\text{mg}/\text{m}^3$ )	O3 ( $\mu\text{g}/\text{m}^3$ )	Benz ( $\mu\text{g}/\text{m}^3$ )	Tol ( $\mu\text{g}/\text{m}^3$ )
10-giu-22	19	3	17	0.2	93	0.7	1.2
10-giu-22	20	2	9	0.2	108	0.3	0.9
10-giu-22	21	2	6	0.2	108	0.4	1.1
10-giu-22	22	2	6	0.2	99	0.2	0.7
10-giu-22	23	2	5	0.2	96	0.2	0.9
10-giu-22	00	1	3	0.2	97	0.3	1.2
11-giu-22	01	2	3	0.2	95	0.5	0.6
11-giu-22	02	1	2	0.2	92	0.2	0.6
11-giu-22	03	1	2	0.2	86	0.2	0.8
11-giu-22	04	2	2	0.2	81	0.5	0.9
11-giu-22	05	3	5	0.2	75	1.1	0.8
11-giu-22	06	3	4	0.2	73	0.2	0.9
11-giu-22	07	6	8	0.2	63	0.5	0.6
11-giu-22	08	4	8	0.2	71	0.5	0.8
11-giu-22	09	3	9	0.2	90	0.4	1.3
11-giu-22	10	2	7	0.2	116	0.3	1.3
11-giu-22	11	2	3	0.2	129	0.2	0.6
11-giu-22	12	2	3	0.2	137	0.3	0.4
11-giu-22	13	2	2	0.2	142	0.2	0.6
11-giu-22	14	2	3	0.2	147	0.3	0.7
11-giu-22	15	2	2	0.2	149	0.5	0.7
11-giu-22	16	1	2	0.2	153	0.3	0.6
11-giu-22	17	2	3	0.2	155	0.3	0.5
11-giu-22	18	2	8	0.2	133	1.0	0.7
11-giu-22	19	2	13	0.3	98	0.8	0.7
11-giu-22	20	2	6	0.3	115	0.4	1.1
11-giu-22	21	2	3	0.2	121	0.3	1.1
11-giu-22	22	2	4	0.3	112	0.2	0.6
11-giu-22	23	2	5	0.3	106	0.2	1.0
11-giu-22	00	2	3	0.3	101	0.3	0.8
12-giu-22	01	1	2	0.2	99	0.3	0.7
12-giu-22	02	1	1	0.2	95	0.5	0.7
12-giu-22	03	1	1	0.2	92	0.2	0.6
12-giu-22	04	1	0	0.2	87	0.3	0.6
12-giu-22	05	2	1	0.2	84	0.2	0.8
12-giu-22	06	2	1	0.2	83	0.5	0.8
12-giu-22	07	4	7	0.3	79	0.3	0.9
12-giu-22	08	4	8	0.3	79	0.5	1.2
12-giu-22	09	4	8	0.2	97	0.4	1.1
12-giu-22	10	2	5	0.2	121	0.4	1.2
12-giu-22	11	2	3	0.2	142	0.5	0.9
12-giu-22	12	1	1	0.2	149	0.4	0.7
12-giu-22	13	1	2	0.2	157	0.3	0.7
12-giu-22	14	1	2	0.2	163	0.2	0.5
12-giu-22	15	2	2	0.2	167	0.2	0.3
12-giu-22	16	1	2	0.2	173	0.2	0.5
12-giu-22	17	2	4	0.2	171	0.2	0.4
12-giu-22	18	3	14	0.3	121	0.5	1.5

giorno	hh	NO ( $\mu\text{g}/\text{m}^3$ )	NO2 ( $\mu\text{g}/\text{m}^3$ )	CO ( $\text{mg}/\text{m}^3$ )	O3 ( $\mu\text{g}/\text{m}^3$ )	Benz ( $\mu\text{g}/\text{m}^3$ )	Tol ( $\mu\text{g}/\text{m}^3$ )
12-giu-22	19	2	10	0.3	111	0.3	1.4
12-giu-22	20	2	8	0.3	124	0.3	0.9
12-giu-22	21	2	4	0.3	129	0.3	0.9
12-giu-22	22	2	4	0.2	118	0.6	0.7
12-giu-22	23	2	3	0.3	114	0.3	0.7
12-giu-22	00	1	1	0.2	111	0.4	1.0
13-giu-22	01	1	1	0.2	107	0.7	0.9
13-giu-22	02	1	1	0.2	103	1.4	1.0
13-giu-22	03	1	1	0.2	99	0.2	0.7
13-giu-22	04	1	2	0.2	93	0.2	1.0
13-giu-22	05	2	3	0.3	94	0.3	0.8
13-giu-22	06	3	5	0.3	82	0.4	0.7
13-giu-22	07	3	6	0.3	72	1.4	10.4
13-giu-22	08	4	8	0.3	96	0.6	2.5
13-giu-22	09	3	8	0.3	111	0.5	1.3
13-giu-22	10	2	6	0.2	141	0.4	1.8
13-giu-22	11	4	9	0.3	112	0.3	1.2
13-giu-22	12	2	6	0.3	157	0.4	1.3
13-giu-22	13	2	7	0.3	131	0.3	1.2
13-giu-22	14	2	5	0.3	96	0.5	0.7
13-giu-22	15	3	7	0.3	85	0.3	1.0
13-giu-22	16	4	8	0.3	86	0.3	0.7
13-giu-22	17	4	8	0.3	89	0.4	0.8
13-giu-22	18	5	10	0.3	89	0.4	0.6
13-giu-22	19	2	5	0.3	90	0.3	0.9
13-giu-22	20	2	4	0.3	99	0.3	0.5
13-giu-22	21	2	3	0.3	91	0.4	0.6
13-giu-22	22	2	3	0.2	80	0.5	0.7
13-giu-22	23	2	0	0.2	76	0.2	0.4
13-giu-22	00	1	0	0.2	71	0.3	0.6
14-giu-22	01	1	0	0.2	71	0.2	0.4
14-giu-22	02	1	0	0.2	72	0.2	0.4
14-giu-22	03	1	0	0.2	72	0.1	0.4
14-giu-22	04	2	0	0.2	69	0.2	0.3
14-giu-22	05	4	5	0.2	64	0.5	0.4
14-giu-22	06	3	6	0.2	63	0.2	0.9
14-giu-22	07	4	5	0.2	54	0.3	1.0
14-giu-22	08	7	9	0.2	54	0.6	1.0
14-giu-22	09	5	15	0.2	63	0.6	2.7
14-giu-22	10	6	16	0.2	74	0.5	3.6
14-giu-22	11	3	7	0.2	116	0.4	2.4
14-giu-22	12	1	1	0.2	132	0.3	0.8
14-giu-22	13	1	2	0.2	142	0.4	0.8
14-giu-22	14	2	2	0.2	154	0.3	0.6
14-giu-22	15	1	3	0.2	161	0.6	0.7
14-giu-22	16	2	3	0.2	164	2.3	0.6
14-giu-22	17	2	5	0.2	165	0.4	0.8
14-giu-22	18	2	5	0.2	164	0.7	0.6

giorno	hh	NO ( $\mu\text{g}/\text{m}^3$ )	NO2 ( $\mu\text{g}/\text{m}^3$ )	CO ( $\text{mg}/\text{m}^3$ )	O3 ( $\mu\text{g}/\text{m}^3$ )	Benz ( $\mu\text{g}/\text{m}^3$ )	Tol ( $\mu\text{g}/\text{m}^3$ )
14-giu-22	19	2	9	0.2	126	0.4	0.8
14-giu-22	20	3	13	0.3	91	0.5	2.4
14-giu-22	21	2	12	0.3	89	0.6	1.0
14-giu-22	22	2	9	0.3	95	0.9	3.2
14-giu-22	23	1	2	0.2	114	0.6	2.3
14-giu-22	00	1	3	0.2	103	0.3	0.9
15-giu-22	01	1	2	0.2	95	0.3	0.9
15-giu-22	02	1	2	0.2	91	0.3	0.9
15-giu-22	03	1	1	0.2	88	0.3	0.7
15-giu-22	04	2	2	0.2	80	0.3	0.8
15-giu-22	05	4	7	0.2	72	0.4	1.0
15-giu-22	06	2	4	0.2	67	0.3	0.7
15-giu-22	07	5	7	0.3	60	0.5	1.3
15-giu-22	08	4	12	0.3	82	0.5	1.5
15-giu-22	09	3	10	0.3	115	0.6	2.1
15-giu-22	10	2	6	0.2	134	0.5	1.4
15-giu-22	11	2	2	0.2	140	0.4	1.1
15-giu-22	12	2	3	0.2	152	0.3	0.6
15-giu-22	13	2	4	0.2	171	0.4	0.9
15-giu-22	14	2	5	0.3	175	0.3	0.9
15-giu-22	15	1	5	0.3	171	0.4	1.9
15-giu-22	16	3	10	0.3	134	0.4	1.5
15-giu-22	17	4	13	0.3	106	0.3	1.1
15-giu-22	18	5	13	0.3	82	0.3	0.8
15-giu-22	19	3	9	0.3	80	0.3	1.4
15-giu-22	20	3	4	0.3	74	0.4	1.2
15-giu-22	21	2	4	0.3	69	0.3	1.0
15-giu-22	22	2	3	0.3	75	0.7	1.1
15-giu-22	23	2	1	0.2	77	0.4	1.4
15-giu-22	00	2	0	0.2	83	0.3	1.1
16-giu-22	01	1	0	0.2	81	0.3	0.5
16-giu-22	02	1	0	0.2	79	0.3	0.4
16-giu-22	03	1	0	0.2	80	0.2	0.4
16-giu-22	04	2	1	0.2	78	0.3	0.4
16-giu-22	05	3	2	0.2	76	0.2	0.4
16-giu-22	06	2	3	0.2	71	0.2	0.7
16-giu-22	07	4	5	0.2	63	0.5	0.9
16-giu-22	08	5	10	0.2	62	0.4	2.0
16-giu-22	09	4	9	0.2	79	0.7	2.3
16-giu-22	10	3	10	0.2	96	0.5	1.5
16-giu-22	11	3	9	0.2	112	0.6	2.4
16-giu-22	12	3	10	0.2	143	0.6	0.9
16-giu-22	13	3	7	0.2	155	0.4	0.7
16-giu-22	14	2	6	0.2	166	0.4	1.2
16-giu-22	15	2	6	0.3	188	0.3	1.0
16-giu-22	16	2	6	0.3	214	0.4	0.9
16-giu-22	17	2	8	0.3	224	0.3	0.9
16-giu-22	18	2	16	0.3	202	0.4	1.7

giorno	hh	NO ( $\mu\text{g}/\text{m}^3$ )	NO2 ( $\mu\text{g}/\text{m}^3$ )	CO ( $\text{mg}/\text{m}^3$ )	O3 ( $\mu\text{g}/\text{m}^3$ )	Benz ( $\mu\text{g}/\text{m}^3$ )	Tol ( $\mu\text{g}/\text{m}^3$ )
16-giu-22	19	2	17	0.4	143	0.6	2.7
16-giu-22	20	2	13	0.3	169	0.3	1.4
16-giu-22	21	2	9	0.3	163	0.3	1.6
16-giu-22	22	2	6	0.3	140	0.3	1.8
16-giu-22	23	1	2	0.2	120	0.3	0.9
16-giu-22	00	1	1	0.2	105	0.3	0.6
17-giu-22	01	2	0	0.2	99	0.3	0.9
17-giu-22	02	1	0	0.2	98	0.2	0.9
17-giu-22	03	1	0	0.2	98	0.2	0.7
17-giu-22	04	1	0	0.2	95	0.2	0.7
17-giu-22	05	2	3	0.2	90	0.2	0.5
17-giu-22	06	2	5	0.2	86	0.5	0.5
17-giu-22	07	6	8	0.2	78	0.3	0.6
17-giu-22	08	3	10	0.2	91	0.5	1.0
17-giu-22	09	4	14	0.2	108	0.4	1.6
17-giu-22	10	2	10	0.2	135	0.8	1.8
17-giu-22	11	2	7	0.2	163	0.5	1.6
17-giu-22	12	2	3	0.2	169	0.4	1.0
17-giu-22	13	2	3	0.2	178	0.4	0.9
17-giu-22	14	1	4	0.2	190	0.3	0.9
17-giu-22	15	1	4	0.3	203	0.3	0.9
17-giu-22	16	1	4	0.3	209	0.4	0.9
17-giu-22	17	2	4	0.3	210	0.3	0.6
17-giu-22	18	2	8	0.3	193	0.3	0.9
17-giu-22	19	4	22	0.3	130	0.6	1.6
17-giu-22	20	2	11	0.3	144	0.5	1.6
17-giu-22	21	2	8	0.3	155	0.4	1.8
17-giu-22	22	2	6	0.3	143	0.4	1.5
17-giu-22	23	1	4	0.3	136	0.6	3.7
17-giu-22	00	1	3	0.2	127	0.6	1.3
18-giu-22	01	1	2	0.2	119	0.4	0.9
18-giu-22	02	1	2	0.2	116	0.4	1.4
18-giu-22	03	2	3	0.2	111	0.4	1.3
18-giu-22	04	2	3	0.2	107	0.3	1.3
18-giu-22	05	2	2	0.2	101	0.3	0.8
18-giu-22	06	2	4	0.2	95	0.4	1.3
18-giu-22	07	5	10	0.3	86	0.5	1.5
18-giu-22	08	2	8	0.3	108	0.7	1.6
18-giu-22	09	2	9	0.2	128	0.3	1.8
18-giu-22	10	2	3	0.2	139	0.2	1.8
18-giu-22	11	2	1	0.2	140	0.3	0.6
18-giu-22	12	2	1	0.2	144	0.3	0.8
18-giu-22	13	1	2	0.2	152	0.3	0.6
18-giu-22	14	2	2	0.2	160	0.2	0.5
18-giu-22	15	2	2	0.2	167	0.3	0.5
18-giu-22	16	2	2	0.2	172	0.1	0.4
18-giu-22	17	2	3	0.2	170	0.5	0.7
18-giu-22	18	2	6	0.2	139	0.3	0.6

giorno	hh	NO ( $\mu\text{g}/\text{m}^3$ )	NO2 ( $\mu\text{g}/\text{m}^3$ )	CO ( $\text{mg}/\text{m}^3$ )	O3 ( $\mu\text{g}/\text{m}^3$ )	Benz ( $\mu\text{g}/\text{m}^3$ )	Tol ( $\mu\text{g}/\text{m}^3$ )
18-giu-22	19	2	16	0.3	114	0.5	1.8
18-giu-22	20	1	7	0.3	114	1.2	4.3
18-giu-22	21	2	6	0.2	126	0.4	2.0
18-giu-22	22	2	5	0.2	126	0.3	0.8
18-giu-22	23	2	4	0.2	118	0.3	0.7
18-giu-22	00	2	3	0.2	111	0.3	0.7
19-giu-22	01	1	2	0.2	105	0.4	0.7
19-giu-22	02	1	2	0.2	99	0.4	0.8
19-giu-22	03	1	1	0.2	97	0.4	1.0
19-giu-22	04	1	1	0.2	92	0.3	1.0
19-giu-22	05	2	2	0.2	86	0.3	0.7
19-giu-22	06	2	2	0.2	82	0.4	0.7
19-giu-22	07	3	5	0.3	85	0.4	1.4
19-giu-22	08	4	8	0.2	97	0.5	1.3
19-giu-22	09	2	6	0.2	121	0.5	1.5
19-giu-22	10	2	4	0.2	141	0.5	1.1
19-giu-22	11	1	1	0.2	134	0.3	0.7
19-giu-22	12	2	1	0.2	138	0.4	0.7
19-giu-22	13	2	1	0.1	139	0.4	0.7
19-giu-22	14	2	1	0.2	140	0.3	0.6
19-giu-22	15	2	1	0.2	141	0.4	0.6
19-giu-22	16	1	1	0.2	140	0.2	0.6
19-giu-22	17	1	1	0.2	146	0.4	0.3
19-giu-22	18	2	3	0.2	144	0.3	0.4
19-giu-22	19	3	10	0.2	109	0.6	1.9
19-giu-22	20	2	9	0.2	114	0.3	2.2
19-giu-22	21	1	7	0.2	118	0.5	1.0
19-giu-22	22	2	4	0.2	118	0.3	0.7
19-giu-22	23	1	2	0.2	112	0.1	0.8
19-giu-22	00	2	1	0.2	109	0.2	0.5
20-giu-22	01	1	1	0.2	105	0.3	0.6
20-giu-22	02	1	1	0.2	103	0.2	0.7
20-giu-22	03	1	1	0.2	102	0.4	0.6
20-giu-22	04	2	2	0.2	96	0.3	0.7
20-giu-22	05	3	4	0.2	94	0.3	0.7
20-giu-22	06	2	5	0.2	89	0.3	1.0
20-giu-22	07	3	7	0.2	88	0.3	1.4
20-giu-22	08	4	15	0.2	98	0.5	1.7
20-giu-22	09	2	10	0.2	121	0.8	1.9
20-giu-22	10	2	9	0.2	140	0.7	1.9
20-giu-22	11	2	7	0.3	160	0.6	0.9
20-giu-22	12	1	6	0.2	184	0.5	1.4
20-giu-22	13	2	6	0.2	196	0.4	1.4
20-giu-22	14	2	5	0.2	202	0.3	0.7
20-giu-22	15	2	6	0.2	218	0.4	1.2
20-giu-22	16	2	6	0.2	208	0.4	1.0
20-giu-22	17	2	7	0.2	199	0.4	2.1
20-giu-22	18	2	9	0.3	168	0.3	0.8

giorno	hh	NO ( $\mu\text{g}/\text{m}^3$ )	NO2 ( $\mu\text{g}/\text{m}^3$ )	CO ( $\text{mg}/\text{m}^3$ )	O3 ( $\mu\text{g}/\text{m}^3$ )	Benz ( $\mu\text{g}/\text{m}^3$ )	Tol ( $\mu\text{g}/\text{m}^3$ )
20-giu-22	19	2	10	0.3	139	0.3	0.9
20-giu-22	20	2	11	0.3	132	0.3	1.0
20-giu-22	21	2	7	0.2	132	0.4	2.1
20-giu-22	22	2	6	0.2	132	0.4	1.1
20-giu-22	23	1	4	0.2	123	0.4	1.1
20-giu-22	00	1	4	0.2	113	0.5	1.4
21-giu-22	01	1	3	0.2	110	0.4	1.4
21-giu-22	02	2	3	0.2	109	0.5	1.4
21-giu-22	03	2	3	0.2	107	0.3	1.1
21-giu-22	04	1	3	0.2	106	0.3	1.5
21-giu-22	05	2	4	0.2	98	0.3	0.9
21-giu-22	06	3	11	0.3	79	0.4	1.4
21-giu-22	07	3	10	0.3	80	0.4	0.9
21-giu-22	08	4	18	0.3	100	0.4	2.1
21-giu-22	09	3	12	0.2	125	0.5	1.9
21-giu-22	10	2	9	0.2	137	0.5	2.2
21-giu-22	11	2	6	0.2	135	0.3	1.4
21-giu-22	12	1	4	0.2	138	0.3	0.9
21-giu-22	13	2	3	0.3	146	0.3	1.1
21-giu-22	14	2	3	0.3	167	0.6	1.1
21-giu-22	15	2	5	0.2	185	0.4	0.7
21-giu-22	16	2	5	0.3	190	0.2	1.1
21-giu-22	17	1	6	0.3	194	0.3	0.9
21-giu-22	18	2	8	0.3	190	0.3	1.2
21-giu-22	19	2	10	0.2	167	0.4	1.0
21-giu-22	20	2	8	0.3	132	0.4	1.2
21-giu-22	21	2	10	0.3	122	1.1	1.2
21-giu-22	22	2	9	0.2	108	0.2	1.8
21-giu-22	23	2	5	0.2	106	0.3	1.8
21-giu-22	00	2	4	0.2	100	0.3	0.8
22-giu-22	01	1	3	0.2	89	0.2	0.7
22-giu-22	02	2	2	0.2	87	0.3	0.8
22-giu-22	03	1	2	0.2	82	0.3	0.7
22-giu-22	04	2	2	0.2	78	0.2	0.8
22-giu-22	05	2	3	0.2	73	0.3	1.1
22-giu-22	06	2	6	0.2	63	0.3	0.8
22-giu-22	07	2	15	0.2	57	0.4	1.1
22-giu-22	08	3	21	0.3	50	0.4	1.5
22-giu-22	09	4	17	0.3	48	0.4	2.3
22-giu-22	10	3	13	0.3	59	0.5	1.8
22-giu-22	11	9	17	0.3	49	0.6	1.8
22-giu-22	12	4	9	0.3	74	0.3	1.8
22-giu-22	13	2	10	0.2	87	0.9	2.0
22-giu-22	14	3	14	0.3	91	0.4	1.4
22-giu-22	15	2	10	0.3	78	0.5	1.7
22-giu-22	16	6	11	0.3	64	0.5	1.1
22-giu-22	17	5	8	0.3	56	0.3	1.2
22-giu-22	18	5	7	0.3	50	0.2	1.0



giorno	hh	NO ( $\mu\text{g}/\text{m}^3$ )	NO2 ( $\mu\text{g}/\text{m}^3$ )	CO ( $\text{mg}/\text{m}^3$ )	O3 ( $\mu\text{g}/\text{m}^3$ )	Benz ( $\mu\text{g}/\text{m}^3$ )	Tol ( $\mu\text{g}/\text{m}^3$ )
22-giu-22	19	2	6	0.2	93	0.3	0.8
22-giu-22	20	2	7	0.2	104	0.4	0.6
22-giu-22	21	2	8	0.2	74	0.4	1.5
22-giu-22	22	3	6	0.2	53	0.4	1.4
22-giu-22	23	2	3	0.2	43	0.2	1.7
22-giu-22	00	2	1	0.2	37	0.3	1.1
23-giu-22	01	1	0	0.2	38	0.2	0.5
23-giu-22	02	1	0	0.2	41	0.2	0.7
23-giu-22	03	1	0	0.2	41	0.5	0.8
23-giu-22	04	2	0	0.2	42	0.2	1.0
23-giu-22	05	5	3	0.2	42	0.4	0.8
23-giu-22	06	3	1	0.2	41	0.4	1.3
23-giu-22	07	6	4	0.2	39	0.6	2.3
23-giu-22	08	4	4	0.2	53	0.4	1.0
23-giu-22	09	4	8	0.2	61	0.5	1.1
23-giu-22	10	3	8	0.2	85	0.3	1.7
23-giu-22	11	2	4	0.2	113	0.3	1.0
23-giu-22	12	2	3	0.2	121	0.4	1.1
23-giu-22	13	2	2	0.2	137	0.2	0.8
23-giu-22	14	2	5	0.2	153	0.3	0.8
23-giu-22	15	2	4	0.2	132	0.3	1.1
23-giu-22	16	2	4	0.2	120	0.3	1.1
23-giu-22	17	3	8	0.2	105	0.3	0.8
23-giu-22	18	5	12	0.2	82	0.2	0.7
23-giu-22	19	3	5	0.2	72	0.4	0.9
23-giu-22	20	2	3	0.2	63	0.5	1.1
23-giu-22	21			0.3			
23-giu-22	22			0.3			
23-giu-22	23			0.3		19.5	23.3
23-giu-22	00	1	2	0.2	48	0.3	0.8
24-giu-22	01	1	1	0.2	41	0.3	0.7
24-giu-22	02	1	0	0.2	42	0.3	0.6
24-giu-22	03	1	0	0.2	42	0.3	0.5
24-giu-22	04	2	0	0.2	40	0.3	0.5
24-giu-22	05	5	3	0.2	35	0.5	0.7
24-giu-22	06	4	3	0.2	35	0.2	0.6
24-giu-22	07	5	5	0.2	41	0.7	0.6
24-giu-22	08	6	9	0.2	44	0.5	1.5
24-giu-22	09	4	7	0.2	66	0.4	2.0
24-giu-22	10	2	2	0.2	92	0.2	1.0
24-giu-22	11	2	1	0.2	105	0.2	0.8
24-giu-22	12	2	0	0.2	113	0.2	0.6
24-giu-22	13	2	2	0.2	116	0.2	0.4
24-giu-22	14	3	4	0.2	122	0.2	0.5
24-giu-22	15	3	6	0.2	115	0.4	0.5
24-giu-22	16	3	5	0.2	103	0.3	1.0
24-giu-22	17	4	10	0.2	82	0.3	1.0
24-giu-22	18	4	9	0.2	74	0.3	0.7

giorno	hh	NO ( $\mu\text{g}/\text{m}^3$ )	NO2 ( $\mu\text{g}/\text{m}^3$ )	CO ( $\text{mg}/\text{m}^3$ )	O3 ( $\mu\text{g}/\text{m}^3$ )	Benz ( $\mu\text{g}/\text{m}^3$ )	Tol ( $\mu\text{g}/\text{m}^3$ )
24-giu-22	19	3	6	0.2	67	0.2	0.6
24-giu-22	20	3	4	0.2	59	0.2	0.6
24-giu-22	21	2	2	0.2	55	0.2	0.5
24-giu-22	22	2	2	0.2	53	0.3	0.8
24-giu-22	23	2	1	0.2	53	0.3	1.1

Angolo Terme - periodo invernale

giorno	hh	NO ( $\mu\text{g}/\text{m}^3$ )	NO2 ( $\mu\text{g}/\text{m}^3$ )	CO ( $\text{mg}/\text{m}^3$ )	O3 ( $\mu\text{g}/\text{m}^3$ )	Benz ( $\mu\text{g}/\text{m}^3$ )	Tol ( $\mu\text{g}/\text{m}^3$ )
25-nov-22	00	0.1	3	0.3	61	0.7	0.7
25-nov-22	01	0.2	2	0.2	63	0.7	0.6
25-nov-22	02	0.0	2	0.2	63	0.5	0.4
25-nov-22	03	0.0	2	0.2	55	0.5	0.6
25-nov-22	04	0.0	3	0.2	50	0.4	0.4
25-nov-22	05	0.5	5	0.2	45	0.8	0.8
25-nov-22	06	1.1	5	0.2	50	0.8	0.9
25-nov-22	07	0.8	8	0.3	46	0.6	0.7
25-nov-22	08	1.1	7	0.3	50	0.6	1.3
25-nov-22	09	1.6	7	0.3	52	0.6	0.7
25-nov-22	10	2.9	9	0.3	55	1.0	0.9
25-nov-22	11	4.6	14	0.3	53	1.2	1.2
25-nov-22	12	6.2	19	0.3	50	1.2	1.6
25-nov-22	13	4.6	18	0.3	46	1.3	1.7
25-nov-22	14	4.0	22	0.3	37	0.9	1.6
25-nov-22	15	7.0	27	0.6	30	1.9	3.8
25-nov-22	16	4.4	27	0.6	23	2.3	2.8
25-nov-22	17	8.1	32	0.5	21	1.5	2.2
25-nov-22	18	3.6	26	0.5	24	1.5	2.1
25-nov-22	19	2.9	21	0.4	27	1.3	1.8
25-nov-22	20	1.8	17	0.4	30	2.2	2.5
25-nov-22	21	1.1	14	0.4	33	2.1	2.2
25-nov-22	22	0.9	11	0.4	36	1.9	2.2
25-nov-22	23	0.9	10	0.3	38	1.6	1.7
25-nov-22	00	0.8	8	0.3	39	1.1	1.2
26-nov-22	01	0.3	5	0.3	43	1.0	1.3
26-nov-22	02	0.2	4	0.2	47	0.7	0.9
26-nov-22	03	0.0	3	0.2	49	0.7	0.8
26-nov-22	04	0.1	3	0.2	48	0.5	0.7
26-nov-22	05	0.2	3	0.2	46	0.4	0.8
26-nov-22	06	0.6	6	0.2	45	0.5	1.0
26-nov-22	07	1.0	9	0.3	45	0.7	0.8
26-nov-22	08	1.4	7	0.2	56	1.0	1.0
26-nov-22	09	1.9	7	0.2	56	0.8	0.9
26-nov-22	10	2.5	9	0.3	56	0.7	0.7
26-nov-22	11	2.3	8	0.2	66	0.7	0.8
26-nov-22	12	2.2	9	0.2	69	0.9	0.6
26-nov-22	13	6.4	21	0.4	45	1.3	2.2

giorno	hh	NO ( $\mu\text{g}/\text{m}^3$ )	NO2 ( $\mu\text{g}/\text{m}^3$ )	CO ( $\text{mg}/\text{m}^3$ )	O3 ( $\mu\text{g}/\text{m}^3$ )	Benz ( $\mu\text{g}/\text{m}^3$ )	Tol ( $\mu\text{g}/\text{m}^3$ )
26-nov-22	14	3.5	21	0.4	39	1.8	2.8
26-nov-22	15	4.9	21	0.5	36	1.9	3.0
26-nov-22	16	2.5	22	0.6	36	1.7	2.1
26-nov-22	17	1.9	16	0.4	42	1.4	1.3
26-nov-22	18	3.0	15	0.4	45	1.1	1.6
26-nov-22	19	2.2	13	0.4	45	1.0	1.5
26-nov-22	20	1.4	11	0.4	45	1.3	1.3
26-nov-22	21	1.0	10	0.4	46	1.9	1.9
26-nov-22	22	1.2	8	0.3	47	1.7	1.5
26-nov-22	23	0.6	7	0.3	49	1.4	1.6
26-nov-22	00	0.4	6	0.2	50	1.1	1.1
27-nov-22	01	1.4	7	0.2	48	1.0	1.2
27-nov-22	02	0.3	5	0.2	49	0.5	0.7
27-nov-22	03	0.6	5	0.2	50	0.6	1.1
27-nov-22	04	0.2	3	0.2	52	0.7	1.4
27-nov-22	05	0.2	3	0.1	52	0.5	0.7
27-nov-22	06	0.3	3	0.1	52	0.6	0.7
27-nov-22	07	0.4	4	0.2	50	0.6	0.7
27-nov-22	08	0.7	5	0.2	50	0.6	1.1
27-nov-22	09	1.7	7	0.2	50	1.5	1.1
27-nov-22	10	17.4	19	0.6	43	2.3	3.1
27-nov-22	11	4.6	13	0.2	55	2.8	6.3
27-nov-22	12	3.0	11	0.3	58	1.0	0.7
27-nov-22	13	2.5	12	0.3	53	1.2	1.1
27-nov-22	14	2.2	15	0.3	44	1.7	2.5
27-nov-22	15	3.7	18	0.4	37	2.2	4.4
27-nov-22	16	2.7	16	0.4	37	3.4	4.4
27-nov-22	17	1.4	13	0.3	41	1.6	2.2
27-nov-22	18	2.1	14	0.4	38	2.1	1.5
27-nov-22	19	1.4	12	0.4	39	2.1	1.3
27-nov-22	20	1.4	10	0.3	38	1.4	0.9
27-nov-22	21	1.0	9	0.3	39	2.1	1.4
27-nov-22	22	0.9	8	0.3	38	1.7	1.2
27-nov-22	23	1.0	7	0.3	38	1.7	1.0
27-nov-22	00	0.2	5	0.3	37	1.6	1.0
28-nov-22	01	0.3	5	0.3	34	1.1	1.0
28-nov-22	02	0.1	4	0.2	33	1.4	1.3
28-nov-22	03	0.1	4	0.2	31	1.3	0.9
28-nov-22	04	0.1	4	0.2	34	1.2	1.3
28-nov-22	05	0.4	6	0.2	31	1.0	0.8
28-nov-22	06	0.6	7	0.2	28	0.7	1.0
28-nov-22	07	3.7	14	0.3	23	1.5	1.6
28-nov-22	08	4.9	17	0.4	18	5.4	3.8
28-nov-22	09	7.5	17	0.5	20	3.2	3.1
28-nov-22	10	6.2	14	0.3	28	2.1	2.3
28-nov-22	11	16.5	29	0.4	19	2.1	2.5
28-nov-22	12	10.0	22	0.4	30	2.3	8.6
28-nov-22	13	8.4	27	0.4	28	1.9	2.9

giorno	hh	NO ( $\mu\text{g}/\text{m}^3$ )	NO2 ( $\mu\text{g}/\text{m}^3$ )	CO ( $\text{mg}/\text{m}^3$ )	O3 ( $\mu\text{g}/\text{m}^3$ )	Benz ( $\mu\text{g}/\text{m}^3$ )	Tol ( $\mu\text{g}/\text{m}^3$ )
28-nov-22	14	3.9	20	0.4	37	2.6	3.3
28-nov-22	15	5.8	33	0.4	26	1.7	2.7
28-nov-22	16	7.2	41	0.6	15	3.0	2.2
28-nov-22	17	10.1	40	0.6	13	4.2	5.3
28-nov-22	18	18.9	41	0.8	13	8.0	4.8
28-nov-22	19	12.0	37	0.7	12	7.9	6.2
28-nov-22	20	7.9	33	0.6	10	2.8	3.3
28-nov-22	21	7.2	28	0.5	12	1.5	2.3
28-nov-22	22	3.5	23	0.4	17	1.8	3.5
28-nov-22	23	1.5	18	0.4	16	2.4	2.9
28-nov-22	00	1.8	16	0.4	15	2.0	3.5
29-nov-22	01	1.7	14	0.3	15	1.8	2.6
29-nov-22	02	0.6	11	0.3	17	1.4	1.7
29-nov-22	03	0.5	8	0.3	18	1.0	1.2
29-nov-22	04	0.5	8	0.3	17	1.8	1.9
29-nov-22	05	2.7	12	0.3	15	1.9	2.4
29-nov-22	06	2.9	11	0.3	15	2.0	2.0
29-nov-22	07	9.0	20	0.5	9	6.0	4.5
29-nov-22	08	14.1	21	0.5	8	4.5	5.4
29-nov-22	09	47.8	30	0.7	10	3.6	5.2
29-nov-22	10	23.9	26	0.5	11	6.0	7.1
29-nov-22	11	20.4	29	0.5	13	1.5	2.3
29-nov-22	12	16.1	30	0.4	19	1.4	2.7
29-nov-22	13	13.8	32	0.5	18	2.1	3.0
29-nov-22	14	8.4	31	0.5	21	1.6	2.5
29-nov-22	15	4.7	30	0.4	25	1.2	2.0
29-nov-22	16	3.6	32	0.5	23	1.7	2.3
29-nov-22	17	6.0	37	0.6	14	2.4	3.9
29-nov-22	18	9.7	36	0.7	11	4.8	4.2
29-nov-22	19	18.5	38	0.9	12	4.1	3.0
29-nov-22	20	19.4	40	1.0	11	5.2	3.4
29-nov-22	21	9.2	36	0.7	8	3.4	2.8
29-nov-22	22	17.6	40	0.8	9	2.8	3.7
29-nov-22	23	10.0	25	0.5	11	3.6	4.3
29-nov-22	00	1.5	10	0.3	16	2.0	2.2
30-nov-22	01	1.1	8	0.3	15	1.5	1.7
30-nov-22	02	1.0	7	0.2	14	1.3	1.5
30-nov-22	03	0.6	8	0.2	14	1.0	1.4
30-nov-22	04	0.8	7	0.2	15	1.1	1.2
30-nov-22	05	1.4	7	0.2	17	0.9	1.2
30-nov-22	06	2.8	8	0.2	17	0.6	0.7
30-nov-22	07	9.0	13	0.4	12	1.4	1.0
30-nov-22	08	11.7	13	0.4	13	1.4	1.8
30-nov-22	09	13.0	14	0.4	14	1.9	1.9
30-nov-22	10	23.2	20	0.6	14	2.6	3.0
30-nov-22	11	11.8	19	0.4	13	1.6	1.8
30-nov-22	12	19.9	26	0.4	10	1.7	1.7
30-nov-22	13	22.3	28	0.4	9	2.0	2.2

giorno	hh	NO ( $\mu\text{g}/\text{m}^3$ )	NO2 ( $\mu\text{g}/\text{m}^3$ )	CO ( $\text{mg}/\text{m}^3$ )	O3 ( $\mu\text{g}/\text{m}^3$ )	Benz ( $\mu\text{g}/\text{m}^3$ )	Tol ( $\mu\text{g}/\text{m}^3$ )
30-nov-22	14	23.2	30	0.5	8	2.6	4.7
30-nov-22	15	28.9	32	0.6	9	1.6	2.7
30-nov-22	16	31.7	35	0.7	8	2.1	2.9
30-nov-22	17	30.1	32	0.8	8	2.8	4.3
30-nov-22	18	42.9	33	0.9	11	3.5	4.6
30-nov-22	19	21.1	30	0.8	9	4.0	3.8
30-nov-22	20	11.9	23	0.7	14	3.4	2.6
30-nov-22	21	6.5	14	0.5	18	5.3	3.7
30-nov-22	22	2.9	12	0.3	19	1.6	1.6
30-nov-22	23	1.1	8	0.3	22	1.4	0.9
30-nov-22	00	0.8	6	0.3	24	1.1	0.9
01-dic-22	01	0.3	4	0.2	25	0.7	0.9
01-dic-22	02	0.3	4	0.2	26	1.0	0.8
01-dic-22	03	0.4	3	0.2	29	1.0	0.8
01-dic-22	04	0.2	3	0.2	30	0.8	0.8
01-dic-22	05	0.8	3	0.2	33	0.9	0.6
01-dic-22	06	2.5	6	0.2	34	0.7	0.8
01-dic-22	07	2.1	7	0.2	34	0.9	0.8
01-dic-22	08	10.8	11	0.2	36	1.2	0.6
01-dic-22	09	2.3	9	0.3	37	2.1	1.3
01-dic-22	10	8.3	14	0.3	34	1.8	1.7
01-dic-22	11	5.8	14	0.3	33	1.4	1.2
01-dic-22	12	11.5	19	0.4	32	2.2	1.8
01-dic-22	13	10.9	23	0.3	30	1.9	2.0
01-dic-22	14	6.1	21	0.4	28	1.9	1.9
01-dic-22	15	6.0	20	0.5	26	1.5	1.5
01-dic-22	16	3.6	20	0.4	23	1.6	1.1
01-dic-22	17	3.6	21	0.4	27	1.4	1.6
01-dic-22	18	3.7	19	0.4	27	3.5	1.8
01-dic-22	19	4.0	19	0.4	27	2.0	1.4
01-dic-22	20	2.6	14	0.3	30	2.1	1.5
01-dic-22	21	1.3	11	0.3	31	2.3	1.4
01-dic-22	22	2.8	10	0.3	34	1.3	1.0
01-dic-22	23	1.4	8	0.3	35	1.6	2.7
01-dic-22	00	0.4	6	0.3	36	1.8	2.6
02-dic-22	01	0.2	4	0.2	39	1.4	0.8
02-dic-22	02	0.2	4	0.2	39	0.8	0.7
02-dic-22	03	0.4	4	0.2	35	0.8	0.7
02-dic-22	04	0.3	4	0.2	34	0.8	1.0
02-dic-22	05	0.2	4	0.2	31	1.8	0.9
02-dic-22	06	1.9	7	0.2	29	0.9	0.9
02-dic-22	07	2.6	13	0.3	21	1.6	1.0
02-dic-22	08	10.5	15	0.3	17	2.0	2.7
02-dic-22	09	16.0	22	0.6	17	3.2	5.1
02-dic-22	10	23.3	26	0.5	13	3.5	5.2
02-dic-22	11	17.3	27	0.5	15	2.9	5.5
02-dic-22	12	18.9	29	0.5	15	2.1	3.6
02-dic-22	13	12.2	26	0.4	18	2.8	4.5

giorno	hh	NO ( $\mu\text{g}/\text{m}^3$ )	NO2 ( $\mu\text{g}/\text{m}^3$ )	CO ( $\text{mg}/\text{m}^3$ )	O3 ( $\mu\text{g}/\text{m}^3$ )	Benz ( $\mu\text{g}/\text{m}^3$ )	Tol ( $\mu\text{g}/\text{m}^3$ )
02-dic-22	14	18.0	33	0.5	13	1.8	1.8
02-dic-22	15	25.4	39	0.6	8	2.0	2.9
02-dic-22	16	26.4	38	0.7	8	2.3	3.1
02-dic-22	17	43.0	39	0.8	9	2.6	3.7
02-dic-22	18	41.6	37	0.9	9	4.3	4.5
02-dic-22	19	30.7	33	0.9	9	3.0	2.9
02-dic-22	20	32.9	30	1.0	11	4.1	4.2
02-dic-22	21	12.8	24	0.6	7	3.0	2.8
02-dic-22	22	4.4	19	0.4	10	1.7	1.8
02-dic-22	23	2.7	15	0.4	15	2.6	2.3
02-dic-22	00	0.9	11	0.3	21	2.2	2.0
03-dic-22	01	1.5	12	0.3	19	1.8	1.8
03-dic-22	02	1.1	9	0.3	20	1.9	1.9
03-dic-22	03	1.2	6	0.2	28	1.6	1.5
03-dic-22	04	0.4	5	0.2	32	1.1	1.4
03-dic-22	05	0.3	4	0.2	42	1.3	1.3
03-dic-22	06	0.5	5	0.2	47	4.4	1.3
03-dic-22	07	2.0	9	0.2	37	4.0	1.2
03-dic-22	08	5.5	22	0.4	19	1.9	2.0
03-dic-22	09	20.6	30	0.7	18	6.1	6.4
03-dic-22	10	9.6	23	0.5	25	4.0	4.7
03-dic-22	11	9.9	21	0.4	27	2.7	2.1
03-dic-22	12	23.1	40	0.7	16	4.4	3.3
03-dic-22	13	18.1	36	0.8	19	5.7	4.2
03-dic-22	14	9.8	30	0.7	24	5.4	3.3
03-dic-22	15	8.1	27	0.7	32	3.1	2.6
03-dic-22	16	2.0	12	0.4	49	2.1	1.5
03-dic-22	17	3.4	14	0.4	48	1.6	0.9
03-dic-22	18	3.4	12	0.4	43	1.5	0.7
03-dic-22	19	6.6	28	0.7	22	2.5	1.3
03-dic-22	20	8.7	28	0.9	18	5.8	2.6
03-dic-22	21	5.2	19	0.8	18	5.6	2.5
03-dic-22	22	6.2	20	0.8	17	2.8	1.7
03-dic-22	23	5.1	15	0.7	18	2.9	2.2
03-dic-22	00	2.5	10	0.4	20	3.4	2.8
04-dic-22	01	1.8	10	0.4	19	1.5	1.3
04-dic-22	02	1.1	9	0.3	23	1.7	1.7
04-dic-22	03	0.6	7	0.3	24	1.2	1.2
04-dic-22	04	0.5	3	0.2	41	0.6	0.9
04-dic-22	05	0.6	5	0.2	35	0.6	0.7
04-dic-22	06	0.8	5	0.2	35	1.0	0.9
04-dic-22	07	1.7	11	0.3	25	1.8	1.2
04-dic-22	08	3.5	15	0.4	21	1.3	1.3
04-dic-22	09	4.4	17	0.4	21	1.6	1.4
04-dic-22	10	4.9	20	0.4	20	1.7	1.4
04-dic-22	11	7.0	23	0.5	19	1.9	1.3
04-dic-22	12	20.3	34	0.8	12	2.5	3.0
04-dic-22	13	14.0	28	0.7	14	3.7	2.3

giorno	hh	NO ( $\mu\text{g}/\text{m}^3$ )	NO2 ( $\mu\text{g}/\text{m}^3$ )	CO ( $\text{mg}/\text{m}^3$ )	O3 ( $\mu\text{g}/\text{m}^3$ )	Benz ( $\mu\text{g}/\text{m}^3$ )	Tol ( $\mu\text{g}/\text{m}^3$ )
04-dic-22	14	6.7	24	0.6	19	2.3	2.0
04-dic-22	15	4.7	25	0.5	18	1.9	1.7
04-dic-22	16	3.9	24	0.5	19	1.9	2.1
04-dic-22	17	7.7	34	0.8	10	2.3	2.4
04-dic-22	18	10.4	28	0.8	15	4.0	2.4
04-dic-22	19	3.8	17	0.5	29	2.5	1.2
04-dic-22	20	2.3	10	0.4	35	1.5	0.6
04-dic-22	21	1.2	11	0.4	32	1.4	0.9
04-dic-22	22	1.8	16	0.5	24	1.6	1.1
04-dic-22	23	1.5	11	0.4	27	2.7	1.6
04-dic-22	00	1.4	13	0.4	23	2.9	1.7
05-dic-22	01	1.1	11	0.4	30	2.4	2.1
05-dic-22	02	0.5	3	0.2	56	1.3	1.1
05-dic-22	03	0.2	3	0.2	60	0.7	0.5
05-dic-22	04	0.1	2	0.2	58	0.8	0.5
05-dic-22	05	1.0	4	0.2	55	0.9	0.6
05-dic-22	06	2.4	6	0.2	53	1.0	0.7
05-dic-22	07	1.9	8	0.2	49	0.9	0.6
05-dic-22	08	1.6	8	0.3	47	0.7	0.6
05-dic-22	09	3.7	14	0.3	42	3.4	1.2
05-dic-22	10	2.9	10	0.3	45	1.4	1.5
05-dic-22	11	4.8	20	0.3	35	1.2	1.4
05-dic-22	12	7.4	24	0.4	33	1.6	1.4
05-dic-22	13	4.9	21	0.4	40	1.8	1.8
05-dic-22	14	5.5	21	0.4	44	1.1	1.2
05-dic-22	15	4.3	23	0.4	38	1.3	1.2
05-dic-22	16	2.3	15	0.4	45	2.1	2.4
05-dic-22	17	3.2	15	0.4	45	2.8	1.6
05-dic-22	18	3.7	14	0.4	43	2.5	1.2
05-dic-22	19	3.2	13	0.4	44	1.9	1.0
05-dic-22	20	4.5	12	0.4	43	1.2	1.0
05-dic-22	21	1.8	9	0.3	49	1.5	0.7
05-dic-22	22	0.6	4	0.2	55	0.9	0.9
05-dic-22	23	0.5	3	0.2	58	0.9	0.6
05-dic-22	00	0.4	2	0.2	63	0.8	0.6
06-dic-22	01	0.1	2	0.2	64	0.5	0.5
06-dic-22	02	0.0	1	0.1	64	0.8	0.5
06-dic-22	03	0.0	1	0.1	64	0.6	0.8
06-dic-22	04	0.0	1	0.1	63	0.5	0.5
06-dic-22	05	0.2	2	0.1	61	0.5	0.4
06-dic-22	06	2.4	5	0.2	58	0.6	0.3
06-dic-22	07	1.4	6	0.2	56	0.6	0.6
06-dic-22	08	1.4	6	0.2	57	0.8	0.7
06-dic-22	09	2.1	7	0.2	57	0.8	0.5
06-dic-22	10	2.2	6	0.2	56		
06-dic-22	11	2.1	7	0.2	54		
06-dic-22	12	5.2	13	0.2	49		
06-dic-22	13	5.0	16	0.3	45		

giorno	hh	NO ( $\mu\text{g}/\text{m}^3$ )	NO2 ( $\mu\text{g}/\text{m}^3$ )	CO ( $\text{mg}/\text{m}^3$ )	O3 ( $\mu\text{g}/\text{m}^3$ )	Benz ( $\mu\text{g}/\text{m}^3$ )	Tol ( $\mu\text{g}/\text{m}^3$ )
06-dic-22	14	8.9	21	0.4	33		
06-dic-22	15	4.5	19	0.5	35		
06-dic-22	16	3.1	15	0.3	39		
06-dic-22	17	3.9	17	0.3	38		
06-dic-22	18	4.3	16	0.3	39		
06-dic-22	19	2.7	13	0.3	40		
06-dic-22	20	3.7	13	0.3	41		
06-dic-22	21	0.8	7	0.3	45		
06-dic-22	22	0.6	6	0.3	45		
06-dic-22	23	0.7	5	0.2	46		
06-dic-22	00	0.2	3	0.2	48		
07-dic-22	01	0.4	2	0.2	49		
07-dic-22	02	0.2	2	0.2	49		
07-dic-22	03	0.1	2	0.1	51		
07-dic-22	04	0.2	2	0.1	50		
07-dic-22	05	0.2	2	0.1	50		
07-dic-22	06	1.3	5	0.2	49		
07-dic-22	07	1.4	6	0.2	47		
07-dic-22	08	5.3	12	0.2	44		
07-dic-22	09	2.2	8	0.2	46		
07-dic-22	10	3.5	11	0.2	45	0.7	1.0
07-dic-22	11	9.2	21	0.3	40	1.2	2.4
07-dic-22	12	10.3	21	0.3	37	1.1	0.8
07-dic-22	13	7.6	22	0.3	40	1.2	1.5
07-dic-22	14	7.0	24	0.5	35	3.7	1.6
07-dic-22	15	3.6	20	0.4	32	1.8	1.6
07-dic-22	16	3.6	18	0.3	34	1.4	1.4
07-dic-22	17	2.5	17	0.3	34	1.2	1.4
07-dic-22	18	1.8	17	0.3	33	1.6	1.3
07-dic-22	19	3.3	16	0.3	34	1.3	1.1
07-dic-22	20	2.2	13	0.3	38	1.1	0.9
07-dic-22	21	1.3	12	0.3	38	1.5	1.0
07-dic-22	22	1.2	8	0.3	41	1.1	0.7
07-dic-22	23	1.2	7	0.2	42	0.9	1.0
07-dic-22	00	0.4	5	0.2	44	1.1	0.7
08-dic-22	01	0.4	4	0.2	44	0.8	0.7
08-dic-22	02	0.3	3	0.2	45	1.0	0.6
08-dic-22	03	0.1	3	0.2	46	0.6	0.8
08-dic-22	04	0.2	3	0.2	45	0.6	0.5
08-dic-22	05	0.2	3	0.2	46	0.7	0.7
08-dic-22	06	0.6	4	0.2	45	0.9	0.7
08-dic-22	07	0.5	5	0.2	44	0.9	1.0
08-dic-22	08	1.2	6	0.2	45	1.0	0.8
08-dic-22	09	3.6	9	0.2	46	1.0	0.9
08-dic-22	10	3.1	9	0.3	51	1.1	1.3
08-dic-22	11	5.1	13	0.3	49	1.1	1.8
08-dic-22	12	3.3	12	0.3	51	1.1	0.9
08-dic-22	13	3.7	14	0.3	50	1.1	1.1



giorno	hh	NO ( $\mu\text{g}/\text{m}^3$ )	NO2 ( $\mu\text{g}/\text{m}^3$ )	CO ( $\text{mg}/\text{m}^3$ )	O3 ( $\mu\text{g}/\text{m}^3$ )	Benz ( $\mu\text{g}/\text{m}^3$ )	Tol ( $\mu\text{g}/\text{m}^3$ )
08-dic-22	14	4.4	18	0.5	40	2.4	1.4
08-dic-22	15	6.0	23	0.6	33	1.7	1.4
08-dic-22	16	4.5	19	0.4	36	2.1	1.4
08-dic-22	17	1.7	13	0.3	42	1.1	1.2
08-dic-22	18	2.0	14	0.4	42	1.5	1.1
08-dic-22	19	1.6	11	0.4	46	1.8	1.0
08-dic-22	20	2.3	11	0.4	47	1.5	0.9
08-dic-22	21	1.1	7	0.3	53	1.5	1.0
08-dic-22	22	0.9	6	0.3	57	0.9	0.7
08-dic-22	23	1.1	6	0.3	54	0.8	1.0
08-dic-22	00	0.7	11	0.4	41	1.0	1.0
09-dic-22	01	0.8	10	0.4	41	0.9	0.9
09-dic-22	02	0.6	10	0.3	38	1.2	0.9
09-dic-22	03	0.7	10	0.3	35	1.3	1.1
09-dic-22	04	0.8	8	0.3	36	1.0	0.9
09-dic-22	05	0.6	7	0.3	36	0.9	1.1
09-dic-22	06	3.0	13	0.3	27	0.8	1.1
09-dic-22	07	1.8	14	0.3	29	1.0	1.2
09-dic-22	08	10.7	22	0.4	21	1.5	1.6
09-dic-22	09	11.8	29	0.5	18	1.8	1.7
09-dic-22	10	6.1	21	0.5	22	3.6	2.2
09-dic-22	11	16.8	26	0.6	19	3.2	2.7
09-dic-22	12	14.4	27	0.6	19	2.9	2.2
09-dic-22	13	7.4	27	0.6	22	2.6	1.6
09-dic-22	14	4.5	27	0.4	23	1.7	1.7
09-dic-22	15	14.1	40	0.6	14	1.9	1.9
09-dic-22	16	14.8	38	0.7	13	2.4	2.1
09-dic-22	17	16.6	37	1.1	11	3.9	3.0
09-dic-22	18	18.8	37	1.1	11	4.7	2.9
09-dic-22	19	25.2	31	1.0	13	4.5	1.9
09-dic-22	20	16.6	32	1.3	12	5.9	2.2
09-dic-22	21	8.2	23	0.8	13	3.9	1.7
09-dic-22	22	5.9	22	0.8	13	2.9	1.3
09-dic-22	23	6.0	21	0.9	11	3.0	1.3
09-dic-22	00	4.3	17	0.7	12	2.2	1.4
10-dic-22	01	3.0	14	0.6	14	2.2	1.5
10-dic-22	02	1.6	9	0.4	23	2.1	1.2
10-dic-22	03	1.0	6	0.3	29	1.0	0.7
10-dic-22	04	1.0	6	0.3	26	0.8	1.0
10-dic-22	05	0.8	7	0.3	25	1.1	1.1
10-dic-22	06	1.5	9	0.3	26	1.2	1.1
10-dic-22	07	4.0	16	0.4	16	1.4	1.2
10-dic-22	08	6.0	16	0.5	16	2.2	1.5
10-dic-22	09	7.0	16	0.5	17	1.8	1.5
10-dic-22	10	24.7	23	0.6	13	2.4	2.9
10-dic-22	11	8.2	16	0.4	19	1.6	2.2
10-dic-22	12	19.8	25	0.5	14	2.6	1.6
10-dic-22	13	19.3	24	0.5	16	1.5	1.7

giorno	hh	NO ( $\mu\text{g}/\text{m}^3$ )	NO2 ( $\mu\text{g}/\text{m}^3$ )	CO ( $\text{mg}/\text{m}^3$ )	O3 ( $\mu\text{g}/\text{m}^3$ )	Benz ( $\mu\text{g}/\text{m}^3$ )	Tol ( $\mu\text{g}/\text{m}^3$ )
10-dic-22	14	18.8	27	0.6	15	1.8	2.0
10-dic-22	15	18.3	27	0.7	12	2.6	3.3
10-dic-22	16	14.7	32	0.8	10	2.3	2.3
10-dic-22	17	16.6	32	0.7	8	2.9	2.7
10-dic-22	18	19.7	30	0.8	9	2.3	2.3
10-dic-22	19	28.4	34	1.0	9	3.3	2.5
10-dic-22	20	10.3	25	0.7	8	2.8	1.8
10-dic-22	21	4.5	14	0.5	24	1.9	1.3
10-dic-22	22	1.6	6	0.3	40	1.1	0.9
10-dic-22	23	2.3	6	0.3	43	0.7	0.6
10-dic-22	00	1.5	4	0.2	44	0.9	0.7
11-dic-22	01	0.7	5	0.2	41	1.1	0.8
11-dic-22	02	0.7	6	0.2	38	0.8	0.6
11-dic-22	03	0.8	6	0.2	36	0.7	1.1
11-dic-22	04	0.3	5	0.2	36	0.8	0.7
11-dic-22	05	0.5	6	0.2	36	0.6	0.7
11-dic-22	06	0.9	7	0.2	35	0.8	0.9
11-dic-22	07	1.0	8	0.2	47	0.9	0.6
11-dic-22	08	1.2	9	0.3	44	1.2	1.3
11-dic-22	09	1.0	6	0.2	57	1.0	1.1
11-dic-22	10	1.2	5	0.2	59	1.0	0.5
11-dic-22	11	1.3	4	0.2	62	0.9	0.7
11-dic-22	12	0.9	4	0.2	65	0.6	0.6
11-dic-22	13	1.1	5	0.2	63	0.9	0.6
11-dic-22	14	5.0	16	0.4	36	1.0	1.0
11-dic-22	15	3.5	16	0.5	32	1.4	1.1
11-dic-22	16	4.0	20	0.6	25	2.0	2.3
11-dic-22	17	3.3	19	0.5	24	1.7	1.1
11-dic-22	18	3.2	16	0.4	29	2.0	1.1
11-dic-22	19	2.5	15	0.5	30	1.5	0.9
11-dic-22	20	1.8	12	0.4	38	1.3	1.0
11-dic-22	21	2.0	9	0.4	45	1.3	0.8
11-dic-22	22	1.3	6	0.3	50	1.2	0.7
11-dic-22	23	0.5	4	0.3	51	0.9	0.7
11-dic-22	00	0.5	3	0.2	53	0.9	0.7
12-dic-22	01	0.2	2	0.2	58	0.6	0.5
12-dic-22	02	0.7	2	0.2	60	0.5	0.5
12-dic-22	03	0.2	1	0.1	61	0.6	0.5
12-dic-22	04	0.3	1	0.1	62	0.5	0.5
12-dic-22	05	0.5	2	0.2	61	0.6	0.5
12-dic-22	06	0.9	4	0.2	55	0.4	0.5
12-dic-22	07	2.2	9	0.2	51	1.0	0.9
12-dic-22	08	0.7	6	0.2	53	0.9	1.4
12-dic-22	09	1.7	8	0.2	53	0.9	0.7
12-dic-22	10	3.9	10	0.2	52	1.1	1.0
12-dic-22	11	5.8	15	0.3	48	0.9	0.9
12-dic-22	12	7.0	19	0.3	47	1.4	1.1
12-dic-22	13	4.9	16	0.3	53	0.9	1.0

giorno	hh	NO ( $\mu\text{g}/\text{m}^3$ )	NO2 ( $\mu\text{g}/\text{m}^3$ )	CO ( $\text{mg}/\text{m}^3$ )	O3 ( $\mu\text{g}/\text{m}^3$ )	Benz ( $\mu\text{g}/\text{m}^3$ )	Tol ( $\mu\text{g}/\text{m}^3$ )
12-dic-22	14	6.4	24	0.5	41	1.7	1.1
12-dic-22	15	5.7	25	0.4	34	1.5	1.1
12-dic-22	16	4.6	27	0.5	29	1.5	2.2
12-dic-22	17	4.6	29	0.5	25	1.4	1.2
12-dic-22	18	5.8	26	0.4	27	1.5	1.1
12-dic-22	19	3.8	25	0.4	28	1.4	1.2
12-dic-22	20	2.8	18	0.4	35	1.2	1.1
12-dic-22	21	2.0	14	0.4	39	1.5	1.3
12-dic-22	22	1.8	11	0.3	45	1.6	0.9
12-dic-22	23	0.9	7	0.3	47	1.2	0.9
12-dic-22	00	0.6	7	0.3	45	1.0	0.9
13-dic-22	01	0.7	6	0.3	42	0.9	0.6
13-dic-22	02	0.5	4	0.2	41	0.7	0.7
13-dic-22	03	0.4	5	0.2	45	0.8	0.9
13-dic-22	04	0.6	10	0.3	38	0.8	1.1
13-dic-22	05	0.5	7	0.2	43	1.0	0.8
13-dic-22	06	1.5	9	0.3	36	0.9	1.1
13-dic-22	07	5.0	19	0.4	26	1.3	1.1
13-dic-22	08	12.4	27	0.5	23	1.9	1.1
13-dic-22	09	15.3	32	0.7	23	2.6	1.7
13-dic-22	10	14.0	30	0.6	26	2.5	1.7
13-dic-22	11	16.2	37	0.7	20	3.1	2.4
13-dic-22	12	26.3	42	0.6	23	2.8	2.8
13-dic-22	13	18.5	43	0.5	19	1.9	2.0
13-dic-22	14	15.8	43	0.5	18	1.5	2.7
13-dic-22	15	18.4	47	0.6	14	1.7	2.0
13-dic-22	16	21.4	49	0.7	11	2.2	2.6
13-dic-22	17	29.6	49	0.7	8	2.5	3.0
13-dic-22	18	36.8	45	0.9	11	2.5	3.4
13-dic-22	19	38.2	44	0.9	10	3.0	3.8
13-dic-22	20	40.8	40	1.0	10	3.4	4.2
13-dic-22	21	33.6	37	1.0	10	3.5	4.6
13-dic-22	22	28.1	38	0.9	8	2.7	3.4
13-dic-22	23	27.8	37	1.0	11	2.3	3.2
13-dic-22	00	25.5	37	0.9	7	2.4	3.3
14-dic-22	01	27.8	38	0.8	7	2.1	3.4
14-dic-22	02	19.3	37	0.7	7	1.9	3.5
14-dic-22	03	9.6	32	0.6	7	1.6	2.5
14-dic-22	04	2.9	22	0.4	12	1.5	1.6
14-dic-22	05	2.3	14	0.3	21	1.3	1.4
14-dic-22	06	2.9	11	0.3	29	0.9	0.9
14-dic-22	07	4.9	18	0.4	27	1.2	0.9
14-dic-22	08	11.1	25	0.5	23	2.1	1.5
14-dic-22	09	12.9	23	0.5	23	2.6	2.5
14-dic-22	10	18.4	29	0.6	23	2.1	2.9
14-dic-22	11	11.4	23	0.5	31	1.7	1.6
14-dic-22	12	12.7	21	0.4	38	1.5	0.9
14-dic-22	13	9.0	22	0.4	39	1.6	0.9

giorno	hh	NO ( $\mu\text{g}/\text{m}^3$ )	NO2 ( $\mu\text{g}/\text{m}^3$ )	CO ( $\text{mg}/\text{m}^3$ )	O3 ( $\mu\text{g}/\text{m}^3$ )	Benz ( $\mu\text{g}/\text{m}^3$ )	Tol ( $\mu\text{g}/\text{m}^3$ )
14-dic-22	14	11.5	35	0.5	28	1.7	1.2
14-dic-22	15	9.5	38	0.6	23	2.2	1.7
14-dic-22	16	13.0	44	0.7	16	2.3	2.3
14-dic-22	17	8.8	39	0.7	18	2.9	1.9
14-dic-22	18	13.2	37	0.7	20	5.0	2.4
14-dic-22	19	16.9	36	0.8	20	2.3	1.4
14-dic-22	20	7.7	26	0.6	23	2.7	1.3
14-dic-22	21	7.2	27	0.8	20	2.9	1.3
14-dic-22	22	2.6	15	0.4	25	1.5	0.8
14-dic-22	23	1.9	14	0.6	24	1.4	0.9
14-dic-22	00	1.8	11	0.5	28	1.6	1.0
15-dic-22	01	1.3	7	0.3	31	1.0	1.1
15-dic-22	02	1.0	8	0.3	28	0.9	0.9
15-dic-22	03	0.9	6	0.3	30	0.8	0.9
15-dic-22	04	0.9	6	0.3	32	0.8	0.7
15-dic-22	05	0.7	5	0.3	38	0.7	0.9
15-dic-22	06	3.1	8	0.2	36	0.9	1.0
15-dic-22	07	3.4	11	0.3	38	0.9	0.5
15-dic-22	08	5.5	15	0.3	38	1.0	0.8
15-dic-22	09	4.1	13	0.3	41	1.1	0.7
15-dic-22	10	11.8	25	0.5	31	2.7	1.5
15-dic-22	11	15.3	35	0.6	22	2.1	1.9
15-dic-22	12	17.3	38	0.6	17	2.0	1.8
15-dic-22	13	16.6	39	0.6	15	1.8	1.9
15-dic-22	14	20.6	44	0.6	10	2.0	2.2
15-dic-22	15	32.2	47	0.8	7	2.3	3.3
15-dic-22	16	32.4	47	0.9	8	3.2	3.1
15-dic-22	17	17.5	48	0.7	6	2.1	2.4
15-dic-22	18	31.7	50	0.9	7	2.3	3.0
15-dic-22	19	50.1	51	1.5	12	6.2	3.9
15-dic-22	20	15.6	35	0.9	13	4.1	2.4
15-dic-22	21	6.5	30	0.7	17	3.0	1.8
15-dic-22	22	4.1	35	0.8	11	2.5	1.7
15-dic-22	23	3.5	31	0.7	14	3.2	1.8
15-dic-22	00	2.7	26	0.6	16	1.8	1.6
16-dic-22	01	1.4	25	0.6	16	2.1	1.5
16-dic-22	02	2.9	25	0.6	12	1.7	1.4
16-dic-22	03	1.4	21	0.6	15	1.8	1.7
16-dic-22	04	1.7	19	0.5	14	1.5	1.6
16-dic-22	05	1.7	13	0.4	18	1.2	1.2
16-dic-22	06	2.7	15	0.4	19	1.7	1.7
16-dic-22	07	10.3	26	0.5	14	2.3	1.5
16-dic-22	08	13.6	26	0.6	17	3.0	2.2
16-dic-22	09	7.3	20	0.4	21	1.8	1.3
16-dic-22	10	13.4	25	0.5	17	1.6	2.0
16-dic-22	11	14.9	32	0.5	13	1.6	1.8
16-dic-22	12	32.9	38	0.6	10	1.8	2.2
16-dic-22	13	28.7	37	0.7	9	2.1	2.0

giorno	hh	NO ( $\mu\text{g}/\text{m}^3$ )	NO2 ( $\mu\text{g}/\text{m}^3$ )	CO ( $\text{mg}/\text{m}^3$ )	O3 ( $\mu\text{g}/\text{m}^3$ )	Benz ( $\mu\text{g}/\text{m}^3$ )	Tol ( $\mu\text{g}/\text{m}^3$ )
16-dic-22	14	37.4	40	0.8	9	2.5	3.2
16-dic-22	15	22.7	38	0.7	8	1.8	2.6
16-dic-22	16	35.4	45	0.7	6	1.9	3.1
16-dic-22	17	32.5	41	0.7	5	1.4	2.3
16-dic-22	18	56.7	48	1.0	8	2.9	3.2
16-dic-22	19	46.3	42	1.1	8	4.2	3.3
16-dic-22	20	41.7	38	1.2	9	5.2	3.4
16-dic-22	21	42.1	36	1.4	10	6.2	4.0
16-dic-22	22	40.0	30	1.4	11	4.6	2.8
16-dic-22	23	28.2	31	1.0	6	3.8	3.0
16-dic-22	00	25.1	27	0.9	6	3.1	2.9
17-dic-22	01	17.5	23	0.8	6	2.7	2.5
17-dic-22	02	12.2	19	0.7	6	2.0	2.0
17-dic-22	03	6.6	12	0.5	11	1.8	1.7
17-dic-22	04	1.3	5	0.3	22	1.3	1.2
17-dic-22	05	1.0	4	0.2	36	0.6	0.8
17-dic-22	06	2.2	5	0.2	40	0.7	0.7
17-dic-22	07	2.3	6	0.2	42	0.8	0.8
17-dic-22	08	2.6	7	0.3	46	1.2	0.8
17-dic-22	09	3.4	7	0.3	51	0.9	1.0
17-dic-22	10	3.4	9	0.3	52	1.2	1.2
17-dic-22	11	4.3	10	0.3	50	1.1	0.8
17-dic-22	12	3.8	10	0.3	49	1.0	1.1
17-dic-22	13	5.7	17	0.4	41	0.8	1.0
17-dic-22	14	5.6	17	0.4	35	1.0	1.4
17-dic-22	15	4.8	16	0.5	34	2.0	1.2
17-dic-22	16	4.2	16	0.4	32	1.1	1.2
17-dic-22	17	4.7	18	0.4	27	1.5	1.2
17-dic-22	18	6.9	18	0.5	27	2.0	1.5
17-dic-22	19	3.8	17	0.5	27	2.2	1.2
17-dic-22	20	2.4	13	0.4	29	1.5	1.2
17-dic-22	21	2.9	14	0.5	28	1.2	1.1
17-dic-22	22	9.8	18	0.5	27	1.6	1.0
17-dic-22	23	7.1	12	0.4	34	1.8	1.0
17-dic-22	00	1.0	10	0.4	34	1.0	1.1
18-dic-22	01	1.3	8	0.3	37	1.0	0.9
18-dic-22	02	0.6	5	0.3	37	0.8	0.9
18-dic-22	03	0.3	4	0.2	38	0.6	0.9
18-dic-22	04	1.0	5	0.2	39	0.8	0.8
18-dic-22	05	1.1	4	0.2	38	0.7	0.8
18-dic-22	06	0.7	4	0.2	39	0.7	0.8
18-dic-22	07	0.9	5	0.2	38	0.8	1.0
18-dic-22	08	2.5	8	0.3	38	1.0	0.9
18-dic-22	09	3.1	9	0.4	39	1.2	1.0
18-dic-22	10	4.2	10	0.3	43	1.4	1.9
18-dic-22	11	3.4	10	0.3	56	0.9	0.8
18-dic-22	12	2.5	9	0.3	55	0.9	0.9
18-dic-22	13	2.7	11	0.3	49	0.9	0.9

giorno	hh	NO ( $\mu\text{g}/\text{m}^3$ )	NO2 ( $\mu\text{g}/\text{m}^3$ )	CO ( $\text{mg}/\text{m}^3$ )	O3 ( $\mu\text{g}/\text{m}^3$ )	Benz ( $\mu\text{g}/\text{m}^3$ )	Tol ( $\mu\text{g}/\text{m}^3$ )
18-dic-22	14	3.5	13	0.4	38	1.2	1.3
18-dic-22	15	3.8	17	0.5	31	1.7	1.8
18-dic-22	16	2.6	15	0.4	32	1.5	2.2
18-dic-22	17	1.9	12	0.4	34	1.1	1.0
18-dic-22	18	1.7	12	0.4	32	1.2	1.3
18-dic-22	19	2.8	12	0.4	32	1.5	0.9
18-dic-22	20	1.5	10	0.4	34	1.5	1.1
18-dic-22	21	1.2	7	0.4	37	1.5	1.1
18-dic-22	22	4.5	9	0.4	35	1.2	0.8
18-dic-22	23	0.8	7	0.4	37	1.0	0.9
18-dic-22	00	1.8	7	0.4	34	1.0	0.7
19-dic-22	01	0.6	4	0.3	37	1.1	0.8
19-dic-22	02	0.4	4	0.3	38	0.8	1.1
19-dic-22	03	0.5	3	0.3	38	0.7	0.7
19-dic-22	04	0.5	4	0.3	32	0.9	0.9
19-dic-22	05	1.0	5	0.3	34	0.7	0.6
19-dic-22	06	1.1	7	0.3	36	1.3	0.8
19-dic-22	07	10.3	18	0.4	21	1.2	1.3
19-dic-22	08	7.5	25	0.5	16	1.7	2.4
19-dic-22	09	8.0	23	0.5	18	1.8	2.1
19-dic-22	10	19.7	29	0.8	19	2.7	2.3
19-dic-22	11	18.3	27	0.6	22	3.2	1.8
19-dic-22	12	24.5	33	0.5	20	1.7	2.2
19-dic-22	13	24.5	39	0.5	18	1.9	2.3
19-dic-22	14	19.0	39	0.6	17	1.8	2.5
19-dic-22	15	12.7	35	0.6	16	1.3	2.3
19-dic-22	16	16.8	40	0.8	12	2.1	2.7
19-dic-22	17	21.8	41	0.9	12	3.5	3.3
19-dic-22	18	17.0	37	0.8	9	3.8	2.6
19-dic-22	19	12.0	35	0.8	12	2.9	2.0
19-dic-22	20	7.6	30	0.8	16	2.6	1.8
19-dic-22	21	4.2	24	0.6	19	2.5	1.0
19-dic-22	22	1.0	7	0.4	43	1.0	0.7
19-dic-22	23	0.7	5	0.3	47	0.9	0.8
19-dic-22	00	1.2	5	0.3	46	0.7	0.7
20-dic-22	01	0.8	4	0.3	47	0.8	0.5
20-dic-22	02	0.6	4	0.3	44	0.8	0.8
20-dic-22	03	0.7	4	0.3	44	0.5	0.7
20-dic-22	04	0.4	3	0.2	50	0.6	0.6
20-dic-22	05	0.9	4	0.3	48	0.8	0.7
20-dic-22	06	1.6	10	0.3	38	1.0	0.9
20-dic-22	07	10.3	26	0.4	19	1.4	1.2
20-dic-22	08	22.9	40	0.7	10	2.6	2.7
20-dic-22	09	21.5	36	0.7	13	2.5	3.1
20-dic-22	10	24.3	39	0.7	16	2.5	3.5
20-dic-22	11	16.7	34	0.6	17	2.2	3.7
20-dic-22	12	25.2	40	0.7	17	3.6	6.0
20-dic-22	13	35.2	41	0.8	13	2.4	3.8

giorno	hh	NO ( $\mu\text{g}/\text{m}^3$ )	NO2 ( $\mu\text{g}/\text{m}^3$ )	CO ( $\text{mg}/\text{m}^3$ )	O3 ( $\mu\text{g}/\text{m}^3$ )	Benz ( $\mu\text{g}/\text{m}^3$ )	Tol ( $\mu\text{g}/\text{m}^3$ )
20-dic-22	14	28.1	42	0.7	13	2.2	3.3
20-dic-22	15	29.2	45	0.7	10	2.0	3.2
20-dic-22	16	36.5	48	0.8	9	2.4	5.1
20-dic-22	17	51.7	50	1.1	10	3.1	4.3
20-dic-22	18	72.6	51	1.5	16	6.0	6.2
20-dic-22	19	62.6	47	1.8	19	10.5	7.0
20-dic-22	20	10.0	25	0.6	27	5.4	3.4
20-dic-22	21	2.5	14	0.4	41	1.3	1.3
20-dic-22	22	3.3	20	0.4	34	1.1	0.9
20-dic-22	23	4.8	27	0.5	25	1.3	1.1
20-dic-22	00	38.9	45	0.9	7	2.3	2.8
21-dic-22	01	44.3	42	0.9	7	2.4	4.3
21-dic-22	02	35.0	40	0.8	7	2.2	3.9
21-dic-22	03	42.6	39	0.9	6	2.1	3.9
21-dic-22	04	54.4	40	1.0	5	2.5	5.5
21-dic-22	05	61.5	39	1.0	5	2.7	6.3
21-dic-22	06	74.0	41	1.0	5	2.8	6.4
21-dic-22	07	71.4	37	1.0	6	4.3	6.7
21-dic-22	08	76.5	36	1.1	6	3.8	7.2
21-dic-22	09	67.1	37	1.1	7	4.3	7.6
21-dic-22	10	66.6	39	1.1	7	3.7	8.2
21-dic-22	11	81.8	45	1.1	7	3.5	7.2
21-dic-22	12	88.1	47	1.2	7	3.8	8.2
21-dic-22	13	76.6	45	1.1	7	3.5	7.1
21-dic-22	14	71.3	41	1.1	8	3.4	6.9
21-dic-22	15	67.7	42	1.1	7	3.4	7.5
21-dic-22	16	81.9	47	1.2	6	3.8	7.4
21-dic-22	17	88.6	45	1.3	8	3.8	7.5
21-dic-22	18	87.4	46	1.4	8	5.2	8.5
21-dic-22	19	94.6	43	1.5	9	5.0	8.3
21-dic-22	20	79.3	36	1.5	8	5.2	7.6
21-dic-22	21	78.3	34	1.6	9	5.5	7.7
21-dic-22	22	81.4	35	1.7	9	5.9	8.4
21-dic-22	23	78.1	33	1.6	9	6.1	8.5
21-dic-22	00	62.9	29	1.5	8	4.9	6.8
22-dic-22	01	34.8	26	1.0	6	3.3	4.8
22-dic-22	02	24.4	26	0.8	6	2.1	3.2
22-dic-22	03	37.5	27	0.9	5	2.4	4.3
22-dic-22	04	34.8	28	0.9	6	2.4	4.2
22-dic-22	05	18.8	23	0.6	6	1.9	3.0
22-dic-22	06	10.3	20	0.5	10	2.8	2.2
22-dic-22	07	6.4	16	0.3	17	1.4	1.2
22-dic-22	08	5.8	19	0.4	18	1.2	1.3
22-dic-22	09	10.7	20	0.5	23	1.8	2.0
22-dic-22	10	18.6	22	0.4	26	1.4	1.1
22-dic-22	11	23.5	28	0.6	16	1.7	1.8
22-dic-22	12	35.3	34	0.7	15	2.4	2.3
22-dic-22	13	51.4	47	0.9	14	2.3	3.3

giorno	hh	NO ( $\mu\text{g}/\text{m}^3$ )	NO2 ( $\mu\text{g}/\text{m}^3$ )	CO ( $\text{mg}/\text{m}^3$ )	O3 ( $\mu\text{g}/\text{m}^3$ )	Benz ( $\mu\text{g}/\text{m}^3$ )	Tol ( $\mu\text{g}/\text{m}^3$ )
22-dic-22	14	45.3	47	1.0	11	3.3	4.8
22-dic-22	15	43.3	44	1.0	11	3.1	4.1
22-dic-22	16	29.7	42	0.9	9	2.9	3.4
22-dic-22	17	22.5	37	1.0	11	3.6	3.8
22-dic-22	18	7.5	24	0.6	26	2.3	1.5
22-dic-22	19	3.4	14	0.4	36	1.6	1.4
22-dic-22	20	2.5	13	0.4	39	1.7	0.9
22-dic-22	21	2.4	10	0.4	40	1.3	0.9
22-dic-22	22	2.5	18	0.5	30	1.3	0.8
22-dic-22	23	2.3	18	0.5	24	1.7	1.1
22-dic-22	00	8.1	24	0.5	17	1.1	1.3
23-dic-22	01	10.6	35	0.6	6	1.6	2.9
23-dic-22	02	6.7	31	0.6	7	1.3	2.1
23-dic-22	03	2.8	22	0.5	12	1.1	1.6
23-dic-22	04	3.2	23	0.5	12	1.3	1.4
23-dic-22	05	6.1	27	0.5	8	1.7	1.9
23-dic-22	06	4.3	22	0.4	13	1.5	1.6
23-dic-22	07	13.0	24	0.4	12	1.1	1.4
23-dic-22	08	14.1	26	0.6	13	1.8	3.9
23-dic-22	09	14.1	24	0.6	18	2.1	3.0
23-dic-22	10	13.6	21	0.5	29	1.7	1.5
23-dic-22	11	22.0	30	0.6	23	2.0	1.8
23-dic-22	12	20.5	30	0.5	23	1.7	2.1
23-dic-22	13	15.9	29	0.6	24	1.6	1.7
23-dic-22	14	16.6	39	0.6	18	1.7	2.0
23-dic-22	15	24.0	45	0.8	13	2.0	3.3
23-dic-22	16	25.8	48	0.9	9	2.7	4.3
23-dic-22	17	17.1	42	0.9	10	2.1	3.3
23-dic-22	18	18.7	38	0.9	12	2.8	2.8
23-dic-22	19	15.7	34	1.0	13	3.8	2.8
23-dic-22	20	14.2	35	0.9	11	3.4	4.9
23-dic-22	21	14.5	34	1.0	9	2.9	2.5
23-dic-22	22	10.2	28	0.9	9	2.9	2.0
23-dic-22	23	7.8	27	0.7	8	2.1	1.9
23-dic-22	00	6.3	29	0.7	7	1.7	2.1
24-dic-22	01	3.2	26	0.6	8	1.5	1.8
24-dic-22	02	3.4	25	0.5	8	1.3	1.7
24-dic-22	03	2.6	21	0.4	9	1.1	1.8
24-dic-22	04	2.4	17	0.4	13	0.8	1.4
24-dic-22	05	1.9	19	0.4	12	1.3	1.2
24-dic-22	06	2.4	22	0.4	10	1.1	1.4
24-dic-22	07	6.2	24	0.5	9	1.6	1.7
24-dic-22	08	8.5	21	0.6	10	1.9	2.3
24-dic-22	09	25.3	25	0.8	11	2.2	2.6
24-dic-22	10	22.9	26	0.7	13	3.0	3.4
24-dic-22	11	17.5	25	0.6	17	1.9	2.2
24-dic-22	12	23.5	28	0.6	20	1.7	2.5
24-dic-22	13	16.5	28	0.7	20	1.7	2.1



giorno	hh	NO ( $\mu\text{g}/\text{m}^3$ )	NO2 ( $\mu\text{g}/\text{m}^3$ )	CO ( $\text{mg}/\text{m}^3$ )	O3 ( $\mu\text{g}/\text{m}^3$ )	Benz ( $\mu\text{g}/\text{m}^3$ )	Tol ( $\mu\text{g}/\text{m}^3$ )
24-dic-22	14	16.7	31	0.8	17	2.7	3.2
24-dic-22	15	11.8	31	0.8	16	3.0	3.1
24-dic-22	16	13.8	33	0.9	13	3.1	2.2
24-dic-22	17	13.1	35	1.0	10	3.2	2.8
24-dic-22	18	21.1	35	1.1	10	3.7	3.0
24-dic-22	19	20.5	31	1.0	10	3.9	2.7
24-dic-22	20	8.4	26	0.8	11	2.7	1.9
24-dic-22	21	8.1	22	0.8	11	2.4	1.6
24-dic-22	22	6.0	18	0.7	11	1.9	1.7
24-dic-22	23	4.8	16	0.6	13	1.8	1.4
24-dic-22	00	2.8	14	0.5	14	1.7	1.6
25-dic-22	01	4.6	12	0.4	15	1.3	1.6
25-dic-22	02	2.6	9	0.3	17	1.0	1.1
25-dic-22	03	2.4	9	0.3	17	0.9	0.8
25-dic-22	04	0.9	5	0.3	21	0.7	0.7
25-dic-22	05	1.6	7	0.3	19	0.6	0.9
25-dic-22	06	1.6	7	0.3	20	0.6	1.2
25-dic-22	07	2.2	8	0.4	22	1.1	0.7
25-dic-22	08	3.9	10	0.5	21	2.5	1.5
25-dic-22	09	8.4	14	0.5	21	1.4	1.6
25-dic-22	10	12.3	15	0.5	24	1.6	1.6
25-dic-22	11	8.0	13	0.5	29	1.7	1.2
25-dic-22	12	5.8	12	0.5	38	1.7	1.2
25-dic-22	13	3.6	12	0.5	36	1.3	0.8
25-dic-22	14	4.3	17	0.5	28	1.2	1.2
25-dic-22	15	7.7	26	0.8	23	2.6	1.4
25-dic-22	16	7.9	25	0.7	18	2.7	1.5
25-dic-22	17	8.4	25	0.6	16	2.3	1.3
25-dic-22	18	8.5	25	0.7	15	2.2	1.5
25-dic-22	19	5.0	18	0.7	20	2.9	1.3
25-dic-22	20	7.5	20	0.9	17	2.8	2.1
25-dic-22	21	3.3	14	0.6	19	2.2	1.3
25-dic-22	22	3.6	14	0.6	19	1.9	1.2
25-dic-22	23	2.2	11	0.5	21	1.7	1.2
25-dic-22	00	2.4	11	0.5	20	1.2	0.8
26-dic-22	01	2.8	9	0.5	23	1.3	1.2
26-dic-22	02	1.5	7	0.4	21	0.9	0.7
26-dic-22	03	1.1	5	0.3	27	1.1	0.8
26-dic-22	04	1.0	5	0.3	35	0.7	0.7
26-dic-22	05	0.6	4	0.2	48	0.5	0.6
26-dic-22	06	0.7	4	0.2	51	0.4	0.6
26-dic-22	07	1.1	5	0.2	50	0.5	0.5
26-dic-22	08	0.9	6	0.3	49	0.5	0.6
26-dic-22	09	2.7	9	0.3	45	1.0	0.6
26-dic-22	10	3.1	11	0.3	44	0.9	0.8
26-dic-22	11	4.9	19	0.5	33	1.6	1.4
26-dic-22	12	8.9	26	0.5	26	2.0	1.3
26-dic-22	13	8.1	25	0.7	26	2.1	1.3

giorno	hh	NO ( $\mu\text{g}/\text{m}^3$ )	NO2 ( $\mu\text{g}/\text{m}^3$ )	CO ( $\text{mg}/\text{m}^3$ )	O3 ( $\mu\text{g}/\text{m}^3$ )	Benz ( $\mu\text{g}/\text{m}^3$ )	Tol ( $\mu\text{g}/\text{m}^3$ )
26-dic-22	14	5.7	23	0.6	26	2.8	1.9
26-dic-22	15	6.9	30	0.8	18	2.8	1.6
26-dic-22	16	14.0	37	1.0	11	3.1	2.3
26-dic-22	17	16.3	37	0.9	9	3.8	2.8
26-dic-22	18	13.6	34	1.2	15	4.8	2.2
26-dic-22	19	16.3	34	1.2	10	4.6	2.6
26-dic-22	20	10.6	31	1.1	10	4.9	2.4
26-dic-22	21	10.2	24	1.0	13	3.6	1.8
26-dic-22	22	8.6	18	0.8	14	2.5	1.5
26-dic-22	23	1.6	8	0.4	24	1.6	1.0
26-dic-22	00	1.3	6	0.4	31	1.2	0.7
27-dic-22	01	1.4	5	0.3	34	0.8	0.8
27-dic-22	02	0.7	4	0.3	35	0.6	0.5
27-dic-22	03	0.5	4	0.3	35	0.6	0.7
27-dic-22	04	0.6	4	0.2	39	0.8	0.8
27-dic-22	05	0.8	4	0.2	39	0.8	0.5
27-dic-22	06	1.9	5	0.2	38	0.4	0.5
27-dic-22	07	1.0	6	0.2	38	0.6	0.7
27-dic-22	08	1.6	7	0.3	39	0.7	0.6
27-dic-22	09	3.0	10	0.3	39	0.9	0.7
27-dic-22	10	4.1	11	0.3	39	1.1	0.8
27-dic-22	11	11.1	22	0.4	31	1.2	1.6
27-dic-22	12	12.2	25	0.4	32	1.4	1.4
27-dic-22	13	7.0	17	0.4	30	1.1	2.5
27-dic-22	14	7.4	22	0.6	24	2.2	2.0
27-dic-22	15	6.4	22	0.6	23	1.7	1.8
27-dic-22	16	6.2	25	0.7	20	2.1	2.0
27-dic-22	17	7.5	24	0.6	21	2.1	1.7
27-dic-22	18	6.7	21	0.6	28	2.3	1.5
27-dic-22	19	2.1	13	0.4	35	1.2	1.3
27-dic-22	20	2.4	13	0.5	33	1.3	1.0
27-dic-22	21	1.9	12	0.6	31	1.7	1.3
27-dic-22	22	1.7	11	0.5	31	1.4	1.0
27-dic-22	23	1.1	8	0.4	35	1.4	0.8
27-dic-22	00	1.0	6	0.3	38	1.1	0.8
28-dic-22	01	0.6	5	0.3	40	1.0	0.8
28-dic-22	02	0.6	5	0.3	41	0.7	0.6
28-dic-22	03	0.6	4	0.3	43	0.8	0.6
28-dic-22	04	0.5	4	0.3	43	1.0	0.6
28-dic-22	05	0.8	4	0.3	43	0.5	0.8
28-dic-22	06	1.1	6	0.3	40	0.6	0.8
28-dic-22	07	1.6	9	0.3	37	0.7	0.8
28-dic-22	08	2.3	10	0.3	37	0.7	1.0
28-dic-22	09	7.1	16	0.4	31	1.2	1.3
28-dic-22	10	17.0	23	0.5	32	1.4	1.6
28-dic-22	11	11.5	25	0.5	28	1.6	1.7
28-dic-22	12	7.2	21	0.4	34	1.3	1.5
28-dic-22	13	8.3	21	0.5	38	1.3	1.4

giorno	hh	NO ( $\mu\text{g}/\text{m}^3$ )	NO2 ( $\mu\text{g}/\text{m}^3$ )	CO ( $\text{mg}/\text{m}^3$ )	O3 ( $\mu\text{g}/\text{m}^3$ )	Benz ( $\mu\text{g}/\text{m}^3$ )	Tol ( $\mu\text{g}/\text{m}^3$ )
28-dic-22	14	5.4	21	0.5	33	2.1	1.7
28-dic-22	15	6.8	24	0.6	26	1.6	2.0
28-dic-22	16	5.4	25	0.6	22	2.0	2.2
28-dic-22	17	7.8	33	0.8	15	4.5	3.1
28-dic-22	18	8.2	31	0.9	19	3.4	2.4
28-dic-22	19	10.6	31	0.8	13	3.8	1.9
28-dic-22	20	5.2	23	0.7	18	2.0	2.0
28-dic-22	21	7.0	23	0.8	17	2.4	1.8
28-dic-22	22	4.1	20	0.8	16	1.9	1.6
28-dic-22	23	2.7	17	0.7	17	1.4	1.5
28-dic-22	00	2.4	14	0.6	20	1.8	1.6
29-dic-22	01	1.3	8	0.4	35	1.5	1.2
29-dic-22	02	0.9	9	0.4	35	1.1	1.0
29-dic-22	03	0.8	7	0.4	40	0.9	0.9
29-dic-22	04	0.7	6	0.4	39	0.9	0.9
29-dic-22	05	2.0	11	0.4	28	1.1	1.0
29-dic-22	06	2.5	15	0.5	23	1.4	1.5
29-dic-22	07	5.0	20	0.5	17	2.0	1.4
29-dic-22	08	8.2	24	0.6	12	1.8	2.0
29-dic-22	09	16.5	25	0.7	16	3.2	2.6
29-dic-22	10	21.0	28	0.8	17	3.4	2.5
29-dic-22	11	10.3	22	0.6	27	2.2	1.4
29-dic-22	12	9.7	25	0.5	26	1.8	2.0
29-dic-22	13	5.6	25	0.6	30	1.8	1.9
29-dic-22	14	8.0	32	0.6	20	1.7	1.9
29-dic-22	15	13.0	37	0.8	15	1.6	2.9
29-dic-22	16	15.6	39	0.8	9	1.9	2.5
29-dic-22	17	26.2	38	0.9	8	2.7	3.6
29-dic-22	18	28.9	40	1.0	7	2.1	3.1
29-dic-22	19	28.2	39	1.0	8	3.2	3.4
29-dic-22	20	17.3	36	0.9	7	2.7	2.9
29-dic-22	21	22.0	34	1.0	8	3.0	3.0
29-dic-22	22	16.4	33	0.9	6	2.4	2.8
29-dic-22	23	12.7	33	0.8	7	2.4	2.3
29-dic-22	00	15.0	31	0.8	5	2.0	3.8
30-dic-22	01	5.1	25	0.6	11	1.9	2.4
30-dic-22	02	3.8	19	0.6	13	1.7	2.1
30-dic-22	03	1.6	14	0.5	25	1.2	1.2
30-dic-22	04	1.7	14	0.5	21	1.4	1.5
30-dic-22	05	1.5	11	0.4	21	1.2	1.3
30-dic-22	06	5.5	14	0.5	19	1.3	1.3
30-dic-22	07	3.6	15	0.4	18	1.3	1.4
30-dic-22	08	7.9	18	0.5	16	2.1	1.5
30-dic-22	09	16.9	25	0.6	13	1.9	2.4
30-dic-22	10	11.5	23	0.6	17	1.8	2.2
30-dic-22	11	10.1	25	0.6	15	1.6	1.5
30-dic-22	12	17.5	31	0.6	12	1.8	2.2
30-dic-22	13	17.7	31	0.7	11	2.4	2.4

giorno	hh	NO ( $\mu\text{g}/\text{m}^3$ )	NO2 ( $\mu\text{g}/\text{m}^3$ )	CO ( $\text{mg}/\text{m}^3$ )	O3 ( $\mu\text{g}/\text{m}^3$ )	Benz ( $\mu\text{g}/\text{m}^3$ )	Tol ( $\mu\text{g}/\text{m}^3$ )
30-dic-22	14	16.6	31	0.7	13	2.4	2.2
30-dic-22	15	15.1	34	0.8	9	2.4	2.3
30-dic-22	16	20.8	35	1.0	9	3.3	2.5
30-dic-22	17	17.4	29	1.0	9	3.6	2.4
30-dic-22	18	18.5	26	1.0	9	3.6	2.4
30-dic-22	19	15.3	21	1.0	10	3.8	2.1
30-dic-22	20	17.2	25	1.0	8	3.5	2.2
30-dic-22	21	13.7	19	1.0	8	3.0	2.3
30-dic-22	22	9.6	16	0.7	11	2.6	1.6
30-dic-22	23	2.3	7	0.4	19	1.2	0.8
30-dic-22	00	1.9	6	0.4	22	1.0	0.9
31-dic-22	01	2.1	5	0.3	26	0.8	1.0
31-dic-22	02	1.0	4	0.3	28	0.7	0.8
31-dic-22	03	0.9	4	0.3	29	0.8	0.6
31-dic-22	04	0.8	3	0.3	31	0.4	0.7
31-dic-22	05	0.8	3	0.3	32	0.6	0.6
31-dic-22	06	1.5	4	0.3	33	0.5	0.3
31-dic-22	07	0.9	4	0.3	35	0.5	0.5
31-dic-22	08	2.4	6	0.3	34	0.7	0.6
31-dic-22	09	3.1	8	0.4	33	0.7	0.9
31-dic-22	10	5.5	9	0.4	34	0.8	0.9
31-dic-22	11	8.1	14	0.5	30	1.2	3.2
31-dic-22	12	17.8	27	0.7	21	1.6	1.5
31-dic-22	13	19.0	32	0.8	23	2.2	1.9
31-dic-22	14	14.5	32	0.9	22	2.6	1.8
31-dic-22	15	15.0	30	0.9	20	3.9	2.1
31-dic-22	16	11.6	31	0.9	14	2.9	2.0
31-dic-22	17	12.6	32	1.1	13	3.5	2.5
31-dic-22	18	14.8	34	1.2	11	6.8	3.4
31-dic-22	19	15.3	24	0.9	14	4.1	2.7
31-dic-22	20	2.6	12	0.5	24	1.7	1.2
31-dic-22	21	4.0	21	0.8	16	2.1	1.3
31-dic-22	22	3.0	20	0.7	16	2.0	1.4
31-dic-22	23	7.9	28	0.9	9	2.8	1.6
31-dic-22	00	16.1	25	0.9	9	2.5	1.6
01-gen-23	01	9.6	23	0.9	9	2.8	2.0
01-gen-23	02	8.7	20	0.8	10	2.4	2.1
01-gen-23	03	4.1	16	0.7	10	2.2	2.0
01-gen-23	04	2.6	10	0.5	13	1.4	1.1
01-gen-23	05	2.3	16	0.6	10	1.4	1.3
01-gen-23	06	2.1	12	0.5	11	1.3	1.5
01-gen-23	07	3.7	12	0.5	9	1.3	1.1
01-gen-23	08	5.5	15	0.6	8	1.6	1.7
01-gen-23	09	11.0	17	0.7	11	2.6	1.8
01-gen-23	10	11.8	17	0.7	15	2.0	1.6
01-gen-23	11	19.1	19	0.7	14	3.0	1.9
01-gen-23	12	15.0	19	0.8	18	2.2	1.6
01-gen-23	13	8.3	17	0.7	23	2.5	1.6

giorno	hh	NO ( $\mu\text{g}/\text{m}^3$ )	NO2 ( $\mu\text{g}/\text{m}^3$ )	CO ( $\text{mg}/\text{m}^3$ )	O3 ( $\mu\text{g}/\text{m}^3$ )	Benz ( $\mu\text{g}/\text{m}^3$ )	Tol ( $\mu\text{g}/\text{m}^3$ )
01-gen-23	14	10.0	23	0.9	19	2.5	1.7
01-gen-23	15	10.7	28	0.9	17	3.1	2.1
01-gen-23	16	8.7	32	1.0	12	2.6	1.7
01-gen-23	17	26.1	36	1.3	12	6.2	3.0
01-gen-23	18	19.5	31	1.3	9	5.3	2.7
01-gen-23	19	18.8	28	1.4	12	4.4	2.1
01-gen-23	20	17.0	29	1.3	9	5.5	2.9
01-gen-23	21	16.7	24	1.3	10	4.1	2.2
01-gen-23	22	5.7	17	0.9	10	4.1	2.0
01-gen-23	23	3.7	12	0.6	9	2.1	1.7
01-gen-23	00	3.6	11	0.7	9	1.8	1.4
02-gen-23	01	2.0	7	0.5	10	1.4	1.4
02-gen-23	02	2.3	7	0.5	12	1.5	1.2
02-gen-23	03	1.6	5	0.4	16	1.2	1.0
02-gen-23	04	5.8	20	0.7	8	1.7	1.2
02-gen-23	05	14.1	21	0.9	6	2.2	2.2
02-gen-23	06	8.8	17	0.7	6	2.1	1.9
02-gen-23	07	11.3	19	0.7	6	2.6	1.9
02-gen-23	08	17.1	18	0.8	6	2.4	2.5
02-gen-23	09	24.5	18	0.9	8	3.2	2.9
02-gen-23	10	30.3	20	1.0	10	3.2	3.3
02-gen-23	11	34.6	24	1.1	11	4.6	6.7
02-gen-23	12	24.6	23	0.9	11	3.0	3.0
02-gen-23	13	20.5	23	0.9	10	2.4	2.3
02-gen-23	14	25.5	25	0.9	9	2.7	2.6
02-gen-23	15	22.4	26	0.9	8	2.8	2.4
02-gen-23	16	23.4	30	0.9	6	2.5	3.0
02-gen-23	17	27.0	28	1.1	7	3.1	3.4
02-gen-23	18	21.6	25	1.0	6	3.4	4.0
02-gen-23	19	33.5	27	1.3	9	5.7	3.4
02-gen-23	20	30.3	26	1.3	8	4.6	3.0
02-gen-23	21	35.4	23	1.4	8	4.2	2.9
02-gen-23	22	36.0	21	1.4	8	4.5	4.0
02-gen-23	23	38.1	19	1.6	9	4.9	4.1
02-gen-23	00	26.7	17	1.4	8	4.1	3.4
03-gen-23	01	20.8	16	1.1	6	3.3	3.7
03-gen-23	02	17.7	18	1.0	5	2.8	2.5
03-gen-23	03	18.5	15	1.0	5	3.0	3.0
03-gen-23	04	17.4	15	0.9	5	2.4	2.7
03-gen-23	05	17.5	14	0.9	5	2.5	2.8
03-gen-23	06	15.6	13	0.8	5	2.4	2.5
03-gen-23	07	18.8	11	0.7	5	2.8	2.4
03-gen-23	08	27.7	12	0.9	6	2.9	2.9
03-gen-23	09	30.6	15	0.9	8	3.3	3.3
03-gen-23	10	19.5	20	0.9	8	2.5	3.1
03-gen-23	11	23.9	21	0.9	8	2.7	2.8
03-gen-23	12	41.9	27	0.9	8	3.5	2.7
03-gen-23	13	27.5	24	0.9	8	2.2	2.8

giorno	hh	NO ( $\mu\text{g}/\text{m}^3$ )	NO2 ( $\mu\text{g}/\text{m}^3$ )	CO ( $\text{mg}/\text{m}^3$ )	O3 ( $\mu\text{g}/\text{m}^3$ )	Benz ( $\mu\text{g}/\text{m}^3$ )	Tol ( $\mu\text{g}/\text{m}^3$ )
03-gen-23	14	26.6	25	0.9	8	2.8	2.9
03-gen-23	15	33.9	25	0.9	6	2.1	2.4
03-gen-23	16	27.2	27	0.8	5	2.2	2.4
03-gen-23	17	32.1	28	0.9	5	2.1	3.4
03-gen-23	18	36.0	25	1.2	9	3.8	2.9
03-gen-23	19	28.3	21	1.2	8	4.3	2.9
03-gen-23	20	17.9	18	0.9	7	2.9	2.6
03-gen-23	21	21.2	17	1.1	8	3.4	3.7
03-gen-23	22	11.5	13	0.9	8	3.4	1.9
03-gen-23	23	13.1	15	0.9	8	2.4	1.6
03-gen-23	00	9.1	14	0.7	6	2.1	1.7
04-gen-23	01	16.3	18	0.8	5	2.2	2.2
04-gen-23	02	15.5	15	0.8	5	2.2	2.4
04-gen-23	03	15.7	15	0.8	5	2.3	2.0
04-gen-23	04	8.2	12	0.6	5	1.7	2.0
04-gen-23	05	6.7	12	0.6	6	2.4	1.8
04-gen-23	06	5.1	9	0.5	7	1.9	1.4
04-gen-23	07	5.3	11	0.5	8	3.7	1.8
04-gen-23	08	12.5	15	0.7	9	1.4	1.5
04-gen-23	09	18.9	16	0.8	10	2.2	2.4
04-gen-23	10	22.5	16	0.9	10	2.7	3.1
04-gen-23	11	27.6	21	0.9	10	2.6	2.8
04-gen-23	12	19.7	22	0.8	10	2.0	2.3
04-gen-23	13	21.8	27	0.7	10	2.2	2.3
04-gen-23	14	17.1	27	0.7	9	1.9	2.0
04-gen-23	15	14.1	28	0.6	9	2.0	1.8
04-gen-23	16	12.0	28	0.6	9	2.0	1.9
04-gen-23	17	18.0	34	0.7	7	1.7	2.1
04-gen-23	18	17.1	31	0.7	6	1.9	2.0
04-gen-23	19	11.7	26	0.8	8	2.1	1.9
04-gen-23	20	9.5	23	0.9	8	2.6	1.9
04-gen-23	21	13.5	22	1.0	10	3.7	2.2
04-gen-23	22	8.4	19	0.8	10	2.5	2.1
04-gen-23	23	3.4	15	0.7	12	1.4	1.3
04-gen-23	00	2.0	9	0.5	19	1.1	0.9
05-gen-23	01	1.2	6	0.4	25	1.1	0.9
05-gen-23	02	1.3	7	0.4	21	0.8	0.6
05-gen-23	03	1.1	5	0.3	23	0.8	0.9
05-gen-23	04	0.9	4	0.3	26	0.5	1.0
05-gen-23	05	1.5	7	0.4	27	0.8	1.2
05-gen-23	06	3.6	9	0.3	28	1.1	0.9
05-gen-23	07	5.1	11	0.3	27	0.6	0.9
05-gen-23	08	3.0	10	0.4	32	0.9	1.0
05-gen-23	09	5.4	14	0.5	30	1.3	1.0
05-gen-23	10	6.1	14	0.5	30	1.1	0.9
05-gen-23	11	13.4	19	0.6	32	2.1	1.7
05-gen-23	12	14.1	23	0.5	31	1.2	1.2
05-gen-23	13	7.9	19	0.4	38	1.3	1.2

giorno	hh	NO ( $\mu\text{g}/\text{m}^3$ )	NO2 ( $\mu\text{g}/\text{m}^3$ )	CO ( $\text{mg}/\text{m}^3$ )	O3 ( $\mu\text{g}/\text{m}^3$ )	Benz ( $\mu\text{g}/\text{m}^3$ )	Tol ( $\mu\text{g}/\text{m}^3$ )
05-gen-23	14	5.6	20	0.5	34	1.2	1.2
05-gen-23	15	7.5	24	0.6	28	1.9	2.1
05-gen-23	16	7.7	27	0.7	23	2.2	2.6
05-gen-23	17	10.7	26	0.7	24	2.0	2.2
05-gen-23	18	8.6	25	0.8	22	2.5	2.1
05-gen-23	19	7.7	23	0.7	24	2.7	1.3
05-gen-23	20	4.6	19	0.7	27	2.0	1.4
05-gen-23	21	3.8	20	0.7	22	1.5	1.6
05-gen-23	22	3.0	22	0.7	17	2.0	1.3
05-gen-23	23	2.4	19	0.6	19	1.4	1.4
05-gen-23	00	2.2	20	0.6	15	1.4	1.6
06-gen-23	01	3.0	16	0.5	17	1.6	1.5
06-gen-23	02	1.4	11	0.4	24	1.1	1.3
06-gen-23	03	1.2	11	0.4	24	0.8	0.9
06-gen-23	04	1.0	11	0.4	24	1.0	1.1
06-gen-23	05	0.9	7	0.3	32	0.6	1.3
06-gen-23	06	1.5	8	0.3	35	0.5	1.1
06-gen-23	07	1.8	11	0.4	32	1.5	0.8
06-gen-23	08	7.1	19	0.4	26	0.9	1.2
06-gen-23	09	7.6	23	0.6	27	1.5	1.9
06-gen-23	10	13.9	24	0.7	22	2.4	2.6
06-gen-23	11	21.8	23	0.8	20	2.6	2.3
06-gen-23	12	15.0	22	0.7	21	2.0	2.4
06-gen-23	13	12.8	23	0.7	23	2.1	1.7
06-gen-23	14	15.9	29	0.9	20	2.3	2.1
06-gen-23	15	12.5	27	0.7	16	2.1	1.9
06-gen-23	16	7.5	26	0.7	14	1.9	1.8
06-gen-23	17	6.4	26	0.8	14	2.4	2.3
06-gen-23	18	10.0	25	0.8	15	2.4	1.9
06-gen-23	19	9.2	27	0.9	12	4.8	2.1
06-gen-23	20	6.5	22	0.7	14	2.3	1.6
06-gen-23	21	4.2	21	0.7	15	1.7	2.1
06-gen-23	22	6.3	20	0.7	19	2.0	1.7
06-gen-23	23	5.6	17	0.6	21	1.5	1.4
06-gen-23	00	1.6	13	0.5	20	1.2	1.4
07-gen-23	01	1.6	12	0.5	18	1.1	1.3
07-gen-23	02	1.8	12	0.5	18	1.4	1.2
07-gen-23	03	1.5	13	0.5	16	1.2	1.2
07-gen-23	04	1.4	12	0.5	18	1.3	1.3
07-gen-23	05	1.7	12	0.4	18	0.8	1.2
07-gen-23	06	2.7	11	0.4	17	0.8	1.0
07-gen-23	07	7.9	18	0.5	13	1.1	1.1
07-gen-23	08	10.7	20	0.6	12	2.0	1.3
07-gen-23	09	15.3	22	0.7	16	1.8	2.0
07-gen-23	10	23.7	25	0.7	23	2.4	2.3
07-gen-23	11	26.0	26	0.7	23	2.7	2.6
07-gen-23	12	10.0	21	0.6	30	1.9	1.9
07-gen-23	13	6.6	18	0.6	34	1.3	1.4

giorno	hh	NO ( $\mu\text{g}/\text{m}^3$ )	NO2 ( $\mu\text{g}/\text{m}^3$ )	CO ( $\text{mg}/\text{m}^3$ )	O3 ( $\mu\text{g}/\text{m}^3$ )	Benz ( $\mu\text{g}/\text{m}^3$ )	Tol ( $\mu\text{g}/\text{m}^3$ )
07-gen-23	14	5.0	19	0.5	29	1.3	1.7
07-gen-23	15	4.9	20	0.7	28	1.9	1.7
07-gen-23	16	7.6	25	0.8	21	1.6	1.6
07-gen-23	17	6.7	26	0.8	19	2.1	2.0
07-gen-23	18	8.9	28	0.8	16	3.6	1.5
07-gen-23	19	7.0	26	0.8	17	2.6	1.6
07-gen-23	20	8.5	26	0.9	18	2.9	1.6
07-gen-23	21	4.1	20	0.7	20	2.2	1.4
07-gen-23	22	4.3	20	0.8	20	2.5	1.1
07-gen-23	23	3.2	18	0.7	19	1.9	1.2
07-gen-23	00	3.0	17	0.6	20	2.0	1.2
08-gen-23	01	1.4	13	0.6	23	1.3	1.2
08-gen-23	02	1.1	10	0.5	26	1.3	1.2
08-gen-23	03	1.1	13	0.5	25	1.2	1.1
08-gen-23	04	1.4	16	0.5	22	1.5	1.2
08-gen-23	05	1.1	15	0.5	23	1.4	1.1
08-gen-23	06	2.6	15	0.5	21	1.0	1.0
08-gen-23	07	1.8	12	0.4	25	1.0	0.8
08-gen-23	08	3.1	12	0.4	29	1.3	1.3
08-gen-23	09	5.8	20	0.6	20	2.1	1.4
08-gen-23	10	11.8	26	0.8	18	2.6	1.6
08-gen-23	11	16.0	26	0.9	17	2.4	1.4
08-gen-23	12	10.3	27	0.7	17	2.9	1.6
08-gen-23	13	9.9	29	0.8	14	2.0	1.4
08-gen-23	14	7.9	28	0.8	13	2.1	1.7
08-gen-23	15	7.4	25	0.7	29	2.2	1.5
08-gen-23	16	2.6	11	0.4	55	1.2	0.9
08-gen-23	17	3.6	11	0.4	55	0.9	0.7
08-gen-23	18	2.9	10	0.4	54	1.2	0.8
08-gen-23	19	2.6	10	0.4	54	1.2	0.6
08-gen-23	20	0.8	7	0.4	56	0.9	0.7
08-gen-23	21	2.0	9	0.4	57	1.1	0.8
08-gen-23	22	1.7	7	0.4	60	0.9	0.6
08-gen-23	23	0.6	6	0.4	61	1.1	0.5
08-gen-23	00	0.6	5	0.4	61	0.6	0.4
09-gen-23	01	0.7	6	0.3	60	0.6	0.8
09-gen-23	02	0.5	6	0.4	57	0.6	0.5
09-gen-23	03	0.6	7	0.4	47	0.6	0.8
09-gen-23	04	0.7	7	0.4	45	0.5	0.6
09-gen-23	05	1.0	9	0.4	44	0.7	0.9
09-gen-23	06	1.3	11	0.4	38	1.1	0.8
09-gen-23	07	16.0	30	0.5	20	1.1	1.0
09-gen-23	08	16.1	32	0.6	18	2.1	1.8
09-gen-23	09	5.9	18	0.5	32	1.6	1.4
09-gen-23	10	6.8	25	0.5	26	1.2	1.1
09-gen-23	11	6.9	25	0.6	32	1.5	0.9
09-gen-23	12	6.9	18	0.5	50	1.3	1.2
09-gen-23	13	3.6	11	0.4	64	1.0	0.9



giorno	hh	NO ( $\mu\text{g}/\text{m}^3$ )	NO2 ( $\mu\text{g}/\text{m}^3$ )	CO ( $\text{mg}/\text{m}^3$ )	O3 ( $\mu\text{g}/\text{m}^3$ )	Benz ( $\mu\text{g}/\text{m}^3$ )	Tol ( $\mu\text{g}/\text{m}^3$ )
09-gen-23	14	3.1	14	0.5	57	1.2	0.8
09-gen-23	15	3.0	14	0.5	51	1.1	1.2
09-gen-23	16	3.0	15	0.5	52	2.6	1.1
09-gen-23	17	4.1	19	0.6	45	1.5	1.0
09-gen-23	18	3.4	16	0.5	48	1.3	0.7
09-gen-23	19	3.5	13	0.5	51	1.0	0.7
09-gen-23	20	2.0	10	0.4	58	1.0	0.6
09-gen-23	21	1.1	8	0.4	61	1.1	0.6
09-gen-23	22	1.2	6	0.4	58	1.0	0.6
09-gen-23	23	0.9	5	0.4	62	0.8	0.6
09-gen-23	00	0.5	4	0.3	62	0.6	0.3
10-gen-23	01	0.6	4	0.3	60	0.7	0.4
10-gen-23	02	0.3	3	0.3	61	0.4	0.3
10-gen-23	03	0.4	3	0.3	59	0.5	0.5
10-gen-23	04	0.3	3	0.3	61	0.5	0.4
10-gen-23	05	0.4	4	0.3	60	0.6	0.5
10-gen-23	06	1.3	5	0.3	57	0.7	0.4
10-gen-23	07	1.4	9	0.4	55	0.9	0.6
10-gen-23	08	3.1	12	0.4	56	0.6	0.8
10-gen-23	09	2.0	11	0.5	57	1.0	1.1
10-gen-23	10	3.7	11	0.4	70	0.8	1.1
10-gen-23	11	3.1	10	0.4	74	0.7	0.5
10-gen-23	12	2.4	6	0.3	81	0.6	0.5
10-gen-23	13	1.7	4	0.3	84	0.6	0.4
10-gen-23	14	2.0	7	0.4	83	0.6	0.8
10-gen-23	15	2.8	8	0.3	84	0.6	0.4
10-gen-23	16	2.4	9	0.4	80	0.8	0.5
10-gen-23	17	4.4	14	0.5	71	1.2	0.7
10-gen-23	18	3.7	12	0.4	67	1.0	0.8
10-gen-23	19	2.4	9	0.4	69	1.0	0.7
10-gen-23	20	1.3	7	0.4	70	0.8	0.5
10-gen-23	21	1.2	5	0.4	71	0.9	0.6
10-gen-23	22	0.9	4	0.4	70	0.6	0.5
10-gen-23	23	0.8	4	0.4	68	0.6	0.6
10-gen-23	00	0.5	3	0.4	68	0.6	0.8
11-gen-23	01	0.6	3	0.3	68	0.6	0.5
11-gen-23	02	0.5	2	0.3	69	0.6	0.7
11-gen-23	03	0.9	3	0.3	70	0.6	0.6
11-gen-23	04	0.5	3	0.3	69	0.7	1.9
11-gen-23	05	0.4	2	0.3	70	0.5	0.4
11-gen-23	06	1.2	5	0.3	66	0.7	0.4
11-gen-23	07	1.6	9	0.3	59	0.6	0.5
11-gen-23	08	1.6	10	0.4	57	0.7	0.7
11-gen-23	09	2.5	14	0.5	52	1.2	1.0
11-gen-23	10	6.0	15	0.5	51	1.0	0.8
11-gen-23	11	11.0	27	0.5	44	1.7	1.6
11-gen-23	12	10.7	34	0.6	39	1.6	2.7
11-gen-23	13	15.6	41	0.6	34	1.4	1.4

giorno	hh	NO ( $\mu\text{g}/\text{m}^3$ )	NO2 ( $\mu\text{g}/\text{m}^3$ )	CO ( $\text{mg}/\text{m}^3$ )	O3 ( $\mu\text{g}/\text{m}^3$ )	Benz ( $\mu\text{g}/\text{m}^3$ )	Tol ( $\mu\text{g}/\text{m}^3$ )
11-gen-23	14	10.5	43	0.6	31	1.3	1.6
11-gen-23	15	11.6	47	0.7	28	1.6	2.6
11-gen-23	16	12.7	49	0.9	21	2.3	2.6
11-gen-23	17	12.8	46	0.8	21	3.3	2.6
11-gen-23	18	5.5	31	0.7	34	1.9	1.6
11-gen-23	19	4.6	33	0.8	33	2.1	1.2
11-gen-23	20	4.9	32	0.9	31	2.2	1.4
11-gen-23	21	5.1	29	0.9	24	3.1	1.4
11-gen-23	22	2.5	24	0.6	35	3.2	1.4
11-gen-23	23	2.4	38	0.7	22		
11-gen-23	00	1.7	27	0.6	25		
12-gen-23	01	1.3	19	0.5	26		
12-gen-23	02	1.0	10	0.4	35		
12-gen-23	03	0.6	5	0.4	44		
12-gen-23	04	0.7	4	0.4	46		
12-gen-23	05	1.4	9	0.4	39		
12-gen-23	06	4.7	10	0.4	35		
12-gen-23	07	6.9	20	0.4	29		
12-gen-23	08	7.7	22	0.5	32		
12-gen-23	09	4.0	16	0.5	40	1.9	1.0
12-gen-23	10	6.4	17	0.5	40	1.7	1.3
12-gen-23	11	12.3	25	0.6	35	1.1	1.8
12-gen-23	12	19.6	33	0.6	35	1.6	1.6
12-gen-23	13	9.1	23	0.5	41	1.6	1.5
12-gen-23	14	14.0	39	0.7	28	2.1	1.7
12-gen-23	15	13.8	43	0.8	20	1.9	2.3
12-gen-23	16	9.5	39	0.7	22	2.0	1.8
12-gen-23	17	6.5	29	0.7	30	2.2	1.9
12-gen-23	18	3.5	19	0.6	39	1.5	1.4
12-gen-23	19	2.7	15	0.5	45	1.5	0.9
12-gen-23	20	2.1	12	0.5	50	1.0	0.9
12-gen-23	21	1.4	9	0.5	53	1.3	0.8
12-gen-23	22	1.1	8	0.5	55	1.0	0.7
12-gen-23	23	1.3	6	0.4	56	1.0	0.5
12-gen-23	00	0.5	5	0.4	59	0.6	0.6
13-gen-23	01	1.1	4	0.4	60	0.8	0.6
13-gen-23	02	0.4	3	0.3	62	0.5	0.5
13-gen-23	03	0.4	3	0.3	61	0.6	0.4
13-gen-23	04	0.5	3	0.3	60	0.4	0.4
13-gen-23	05	0.6	5	0.3	58	0.8	0.6
13-gen-23	06	0.7	5	0.3	58	0.5	0.5
13-gen-23	07	1.1	9	0.4	53	1.1	0.9
13-gen-23	08	2.2	10	0.4	52	0.9	0.7
13-gen-23	09	2.6	13	0.5	49	1.6	1.2
13-gen-23	10	4.7	17	0.5	45	1.1	1.0
13-gen-23	11	19.0	34	0.6	37	2.1	1.6
13-gen-23	12	11.8	30	0.7	40	1.8	1.8
13-gen-23	13	18.2	36	0.7	33	2.0	1.7

giorno	hh	NO ( $\mu\text{g}/\text{m}^3$ )	NO2 ( $\mu\text{g}/\text{m}^3$ )	CO ( $\text{mg}/\text{m}^3$ )	O3 ( $\mu\text{g}/\text{m}^3$ )	Benz ( $\mu\text{g}/\text{m}^3$ )	Tol ( $\mu\text{g}/\text{m}^3$ )
13-gen-23	14	11.0	34	0.6	34	1.7	1.5
13-gen-23	15	7.8	32	0.7	32	1.8	2.0
13-gen-23	16	9.9	36	0.8	27	1.9	1.9
13-gen-23	17	10.1	35	0.8	33	3.1	1.5
13-gen-23	18	6.4	22	0.6	42	3.2	1.5
13-gen-23	19	4.0	19	0.5	48	1.5	0.9
13-gen-23	20	2.5	13	0.5	52	1.2	0.9
13-gen-23	21	1.1	8	0.5	58	1.1	0.9
13-gen-23	22	1.8	8	0.5	58	0.9	0.7
13-gen-23	23	0.9	6	0.4	58	0.9	0.6
13-gen-23	00	0.8	6	0.4	57	0.6	0.6
14-gen-23	01	0.6	4	0.4	62	0.8	0.5
14-gen-23	02	0.8	3	0.3	65	0.7	0.9
14-gen-23	03	0.4	3	0.3	67	0.4	0.5
14-gen-23	04	0.8	3	0.3	68	0.5	0.5
14-gen-23	05	0.4	3	0.3	70	0.5	0.4
14-gen-23	06	0.8	3	0.3	71	0.5	0.4
14-gen-23	07	0.9	6	0.4	69	0.7	0.5
14-gen-23	08	1.9	11	0.4	59	0.7	0.9
14-gen-23	09	7.2	24	0.6	45	1.8	1.3
14-gen-23	10	6.9	19	0.5	54	1.2	1.6
14-gen-23	11	6.7	21	0.5	50	1.3	1.2
14-gen-23	12	10.5	26	0.5	51	1.1	1.0
14-gen-23	13	6.9	25	0.6	50	1.6	1.2
14-gen-23	14	4.2	24	0.6	52	1.1	1.5
14-gen-23	15	4.5	27	0.7	45	3.3	2.2
14-gen-23	16	4.3	29	0.7	37	2.6	1.8
14-gen-23	17	4.4	27	0.7	38	2.5	2.0
14-gen-23	18	4.0	24	0.7	39	1.7	1.4
14-gen-23	19	4.2	20	0.6	43	1.9	1.7
14-gen-23	20	1.9	14	0.5	48	1.3	1.1
14-gen-23	21	1.8	11	0.5	51	1.0	1.1
14-gen-23	22	1.3	9	0.5	53	1.2	3.0
14-gen-23	23	1.7	9	0.5	53	1.0	0.9
14-gen-23	00	1.3	7	0.5	56	0.9	0.6
15-gen-23	01	0.8	6	0.4	54	1.0	0.9
15-gen-23	02	0.6	6	0.4	50	0.8	1.7
15-gen-23	03	0.7	6	0.4	54	0.7	0.6
15-gen-23	04	0.6	5	0.4	54	0.6	0.7
15-gen-23	05	0.8	6	0.4	49	0.7	0.6
15-gen-23	06	0.7	6	0.4	48	0.7	1.3
15-gen-23	07	1.4	8	0.4	47	0.7	0.8
15-gen-23	08	1.5	11	0.5	44	1.0	0.6
15-gen-23	09	2.0	9	0.5	51	1.0	1.0
15-gen-23	10	4.8	16	0.5	47	1.4	1.3
15-gen-23	11	5.8	22	0.6	41	1.3	1.1
15-gen-23	12	4.8	22	0.6	42	1.4	1.0
15-gen-23	13	6.5	34	0.8	27	2.1	1.5

giorno	hh	NO ( $\mu\text{g}/\text{m}^3$ )	NO2 ( $\mu\text{g}/\text{m}^3$ )	CO ( $\text{mg}/\text{m}^3$ )	O3 ( $\mu\text{g}/\text{m}^3$ )	Benz ( $\mu\text{g}/\text{m}^3$ )	Tol ( $\mu\text{g}/\text{m}^3$ )
15-gen-23	14	8.2	34	0.7	23	1.8	1.6
15-gen-23	15	17.4	48	1.0	14	2.6	2.7
15-gen-23	16	18.7	48	1.1	11	3.4	2.5
15-gen-23	17	10.4	44	1.0	12	3.1	2.3
15-gen-23	18	15.3	47	1.0	8	2.7	2.1
15-gen-23	19	14.6	43	1.0	11	2.9	1.8
15-gen-23	20	8.9	38	1.2	14	4.0	2.1
15-gen-23	21	4.7	30	0.9	19	2.4	1.4
15-gen-23	22	4.0	33	0.9	16	2.3	1.3
15-gen-23	23	4.6	31	0.9	14	2.3	2.1
15-gen-23	00	2.1	24	0.8	19	2.0	1.5
16-gen-23	01	1.9	23	0.8	17	1.6	1.4
16-gen-23	02	2.0	26	0.7	14	1.7	1.3
16-gen-23	03	2.4	22	0.7	16	1.7	1.3
16-gen-23	04	1.8	17	0.6	21	1.7	1.3
16-gen-23	05	3.0	26	0.7	15	1.9	1.3
16-gen-23	06	3.0	16	0.5	23	3.3	2.0
16-gen-23	07	4.9	16	0.5	29	1.9	1.4
16-gen-23	08	2.3	11	0.4	38	1.0	1.1
16-gen-23	09	2.7	10	0.5	42	1.1	1.0
16-gen-23	10	5.0	13	0.5	45	1.1	1.1
16-gen-23	11	7.2	20	0.5	42	1.2	1.0
16-gen-23	12	7.2	25	0.6	36	1.3	1.3
16-gen-23	13	8.3	32	0.6	34	1.5	1.5
16-gen-23	14	6.4	19	0.5	61	1.1	1.0
16-gen-23	15	3.4	15	0.5	61	0.9	0.7
16-gen-23	16	6.1	22	0.5	58	1.1	0.8
16-gen-23	17	7.8	30	0.6	44	1.8	1.0
16-gen-23	18	7.2	37	0.9	30	2.3	1.5
16-gen-23	19	7.9	38	1.1	24	3.1	1.4
16-gen-23	20	9.9	32	1.0	23	3.8	1.8
16-gen-23	21	6.9	27	1.0	20	2.9	1.3
16-gen-23	22	2.4	17	0.7	31	1.4	0.9
16-gen-23	23	2.2	17	0.6	31	1.3	1.1

Borno – periodo estivo

giorno	hh	NO ( $\mu\text{g}/\text{m}^3$ )	NO2 ( $\mu\text{g}/\text{m}^3$ )	CO ( $\text{mg}/\text{m}^3$ )	O3 ( $\mu\text{g}/\text{m}^3$ )	Benz ( $\mu\text{g}/\text{m}^3$ )	Tol ( $\mu\text{g}/\text{m}^3$ )
06-mag-22	00	0	2	0.2	54	0.4	0.8
06-mag-22	01	0	2	0.2	51	0.4	0.7
06-mag-22	02	0	2	0.2	45	0.4	0.8
06-mag-22	03	0	3	0.2	43	0.4	0.7
06-mag-22	04	0	4	0.2	46	0.4	0.7
06-mag-22	05	3	5	0.2	51	0.4	0.8
06-mag-22	06	1	6	0.2	45	0.4	0.8
06-mag-22	07	1	5	0.2	50	0.4	0.7
06-mag-22	08	2	8	0.2	57	0.5	0.8

giorno	hh	NO ( $\mu\text{g}/\text{m}^3$ )	NO2 ( $\mu\text{g}/\text{m}^3$ )	CO ( $\text{mg}/\text{m}^3$ )	O3 ( $\mu\text{g}/\text{m}^3$ )	Benz ( $\mu\text{g}/\text{m}^3$ )	Tol ( $\mu\text{g}/\text{m}^3$ )
06-mag-22	09	3	10	0.2	54	0.5	0.8
06-mag-22	10	5	15	0.3	44	0.8	1.3
06-mag-22	11	5	14	0.3	53	0.8	1.2
06-mag-22	12	3	12	0.2	67	0.8	1.3
06-mag-22	13	2	10	0.2	77	0.6	1.0
06-mag-22	14	1	9	0.2	81	0.5	0.8
06-mag-22	15	2	12	0.2	78	0.5	0.9
06-mag-22	16	3	19	0.2	67	0.6	1.0
06-mag-22	17	2	18	0.3	68	0.7	1.1
06-mag-22	18	1	17	0.3	65	0.8	1.2
06-mag-22	19	1	16	0.2	62	0.6	1.4
06-mag-22	20	1	17	0.3	59	0.6	1.4
06-mag-22	21	1	14	0.2	60	0.6	1.4
06-mag-22	22	0	11	0.2	60	0.5	1.3
06-mag-22	23	0	9	0.2	65	0.5	1.3
06-mag-22	00	0	9	0.2	65	0.5	1.2
07-mag-22	01	0	8	0.2	66	0.5	1.0
07-mag-22	02	0	7	0.2	63	0.5	1.2
07-mag-22	03	0	6	0.2	58	0.5	1.0
07-mag-22	04	0	5	0.2	42	0.5	1.1
07-mag-22	05	1	4	0.2	26	0.5	1.1
07-mag-22	06	2	6	0.2	34	0.5	1.0
07-mag-22	07	2	8	0.2	42	0.6	1.3
07-mag-22	08	3	9	0.2	48	0.6	1.1
07-mag-22	09	4	12	0.2	47	0.6	1.3
07-mag-22	10	3	11	0.2	53	0.7	1.2
07-mag-22	11	2	8	0.2	64	0.6	1.3
07-mag-22	12	2	13	0.2	68	0.7	1.2
07-mag-22	13	1	8	0.2	75	0.8	1.0
07-mag-22	14	2	11	0.2	79	0.6	1.0
07-mag-22	15	1	10	0.2	81	0.7	1.0
07-mag-22	16	2	13	0.2	79	0.6	1.1
07-mag-22	17	1	13	0.2	74		
07-mag-22	18	1	12		76		
07-mag-22	19	1	9		66	0.6	0.9
07-mag-22	20	1	11		55	0.6	0.9
07-mag-22	21	1	5		40	0.5	0.8
07-mag-22	22	0	5		43	0.5	0.7
07-mag-22	23	0	4		39	0.5	0.7
07-mag-22	00	0	3		36	0.5	0.8
08-mag-22	01	0	3		35	0.5	0.8
08-mag-22	02	0	3		53	0.4	0.8
08-mag-22	03	0	3		56	0.4	0.6
08-mag-22	04	0	3		59	0.4	0.7
08-mag-22	05	0	3		53	0.4	0.7
08-mag-22	06	0	3		48	0.5	0.7
08-mag-22	07	1	3		57	0.5	0.6
08-mag-22	08	1	5		62	0.4	0.6

giorno	hh	NO ( $\mu\text{g}/\text{m}^3$ )	NO2 ( $\mu\text{g}/\text{m}^3$ )	CO ( $\text{mg}/\text{m}^3$ )	O3 ( $\mu\text{g}/\text{m}^3$ )	Benz ( $\mu\text{g}/\text{m}^3$ )	Tol ( $\mu\text{g}/\text{m}^3$ )
08-mag-22	09	2	8		57	0.6	1.1
08-mag-22	10	2	6		62	0.6	0.8
08-mag-22	11	2	7		65	0.6	0.8
08-mag-22	12	1	6		73	0.5	0.9
08-mag-22	13	1	5		78	0.5	0.8
08-mag-22	14	1	4	0.2	79	0.5	0.8
08-mag-22	15	1	5	0.3	80	0.5	0.8
08-mag-22	16	0	5	0.3	84	0.5	0.7
08-mag-22	17	1	5	0.3	61	0.5	0.7
08-mag-22	18	0	3	0.3	54	0.5	0.6
08-mag-22	19	1	5	0.3	44	0.5	0.7
08-mag-22	20	1	5	0.2	43	0.5	0.8
08-mag-22	21	1	4	0.3	43	0.5	0.7
08-mag-22	22	0	4	0.3	43	0.4	0.7
08-mag-22	23	0	3	0.2	41	0.4	0.6
08-mag-22	00	0	3	0.2	39	0.4	0.7
09-mag-22	01	0	3	0.2	38	0.5	0.6
09-mag-22	02	0	3	0.2	33	0.4	0.8
09-mag-22	03	0	3	0.2	37	0.4	0.7
09-mag-22	04	0	3	0.2	39	0.5	0.7
09-mag-22	05	0	3	0.2	39	0.5	0.7
09-mag-22	06	1	5	0.3	38	0.5	0.8
09-mag-22	07	3	8	0.5	38	0.6	1.1
09-mag-22	08	3	8	0.3	47	0.5	0.9
09-mag-22	09	2	6	0.3	73	0.5	1.0
09-mag-22	10	1	6	0.2	83	0.4	0.8
09-mag-22	11	1	5	0.2	89	0.5	0.7
09-mag-22	12	1	7	0.2	95	0.5	0.9
09-mag-22	13	0	3	0.2	100	0.5	0.7
09-mag-22	14	1	7	0.2	100	0.5	0.9
09-mag-22	15	1	6	0.2	103	0.5	0.9
09-mag-22	16	0	3	0.2	102	0.4	0.7
09-mag-22	17	0	4	0.2	104	0.4	0.7
09-mag-22	18	1	6	0.2	86	0.4	0.7
09-mag-22	19	0	5	0.2	83	0.5	1.2
09-mag-22	20	0	4	0.2	68	0.5	0.8
09-mag-22	21	0	4	0.2	63	0.5	0.8
09-mag-22	22	0	4	0.2	58	0.4	0.7
09-mag-22	23	0	4	0.2	55	0.4	0.8
09-mag-22	00	0	3	0.2	73	0.4	0.7
10-mag-22	01	0	3	0.2	87	0.4	0.6
10-mag-22	02	0	3	0.2	62	0.4	0.7
10-mag-22	03	0	3	0.2	58	0.4	0.7
10-mag-22	04	0	3	0.2	57	0.4	0.7
10-mag-22	05	1	7	0.2	52	0.5	0.8
10-mag-22	06	0	3	0.2	62	0.4	0.7
10-mag-22	07	1	7	0.2	83	0.5	0.8
10-mag-22	08	1	7	0.2	88	0.4	0.7

giorno	hh	NO ( $\mu\text{g}/\text{m}^3$ )	NO2 ( $\mu\text{g}/\text{m}^3$ )	CO ( $\text{mg}/\text{m}^3$ )	O3 ( $\mu\text{g}/\text{m}^3$ )	Benz ( $\mu\text{g}/\text{m}^3$ )	Tol ( $\mu\text{g}/\text{m}^3$ )
10-mag-22	09	2	10	0.2	82	0.4	0.8
10-mag-22	10	1	6	0.2	103	0.5	0.8
10-mag-22	11	0	4	0.2	109	0.4	0.7
10-mag-22	12	0	4	0.2	114	0.4	0.6
10-mag-22	13	0	4	0.2	120	0.4	0.7
10-mag-22	14	0	6	0.2	131	0.4	0.8
10-mag-22	15	0	6	0.2	141	0.4	0.8
10-mag-22	16	0	6	0.2	145	0.5	0.8
10-mag-22	17	0	8	0.2	156	0.5	0.9
10-mag-22	18	0	10	0.2	142	0.5	1.0
10-mag-22	19	0	10	0.2	110	0.5	1.0
10-mag-22	20	0	9	0.2	103	0.5	1.4
10-mag-22	21	0	10	0.2	100	0.5	1.0
10-mag-22	22	0	8	0.2	96	0.6	1.1
10-mag-22	23	0	7	0.2	97	0.5	1.0
10-mag-22	00	0	6	0.2	103	0.5	1.0
11-mag-22	01	0	5	0.2	88	0.5	0.9
11-mag-22	02	0	5	0.1	83	0.4	0.9
11-mag-22	03	0	5	0.1	82	0.5	0.9
11-mag-22	04	0	5	0.1	86	0.5	0.8
11-mag-22	05	2	11	0.2	70	0.5	1.1
11-mag-22	06	9	24	0.2	58	0.7	3.3
11-mag-22	07	2	13	0.2	94	0.6	1.2
11-mag-22	08	1	10	0.2	106	0.5	1.1
11-mag-22	09	2	14	0.1	104	0.5	1.1
11-mag-22	10	1	10	0.1	125	0.5	1.1
11-mag-22	11	0	7	0.1	134	0.5	0.9
11-mag-22	12	0	6	0.1	138	0.4	0.8
11-mag-22	13	0	7	0.1	149	0.5	0.9
11-mag-22	14	0	8	0.2	157	0.5	0.8
11-mag-22	15	0	8	0.2	160	0.5	1.1
11-mag-22	16	0	8	0.1	168	0.5	1.1
11-mag-22	17	0	10	0.2	166	0.5	0.9
11-mag-22	18	1	13	0.2	124	0.6	2.6
11-mag-22	19	1	14	0.2	110	0.6	2.3
11-mag-22	20	1	11	0.2	110	0.5	1.0
11-mag-22	21	0	8	0.1	114	0.4	0.9
11-mag-22	22	0	7	0.1	107	0.5	1.0
11-mag-22	23	0	6	0.1	104	0.5	1.0
11-mag-22	00	0	6	0.1	103	0.4	0.9
12-mag-22	01	0	6	0.1	104	0.5	0.9
12-mag-22	02	0	6	0.2	104	0.6	0.9
12-mag-22	03	0	6	0.1	100	0.5	0.9
12-mag-22	04	0	6	0.2	96	0.4	1.0
12-mag-22	05	3	13	0.2	77	0.5	1.0
12-mag-22	06	5	19	0.2	72	0.5	1.4
12-mag-22	07	3	14	0.2	94	0.5	1.0
12-mag-22	08	1	13	0.2	109	0.5	1.0

giorno	hh	NO ( $\mu\text{g}/\text{m}^3$ )	NO2 ( $\mu\text{g}/\text{m}^3$ )	CO ( $\text{mg}/\text{m}^3$ )	O3 ( $\mu\text{g}/\text{m}^3$ )	Benz ( $\mu\text{g}/\text{m}^3$ )	Tol ( $\mu\text{g}/\text{m}^3$ )
12-mag-22	09	2	15	0.2	109	0.5	1.1
12-mag-22	10	1	12	0.2	120	0.5	1.2
12-mag-22	11	1	10	0.2	135	0.6	1.2
12-mag-22	12	1	10	0.2	141	0.5	0.9
12-mag-22	13	1	9	0.2	142	0.4	0.9
12-mag-22	14	0	7	0.2	146	0.5	0.9
12-mag-22	15	0	7	0.2	147	0.4	0.8
12-mag-22	16	0	5	0.2	146	0.4	0.7
12-mag-22	17	0	6	0.2	149	0.4	0.8
12-mag-22	18	0	8	0.2	128	0.5	0.8
12-mag-22	19	1	11	0.3	102	0.5	1.0
12-mag-22	20	1	9	0.2	103	0.5	1.5
12-mag-22	21	0	8	0.2	105	0.5	0.9
12-mag-22	22	0	7	0.2	105	0.4	0.9
12-mag-22	23	0	7	0.2	98	0.4	1.0
12-mag-22	00	0	6	0.2	97	0.4	1.0
13-mag-22	01	0	6	0.2	95	0.4	0.9
13-mag-22	02	0	6	0.2	90	0.4	0.9
13-mag-22	03	2	12	0.2	89	0.4	0.9
13-mag-22	04	0	7	0.2	83	0.4	0.9
13-mag-22	05	1	8	0.2	76	0.4	0.9
13-mag-22	06	6	20	0.2	70	0.5	1.1
13-mag-22	07	1	10	0.2	107	0.5	1.0
13-mag-22	08	2	15	0.3	102	0.4	1.0
13-mag-22	09	2	14	0.3	102	0.5	1.1
13-mag-22	10	1	13	0.3	120	0.5	1.1
13-mag-22	11	1	12	0.3	140	0.5	1.1
13-mag-22	12	1	12	0.3	148	0.5	1.0
13-mag-22	13	1	11	0.3	154	0.5	0.9
13-mag-22	14	0	8	0.3	158	0.5	1.1
13-mag-22	15	1	10	0.3	157	0.4	0.9
13-mag-22	16	0	9	0.4	157	0.5	1.0
13-mag-22	17	0	7	0.4	161	0.5	1.0
13-mag-22	18	0	9	0.4	153	0.5	1.1
13-mag-22	19	0	10	0.4	121	0.5	1.0
13-mag-22	20	1	14	0.3	107	0.5	1.2
13-mag-22	21	0	10	0.2	105	0.4	1.1
13-mag-22	22	1	9	0.2	103	0.5	1.2
13-mag-22	23	0	7	0.2	98	0.4	1.0
13-mag-22	00	0	6	0.2	97	0.4	1.0
14-mag-22	01	0	8	0.2	92	0.4	0.9
14-mag-22	02	0	7	0.2	84	0.5	1.2
14-mag-22	03	0	5	0.2	85	0.4	1.0
14-mag-22	04	0	6	0.2	80	0.4	0.9
14-mag-22	05	2	11	0.2	73	0.4	0.9
14-mag-22	06	1	8	0.2	71	0.4	1.0
14-mag-22	07	1	9	0.2	86	0.4	1.0
14-mag-22	08	0	8	0.2	94	0.5	1.0



giorno	hh	NO ( $\mu\text{g}/\text{m}^3$ )	NO2 ( $\mu\text{g}/\text{m}^3$ )	CO ( $\text{mg}/\text{m}^3$ )	O3 ( $\mu\text{g}/\text{m}^3$ )	Benz ( $\mu\text{g}/\text{m}^3$ )	Tol ( $\mu\text{g}/\text{m}^3$ )
14-mag-22	09	1	8	0.2	119	0.5	0.9
14-mag-22	10	1	10	0.2	124	0.4	1.0
14-mag-22	11	1	9	0.2	119	0.5	0.9
14-mag-22	12	0	6	0.3	125	0.5	0.8
14-mag-22	13	1	8	0.3	119	0.5	0.9
14-mag-22	14	0	7	0.3	124	0.5	0.9
14-mag-22	15	0	7	0.3	131	0.4	0.9
14-mag-22	16	0	7	0.3	133	0.5	0.8
14-mag-22	17	0	12	0.3	133	0.5	0.9
14-mag-22	18	1	15	0.2	116	0.5	1.0
14-mag-22	19	1	14	0.2	80	0.6	1.5
14-mag-22	20	1	9	0.2	77	0.5	1.1
14-mag-22	21	0	7	0.3	78	0.5	0.9
14-mag-22	22	0	7	0.2	78	0.5	0.8
14-mag-22	23	0	7	0.3	79	0.5	0.9
14-mag-22	00	2	8	0.3	84	0.4	0.9
15-mag-22	01	0	6	0.3	80	0.4	0.9
15-mag-22	02	0	6	0.3	79	0.5	0.9
15-mag-22	03	0	5	0.3	74	0.4	0.8
15-mag-22	04	0	5	0.3	72	0.4	0.8
15-mag-22	05	0	7	0.3	63	0.5	0.9
15-mag-22	06	0	6	0.3	67	0.5	0.9
15-mag-22	07	0	5	0.3	102	0.4	0.7
15-mag-22	08	1	6	0.3	107	0.4	0.8
15-mag-22	09	1	8	0.3	98	0.4	0.9
15-mag-22	10	1	8	0.3	111	0.5	1.0
15-mag-22	11	0	5	0.3	125	0.4	0.7
15-mag-22	12	0	5	0.3	131	0.4	0.7
15-mag-22	13	0	5	0.3	131	0.4	0.7
15-mag-22	14	0	5	0.3	138	0.5	0.7
15-mag-22	15	0	6	0.3	131	0.5	0.8
15-mag-22	16	0	5	0.2	139	0.5	0.7
15-mag-22	17	0	7	0.2	144	0.5	0.8
15-mag-22	18	0	8	0.2	120	0.5	0.8
15-mag-22	19	0	7	0.2	114	0.5	0.8
15-mag-22	20	0	6	0.2	99	0.5	0.8
15-mag-22	21	0	5	0.2	97	0.5	0.7
15-mag-22	22	0	6	0.2	91	0.4	0.9
15-mag-22	23	0	5	0.2	88	0.4	0.8
15-mag-22	00	0	4	0.2	90	0.5	1.0
16-mag-22	01	0	4	0.2	91	0.4	0.7
16-mag-22	02	0	4	0.2	82	0.4	0.7
16-mag-22	03	0	4	0.2	78	0.4	0.8
16-mag-22	04	0	5	0.2	77	0.4	0.8
16-mag-22	05	9	18	0.2	68	0.4	0.8
16-mag-22	06	1	10	0.2	62	0.5	1.0
16-mag-22	07	1	10	0.1	103	0.5	1.0
16-mag-22	08	1	10	0.2	109	0.4	0.8

giorno	hh	NO ( $\mu\text{g}/\text{m}^3$ )	NO2 ( $\mu\text{g}/\text{m}^3$ )	CO ( $\text{mg}/\text{m}^3$ )	O3 ( $\mu\text{g}/\text{m}^3$ )	Benz ( $\mu\text{g}/\text{m}^3$ )	Tol ( $\mu\text{g}/\text{m}^3$ )
16-mag-22	09	1	10	0.2	111	0.4	0.8
16-mag-22	10	1	7	0.2	128	0.4	0.8
16-mag-22	11	0	4	0.2	132	0.5	1.1
16-mag-22	12	0	6	0.2	119	0.4	0.7
16-mag-22	13	1	5	0.2	79	0.3	0.6
16-mag-22	14	1	4	0.3	66	0.4	0.6
16-mag-22	15	1	5	0.3	99	0.7	0.8
16-mag-22	16	0	4	0.3	94	0.5	0.7
16-mag-22	17	1	6	0.2	84	0.4	0.6
16-mag-22	18	1	5	0.2	69	0.4	0.6
16-mag-22	19	0	4	0.2	63	0.4	0.6
16-mag-22	20	0	4	0.2	62	0.4	0.7
16-mag-22	21	0	3	0.2	65	0.4	0.7
16-mag-22	22	0	4	0.2	67	0.4	0.7
16-mag-22	23	0	3	0.2	66	0.3	0.6
16-mag-22	00	0	3	0.2	65	0.4	0.6
17-mag-22	01	0	3	0.2	65	0.3	0.7
17-mag-22	02	0	3	0.2	62	0.3	0.6
17-mag-22	03	0	4	0.2	67	0.4	0.7
17-mag-22	04	0	4	0.2	61	0.4	0.6
17-mag-22	05	2	8	0.1	53	0.4	0.7
17-mag-22	06	6	14	0.1	54	0.4	0.8
17-mag-22	07	1	5	0.2	68	0.4	0.8
17-mag-22	08	1	7	0.3	91	0.4	0.9
17-mag-22	09	1	6	0.2	100	0.3	0.8
17-mag-22	10	1	5	0.2	104	0.4	0.6
17-mag-22	11	1	6	0.2	108	0.4	0.7
17-mag-22	12	1	6	0.2	113	0.4	0.8
17-mag-22	13	0	6	0.2	121	0.4	0.8
17-mag-22	14	0	5	0.2	131	0.4	0.8
17-mag-22	15	0	6	0.2	141	0.4	0.8
17-mag-22	16	0	6	0.3	152	0.4	0.8
17-mag-22	17	0	7	0.3	158	0.5	0.9
17-mag-22	18	0	8	0.3	155	0.5	1.1
17-mag-22	19	1	13	0.3	119	0.5	1.0
17-mag-22	20	0	9	0.3	118	0.4	1.0
17-mag-22	21	0	8	0.3	119	0.4	0.9
17-mag-22	22	0	9	0.3	117	0.4	1.0
17-mag-22	23	0	7	0.3	113	0.4	1.0
17-mag-22	00	0	6	0.2	115	0.4	0.9
18-mag-22	01	0	6	0.2	106	0.4	0.9
18-mag-22	02	0	6	0.2	104	0.4	0.9
18-mag-22	03	0	5	0.2	100	0.4	0.9
18-mag-22	04	0	7	0.2	92	0.4	0.9
18-mag-22	05	9	19	0.3	74	0.4	0.9
18-mag-22	06	6	22	0.3	73	0.5	2.0
18-mag-22	07	1	10	0.2	101	0.4	1.1
18-mag-22	08	2	13	0.3	95	0.4	0.9

giorno	hh	NO ( $\mu\text{g}/\text{m}^3$ )	NO2 ( $\mu\text{g}/\text{m}^3$ )	CO ( $\text{mg}/\text{m}^3$ )	O3 ( $\mu\text{g}/\text{m}^3$ )	Benz ( $\mu\text{g}/\text{m}^3$ )	Tol ( $\mu\text{g}/\text{m}^3$ )
18-mag-22	09	3	16	0.3	116	0.5	1.3
18-mag-22	10	1	6	0.3	138	0.4	0.9
18-mag-22	11	0	5	0.3	144	0.4	0.9
18-mag-22	12	0	5	0.3	146	0.4	0.7
18-mag-22	13	0	5	0.3	140	0.4	0.7
18-mag-22	14	0	6	0.3	128	0.4	0.7
18-mag-22	15	0	5	0.3	135	0.4	0.7
18-mag-22	16	1	6	0.2	142	0.5	0.7
18-mag-22	17	0	6	0.2	141	0.4	0.8
18-mag-22	18	0	6	0.2	135	0.4	0.8
18-mag-22	19	0	6	0.3	129	0.4	0.7
18-mag-22	20	0	7	0.3	120	0.4	0.7
18-mag-22	21	0	6	0.3	123	0.4	0.8
18-mag-22	22	0	6	0.3	115	0.4	0.7
18-mag-22	23	0	6	0.3	101	0.4	0.8
18-mag-22	00	0	6	0.3	87	0.4	0.7
19-mag-22	01	0	6	0.2	80	0.4	0.7
19-mag-22	02	0	5	0.2	70	0.4	0.8
19-mag-22	03	0	5	0.3	72	0.4	0.7
19-mag-22	04	0	5	0.2	65	0.4	0.7
19-mag-22	05	0	6	0.2	62	0.4	0.7
19-mag-22	06	1	13	0.3	74	0.4	0.9
19-mag-22	07	3	19	0.3	72	0.4	1.0
19-mag-22	08	3	15	0.3	79	0.4	1.0
19-mag-22	09	3	15	0.3	89	0.5	1.1
19-mag-22	10	2	10	0.3	101	0.5	0.9
19-mag-22	11	1	8	0.3	119	0.4	0.8
19-mag-22	12	1	7	0.3	125	0.4	0.8
19-mag-22	13	1	7	0.3	132	0.4	0.7
19-mag-22	14	1	6	0.3	142	0.4	0.8
19-mag-22	15	0	6	0.3	152	0.4	0.8
19-mag-22	16	0	6	0.3	157	0.4	0.8
19-mag-22	17	0	7	0.3	160	0.4	0.8
19-mag-22	18	0	9	0.3	150	0.6	0.9
19-mag-22	19	0	10	0.3	144	0.5	0.9
19-mag-22	20	0	8	0.3	111	0.5	1.0
19-mag-22	21	0	8	0.3	101	0.4	1.0
19-mag-22	22	0	7	0.3	97	0.4	0.9
19-mag-22	23	0	6	0.3	100	0.5	0.9
19-mag-22	00	0	6	0.2	103	0.5	0.9
20-mag-22	01	0	6	0.3	95	0.4	0.8
20-mag-22	02	0	5	0.2	92	0.4	0.9
20-mag-22	03	0	6	0.2	92	0.4	0.8
20-mag-22	04	0	6	0.2	94	0.4	0.8
20-mag-22	05	3	13	0.3	80	0.4	0.8
20-mag-22	06	2	11	0.3	74	0.5	1.1
20-mag-22	07	1	11	0.3	104	0.5	1.1
20-mag-22	08	1	11	0.3	114	0.5	1.0

giorno	hh	NO ( $\mu\text{g}/\text{m}^3$ )	NO2 ( $\mu\text{g}/\text{m}^3$ )	CO ( $\text{mg}/\text{m}^3$ )	O3 ( $\mu\text{g}/\text{m}^3$ )	Benz ( $\mu\text{g}/\text{m}^3$ )	Tol ( $\mu\text{g}/\text{m}^3$ )
20-mag-22	09	2	12	0.3	112	0.5	1.1
20-mag-22	10	1	13	0.3	125	0.5	1.0
20-mag-22	11	1	10	0.3	146	0.5	0.9
20-mag-22	12	1	9	0.3	157	0.5	0.9
20-mag-22	13	0	8	0.3	168	0.4	1.1
20-mag-22	14	0	9	0.3	177	0.4	0.9
20-mag-22	15	0	9	0.3	189	0.4	0.9
20-mag-22	16	0	9	0.3	200	0.4	0.9
20-mag-22	17	0	9	0.3	207	0.5	0.9
20-mag-22	18	1	15	0.3	175	0.5	1.1
20-mag-22	19	1	20	0.4	144	0.6	1.9
20-mag-22	20	0	11	0.3	150	0.5	1.0
20-mag-22	21	0	11	0.3	144	0.5	1.0
20-mag-22	22	0	10	0.3	134	0.5	1.1
20-mag-22	23	0	8	0.3	145	0.6	1.7
20-mag-22	00	0	8	0.3	129	0.5	0.9
21-mag-22	01	0	7	0.3	130	0.5	1.1
21-mag-22	02	0	7	0.3	136	0.5	0.9
21-mag-22	03	0	7	0.4	122	0.5	1.1
21-mag-22	04	0	6	0.3	115	0.5	1.2
21-mag-22	05	1	10	0.3	99	0.5	1.0
21-mag-22	06	4	20	0.3	98	0.5	1.1
21-mag-22	07	1	9	0.3	143	0.5	1.1
21-mag-22	08	1	9	0.3	141	0.5	1.0
21-mag-22	09	1	9	0.3	144	0.5	1.0
21-mag-22	10	1	12	0.3	154	0.5	1.1
21-mag-22	11	0	10	0.3	163	0.5	1.3
21-mag-22	12	1	11	0.3	168	0.5	1.2
21-mag-22	13	1	11	0.3	174	0.5	1.2
21-mag-22	14	0	11	0.3	179	0.5	1.1
21-mag-22	15	1	14	0.3	179	0.5	1.2
21-mag-22	16	1	11	0.3	180	0.5	1.1
21-mag-22	17	0	13	0.4	187	0.5	1.2
21-mag-22	18	1	16	0.4	170	0.6	1.7
21-mag-22	19	1	12	0.4	132	0.5	1.3
21-mag-22	20	0	11	0.4	126	0.5	1.1
21-mag-22	21	1	9	0.3	120	0.5	1.0
21-mag-22	22	1	9	0.3	127	0.5	1.0
21-mag-22	23	0	8	0.3	126	0.5	1.1
21-mag-22	00	0	7	0.3	119	0.4	1.0
22-mag-22	01	0	7	0.3	108	0.5	1.1
22-mag-22	02	0	6	0.3	114	0.5	0.9
22-mag-22	03	0	5	0.3	114	0.4	0.9
22-mag-22	04	0	6	0.3	104	0.5	1.0
22-mag-22	05	1	7	0.3	92	0.5	0.9
22-mag-22	06	1	8	0.3	93	0.5	1.0
22-mag-22	07	1	8	0.3	109	0.5	1.1
22-mag-22	08	1	8	0.3	106	0.5	0.9

giorno	hh	NO ( $\mu\text{g}/\text{m}^3$ )	NO2 ( $\mu\text{g}/\text{m}^3$ )	CO ( $\text{mg}/\text{m}^3$ )	O3 ( $\mu\text{g}/\text{m}^3$ )	Benz ( $\mu\text{g}/\text{m}^3$ )	Tol ( $\mu\text{g}/\text{m}^3$ )
22-mag-22	09	1	9	0.3	113	0.5	1.1
22-mag-22	10	1	9	0.4	132	0.6	1.1
22-mag-22	11	1	11	0.4	142	0.5	1.0
22-mag-22	12	0	6	0.3	150	0.5	0.9
22-mag-22	13	1	7	0.3	152	0.4	0.8
22-mag-22	14	0	6	0.3	155	0.5	0.9
22-mag-22	15	0	7	0.3	157	0.5	0.8
22-mag-22	16	0	10	0.4	157	0.5	1.0
22-mag-22	17	0	12	0.4	162	0.5	0.9
22-mag-22	18	0	10	0.4	159	0.5	1.0
22-mag-22	19	0	10	0.4	149	0.5	1.1
22-mag-22	20	1	11	0.4	118	0.5	0.9
22-mag-22	21	0	7	0.4	78	0.5	0.9
22-mag-22	22	1	8	0.3	82	0.5	0.8
22-mag-22	23	0	4	0.5	73	1.6	4.2
22-mag-22	00	0	4	0.2	66	0.4	0.7
23-mag-22	01	1	4	0.2	64	0.4	0.7
23-mag-22	02	0	4	0.2	57	0.4	0.7
23-mag-22	03	0	4	0.2	55	0.4	0.7
23-mag-22	04	1	4	0.2	53	0.4	0.8
23-mag-22	05	6	13	0.3	49	0.4	0.8
23-mag-22	06	4	10	0.3	51	0.4	0.8
23-mag-22	07	3	10	0.3	65	0.4	0.8
23-mag-22	08	1	10	0.3	99	0.4	0.9
23-mag-22	09	2	9	0.3	89	0.4	0.8
23-mag-22	10	1	10	0.3	96	0.4	0.9
23-mag-22	11	1	7	0.3	123	0.4	0.8
23-mag-22	12	0	6	0.3	133	0.4	0.8
23-mag-22	13	1	7	0.3	143	0.4	0.8
23-mag-22	14	0	7	0.3	148	0.4	0.7
23-mag-22	15	0	7	0.3	148	0.5	0.8
23-mag-22	16	0	6	0.2	146	0.5	1.0
23-mag-22	17	0	6	0.2	142	0.4	0.7
23-mag-22	18	0	7	0.3	140	0.4	0.7
23-mag-22	19	1	9	0.3	117	0.5	0.9
23-mag-22	20	1	8	0.3	106	0.4	0.8
23-mag-22	21	0	6	0.2	104	0.4	0.8
23-mag-22	22	0	6	0.2	102	0.4	0.8
23-mag-22	23	0	5	0.2	101	0.4	0.8
23-mag-22	00	0	5	0.2	100	0.4	0.7
24-mag-22	01	0	4	0.2	91	0.4	0.8
24-mag-22	02	0	4	0.2	84	0.4	0.7
24-mag-22	03	0	4	0.2	77	0.4	0.7
24-mag-22	04	0	5	0.2	74	0.4	0.8
24-mag-22	05	4	10	0.2	65	0.4	0.7
24-mag-22	06	3	12	0.3	75	0.5	1.5
24-mag-22	07	2	15	0.3	84	0.4	0.9
24-mag-22	08	3	15	0.3	90	0.5	0.9

giorno	hh	NO ( $\mu\text{g}/\text{m}^3$ )	NO2 ( $\mu\text{g}/\text{m}^3$ )	CO ( $\text{mg}/\text{m}^3$ )	O3 ( $\mu\text{g}/\text{m}^3$ )	Benz ( $\mu\text{g}/\text{m}^3$ )	Tol ( $\mu\text{g}/\text{m}^3$ )
24-mag-22	09	1	9	0.2	111	0.5	1.1
24-mag-22	10	4	10	0.2	117	0.4	0.7
24-mag-22	11	0	3	0.2	124	0.4	0.7
24-mag-22	12	2	7	0.2	125	0.4	0.8
24-mag-22	13	0	4	0.2	130	0.5	0.8
24-mag-22	14	1	8	0.2	133	0.4	0.9
24-mag-22	15	1	9	0.2	136	0.4	0.8
24-mag-22	16	0	6	0.2	140	0.4	0.8
24-mag-22	17	1	7	0.2	137	0.4	0.7
24-mag-22	18	1	7	0.3	109	0.4	0.7
24-mag-22	19	1	6	0.2	90	0.4	0.7
24-mag-22	20	1	5	0.2	78	0.4	0.6
24-mag-22	21	1	5	0.2	68	0.4	0.6
24-mag-22	22	1	5	0.2	67	0.4	0.6
24-mag-22	23	1	4	0.2	63	0.4	0.6
24-mag-22	00	1	4	0.2	60	0.4	0.6
25-mag-22	01	1	4	0.2	58	0.4	0.6
25-mag-22	02	1	3	0.2	57	0.3	0.6
25-mag-22	03	1	3	0.2	62	0.3	0.6
25-mag-22	04	1	4	0.2	51	0.4	0.6
25-mag-22	05	5	11	0.3	54	0.4	0.6
25-mag-22	06	2	8	0.2	52	0.5	1.3
25-mag-22	07	4	9	0.3	50	0.4	0.7
25-mag-22	08	5	12	0.3	65	0.5	0.7
25-mag-22	09	3	8	0.3	71	0.5	0.7
25-mag-22	10	2	7	0.3	66	0.5	0.7
25-mag-22	11	6	11	0.2	74	0.5	0.7
25-mag-22	12	1	3	0.2	82	0.4	0.6
25-mag-22	13	1	5	0.2	81	0.6	0.7
25-mag-22	14	1	6	0.2	86	0.6	0.7
25-mag-22	15	1	5	0.2	93	0.6	0.7
25-mag-22	16	1	5	0.2	82	0.5	0.6
25-mag-22	17	1	3	0.2	69	0.5	0.6
25-mag-22	18	2	6	0.2	60	0.5	0.8
25-mag-22	19	2	6	0.2	53	0.5	0.7
25-mag-22	20	2	7	0.3	51	0.5	0.9
25-mag-22	21	3	7	0.2	54	0.4	0.9
25-mag-22	22	1	5	0.2	50	0.4	0.9
25-mag-22	23	0	4	0.2	49	0.4	0.9
25-mag-22	00	1	3	0.2	41	0.4	1.0
26-mag-22	01	1	3	0.2	57	0.3	0.9
26-mag-22	02	0	3	0.2	58	0.3	0.8
26-mag-22	03	0	4	0.2	56	0.3	0.9
26-mag-22	04	0	4	0.2	60	0.3	0.9
26-mag-22	05	1	6	0.2	50	0.4	1.0
26-mag-22	06	3	8	0.2	53	0.5	1.8
26-mag-22	07	2	8	0.2	73	0.4	1.1
26-mag-22	08	2	8	0.2	74	0.4	1.0

giorno	hh	NO ( $\mu\text{g}/\text{m}^3$ )	NO2 ( $\mu\text{g}/\text{m}^3$ )	CO ( $\text{mg}/\text{m}^3$ )	O3 ( $\mu\text{g}/\text{m}^3$ )	Benz ( $\mu\text{g}/\text{m}^3$ )	Tol ( $\mu\text{g}/\text{m}^3$ )
26-mag-22	09	2	9	0.2	69	0.4	1.1
26-mag-22	10	2	9	0.3	83	0.5	1.4
26-mag-22	11	1	5	0.2	109	0.4	1.1
26-mag-22	12	1	4	0.2	116	0.4	1.4
26-mag-22	13	0	4	0.2	115	0.3	0.9
26-mag-22	14	1	6	0.2	122	0.4	0.9
26-mag-22	15	0	8	0.2	128	0.4	1.0
26-mag-22	16	1	12	0.2	131	0.4	1.1
26-mag-22	17	1	10	0.3	133	0.5	1.2
26-mag-22	18	2	12	0.3	96	0.5	1.7
26-mag-22	19	2	12	0.3	84	0.5	1.7
26-mag-22	20	1	8	0.3	78	0.5	1.9
26-mag-22	21	1	8	0.2	69	0.5	1.2
26-mag-22	22	1	7	0.2	62	0.5	1.1
26-mag-22	23	1	6	0.2	61	0.4	1.0
26-mag-22	00	0	5	0.2	65	0.5	1.2
27-mag-22	01	0	4	0.2	68	0.4	0.9
27-mag-22	02	0	4	0.2	64	0.4	0.9
27-mag-22	03	0	5	0.2	61	0.4	0.9
27-mag-22	04	1	7	0.2	57	0.4	0.9
27-mag-22	05	3	9	0.2	51	0.4	0.8
27-mag-22	06	2	9	0.2	64	0.6	1.8
27-mag-22	07	1	7	0.2	98	0.4	0.9
27-mag-22	08	2	9	0.2	92	0.5	1.0
27-mag-22	09	2	9	0.2	99	0.4	1.1
27-mag-22	10	2	10	0.2	106	0.5	1.6
27-mag-22	11	1	8	0.2	122	0.4	1.3
27-mag-22	12	1	7	0.3	129	0.5	1.7
27-mag-22	13	0	7	0.3	139	0.5	1.3
27-mag-22	14	1	11	0.3	142	0.6	1.9
27-mag-22	15	1	8	0.3	154	0.5	1.3
27-mag-22	16	1	9	0.3	164	0.6	1.9
27-mag-22	17	0	9	0.3	183	0.5	1.1
27-mag-22	18	1	14	0.4	150	0.6	1.8
27-mag-22	19	1	16	0.3	119	0.6	1.6
27-mag-22	20	1	13	0.3	117	0.6	1.5
27-mag-22	21	1	11	0.3	112	0.5	1.5
27-mag-22	22	1	11	0.3	115	0.5	1.1
27-mag-22	23	1	9	0.3	113	0.5	1.0
27-mag-22	00	0	7	0.2	121	0.5	1.2
28-mag-22	01	0	6	0.2	118	0.5	1.3
28-mag-22	02	1	6	0.2	96	0.4	0.9
28-mag-22	03	0	5	0.2	84	0.4	0.8
28-mag-22	04	1	7	0.2	71	0.4	0.8
28-mag-22	05	3	10	0.2	60	0.4	0.8
28-mag-22	06	4	12	0.2	58	0.5	1.4
28-mag-22	07	1	5	0.1	71	0.4	0.8
28-mag-22	08	1	4	0.1	77	0.4	0.8

giorno	hh	NO ( $\mu\text{g}/\text{m}^3$ )	NO2 ( $\mu\text{g}/\text{m}^3$ )	CO ( $\text{mg}/\text{m}^3$ )	O3 ( $\mu\text{g}/\text{m}^3$ )	Benz ( $\mu\text{g}/\text{m}^3$ )	Tol ( $\mu\text{g}/\text{m}^3$ )
28-mag-22	09	1	4	0.2	76	0.4	1.1
28-mag-22	10	2	6	0.4	81	0.6	2.0
28-mag-22	11	1	5	0.2	108	0.5	1.7
28-mag-22	12	7	14	1.6	117	11.5	73.7
28-mag-22	13	1	8	0.3	136	0.5	2.4
28-mag-22	14	1	6	0.3	137	0.6	2.3
28-mag-22	15	1	7	0.3	143	2.1	12.1
28-mag-22	16	3	9	0.7	132	0.8	5.8
28-mag-22	17	2	11	0.6	121	6.3	44.6
28-mag-22	18	1	12	0.2	112	0.5	1.1
28-mag-22	19	1	9	0.2	108	0.5	1.0
28-mag-22	20	0	8	0.2	102	0.5	1.0
28-mag-22	21	1	9	0.2	100	0.4	0.9
28-mag-22	22	1	7	0.3	84	0.4	0.7
28-mag-22	23	1	5	0.9		0.4	0.6
28-mag-22	00	1	4	0.4		0.4	0.6
29-mag-22	01	1	3	0.3		0.4	0.6
29-mag-22	02	1	3	0.3		0.4	0.6
29-mag-22	03	1	3	0.3		0.4	0.6
29-mag-22	04	2	4	0.3	66	0.4	0.6
29-mag-22	05	2	4	0.3	65	0.4	0.6
29-mag-22	06	2	4	0.3	62	0.4	0.6
29-mag-22	07	2	4	0.3	69	0.4	0.5
29-mag-22	08	3	5	0.6	77	0.7	3.0
29-mag-22	09	2	6	0.4	68	1.2	16.4
29-mag-22	10	2	6	0.3	64	0.6	4.0
29-mag-22	11	1	3	0.3	74	1.1	12.3
29-mag-22	12	2	5	0.3	70	0.6	3.5
29-mag-22	13	2	7	0.9	71	4.6	53.7
29-mag-22	14	3	10	0.6	70	0.9	4.8
29-mag-22	15	1	6	0.3	79	0.8	3.0
29-mag-22	16	1	5	0.3	78	0.6	2.0
29-mag-22	17	1	4	0.3	75	0.7	3.2
29-mag-22	18	26	10	2.0	60	0.9	6.0
29-mag-22	19	3	8	0.5	46		
29-mag-22	20	4	5	0.3	36	0.6	2.9
29-mag-22	21	1	5	0.3	37	0.5	1.3
29-mag-22	22	1	5	0.2	36	0.5	1.0
29-mag-22	23	0	7	0.2	52	0.5	0.8
29-mag-22	00	0	7	0.2	51	0.5	0.8
30-mag-22	01	0	6	0.2	53	0.5	0.7
30-mag-22	02	0	6	0.2	51	0.4	0.7
30-mag-22	03	0	5	0.2	50	0.4	0.7
30-mag-22	04	0	5	0.2	54	0.4	0.6
30-mag-22	05	3	7	0.2	37	0.4	0.6
30-mag-22	06	5	7	0.2	46	0.4	0.6
30-mag-22	07	3	10	0.2	53	0.5	0.8
30-mag-22	08	3	7	0.2	60	0.4	0.7



giorno	hh	NO ( $\mu\text{g}/\text{m}^3$ )	NO2 ( $\mu\text{g}/\text{m}^3$ )	CO ( $\text{mg}/\text{m}^3$ )	O3 ( $\mu\text{g}/\text{m}^3$ )	Benz ( $\mu\text{g}/\text{m}^3$ )	Tol ( $\mu\text{g}/\text{m}^3$ )
30-mag-22	09	4	10	0.2	63	0.4	0.8
30-mag-22	10	3	8	0.2	73	0.4	0.8
30-mag-22	11	1	5	0.2	84	0.4	0.8
30-mag-22	12	1	3	0.2	91	0.4	0.7
30-mag-22	13	1	4	0.2	97	0.4	0.7
30-mag-22	14	1	4	0.2	99	0.4	0.7
30-mag-22	15	1	5	0.2	100	0.5	1.1
30-mag-22	16	0	5	0.2	101	0.4	1.0
30-mag-22	17	1	7	0.2	99	0.4	0.8
30-mag-22	18	1	8	0.2	97	0.5	0.8
30-mag-22	19	1	7	0.2	77	0.5	1.0
30-mag-22	20	1	5	0.2	52	0.4	0.9
30-mag-22	21	1	4	0.3	45	0.5	0.9
30-mag-22	22	0	4	0.2	40	0.4	0.9
30-mag-22	23	0	5	0.2	39	0.4	0.9
30-mag-22	00	0	5	0.2	38	0.4	0.9
31-mag-22	01	1	4	0.2	33	0.5	0.9
31-mag-22	02	1	4	0.2	30	0.4	1.0
31-mag-22	03	1	3	0.2	29	0.4	0.9
31-mag-22	04	1	3	0.2	29	0.4	0.9
31-mag-22	05	1	3	0.2	30	0.4	0.8
31-mag-22	06	1	4	0.2	38	0.4	0.9
31-mag-22	07	2	7	0.3	54	0.4	0.9
31-mag-22	08	3	12	0.3	61	0.4	1.0
31-mag-22	09	4	12	0.3	67	0.5	1.0
31-mag-22	10	1	7	0.2	86	0.5	1.0
31-mag-22	11	1	5	0.2	97	0.4	1.0
31-mag-22	12	1	4	0.2	104	0.4	0.7
31-mag-22	13	1	4	0.2	104	0.4	0.7
31-mag-22	14	2	6	0.2	106	0.3	0.7
31-mag-22	15	1	5	0.2	111	0.5	0.7
31-mag-22	16	0	5	0.2	109	0.4	0.7
31-mag-22	17	1	5	0.2	96	0.5	0.8
31-mag-22	18	0	5	0.2	73	0.5	0.8
31-mag-22	19	1	6	0.3	61	0.5	0.9
31-mag-22	20	0	5	0.3	60	0.5	1.0
31-mag-22	21	0	4	0.2	59	0.5	0.8
31-mag-22	22	0	3	0.2	60	0.4	0.8
31-mag-22	23	0	3	0.2	63	0.4	0.8
31-mag-22	00	0	3	0.2	67	0.5	0.7
01-giu-22	01	0	3	0.2	68	0.5	0.8
01-giu-22	02	0	3	0.2	68	0.4	0.7
01-giu-22	03	0	3	0.2	66	0.4	0.8
01-giu-22	04	1	3	0.2	64	0.4	0.7
01-giu-22	05	4	9	0.2	50	0.4	0.7
01-giu-22	06	1	4	0.2	64	0.4	0.8
01-giu-22	07	2	7	0.3	80	0.4	0.8
01-giu-22	08	2	9	0.3	82	0.5	0.9

giorno	hh	NO ( $\mu\text{g}/\text{m}^3$ )	NO2 ( $\mu\text{g}/\text{m}^3$ )	CO ( $\text{mg}/\text{m}^3$ )	O3 ( $\mu\text{g}/\text{m}^3$ )	Benz ( $\mu\text{g}/\text{m}^3$ )	Tol ( $\mu\text{g}/\text{m}^3$ )
01-giu-22	09	3	10	0.3	88	0.5	1.1
01-giu-22	10	1	6	0.4	103	0.5	1.1
01-giu-22	11	1	5	0.2	111	0.5	0.8
01-giu-22	12	1	3	0.2	117	0.4	0.7
01-giu-22	13	1	4	0.2	120	0.4	0.7
01-giu-22	14	1	3	0.2	129	0.4	0.8
01-giu-22	15	1	5	0.2	135	0.4	0.7
01-giu-22	16	1	6	0.2	137	0.4	0.8
01-giu-22	17	0	6	0.2	141	0.5	0.7
01-giu-22	18	1	9	0.3	143	0.5	0.9
01-giu-22	19	1	10	0.3	118	0.5	1.0
01-giu-22	20	1	9	0.3	104	0.4	1.0
01-giu-22	21	1	9	0.3	102	0.6	1.2
01-giu-22	22	1	6	0.3	100	0.7	1.8
01-giu-22	23	0	5	0.3	95	0.5	0.9
01-giu-22	00	0	4	0.3	96	0.4	0.9
02-giu-22	01	0	5	0.3	92	0.4	0.9
02-giu-22	02	0	4	0.3	88	0.5	0.9
02-giu-22	03	0	4	0.3	91	0.5	0.8
02-giu-22	04	0	4	0.3	85	0.5	0.9
02-giu-22	05	1	5	0.3	73	0.5	1.0
02-giu-22	06	1	5	0.3	81	0.4	0.9
02-giu-22	07	2	10	0.3	105	0.5	0.9
02-giu-22	08	1	6	0.3	105	0.4	0.9
02-giu-22	09	2	10	0.3	109	0.5	1.1
02-giu-22	10	1	6	0.3	122	0.5	1.2
02-giu-22	11	0	3	0.3	127	0.5	0.9
02-giu-22	12	1	5	0.3	129	0.4	0.8
02-giu-22	13	1	4	0.3	133	0.4	0.8
02-giu-22	14	0	3	0.3	132	0.4	0.8
02-giu-22	15	0	4	0.3	137	0.4	0.7
02-giu-22	16	0	4	0.3	144	0.4	0.7
02-giu-22	17	1	6	0.3	145	0.4	0.8
02-giu-22	18	1	7	0.3	133	0.5	0.9
02-giu-22	19	1	8	0.4	90	0.4	0.8
02-giu-22	20	1	7	0.4	85	0.5	1.0
02-giu-22	21	1	7	0.3	85	0.5	0.9
02-giu-22	22	1	5	0.3	83	0.4	0.8
02-giu-22	23	1	5	0.3	80	0.4	0.9
02-giu-22	00	1	5	0.3	83	0.5	0.8
03-giu-22	01	0	3	0.3	82	0.4	0.8
03-giu-22	02	0	3	0.3	80	0.4	0.8
03-giu-22	03	0	3	0.3	73	0.4	0.9
03-giu-22	04	0	3	0.3	79	0.4	0.8
03-giu-22	05	1	5	0.3	65	0.4	0.8
03-giu-22	06	2	11	0.4	54	0.5	0.9
03-giu-22	07	3	13	0.4	42	0.5	1.0
03-giu-22	08	3	8	0.4	90	0.6	1.3

giorno	hh	NO ( $\mu\text{g}/\text{m}^3$ )	NO2 ( $\mu\text{g}/\text{m}^3$ )	CO ( $\text{mg}/\text{m}^3$ )	O3 ( $\mu\text{g}/\text{m}^3$ )	Benz ( $\mu\text{g}/\text{m}^3$ )	Tol ( $\mu\text{g}/\text{m}^3$ )
03-giu-22	09	1	8	0.3	97	0.5	1.1
03-giu-22	10	2	11	0.3	86	0.5	1.0
03-giu-22	11	1	10	0.3	91	0.6	1.3
03-giu-22	12	1	10	0.3	99	0.5	1.1
03-giu-22	13	4	16	0.4	87	0.5	1.5
03-giu-22	14	2	10	0.4	89	0.5	1.1
03-giu-22	15	2	10	0.3	90	0.5	0.8
03-giu-22	16	2	9	0.3	74	0.4	0.7
03-giu-22	17	1	5	0.3	77	0.4	0.7
03-giu-22	18	1	4	0.3	63	0.5	0.8
03-giu-22	19	2	6	0.3	42	0.4	0.8
03-giu-22	20	1	4	0.3	41	0.5	0.9
03-giu-22	21	3	7	0.3	42	0.6	1.3
03-giu-22	22	3	6	0.4	47	0.6	1.2
03-giu-22	23	5	7	0.3	46	0.6	1.2
03-giu-22	00	0	2	0.2	50	0.6	1.1
04-giu-22	01	1	2	0.2	48	0.4	0.6
04-giu-22	02	1	2	0.2	41	0.4	0.8
04-giu-22	03	1	2	0.2	45	0.4	0.7
04-giu-22	04	1	2	0.3	42	0.5	0.9
04-giu-22	05	4	7	0.3	38	0.4	0.7
04-giu-22	06	3	6	0.3	43	0.8	1.4
04-giu-22	07	2	4	0.3	53	0.4	0.7
04-giu-22	08	2	5	0.3	58	0.5	1.0
04-giu-22	09	3	6	0.3	62	0.5	1.0
04-giu-22	10	2	5	0.3	75	0.5	0.9
04-giu-22	11	1	5	0.3	84	0.4	0.9
04-giu-22	12	1	5	0.3	95	0.5	0.9
04-giu-22	13	1	3	0.3	95	0.4	0.8
04-giu-22	14	1	3	0.3	97	0.4	0.7
04-giu-22	15	1	6	0.3	101	0.4	0.8
04-giu-22	16	1	7	0.3	108	0.5	1.1
04-giu-22	17	1	7	0.3	105	0.5	0.9
04-giu-22	18	3	10	0.4	76	0.6	1.8
04-giu-22	19	3	13	0.4	72	0.6	1.2
04-giu-22	20	4	13	0.4	67	0.7	1.6
04-giu-22	21	3	10	0.4	69	0.6	1.4
04-giu-22	22	4	8	0.4	69	0.5	1.0
04-giu-22	23	1	6	0.3	72	0.5	1.3
04-giu-22	00	2	7	0.3	71	0.5	1.1
05-giu-22	01	1	4	0.3	80	0.5	1.2
05-giu-22	02	1	3	0.3	72	0.4	0.8
05-giu-22	03	1	3	0.3	69	0.4	0.7
05-giu-22	04	0	3	0.2	69	0.4	0.8
05-giu-22	05	1	4	0.3	58	0.4	0.6
05-giu-22	06	2	5	0.3	53	0.4	0.8
05-giu-22	07	1	4	0.3	72	0.4	0.8
05-giu-22	08	1	4	0.3	84	0.4	0.8

giorno	hh	NO ( $\mu\text{g}/\text{m}^3$ )	NO2 ( $\mu\text{g}/\text{m}^3$ )	CO ( $\text{mg}/\text{m}^3$ )	O3 ( $\mu\text{g}/\text{m}^3$ )	Benz ( $\mu\text{g}/\text{m}^3$ )	Tol ( $\mu\text{g}/\text{m}^3$ )
05-giu-22	09	2	8	0.4	84	0.5	1.3
05-giu-22	10	2	7	0.4	93	0.5	1.1
05-giu-22	11	1	5	0.3	109	0.5	0.9
05-giu-22	12	1	3	0.3	115	0.4	0.7
05-giu-22	13	2	5	0.3	126	0.4	0.6
05-giu-22	14	1	4	0.3	139	0.4	0.6
05-giu-22	15	1	4	0.4	141	0.5	0.8
05-giu-22	16	1	5	0.4	121	0.5	0.9
05-giu-22	17	2	4	0.4	93	0.4	0.6
05-giu-22	18	1	4	0.5	87	0.5	0.8
05-giu-22	19	1	5	0.4	76	0.5	0.8
05-giu-22	20	1	4	0.3	78	0.4	0.8
05-giu-22	21	0	2	0.3	78	0.4	0.6
05-giu-22	22	1	3	0.2	75	0.4	0.5
05-giu-22	23	0	2	0.2	73	0.4	0.6
05-giu-22	00	1	2	0.2	69	0.3	0.6
06-giu-22	01	0	1	0.2	65	0.3	0.6
06-giu-22	02	0	1	0.2	63	0.3	0.6
06-giu-22	03	1	2	0.2	66	0.4	0.6
06-giu-22	04	1	2	0.2	65	0.4	0.8
06-giu-22	05	5	9	0.2	61	0.3	0.7
06-giu-22	06	6	9	0.2	65	0.4	0.8
06-giu-22	07	4	7	0.3	62	0.4	0.8
06-giu-22	08	4	8	0.2	89	0.4	0.8
06-giu-22	09	3	7	0.2	95	0.4	0.7
06-giu-22	10	2	8	0.3	92	0.4	0.9
06-giu-22	11	1	5	0.2	112	0.4	0.9
06-giu-22	12	1	2	0.2	118	0.3	0.6
06-giu-22	13	1	4	0.2	133	0.4	0.6
06-giu-22	14	1	3	0.2	136	0.4	0.7
06-giu-22	15	0	3	0.2	144	0.4	0.7
06-giu-22	16	0	3	0.3	149	0.4	0.7
06-giu-22	17	1	5	0.3	145	0.4	0.8
06-giu-22	18	1	5	0.3	137	0.4	0.7
06-giu-22	19	1	7	0.3	116	0.5	1.3
06-giu-22	20	1	6	0.3	108	0.5	1.0
06-giu-22	21	0	5	0.3	107	0.4	0.9
06-giu-22	22	1	4	0.3	103	0.4	0.8
06-giu-22	23	0	4	0.3	92	0.4	0.8
06-giu-22	00	1	3	0.3	94	0.4	0.7
07-giu-22	01	1	2	0.3	83	0.3	0.6
07-giu-22	02	0	2	0.3	75	0.3	0.6
07-giu-22	03	0	2	0.3	68	0.4	0.6
07-giu-22	04	0	3	0.3	80	0.3	0.6
07-giu-22	05	2	5	0.3	72	0.3	0.6
07-giu-22	06	1	3	0.3	73	0.4	0.6
07-giu-22	07	0	3	0.3	60	0.4	0.6
07-giu-22	08	3	5	0.3	63	0.3	0.6

giorno	hh	NO ( $\mu\text{g}/\text{m}^3$ )	NO2 ( $\mu\text{g}/\text{m}^3$ )	CO ( $\text{mg}/\text{m}^3$ )	O3 ( $\mu\text{g}/\text{m}^3$ )	Benz ( $\mu\text{g}/\text{m}^3$ )	Tol ( $\mu\text{g}/\text{m}^3$ )
07-giu-22	09	2	6	0.3	76	0.3	0.7
07-giu-22	10	2	8	0.3	71	0.4	0.7
07-giu-22	11	1	5	0.3	80	0.4	0.9
07-giu-22	12	2	6	0.3	80	0.4	0.8
07-giu-22	13	1	2	0.2	90	0.4	0.7
07-giu-22	14	1	2	0.2	89	0.3	0.6
07-giu-22	15	1	2	0.2	92	0.4	0.6
07-giu-22	16	1	2	0.2	92	0.4	0.7
07-giu-22	17	1	3	0.3	58	0.4	0.7
07-giu-22	18	1	2	0.2	66	0.4	0.6
07-giu-22	19	1	3	0.2	59	0.4	0.7
07-giu-22	20	1	3	0.2	46	0.5	0.9
07-giu-22	21	1	4	0.2	50	0.6	0.8
07-giu-22	22	1	3	0.2	49	0.5	0.7
07-giu-22	23	1	2	0.2	59	0.4	0.7
07-giu-22	00	0	1	0.2	62	0.3	0.7
08-giu-22	01	0	1	0.2	64	0.3	0.6
08-giu-22	02	0	1	0.2	68	0.3	0.7
08-giu-22	03	0	1	0.2	69	0.3	0.6
08-giu-22	04	0	2	0.2	72	0.3	0.6
08-giu-22	05	17	19	0.2	51	0.4	0.6
08-giu-22	06	8	15	0.3	53	0.7	1.1
08-giu-22	07	2	8	0.2	82	0.4	0.8
08-giu-22	08	1	5	0.2	89	0.4	0.8
08-giu-22	09	3	7	0.2	88	0.4	0.7
08-giu-22	10	2	4	0.3	101	0.6	1.0
08-giu-22	11	1	3	0.2	106	0.4	0.6
08-giu-22	12	1	3	0.2	108	0.4	0.7
08-giu-22	13	2	4	0.2	112	0.4	0.7
08-giu-22	14	0	3	0.2	118	0.4	0.6
08-giu-22	15	1	4	0.2	128	0.4	0.7
08-giu-22	16	1	4	0.2	132	0.4	0.7
08-giu-22	17	0	5	0.3	124	0.4	0.7
08-giu-22	18	1	6	0.3	98	0.5	0.9
08-giu-22	19	1	5	0.3	99	0.5	0.8
08-giu-22	20	1	4	0.3	80	0.4	0.8
08-giu-22	21	0	3	0.3	66	0.3	0.7
08-giu-22	22	1	3	0.3	59	0.4	0.7
08-giu-22	23	0	3	0.3	56	0.4	0.8
08-giu-22	00	1	3	0.3	52	0.4	0.8
09-giu-22	01	0	2	0.2	60	0.4	0.8
09-giu-22	02	0	2	0.2	61	0.5	0.7
09-giu-22	03	1	2	0.2	53	0.4	0.8
09-giu-22	04	1	3	0.2	51	0.5	0.9
09-giu-22	05	2	5	0.3	52	0.4	0.8
09-giu-22	06	2	6	0.3	59	0.5	1.0
09-giu-22	07	2	5	0.2	73	0.5	0.8
09-giu-22	08	2	6	0.2	70	0.4	0.8

giorno	hh	NO ( $\mu\text{g}/\text{m}^3$ )	NO2 ( $\mu\text{g}/\text{m}^3$ )	CO ( $\text{mg}/\text{m}^3$ )	O3 ( $\mu\text{g}/\text{m}^3$ )	Benz ( $\mu\text{g}/\text{m}^3$ )	Tol ( $\mu\text{g}/\text{m}^3$ )
09-giu-22	09	3	7	0.3	73	0.4	0.9
09-giu-22	10	2	6	0.3	95	0.5	1.0
09-giu-22	11	1	4	0.2	101	0.4	0.9
09-giu-22	12	1	4	0.2	102	0.4	0.7
09-giu-22	13	1	5	0.2	106	0.5	0.8
09-giu-22	14	1	5	0.2	107	0.5	0.8
09-giu-22	15	1	5	0.2	109	0.4	0.8
09-giu-22	16	1	3	0.2	105	0.4	0.9
09-giu-22	17	1	3	0.1	105	0.4	0.8
09-giu-22	18	1	3	0.2	102	0.4	0.7
09-giu-22	19	1	3	0.2	100	0.4	0.6
09-giu-22	20	1	3	0.1	99	0.3	0.7
09-giu-22	21	1	3	0.1	101	0.4	0.8
09-giu-22	22	1	4	0.2	90	0.4	1.0
09-giu-22	23	0	3	0.2	82	0.3	0.8
09-giu-22	00	0	2	0.2	80	0.4	0.7
10-giu-22	01	0	1	0.2	80	0.3	0.7
10-giu-22	02	0	1	0.2	76	0.3	0.6
10-giu-22	03	0	1	0.2	76	0.3	0.7
10-giu-22	04	1	3	0.2	71	0.4	0.7
10-giu-22	05	1	3	0.2	70	0.5	0.7
10-giu-22	06	1	4	0.2	70	0.4	0.8
10-giu-22	07	1	5	0.2	86	0.4	0.6
10-giu-22	08	1	3	0.2	92	0.4	0.7
10-giu-22	09	1	3	0.2	97	0.4	0.7
10-giu-22	10	1	3	0.2	101	0.3	0.7
10-giu-22	11	1	3	0.2	104	0.4	0.7
10-giu-22	12	1	2	0.2	106	0.3	0.6
10-giu-22	13	1	2	0.2	108	0.4	0.7
10-giu-22	14	1	3	0.2	117	0.3	0.7
10-giu-22	15	1	3	0.2	122	0.3	0.6
10-giu-22	16	1	3	0.2	133	0.4	0.7
10-giu-22	17	1	4	0.2	145	0.4	0.7
10-giu-22	18	1	8	0.2	137	0.4	0.8
10-giu-22	19	2	13	0.2	108	0.5	0.9
10-giu-22	20	2	16	0.2	109	0.5	0.9
10-giu-22	21	1	14	0.3	106	0.5	1.0
10-giu-22	22	1	8	0.2	106	0.4	0.9
10-giu-22	23	1	6	0.2	105	0.4	0.9
10-giu-22	00	0	5	0.2	109	0.4	0.8
11-giu-22	01	1	5	0.2	103	0.4	0.8
11-giu-22	02	1	4	0.2	99	0.4	0.8
11-giu-22	03	1	4	0.2	94	0.4	0.8
11-giu-22	04	1	5	0.2	82	0.4	0.7
11-giu-22	05	3	10	0.2	76	0.4	0.8
11-giu-22	06	6	16	0.3	72	0.5	0.9
11-giu-22	07	1	6	0.2	93	0.5	0.9
11-giu-22	08	2	5	0.2	92	0.4	0.8

giorno	hh	NO ( $\mu\text{g}/\text{m}^3$ )	NO2 ( $\mu\text{g}/\text{m}^3$ )	CO ( $\text{mg}/\text{m}^3$ )	O3 ( $\mu\text{g}/\text{m}^3$ )	Benz ( $\mu\text{g}/\text{m}^3$ )	Tol ( $\mu\text{g}/\text{m}^3$ )
11-giu-22	09	2	8	0.2	114	0.4	0.9
11-giu-22	10	2	8	0.2	120	0.4	0.8
11-giu-22	11	1	4	0.2	130	0.4	1.1
11-giu-22	12	1	3	0.2	134	0.4	0.7
11-giu-22	13	1	3	0.2	136	0.4	0.7
11-giu-22	14	1	4	0.3	142	0.4	0.7
11-giu-22	15	0	3	0.2	148	0.4	0.7
11-giu-22	16	1	4	0.2	153	0.4	0.7
11-giu-22	17	1	3	0.2	159	0.4	0.7
11-giu-22	18	1	7	0.3	139	0.4	0.7
11-giu-22	19	2	11	0.3	115	0.4	0.9
11-giu-22	20	1	10	0.3	115	0.5	1.1
11-giu-22	21	1	8	0.3	114	0.5	1.2
11-giu-22	22	1	8	0.3	114	0.4	0.9
11-giu-22	23	1	6	0.3	111	0.4	0.8
11-giu-22	00	1	6	0.2	112	0.4	0.7
12-giu-22	01	1	5	0.2	110	0.4	0.8
12-giu-22	02	0	5	0.2	109	0.4	0.7
12-giu-22	03	1	4	0.2	107	0.4	0.8
12-giu-22	04	1	4	0.2	100	0.4	0.7
12-giu-22	05	1	8	0.3	88	0.4	0.9
12-giu-22	06	1	8	0.3	104	0.5	0.9
12-giu-22	07	1	5	0.2	116	0.4	0.9
12-giu-22	08	1	5	0.2	117	0.4	0.7
12-giu-22	09	1	8	0.2	124	0.4	0.8
12-giu-22	10	1	6	0.2	139	0.4	0.8
12-giu-22	11	1	3	0.2	143	0.4	0.7
12-giu-22	12	0	3	0.2	144	0.3	0.6
12-giu-22	13	1	4	0.3	145	0.4	0.7
12-giu-22	14	1	3	0.3	151	0.4	0.7
12-giu-22	15	1	4	0.2	157	0.4	0.7
12-giu-22	16	1	4	0.2	162	0.4	0.7
12-giu-22	17	1	4	0.3	170	0.4	0.7
12-giu-22	18	1	8	0.3	145	0.4	0.8
12-giu-22	19	2	11	0.3	124	0.5	1.5
12-giu-22	20	1	10	0.3	123	0.5	1.4
12-giu-22	21	1	7	0.3	122	0.4	0.9
12-giu-22	22	1	5	0.3	122	0.4	1.0
12-giu-22	23	1	4	0.3	124	0.4	0.8
12-giu-22	00	1	4	0.2	123	0.4	0.7
13-giu-22	01	0	4	0.2	124	0.4	0.8
13-giu-22	02	0	3	0.2	121	0.4	0.8
13-giu-22	03	1	3	0.2	117	0.4	0.8
13-giu-22	04	1	5	0.3	106	0.4	0.8
13-giu-22	05	1	6	0.3	103	0.4	0.7
13-giu-22	06	1	7	0.3	113	0.4	0.8
13-giu-22	07	1	7	0.7	121	0.5	1.5
13-giu-22	08	1	8	0.3	118	3.2	24.2

giorno	hh	NO ( $\mu\text{g}/\text{m}^3$ )	NO2 ( $\mu\text{g}/\text{m}^3$ )	CO ( $\text{mg}/\text{m}^3$ )	O3 ( $\mu\text{g}/\text{m}^3$ )	Benz ( $\mu\text{g}/\text{m}^3$ )	Tol ( $\mu\text{g}/\text{m}^3$ )
13-giu-22	09	2	9	0.2	133	0.4	1.0
13-giu-22	10	1	7	0.3	146	0.4	0.9
13-giu-22	11	1	4	0.3	146	0.4	0.9
13-giu-22	12	1	4	0.3	162	0.4	0.8
13-giu-22	13	1	6	0.3	172	0.4	0.8
13-giu-22	14	1	7	0.3	154	0.4	1.0
13-giu-22	15	0	5	0.2	143	0.4	0.8
13-giu-22	16	1	6	0.2	151	0.4	0.8
13-giu-22	17	1	8	0.3	139	0.4	0.9
13-giu-22	18	1	7	0.3	139	0.4	0.8
13-giu-22	19	1	10	0.3	117	0.4	0.9
13-giu-22	20	1	8	0.3	116	0.4	0.9
13-giu-22	21	1	6	0.2	109	0.4	0.8
13-giu-22	22	1	4	0.2	102	0.4	0.8
13-giu-22	23	1	3	0.2	92	0.4	0.7
13-giu-22	00	0	2	0.2	86	0.4	0.8
14-giu-22	01	0	2	0.1	88	0.4	0.7
14-giu-22	02	0	2	0.1	84	0.3	0.6
14-giu-22	03	0	2	0.1	83	0.4	0.7
14-giu-22	04	1	3	0.1	79	0.3	0.7
14-giu-22	05	4	10	0.2	68	0.4	1.1
14-giu-22	06	9	25	0.3	55	0.5	1.2
14-giu-22	07	2	9	0.2	86	0.5	1.0
14-giu-22	08	1	7	0.1	93	0.3	0.7
14-giu-22	09	1	7	0.2	121	0.3	0.9
14-giu-22	10	1	3	0.2	146	0.4	0.7
14-giu-22	11	1	3	0.2	142	0.4	0.8
14-giu-22	12	0	3	0.2	141	0.3	0.7
14-giu-22	13	0	3	0.2	140	0.4	0.7
14-giu-22	14	0	3	0.2	147	0.3	0.7
14-giu-22	15	1	4	0.2	152	0.4	0.7
14-giu-22	16	0	4	0.2	157	0.4	0.7
14-giu-22	17	0	4	0.2	164	0.4	0.7
14-giu-22	18	1	5	0.2	162	0.4	0.8
14-giu-22	19	1	6	0.3	165	0.4	0.8
14-giu-22	20	1	6	0.3	133	0.4	1.0
14-giu-22	21	1	7	0.3	125	0.4	1.0
14-giu-22	22	1	5	0.2	125	0.4	0.9
14-giu-22	23	1	4	0.2	120	0.4	0.8
14-giu-22	00	1	4	0.2	110	0.4	0.8
15-giu-22	01	1	4	0.2	107	0.4	0.8
15-giu-22	02	1	3	0.2	92	0.4	0.8
15-giu-22	03	1	3	0.2	93	0.4	0.8
15-giu-22	04	1	4	0.2	87	0.4	0.7
15-giu-22	05	2	10	0.3	72	0.4	0.8
15-giu-22	06	1	6	0.3	99	0.4	0.9
15-giu-22	07	1	8	0.3	128	0.4	0.8
15-giu-22	08	2	12	0.3	120	0.4	1.1



giorno	hh	NO ( $\mu\text{g}/\text{m}^3$ )	NO2 ( $\mu\text{g}/\text{m}^3$ )	CO ( $\text{mg}/\text{m}^3$ )	O3 ( $\mu\text{g}/\text{m}^3$ )	Benz ( $\mu\text{g}/\text{m}^3$ )	Tol ( $\mu\text{g}/\text{m}^3$ )
15-giu-22	09	2	11	0.3	130	0.5	1.4
15-giu-22	10	1	8	0.3	144	0.4	1.0
15-giu-22	11	1	7	0.3	145	0.4	0.8
15-giu-22	12	1	4	0.3	141	0.4	0.7
15-giu-22	13	3	10	0.3	147	0.4	0.7
15-giu-22	14	2	8	0.3	159	0.4	0.8
15-giu-22	15	1	7	0.3	109	0.4	0.8
15-giu-22	16	1	7	0.3	129	0.5	0.7
15-giu-22	17	1	8	0.3	105	0.4	0.8
15-giu-22	18	2	9	0.3	80	0.5	0.9
15-giu-22	19	2	10	0.4	85	0.5	1.0
15-giu-22	20	2	9	0.3	95	0.5	1.0
15-giu-22	21	1	7	0.3	97	0.5	0.9
15-giu-22	22	1	4	0.3	98	0.4	1.0
15-giu-22	23	1	3	0.2	104	0.4	0.8
15-giu-22	00	1	3	0.2	91	0.4	0.7
16-giu-22	01	1	3	0.2	87	0.4	0.7
16-giu-22	02	1	2	0.2	93	0.4	0.7
16-giu-22	03	1	2	0.2	91	0.3	0.6
16-giu-22	04	1	4	0.2	89	0.3	0.7
16-giu-22	05	2	10	0.2	81	0.4	0.8
16-giu-22	06	4	15	0.3	66	0.6	1.4
16-giu-22	07	2	9	0.3	64	0.4	0.9
16-giu-22	08	1	6	0.2	94	0.4	0.9
16-giu-22	09	2	7	0.2	109	0.4	0.7
16-giu-22	10	1	6	0.2	115	0.4	0.8
16-giu-22	11	1	8	0.2	118	0.4	0.9
16-giu-22	12	1	7	0.2	136	0.4	0.8
16-giu-22	13	1	5	0.2	148	0.4	0.8
16-giu-22	14	1	6	0.2	147	0.3	0.7
16-giu-22	15	1	4	0.3	159	0.4	0.9
16-giu-22	16	1	5	0.3	178	0.4	0.9
16-giu-22	17	1	9	0.3	203	0.5	1.0
16-giu-22	18	1	9	0.3	205	0.5	1.2
16-giu-22	19	1	10	0.4	175	0.9	5.2
16-giu-22	20	1	11	0.4	143	0.5	1.9
16-giu-22	21	1	9	0.3	140	0.5	1.1
16-giu-22	22	1	5	0.3	141	0.4	1.1
16-giu-22	23	0	5	0.2	125	0.5	0.9
16-giu-22	00	0	4	0.2	130	0.4	0.8
17-giu-22	01	0	3	0.2	131	0.4	0.9
17-giu-22	02	0	3	0.2	119	0.4	0.8
17-giu-22	03	0	2	0.2	111	0.4	0.7
17-giu-22	04	0	5	0.2	107	0.4	0.8
17-giu-22	05	2	9	0.2	87	0.4	0.7
17-giu-22	06	4	10	0.2	91	0.4	0.8
17-giu-22	07	1	6	0.2	106	0.3	0.7
17-giu-22	08	1	7	0.2	117	0.4	0.9

giorno	hh	NO ( $\mu\text{g}/\text{m}^3$ )	NO2 ( $\mu\text{g}/\text{m}^3$ )	CO ( $\text{mg}/\text{m}^3$ )	O3 ( $\mu\text{g}/\text{m}^3$ )	Benz ( $\mu\text{g}/\text{m}^3$ )	Tol ( $\mu\text{g}/\text{m}^3$ )
17-giu-22	09	2	9	0.2	123	0.4	1.1
17-giu-22	10	1	6	0.2	134	0.4	0.9
17-giu-22	11	1	6	0.2	144	0.4	0.8
17-giu-22	12	1	4	0.2	145	0.4	0.7
17-giu-22	13	1	3	0.2	155	0.4	0.7
17-giu-22	14	1	3	0.2	154	0.4	0.7
17-giu-22	15	1	5	0.3	185	0.3	0.8
17-giu-22	16	1	5	0.3	199	0.4	0.8
17-giu-22	17	1	8	0.3	203	0.4	0.9
17-giu-22	18	1	11	0.3	194	0.5	1.2
17-giu-22	19	1	13	0.3	158	0.5	1.1
17-giu-22	20	2	19	0.3	144	0.5	1.6
17-giu-22	21	1	10	0.3	145	0.5	1.1
17-giu-22	22	1	8	0.3	144	0.4	1.0
17-giu-22	23	1	6	0.3	143	0.4	0.9
17-giu-22	00	1	5	0.3	139	0.4	0.8
18-giu-22	01	1	6	0.3	129	0.4	0.8
18-giu-22	02	1	5	0.3	128	0.4	0.9
18-giu-22	03	1	4	0.3	122	0.4	0.8
18-giu-22	04	1	6	0.3	118	0.4	0.8
18-giu-22	05	1	6	0.3	103	0.4	0.8
18-giu-22	06	2	9	0.3	102	0.5	0.9
18-giu-22	07	1	6	0.3	141	0.5	0.8
18-giu-22	08	1	7	0.3	136	0.4	0.9
18-giu-22	09	1	9	0.3	139	0.4	1.1
18-giu-22	10	1	6	0.3	154	0.5	1.1
18-giu-22	11	1	5	0.3	150	0.4	0.9
18-giu-22	12	1	3	0.2	146	0.4	0.8
18-giu-22	13	1	3	0.2	143	0.4	0.7
18-giu-22	14	1	3	0.2	146	0.4	0.7
18-giu-22	15	1	3	0.2	154	0.4	0.9
18-giu-22	16	1	3	0.2	161	0.4	0.8
18-giu-22	17	1	4	0.2	167	0.4	0.8
18-giu-22	18	1	9	0.2	162	0.4	0.8
18-giu-22	19	1	10	0.3	140	0.5	1.2
18-giu-22	20	1	10	0.3	125	0.6	1.0
18-giu-22	21	1	9	0.3	115	0.5	1.2
18-giu-22	22	1	7	0.3	120	0.5	1.2
18-giu-22	23	1	6	0.3	117	0.4	0.8
18-giu-22	00	1	5	0.2	119	0.4	0.9
19-giu-22	01	1	5	0.2	120	0.4	0.7
19-giu-22	02	1	3	0.2	116	0.4	0.8
19-giu-22	03	0	4	0.2	114	0.4	0.7
19-giu-22	04	1	4	0.2	109	0.4	0.8
19-giu-22	05	1	5	0.3	100	0.4	1.0
19-giu-22	06	1	4	0.3	112	0.5	1.5
19-giu-22	07	1	5	0.3	142	0.5	0.9
19-giu-22	08	1	8	0.3	136	0.4	0.8

giorno	hh	NO ( $\mu\text{g}/\text{m}^3$ )	NO2 ( $\mu\text{g}/\text{m}^3$ )	CO ( $\text{mg}/\text{m}^3$ )	O3 ( $\mu\text{g}/\text{m}^3$ )	Benz ( $\mu\text{g}/\text{m}^3$ )	Tol ( $\mu\text{g}/\text{m}^3$ )
19-giu-22	09	1	9	0.3	142	0.4	0.9
19-giu-22	10	1	6	0.3	151	0.4	0.8
19-giu-22	11	1	5	0.3	149	0.4	0.8
19-giu-22	12	1	3	0.2	147	0.4	0.7
19-giu-22	13	1	4	0.2	144	0.5	1.6
19-giu-22	14	1	3	0.2	144	0.4	0.7
19-giu-22	15	1	3	0.2	145	0.4	0.7
19-giu-22	16	1	3	0.2	145	0.4	0.7
19-giu-22	17	1	3	0.2	149	0.4	0.7
19-giu-22	18	1	6	0.2	142	0.5	0.9
19-giu-22	19	2	10	0.3	115	0.5	1.3
19-giu-22	20	2	13	0.3	120	0.5	1.1
19-giu-22	21	1	8	0.2	125	0.5	1.2
19-giu-22	22	0	4	0.2	123	0.4	0.9
19-giu-22	23	1	3	0.2	118	0.4	0.8
19-giu-22	00	1	3	0.2	118	0.4	0.7
20-giu-22	01	1	3	0.2	118	0.4	0.7
20-giu-22	02	1	3	0.2	114	0.4	0.8
20-giu-22	03	1	3	0.2	112	0.4	0.9
20-giu-22	04	1	4	0.2	107	0.4	0.7
20-giu-22	05	1	8	0.2	97	0.4	0.8
20-giu-22	06	1	9	0.2	97	0.4	0.9
20-giu-22	07	1	8	0.2	126	0.4	0.8
20-giu-22	08	2	10	0.2	126	0.4	0.9
20-giu-22	09	2	12	0.3	127	0.4	1.0
20-giu-22	10	2	11	0.3	147	0.5	1.0
20-giu-22	11	1	6	0.2	154	0.4	0.9
20-giu-22	12	1	5	0.2	159	0.4	0.8
20-giu-22	13	1	6	0.2	174	0.4	0.9
20-giu-22	14	1	6	0.2	196	0.4	0.9
20-giu-22	15	1	6	0.2	203	0.4	0.9
20-giu-22	16	1	6	0.2	207	0.4	0.9
20-giu-22	17	0	5	0.2	206	0.4	0.7
20-giu-22	18	1	6	0.2	193	0.4	0.8
20-giu-22	19	1	12	0.3	158	0.4	1.0
20-giu-22	20	1	11	0.3	140	0.5	1.2
20-giu-22	21	1	7	0.3	138	0.5	1.1
20-giu-22	22	1	5	0.2	129	0.4	0.9
20-giu-22	23	1	5	0.2	129	0.4	0.9
20-giu-22	00	1	4	0.2	121	0.4	1.0
21-giu-22	01	1	4	0.2	118	0.4	1.0
21-giu-22	02	1	4	0.2	114	0.4	1.0
21-giu-22	03	1	4	0.2	110	0.4	0.9
21-giu-22	04	1	6	0.2	111	0.4	0.9
21-giu-22	05	1	9	0.3	92	0.4	0.9
21-giu-22	06	1	11	0.3	87	0.5	1.3
21-giu-22	07	1	9	0.3	119	0.4	1.0
21-giu-22	08	1	10	0.3	133	0.4	1.0

giorno	hh	NO ( $\mu\text{g}/\text{m}^3$ )	NO2 ( $\mu\text{g}/\text{m}^3$ )	CO ( $\text{mg}/\text{m}^3$ )	O3 ( $\mu\text{g}/\text{m}^3$ )	Benz ( $\mu\text{g}/\text{m}^3$ )	Tol ( $\mu\text{g}/\text{m}^3$ )
21-giu-22	09	2	15	0.3	133	0.5	1.1
21-giu-22	10	1	9	0.3	147	0.5	1.1
21-giu-22	11	1	8	0.3	153	0.4	1.0
21-giu-22	12	1	7	0.3	151	0.4	0.9
21-giu-22	13	1	6	0.3	152	0.4	0.8
21-giu-22	14	1	5	0.3	153	0.4	0.9
21-giu-22	15	1	6	0.3	168	0.4	0.9
21-giu-22	16	1	6	0.3	182	0.4	0.9
21-giu-22	17	1	7	0.3	187	0.4	0.8
21-giu-22	18	1	6	0.3	191	0.4	0.9
21-giu-22	19	1	7	0.3	187	0.4	0.9
21-giu-22	20	1	13	0.3	148	0.5	1.2
21-giu-22	21	1	7	0.3	136	0.5	1.6
21-giu-22	22	1	6	0.3	124	0.4	1.1
21-giu-22	23	1	6	0.3	113	0.4	1.0
21-giu-22	00	1	5	0.2	101	0.4	1.2
22-giu-22	01	1	4	0.2	97	0.4	1.0
22-giu-22	02	1	4	0.2	95	0.4	0.9
22-giu-22	03	1	3	0.2	95	0.4	0.9
22-giu-22	04	1	5	0.2	89	0.4	0.9
22-giu-22	05	2	9	0.2	86	0.4	0.9
22-giu-22	06	2	11	0.2	88	0.4	0.9
22-giu-22	07	1	7	0.2	85	0.4	1.2
22-giu-22	08	2	17	0.3	71	0.5	1.6
22-giu-22	09	6	19	0.4	63	0.9	3.0
22-giu-22	10	4	11	0.3	64	0.5	1.2
22-giu-22	11	5	12	0.3	79	0.5	1.2
22-giu-22	12	1	5	0.3	98	0.4	0.8
22-giu-22	13	2	10	0.3	86	0.4	1.3
22-giu-22	14	1	10	0.3	87	0.4	1.7
22-giu-22	15	3	11	0.3	78	0.5	1.3
22-giu-22	16	1	6	0.3	81	0.4	0.9
22-giu-22	17	2	12	0.3	75	0.5	1.1
22-giu-22	18	2	9	0.3	68	0.7	3.4
22-giu-22	19	2	9	0.3	60	0.5	1.0
22-giu-22	20	2	6	0.3	63	0.5	0.9
22-giu-22	21	1	5	0.3	62	0.4	0.8
22-giu-22	22	1	5	0.3	52	0.4	0.8
22-giu-22	23	1	4	0.3	50	0.4	0.8
22-giu-22	00	1	4	0.2	47	0.4	0.9
23-giu-22	01	1	3	0.2	53	0.4	0.9
23-giu-22	02	1	3	0.2	52	0.4	0.9
23-giu-22	03	1	2	0.2	52	0.3	0.8
23-giu-22	04	1	3	0.2	48	0.4	0.8
23-giu-22	05	7	10	0.2	45	0.4	0.7
23-giu-22	06	2	4	0.2	49	0.4	0.7
23-giu-22	07	4	5	0.3	51	0.4	0.7
23-giu-22	08	3	6	0.2	68	0.4	1.1

giorno	hh	NO ( $\mu\text{g}/\text{m}^3$ )	NO2 ( $\mu\text{g}/\text{m}^3$ )	CO ( $\text{mg}/\text{m}^3$ )	O3 ( $\mu\text{g}/\text{m}^3$ )	Benz ( $\mu\text{g}/\text{m}^3$ )	Tol ( $\mu\text{g}/\text{m}^3$ )
23-giu-22	09	3	9	0.2	74	0.4	1.3
23-giu-22	10	2	8	0.2	92	0.4	1.3
23-giu-22	11	1	5	0.2	103	0.5	1.0
23-giu-22	12	1	3	0.2	115	0.5	0.8
23-giu-22	13	1	3	0.2	120	0.4	0.8
23-giu-22	14	7	17	0.2	129	0.4	0.8
23-giu-22	15	1	6	0.3	144	0.5	1.0
23-giu-22	16	3	12	0.3	135	0.5	1.8
23-giu-22	17	2	10	0.2	124	0.5	0.9
23-giu-22	18	1	6	0.2	116	0.5	0.9
23-giu-22	19	1	6	0.3	87	0.5	0.9
23-giu-22	20	1	5	0.3	72	0.4	0.9
23-giu-22	21	1	5	0.3	64	0.4	0.9
23-giu-22	22	1	3	0.2	63	0.4	0.7
23-giu-22	23	1	2	0.2	49	0.4	0.8
23-giu-22	00	1	2	0.2	51	0.4	0.7
24-giu-22	01	1	2	0.2	52	0.4	0.7
24-giu-22	02	1	2	0.2	49	0.4	0.7
24-giu-22	03	1	2	0.2	46	0.4	0.8
24-giu-22	04	2	4	0.2	46	0.4	0.8
24-giu-22	05	1	3	0.2	43	0.3	0.7
24-giu-22	06	1	3	0.2	53	0.4	0.7
24-giu-22	07	2	5	0.2	69	0.5	1.1
24-giu-22	08	3	7	0.2	79	0.4	0.9
24-giu-22	09	1	2	0.2	98	0.5	0.8
24-giu-22	10	3	5	0.2	98	0.4	0.7
24-giu-22	11	1	4	0.2	106	0.4	0.7
24-giu-22	12	2	4	0.2	114	0.4	0.6
24-giu-22	13	1	3	0.2	121	0.4	0.6
24-giu-22	14	1	5	0.2	126	0.4	0.7
24-giu-22	15	1	4	0.2	126	0.4	0.8
24-giu-22	16	1	4	0.2	99	0.4	0.9
24-giu-22	17	2	6	0.3	83	0.4	0.6
24-giu-22	18	1	4	0.3	77	0.4	0.7
24-giu-22	19	2	6	0.2	63	0.4	0.7
24-giu-22	20	2	6	0.2	61	0.5	1.6
24-giu-22	21	2	6	0.2	63	0.6	1.3
24-giu-22	22	1	4	0.2	61	0.5	1.0
24-giu-22	23	1	3	0.2	61	0.4	0.8

## Borno – periodo invernale

giorno	hh	NO ( $\mu\text{g}/\text{m}^3$ )	NO2 ( $\mu\text{g}/\text{m}^3$ )	CO ( $\text{mg}/\text{m}^3$ )	O3 ( $\mu\text{g}/\text{m}^3$ )	Benz ( $\mu\text{g}/\text{m}^3$ )	Tol ( $\mu\text{g}/\text{m}^3$ )
25-nov-22	00	2	24	0.3	61	0.6	0.6
25-nov-22	01	3	22	0.3	62	0.7	0.5
25-nov-22	02	2	20	0.3	65	0.6	0.7
25-nov-22	03	2	20	0.3	64	0.3	0.6

giorno	hh	NO ( $\mu\text{g}/\text{m}^3$ )	NO2 ( $\mu\text{g}/\text{m}^3$ )	CO ( $\text{mg}/\text{m}^3$ )	O3 ( $\mu\text{g}/\text{m}^3$ )	Benz ( $\mu\text{g}/\text{m}^3$ )	Tol ( $\mu\text{g}/\text{m}^3$ )
25-nov-22	04	2	20	0.3	62	0.4	0.6
25-nov-22	05	3	21	0.3	56	0.3	0.6
25-nov-22	06	3	22	0.3	53	0.5	0.7
25-nov-22	07	6	30	0.3	45	0.5	0.7
25-nov-22	08	7	34	0.4	46	0.9	0.8
25-nov-22	09	4	32	0.4	56	1.1	0.6
25-nov-22	10	3	29	0.3	62	0.8	0.7
25-nov-22	11	3	27	0.3	69	0.6	0.7
25-nov-22	12	3	26	0.3	68	0.8	0.5
25-nov-22	13	3	28	0.3	65	1.2	0.7
25-nov-22	14	3	32	0.3	59	1.7	1.0
25-nov-22	15	3	32	0.4	53	1.0	1.0
25-nov-22	16	4	32	0.5	36	2.8	1.8
25-nov-22	17	7	36	0.6	27	2.3	2.5
25-nov-22	18	10	36	0.6	29	3.0	2.1
25-nov-22	19	11	36	0.7	27	1.7	2.3
25-nov-22	20	11	34	0.5	31	1.4	2.4
25-nov-22	21	10	33	0.5	36	1.4	2.5
25-nov-22	22	7	31	0.6	40	2.8	2.2
25-nov-22	23	6	30	0.4	41	2.4	1.8
25-nov-22	00	5	28	0.4	48	0.9	1.1
26-nov-22	01	4	26	0.4	53	1.7	1.2
26-nov-22	02	3	23	0.4	54	0.9	1.1
26-nov-22	03	3	21	0.3	58	0.9	1.3
26-nov-22	04	2	19	0.3	62	0.6	1.0
26-nov-22	05	2	18	0.3	60	0.4	0.7
26-nov-22	06	2	18	0.3	55	0.5	0.7
26-nov-22	07	10	28	0.4	39	0.7	0.7
26-nov-22	08	9	33	0.4	56	0.8	1.0
26-nov-22	09	4	30	0.4	60	0.7	0.6
26-nov-22	10	3	28	0.4	62	1.0	0.8
26-nov-22	11	3	26	0.3	66	0.7	0.7
26-nov-22	12	3	27	0.3	67	0.5	0.7
26-nov-22	13	4	28	0.3	66	0.9	1.0
26-nov-22	14	6	36	0.4	58	0.9	1.1
26-nov-22	15	4	35	0.4	54	0.7	1.5
26-nov-22	16	4	34	0.6	45	1.7	2.7
26-nov-22	17	5	36	0.7	39	2.0	2.6
26-nov-22	18	6	38	0.6	39	2.6	2.6
26-nov-22	19	6	37	0.5	40	2.4	1.7
26-nov-22	20	5	35	0.4	49	1.2	1.5
26-nov-22	21	4	32	0.4	46	0.8	1.6
26-nov-22	22	3	29	0.4	50	1.4	1.4
26-nov-22	23	3	27	0.4	50	1.4	1.5
26-nov-22	00	3	24	0.4	46	1.2	1.3
27-nov-22	01	3	22	0.4	50	1.2	1.1
27-nov-22	02	3	20	0.4	46	0.7	1.3
27-nov-22	03	3	18	0.4	51	0.8	1.2

giorno	hh	NO ( $\mu\text{g}/\text{m}^3$ )	NO2 ( $\mu\text{g}/\text{m}^3$ )	CO ( $\text{mg}/\text{m}^3$ )	O3 ( $\mu\text{g}/\text{m}^3$ )	Benz ( $\mu\text{g}/\text{m}^3$ )	Tol ( $\mu\text{g}/\text{m}^3$ )
27-nov-22	04	2	15	0.4	50	1.2	3.0
27-nov-22	05	2	11	0.3	50	1.4	2.0
27-nov-22	06	2	8	0.2	52	0.4	1.1
27-nov-22	07	2	12	0.2	49	1.1	1.0
27-nov-22	08	2	15	0.3	52	1.1	1.2
27-nov-22	09	2	14	0.3	54	1.3	1.0
27-nov-22	10	2	19	0.3	57	1.7	1.1
27-nov-22	11	3	25	0.2	62	1.1	0.9
27-nov-22	12	4	33	0.2	67	0.8	0.8
27-nov-22	13	3	33	0.3	68	1.2	0.6
27-nov-22	14	3	32	0.3	65	1.0	1.1
27-nov-22	15	3	30	0.4	52	1.1	0.8
27-nov-22	16	4	29	0.5	43	1.6	1.2
27-nov-22	17	4	29	0.6	37	2.4	1.5
27-nov-22	18	4	29	0.5	43	1.5	1.7
27-nov-22	19	4	28	0.5	42	1.8	1.2
27-nov-22	20	4	26	0.5	41	1.5	1.2
27-nov-22	21	3	24	0.5	39	1.1	1.4
27-nov-22	22	4	22	0.4	46	0.9	1.1
27-nov-22	23	3	20	0.4	45	1.1	1.1
27-nov-22	00	3	19	0.4	43	1.4	1.2
28-nov-22	01	3	18	0.4	44	0.9	1.8
28-nov-22	02	3	17	0.4	41	1.6	0.9
28-nov-22	03	3	17	0.4	40	1.2	0.9
28-nov-22	04	3	17	0.4	39	0.9	1.2
28-nov-22	05	4	18	0.4	40	1.0	1.0
28-nov-22	06	4	19	0.4	39	0.8	1.5
28-nov-22	07	5	21	0.4	33	1.2	1.4
28-nov-22	08	21	26	0.6	26	1.4	1.3
28-nov-22	09	17	28	0.4	40	1.2	27.9
28-nov-22	10	10	30	0.4	47	1.0	2.2
28-nov-22	11	6	32	0.4	50	1.4	2.1
28-nov-22	12	4	31	0.5	50	1.7	1.7
28-nov-22	13	4	31	0.4	56	1.6	1.6
28-nov-22	14	3	31	0.4	61	1.1	1.5
28-nov-22	15	3	29	0.4	58	0.9	12.0
28-nov-22	16	3	29	0.5	47	1.5	15.6
28-nov-22	17	4	31	0.5	37	1.5	10.6
28-nov-22	18	5	33	0.6	29	2.2	4.8
28-nov-22	19	7	32	0.7	24	1.9	5.2
28-nov-22	20	8	31	0.7	24	2.5	3.1
28-nov-22	21	8	28	0.6	30	2.6	2.6
28-nov-22	22	7	26	0.5	32	1.2	3.9
28-nov-22	23	6	24	0.4	31	1.6	2.5
28-nov-22	00	5	21	0.4	32	1.3	2.7
29-nov-22	01	5	19	0.4	31	1.3	2.1
29-nov-22	02	5	18	0.4	28	1.1	2.0
29-nov-22	03	5	17	0.4	28	1.4	1.4

giorno	hh	NO ( $\mu\text{g}/\text{m}^3$ )	NO2 ( $\mu\text{g}/\text{m}^3$ )	CO ( $\text{mg}/\text{m}^3$ )	O3 ( $\mu\text{g}/\text{m}^3$ )	Benz ( $\mu\text{g}/\text{m}^3$ )	Tol ( $\mu\text{g}/\text{m}^3$ )
29-nov-22	04	5	17	0.4	31	0.9	1.6
29-nov-22	05	5	17	0.4	31	0.8	1.9
29-nov-22	06	5	17	0.4	31	0.8	1.6
29-nov-22	07	8	20	0.4	26	1.0	2.0
29-nov-22	08	8	20	0.5	26	1.5	1.4
29-nov-22	09	9	21	0.5	26	1.2	1.8
29-nov-22	10	10	24	0.5	30	1.8	2.8
29-nov-22	11	9	26	0.5	31	3.0	2.4
29-nov-22	12	9	28	0.5	34	1.3	2.1
29-nov-22	13	8	30	0.5	35	1.9	2.2
29-nov-22	14	10	33	0.6	30	2.0	2.3
29-nov-22	15	11	34	0.6	28	1.8	2.4
29-nov-22	16	13	36	0.7	22	1.8	2.8
29-nov-22	17	14	37	0.7	18	3.4	3.0
29-nov-22	18	14	34	0.8	16	2.7	3.6
29-nov-22	19	16	30	0.7	14	3.0	5.9
29-nov-22	20	15	25	0.5	21	2.4	5.0
29-nov-22	21	13	23	0.5	21	2.4	4.8
29-nov-22	22	11	20	0.5	25	1.7	5.2
29-nov-22	23	10	19	0.4	28	1.5	3.6
29-nov-22	00	7	18	0.4	30	0.9	3.5
30-nov-22	01	6	16	0.4	31	1.0	2.8
30-nov-22	02	3	8	0.3	31	1.4	2.9
30-nov-22	03	2	6	0.3	32	1.4	2.9
30-nov-22	04	3	7	0.3	29	0.8	1.9
30-nov-22	05	3	8	0.2	29	0.8	2.4
30-nov-22	06	6	12	0.3	27	1.4	2.7
30-nov-22	07	17	22	0.3	27	1.9	3.0
30-nov-22	08	20	24	0.4	26	1.5	4.5
30-nov-22	09	13	21	0.3	32	1.7	2.9
30-nov-22	10	15	20	0.3	31	2.0	1.9
30-nov-22	11	10	22	0.4	29	1.3	1.6
30-nov-22	12	10	26	0.5	27	3.2	2.4
30-nov-22	13	7	27	0.5	27	1.7	1.7
30-nov-22	14	7	28	0.4	26	1.9	1.9
30-nov-22	15	8	29	0.5	23	3.4	2.3
30-nov-22	16	9	30	0.5	18	2.3	2.5
30-nov-22	17	10	29	0.6	18	3.6	2.2
30-nov-22	18	10	26	0.6	16	2.6	2.5
30-nov-22	19	8	22	0.5	20	3.7	2.2
30-nov-22	20	6	19	0.4	25	2.2	1.7
30-nov-22	21	5	17	0.3	29	1.6	1.4
30-nov-22	22	3	14	0.3	31	2.6	2.5
30-nov-22	23	3	11	0.2	35	1.9	1.7
30-nov-22	00	2	9	0.2	34	1.3	1.3
01-dic-22	01	2	8	0.2	37	2.0	1.7
01-dic-22	02	2	8	0.2	37	0.8	2.2
01-dic-22	03	2	7	0.2	40	1.0	2.0



giorno	hh	NO ( $\mu\text{g}/\text{m}^3$ )	NO2 ( $\mu\text{g}/\text{m}^3$ )	CO ( $\text{mg}/\text{m}^3$ )	O3 ( $\mu\text{g}/\text{m}^3$ )	Benz ( $\mu\text{g}/\text{m}^3$ )	Tol ( $\mu\text{g}/\text{m}^3$ )
01-dic-22	04	2	8	0.2	39	0.5	1.2
01-dic-22	05	2	10	0.2	39	1.2	2.1
01-dic-22	06	4	14	0.2	38	0.8	2.0
01-dic-22	07	6	23	0.3	33	1.3	2.9
01-dic-22	08	7	25	0.3	40	1.0	1.7
01-dic-22	09	3	20	0.2	46	1.6	1.9
01-dic-22	10	2	18	0.2	51	1.0	1.1
01-dic-22	11	3	24	0.2	51	0.9	1.2
01-dic-22	12	4	29	0.2	53	0.9	0.7
01-dic-22	13	4	34	0.2	51	1.0	1.0
01-dic-22	14	5	42	0.3	47	1.3	1.2
01-dic-22	15	6	45	0.3	39	1.2	1.0
01-dic-22	16	7	44	0.3	35	1.5	1.8
01-dic-22	17	7	41	0.5	27	1.6	1.6
01-dic-22	18	7	34	0.6	26	2.9	1.7
01-dic-22	19	7	30	0.5	29	2.1	1.8
01-dic-22	20	5	26	0.4	35	2.0	3.0
01-dic-22	21	3	22	0.3	41	1.2	2.0
01-dic-22	22	2	17	0.3	46	0.7	1.0
01-dic-22	23	2	14	0.2	47	0.8	2.4
01-dic-22	00	2	11	0.2	46	1.5	1.6
02-dic-22	01	2	10	0.2	45	0.8	2.2
02-dic-22	02	2	11	0.2	43	0.9	2.1
02-dic-22	03	2	13	0.2	42	1.1	1.4
02-dic-22	04	2	13	0.2	40	1.0	2.5
02-dic-22	05	2	12	0.2	39	1.2	2.0
02-dic-22	06	2	12	0.3	36	1.3	2.0
02-dic-22	07	4	17	0.3	27	0.9	1.8
02-dic-22	08	8	23	0.3	24	1.6	3.2
02-dic-22	09	6	23	0.4	30	2.0	2.2
02-dic-22	10	6	25	0.4	38	2.5	2.0
02-dic-22	11	5	28	0.4	39	1.4	2.4
02-dic-22	12	4	26	0.4	38	1.6	1.2
02-dic-22	13	5	30	0.4	33	1.5	1.5
02-dic-22	14	7	32	0.4	32	2.1	1.7
02-dic-22	15	7	33	0.5	25	2.2	2.5
02-dic-22	16	9	34	0.6	20	2.3	2.7
02-dic-22	17	12	34	0.5	16	2.6	2.6
02-dic-22	18	10	31	0.5	15	2.9	2.9
02-dic-22	19	12	27	0.7	15	2.3	2.4
02-dic-22	20	13	24	0.7	13	2.8	2.6
02-dic-22	21	14	21	0.5	14	2.8	3.0
02-dic-22	22	9	18	0.4	20	2.9	2.3
02-dic-22	23	5	16	0.4	26	2.1	2.5
02-dic-22	00	3	14	0.3	32	2.2	1.6
03-dic-22	01	2	11	0.3	43	2.5	1.1
03-dic-22	02	2	11	0.3	48	2.2	1.4
03-dic-22	03	2	12	0.2	49	1.2	1.0

giorno	hh	NO ( $\mu\text{g}/\text{m}^3$ )	NO2 ( $\mu\text{g}/\text{m}^3$ )	CO ( $\text{mg}/\text{m}^3$ )	O3 ( $\mu\text{g}/\text{m}^3$ )	Benz ( $\mu\text{g}/\text{m}^3$ )	Tol ( $\mu\text{g}/\text{m}^3$ )
03-dic-22	04	2	13	0.2	51	1.0	1.7
03-dic-22	05	1	12	0.2	55	0.8	1.7
03-dic-22	06	2	13	0.2	54	1.0	1.6
03-dic-22	07	3	21	0.2	46	0.8	0.9
03-dic-22	08	6	33	0.4	32	1.1	1.7
03-dic-22	09	8	36	0.4	36	4.3	2.1
03-dic-22	10	4	32	0.4	47	2.4	1.6
03-dic-22	11	4	33	0.5	44	3.0	2.1
03-dic-22	12	5	37	0.5	47	1.9	2.4
03-dic-22	13	5	39	0.5	50	2.4	1.8
03-dic-22	14	3	31	0.3	66	2.1	1.1
03-dic-22	15	3	25	0.4	57	1.3	1.1
03-dic-22	16	4	27	0.4	40	2.6	1.3
03-dic-22	17	6	28	0.5	29	1.9	1.3
03-dic-22	18	7	28	0.5	29	3.5	1.1
03-dic-22	19	10	26	0.6	26	2.3	2.7
03-dic-22	20	11	26	0.5	27	2.0	1.7
03-dic-22	21	9	24	0.5	27	2.0	1.7
03-dic-22	22	7	22	0.5	30	1.1	1.3
03-dic-22	23	7	21	0.4	30	1.3	1.7
03-dic-22	00	5	19	0.3	42	1.2	0.9
04-dic-22	01	4	18	0.3	44	1.0	0.7
04-dic-22	02	4	18	0.2	40	1.1	1.3
04-dic-22	03	4	17	0.2	44	0.7	0.7
04-dic-22	04	3	16	0.2	48	0.5	0.8
04-dic-22	05	3	16	0.2	51	0.4	0.7
04-dic-22	06	3	17	0.2	49	0.4	0.8
04-dic-22	07	4	18	0.2	48	0.7	0.7
04-dic-22	08	4	20	0.3	42	1.1	0.9
04-dic-22	09	7	26	0.4	39	1.7	1.0
04-dic-22	10	7	32	0.4	47	1.6	1.3
04-dic-22	11	8	36	0.4	37	1.7	2.2
04-dic-22	12	8	35	0.5	34	1.5	2.3
04-dic-22	13	7	34	0.5	40	1.9	1.5
04-dic-22	14	7	37	0.5	38	2.0	1.7
04-dic-22	15	7	39	0.5	46	1.8	2.1
04-dic-22	16	7	40	0.5	35	2.4	2.1
04-dic-22	17	7	39	0.5	37	2.3	1.5
04-dic-22	18	7	37	0.6	31	1.7	1.3
04-dic-22	19	8	33	0.6	24	2.1	1.7
04-dic-22	20	7	27	0.5	35	1.5	1.9
04-dic-22	21	5	23	0.3	45	1.3	1.4
04-dic-22	22	4	20	0.4	45	1.2	0.8
04-dic-22	23	4	19	0.3	54	0.8	0.7
04-dic-22	00	3	17	0.3	48	0.8	0.7
05-dic-22	01	4	17	0.3	54	0.8	1.2
05-dic-22	02	3	16	0.2	64	0.5	1.0
05-dic-22	03	3	13	0.2	62	1.0	1.4

giorno	hh	NO ( $\mu\text{g}/\text{m}^3$ )	NO2 ( $\mu\text{g}/\text{m}^3$ )	CO ( $\text{mg}/\text{m}^3$ )	O3 ( $\mu\text{g}/\text{m}^3$ )	Benz ( $\mu\text{g}/\text{m}^3$ )	Tol ( $\mu\text{g}/\text{m}^3$ )
05-dic-22	04	2	12	0.3	51	0.7	1.0
05-dic-22	05	3	12	0.2	49	0.6	1.0
05-dic-22	06	3	13	0.3	41	0.7	0.8
05-dic-22	07	4	21	0.3	39	1.0	2.7
05-dic-22	08	6	28	0.4	38	1.0	1.1
05-dic-22	09	4	26	0.3	45	1.5	1.2
05-dic-22	10	3	24	0.3	59	2.0	1.0
05-dic-22	11	3	22	0.3	63	1.3	0.7
05-dic-22	12	4	30	0.4	50	1.5	1.2
05-dic-22	13	3	27	0.3	71	1.5	1.2
05-dic-22	14	3	22	0.4	62	1.5	0.9
05-dic-22	15	4	27	0.4	50	1.2	1.1
05-dic-22	16	4	29	0.4	43	1.8	2.0
05-dic-22	17	4	28	0.4	45	1.1	2.4
05-dic-22	18	5	29	0.4	42	1.1	1.3
05-dic-22	19	5	32	0.3	45	1.1	1.6
05-dic-22	20	3	24	0.4	46	2.1	1.2
05-dic-22	21	2	19	0.4	46	2.2	2.3
05-dic-22	22	2	14	0.3	53	0.8	1.1
05-dic-22	23	2	14	0.3	52	0.8	1.0
05-dic-22	00	2	12	0.2	58	0.6	0.9
06-dic-22	01	1	8	0.2	62	1.1	0.6
06-dic-22	02	1	6	0.2	65	0.5	0.8
06-dic-22	03	1	6	0.2	64	1.4	1.0
06-dic-22	04	1	7	0.2	65	1.0	0.8
06-dic-22	05	1	6	0.2	67	0.5	0.7
06-dic-22	06	2	10	0.3	59	0.8	0.7
06-dic-22	07	3	24	0.3	52	1.5	0.8
06-dic-22	08	2	24	0.3	51	1.9	0.7
06-dic-22	09	1	16	0.3	64	0.8	0.9
06-dic-22	10	1	12	0.3	66	0.7	0.9
06-dic-22	11	2	16	0.3	66	1.2	0.9
06-dic-22	12	1	4	0.3	67	1.0	0.8
06-dic-22	13	1	2	0.3	62	0.9	1.1
06-dic-22	14	2	17	0.3	55	0.7	0.9
06-dic-22	15	3	27	0.3	45	1.4	0.9
06-dic-22	16	4	33	0.5	31	2.2	1.2
06-dic-22	17	5	31	0.5	31	2.8	1.7
06-dic-22	18	6	31	0.5	32	2.0	1.1
06-dic-22	19	4	28	0.4	41	2.6	1.7
06-dic-22	20	3	25	0.4	43	1.1	1.2
06-dic-22	21	3	21	0.4	46	0.7	1.6
06-dic-22	22	3	21	0.3	45	2.3	1.4
06-dic-22	23	2	17	0.3	49	0.9	1.6
06-dic-22	00	2	14	0.3	51	1.3	0.8
07-dic-22	01	1	11	0.2	52	0.5	1.1
07-dic-22	02	1	8	0.2	53	2.0	1.2
07-dic-22	03	1	7	0.2	56	0.8	1.1

giorno	hh	NO ( $\mu\text{g}/\text{m}^3$ )	NO2 ( $\mu\text{g}/\text{m}^3$ )	CO ( $\text{mg}/\text{m}^3$ )	O3 ( $\mu\text{g}/\text{m}^3$ )	Benz ( $\mu\text{g}/\text{m}^3$ )	Tol ( $\mu\text{g}/\text{m}^3$ )
07-dic-22	04	1	8	0.2	55	0.7	0.9
07-dic-22	05	1	11	0.2	52	0.9	0.9
07-dic-22	06	3	19	0.3	46	1.6	0.9
07-dic-22	07	10	37	0.4	36	4.0	1.3
07-dic-22	08	26	40	0.5	35	1.1	2.2
07-dic-22	09	21	40	0.3	51	2.3	2.7
07-dic-22	10	5	33	0.3	55	1.1	1.2
07-dic-22	11	5	35	0.3	58	0.9	0.9
07-dic-22	12	4	38	0.2	61	1.1	0.8
07-dic-22	13	4	39	0.2	63	0.6	0.8
07-dic-22	14	4	40	0.2	55	1.3	1.0
07-dic-22	15	5	43	0.4	38	0.9	1.4
07-dic-22	16	7	45	0.5	29	1.5	1.6
07-dic-22	17	9	41	0.6	27	3.4	1.9
07-dic-22	18	9	37	0.8	27	2.7	1.8
07-dic-22	19	12	36	0.6	30	2.1	2.8
07-dic-22	20	9	34	0.5	34	2.1	1.6
07-dic-22	21	4	27	0.4	41	3.4	1.3
07-dic-22	22	4	28	0.5	39	1.8	3.2
07-dic-22	23	4	27	0.5	41	1.4	3.5
07-dic-22	00	2	18	0.3	45	4.1	2.4
08-dic-22	01	2	14	0.3	49	1.0	1.3
08-dic-22	02	2	13	0.2	49	1.2	0.8
08-dic-22	03	2	12	0.2	50	0.6	1.1
08-dic-22	04	2	12	0.2	50	0.8	1.3
08-dic-22	05	1	11	0.2	51	0.5	1.0
08-dic-22	06	3	17	0.2	47	1.3	1.3
08-dic-22	07	4	22	0.3	44	1.7	1.3
08-dic-22	08	4	27	0.3	41	2.1	1.7
08-dic-22	09	3	24	0.3	52	1.4	1.5
08-dic-22	10	2	20	0.3	55	1.4	1.0
08-dic-22	11	3	26	0.3	61	1.2	1.2
08-dic-22	12	3	30	0.2	66	0.8	0.8
08-dic-22	13	3	33	0.2	67	0.9	1.2
08-dic-22	14	3	37	0.2	65	0.7	1.2
08-dic-22	15	4	39	0.3	50	1.6	0.8
08-dic-22	16	5	42	0.6	42	1.9	1.4
08-dic-22	17	7	41	0.7	34	3.3	3.6
08-dic-22	18	10	40	0.7	38	2.2	5.4
08-dic-22	19	7	38	0.7	38	3.1	3.4
08-dic-22	20	5	34	0.6	41	4.3	2.2
08-dic-22	21	3	29	0.6	49	1.7	1.6
08-dic-22	22	2	22	0.6	54	1.8	1.2
08-dic-22	23	2	19	0.3	56	2.0	1.1
08-dic-22	00	2	18	0.3	53	1.7	2.2
09-dic-22	01	2	16	0.3	54	0.8	1.3
09-dic-22	02	2	14	0.3	56	1.4	1.2
09-dic-22	03	2	11	0.2	64	2.3	1.1

giorno	hh	NO ( $\mu\text{g}/\text{m}^3$ )	NO2 ( $\mu\text{g}/\text{m}^3$ )	CO ( $\text{mg}/\text{m}^3$ )	O3 ( $\mu\text{g}/\text{m}^3$ )	Benz ( $\mu\text{g}/\text{m}^3$ )	Tol ( $\mu\text{g}/\text{m}^3$ )
09-dic-22	04	2	11	0.2	55	0.6	0.7
09-dic-22	05	2	13	0.3	48	0.6	0.7
09-dic-22	06	2	16	0.3	48	0.8	0.7
09-dic-22	07	3	20	0.3	38	1.0	1.2
09-dic-22	08	7	26	0.4	25	5.0	2.0
09-dic-22	09	18	30	0.5	21	2.4	2.3
09-dic-22	10	27	32	0.7	19	2.3	2.5
09-dic-22	11	33	36	0.7	20	5.1	3.5
09-dic-22	12	30	38	0.5	24	2.8	4.5
09-dic-22	13	22	34	0.5	28	2.3	2.7
09-dic-22	14	16	33	0.8	23	5.1	2.8
09-dic-22	15	17	34	0.7	23	2.6	3.6
09-dic-22	16	16	33	0.6	22	3.5	2.6
09-dic-22	17	18	32	0.8	16	3.5	1.9
09-dic-22	18	30	31	0.8	16	3.3	2.5
09-dic-22	19	23	29	0.6	30	2.8	1.8
09-dic-22	20	12	28	0.6	28	1.7	1.7
09-dic-22	21	11	26	0.5	27	1.8	1.8
09-dic-22	22	9	23	0.6	25	1.3	2.7
09-dic-22	23	6	21	0.4	36	3.6	3.1
09-dic-22	00	4	19	0.4	40	1.2	1.5
10-dic-22	01	3	17	0.3	46	1.1	1.2
10-dic-22	02	3	16	0.2	48	1.3	0.9
10-dic-22	03	3	14	0.3	53	0.7	1.0
10-dic-22	04	3	14	0.2	43	1.2	1.0
10-dic-22	05	3	15	0.2	51	1.0	0.8
10-dic-22	06	3	18	0.2	46	0.8	0.8
10-dic-22	07	5	23	0.3	34	0.9	1.3
10-dic-22	08	11	28	0.4	29	2.2	1.8
10-dic-22	09	12	32	0.5	34	1.3	2.1
10-dic-22	10	21	35	0.5	37	1.7	2.6
10-dic-22	11	13	40	0.4	54	1.7	1.5
10-dic-22	12	12	43	0.5	40	2.0	1.5
10-dic-22	13	11	43	0.4	49	1.7	1.7
10-dic-22	14	10	44	0.4	52	1.5	5.8
10-dic-22	15	10	43	0.4	39	1.9	1.4
10-dic-22	16	12	41	0.5	26	2.0	1.7
10-dic-22	17	22	36	0.6	21	1.5	3.2
10-dic-22	18	18	31	0.7	27	2.8	2.2
10-dic-22	19	15	30	0.8	22	3.1	3.6
10-dic-22	20	18	26	0.7	21	3.1	3.2
10-dic-22	21	13	24	0.4	29	3.3	2.5
10-dic-22	22	7	22	0.4	35	1.1	1.7
10-dic-22	23	5	21	0.4	35	1.8	3.5
10-dic-22	00	7	23	0.4	37	1.8	1.3
11-dic-22	01	3	16	0.2	42	1.3	1.1
11-dic-22	02	2	12	0.2	45	0.8	1.3
11-dic-22	03	2	10	0.2	41	1.5	1.0

giorno	hh	NO ( $\mu\text{g}/\text{m}^3$ )	NO2 ( $\mu\text{g}/\text{m}^3$ )	CO ( $\text{mg}/\text{m}^3$ )	O3 ( $\mu\text{g}/\text{m}^3$ )	Benz ( $\mu\text{g}/\text{m}^3$ )	Tol ( $\mu\text{g}/\text{m}^3$ )
11-dic-22	04	2	12	0.2	39	1.6	0.8
11-dic-22	05	2	13	0.2	36	0.6	1.1
11-dic-22	06	2	12	0.2	34	0.7	1.3
11-dic-22	07	3	15	0.3	35	1.1	1.1
11-dic-22	08	3	16	0.3	39	1.1	1.0
11-dic-22	09	2	17	0.3	44	1.4	1.2
11-dic-22	10	2	15	0.2	51	1.5	1.2
11-dic-22	11	2	18	0.2	54	0.9	0.8
11-dic-22	12	2	21	0.2	57	1.0	1.0
11-dic-22	13	1	17	0.2	59	1.2	0.7
11-dic-22	14	1	16	0.2	58	0.7	0.7
11-dic-22	15	3	24	0.4	49	1.6	0.8
11-dic-22	16	4	27	0.4	41	1.9	1.7
11-dic-22	17	3	24	0.5	35	4.5	1.9
11-dic-22	18	3	23	0.4	36	1.3	2.0
11-dic-22	19	4	23	0.3	40	1.4	1.0
11-dic-22	20	2	17	0.3	46	1.1	0.8
11-dic-22	21	1	14	0.3	48	3.7	1.5
11-dic-22	22	1	11	0.2	51	1.4	1.7
11-dic-22	23	1	10	0.2	53	0.8	1.3
11-dic-22	00	1	7	0.2	55	0.7	1.2
12-dic-22	01	0	5	0.1	60	0.5	0.9
12-dic-22	02	0	4	0.1	62	1.9	2.0
12-dic-22	03	0	4	0.1	62	0.6	1.4
12-dic-22	04	0	5	0.1	63	0.2	0.7
12-dic-22	05	0	6	0.1	62	0.7	0.9
12-dic-22	06	1	10	0.1	58	0.6	0.6
12-dic-22	07	8	34	0.3	41	1.5	1.4
12-dic-22	08	9	39	0.3	38	1.4	2.0
12-dic-22	09	5	34	0.3	51	2.9	1.6
12-dic-22	10	1	21	0.2	58	0.9	3.0
12-dic-22	11	1	15	0.1	64	0.9	1.1
12-dic-22	12	1	14	0.1	65	0.9	0.7
12-dic-22	13	1	18	0.2	63	0.9	1.1
12-dic-22	14	1	13	0.2	61	1.0	1.0
12-dic-22	15	10	30	0.4	53	2.5	1.5
12-dic-22	16	3	29	0.6	40	2.8	2.1
12-dic-22	17	3	25	0.7	28	5.5	2.7
12-dic-22	18	4	26	0.7	25	3.6	3.4
12-dic-22	19	4	26	0.6	28	5.6	2.7
12-dic-22	20	4	23	0.5	34	2.1	1.3
12-dic-22	21	3	23	0.3	41	2.0	1.1
12-dic-22	22	2	20	0.3	45	1.9	1.3
12-dic-22	23	1	14	0.3	47	1.5	0.9
12-dic-22	00	1	11	0.2	50	1.0	1.2
13-dic-22	01	1	9	0.2	50	1.7	0.9
13-dic-22	02	1	9	0.2	48	2.6	1.0
13-dic-22	03	3	10	0.2	49	0.9	1.1

giorno	hh	NO ( $\mu\text{g}/\text{m}^3$ )	NO2 ( $\mu\text{g}/\text{m}^3$ )	CO ( $\text{mg}/\text{m}^3$ )	O3 ( $\mu\text{g}/\text{m}^3$ )	Benz ( $\mu\text{g}/\text{m}^3$ )	Tol ( $\mu\text{g}/\text{m}^3$ )
13-dic-22	04	3	20	0.2	50	1.2	1.9
13-dic-22	05	1	12	0.2	47	0.6	1.2
13-dic-22	06	2	15	0.2	43	2.0	1.7
13-dic-22	07	2	16	0.3	40	1.9	1.1
13-dic-22	08	2	18	0.3	40	2.8	1.0
13-dic-22	09	2	21	0.3	44	1.9	1.6
13-dic-22	10	2	19	0.3	55	3.4	2.0
13-dic-22	11	1	11	0.2	80	1.2	2.1
13-dic-22	12	1	8	0.2	83	1.1	0.7
13-dic-22	13	1	7	0.2	80	1.4	0.8
13-dic-22	14	1	12	0.2	69	0.9	0.8
13-dic-22	15	1	17	0.3	67	1.0	1.2
13-dic-22	16	2	25	0.4	49	3.0	1.3
13-dic-22	17	5	42	0.7	23	2.8	4.7
13-dic-22	18	11	49	0.7	18	3.5	3.2
13-dic-22	19	16	48	0.7	17	3.5	3.3
13-dic-22	20	17	43	0.8	18	3.5	3.1
13-dic-22	21	18	41	0.9	20	3.5	3.1
13-dic-22	22	10	36	0.6	19	2.9	2.2
13-dic-22	23	9	38	0.6	17	2.4	2.5
13-dic-22	00	13	40	0.5	15	2.4	3.1
14-dic-22	01	11	39	0.5	14	3.3	2.7
14-dic-22	02	5	29	0.3	34	1.5	2.8
14-dic-22	03	2	13	0.2	47	1.0	1.4
14-dic-22	04	2	8	0.1	50	0.8	1.4
14-dic-22	05	1	8	0.2	50	0.5	0.9
14-dic-22	06	3	15	0.2	43	0.8	1.1
14-dic-22	07	5	30	0.3	40	3.6	2.3
14-dic-22	08	17	37	0.4	38	2.1	3.7
14-dic-22	09	29	41	0.5	37	2.6	4.4
14-dic-22	10	13	38	0.6	40	3.5	4.5
14-dic-22	11	8	40	0.4	44	3.0	2.4
14-dic-22	12	2	26	0.2	63	1.6	1.2
14-dic-22	13	2	18	0.3	65	1.5	1.2
14-dic-22	14	3	24	0.3	64	1.2	1.1
14-dic-22	15	3	31	0.3	50	1.2	1.4
14-dic-22	16	4	38	0.5	33	1.9	1.6
14-dic-22	17	8	44	0.6	25	1.7	3.5
14-dic-22	18	14	40	0.5	28	2.4	2.5
14-dic-22	19	8	32	0.4	34	2.8	3.5
14-dic-22	20	4	24	0.4	36	1.7	3.7
14-dic-22	21	3	21	0.4	40	1.3	3.6
14-dic-22	22	3	18	0.3	43	1.1	2.2
14-dic-22	23	5	20	0.3	45	1.2	2.8
14-dic-22	00	2	16	0.2	50	0.8	2.4
15-dic-22	01	2	9	0.2	48	0.7	1.9
15-dic-22	02	1	7	0.2	49	0.7	2.3
15-dic-22	03	1	7	0.1	50	0.7	2.9

giorno	hh	NO ( $\mu\text{g}/\text{m}^3$ )	NO2 ( $\mu\text{g}/\text{m}^3$ )	CO ( $\text{mg}/\text{m}^3$ )	O3 ( $\mu\text{g}/\text{m}^3$ )	Benz ( $\mu\text{g}/\text{m}^3$ )	Tol ( $\mu\text{g}/\text{m}^3$ )
15-dic-22	04	1	6	0.1	50	0.6	1.3
15-dic-22	05	1	8	0.1	51	0.9	1.6
15-dic-22	06	3	15	0.2	43	0.7	1.1
15-dic-22	07	9	31	0.2	43	1.2	1.8
15-dic-22	08	8	35	0.3	40	1.1	1.6
15-dic-22	09	8	35	0.4	41	1.4	2.7
15-dic-22	10	11	38	0.6	43	3.4	3.5
15-dic-22	11	3	30	0.5	57	2.4	1.5
15-dic-22	12	4	29	0.5	41	3.4	2.1
15-dic-22	13	7	35	0.4	44	2.1	1.8
15-dic-22	14	5	35	0.5	35	2.0	1.3
15-dic-22	15	8	39	0.4	22	2.9	2.0
15-dic-22	16	12	39	0.6	17	2.2	2.4
15-dic-22	17	18	38	0.8	16	3.2	3.1
15-dic-22	18	28	35	1.1	13	4.2	4.0
15-dic-22	19	25	32	0.7	16	3.0	3.8
15-dic-22	20	12	29	0.4	29	1.9	3.0
15-dic-22	21	4	19	0.3	46	1.2	1.9
15-dic-22	22	3	16	0.4	50	1.8	3.9
15-dic-22	23	3	17	0.3	47	1.2	1.4
15-dic-22	00	3	15	0.3	40	0.9	1.2
16-dic-22	01	3	13	0.3	45	1.5	1.6
16-dic-22	02	2	11	0.2	45	1.0	1.3
16-dic-22	03	3	11	0.2	38	1.0	1.3
16-dic-22	04	3	10	0.2	34	1.4	2.1
16-dic-22	05	5	13	0.2	32	0.8	2.5
16-dic-22	06	8	18	0.2	31	0.9	1.7
16-dic-22	07	19	25	0.4	22	1.2	2.0
16-dic-22	08	36	30	0.4	25	2.4	2.6
16-dic-22	09	18	29	0.4	34	1.4	2.2
16-dic-22	10	16	33	0.5	34	3.0	2.0
16-dic-22	11	12	35	0.4	39	2.4	1.6
16-dic-22	12	9	36	0.6	35	2.1	2.0
16-dic-22	13	9	38	0.6	35	4.0	2.3
16-dic-22	14	12	39	0.6	28	3.5	1.9
16-dic-22	15	13	39	0.6	28	2.7	1.6
16-dic-22	16	13	39	0.6	24	3.0	1.7
16-dic-22	17	17	37	0.7	16	2.9	2.8
16-dic-22	18	20	35	0.7	17	3.0	3.0
16-dic-22	19	20	31	0.7	16	2.6	2.1
16-dic-22	20	20	28	0.9	15	3.6	3.6
16-dic-22	21	17	26	0.7	17	3.5	2.7
16-dic-22	22	14	24	0.6	20	2.1	3.4
16-dic-22	23	10	22	0.4	25	2.1	1.5
16-dic-22	00	8	21	0.4	24	2.2	1.8
17-dic-22	01	7	20	0.3	25	1.4	1.6
17-dic-22	02	5	16	0.2	33	0.9	1.2
17-dic-22	03	4	15	0.2	35	0.9	1.3



giorno	hh	NO ( $\mu\text{g}/\text{m}^3$ )	NO2 ( $\mu\text{g}/\text{m}^3$ )	CO ( $\text{mg}/\text{m}^3$ )	O3 ( $\mu\text{g}/\text{m}^3$ )	Benz ( $\mu\text{g}/\text{m}^3$ )	Tol ( $\mu\text{g}/\text{m}^3$ )
17-dic-22	04	3	12	0.2	40	1.1	1.0
17-dic-22	05	3	12	0.2	41	0.8	0.7
17-dic-22	06	4	17	0.2	44	0.6	2.1
17-dic-22	07	8	29	0.2	39	0.8	0.9
17-dic-22	08	6	31	0.3	39	1.2	1.3
17-dic-22	09	3	23	0.2	56	1.4	1.4
17-dic-22	10	2	16	0.2	62	1.2	0.8
17-dic-22	11	2	18	0.2	59	0.8	0.9
17-dic-22	12	4	26	0.2	55	1.1	0.6
17-dic-22	13	4	31	0.2	52	0.9	0.7
17-dic-22	14	5	36	0.2	47	1.5	1.3
17-dic-22	15	6	40	0.3	39	1.7	0.9
17-dic-22	16	6	40	0.5	33	2.0	1.1
17-dic-22	17	6	32	0.6	26	3.0	1.7
17-dic-22	18	5	27	0.7	29	2.5	1.8
17-dic-22	19	6	26	0.4	28	1.6	1.4
17-dic-22	20	6	24	0.6	26	1.6	1.8
17-dic-22	21	6	23	0.5	26	2.7	1.8
17-dic-22	22	8	20	0.6	24	2.8	7.2
17-dic-22	23	9	20	0.5	27	2.9	3.7
17-dic-22	00	5	18	0.4	27	1.3	1.5
18-dic-22	01	5	17	0.3	32	1.1	1.5
18-dic-22	02	3	13	0.2	38	1.6	1.2
18-dic-22	03	3	13	0.2	34	0.7	2.2
18-dic-22	04	2	14	0.2	35	1.1	1.0
18-dic-22	05	2	13	0.2	39	0.7	1.0
18-dic-22	06	2	10	0.2	36	0.7	1.8
18-dic-22	07	3	16	0.2	33	1.0	1.0
18-dic-22	08	8	26	0.3	28	0.8	1.4
18-dic-22	09	7	26	0.3	37	2.3	1.2
18-dic-22	10	3	22	0.3	40	1.6	1.1
18-dic-22	11	3	25	0.2	47	0.8	1.4
18-dic-22	12	3	27	0.2	53	1.2	0.7
18-dic-22	13	3	28	0.2	54	0.9	0.8
18-dic-22	14	3	30	0.2	49	1.1	0.9
18-dic-22	15	4	32	0.3	37	1.4	1.7
18-dic-22	16	5	31	0.4	30	1.4	1.7
18-dic-22	17	4	27	0.5	29	2.1	1.9
18-dic-22	18	4	25	0.6	27	2.9	1.8
18-dic-22	19	4	24	0.5	28	3.5	1.6
18-dic-22	20	4	24	0.4	35	1.8	1.8
18-dic-22	21	2	19	0.4	40	1.3	1.5
18-dic-22	22	4	22	0.5	39	2.0	2.0
18-dic-22	23	3	19	0.3	44	1.2	3.0
18-dic-22	00	2	12	0.2	44	1.0	0.9
19-dic-22	01	2	11	0.2	46	0.9	1.0
19-dic-22	02	2	10	0.2	44	0.6	1.1
19-dic-22	03	1	9	0.1	48	1.2	1.5

giorno	hh	NO ( $\mu\text{g}/\text{m}^3$ )	NO2 ( $\mu\text{g}/\text{m}^3$ )	CO ( $\text{mg}/\text{m}^3$ )	O3 ( $\mu\text{g}/\text{m}^3$ )	Benz ( $\mu\text{g}/\text{m}^3$ )	Tol ( $\mu\text{g}/\text{m}^3$ )
19-dic-22	04	2	9	0.1	46	0.8	1.1
19-dic-22	05	2	15	0.1	44	0.7	1.0
19-dic-22	06	2	16	0.2	46	0.8	0.9
19-dic-22	07	3	26	0.3	39	1.6	1.1
19-dic-22	08						
19-dic-22	09						
19-dic-22	10						
19-dic-22	11						
19-dic-22	12						
19-dic-22	13						
19-dic-22	14						
19-dic-22	15						
19-dic-22	16						
19-dic-22	17						
19-dic-22	18						
19-dic-22	19						
19-dic-22	20						
19-dic-22	21						
19-dic-22	22						
19-dic-22	23						
19-dic-22	00						
20-dic-22	01						
20-dic-22	02						
20-dic-22	03						
20-dic-22	04						
20-dic-22	05						
20-dic-22	06						
20-dic-22	07						
20-dic-22	08						
20-dic-22	09						
20-dic-22	10						
20-dic-22	11					0.2	0.3
20-dic-22	12	7	26		17	0.9	3.2
20-dic-22	13	4	28		37	2.2	4.1
20-dic-22	14	4	18	0.8	41	1.9	2.5
20-dic-22	15	5	19	0.8	32	1.8	2.6
20-dic-22	16	10	23	0.6	26	1.2	4.0
20-dic-22	17	10	24	0.6	29	1.3	3.8
20-dic-22	18	8	26	0.7	29	2.3	3.8
20-dic-22	19	7	26	0.6	33	2.0	4.6
20-dic-22	20	6	21	0.5	38	1.2	3.3
20-dic-22	21	5	20	0.5	45	1.2	3.9
20-dic-22	22	4	19	0.5	47	1.1	3.2
20-dic-22	23	4	19	0.4	47	1.0	2.6
20-dic-22	00	4	20	0.3	47	0.8	2.9
21-dic-22	01	4	21	0.3	48	0.9	2.2
21-dic-22	02	3	16	0.3	47	0.6	2.3
21-dic-22	03	3	15	0.3	50	0.7	2.3

giorno	hh	NO ( $\mu\text{g}/\text{m}^3$ )	NO2 ( $\mu\text{g}/\text{m}^3$ )	CO ( $\text{mg}/\text{m}^3$ )	O3 ( $\mu\text{g}/\text{m}^3$ )	Benz ( $\mu\text{g}/\text{m}^3$ )	Tol ( $\mu\text{g}/\text{m}^3$ )
21-dic-22	04	3	13	0.3	46	0.4	1.2
21-dic-22	05	4	17	0.3	43	1.1	1.5
21-dic-22	06	4	15	0.3	40	0.6	1.4
21-dic-22	07	9	22	0.4	29	1.5	1.4
21-dic-22	08	13	31	0.5	29	2.0	2.3
21-dic-22	09	19	36	0.6	28	2.2	2.9
21-dic-22	10	28	39	0.7	31	1.8	3.0
21-dic-22	11	33	39	0.5	40	1.7	3.1
21-dic-22	12	24	37	0.6	33	2.4	2.4
21-dic-22	13	18	32	0.6	39	2.6	1.8
21-dic-22	14	14	29	0.6	43	3.0	1.9
21-dic-22	15	13	29	0.6	28	2.8	2.4
21-dic-22	16	15	29	0.6	27	2.1	2.5
21-dic-22	17	23	37	0.6	20	2.0	3.2
21-dic-22	18	24	41	0.5	22	2.7	2.8
21-dic-22	19	26	35	0.6	25	1.9	4.3
21-dic-22	20	18	29	0.4	31	1.7	2.3
21-dic-22	21	11	19	0.5	32	0.9	2.1
21-dic-22	22	8	24	0.5	32	2.4	2.4
21-dic-22	23	7	21	0.5	28	1.4	1.6
21-dic-22	00	6	19	0.5	24	1.2	1.8
22-dic-22	01	6	24	0.4	27	2.4	1.8
22-dic-22	02	5	18	0.3	34	1.0	1.8
22-dic-22	03	5	18	0.3	31	1.3	1.5
22-dic-22	04	7	19				
22-dic-22	05	4	14	0.2	38	0.6	0.8
22-dic-22	06	6	21	0.3	35	2.0	1.3
22-dic-22	07	17	28	0.3	29	1.6	1.7
22-dic-22	08	12	27	0.3	33	1.4	1.1
22-dic-22	09	10	27	0.3	41	1.6	1.8
22-dic-22	10	5	22	0.2	50	1.0	1.2
22-dic-22	11	5	19	0.2	42	1.2	0.7
22-dic-22	12	6	17	0.2	44	0.8	0.7
22-dic-22	13	6	20	0.3	43	1.6	1.1
22-dic-22	14	6	18	0.5	43	1.5	1.4
22-dic-22	15	7	25	0.5	33	3.0	1.8
22-dic-22	16	8	25	0.6	24	2.2	2.4
22-dic-22	17	11	30	0.5	26	1.9	2.3
22-dic-22	18	11	25	0.6	30	1.8	1.6
22-dic-22	19	10	22	0.4	34	1.4	1.8
22-dic-22	20	9	21	0.5	37	1.5	1.4
22-dic-22	21	7	20	0.5	40	1.6	1.4
22-dic-22	22	7	21	0.5	39	1.8	1.7
22-dic-22	23	7	18	0.4	41	1.0	1.6
22-dic-22	00	6	18	0.4	40	1.2	1.2
23-dic-22	01	5	18	0.3	43	1.2	1.4
23-dic-22	02	4	16	0.3	44	1.0	1.1
23-dic-22	03	4	14	0.3	45	0.8	0.8

giorno	hh	NO ( $\mu\text{g}/\text{m}^3$ )	NO2 ( $\mu\text{g}/\text{m}^3$ )	CO ( $\text{mg}/\text{m}^3$ )	O3 ( $\mu\text{g}/\text{m}^3$ )	Benz ( $\mu\text{g}/\text{m}^3$ )	Tol ( $\mu\text{g}/\text{m}^3$ )
23-dic-22	04	3	12	0.3	45	0.5	1.1
23-dic-22	05	3	14	0.3	45	1.0	1.1
23-dic-22	06	4	13	0.4	40	0.8	1.3
23-dic-22	07	5	19	0.4	35	1.8	1.7
23-dic-22	08	11	23	0.5	29	1.7	2.0
23-dic-22	09	12	24	0.5	42	1.8	2.2
23-dic-22	10	9	20	0.5	43	1.4	2.4
23-dic-22	11	7	19	0.4	54	1.1	1.6
23-dic-22	12	5	17	0.3	57	0.8	0.7
23-dic-22	13	5	19	0.4	48	1.3	1.2
23-dic-22	14	5	18	0.5	46	1.3	1.1
23-dic-22	15	8	23	0.6	29	2.2	1.8
23-dic-22	16	11	26	0.7	21	2.1	2.5
23-dic-22	17	14	32	0.8	17	2.9	2.6
23-dic-22	18	18	33	0.7	21	3.0	2.4
23-dic-22	19	16	28	0.6	27	2.1	1.7
23-dic-22	20	14	24	0.6	30	1.6	2.1
23-dic-22	21	12	25	0.6	30	2.2	2.5
23-dic-22	22	10	24	0.6	30	2.5	2.8
23-dic-22	23	9	22	0.6	29	2.0	2.6
23-dic-22	00	7	18	0.4	41	1.0	1.5
24-dic-22	01	6	14	0.4	40	0.7	2.1
24-dic-22	02	4	14	0.3	45	1.1	1.2
24-dic-22	03	4	13	0.3	43	0.9	1.5
24-dic-22	04	4	12	0.3	50	0.5	1.4
24-dic-22	05	4	12	0.3	49	0.5	0.9
24-dic-22	06	4	12	0.3	46	0.4	0.9
24-dic-22	07	5	15	0.4	38	0.9	1.1
24-dic-22	08	11	22	0.6	28	1.6	2.5
24-dic-22	09	18	29	0.6	33	2.5	2.1
24-dic-22	10	17	34	0.6	36	3.1	2.5
24-dic-22	11	13	24	0.5	44	1.4	1.0
24-dic-22	12	9	20	0.4	46	1.4	0.9
24-dic-22	13	7	19	0.5	42	1.6	1.0
24-dic-22	14	7	20	0.5	42	1.5	1.3
24-dic-22	15	6	20	0.5	36	1.4	1.5
24-dic-22	16	8	26	0.8	21	2.1	2.7
24-dic-22	17	15	35	0.9	16	3.2	4.8
24-dic-22	18	22	42	1.0	14	3.9	6.3
24-dic-22	19	23	37	0.8	14	2.8	2.8
24-dic-22	20	20	38	0.7	18	3.5	2.4
24-dic-22	21	16	30	0.6	26	2.2	2.2
24-dic-22	22	13	26	0.5	32	1.4	2.2
24-dic-22	23	12	23	0.4	34	1.0	1.5
24-dic-22	00	10	20	0.4	35	0.8	2.4
25-dic-22	01	9	19	0.4	33	0.8	1.5
25-dic-22	02	7	17	0.4	35	0.8	1.7
25-dic-22	03	6	15	0.4	37	0.6	1.2

giorno	hh	NO ( $\mu\text{g}/\text{m}^3$ )	NO2 ( $\mu\text{g}/\text{m}^3$ )	CO ( $\text{mg}/\text{m}^3$ )	O3 ( $\mu\text{g}/\text{m}^3$ )	Benz ( $\mu\text{g}/\text{m}^3$ )	Tol ( $\mu\text{g}/\text{m}^3$ )
25-dic-22	04	5	13	0.3	39	0.6	0.9
25-dic-22	05	4	13	0.3	38	0.6	1.1
25-dic-22	06	4	13	0.4	38	0.7	0.9
25-dic-22	07	5	14	0.4	34	0.7	1.7
25-dic-22	08	7	19	0.5	30	1.2	1.6
25-dic-22	09	10	23	0.5	39	1.7	1.4
25-dic-22	10	8	20	0.5	39	1.6	0.9
25-dic-22	11	7	16	0.4	46	0.9	0.8
25-dic-22	12	5	16	0.4	50	1.2	0.9
25-dic-22	13	5	14	0.4	56	0.8	1.7
25-dic-22	14	5	20	0.4	54	2.3	1.3
25-dic-22	15	5	14	0.5	44	0.6	0.8
25-dic-22	16	6	19	0.6	30	1.3	1.6
25-dic-22	17	12	27	0.6	21	1.8	2.0
25-dic-22	18	18	33	0.7	24	2.6	2.5
25-dic-22	19	20	32	0.8	22	2.2	2.5
25-dic-22	20	19	29	0.8	23	1.9	2.8
25-dic-22	21	18	27	0.8	23	1.6	2.3
25-dic-22	22	15	28	0.6	32	2.1	1.7
25-dic-22	23	12	23	0.5	30	1.2	1.8
25-dic-22	00	10	22	0.4	39	1.5	1.9
26-dic-22	01	8	19	0.4	38	0.9	1.4
26-dic-22	02	7	18	0.3	40	0.8	2.3
26-dic-22	03	6	15	0.3	40	0.6	1.7
26-dic-22	04	6	14	0.3	43	0.6	1.3
26-dic-22	05	5	14	0.3	46	0.6	1.0
26-dic-22	06	5	14	0.3	43	0.8	0.9
26-dic-22	07	5	13	0.4	42	0.6	0.9
26-dic-22	08	8	19	0.5	31	0.8	1.0
26-dic-22	09	14	28	0.6	29	2.0	1.6
26-dic-22	10	20	35	0.7	31	2.6	2.8
26-dic-22	11	19	33	0.8	34	3.3	2.3
26-dic-22	12	20	31	0.9	31	2.8	2.8
26-dic-22	13	19	31	1.0	32	3.3	2.4
26-dic-22	14	18	30	1.0	30	3.0	2.6
26-dic-22	15	20	34	1.1	27	3.5	2.8
26-dic-22	16	26	39	1.2	22	3.8	4.5
26-dic-22	17	27	44	1.2	19	4.1	3.6
26-dic-22	18	30	44	1.2	18	3.5	4.2
26-dic-22	19	30	48	1.1	17	4.7	5.7
26-dic-22	20	30	41	1.0	17	3.5	3.0
26-dic-22	21	28	40	0.9	20	3.4	3.3
26-dic-22	22	23	37	0.6	21	3.2	2.5
26-dic-22	23	19	29	0.5	28	1.7	1.7
26-dic-22	00	14	22	0.4	34	0.9	1.8
27-dic-22	01	10	19	0.4	38	1.0	1.2
27-dic-22	02	7	16	0.3	43	0.6	1.1
27-dic-22	03	6	15	0.4	38	0.8	1.3

giorno	hh	NO ( $\mu\text{g}/\text{m}^3$ )	NO2 ( $\mu\text{g}/\text{m}^3$ )	CO ( $\text{mg}/\text{m}^3$ )	O3 ( $\mu\text{g}/\text{m}^3$ )	Benz ( $\mu\text{g}/\text{m}^3$ )	Tol ( $\mu\text{g}/\text{m}^3$ )
27-dic-22	04	6	15	0.3	38	0.7	1.0
27-dic-22	05	6	14	0.3	38	0.6	0.7
27-dic-22	06	6	17	0.3	37	1.1	0.8
27-dic-22	07	9	20	0.4	32	1.5	0.9
27-dic-22	08	16	27	0.5	34	1.7	2.9
27-dic-22	09	15	28	0.5	38	2.1	1.6
27-dic-22	10	11	23	0.5	48	1.6	1.3
27-dic-22	11	8	20	0.4	51	1.4	1.5
27-dic-22	12	6	17	0.3	54	0.9	1.5
27-dic-22	13	5	17	0.3	54	1.4	0.6
27-dic-22	14	5	17	0.4	52	1.3	1.0
27-dic-22	15	5	19	0.6	42	1.7	1.2
27-dic-22	16	6	26	0.7	25	2.8	2.2
27-dic-22	17	15	33	0.7	23	2.3	3.5
27-dic-22	18	20	36	0.7	24	2.8	3.9
27-dic-22	19	22	40	0.8	29	3.2	2.4
27-dic-22	20	17	32	0.5	35	1.8	2.3
27-dic-22	21	14	30	0.5	34	1.9	2.0
27-dic-22	22	10	24	0.5	35	1.3	1.9
27-dic-22	23	8	19	0.4	38	1.0	1.4
27-dic-22	00	6	18	0.5	37	1.4	1.2
28-dic-22	01	4	17	0.4	42	1.3	1.5
28-dic-22	02	4	15	0.4	40	0.9	1.5
28-dic-22	03	3	15	0.4	41	1.0	1.2
28-dic-22	04	3	14	0.4	42	0.8	1.4
28-dic-22	05	4	17	0.4	36	1.5	1.5
28-dic-22	06	6	15	0.4	32	0.8	0.9
28-dic-22	07	8	20	0.4	29	1.6	1.5
28-dic-22	08	12	23	0.6	26	1.4	1.1
28-dic-22	09	20	30	1.0	27	2.4	4.5
28-dic-22	10	18	31	0.7	37	2.4	2.6
28-dic-22	11	16	25	0.4	45	1.2	1.5
28-dic-22	12	9	20	0.4	48	1.2	1.5
28-dic-22	13	5	17	0.4	54	1.5	1.3
28-dic-22	14	5	19	0.5	55	2.1	1.6
28-dic-22	15	5	19	0.5	44	1.8	2.0
28-dic-22	16	5	21	0.5	40	1.9	2.6
28-dic-22	17	7	28	0.8	28	2.5	3.4
28-dic-22	18	10	29	0.9	22	2.7	3.2
28-dic-22	19	13	31	0.9	22	2.8	2.2
28-dic-22	20	12	35	0.9	25	4.2	2.2
28-dic-22	21	11	27	0.8	27	2.2	1.7
28-dic-22	22	9	23	0.7	31	1.5	1.4
28-dic-22	23	7	23	0.6	35	1.8	1.9
28-dic-22	00	6	20	0.5	36	1.4	1.4
29-dic-22	01	5	18	0.4	43	1.1	1.0
29-dic-22	02	4	14	0.4	50	0.8	0.9
29-dic-22	03	4	14	0.4	50	1.0	1.4

giorno	hh	NO ( $\mu\text{g}/\text{m}^3$ )	NO2 ( $\mu\text{g}/\text{m}^3$ )	CO ( $\text{mg}/\text{m}^3$ )	O3 ( $\mu\text{g}/\text{m}^3$ )	Benz ( $\mu\text{g}/\text{m}^3$ )	Tol ( $\mu\text{g}/\text{m}^3$ )
29-dic-22	04	3	14	0.3	53	1.0	1.4
29-dic-22	05	4	13	0.4	50	0.8	1.1
29-dic-22	06	4	15	0.4	42	1.0	1.1
29-dic-22	07	5	16	0.5	34	1.2	1.4
29-dic-22	08	5	19	0.5	36	1.3	1.0
29-dic-22	09	5	23	0.6	38	2.1	3.5
29-dic-22	10	5	22	0.5	38	1.7	1.8
29-dic-22	11	6	20	0.6	40	1.8	1.3
29-dic-22	12	5	20	0.5	55	1.9	1.5
29-dic-22	13	4	17	0.5	63	1.8	1.5
29-dic-22	14	4	18	0.5	54	2.2	1.2
29-dic-22	15	5	17	0.5	45	1.5	1.8
29-dic-22	16	7	22	0.8	31	2.5	2.8
29-dic-22	17	10	28	0.9	27	3.0	3.9
29-dic-22	18	13	31	0.7	28	2.4	2.3
29-dic-22	19	11	33	0.7	31	3.0	2.1
29-dic-22	20	9	26	0.8	29	2.2	1.8
29-dic-22	21	9	25	0.9	26	2.2	2.0
29-dic-22	22	9	24	0.8	32	2.2	1.8
29-dic-22	23	7	25	0.8	32	2.3	1.8
29-dic-22	00	8	23	0.6	34	1.9	1.7
30-dic-22	01	6	21	0.5	38	1.5	1.2
30-dic-22	02	7	20	0.4	32	1.1	1.7
30-dic-22	03	6	17	0.4	36	1.0	1.1
30-dic-22	04	5	14	0.4	40	0.7	1.3
30-dic-22	05	4	13	0.4	41	0.5	0.7
30-dic-22	06	7	18	0.4	25	0.9	1.1
30-dic-22	07	7	16	0.4	26	0.7	1.5
30-dic-22	08	9	21	0.5	25	1.4	1.5
30-dic-22	09	11	23	0.6	22	1.6	1.8
30-dic-22	10	8	20	0.6	33	1.4	1.5
30-dic-22	11	9	25	0.6	33	2.3	1.5
30-dic-22	12	5	18	0.6	28	2.2	1.9
30-dic-22	13	9	22	0.8	25	2.1	1.8
30-dic-22	14	18	27	0.9	24	2.8	2.1
30-dic-22	15	23	31	1.1	20	3.6	3.8
30-dic-22	16	22	29	1.0	18	3.0	3.0
30-dic-22	17	32	33	1.2	15	5.1	5.0
30-dic-22	18	19	25	0.9	16	3.0	2.3
30-dic-22	19	17	24	0.7	19	3.4	1.4
30-dic-22	20	10	16	0.7	18	2.3	1.9
30-dic-22	21	10	14	0.5	20	1.3	2.1
30-dic-22	22	9	14	0.5	24	0.9	1.4
30-dic-22	23	9	13	0.5	28	0.9	3.7
30-dic-22	00	10	14	0.5	27	1.1	1.3
31-dic-22	01	4	10	0.4	29	1.0	1.1
31-dic-22	02	2	8	0.4	33	1.0	2.8
31-dic-22	03	1	5	0.3	35	0.4	1.1

giorno	hh	NO ( $\mu\text{g}/\text{m}^3$ )	NO2 ( $\mu\text{g}/\text{m}^3$ )	CO ( $\text{mg}/\text{m}^3$ )	O3 ( $\mu\text{g}/\text{m}^3$ )	Benz ( $\mu\text{g}/\text{m}^3$ )	Tol ( $\mu\text{g}/\text{m}^3$ )
31-dic-22	04	1	3	0.3	41	0.3	1.3
31-dic-22	05	1	5	0.3	35	0.6	0.7
31-dic-22	06	2	6	0.3	35	0.5	0.7
31-dic-22	07	6	12	0.4	31	0.6	1.9
31-dic-22	08	14	24	0.6	27	1.6	1.3
31-dic-22	09	22	23	0.6	29	1.8	1.8
31-dic-22	10	9	11	0.5	40	1.3	1.6
31-dic-22	11	7	8	0.4	46	0.9	2.3
31-dic-22	12	5	9	0.4	43	1.0	2.0
31-dic-22	13	1	6	0.4	48	0.6	0.7
31-dic-22	14	4	11	0.5	39	0.7	0.7
31-dic-22	15	11	18	0.5	27	1.4	0.9
31-dic-22	16	20	24	0.8	22	2.4	2.0
31-dic-22	17	19	23	0.7	16	2.9	1.8
31-dic-22	18	19	24	0.8	20	1.5	3.5
31-dic-22	19	17	27	1.0	25	2.9	2.3
31-dic-22	20	21	26	1.1	24	3.6	2.5
31-dic-22	21	9	17	1.0	26	2.5	1.9
31-dic-22	22	15	18	1.0	25	3.2	1.9
31-dic-22	23	9	19	0.9	24	3.4	2.3
31-dic-22	00	25	18	1.0	11	2.4	1.7
01-gen-23	01	21	20	0.8	6	2.8	2.6
01-gen-23	02	11	19	0.7	11	1.8	1.4
01-gen-23	03	10	16	0.7	13	1.2	1.5
01-gen-23	04	16	15	0.6	17	1.5	2.1
01-gen-23	05	5	10	0.4	22	0.8	1.7
01-gen-23	06	6	12	0.4	22	0.5	1.2
01-gen-23	07	7	12	0.4	21	1.2	2.1
01-gen-23	08	14	18	0.5	19	1.1	1.2
01-gen-23	09	24	21	0.7	20	2.5	1.9
01-gen-23	10	17	17	0.9	25	2.9	2.3
01-gen-23	11	6	7	0.4	30	2.0	1.1
01-gen-23	12	3	5	0.4	43	1.1	1.3
01-gen-23	13	2	7	0.4	42	0.8	2.0
01-gen-23	14	3	11	0.4	40	0.9	0.8
01-gen-23	15	4	12	0.5	32	1.6	1.1
01-gen-23	16	9	20	0.7	29	1.5	2.2
01-gen-23	17	11	27	0.9	24	2.5	2.3
01-gen-23	18	21	27	1.0	21	4.1	3.9
01-gen-23	19	20	23	1.1	19	4.6	4.5
01-gen-23	20	23	23	1.0	18	2.3	2.8
01-gen-23	21	17	17	0.8	17	2.2	2.7
01-gen-23	22	16	16	0.7	16	2.7	2.2
01-gen-23	23	15	15	0.9	16	2.1	2.1
01-gen-23	00	7	13	0.8	15	1.6	1.9
02-gen-23	01	3	8	0.6	17	1.7	2.1
02-gen-23	02	2	7	0.5	20	1.2	1.2
02-gen-23	03	1	5	0.4	20	1.3	0.8



giorno	hh	NO ( $\mu\text{g}/\text{m}^3$ )	NO2 ( $\mu\text{g}/\text{m}^3$ )	CO ( $\text{mg}/\text{m}^3$ )	O3 ( $\mu\text{g}/\text{m}^3$ )	Benz ( $\mu\text{g}/\text{m}^3$ )	Tol ( $\mu\text{g}/\text{m}^3$ )
02-gen-23	04	1	5	0.4	24	1.4	1.3
02-gen-23	05	1	4	0.4	24	0.7	2.0
02-gen-23	06	6	9	0.3	22	0.3	1.4
02-gen-23	07	10	11	0.4	22	0.7	1.5
02-gen-23	08	30	25	0.5	16	1.4	1.1
02-gen-23	09	29	18	0.6	25	1.4	1.0
02-gen-23	10	37	25	0.8	25	2.8	4.3
02-gen-23	11	29	22	0.7	33	1.8	2.0
02-gen-23	12	6	14	0.5	40	1.7	2.6
02-gen-23	13	5	13	0.5	42	0.8	1.2
02-gen-23	14	12	21	0.8	32	1.4	2.0
02-gen-23	15	12	27	0.9	24	2.2	1.9
02-gen-23	16	10	29	0.8	25	1.7	1.7
02-gen-23	17	15	32	0.9	22	2.7	2.9
02-gen-23	18	28	30	0.9	16	2.3	3.6
02-gen-23	19	25	28	1.1	17	3.4	3.4
02-gen-23	20	17	24	1.0	19	2.6	2.9
02-gen-23	21	14	20	0.9		2.4	2.2
02-gen-23	22	9	15	0.8		1.8	3.7
02-gen-23	23	5	14	0.8		2.2	3.2
02-gen-23	00	2	9	0.6		2.2	1.6
03-gen-23	01	1	6	0.5		2.7	2.7
03-gen-23	02	1	5	0.4		3.7	0.9
03-gen-23	03	1	8	0.5		1.6	0.9
03-gen-23	04	1	6	0.4		1.5	1.1
03-gen-23	05	2	8	0.4		2.2	0.9
03-gen-23	06	6	8	0.4		1.8	1.1
03-gen-23	07	9	10	0.4		2.1	1.3
03-gen-23	08	9	14	0.6		1.5	2.2
03-gen-23	09	14	14	0.6		3.4	1.4
03-gen-23	10	13	14	0.6		1.9	1.7
03-gen-23	11	4	8	0.5		2.2	0.9
03-gen-23	12	4	12	0.5		1.4	1.0
03-gen-23	13	5	11	0.5		2.6	0.9
03-gen-23	14	9	21	0.6		4.1	1.2
03-gen-23	15	8	23	0.7		3.7	1.7
03-gen-23	16	13	28	0.8		4.2	1.7
03-gen-23	17	21	26	0.9		3.3	2.4
03-gen-23	18	23	22	0.8		3.2	3.8
03-gen-23	19	21	17	0.7		2.3	2.5
03-gen-23	20	9	14	0.7	17	2.4	1.5
03-gen-23	21	13	13	0.8	16	1.7	1.4
03-gen-23	22	6	10	0.5	18	1.4	2.2
03-gen-23	23	8	11	0.5	20	1.7	2.0
03-gen-23	00	5	11	0.5	20	1.3	1.4
04-gen-23	01	2	6	0.3	20	0.9	1.1
04-gen-23	02	1	6	0.3	20	0.8	1.0
04-gen-23	03	1	5	0.3	20	0.8	0.9

giorno	hh	NO ( $\mu\text{g}/\text{m}^3$ )	NO2 ( $\mu\text{g}/\text{m}^3$ )	CO ( $\text{mg}/\text{m}^3$ )	O3 ( $\mu\text{g}/\text{m}^3$ )	Benz ( $\mu\text{g}/\text{m}^3$ )	Tol ( $\mu\text{g}/\text{m}^3$ )
04-gen-23	04	2	8	0.3	21	0.7	0.6
04-gen-23	05	3	6	0.3	22	0.7	0.6
04-gen-23	06	16	16	0.3	19	0.6	1.8
04-gen-23	07	39	28	0.4	18	1.2	1.1
04-gen-23	08	19	23	0.6	21	1.6	1.4
04-gen-23	09	13	15	0.4	30	2.3	0.8
04-gen-23	10	15	14	0.4	32	0.5	0.5
04-gen-23	11	12	14	0.3	36	0.7	0.2
04-gen-23	12	4	8	0.3	45	1.5	0.3
04-gen-23	13	1	5	0.3	51	0.4	0.9
04-gen-23	14	3	11	0.4	48	1.0	0.9
04-gen-23	15	5	18	0.6	38	1.0	1.4
04-gen-23	16	7	23	0.7	30	2.6	1.8
04-gen-23	17	11	25	0.7	26	1.8	2.2
04-gen-23	18	15	29	0.9	23	1.7	2.5
04-gen-23	19	10	21	0.7	27	2.1	3.4
04-gen-23	20	7	15	0.6	31	2.5	2.0
04-gen-23	21	6	16	0.6	30	1.8	2.6
04-gen-23	22	7	14	0.6	33	1.6	1.2
04-gen-23	23	3	10	0.5	36	1.8	2.6
04-gen-23	00	4	9	0.5		1.3	1.7
05-gen-23	01	1	6	0.4		1.6	1.4
05-gen-23	02						
05-gen-23	03						
05-gen-23	04						
05-gen-23	05						
05-gen-23	06						
05-gen-23	07						
05-gen-23	08						
05-gen-23	09						
05-gen-23	10						
05-gen-23	11						
05-gen-23	12	2	9	0.4	36		
05-gen-23	13	4	13	0.4	28		
05-gen-23	14	4	15	0.4	39		
05-gen-23	15	4	17	0.4	38	1.6	0.1
05-gen-23	16	11	29	0.5	24	1.3	0.1
05-gen-23	17	18	37	0.6	22	2.3	0.2
05-gen-23	18	11	29	0.4	34	2.2	1.7
05-gen-23	19	16	36	0.5	32	2.0	3.6
05-gen-23	20	4	22	0.4	45	1.7	1.8
05-gen-23	21	4	15	0.3	46	1.1	1.5
05-gen-23	22	3	11	0.4	52	0.7	1.7
05-gen-23	23	2	10	0.4	53	1.3	1.4
05-gen-23	00	2	9	0.3	52	0.9	1.3
06-gen-23	01	1	5	0.3	55	0.4	1.2
06-gen-23	02	0	5	0.2	55	0.3	0.5
06-gen-23	03	0	3	0.2	57	0.2	0.6

giorno	hh	NO ( $\mu\text{g}/\text{m}^3$ )	NO2 ( $\mu\text{g}/\text{m}^3$ )	CO ( $\text{mg}/\text{m}^3$ )	O3 ( $\mu\text{g}/\text{m}^3$ )	Benz ( $\mu\text{g}/\text{m}^3$ )	Tol ( $\mu\text{g}/\text{m}^3$ )
06-gen-23	04	0	3	0.2	57	0.2	0.5
06-gen-23	05	0	2	0.2	58	0.2	0.5
06-gen-23	06	1	5	0.3	57	0.2	0.7
06-gen-23	07	5	13	0.3	49	0.4	1.2
06-gen-23	08	12	24	0.5	41	1.5	1.5
06-gen-23	09	15	24	0.5	50	1.3	2.3
06-gen-23	10	4	11	0.5	53	2.4	1.8
06-gen-23	11	4	11	0.3	53	0.9	0.6
06-gen-23	12	2	8	0.3	57	1.3	0.2
06-gen-23	13	2	8	0.3	55	0.6	0.1
06-gen-23	14	3	11	0.3	53	1.0	0.1
06-gen-23	15	3	17	0.3	47	0.6	0.1
06-gen-23	16	13	33	0.7	29	2.1	0.1
06-gen-23	17	24	40	0.7	22	2.3	2.3
06-gen-23	18	25	31	0.5	27	2.1	2.9
06-gen-23	19	19	28	0.5	29	2.5	2.3
06-gen-23	20	12	22	0.5	35	1.5	1.5
06-gen-23	21	9	20	0.5	35	1.3	1.7
06-gen-23	22	9	19	0.6	33	3.5	2.2
06-gen-23	23	10	15	0.4	36	3.4	2.2
06-gen-23	00	3	7	0.3	47	0.7	1.4
07-gen-23	01	0	4	0.3	50	0.7	1.3
07-gen-23	02	1	4	0.3	52	0.2	0.5
07-gen-23	03	0	3	0.3	51	0.3	0.6
07-gen-23	04	1	4	0.3	50	0.2	0.9
07-gen-23	05	1	4	0.3	50	0.3	0.7
07-gen-23	06	4	9	0.3	45	0.4	0.6
07-gen-23	07	5	14	0.4	41	0.6	1.0
07-gen-23	08	22	34	0.5	31	1.0	3.3
07-gen-23	09	8	16	0.5	49	1.1	1.8
07-gen-23	10	8	14	0.5	50	1.1	1.5
07-gen-23	11	3	7	0.4	58	0.9	1.0
07-gen-23	12	1	5	0.3	64	0.9	1.2
07-gen-23	13	2	7	0.3	57	0.8	0.4
07-gen-23	14	3	11	0.3	57	1.0	0.5
07-gen-23	15	4	13	0.3	52	0.8	0.1
07-gen-23	16	15	30	0.7	32	1.8	0.9
07-gen-23	17	26	37	0.7	24	2.2	3.3
07-gen-23	18	21	33	0.7	24	1.9	2.1
07-gen-23	19	18	35	1.2	22	3.6	11.2
07-gen-23	20	12	28	0.8	26	2.7	2.9
07-gen-23	21	8	21	0.7	37	1.8	1.5
07-gen-23	22	4	19	0.7	38	1.5	2.0
07-gen-23	23	3	14	0.5	37	1.2	2.1
07-gen-23	00	2	12	0.5	38	1.0	1.5
08-gen-23	01	1	8	0.4	46	0.7	1.1
08-gen-23	02	0	6	0.3	54	0.6	1.2
08-gen-23	03	1	6	0.3	54	0.7	0.7

giorno	hh	NO ( $\mu\text{g}/\text{m}^3$ )	NO2 ( $\mu\text{g}/\text{m}^3$ )	CO ( $\text{mg}/\text{m}^3$ )	O3 ( $\mu\text{g}/\text{m}^3$ )	Benz ( $\mu\text{g}/\text{m}^3$ )	Tol ( $\mu\text{g}/\text{m}^3$ )
08-gen-23	04	1	6	0.3	48	0.3	0.6
08-gen-23	05	0	6	0.3	52	0.2	0.8
08-gen-23	06	0	5	0.3	54	0.4	0.7
08-gen-23	07	1	7	0.3	51	0.5	0.9
08-gen-23	08	4	16	0.4	45	1.0	0.8
08-gen-23	09	3	14	0.6	44	1.7	1.3
08-gen-23	10	3	13	0.5	55	2.1	1.3
08-gen-23	11	5	15	0.9	53	1.5	1.6
08-gen-23	12	3	13	0.5	56	1.4	2.9
08-gen-23	13	2	8	0.4	65	1.1	1.2
08-gen-23	14	1	9	0.4	64	0.8	1.1
08-gen-23	15	2	9	0.5	59	1.2	1.0
08-gen-23	16	1	7	0.4	64	0.8	0.6
08-gen-23	17	1	10	0.5	59	0.9	0.9
08-gen-23	18	0	8	0.5	61	1.4	1.1
08-gen-23	19	0	6	0.5	62	1.0	0.6
08-gen-23	20	0	7	0.5	65	0.8	0.8
08-gen-23	21	0	5	0.4	72	0.7	0.4
08-gen-23	22	0	3	0.4	74	0.7	0.5
08-gen-23	23	1	5	0.4	70	0.5	0.6
08-gen-23	00	0	4	0.4	65	0.3	0.5
09-gen-23	01	0	4	0.4	67	0.6	0.6
09-gen-23	02	0	5	0.4	59	0.4	0.7
09-gen-23	03	1	7	0.4	52	0.3	0.8
09-gen-23	04	0	5	0.4	51	0.4	0.5
09-gen-23	05	0	5	0.4	48	0.4	0.8
09-gen-23	06	1	10	0.4	42	0.9	0.8
09-gen-23	07	4	17	0.5	36	1.0	0.8
09-gen-23	08	8	23	0.6	30	1.6	1.2
09-gen-23	09	8	26	0.7	26	2.3	2.5
09-gen-23	10	11	18	0.6	46	1.4	1.5
09-gen-23	11	2	11	0.5	58	0.8	0.7
09-gen-23	12	1	8	0.4	76	0.7	0.6
09-gen-23	13	1	5	0.4	81	0.6	0.6
09-gen-23	14	1	4	0.4	73	0.6	0.5
09-gen-23	15	1	6	0.4	58	1.0	0.9
09-gen-23	16	1	9	0.4	50	0.8	0.6
09-gen-23	17	3	12	0.4	50	0.6	0.6
09-gen-23	18	4	12	0.4	51	0.9	0.6
09-gen-23	19	1	8	0.5	54	0.7	1.0
09-gen-23	20	1	8	0.5	52	1.1	0.9
09-gen-23	21	1	6	0.5	55	0.7	0.8
09-gen-23	22	1	6	0.5	57	1.0	1.0
09-gen-23	23	0	4	0.5	58	0.6	0.8
09-gen-23	00	0	3	0.5	59	0.9	0.5
10-gen-23	01	0	2	0.5	60	0.6	0.6
10-gen-23	02	1	4	0.5	58	0.3	0.4
10-gen-23	03	0	2	0.5	62	0.2	0.3

giorno	hh	NO ( $\mu\text{g}/\text{m}^3$ )	NO2 ( $\mu\text{g}/\text{m}^3$ )	CO ( $\text{mg}/\text{m}^3$ )	O3 ( $\mu\text{g}/\text{m}^3$ )	Benz ( $\mu\text{g}/\text{m}^3$ )	Tol ( $\mu\text{g}/\text{m}^3$ )
10-gen-23	04	0	2	0.5	62	0.4	0.7
10-gen-23	05	0	2	0.5	62	0.5	0.4
10-gen-23	06	5	10	0.5	55	0.6	0.5
10-gen-23	07	12	17	0.6	50	0.6	0.6
10-gen-23	08	4	15	0.6	54	0.6	1.3
10-gen-23	09	2	9	0.6	60	0.8	1.0
10-gen-23	10	2	4	0.5	69	0.6	0.9
10-gen-23	11	1	4	0.5	70	0.4	0.5
10-gen-23	12	1	4	0.4	72	0.7	0.7
10-gen-23	13	1	4	0.4	73	0.6	0.4
10-gen-23	14	1	5	0.3	73	0.5	0.1
10-gen-23	15	1	4	0.3	74	0.4	0.1
10-gen-23	16	3	11	0.4	68	0.6	0.4
10-gen-23	17	2	14	0.4	64	0.9	0.8
10-gen-23	18	3	15	0.5	60	1.0	1.3
10-gen-23	19	2	12	0.5	60	0.8	0.9
10-gen-23	20	2	11	0.5	60	1.3	1.1
10-gen-23	21	1	6	0.5	64	0.5	0.7
10-gen-23	22	2	6	0.5	64	0.4	0.5
10-gen-23	23	0	5	0.5	62	0.6	1.3
10-gen-23	00	0	3	0.4	64	0.4	0.7
11-gen-23	01	0	3	0.4	65	0.3	0.6
11-gen-23	02	0	2	0.4	66	0.3	0.9
11-gen-23	03	0	2	0.4	69	0.4	0.4
11-gen-23	04	0	2	0.5	67	0.2	0.6
11-gen-23	05	0	3	0.5	65	0.5	0.4
11-gen-23	06	13	21	0.5	53	0.3	0.5
11-gen-23	07	13	24	0.6	49	0.6	0.8
11-gen-23	08	21	36	0.6	38	1.2	1.4
11-gen-23	09	19	31	0.8	41	1.3	2.5
11-gen-23	10	6	17	0.6	52	1.3	1.7
11-gen-23	11	6	14	0.6	56	1.2	1.0
11-gen-23	12	2	10	0.5	64	1.2	1.0
11-gen-23	13	2	12	0.5	63	0.8	0.8
11-gen-23	14	2	14	0.5	62	0.9	0.7
11-gen-23	15	4	22	0.6	58	1.5	1.3
11-gen-23	16	4	24	0.6	50	1.7	1.1
11-gen-23	17	9	32	0.6	36	1.8	1.4
11-gen-23	18	10	29	0.6	41	1.7	2.2
11-gen-23	19	5	23	0.6	42	1.7	1.8
11-gen-23	20	2	16	0.6	47	1.9	1.5
11-gen-23	21	2	14	0.6	49	1.4	1.6
11-gen-23	22	0	7	0.5	61	1.4	0.9
11-gen-23	23	1	9	0.5	64	0.8	0.6
11-gen-23	00	1	7	0.4	57	0.7	0.8
12-gen-23	01	0	5	0.4	55	0.8	0.9
12-gen-23	02	1	6	0.4	54	0.5	0.7
12-gen-23	03	0	4	0.4	59	0.6	0.6

giorno	hh	NO ( $\mu\text{g}/\text{m}^3$ )	NO2 ( $\mu\text{g}/\text{m}^3$ )	CO ( $\text{mg}/\text{m}^3$ )	O3 ( $\mu\text{g}/\text{m}^3$ )	Benz ( $\mu\text{g}/\text{m}^3$ )	Tol ( $\mu\text{g}/\text{m}^3$ )
12-gen-23	04	0	3	0.4	61	0.5	0.4
12-gen-23	05	0	3	0.4	64	0.4	0.7
12-gen-23	06	3	8	0.4	57	0.5	0.9
12-gen-23	07	8	17	0.5	48	0.6	1.0
12-gen-23	08	9	23	0.6	45	0.8	1.6
12-gen-23	09	20	28	0.6	39	1.0	2.8
12-gen-23	10	4	12	0.5	53	0.8	1.1
12-gen-23	11	3	10	0.5	58	0.6	0.7
12-gen-23	12	2	10	0.5	60	1.1	0.9
12-gen-23	13	1	6	0.4	65	0.6	0.8
12-gen-23	14	1	8	0.4	58	0.7	0.4
12-gen-23	15	2	17	0.4	54	1.2	0.7
12-gen-23	16	5	22	0.5	43	1.7	1.9
12-gen-23	17	8	24	0.5	40	0.9	1.7
12-gen-23	18	6	22	0.5	42	1.3	1.0
12-gen-23	19	6	20	0.4	47	0.9	0.9
12-gen-23	20	3	15	0.5	48	0.8	1.9
12-gen-23	21	2	14	0.5	50	1.0	1.2
12-gen-23	22	1	9	0.4	56	1.0	1.7
12-gen-23	23	1	7	0.4	58	0.6	1.4
12-gen-23	00	0	4	0.4	64	0.5	0.6
13-gen-23	01	0	4	0.4	61	0.5	0.7
13-gen-23	02	0	3	0.4	62	0.2	0.8
13-gen-23	03	0	3	0.4	65	1.0	0.5
13-gen-23	04	0	3	0.4	64	0.3	0.6
13-gen-23	05	1	4	0.4	61	0.4	0.6
13-gen-23	06	3	12	0.4	56	0.6	0.6
13-gen-23	07	8	20	0.5	47	1.0	0.8
13-gen-23	08	15	31	0.5	40	0.6	1.0
13-gen-23	09	15	31	0.6	41	0.8	0.8
13-gen-23	10	12	25	0.8	44	1.9	1.7
13-gen-23	11	4	15	0.6	57	1.4	1.3
13-gen-23	12	3	14	0.5	62	1.0	1.2
13-gen-23	13	0	4	0.4	69	0.8	0.6
13-gen-23	14	1	8	0.3	67	1.0	0.4
13-gen-23	15	2	11	0.3	59	0.8	0.5
13-gen-23	16	3	20	0.5	45	1.7	0.6
13-gen-23	17	8	28	0.5	40	1.2	2.1
13-gen-23	18	5	24	0.5	44	1.0	1.3
13-gen-23	19	3	18	0.5	50	1.5	1.4
13-gen-23	20	4	17	0.6	52	0.9	1.2
13-gen-23	21	2	12	0.5	59	0.8	1.0
13-gen-23	22	2	11	0.5	59	0.7	0.7
13-gen-23	23	1	7	0.4	62	0.7	1.2
13-gen-23	00	0	4	0.4	66	0.7	0.7
14-gen-23	01	1	4	0.4	67	0.4	0.5
14-gen-23	02	0	2	0.4	71	0.5	0.4
14-gen-23	03	0	2	0.4	74	0.5	0.3

giorno	hh	NO ( $\mu\text{g}/\text{m}^3$ )	NO2 ( $\mu\text{g}/\text{m}^3$ )	CO ( $\text{mg}/\text{m}^3$ )	O3 ( $\mu\text{g}/\text{m}^3$ )	Benz ( $\mu\text{g}/\text{m}^3$ )	Tol ( $\mu\text{g}/\text{m}^3$ )
14-gen-23	04	0	3	0.4	70	0.3	0.7
14-gen-23	05	1	3	0.4	71	0.4	0.8
14-gen-23	06	6	12	0.4	65	0.3	0.6
14-gen-23	07	23	24	0.5	56	0.3	0.5
14-gen-23	08	18	31	0.5	52	0.9	1.2
14-gen-23	09	3	15	0.5	62	1.8	0.8
14-gen-23	10	5	11	0.4	63	0.7	0.8
14-gen-23	11	1	7	0.4	69	0.5	0.6
14-gen-23	12	3	11	0.4	67	0.8	0.8
14-gen-23	13	6	16	0.3	64	0.6	0.5
14-gen-23	14	2	11	0.3	68	0.5	0.3
14-gen-23	15	2	14	0.4	57	0.9	0.1
14-gen-23	16	4	23	0.5	47	1.3	1.0
14-gen-23	17	13	37	0.6	34	2.1	2.3
14-gen-23	18	10	29	0.5	41	1.5	1.3
14-gen-23	19	11	27	0.6	43	2.0	1.8
14-gen-23	20	6	25	0.6	45	2.7	2.7
14-gen-23	21	5	17	0.5	48	1.3	1.1
14-gen-23	22	4	18	0.6	48	1.4	1.2
14-gen-23	23	3	10	0.5	54	1.8	1.2
14-gen-23	00	3	10	0.4	53	0.8	1.3
15-gen-23	01	1	10	0.5	53	1.2	0.8
15-gen-23	02	3	7	0.4	53	0.7	1.7
15-gen-23	03	1	7	0.4	52	0.6	1.4
15-gen-23	04	1	6	0.4	55	0.5	0.7
15-gen-23	05	1	6	0.4	55	0.7	0.8
15-gen-23	06	1	8	0.4	54	0.5	1.1
15-gen-23	07	4	14	0.4	51	0.7	1.1
15-gen-23	08	22	40	0.5	31	0.9	0.9
15-gen-23	09	7	30	0.7	42	1.5	1.2
15-gen-23	10	8	29	0.7	46	2.4	1.3
15-gen-23	11	3	18	0.6	55	2.2	0.9
15-gen-23	12	4	20	0.7	55	2.2	1.4
15-gen-23	13	5	23	0.6	54	1.5	1.7
15-gen-23	14	7	31	0.7	41	1.9	1.4
15-gen-23	15	5	29	0.7	45	2.6	1.5
15-gen-23	16	5	26	0.7	47	2.2	1.4
15-gen-23	17	5	30	1.0	37	2.5	1.6
15-gen-23	18	5	25	0.8	33	2.3	2.1
15-gen-23	19	8	22	0.8	30	2.2	1.5
15-gen-23	20	4	21	0.9	39	1.8	2.3
15-gen-23	21	2	17	0.7	42	2.2	1.6
15-gen-23	22	1	12	0.6	44	1.4	1.1
15-gen-23	23	1	10	0.5	51	1.2	1.4
15-gen-23	00	1	9	0.5	46	0.9	0.8
16-gen-23	01	1	8	0.5	47	0.9	1.0
16-gen-23	02	1	7	0.4	45	1.0	0.7
16-gen-23	03	1	8	0.5	43	1.1	0.5

giorno	hh	NO ( $\mu\text{g}/\text{m}^3$ )	NO2 ( $\mu\text{g}/\text{m}^3$ )	CO ( $\text{mg}/\text{m}^3$ )	O3 ( $\mu\text{g}/\text{m}^3$ )	Benz ( $\mu\text{g}/\text{m}^3$ )	Tol ( $\mu\text{g}/\text{m}^3$ )
16-gen-23	04	1	7	0.5	45	1.0	0.7
16-gen-23	05	1	6	0.4	41	0.8	0.9
16-gen-23	06	5	12	0.4	35	0.7	0.6
16-gen-23	07	13	18	0.4	32	0.7	0.7
16-gen-23	08	8	17	0.5	36	0.8	3.6
16-gen-23	09	7	12	0.4	50	0.7	3.1
16-gen-23	10	2	5	0.4	55	1.0	0.8
16-gen-23	11	1	4	0.4	58	0.9	0.5
16-gen-23	12	1	6	0.4	57	0.9	0.5
16-gen-23	13	1	5	0.4	67	0.8	0.5
16-gen-23	14	1	6	0.4	77	0.8	0.5
16-gen-23	15	1	7	0.4	75	1.1	0.6
16-gen-23	16	2	14	0.5	63	1.4	0.9
16-gen-23	17	2	17	0.6	55	1.1	0.6
16-gen-23	18	22	32	0.7	34	1.4	1.1
16-gen-23	19	7	23	0.7	34	1.9	1.7
16-gen-23	20	3	20	1.0	33	1.7	1.9
16-gen-23	21	2	14	0.6	34	2.1	3.6
16-gen-23	22	1	9	0.5	47	1.1	0.6
16-gen-23	23	1	8	0.5	53	0.9	0.8



## Allegato 5 - Dati giornalieri di PM10

## Angolo Terme - periodo estivo

Giorno	PM10 ( $\mu\text{g}/\text{m}^3$ )
06-mag-22	13
07-mag-22	17
08-mag-22	7
09-mag-22	11
10-mag-22	15
11-mag-22	21
12-mag-22	19
13-mag-22	22
14-mag-22	20
15-mag-22	20
16-mag-22	18
17-mag-22	18
18-mag-22	17
19-mag-22	20

Giorno	PM10 ( $\mu\text{g}/\text{m}^3$ )
20-mag-22	27
21-mag-22	29
22-mag-22	31
23-mag-22	27
24-mag-22	20
25-mag-22	8
26-mag-22	18
27-mag-22	29
28-mag-22	22
29-mag-22	8
30-mag-22	14
31-mag-22	18
01-giu-22	21

Giorno	PM10 ( $\mu\text{g}/\text{m}^3$ )
02-giu-22	24
03-giu-22	21
04-giu-22	17
05-giu-22	21
06-giu-22	14
07-giu-22	6
08-giu-22	8
09-giu-22	6
10-giu-22	5
11-giu-22	10
12-giu-22	13
13-giu-22	17
14-giu-22	14

## Angolo Terme - periodo invernale

Giorno	PM10 ( $\mu\text{g}/\text{m}^3$ )
25-nov-22	9
26-nov-22	7
27-nov-22	9
28-nov-22	20
29-nov-22	29
30-nov-22	20
01-dic-22	11
02-dic-22	21
03-dic-22	18
04-dic-22	12
05-dic-22	7
06-dic-22	14
07-dic-22	
08-dic-22	
09-dic-22	
10-dic-22	
11-dic-22	
12-dic-22	

Giorno	PM10 ( $\mu\text{g}/\text{m}^3$ )
13-dic-22	34
14-dic-22	27
15-dic-22	22
16-dic-22	22
17-dic-22	10
18-dic-22	11
19-dic-22	24
20-dic-22	28
21-dic-22	53
22-dic-22	34
23-dic-22	33
24-dic-22	36
25-dic-22	18
26-dic-22	22
27-dic-22	13
28-dic-22	20
29-dic-22	37
30-dic-22	31

Giorno	PM10 ( $\mu\text{g}/\text{m}^3$ )
31-dic-22	22
01-gen-23	57
02-gen-23	47
03-gen-23	40
04-gen-23	28
05-gen-23	16
06-gen-23	28
07-gen-23	31
08-gen-23	17
09-gen-23	7
10-gen-23	4
11-gen-23	19
12-gen-23	15
13-gen-23	14
14-gen-23	13
15-gen-23	25
16-gen-23	25

Borno - periodo estivo

Giorno	PM10 ( $\mu\text{g}/\text{m}^3$ )
06-mag-22	10
07-mag-22	
08-mag-22	5
09-mag-22	10
10-mag-22	15
11-mag-22	19
12-mag-22	19
13-mag-22	22
14-mag-22	18
15-mag-22	20
16-mag-22	17
17-mag-22	12
18-mag-22	18
19-mag-22	19

Giorno	PM10 ( $\mu\text{g}/\text{m}^3$ )
20-mag-22	26
21-mag-22	28
22-mag-22	29
23-mag-22	25
24-mag-22	
25-mag-22	8
26-mag-22	18
27-mag-22	26
28-mag-22	19
29-mag-22	6
30-mag-22	10
31-mag-22	14
01-giu-22	18

Giorno	PM10 ( $\mu\text{g}/\text{m}^3$ )
02-giu-22	21
03-giu-22	22
04-giu-22	17
05-giu-22	22
06-giu-22	12
07-giu-22	6
08-giu-22	6
09-giu-22	4
10-giu-22	5
11-giu-22	9
12-giu-22	12
13-giu-22	18
14-giu-22	13

Borno - periodo invernale

Giorno	PM10 ( $\mu\text{g}/\text{m}^3$ )
25-nov-22	10
26-nov-22	8
27-nov-22	9
28-nov-22	15
29-nov-22	21
30-nov-22	16
01-dic-22	9
02-dic-22	16
03-dic-22	10
04-dic-22	7
05-dic-22	5
06-dic-22	5
07-dic-22	10
08-dic-22	11
09-dic-22	14
10-dic-22	10
11-dic-22	8
12-dic-22	20

Giorno	PM10 ( $\mu\text{g}/\text{m}^3$ )
13-dic-22	23
14-dic-22	23
15-dic-22	19
16-dic-22	11
17-dic-22	10
18-dic-22	10
19-dic-22	
20-dic-22	
21-dic-22	11
22-dic-22	9
23-dic-22	12
24-dic-22	12
25-dic-22	9
26-dic-22	21
27-dic-22	11
28-dic-22	19
29-dic-22	25
30-dic-22	18

Giorno	PM10 ( $\mu\text{g}/\text{m}^3$ )
31-dic-22	23
01-gen-23	39
02-gen-23	22
03-gen-23	15
04-gen-23	10
05-gen-23	9
06-gen-23	13
07-gen-23	16
08-gen-23	6
09-gen-23	4
10-gen-23	6
11-gen-23	18
12-gen-23	7
13-gen-23	9
14-gen-23	10
15-gen-23	17
16-gen-23	6

## Allegato 6 – analisi sul particolato

Angolo Terme - periodo invernale

Data	PM10	Al	Si	P	S	Cl	K	Ca	Ti	V	Cr
	( $\mu\text{g}/\text{m}^3$ )	( $\mu\text{g}/\text{m}^3$ )	( $\mu\text{g}/\text{m}^3$ )	( $\mu\text{g}/\text{m}^3$ )	( $\mu\text{g}/\text{m}^3$ )	( $\mu\text{g}/\text{m}^3$ )	( $\mu\text{g}/\text{m}^3$ )	( $\mu\text{g}/\text{m}^3$ )	( $\mu\text{g}/\text{m}^3$ )	( $\mu\text{g}/\text{m}^3$ )	( $\mu\text{g}/\text{m}^3$ )
06-mag-22	13	0.0553	0.1971	0.0086	0.4560	< 0.001	0.1431	0.1586	0.0059	< 0.0001	0.0030
07-mag-22	17	0.0341	0.1087	0.0107	0.4463	< 0.001	0.1480	0.1036	0.0043	< 0.0001	0.0018
08-mag-22	7	0.0231	0.0748	0.0152	0.2291	< 0.001	0.0933	0.0731	0.0025	< 0.0001	< 0.001
09-mag-22	11	0.1469	0.4237	0.0164	0.4585	< 0.001	0.1459	0.3237	0.0124	0.0004	0.0015
10-mag-22	15	0.2429	0.6877	0.0143	0.5759	< 0.001	0.1567	0.4688	0.0195	0.0005	0.0022
11-mag-22	21	0.2573	0.7592	0.0208	0.7540	< 0.001	0.1737	0.4885	0.0220	0.0007	0.0032
12-mag-22	19	0.2360	0.6971	0.0146	0.6451	< 0.001	0.1536	0.4891	0.0192	0.0013	0.0025
13-mag-22	22	0.2928	0.8597	0.0139	0.7364	0.0092	0.1744	0.5903	0.0238	0.0014	0.0031
14-mag-22	20	0.2062	0.6077	0.0164	0.6742	0.0053	0.1487	0.3660	0.0167	0.0010	0.0022
15-mag-22	20	0.1566	0.4634	0.0245	0.8964	0.0041	0.1574	0.2521	0.0127	0.0007	0.0013
16-mag-22	18	0.1797	0.5260	0.0328	0.7957	< 0.001	0.1879	0.3020	0.0135	0.0007	0.0014
17-mag-22	18	0.2743	0.7854	0.0286	0.3495	0.0287	0.2758	0.5388	0.0203	0.0009	0.0028
18-mag-22	17	0.2258	0.6574	0.0130	0.5300	< 0.001	0.1439	0.6181	0.0180	0.0008	0.0026
19-mag-22	20	0.2104	0.6686	0.0188	0.6153	0.0123	0.1565	0.5762	0.0172	0.0009	0.0027
20-mag-22	27	0.2945	0.9428	0.0196	0.8190	0.0069	0.1959	0.7783	0.0256	0.0010	0.0242
21-mag-22	29	0.3250	1.0024	0.0192	1.0520	0.0058	0.2001	0.5729	0.0272	0.0015	0.0039
22-mag-22	31	0.3550	1.0623	0.0204	1.1228	0.0022	0.2241	0.5199	0.0280	0.0017	0.0026
23-mag-22	27	0.5411	1.4830	0.0205	1.0075	0.0019	0.2718	0.7625	0.0405	0.0018	0.0044
24-mag-22	20	0.2812	0.8080	0.0146	0.8303	0.0108	0.1756	0.6036	0.0228	0.0019	0.0020
25-mag-22	8	0.0539	0.1677	0.0292	0.1962	< 0.001	0.1253	0.1430	0.0050	0.0004	0.0012
26-mag-22	18	0.2068	0.5966	0.0277	0.5534	0.0045	0.1962	0.4873	0.0178	0.0015	0.0026
27-mag-22	29	0.3093	0.8916	0.0242	1.0382	0.0112	0.2202	0.5923	0.0276	0.0020	0.0040
28-mag-22	22	0.2590	0.7489	0.0173	0.7505	0.0063	0.1790	0.5941	0.0213	0.0011	0.0021
29-mag-22	8	0.0234	0.0816	0.0186	0.2639	< 0.001	0.0750	0.0811	0.0024	< 0.0001	< 0.001
30-mag-22	14	0.0640	0.1969	0.0386	0.3818	< 0.001	0.1077	0.3170	0.0060	0.0003	0.0027
31-mag-22	18	0.0862	0.2814	0.0219	0.5551	0.0036	0.1118	0.3861	0.0089	0.0002	0.0029
01-giu-22	21	0.1216	0.4152	0.0231	0.8735	< 0.001	0.1159	0.3457	0.0109	0.0005	0.0036
02-giu-22	24	0.1307	0.5314	0.0218	1.0301	0.0020	0.1209	0.2702	0.0109	0.0006	0.0019
03-giu-22	21	0.2065	0.6751	0.0287	0.7737	< 0.001	0.1964	0.3143	0.0168	0.0011	0.0031
04-giu-22	17	0.4827	1.2069	0.0310	0.2524	< 0.001	0.2354	0.4219	0.0343	0.0012	0.0014
05-giu-22	21	0.6935	1.7531	0.0234	0.4848	< 0.001	0.2909	0.6148	0.0508	0.0016	0.0016
06-giu-22	14	0.2581	0.6873	0.0198	0.3831	< 0.001	0.1551	0.4860	0.0201	0.0010	0.0022
07-giu-22	6	0.0759	0.1546	0.0184	0.1580	< 0.001	0.0737	0.1174	0.0063	0.0007	0.0009
08-giu-22	8	0.0694	0.1785	0.0180	0.1894	< 0.001	0.0714	0.1991	0.0062	0.0006	0.0022
09-giu-22	6	0.0378	0.1185	0.0141	0.2174	< 0.001	0.0535	0.1268	0.0040	0.0003	0.0014
10-giu-22	5	0.0419	0.1455	0.0081	0.0931	< 0.001	0.0393	0.1794	0.0045	0.0002	0.0011
11-giu-22	10	0.0795	0.2562	0.0112	0.2503	< 0.001	0.0674	0.2334	0.0073	0.0003	0.0016
12-giu-22	13	0.0821	0.2807	0.0129	0.4754	< 0.001	0.0829	0.2215	0.0068	0.0004	0.0011
13-giu-22	17	0.0833	0.2994	0.0193	0.6431	< 0.001	0.1048	0.2439	0.0079	0.0003	0.0019
14-giu-22	14	0.0942	0.2954	0.0137	0.4730	< 0.001	0.0865	0.3733	0.0088	0.0006	0.0020

Data	Mn	Fe	Ni	Cu	Zn	Br	Rb	Pb	Sr	OC	EC
	( $\mu\text{g}/\text{m}^3$ )	( $\mu\text{g}/\text{m}^3$ )	( $\mu\text{g}/\text{m}^3$ )	( $\mu\text{g}/\text{m}^3$ )	( $\mu\text{g}/\text{m}^3$ )	( $\mu\text{g}/\text{m}^3$ )	( $\mu\text{g}/\text{m}^3$ )	( $\mu\text{g}/\text{m}^3$ )	( $\mu\text{g}/\text{m}^3$ )	( $\mu\text{g}/\text{m}^3$ )	( $\mu\text{g}/\text{m}^3$ )
06-mag-22	0.0086	0.2355	0.0012	0.0078	0.0431	0.0012	< 0.0002	0.0060	0.0011	---	---
07-mag-22	0.0060	0.1572	0.0003	0.0051	0.0372	0.0010	< 0.0002	0.0048	0.0006	---	---
08-mag-22	0.0035	0.0833	< 0.0003	0.0028	0.0167	0.0004	0.0002	0.0026	0.0005	---	---
09-mag-22	0.0054	0.2100	0.0005	0.0047	0.0219	0.0012	0.0003	0.0035	0.0018	---	---
10-mag-22	0.0116	0.2830	0.0008	0.0054	0.0203	0.0019	0.0004	0.0057	0.0029	---	---
11-mag-22	0.0093	0.3772	0.0012	0.0080	0.0271	0.0030	0.0004	0.0071	0.0029	6.08	0.68
12-mag-22	0.0082	0.3357	0.0013	0.0076	0.0257	0.0024	0.0004	0.0048	0.0028	5.40	0.44
13-mag-22	0.0100	0.4013	0.0017	0.0089	0.0283	0.0032	0.0005	0.0048	0.0032	5.94	0.74
14-mag-22	0.0079	0.3027	0.0006	0.0064	0.0258	0.0029	0.0004	0.0046	0.0027	5.78	0.78
15-mag-22	0.0055	0.2123	0.0006	0.0049	0.0228	0.0029	< 0.0002	0.0042	0.0018	6.14	0.59
16-mag-22	0.0059	0.2392	0.0008	0.0053	0.0166	0.0026	0.0004	0.0032	0.0020	4.92	0.41
17-mag-22	0.0097	0.3243	0.0009	0.0056	0.0180	0.0017	0.0006	0.0042	0.0027	4.88	0.59
18-mag-22	0.0096	0.3161	0.0008	0.0072	0.0275	0.0020	0.0004	0.0054	0.0025	4.50	0.36
19-mag-22	0.0117	0.3205	0.0009	0.0083	0.0467	0.0032	0.0004	0.0113	0.0025	5.61	0.70
20-mag-22	0.0146	0.4511	0.0016	0.0097	0.0384	0.0040	0.0006	0.0071	0.0031	7.00	0.71
21-mag-22	0.0133	0.4940	0.0014	0.0099	0.0389	0.0039	0.0005	0.0093	0.0031	10.69	1.06
22-mag-22	0.0108	0.4173	0.0015	0.0078	0.0357	0.0033	0.0009	0.0081	0.0030	7.30	0.70
23-mag-22	0.0144	0.5307	0.0015	0.0074	0.0244	0.0029	0.0009	0.0050	0.0045	5.40	0.65
24-mag-22	0.0084	0.3117	0.0013	0.0050	0.0296	0.0031	0.0005	0.0042	0.0034	4.03	0.35
25-mag-22	0.0027	0.1097	0.0005	0.0027	0.0052	0.0007	< 0.0002	0.0010	0.0010	3.39	0.31
26-mag-22	0.0084	0.3079	0.0011	0.0085	0.0359	0.0021	0.0003	0.0048	0.0023	4.97	0.64
27-mag-22	0.0116	0.4367	0.0016	0.0081	0.0392	0.0040	0.0005	0.0072	0.0035	6.28	0.65
28-mag-22	0.0091	0.3221	0.0009	0.0064	0.0290	0.0035	0.0006	0.0058	0.0027	5.05	0.41
29-mag-22	0.0027	0.0761	< 0.0003	0.0026	0.0137	0.0009	< 0.0002	0.0028	0.0005	2.93	0.45
30-mag-22	0.0084	0.1963	0.0004	0.0077	0.0336	0.0013	< 0.0002	0.0068	0.0013	3.61	0.51
31-mag-22	0.0095	0.2412	0.0008	0.0079	0.0330	0.0015	< 0.0002	0.0050	0.0014	4.80	0.61
01-giu-22	0.0079	0.2462	0.0009	0.0071	0.0253	0.0023	< 0.0002	0.0041	0.0018	5.27	0.53
02-giu-22	0.0074	0.2362	0.0011	0.0064	0.0405	0.0028	< 0.0002	0.0063	0.0015	6.01	0.66
03-giu-22	0.0085	0.3205	0.0012	0.0074	0.0323	0.0025	0.0005	0.0050	0.0019	5.66	0.77
04-giu-22	0.0075	0.3912	0.0004	0.0039	0.0189	0.0014	0.0007	0.0026	0.0031	4.57	0.58
05-giu-22	0.0105	0.5310	0.0008	0.0038	0.0169	0.0019	0.0011	0.0036	0.0047	4.71	0.52
06-giu-22	0.0072	0.2754	0.0009	0.0065	0.0262	0.0013	< 0.0002	0.0033	0.0026	3.80	0.50
07-giu-22	0.0028	0.1044	0.0004	0.0027	0.0083	0.0003	< 0.0002	0.0012	0.0009	2.95	0.45
08-giu-22	0.0070	0.1761	0.0012	0.0060	0.0252	0.0007	< 0.0002	0.0026	0.0007	2.93	0.30
09-giu-22	0.0041	0.1183	0.0006	0.0039	0.0143	0.0006	< 0.0002	0.0021	0.0008	2.80	0.43
10-giu-22	0.0032	0.1239	0.0003	0.0040	0.0097	0.0007	< 0.0002	0.0020	0.0011	2.15	0.23
11-giu-22	0.0052	0.1717	0.0004	0.0051	0.0171	0.0012	< 0.0002	0.0028	0.0012	3.56	0.29
12-giu-22	0.0048	0.1607	< 0.0003	0.0045	0.0160	0.0018	< 0.0002	0.0031	0.0011	4.37	0.55
13-giu-22	0.0054	0.1921	0.0005	0.0063	0.0219	0.0024	< 0.0002	0.0039	0.0012	5.51	0.59
14-giu-22	0.0074	0.2150	0.0006	0.0070	0.0247	0.0018	< 0.0002	0.0037	0.0013	4.51	0.56

Data	Cl <sup>-</sup>	NO <sub>2</sub> <sup>-</sup>	Br <sup>-</sup>	NO <sub>3</sub> <sup>-</sup>	PO <sub>4</sub> <sup>3-</sup>	SO <sub>4</sub> <sup>2-</sup>	Na <sup>+</sup>	NH <sub>4</sub> <sup>+</sup>	K <sup>+</sup>	Mg <sup>2+</sup>	Ca <sup>2+</sup>
	(µg/m <sup>3</sup> )	(µg/m <sup>3</sup> )	(µg/m <sup>3</sup> )	(µg/m <sup>3</sup> )	(µg/m <sup>3</sup> )	(µg/m <sup>3</sup> )	(µg/m <sup>3</sup> )	(µg/m <sup>3</sup> )	(µg/m <sup>3</sup> )	(µg/m <sup>3</sup> )	(µg/m <sup>3</sup> )
06-mag-22	< 0.11	< 0.08	< 0.06	0.663	< 0.19	1.455	< 0.25	0.455	< 0.17	< 0.12	0.265
07-mag-22	< 0.11	< 0.08	< 0.06	0.946	< 0.19	1.559	< 0.25	0.616	< 0.17	< 0.12	0.191
08-mag-22	---	---	---	---	---	---	---	---	---	---	---
09-mag-22	< 0.11	0.121	< 0.06	0.505	< 0.19	1.352	< 0.25	0.344	< 0.17	< 0.12	0.326
10-mag-22	< 0.11	0.211	< 0.06	0.821	< 0.19	1.924	< 0.25	0.455	< 0.17	< 0.12	0.548
11-mag-22	< 0.11	0.302	< 0.06	1.042	< 0.19	2.418	< 0.25	0.691	< 0.17	< 0.12	0.671
12-mag-22	< 0.11	0.362	< 0.06	0.978	< 0.19	2.158	< 0.25	0.591	< 0.17	< 0.12	0.634
13-mag-22	< 0.11	< 0.08	< 0.06	1.136	< 0.19	2.496	< 0.25	0.629	< 0.17	< 0.12	0.745
14-mag-22	< 0.11	0.271	< 0.06	0.757	< 0.19	2.106	< 0.25	0.616	< 0.17	< 0.12	0.560
15-mag-22	< 0.11	< 0.08	< 0.06	0.757	< 0.19	2.677	< 0.25	0.913	< 0.17	< 0.12	0.351
16-mag-22	< 0.11	< 0.08	< 0.06	0.442	< 0.19	2.340	< 0.25	0.616	< 0.17	< 0.12	0.462
17-mag-22	< 0.11	0.603	< 0.06	0.694	< 0.19	1.170	< 0.25	0.257	< 0.17	< 0.12	0.622
18-mag-22	< 0.11	0.121	< 0.06	0.695	< 0.19	1.742	< 0.25	0.393	< 0.17	< 0.12	0.893
19-mag-22	< 0.11	0.211	< 0.06	0.884	< 0.19	1.846	< 0.25	0.492	< 0.17	< 0.12	0.696
20-mag-22	< 0.11	< 0.08	< 0.06	1.168	< 0.19	2.522	< 0.25	0.678	< 0.17	< 0.12	0.942
21-mag-22	< 0.11	< 0.08	< 0.06	0.978	< 0.19	3.094	< 0.25	1.025	< 0.17	< 0.12	0.745
22-mag-22	< 0.11	< 0.08	< 0.06	1.262	< 0.19	3.483	1.140	1.161	< 0.17	< 0.12	1.238
23-mag-22	< 0.11	< 0.08	< 0.06	1.136	< 0.19	3.197	0.382	0.839	< 0.17	< 0.12	1.201
24-mag-22	< 0.11	< 0.08	< 0.06	0.789	< 0.19	2.755	< 0.25	0.604	< 0.17	< 0.12	1.016
25-mag-22	< 0.11	< 0.08	< 0.06	< 0.13	< 0.19	0.572	< 0.25	0.096	< 0.17	< 0.12	0.302
26-mag-22	< 0.11	< 0.08	< 0.06	0.568	< 0.19	1.768	< 0.25	0.381	< 0.17	< 0.12	0.721
27-mag-22	---	---	---	---	---	---	0.291	0.975	< 0.17	< 0.12	0.844
28-mag-22	---	---	---	---	---	---	< 0.25	0.567	< 0.17	< 0.12	0.917
29-mag-22	< 0.11	< 0.08	< 0.06	0.252	< 0.19	0.754	< 0.25	0.232	< 0.17	< 0.12	0.216
30-mag-22	< 0.11	< 0.08	< 0.06	0.726	< 0.19	1.092	< 0.25	0.393	< 0.17	< 0.12	0.462
31-mag-22	< 0.11	0.091	< 0.06	0.852	< 0.19	1.716	< 0.25	0.666	< 0.17	< 0.12	0.598
01-giu-22	< 0.11	0.694	< 0.06	1.104	< 0.19	2.807	< 0.25	1.062	< 0.17	< 0.12	0.536
02-giu-22	< 0.11	< 0.08	< 0.06	0.505	< 0.19	3.171	< 0.25	1.099	< 0.17	< 0.12	0.462
03-giu-22	< 0.11	< 0.08	< 0.06	0.410	< 0.19	2.522	< 0.25	0.802	< 0.17	< 0.12	0.499
04-giu-22	< 0.11	0.121	< 0.06	0.442	< 0.19	0.884	< 0.25	0.183	< 0.17	< 0.12	0.548
05-giu-22	< 0.11	0.121	< 0.06	0.536	< 0.19	1.586	< 0.25	0.393	< 0.17	< 0.12	0.733
06-giu-22	< 0.11	0.241	< 0.06	0.536	< 0.19	1.274	< 0.25	0.319	< 0.17	< 0.12	0.634
07-giu-22	< 0.11	0.422	< 0.06	0.189	< 0.19	0.546	< 0.25	0.158	< 0.17	< 0.12	0.240
08-giu-22	< 0.11	0.211	< 0.06	0.221	< 0.19	0.624	< 0.25	0.183	< 0.17	< 0.12	0.265
09-giu-22	< 0.11	< 0.08	< 0.06	< 0.13	< 0.19	0.650	< 0.25	0.220	< 0.17	< 0.12	0.216
10-giu-22	< 0.11	0.332	< 0.06	0.189	< 0.19	0.390	< 0.25	0.084	< 0.17	< 0.12	0.388
11-giu-22	< 0.11	0.452	< 0.06	0.284	< 0.19	0.832	< 0.25	0.294	< 0.17	< 0.12	0.376
12-giu-22	< 0.11	< 0.08	< 0.06	0.252	< 0.19	1.378	< 0.25	0.517	< 0.17	< 0.12	0.314
13-giu-22	< 0.11	0.392	< 0.06	0.410	< 0.19	1.950	< 0.25	0.728	< 0.17	< 0.12	0.339
14-giu-22	< 0.11	< 0.08	< 0.06	0.316	< 0.19	1.404	< 0.25	0.468	< 0.17	< 0.12	0.511

Data	Levogluosano	B(a)P	B(a)A	B(b)F	B(j)F	B(k)F	I(1,2,3,c,d)P	dB(a,h)A
	( $\mu\text{g}/\text{m}^3$ )	( $\text{ng}/\text{m}^3$ )	( $\text{ng}/\text{m}^3$ )	( $\text{ng}/\text{m}^3$ )	( $\text{ng}/\text{m}^3$ )	( $\text{ng}/\text{m}^3$ )	( $\text{ng}/\text{m}^3$ )	( $\text{ng}/\text{m}^3$ )
06-mag-22	0.088	---	---	---	---	---	---	---
07-mag-22	0.172	---	---	---	---	---	---	---
08-mag-22	---	<0.05	<0.05	<0.05	<0.05	<0.05	0.080	<0.05
09-mag-22	<0.05	---	---	---	---	---	---	---
10-mag-22	<0.05	---	---	---	---	---	---	---
11-mag-22	<0.05	<0.05	<0.05	<0.05	<0.05	<0.05	<0.05	<0.05
12-mag-22	<0.05	---	---	---	---	---	---	---
13-mag-22	<0.05	---	---	---	---	---	---	---
14-mag-22	<0.05	<0.05	<0.05	<0.05	<0.05	<0.05	<0.05	<0.05
15-mag-22	<0.05	---	---	---	---	---	---	---
16-mag-22	<0.05	---	---	---	---	---	---	---
17-mag-22	<0.05	<0.05	<0.05	<0.05	<0.05	<0.05	<0.05	<0.05
18-mag-22	<0.05	---	---	---	---	---	---	---
19-mag-22	<0.05	---	---	---	---	---	---	---
20-mag-22	<0.05	<0.05	<0.05	<0.05	<0.05	<0.05	<0.05	<0.05
21-mag-22	<0.05	---	---	---	---	---	---	---
22-mag-22	<0.05	---	---	---	---	---	---	---
23-mag-22	<0.05	<0.05	<0.05	<0.05	<0.05	<0.05	<0.05	<0.05
24-mag-22	<0.05	---	---	---	---	---	---	---
25-mag-22	<0.05	---	---	---	---	---	---	---
26-mag-22	<0.05	<0.05	<0.05	<0.05	<0.05	<0.05	<0.05	<0.05
27-mag-22	<0.05	---	---	---	---	---	---	---
28-mag-22	<0.05	---	---	---	---	---	---	---
29-mag-22	<0.05	<0.05	<0.05	<0.05	<0.05	<0.05	<0.05	<0.05
30-mag-22	<0.05	---	---	---	---	---	---	---
31-mag-22	<0.05	---	---	---	---	---	---	---
01-giu-22	<0.05	---	---	---	---	---	---	---
02-giu-22	<0.05	---	---	---	---	---	---	---
03-giu-22	<0.05	---	---	---	---	---	---	---
04-giu-22	<0.05	<0.05	<0.05	<0.05	<0.05	<0.05	<0.05	<0.05
05-giu-22	<0.05	---	---	---	---	---	---	---
06-giu-22	<0.05	---	---	---	---	---	---	---
07-giu-22	<0.05	---	---	---	---	---	---	---
08-giu-22	<0.05	---	---	---	---	---	---	---
09-giu-22	<0.05	---	---	---	---	---	---	---
10-giu-22	<0.05	---	---	---	---	---	---	---
11-giu-22	<0.05	---	---	---	---	---	---	---
12-giu-22	<0.05	---	---	---	---	---	---	---
13-giu-22	<0.05	<0.05	<0.05	<0.05	<0.05	<0.05	<0.05	<0.05
14-giu-22	<0.05	---	---	---	---	---	---	---

## Angolo Terme – periodo invernale

Data	PM10	Al	Si	P	S	Cl	K	Ca	Ti	V	Cr
	( $\mu\text{g}/\text{m}^3$ )	( $\mu\text{g}/\text{m}^3$ )	( $\mu\text{g}/\text{m}^3$ )	( $\mu\text{g}/\text{m}^3$ )	( $\mu\text{g}/\text{m}^3$ )	( $\mu\text{g}/\text{m}^3$ )	( $\mu\text{g}/\text{m}^3$ )	( $\mu\text{g}/\text{m}^3$ )	( $\mu\text{g}/\text{m}^3$ )	( $\mu\text{g}/\text{m}^3$ )	( $\mu\text{g}/\text{m}^3$ )
25-nov-22	8.95397	---	---	---	---	---	---	---	---	---	---
26-nov-22	6.61088	---	---	---	---	---	---	---	---	---	---
27-nov-22	8.82845	---	---	---	---	---	---	---	---	---	---
28-nov-22	19.8884	---	---	---	---	---	---	---	---	---	---
29-nov-22	29.3863	---	---	---	---	---	---	---	---	---	---
30-nov-22	19.9861	---	---	---	---	---	---	---	---	---	---
01-dic-22	11.2134	---	---	---	---	---	---	---	---	---	---
02-dic-22	21.1018	---	---	---	---	---	---	---	---	---	---
03-dic-22	17.9916	---	---	---	---	---	---	---	---	---	---
04-dic-22	11.576	---	---	---	---	---	---	---	---	---	---
05-dic-22	7.4198	---	---	---	---	---	---	---	---	---	---
06-dic-22	14.0586	---	---	---	---	---	---	---	---	---	---
07-dic-22	---	---	---	---	---	---	---	---	---	---	---
08-dic-22	---	---	---	---	---	---	---	---	---	---	---
09-dic-22	---	---	---	---	---	---	---	---	---	---	---
10-dic-22	---	---	---	---	---	---	---	---	---	---	---
11-dic-22	---	---	---	---	---	---	---	---	---	---	---
12-dic-22	---	---	---	---	---	---	---	---	---	---	---
13-dic-22	34.4331	0.0941	0.3487	0.0120	0.3662	0.6632	0.7042	0.6676	0.0137	0.0003	0.0049
14-dic-22	27.2249	0.0475	0.1955	0.0082	0.2983	0.3034	0.6143	0.3974	0.0083	0.0007	0.0029
15-dic-22	22.3426	0.0304	0.1226	0.0060	0.2061	0.1388	0.5791	0.2263	0.0048	0.0004	0.0035
16-dic-22	21.8634	< 0.008	0.0196	0.0047	0.2044	0.0834	0.5997	0.0179	< 0.001	< 0.0001	0.0023
17-dic-22	10.4194	< 0.008	0.0279	0.0066	0.1176	0.0275	0.3541	0.0548	0.0009	< 0.0001	< 0.001
18-dic-22	10.5840	< 0.008	0.0408	0.0058	0.1542	0.0286	0.3015	0.0886	0.0014	0.0002	< 0.001
19-dic-22	23.9270	0.0497	0.2063	0.0102	0.2597	0.2740	0.5784	0.3962	0.0078	0.0006	0.0024
20-dic-22	28.4500	0.0538	0.2046	0.0081	0.3497	0.1477	0.6892	0.3905	0.0093	0.0009	0.0041
21-dic-22	52.6224	0.1097	0.4182	0.0163	0.8222	0.5006	0.6908	0.5792	0.0201	0.0012	0.0077
22-dic-22	34.0161	0.0444	0.1714	0.0138	0.4743	0.1212	0.6403	0.2281	0.0081	0.0008	0.0038
23-dic-22	32.8729	0.0494	0.1895	0.0119	0.4014	0.1273	0.6314	0.3080	0.0088	0.0005	0.0033
24-dic-22	36.4682	0.0305	0.1313	0.0106	0.4032	0.0940	0.6521	0.1608	0.0063	0.0004	0.0024
25-dic-22	17.8860	0.0269	0.0269	0.0072	0.1673	0.0527	0.5515	0.0670	0.0031	< 0.0001	< 0.001
26-dic-22	22.0994	0.0106	0.0561	0.0090	0.2442	0.0589	0.5926	0.1041	0.0025	0.0004	< 0.001
27-dic-22	13.3899	0.0197	0.0826	0.0063	0.2215	0.0443	0.3176	0.1182	0.0027	0.0005	0.0012
28-dic-22	19.9111	0.0341	0.1417	0.0077	0.2147	0.1627	0.4396	0.2369	0.0055	0.0005	0.0009
29-dic-22	37.4526	0.0597	0.2157	0.0138	0.4342	0.2106	0.6500	0.3163	0.0097	0.0008	0.0025
30-dic-22	30.6529	0.0421	0.1418	0.0085	0.3569	0.0803	0.5967	0.0877	0.0059	0.0006	0.0007
31-dic-22	22.1090	0.0530	0.1445	0.0122	0.2278	0.0849	0.6494	0.1390	0.0083	0.0009	< 0.001
01-gen-23	56.9942	0.4439	0.1887	0.0067	1.0823	1.2197	4.5698	0.1861	0.1647	0.0411	< 0.001
02-gen-23	47.0353	0.1064	0.1306	0.0087	0.6116	0.2655	1.4935	0.0966	0.0324	0.0068	< 0.001
03-gen-23	40.3659	0.0406	0.0842	0.0075	0.4947	0.0853	0.8881	0.0612	0.0125	0.0021	< 0.001
04-gen-23	28.4765	0.0233	0.0945	0.0108	0.4154	0.0849	0.5940	0.1078	0.0060	0.0005	0.0013
05-gen-23	16.0533	0.0233	0.0924	0.0077	0.1099	0.0436	0.3946	0.1565	0.0038	0.0005	< 0.001
06-gen-23	28.1764	0.0268	0.1139	0.0081	0.3513	0.0888	0.5175	0.1527	0.0044	0.0003	0.0011
07-gen-23	31.1507	0.0247	0.1016	0.0083	0.3204	0.0914	0.5181	0.1596	0.0039	0.0004	0.0009

Data	PM10	Al	Si	P	S	Cl	K	Ca	Ti	V	Cr
	(µg/m³)	(µg/m³)	(µg/m³)	(µg/m³)	(µg/m³)	(µg/m³)	(µg/m³)	(µg/m³)	(µg/m³)	(µg/m³)	(µg/m³)
08-gen-23	17.3925	0.0092	0.0422	0.0076	0.2040	0.0359	0.4043	0.0583	0.0012	0.0003	< 0.001
09-gen-23	6.5979	0.0089	0.0243	0.0056	0.0575	0.0273	0.2424	0.0523	< 0.001	< 0.0001	< 0.001
10-gen-23	3.6441	0.0111	0.0470	0.0016	0.0334	0.0516	0.1483	0.1101	0.0030	< 0.0001	< 0.001
11-gen-23	18.8939	0.0811	0.2752	0.0054	0.1101	0.1824	0.4476	0.4998	0.0091	0.0005	0.0008
12-gen-23	15.4190	0.0530	0.2041	0.0056	0.1074	0.1670	0.3868	0.3712	0.0066	0.0003	< 0.001
13-gen-23	13.9419	0.0472	0.1672	0.0049	0.1010	0.1494	0.3257	0.2968	0.0058	0.0003	0.0008
14-gen-23	13.3305	0.0364	0.1519	0.0039	0.0940	0.0819	0.3300	0.2652	0.0050	0.0003	< 0.001
15-gen-23	24.6632	0.0291	0.1208	0.0073	0.1811	0.1833	0.5580	0.2056	0.0045	0.0005	< 0.001
16-gen-23	24.6027	0.0534	0.1847	0.0040	0.1265	0.0239	0.4515	0.1257	0.0122	0.0004	0.0009

Data	Mn	Fe	Ni	Cu	Zn	Br	Rb	Pb	Sr	OC	EC
	(µg/m³)	(µg/m³)	(µg/m³)	(µg/m³)	(µg/m³)	(µg/m³)	(µg/m³)	(µg/m³)	(µg/m³)	(µg/m³)	(µg/m³)
25-nov-22	---	---	---	---	---	---	---	---	---	---	---
26-nov-22	---	---	---	---	---	---	---	---	---	---	---
27-nov-22	---	---	---	---	---	---	---	---	---	---	---
28-nov-22	---	---	---	---	---	---	---	---	---	---	---
29-nov-22	---	---	---	---	---	---	---	---	---	---	---
30-nov-22	---	---	---	---	---	---	---	---	---	---	---
01-dic-22	---	---	---	---	---	---	---	---	---	---	---
02-dic-22	---	---	---	---	---	---	---	---	---	---	---
03-dic-22	---	---	---	---	---	---	---	---	---	---	---
04-dic-22	---	---	---	---	---	---	---	---	---	---	---
05-dic-22	---	---	---	---	---	---	---	---	---	---	---
06-dic-22	---	---	---	---	---	---	---	---	---	---	---
07-dic-22	---	---	---	---	---	---	---	---	---	5.16	0.92
08-dic-22	---	---	---	---	---	---	---	---	---	5.81	0.78
09-dic-22	---	---	---	---	---	---	---	---	---	13.34	1.63
10-dic-22	---	---	---	---	---	---	---	---	---	9.12	1.25
11-dic-22	---	---	---	---	---	---	---	---	---	4.23	0.72
12-dic-22	---	---	---	---	---	---	---	---	---	5.11	0.86
13-dic-22	0.0173	0.4819	0.0026	0.0138	0.0704	0.0026	0.0025	0.0138	0.0029	12.04	1.79
14-dic-22	0.0121	0.3465	0.0016	0.0093	0.0491	0.0016	0.0023	0.0098	0.0020	10.39	1.63
15-dic-22	0.0117	0.2593	0.0014	0.0075	0.0482	0.0013	0.0019	0.0121	0.0013	9.76	1.51
16-dic-22	0.0050	0.1462	0.0003	0.0061	0.0272	0.0008	0.0021	0.0083	0.0003	10.40	1.65
17-dic-22	0.0024	0.0842	< 0.0003	0.0023	0.0183	0.0005	0.0009	0.0027	0.0004	5.69	1.10
18-dic-22	0.0020	0.0657	< 0.0003	0.0018	0.0181	0.0009	0.0007	0.0027	0.0027	5.59	0.83
19-dic-22	0.0089	0.2992	0.0007	0.0082	0.0361	0.0015	0.0018	0.0073	0.0020	10.03	1.69
20-dic-22	0.0140	0.4592	0.0015	0.0127	0.0615	0.0028	0.0024	0.0116	0.0019	11.69	1.86
21-dic-22	0.0227	0.7916	0.0041	0.0241	0.1293	0.0077	0.0023	0.0225	0.0029	24.10	2.53
22-dic-22	0.0123	0.4420	0.0024	0.0141	0.0568	0.0031	0.0023	0.0112	0.0013	12.90	1.62
23-dic-22	0.0108	0.3364	0.0020	0.0096	0.0412	0.0030	0.0020	0.0092	0.0014	12.50	1.38
24-dic-22	0.0074	0.2698	0.0013	0.0080	0.0335	0.0028	0.0022	0.0066	0.0012	13.41	1.66
25-dic-22	0.0026	0.0669	< 0.0003	0.0035	0.0169	0.0008	0.0015	0.0022	0.0004	8.89	1.16
26-dic-22	0.0029	0.1255	< 0.0003	0.0035	0.0196	0.0020	0.0018	0.0035	0.0008	10.87	1.38
27-dic-22	0.0031	0.1113	0.0004	0.0030	0.0173	0.0018	0.0008	0.0035	0.0007	6.24	0.77



Data	Mn	Fe	Ni	Cu	Zn	Br	Rb	Pb	Sr	OC	EC
	( $\mu\text{g}/\text{m}^3$ )	( $\mu\text{g}/\text{m}^3$ )	( $\mu\text{g}/\text{m}^3$ )	( $\mu\text{g}/\text{m}^3$ )	( $\mu\text{g}/\text{m}^3$ )	( $\mu\text{g}/\text{m}^3$ )	( $\mu\text{g}/\text{m}^3$ )	( $\mu\text{g}/\text{m}^3$ )	( $\mu\text{g}/\text{m}^3$ )	( $\mu\text{g}/\text{m}^3$ )	( $\mu\text{g}/\text{m}^3$ )
28-dic-22	0.0064	0.2059	0.0006	0.0054	0.0206	0.0015	0.0013	0.0035	0.0011	7.78	0.99
29-dic-22	0.0105	0.3306	0.0010	0.0131	0.0357	0.0032	0.0021	0.0073	0.0022	12.78	1.30
30-dic-22	0.0062	0.2246	0.0004	0.0071	0.0275	0.0024	0.0017	0.0052	0.0010	12.45	1.39
31-dic-22	0.0029	0.1520	< 0.0003	0.0059	0.0182	0.0014	0.0017	0.0037	0.0016	9.87	1.36
01-gen-23	0.0145	0.2046	< 0.0003	0.1850	0.0424	0.0029	< 0.0002	0.0125	0.0897	16.22	3.17
02-gen-23	0.0071	0.2532	0.0009	0.0402	0.0374	0.0036	0.0006	0.0076	0.0214	18.75	2.36
03-gen-23	0.0064	0.2391	0.0018	0.0157	0.0397	0.0028	0.0020	0.0074	0.0070	16.40	1.89
04-gen-23	0.0105	0.2750	0.0011	0.0076	0.0297	0.0015	0.0019	0.0068	0.0013	12.17	1.39
05-gen-23	0.0039	0.1495	< 0.0003	0.0037	0.0179	0.0010	0.0012	0.0022	0.0009	7.77	1.09
06-gen-23	0.0056	0.2133	0.0011	0.0054	0.0276	0.0071	0.0018	0.0046	0.0011	10.87	1.14
07-gen-23	0.0063	0.1735	< 0.0003	0.0046	0.0341	0.0030	0.0018	0.0057	0.0009	10.76	1.16
08-gen-23	0.0027	0.0759	< 0.0003	0.0024	0.0193	0.0015	0.0010	0.0061	0.0004	7.64	1.19
09-gen-23	0.0017	0.0608	< 0.0003	0.0015	0.0075	0.0002	0.0006	0.0012	0.0003	4.02	0.70
10-gen-23	0.0037	0.0881	< 0.0003	0.0011	0.0046	0.0003	0.0007	0.0006	0.0007	2.49	0.33
11-gen-23	0.0106	0.2651	0.0008	0.0098	0.0450	0.0009	0.0015	0.0074	0.0019	7.55	1.25
12-gen-23	0.0072	0.2210	0.0006	0.0058	0.0237	0.0010	0.0014	0.0048	0.0015	6.91	1.11
13-gen-23	0.0062	0.1721	< 0.0003	0.0043	0.0287	0.0008	0.0011	0.0036	0.0012	6.45	0.92
14-gen-23	0.0055	0.1490	0.0008	0.0029	0.0321	0.0009	0.0011	0.0032	0.0012	6.31	0.98
15-gen-23	0.0047	0.1651	< 0.0003	0.0049	0.0698	0.0014	0.0018	0.0075	0.0015	10.10	1.29
16-gen-23	0.0064	0.2459	0.0006	0.0038	0.0247	0.0010	0.0022	0.0047	0.0009	8.40	1.06

Data	Cl <sup>-</sup>	NO <sub>2</sub> <sup>-</sup>	Br <sup>-</sup>	NO <sub>3</sub> <sup>-</sup>	PO <sub>4</sub> <sup>3-</sup>	SO <sub>4</sub> <sup>2-</sup>	Na <sup>+</sup>	NH <sub>4</sub> <sup>+</sup>	K <sup>+</sup>	Mg <sup>2+</sup>	Ca <sup>2+</sup>
	( $\mu\text{g}/\text{m}^3$ )	( $\mu\text{g}/\text{m}^3$ )	( $\mu\text{g}/\text{m}^3$ )	( $\mu\text{g}/\text{m}^3$ )	( $\mu\text{g}/\text{m}^3$ )	( $\mu\text{g}/\text{m}^3$ )	( $\mu\text{g}/\text{m}^3$ )	( $\mu\text{g}/\text{m}^3$ )	( $\mu\text{g}/\text{m}^3$ )	( $\mu\text{g}/\text{m}^3$ )	( $\mu\text{g}/\text{m}^3$ )
25-nov-22	---	---	---	---	---	---	---	---	---	---	---
26-nov-22	---	---	---	---	---	---	---	---	---	---	---
27-nov-22	---	---	---	---	---	---	---	---	---	---	---
28-nov-22	---	---	---	---	---	---	---	---	---	---	---
29-nov-22	---	---	---	---	---	---	---	---	---	---	---
30-nov-22	---	---	---	---	---	---	---	---	---	---	---
01-dic-22	---	---	---	---	---	---	---	---	---	---	---
02-dic-22	---	---	---	---	---	---	---	---	---	---	---
03-dic-22	---	---	---	---	---	---	---	---	---	---	---
04-dic-22	---	---	---	---	---	---	---	---	---	---	---
05-dic-22	---	---	---	---	---	---	---	---	---	---	---
06-dic-22	---	---	---	---	---	---	---	---	---	---	---
07-dic-22	< 0.05	< 0.04	< 0.03	0.899	< 0.09	0.270	< 0.12	0.238	< 0.08	< 0.06	< 0.09
08-dic-22	< 0.05	< 0.04	< 0.03	1.027	< 0.09	0.324	< 0.12	0.357	< 0.08	< 0.06	< 0.09
09-dic-22	< 0.05	< 0.04	< 0.03	1.220	< 0.09	0.621	< 0.12	0.375	0.152	< 0.06	< 0.09
10-dic-22	< 0.05	< 0.04	< 0.03	1.060	< 0.09	0.621	< 0.12	0.443	< 0.08	< 0.06	< 0.09
11-dic-22	< 0.05	< 0.04	< 0.03	0.771	< 0.09	0.405	< 0.12	0.341	< 0.08	< 0.06	< 0.09
12-dic-22	0.140	< 0.04	< 0.03	1.092	< 0.09	0.270	< 0.12	0.306	< 0.08	< 0.06	< 0.09
13-dic-22	0.198	< 0.04	< 0.03	2.696	< 0.09	0.972	< 0.12	0.698	0.079	< 0.06	0.111
14-dic-22	0.062	< 0.04	< 0.03	1.701	< 0.09	0.810	< 0.12	0.561	< 0.08	< 0.06	< 0.09
15-dic-22	< 0.05	< 0.04	< 0.03	1.348	< 0.09	0.540	< 0.12	0.408	< 0.08	< 0.06	< 0.09
16-dic-22	< 0.05	< 0.04	< 0.03	0.931	< 0.09	0.540	< 0.12	0.323	< 0.08	< 0.06	< 0.09

Data	Cl <sup>-</sup>	NO <sub>2</sub> <sup>-</sup>	Br <sup>-</sup>	NO <sub>3</sub> <sup>-</sup>	PO <sub>4</sub> <sup>3-</sup>	SO <sub>4</sub> <sup>2-</sup>	Na <sup>+</sup>	NH <sub>4</sub> <sup>+</sup>	K <sup>+</sup>	Mg <sup>2+</sup>	Ca <sup>2+</sup>
	(µg/m <sup>3</sup> )	(µg/m <sup>3</sup> )	(µg/m <sup>3</sup> )	(µg/m <sup>3</sup> )	(µg/m <sup>3</sup> )	(µg/m <sup>3</sup> )	(µg/m <sup>3</sup> )	(µg/m <sup>3</sup> )	(µg/m <sup>3</sup> )	(µg/m <sup>3</sup> )	(µg/m <sup>3</sup> )
17-dic-22	< 0.05	0.094	< 0.03	0.706	< 0.09	0.243	< 0.12	0.255	< 0.08	< 0.06	< 0.09
18-dic-22	< 0.05	0.409	< 0.03	0.995	< 0.09	0.405	< 0.12	0.374	< 0.08	< 0.06	< 0.09
19-dic-22	< 0.05	< 0.04	< 0.03	1.637	< 0.09	0.729	< 0.12	0.477	< 0.08	< 0.06	< 0.09
20-dic-22	< 0.05	< 0.04	< 0.03	2.054	< 0.09	1.512	< 0.12	0.732	0.079	< 0.06	0.097
21-dic-22	0.101	< 0.04	< 0.03	10.335	< 0.09	4.509	< 0.12	4.765	0.877	0.116	0.713
22-dic-22	< 0.05	< 0.04	< 0.03	2.825	< 0.09	1.431	< 0.12	1.464	0.079	< 0.06	< 0.09
23-dic-22	< 0.05	< 0.04	< 0.03	2.728	< 0.09	1.188	< 0.12	1.157	< 0.08	< 0.06	< 0.09
24-dic-22	< 0.05	0.063	< 0.03	4.365	< 0.09	1.296	< 0.12	1.804	0.152	< 0.06	0.111
25-dic-22	< 0.05	< 0.04	< 0.03	1.412	< 0.09	0.405	< 0.12	0.613	< 0.08	< 0.06	< 0.09
26-dic-22	< 0.05	< 0.04	< 0.03	1.926	< 0.09	0.675	< 0.12	0.783	< 0.08	< 0.06	< 0.09
27-dic-22	< 0.05	0.157	< 0.03	1.155	< 0.09	0.594	< 0.12	0.612	< 0.08	< 0.06	< 0.09
28-dic-22	< 0.05	< 0.04	< 0.03	2.150	< 0.09	0.540	< 0.12	0.766	< 0.08	< 0.06	< 0.09
29-dic-22	0.159	< 0.04	< 0.03	4.975	< 0.09	1.188	< 0.12	1.974	< 0.08	< 0.06	0.125
30-dic-22	< 0.05	< 0.04	< 0.03	3.468	< 0.09	1.215	< 0.12	1.549	< 0.08	< 0.06	< 0.09
31-dic-22	< 0.05	0.063	< 0.03	1.572	< 0.09	0.567	< 0.12	0.697	< 0.08	< 0.06	< 0.09
01-gen-23	0.605	< 0.04	< 0.03	4.364	< 0.09	4.426	< 0.12	0.936	4.792	0.099	0.480
02-gen-23	0.178	< 0.04	< 0.03	5.198	< 0.09	2.672	< 0.12	2.109	1.964	< 0.06	0.234
03-gen-23	< 0.05	< 0.04	< 0.03	2.695	< 0.09	1.781	< 0.12	1.378	0.877	< 0.06	< 0.09
04-gen-23	< 0.05	0.094	< 0.03	1.829	< 0.09	1.269	< 0.12	1.038	0.333	< 0.06	< 0.09
05-gen-23	< 0.05	< 0.04	< 0.03	1.123	< 0.09	0.270	< 0.12	0.493	< 0.08	< 0.06	< 0.09
06-gen-23	< 0.05	< 0.04	< 0.03	3.050	< 0.09	0.999	< 0.12	0.868	0.188	< 0.06	< 0.09
07-gen-23	< 0.05	0.063	< 0.03	4.365	< 0.09	0.972	< 0.12	1.429	< 0.08	< 0.06	< 0.09
08-gen-23	< 0.05	< 0.04	< 0.03	1.765	< 0.09	0.540	< 0.12	0.664	< 0.08	< 0.06	< 0.09
09-gen-23	< 0.05	0.284	< 0.03	0.674	< 0.09	< 0.06	< 0.12	0.289	< 0.08	< 0.06	< 0.09
10-gen-23	< 0.05	< 0.04	< 0.03	0.417	< 0.09	< 0.06	< 0.12	0.170	< 0.08	< 0.06	< 0.09
11-gen-23	< 0.05	< 0.04	< 0.03	1.220	< 0.09	0.243	< 0.12	0.306	< 0.08	< 0.06	< 0.09
12-gen-23	< 0.05	0.315	< 0.03	1.252	< 0.09	0.243	< 0.12	0.323	< 0.08	< 0.06	< 0.09
13-gen-23	< 0.05	0.157	< 0.03	0.963	< 0.09	0.270	< 0.12	0.272	< 0.08	< 0.06	< 0.09
14-gen-23	< 0.05	0.252	< 0.03	0.834	< 0.09	0.243	< 0.12	0.238	0.297	< 0.06	< 0.09
15-gen-23	< 0.05	< 0.04	< 0.03	1.765	< 0.09	0.459	< 0.12	0.476	0.188	< 0.06	< 0.09
16-gen-23	< 0.05	< 0.04	< 0.03	1.220	< 0.09	0.378	< 0.12	0.459	< 0.08	< 0.06	< 0.09

## Borno – periodo estivo

Data	PM10	Al	Si	P	S	Cl	K	Ca	Ti	V	Cr
	( $\mu\text{g}/\text{m}^3$ )	( $\mu\text{g}/\text{m}^3$ )	( $\mu\text{g}/\text{m}^3$ )	( $\mu\text{g}/\text{m}^3$ )	( $\mu\text{g}/\text{m}^3$ )	( $\mu\text{g}/\text{m}^3$ )	( $\mu\text{g}/\text{m}^3$ )	( $\mu\text{g}/\text{m}^3$ )	( $\mu\text{g}/\text{m}^3$ )	( $\mu\text{g}/\text{m}^3$ )	( $\mu\text{g}/\text{m}^3$ )
06-mag-22	10	0.0412	0.1388	0.0048	0.3458	< 0.001	0.1400	0.1370	0.0054	0.0002	0.0013
07-mag-22	---	---	---	---	---	---	---	---	---	---	---
08-mag-22	5	0.0200	0.0730	0.0119	0.1856	< 0.001	0.0818	0.0579	0.0023	< 0.0001	< 0.001
09-mag-22	10	0.1409	0.4083	0.0138	0.4641	< 0.001	0.1277	0.2569	0.0110	0.0002	< 0.001
10-mag-22	15	0.2396	0.6832	0.0109	0.5767	< 0.001	0.1399	0.4546	0.0188	0.0005	0.0017
11-mag-22	19	0.2515	0.7782	0.0136	0.6728	< 0.001	0.1637	0.5259	0.0218	0.0006	0.0029
12-mag-22	19	0.2740	0.8094	0.0141	0.6271	< 0.001	0.1685	0.5384	0.0225	0.0009	0.0026
13-mag-22	22	0.3130	0.9475	0.0135	0.7388	0.0055	0.1891	0.6795	0.0253	0.0019	0.0033
14-mag-22	18	0.2392	0.7123	0.0111	0.6447	< 0.001	0.1504	0.4605	0.0193	0.0010	0.0020
15-mag-22	20	0.2064	0.6147	0.0137	0.8843	< 0.001	0.1407	0.3774	0.0158	0.0008	0.0012
16-mag-22	17	0.1965	0.5747	0.0201	0.7194	< 0.001	0.1421	0.3713	0.0151	0.0006	0.0009
17-mag-22	12	0.2069	0.5966	0.0178	0.2818	< 0.001	0.1377	0.3796	0.0164	0.0005	0.0013
18-mag-22	18	0.2432	0.7323	0.0134	0.5447	< 0.001	0.1470	0.6506	0.0191	0.0007	0.0019
19-mag-22	19	0.2076	0.6720	0.0145	0.5986	< 0.001	0.1499	0.6470	0.0175	0.0006	0.0033
20-mag-22	26	0.2988	0.9558	0.0166	0.7433	0.0050	0.1955	0.7948	0.0252	0.0010	0.0075
21-mag-22	28	0.1794	0.6156	0.0089	0.6152	< 0.001	0.1431	0.4392	0.0213	0.0012	0.0025
22-mag-22	29	0.3556	1.0623	0.0173	1.0412	0.0024	0.2157	0.5460	0.0286	0.0017	0.0024
23-mag-22	25	0.5380	1.4495	0.0162	0.8748	0.0034	0.2443	0.6983	0.0397	0.0016	0.0024
24-mag-22	---	---	---	---	---	---	---	---	---	---	---
25-mag-22	8	0.0494	0.1501	0.0234	0.1957	< 0.001	0.1008	0.1163	0.0041	0.0004	< 0.001
26-mag-22	18	0.2706	0.7823	0.0275	0.5614	0.0023	0.2222	0.6403	0.0210	0.0013	0.0027
27-mag-22	26	0.3237	0.9366	0.0193	0.9627	0.0057	0.2069	0.6191	0.0282	0.0018	0.0029
28-mag-22	19	0.2479	0.7259	0.0153	0.6905	0.0035	0.1721	0.6288	0.0203	0.0010	0.0014
29-mag-22	6	0.0189	0.0594	0.0105	0.1876	< 0.001	0.0619	0.0568	0.0016	0.0002	< 0.001
30-mag-22	10	0.0443	0.1406	0.0294	0.3556	< 0.001	0.0836	0.2252	0.0042	0.0001	0.0014
31-mag-22	14	0.0647	0.2155	0.0153	0.4819	0.0037	0.0849	0.2688	0.0063	0.0003	0.0017
01-giu-22	18	0.1188	0.3893	0.0187	0.7892	0.0041	0.1102	0.4267	0.0129	0.0004	0.0019
02-giu-22	21	0.1249	0.4957	0.0192	0.9802	0.0083	0.1210	0.2855	0.0112	0.0005	0.0019
03-giu-22	22	0.2230	0.7338	0.0314	0.7967	0.0026	0.2033	0.3024	0.0177	0.0010	0.0020
04-giu-22	17	0.5710	1.4426	0.0297	0.2269	0.0043	0.2684	0.5140	0.0406	0.0010	0.0013
05-giu-22	22	0.7954	2.0339	0.0227	0.4157	0.0034	0.3092	0.7317	0.0585	0.0015	0.0014
06-giu-22	12	0.2480	0.6780	0.0217	0.3549	< 0.001	0.1492	0.4240	0.0183	0.0007	0.0010
07-giu-22	6	0.0531	0.1480	0.0229	0.1457	< 0.001	0.0775	0.0823	0.0040	0.0002	< 0.001
08-giu-22	6	0.0515	0.1633	0.0170	0.1809	< 0.001	0.0632	0.1499	0.0048	< 0.0001	0.0008
09-giu-22	4	0.0236	0.0826	0.0104	0.1291	< 0.001	0.0331	0.0775	0.0024	< 0.0001	< 0.001
10-giu-22	5	0.0485	0.1591	0.0064	0.0771	< 0.001	0.0392	0.1981	0.0045	0.0002	0.0008
11-giu-22	9	0.0750	0.2533	0.0107	0.2269	< 0.001	0.0653	0.2409	0.0066	0.0001	0.0012
12-giu-22	12	0.0831	0.2872	0.0104	0.4402	< 0.001	0.0785	0.2388	0.0073	0.0002	0.0009
13-giu-22	18	0.1397	0.4572	0.0171	0.6037	< 0.001	0.2025	0.4562	0.0118	0.0006	0.0021
14-giu-22	13	0.0964	0.3156	0.0107	0.5229	< 0.001	0.0819	0.3908	0.0089	< 0.0001	0.0015

Data	Mn	Fe	Ni	Cu	Zn	Br	Rb	Pb	Sr	OC	EC
	(µg/m³)	(µg/m³)	(µg/m³)	(µg/m³)	(µg/m³)	(µg/m³)	(µg/m³)	(µg/m³)	(µg/m³)	(µg/m³)	(µg/m³)
06-mag-22	0.0049	0.1266	0.0004	0.0034	0.0217	0.0009	< 0.0002	0.0039	0.0010		
07-mag-22	---	---	---	---	---	---	---	---	---	---	---
08-mag-22	0.0016	0.0431	< 0.0003	0.0009	0.0091	0.0003	< 0.0002	0.0014	0.0005	---	---
09-mag-22	0.0034	0.1365	< 0.0003	0.0020	0.0112	0.0012	< 0.0002	0.0025	0.0015	---	---
10-mag-22	0.0061	0.2618	0.0007	0.0042	0.0132	0.0020	0.0004	0.0050	0.0028	---	---
11-mag-22	0.0081	0.3425	0.0009	0.0063	0.0214	0.0025	0.0005	0.0065	0.0028	5.11	0.55
12-mag-22	0.0088	0.3440	0.0011	0.0060	0.0217	0.0025	0.0005	0.0045	0.0029	4.94	0.52
13-mag-22	0.0107	0.4214	0.0016	0.0081	0.0264	0.0031	0.0006	0.0048	0.0038	5.15	0.55
14-mag-22	0.0073	0.2924	0.0007	0.0058	0.0228	0.0027	0.0003	0.0040	0.0025	4.84	0.48
15-mag-22	0.0060	0.2340	0.0006	0.0043	0.0208	0.0028	0.0003	0.0042	0.0020	5.53	0.45
16-mag-22	0.0049	0.2029	0.0003	0.0034	0.0120	0.0022	0.0004	0.0027	0.0020	4.41	0.37
17-mag-22	0.0056	0.2181	0.0005	0.0036	0.0115	0.0014	0.0004	0.0030	0.0021	4.22	0.48
18-mag-22	0.0082	0.2875	0.0007	0.0052	0.0212	0.0020	0.0005	0.0043	0.0024	5.62	0.42
19-mag-22	0.0106	0.3033	0.0013	0.0061	0.0364	0.0027	0.0004	0.0071	0.0027	5.22	0.52
20-mag-22	0.0137	0.4284	0.0013	0.0086	0.0351	0.0037	0.0007	0.0075	0.0037	6.43	0.64
21-mag-22	0.0097	0.3729	0.0009	0.0070	0.0259	0.0029	0.0006	0.0064	0.0026	7.03	0.58
22-mag-22	0.0102	0.4144	0.0012	0.0075	0.0303	0.0034	0.0008	0.0072	0.0032	6.58	0.47
23-mag-22	0.0112	0.4396	0.0010	0.0054	0.0191	0.0028	0.0007	0.0044	0.0044	4.52	0.42
24-mag-22	---	---	---	---	---	---	---	---	---	3.99	0.45
25-mag-22	0.0021	0.0683	0.0004	0.0013	0.0043	0.0008	< 0.0002	0.0010	0.0005	2.97	0.43
26-mag-22	0.0084	0.3092	0.0012	0.0050	0.0240	0.0024	0.0004	0.0040	0.0030	5.09	0.48
27-mag-22	0.0106	0.4038	0.0017	0.0072	0.0311	0.0037	0.0006	0.0068	0.0034	5.25	0.60
28-mag-22	0.0075	0.2944	0.0008	0.0075	0.0196	0.0034	0.0005	0.0043	0.0027	4.89	0.50
29-mag-22	0.0016	0.0439	< 0.0003	0.0035	0.0065	0.0006	< 0.0002	0.0013	0.0004	2.89	0.45
30-mag-22	0.0052	0.1182	0.0004	0.0043	0.0253	0.0011	< 0.0002	0.0047	0.0010	4.49	0.77
31-mag-22	0.0059	0.1525	0.0006	0.0048	0.0207	0.0014	< 0.0002	0.0036	0.0011	---	---
01-giu-22	0.0070	0.1983	0.0007	0.0054	0.0180	0.0020	< 0.0002	0.0035	0.0017	---	---
02-giu-22	0.0068	0.2206	0.0008	0.0055	0.0295	0.0028	0.0004	0.0057	0.0014	---	---
03-giu-22	0.0062	0.2574	0.0007	0.0046	0.0265	0.0026	0.0004	0.0044	0.0020	---	---
04-giu-22	0.0079	0.4144	0.0007	0.0028	0.0098	0.0016	0.0007	0.0019	0.0036	4.31	0.53
05-giu-22	0.0108	0.5671	0.0007	0.0030	0.0146	0.0018	0.0011	0.0036	0.0052	3.95	0.47
06-giu-22	0.0052	0.2281	0.0006	0.0042	0.0140	0.0012	0.0003	0.0022	0.0023	3.41	0.39
07-giu-22	0.0018	0.0628	< 0.0003	0.0014	0.0044	0.0004	< 0.0002	0.0008	0.0006	2.66	0.30
08-giu-22	0.0030	0.0929	0.0003	0.0044	0.0125	0.0006	< 0.0002	0.0013	0.0008	2.63	0.40
09-giu-22	0.0018	0.0604	0.0005	0.0022	0.0059	0.0003	< 0.0002	0.0010	0.0004	2.23	0.40
10-giu-22	0.0026	0.0958	0.0004	0.0027	0.0065	0.0004	< 0.0002	0.0009	0.0008	2.30	0.40
11-giu-22	0.0043	0.1389	< 0.0003	0.0041	0.0149	0.0011	< 0.0002	0.0023	0.0011	3.47	0.47
12-giu-22	0.0039	0.1356	< 0.0003	0.0038	0.0139	0.0016	< 0.0002	0.0027	0.0010	4.37	0.40
13-giu-22	0.0064	0.2212	0.0007	0.0054	0.0204	0.0022	0.0003	0.0039	0.0018	5.23	0.45
14-giu-22	0.0055	0.1701	0.0019	0.0047	0.0159	0.0018	0.0003	0.0027	0.0014	4.34	0.43

Data	Cl <sup>-</sup>	NO <sub>2</sub> <sup>-</sup>	Br <sup>-</sup>	NO <sub>3</sub> <sup>-</sup>	PO <sub>4</sub> <sup>3-</sup>	SO <sub>4</sub> <sup>2-</sup>	Na <sup>+</sup>	NH <sub>4</sub> <sup>+</sup>	K <sup>+</sup>	Mg <sup>2+</sup>	Ca <sup>2+</sup>
	(µg/m <sup>3</sup> )	(µg/m <sup>3</sup> )	(µg/m <sup>3</sup> )	(µg/m <sup>3</sup> )	(µg/m <sup>3</sup> )	(µg/m <sup>3</sup> )	(µg/m <sup>3</sup> )	(µg/m <sup>3</sup> )	(µg/m <sup>3</sup> )	(µg/m <sup>3</sup> )	(µg/m <sup>3</sup> )
06-mag-22	< 0.11	< 0.08	< 0.06	0.599	< 0.19	1.196	< 0.25	0.393	< 0.17	< 0.12	< 0.18
07-mag-22	< 0.11	< 0.08	< 0.06	0.505	< 0.19	0.780	< 0.25	0.282	< 0.17	< 0.12	< 0.18
08-mag-22	< 0.11	< 0.08	< 0.06	0.252	< 0.19	0.520	< 0.25	0.145	< 0.17	< 0.12	< 0.18
09-mag-22	< 0.11	< 0.08	< 0.06	0.379	< 0.19	1.300	< 0.25	0.393	< 0.17	< 0.12	0.228
10-mag-22	< 0.11	< 0.08	< 0.06	0.694	< 0.19	1.872	< 0.25	0.492	< 0.17	< 0.12	0.474
11-mag-22	< 0.11	< 0.08	< 0.06	0.821	< 0.19	2.262	< 0.25	0.703	< 0.17	< 0.12	0.622
12-mag-22	< 0.11	< 0.08	< 0.06	0.820	< 0.19	2.106	< 0.25	0.567	< 0.17	< 0.12	0.610
13-mag-22	< 0.11	0.121	< 0.06	1.041	< 0.19	2.418	< 0.25	0.629	< 0.17	< 0.12	0.745
14-mag-22	< 0.11	< 0.08	< 0.06	0.883	< 0.19	2.080	< 0.25	0.604	< 0.17	< 0.12	0.573
15-mag-22	< 0.11	0.211	< 0.06	1.041	< 0.19	2.859	< 0.25	0.988	< 0.17	< 0.12	0.413
16-mag-22	< 0.11	< 0.08	< 0.06	0.536	< 0.19	2.288	< 0.25	0.703	< 0.17	< 0.12	0.955
17-mag-22	< 0.11	< 0.08	< 0.06	0.600	< 0.19	0.962	< 0.25	0.257	< 0.17	< 0.12	0.437
18-mag-22	< 0.11	< 0.08	< 0.06	0.789	< 0.19	1.794	< 0.25	0.431	< 0.17	< 0.12	0.708
19-mag-22	< 0.11	< 0.08	< 0.06	0.884	< 0.19	1.872	< 0.25	0.468	< 0.17	< 0.12	0.794
20-mag-22	< 0.11	< 0.08	< 0.06	1.168	< 0.19	2.366	< 0.25	0.678	< 0.17	< 0.12	0.918
21-mag-22	< 0.11	< 0.08	< 0.06	1.042	< 0.19	3.120	< 0.25	1.013	< 0.17	< 0.12	0.659
22-mag-22	< 0.11	0.332	< 0.06	1.420	< 0.19	3.379	< 0.25	1.161	< 0.17	< 0.12	0.585
23-mag-22	< 0.11	0.241	< 0.06	1.167	< 0.19	2.885	< 0.25	0.777	0.168	< 0.12	0.696
24-mag-22	< 0.11	< 0.08	< 0.06	0.915	< 0.19	2.547	< 0.25	0.554	< 0.17	< 0.12	0.733
25-mag-22	< 0.11	< 0.08	< 0.06	0.252	< 0.19	0.598	< 0.25	0.170	< 0.17	< 0.12	0.573
26-mag-22	< 0.11	< 0.08	< 0.06	0.852	< 0.19	1.768	< 0.25	0.331	0.168	< 0.12	1.115
27-mag-22	< 0.11	0.211	< 0.06	1.420	< 0.19	3.275	< 0.25	0.901	< 0.17	< 0.12	0.733
28-mag-22	< 0.11	< 0.08	< 0.06	0.978	< 0.19	2.261	< 0.25	0.604	< 0.17	< 0.12	0.610
29-mag-22	< 0.11	< 0.08	< 0.06	0.284	< 0.19	0.598	< 0.25	0.245	< 0.17	< 0.12	< 0.18
30-mag-22	< 0.11	< 0.08	< 0.06	0.631	< 0.19	1.144	< 0.25	0.406	< 0.17	< 0.12	0.363
31-mag-22	---	---	---	---	---	---	---	---	---	---	---
01-giu-22	---	---	---	---	---	---	---	---	---	---	---
02-giu-22	---	---	---	---	---	---	---	---	---	---	---
03-giu-22	---	---	---	---	---	---	---	---	---	---	---
04-giu-22	< 0.11	< 0.08	< 0.06	0.631	< 0.19	0.858	< 0.25	0.207	< 0.17	< 0.12	0.609
05-giu-22	< 0.11	0.181	< 0.06	0.884	< 0.19	1.482	< 0.25	0.331	< 0.17	< 0.12	0.991
06-giu-22	< 0.11	< 0.08	< 0.06	0.600	< 0.19	1.118	< 0.25	0.257	< 0.17	< 0.12	0.474
07-giu-22	< 0.11	0.271	< 0.06	0.347	< 0.19	0.494	< 0.25	0.121	< 0.17	< 0.12	< 0.18
08-giu-22	< 0.11	0.181	< 0.06	0.410	< 0.19	0.598	< 0.25	0.183	< 0.17	< 0.12	< 0.18
09-giu-22	< 0.11	< 0.08	< 0.06	0.189	< 0.19	0.416	< 0.25	0.133	< 0.17	< 0.12	0.289
10-giu-22	< 0.11	< 0.08	< 0.06	0.252	< 0.19	0.312	< 0.25	< 0.07	< 0.17	< 0.12	0.289
11-giu-22	< 0.11	< 0.08	< 0.06	0.347	< 0.19	0.728	< 0.25	0.220	< 0.17	< 0.12	0.326
12-giu-22	< 0.11	< 0.08	< 0.06	0.473	< 0.19	1.326	< 0.25	0.468	< 0.17	< 0.12	0.548
13-giu-22	< 0.11	< 0.08	< 0.06	0.600	< 0.19	1.716	< 0.25	0.579	< 0.17	< 0.12	0.536
14-giu-22	< 0.11	< 0.08	< 0.06	0.568	< 0.19	1.508	< 0.25	0.480	< 0.17	< 0.12	0.499

Data	Levoglucozano	B(a)P	B(a)A	B(b)F	B(j)F	B(k)F	I(1,2,3,c,d)P	dB(a,h)A
	( $\mu\text{g}/\text{m}^3$ )	( $\text{ng}/\text{m}^3$ )	( $\text{ng}/\text{m}^3$ )	( $\text{ng}/\text{m}^3$ )	( $\text{ng}/\text{m}^3$ )	( $\text{ng}/\text{m}^3$ )	( $\text{ng}/\text{m}^3$ )	( $\text{ng}/\text{m}^3$ )
06-mag-22	0.105	---	---	---	---	---	---	---
07-mag-22	0.094	---	---	---	---	---	---	---
08-mag-22	<0.05	<0.05	<0.05	<0.05	<0.05	<0.05	0.062	<0.05
09-mag-22	<0.05	---	---	---	---	---	---	---
10-mag-22	<0.05	---	---	---	---	---	---	---
11-mag-22	<0.05	<0.05	<0.05	<0.05	<0.05	<0.05	<0.05	<0.05
12-mag-22	<0.05	---	---	---	---	---	---	---
13-mag-22	<0.05	---	---	---	---	---	---	---
14-mag-22	<0.05	<0.05	<0.05	<0.05	<0.05	<0.05	<0.05	<0.05
15-mag-22	<0.05	---	---	---	---	---	---	---
16-mag-22	<0.05	---	---	---	---	---	---	---
17-mag-22	<0.05	<0.05	<0.05	<0.05	<0.05	<0.05	<0.05	<0.05
18-mag-22	<0.05	---	---	---	---	---	---	---
19-mag-22	<0.05	---	---	---	---	---	---	---
20-mag-22	<0.05	<0.05	<0.05	<0.05	<0.05	<0.05	<0.05	<0.05
21-mag-22	<0.05	---	---	---	---	---	---	---
22-mag-22	<0.05	---	---	---	---	---	---	---
23-mag-22	<0.05	<0.05	<0.05	<0.05	<0.05	<0.05	<0.05	<0.05
24-mag-22	<0.05	---	---	---	---	---	---	---
25-mag-22	0.111	---	---	---	---	---	---	---
26-mag-22	<0.05	<0.05	<0.05	<0.05	<0.05	<0.05	<0.05	<0.05
27-mag-22	<0.05	---	---	---	---	---	---	---
28-mag-22	<0.05	---	---	---	---	---	---	---
29-mag-22	<0.05	0.047	<0.05	0.056	<0.05	<0.05	0.174	<0.05
30-mag-22	<0.05							
31-mag-22	---	---	---	---	---	---	---	---
01-giu-22	---	---	---	---	---	---	---	---
02-giu-22	---	---	---	---	---	---	---	---
03-giu-22	---	---	---	---	---	---	---	---
04-giu-22	<0.05	<0.05	<0.05	<0.05	<0.05	<0.05	<0.05	<0.05
05-giu-22	<0.05	---	---	---	---	---	---	---
06-giu-22	<0.05	---	---	---	---	---	---	---
07-giu-22	<0.05	---	---	---	---	---	---	---
08-giu-22	<0.05	---	---	---	---	---	---	---
09-giu-22	<0.05	---	---	---	---	---	---	---
10-giu-22	<0.05	---	---	---	---	---	---	---
11-giu-22	<0.05	---	---	---	---	---	---	---
12-giu-22	<0.05	---	---	---	---	---	---	---
13-giu-22	<0.05	<0.05	<0.05	<0.05	<0.05	<0.05	<0.05	<0.05
14-giu-22	<0.05	---	---	---	---	---	---	---

## Borno – periodo invernale

Data	PM10	Al	Si	P	S	Cl	K	Ca	Ti	V	Cr
	( $\mu\text{g}/\text{m}^3$ )	( $\mu\text{g}/\text{m}^3$ )	( $\mu\text{g}/\text{m}^3$ )	( $\mu\text{g}/\text{m}^3$ )	( $\mu\text{g}/\text{m}^3$ )	( $\mu\text{g}/\text{m}^3$ )	( $\mu\text{g}/\text{m}^3$ )	( $\mu\text{g}/\text{m}^3$ )	( $\mu\text{g}/\text{m}^3$ )	( $\mu\text{g}/\text{m}^3$ )	( $\mu\text{g}/\text{m}^3$ )
25-nov-22	10	0.0633	0.2494	0.0033	0.0680	0.0422	0.1808	0.4320	0.0065	0.0002	0.0011
26-nov-22	8	0.0502	0.1791	0.0034	0.0546	0.0550	0.1538	0.2819	0.0054	0.0002	< 0.001
27-nov-22	9	0.0255	0.0979	0.0028	0.0963	0.0367	0.1861	0.1735	0.0030	0.0002	< 0.001
28-nov-22	15	0.0363	0.1495	0.0036	0.1563	0.0523	0.2502	0.2780	0.0051	0.0002	< 0.001
29-nov-22	21	0.0381	0.1596	0.0065	0.2423	0.0469	0.3195	0.3634	0.0059	0.0003	0.0020
30-nov-22	16	0.0299	0.1282	0.0041	0.2127	0.0213	0.3425	0.2712	0.0040	< 0.0001	0.0017
01-dic-22	9	0.0292	0.1047	0.0033	0.1423	0.0196	0.2278	0.1708	0.0035	0.0001	0.0010
02-dic-22	16	0.0392	0.1588	0.0060	0.2635	0.0579	0.3468	0.3491	0.0062	0.0004	0.0021
03-dic-22	10	0.0243	0.0925	0.0042	0.1974	0.0836	0.2689	0.1199	0.0027	< 0.0001	< 0.001
04-dic-22	7	0.0084	0.0326	0.0029	0.0891	0.0074	0.2492	0.0316	< 0.001	< 0.0001	< 0.001
05-dic-22	5	0.0100	0.0289	0.0042	0.0612	0.0069	0.1715	0.0634	< 0.001	< 0.0001	< 0.001
06-dic-22	5	< 0.008	0.0329	0.0026	0.0699	0.0139	0.2000	0.1027	< 0.001	< 0.0001	< 0.001
07-dic-22	10	0.0248	0.1016	0.0020	0.0864	0.0287	0.3038	0.2365	0.0034	0.0002	< 0.001
08-dic-22	11	0.0258	0.0956	0.0025	0.1224	0.0260	0.3307	0.1993	0.0034	0.0003	< 0.001
09-dic-22	14	< 0.008	0.0281	0.0035	0.1346	0.0388	0.3809	0.0422	< 0.001	< 0.0001	< 0.001
10-dic-22	10	< 0.008	0.0207	0.0051	0.0741	0.0263	0.2841	0.0300	< 0.001	< 0.0001	< 0.001
11-dic-22	8	0.0181	0.0868	0.0018	0.1098	0.0816	0.1732	0.3449	0.0025	< 0.0001	< 0.001
12-dic-22	20	0.0679	0.2704	0.0031	0.1203	0.4746	0.3155	0.7149	0.0090	0.0002	< 0.001
13-dic-22	23	0.0677	0.2692	0.0071	0.2023	0.2683	0.5210	0.6548	0.0089	0.0005	0.0017
14-dic-22	23	0.0928	0.3503	0.0048	0.1587	0.4507	0.4006	0.8232	0.0122	0.0005	< 0.001
15-dic-22	19	0.0222	0.0930	0.0047	0.1494	0.0843	0.4242	0.1652	0.0024	0.0002	0.0012
16-dic-22	11	< 0.008	0.0246	0.0035	0.1179	0.0484	0.4898	0.0849	< 0.001	< 0.0001	< 0.001
17-dic-22	10	< 0.008	0.0355	0.0050	0.0992	0.0330	0.2853	0.0892	< 0.001	< 0.0001	< 0.001
18-dic-22	10	0.0080	0.0416	0.0041	0.1376	0.0249	0.2628	0.1160	0.0015	< 0.0001	< 0.001
19-dic-22	---	---	---	---	---	---	---	---	---	---	---
20-dic-22	---	---	---	---	---	---	---	---	---	---	---
21-dic-22	11	0.0188	0.0817	0.0076	0.1725	0.0979	0.3731	0.1433	0.0032	0.0002	< 0.001
22-dic-22	9	0.0190	0.0749	0.0060	0.1294	0.0238	0.2654	0.1066	0.0025	0.0003	< 0.001
23-dic-22	12	0.0246	0.0986	0.0065	0.1515	0.0322	0.2871	0.1490	0.0034	0.0002	0.0010
24-dic-22	12	0.0114	0.0506	0.0060	0.1420	0.0225	0.3422	0.0981	0.0019	< 0.0001	0.0008
25-dic-22	9	< 0.008	0.0280	0.0053	0.1085	0.0194	0.3094	0.0458	0.0019	0.0004	< 0.001
26-dic-22	21	0.0140	0.0543	0.0081	0.2765	0.0675	0.6719	0.0911	0.0053	0.0008	< 0.001
27-dic-22	11	0.0319	0.1113	0.0038	0.1453	0.0757	0.2526	0.1755	0.0040	0.0004	< 0.001
28-dic-22	19	0.0432	0.1612	0.0072	0.2003	0.2899	0.3687	0.2684	0.0057	0.0004	< 0.001
29-dic-22	25	0.1079	0.3526	0.0073	0.2325	0.7096	0.4700	0.5870	0.0119	0.0007	< 0.001
30-dic-22	18	0.0698	0.1338	0.0067	0.2168	0.0654	0.5576	0.0604	0.0057	0.0006	< 0.001
31-dic-22	23	0.1461	0.1352	0.0042	0.3959	0.5401	1.5316	0.0880	0.0554	0.0108	< 0.001
01-gen-23	39	0.4661	0.2008	0.0046	1.4232	1.4592	5.1867	0.2150	0.1713	0.0319	< 0.001
02-gen-23	---	---	---	---	---	---	---	---	---	---	---
03-gen-23	15	0.0412	0.1088	0.0088	0.1634	0.0290	0.4492	0.0698	0.0061	0.0009	< 0.001
04-gen-23	10	0.0438	0.1593	0.0048	0.0860	0.0247	0.2802	0.2340	0.0049	0.0004	< 0.001
05-gen-23	9	0.0984	0.3087	0.0028	0.0485	0.1831	0.1965	0.4228	0.0094	0.0003	< 0.001
06-gen-23	13	0.1223	0.4046	0.0050	0.1032	0.1014	0.2272	0.5926	0.0124	0.0004	< 0.001

Data	PM10	Al	Si	P	S	Cl	K	Ca	Ti	V	Cr
	(µg/m³)	(µg/m³)	(µg/m³)	(µg/m³)	(µg/m³)	(µg/m³)	(µg/m³)	(µg/m³)	(µg/m³)	(µg/m³)	(µg/m³)
07-gen-23	16	0.1084	0.3588	0.0051	0.1424	0.0815	0.3004	0.5391	0.0110	0.0004	< 0.001
08-gen-23	6	< 0.008	0.0265	0.0035	0.1050	0.0121	0.1443	0.0287	< 0.001	< 0.0001	< 0.001
09-gen-23	4	< 0.008	0.0233	0.0024	0.0400	0.0152	0.1536	0.0883	< 0.001	< 0.0001	< 0.001
10-gen-23	6	0.0584	0.2160	0.0007	0.0328	0.3512	0.1430	0.4791	0.0065	< 0.0001	< 0.001
11-gen-23	18	0.2958	1.0356	0.0029	0.0774	0.3826	0.3558	1.6350	0.0251	0.0008	0.0009
12-gen-23	7	0.0695	0.2377	0.0022	0.0569	0.2212	0.1972	0.3721	0.0062	0.0003	0.0008
13-gen-23	9	0.0973	0.3304	0.0032	0.0708	0.2618	0.2546	0.5117	0.0091	0.0003	0.0022
14-gen-23	10	0.1090	0.3635	0.0036	0.0704	0.1553	0.2722	0.5361	0.0103	0.0003	0.0009
15-gen-23	17	0.0451	0.1694	0.0047	0.1431	0.1662	0.4739	0.2701	0.0052	0.0003	< 0.001
16-gen-23	6	< 0.008	0.0257	0.0022	0.0741	0.0143	0.2316	0.0555	< 0.001	< 0.0001	< 0.001

Data	Mn	Fe	Ni	Cu	Zn	Br	Rb	Pb	Sr	OC	EC
	(µg/m³)	(µg/m³)	(µg/m³)	(µg/m³)	(µg/m³)	(µg/m³)	(µg/m³)	(µg/m³)	(µg/m³)	(µg/m³)	(µg/m³)
25-nov-22	0.0057	0.1705	0.0003	0.0037	0.0279	0.0006	0.0006	0.0036	0.0015	---	---
26-nov-22	0.0036	0.1121	< 0.0003	0.0022	0.0146	0.0006	0.0003	0.0021	0.0010	---	---
27-nov-22	0.0032	0.0867	0.0003	0.0024	0.0203	0.0017	0.0004	0.0036	0.0006	---	---
28-nov-22	0.0041	0.1297	0.0003	0.0039	0.0238	0.0022	0.0006	0.0062	0.0014	---	---
29-nov-22	0.0080	0.2195	0.0016	0.0068	0.0395	0.0027	0.0008	0.0076	0.0013	---	---
30-nov-22	0.0065	0.1830	0.0012	0.0049	0.0277	0.0018	0.0013	0.0058	0.0009	---	---
01-dic-22	0.0036	0.1177	0.0006	0.0030	0.0138	0.0009	0.0008	0.0025	0.0007	---	---
02-dic-22	0.0088	0.2151	0.0010	0.0065	0.0399	0.0013	0.0008	0.0061	0.0013	---	---
03-dic-22	0.0037	0.1039	< 0.0003	0.0020	0.0142	0.0010	0.0006	0.0022	0.0005	---	---
04-dic-22	0.0007	0.0221	< 0.0003	0.0007	0.0105	0.0003	0.0004	0.0015	< 0.0002	---	---
05-dic-22	0.0016	0.0333	< 0.0003	0.0011	0.0064	0.0005	0.0003	0.0009	0.0003	---	---
06-dic-22	0.0013	0.0393	< 0.0003	0.0010	0.0072	0.0004	0.0006	0.0014	0.0003	---	---
07-dic-22	0.0029	0.1037	< 0.0003	0.0024	0.0130	0.0007	0.0008	0.0017	0.0007	---	---
08-dic-22	0.0027	0.0827	< 0.0003	0.0029	0.0150	0.0010	0.0007	0.0024	0.0011	---	---
09-dic-22	0.0011	0.0398	< 0.0003	0.0013	0.0148	0.0007	0.0008	0.0020	0.0002	---	---
10-dic-22	0.0012	0.0415	< 0.0003	0.0027	0.0160	0.0009	0.0004	0.0056	< 0.0002	5.88	1.59
11-dic-22	0.0014	0.0464	< 0.0003	0.0009	0.0081	0.0004	0.0005	0.0011	0.0011	3.19	0.57
12-dic-22	0.0046	0.1298	< 0.0003	0.0024	0.0154	0.0007	0.0009	0.0036	0.0023	9.03	1.05
13-dic-22	0.0108	0.2661	0.0015	0.0072	0.0445	0.0013	0.0016	0.0084	0.0025	9.62	1.55
14-dic-22	0.0078	0.2335	0.0006	0.0054	0.0285	0.0009	0.0012	0.0042	0.0028	10.34	1.37
15-dic-22	0.0066	0.1115	< 0.0003	0.0029	0.0228	0.0007	0.0012	0.0038	0.0006	10.34	1.14
16-dic-22	0.0013	0.0400	< 0.0003	0.0015	0.0181	0.0002	0.0015	0.0021	< 0.0002	5.33	1.63
17-dic-22	0.0016	0.0470	< 0.0003	0.0016	0.0121	0.0007	0.0007	0.0022	0.0003	5.61	1.06
18-dic-22	0.0018	0.0594	< 0.0003	0.0016	0.0119	0.0008	0.0006	0.0025	0.0006	4.58	0.85
19-dic-22	---	---	---	---	---	---	---	---	---	---	---
20-dic-22	---	---	---	---	---	---	---	---	---	---	---
21-dic-22	0.0028	0.0978	< 0.0003	0.0030	0.0192	0.0012	0.0010	0.0026	0.0008	5.10	1.44
22-dic-22	0.0026	0.0992	0.0003	0.0025	0.0117	0.0011	0.0007	0.0021	0.0006	4.02	1.06
23-dic-22	0.0039	0.1265	0.0004	0.0034	0.0138	0.0012	0.0008	0.0023	0.0006	5.04	1.14
24-dic-22	0.0023	0.0898	< 0.0003	0.0024	0.0134	0.0005	0.0010	0.0023	0.0005	6.21	1.25
25-dic-22	0.0013	0.0522	< 0.0003	0.0036	0.0091	0.0007	0.0005	0.0015	0.0004	5.07	0.94
26-dic-22	0.0029	0.1164	< 0.0003	0.0068	0.0214	0.0018	0.0015	0.0033	0.0055	10.97	1.64



Data	Mn	Fe	Ni	Cu	Zn	Br	Rb	Pb	Sr	OC	EC
	(µg/m³)	(µg/m³)	(µg/m³)	(µg/m³)	(µg/m³)	(µg/m³)	(µg/m³)	(µg/m³)	(µg/m³)	(µg/m³)	(µg/m³)
27-dic-22	0.0021	0.0874	< 0.0003	0.0024	0.0100	0.0013	0.0006	0.0013	0.0009	5.34	0.96
28-dic-22	0.0047	0.1603	< 0.0003	0.0036	0.0170	0.0018	0.0011	0.0033	0.0013	7.42	1.11
29-dic-22	0.0069	0.2129	< 0.0003	0.0041	0.0200	0.0026	0.0014	0.0033	0.0029	9.07	1.09
30-dic-22	0.0024	0.1115	< 0.0003	0.0029	0.0177	0.0015	0.0013	0.0034	0.0007	8.37	1.47
31-dic-22	0.0045	0.1037	< 0.0003	0.0456	0.0158	0.0018	< 0.0002	0.0033	0.0461	10.22	1.20
01-gen-23	0.0126	0.2376	0.0004	0.1404	0.0361	0.0038	< 0.0002	0.0077	0.1055	10.55	1.97
02-gen-23	---	---	---	---	---	---	---	---	---	10.34	1.36
03-gen-23	0.0026	0.1014	< 0.0003	0.0046	0.0143	0.0022	0.0009	0.0031	0.0020	7.85	1.30
04-gen-23	0.0026	0.1043	< 0.0003	0.0038	0.0091	0.0006	0.0008	0.0013	0.0012	5.30	0.87
05-gen-23	0.0034	0.1467	< 0.0003	0.0030	0.0082	0.0003	0.0006	0.0008	0.0019	5.63	0.95
06-gen-23	0.0047	0.1917	< 0.0003	0.0029	0.0107	0.0015	0.0007	0.0011	0.0022	5.43	0.90
07-gen-23	0.0042	0.1716	< 0.0003	0.0030	0.0141	0.0017	0.0011	0.0020	0.0022	6.55	1.01
08-gen-23	0.0007	0.0213	< 0.0003	0.0005	0.0063	0.0009	< 0.0002	0.0008	< 0.0002	12.03	0.63
09-gen-23	0.0008	0.0207	< 0.0003	0.0004	0.0048	0.0001	0.0003	0.0005	0.0004	3.32	0.53
10-gen-23	0.0018	0.0756	< 0.0003	0.0008	0.0038	0.0003	0.0006	0.0005	0.0015	2.19	0.31
11-gen-23	0.0104	0.3069	0.0004	0.0037	0.0165	0.0010	0.0016	0.0017	0.0053	4.64	0.74
12-gen-23	0.0034	0.1246	0.0003	0.0025	0.0112	0.0015	0.0006	0.0014	0.0013	3.56	0.65
13-gen-23	0.0041	0.1569	0.0007	0.0023	0.0127	0.0008	0.0010	0.0015	0.0017	3.92	0.75
14-gen-23	0.0048	0.1817	< 0.0003	0.0027	0.0159	0.0007	0.0010	0.0017	0.0019	4.16	0.72
15-gen-23	0.0038	0.1236	< 0.0003	0.0030	0.0272	0.0016	0.0014	0.0037	0.0013	6.98	1.55
16-gen-23	0.0007	0.0279	< 0.0003	0.0008	0.0076	0.0006	0.0004	0.0012	0.0002	3.67	0.69

Data	Cl <sup>-</sup>	NO <sub>2</sub> <sup>-</sup>	Br <sup>-</sup>	NO <sub>3</sub> <sup>-</sup>	PO <sub>4</sub> <sup>3-</sup>	SO <sub>4</sub> <sup>2-</sup>	Na <sup>+</sup>	NH <sub>4</sub> <sup>+</sup>	K <sup>+</sup>	Mg <sup>2+</sup>	Ca <sup>2+</sup>
	(µg/m³)	(µg/m³)	(µg/m³)	(µg/m³)	(µg/m³)	(µg/m³)	(µg/m³)	(µg/m³)	(µg/m³)	(µg/m³)	(µg/m³)
25-nov-22	---	---	---	---	---	---	---	---	---	---	---
26-nov-22	---	---	---	---	---	---	---	---	---	---	---
27-nov-22	---	---	---	---	---	---	---	---	---	---	---
28-nov-22	---	---	---	---	---	---	---	---	---	---	---
29-nov-22	---	---	---	---	---	---	---	---	---	---	---
30-nov-22	---	---	---	---	---	---	---	---	---	---	---
01-dic-22	---	---	---	---	---	---	---	---	---	---	---
02-dic-22	---	---	---	---	---	---	---	---	---	---	---
03-dic-22	---	---	---	---	---	---	---	---	---	---	---
04-dic-22	---	---	---	---	---	---	---	---	---	---	---
05-dic-22	---	---	---	---	---	---	---	---	---	---	---
06-dic-22	---	---	---	---	---	---	---	---	---	---	---
07-dic-22	< 0.05	< 0.04	< 0.03	0.582	< 0.09	0.272	< 0.12	0.223	< 0.08	< 0.06	< 0.09
08-dic-22	< 0.05	0.127	< 0.03	0.776	< 0.09	0.381	< 0.12	0.291	< 0.08	< 0.06	< 0.09
09-dic-22	< 0.05	< 0.04	< 0.03	0.517	< 0.09	0.326	< 0.12	0.240	< 0.08	< 0.06	< 0.09
10-dic-22	< 0.05	< 0.04	< 0.03	0.388	< 0.09	0.217	< 0.12	0.240	< 0.08	< 0.06	< 0.09
11-dic-22	< 0.05	< 0.04	< 0.03	0.452	< 0.09	0.299	< 0.12	0.223	< 0.08	< 0.06	< 0.09
12-dic-22	0.180	0.063	< 0.03	0.678	< 0.09	0.326	< 0.12	0.257	< 0.08	< 0.06	< 0.09
13-dic-22	< 0.05	0.127	< 0.03	1.294	< 0.09	0.517	< 0.12	0.326	< 0.08	< 0.06	< 0.09
14-dic-22	0.258	0.063	< 0.03	0.873	< 0.09	0.462	< 0.12	0.274	< 0.08	< 0.06	< 0.09
15-dic-22	< 0.05	< 0.04	< 0.03	0.743	< 0.09	0.381	< 0.12	0.240	< 0.08	< 0.06	< 0.09

Data	Cl <sup>-</sup>	NO <sub>2</sub> <sup>-</sup>	Br <sup>-</sup>	NO <sub>3</sub> <sup>-</sup>	PO <sub>4</sub> <sup>3-</sup>	SO <sub>4</sub> <sup>2-</sup>	Na <sup>+</sup>	NH <sub>4</sub> <sup>+</sup>	K <sup>+</sup>	Mg <sup>2+</sup>	Ca <sup>2+</sup>
	(µg/m <sup>3</sup> )	(µg/m <sup>3</sup> )	(µg/m <sup>3</sup> )	(µg/m <sup>3</sup> )	(µg/m <sup>3</sup> )	(µg/m <sup>3</sup> )	(µg/m <sup>3</sup> )	(µg/m <sup>3</sup> )	(µg/m <sup>3</sup> )	(µg/m <sup>3</sup> )	(µg/m <sup>3</sup> )
16-dic-22	< 0.05	< 0.04	< 0.03	0.420	< 0.09	0.299	< 0.12	0.188	< 0.08	< 0.06	< 0.09
17-dic-22	< 0.05	< 0.04	< 0.03	0.453	< 0.09	0.245	< 0.12	0.240	< 0.08	< 0.06	< 0.09
18-dic-22	< 0.05	0.222	< 0.03	0.711	< 0.09	0.408	< 0.12	0.291	< 0.08	< 0.06	< 0.09
19-dic-22	---	---	---	---	---	---	---	---	---	---	---
20-dic-22	---	---	---	---	---	---	---	---	---	---	---
21-dic-22	< 0.05	0.063	< 0.03	0.775	< 0.09	0.462	< 0.12	0.291	< 0.08	< 0.06	< 0.09
22-dic-22	< 0.05	< 0.04	< 0.03	0.550	< 0.09	0.354	< 0.12	0.257	< 0.08	< 0.06	< 0.09
23-dic-22	< 0.05	< 0.04	< 0.03	0.904	< 0.09	0.435	< 0.12	0.325	< 0.08	< 0.06	< 0.09
24-dic-22	< 0.05	0.127	< 0.03	1.356	< 0.09	0.435	< 0.12	0.462	< 0.08	< 0.06	< 0.09
25-dic-22	< 0.05	< 0.04	< 0.03	0.581	< 0.09	0.326	< 0.12	0.291	< 0.08	< 0.06	< 0.09
26-dic-22	< 0.05	< 0.04	< 0.03	0.969	< 0.09	0.924	< 0.12	0.428	< 0.08	< 0.06	< 0.09
27-dic-22	< 0.05	< 0.04	< 0.03	0.614	< 0.09	0.462	< 0.12	0.308	< 0.08	< 0.06	< 0.09
28-dic-22	0.141	< 0.04	< 0.03	1.647	< 0.09	0.543	0.793	0.308	< 0.08	0.108	< 0.09
29-dic-22	0.511	< 0.04	< 0.03	1.680	< 0.09	0.652	0.946	0.308	< 0.08	0.065	< 0.09
30-dic-22	< 0.05	< 0.04	< 0.03	0.872	< 0.09	0.625	0.390	0.206	< 0.08	0.074	< 0.09
31-dic-22	< 0.05	< 0.04	< 0.03	0.549	< 0.09	0.761	0.379	0.171	< 0.08	< 0.06	< 0.09
01-gen-23	1.780	< 0.04	< 0.03	1.130	< 0.09	5.108	1.610	0.274	3.765	0.082	< 0.09
02-gen-23	< 0.05	< 0.04	< 0.03	1.454	< 0.09	0.734	0.444	0.223	0.262	< 0.06	< 0.09
03-gen-23	< 0.05	< 0.04	< 0.03	0.808	< 0.09	0.408	0.205	0.188	< 0.08	< 0.06	< 0.09
04-gen-23	< 0.05	< 0.04	< 0.03	0.420	< 0.09	0.217	< 0.12	0.120	< 0.08	< 0.06	< 0.09
05-gen-23	0.062	< 0.04	< 0.03	0.323	< 0.09	0.163	0.216	0.120	< 0.08	< 0.06	< 0.09
06-gen-23	< 0.05	< 0.04	< 0.03	0.582	< 0.09	0.272	0.303	0.274	< 0.08	0.057	< 0.09
07-gen-23	< 0.05	< 0.04	< 0.03	0.743	< 0.09	0.381	0.336	0.171	< 0.08	< 0.06	< 0.09
08-gen-23	< 0.05	0.063	< 0.03	0.388	< 0.09	0.489	0.118	0.154	< 0.08	< 0.06	< 0.09
09-gen-23	< 0.05	0.095	< 0.03	0.259	< 0.09	< 0.06	< 0.12	0.120	< 0.08	< 0.06	< 0.09
10-gen-23	0.258	< 0.04	< 0.03	0.258	< 0.09	< 0.06	0.183	0.086	< 0.08	< 0.06	< 0.09
11-gen-23	0.277	< 0.04	< 0.03	0.420	< 0.09	0.190	0.728	0.120	< 0.08	< 0.06	< 0.09
12-gen-23	0.082	< 0.04	< 0.03	0.420	< 0.09	< 0.06	0.161	0.086	< 0.08	< 0.06	0.195
13-gen-23	< 0.05	0.190	< 0.03	0.452	< 0.09	0.163	0.183	0.086	< 0.08	< 0.06	0.222
14-gen-23	< 0.05	0.127	< 0.03	0.420	< 0.09	0.190	0.150	0.086	< 0.08	< 0.06	0.222
15-gen-23	< 0.05	< 0.04	< 0.03	0.873	< 0.09	0.353	0.270	0.137	< 0.08	< 0.06	0.236
16-gen-23	< 0.05	< 0.04	< 0.03	0.420	< 0.09	0.163	< 0.12	0.103	< 0.08	< 0.06	0.236

Data	Levoglucoano	B(a)P	B(a)A	B(b)F	B(j)F	B(k)F	I(1,2,3,c,d)P	dB(a,h)A
	(µg/m <sup>3</sup> )	(ng/m <sup>3</sup> )	(ng/m <sup>3</sup> )	(ng/m <sup>3</sup> )	(ng/m <sup>3</sup> )	(ng/m <sup>3</sup> )	(ng/m <sup>3</sup> )	(ng/m <sup>3</sup> )
25-nov-22	---	---	---	---	---	---	---	---
26-nov-22	---	---	---	---	---	---	---	---
27-nov-22	---	---	---	---	---	---	---	---
28-nov-22	---	---	---	---	---	---	---	---
29-nov-22	---	---	---	---	---	---	---	---
30-nov-22	---	---	---	---	---	---	---	---
01-dic-22	---	---	---	---	---	---	---	---
02-dic-22	---	---	---	---	---	---	---	---
03-dic-22	---	---	---	---	---	---	---	---
04-dic-22	---	---	---	---	---	---	---	---

Data	Levoglucoosano	B(a)P	B(a)A	B(b)F	B(j)F	B(k)F	I(1,2,3,c,d)P	dB(a,h)A
	( $\mu\text{g}/\text{m}^3$ )	( $\text{ng}/\text{m}^3$ )	( $\text{ng}/\text{m}^3$ )	( $\text{ng}/\text{m}^3$ )	( $\text{ng}/\text{m}^3$ )	( $\text{ng}/\text{m}^3$ )	( $\text{ng}/\text{m}^3$ )	( $\text{ng}/\text{m}^3$ )
05-dic-22	---	---	---	---	---	---	---	---
06-dic-22	---	---	---	---	---	---	---	---
07-dic-22	0.667	---	---	---	---	---	---	---
08-dic-22	0.768	---	---	---	---	---	---	---
09-dic-22	1.119	---	---	---	---	---	---	---
10-dic-22	1.023	---	---	---	---	---	---	---
11-dic-22	0.423	---	---	---	---	---	---	---
12-dic-22	0.886	---	---	---	---	---	---	---
13-dic-22	1.000	3.033	1.199	2.815	3.741	1.380	2.361	0.563
14-dic-22	1.170	2.034	0.781	2.107	3.305	0.981	1.671	0.381
15-dic-22	1.394	2.960	1.053	2.851	3.632	1.344	2.252	0.545
16-dic-22	0.919	2.651	0.545	2.851	3.668	1.308	2.542	0.472
17-dic-22	0.977	1.344	0.327	1.471	2.488	0.726	1.380	0.254
18-dic-22	0.786	0.581	0.105	0.890	1.090	0.345	0.799	0.107
19-dic-22	---	---	---	---	---	---	---	---
20-dic-22	---	---	---	---	---	---	---	---
21-dic-22	0.732	1.198	0.236	1.852	2.469	0.744	1.598	0.178
22-dic-22	0.499	0.746	0.111	1.127	1.800	0.564	1.273	0.122
23-dic-22	0.704	0.944	0.145	1.416	1.852	0.581	1.198	0.136
24-dic-22	0.713	1.326	0.236	1.743	2.687	0.799	1.598	0.165
25-dic-22	0.643	0.690	0.071	0.926	1.325	0.436	0.872	0.133
26-dic-22	1.750	4.122	1.071	4.158	5.411	1.925	3.323	0.726
27-dic-22	0.676	1.162	0.236	1.471	2.197	0.672	1.289	0.154
28-dic-22	1.105	1.544	0.345	1.762	2.887	0.890	1.562	0.272
29-dic-22	1.238	2.288	0.581	2.379	3.196	1.071	1.870	0.472
30-dic-22	1.402	2.634	1.780	2.852	4.232	1.471	2.725	0.636
31-dic-22	1.768	2.651	0.726	2.470	3.178	1.071	1.907	0.527
01-gen-23	1.914	2.397	0.581	2.433	3.432	1.035	1.852	0.400
02-gen-23	1.641	---	---	---	---	---	---	---
03-gen-23	1.104	1.652	0.291	1.652	2.905	0.817	1.616	0.345
04-gen-23	0.725	0.999	0.182	1.090	1.798	0.527	1.162	0.182
05-gen-23	0.646	0.726	0.127	0.926	1.653	0.490	0.962	0.147
06-gen-23	0.655	2.106	0.508	2.197	2.506	1.017	1.925	0.436
07-gen-23	0.858	1.562	0.418	1.762	2.924	0.799	1.489	0.291
08-gen-23	0.535	0.763	0.076	0.781	1.326	0.400	0.944	0.143
09-gen-23	0.391	0.472	0.045	0.581	0.708	0.218	0.763	0.078
10-gen-23	0.245	0.236	0.023	0.291	0.508	0.127	0.418	0.047
11-gen-23	0.458	0.835	0.218	0.926	1.580	0.472	0.872	0.127
12-gen-23	0.280	0.400	0.067	0.527	0.872	0.254	0.636	0.069
13-gen-23	0.316	0.363	0.074	0.563	0.763	0.218	0.654	0.076
14-gen-23	0.451	0.436	0.065	0.636	1.053	0.327	0.799	0.080
15-gen-23	0.974	2.506	0.672	2.724	3.505	1.307	2.470	0.454
16-gen-23	0.271	0.763	0.200	0.908	1.725	0.436	1.072	0.147

